

APPENDICE 1 – Tabelle A

Decessi per causa e per comune, tutte le età,
periodo di osservazione 2009-2013

Tabella 1A. Decessi per causa nel comune di Potenza Picena, tutte le età, periodo di osservazione 2009-2013

Tabella 1A - Potenza Picena	Genere	Osservati	Attesi	Cluster sign.	SIR cluster	Tasso std. * 100000 (ic)	Tasso std. > Tasso reg.	SIR (ic)	BIR (ic)	SIR sign.	BIR sign.	Trend	Livello attenzione
Causa (ICD-IX)													
Mortalità generale (escluse cause violente) (A00-R99)	F	378	388	.	.	959 (880-1045)	.	97 (89-106)	99 (93-105)	.	.	→	1
Mortalità generale (escluse cause violente) (A00-R99)	M	406	363	1	116	1084 (997-1177)	.	112 (103-121)	106 (99-114)	↑	.	→	3 ☹️
Mortalità generale (escluse cause violente) (A00-R99)	M + F	784	751	1	109	1020 (961-1082)	.	104 (98-111)	102 (98-108)	.	.	→	1
Mortalità per cause esterne o violente (S00-Y99)	F	13	14	.	.	33 (19-52)	.	94 (60-147)	102 (77-131)	.	.	n.c.	1
Mortalità per cause esterne o violente (S00-Y99)	M	18	21	.	.	48 (31-71)	.	87 (59-128)	99 (85-114)	.	.	→	1
Mortalità per cause esterne o violente (S00-Y99)	M + F	31	35	.	.	40 (29-54)	.	90 (67-120)	99 (84-116)	.	.	→	1
Malattie infettive (A00-B99)	F	<5	>5	.	.	5 (1-17)	.	32 (11-97)	76 (50-106)	↓	.	n.c.	0 😊
Malattie infettive (A00-B99)	M	8	7	.	.	21 (11-39)	.	118 (67-210)	100 (81-128)	.	.	n.c.	1
Malattie infettive (A00-B99)	M + F	10	13	.	.	13 (7-22)	.	77 (46-129)	89 (67-115)	.	.	n.c.	1
Epatite virale (B17-B19)	F	0	1	.	.	0 (0-8)	.	0 (-.-)	74 (43-117)	.	.	n.c.	1
Epatite virale (B17-B19)	M	<5	<5	.	.	3 (0-14)	.	84 (19-376)	84 (44-135)	.	.	n.c.	1
Epatite virale (B17-B19)	M + F	<5	<5	.	.	1 (0-7)	.	52 (12-232)	82 (54-110)	.	.	n.c.	1
Tutti i tumori (C00-D48)	F	95	95	.	.	241 (202-286)	.	100 (84-118)	96 (89-104)	.	.	→	1
Tutti i tumori (C00-D48)	M	136	124	.	.	361 (312-417)	.	110 (95-126)	99 (91-109)	.	.	→	1
Tutti i tumori (C00-D48)	M + F	231	219	.	.	300 (268-335)	.	105 (94-117)	98 (91-106)	.	.	→	1
Tumori maligni delle vie aeree e digestive superiori (C00-C15, C32)	F	<5	<5	.	.	5 (1-16)	.	201 (67-608)	75 (51-109)	.	.	n.c.	1



Tabella 1A - Potenza Picena	Genere	Osservati	Attesi	Cluster sign.	SIR cluster	Tasso std. * 100000 (ic)	Tasso std. > Tasso reg.	SIR (ic)	BIR (ic)	SIR sign.	BIR sign.	Trend	Livello attenzione
Causa (ICD-IX)													
Tumori maligni delle vie aeree e digestive superiori (C00-C15, C32)	M	<5	>5	.	.	8 (2-20)	.	63 (25-158)	78 (53-109)	.	.	n.c.	1
Tumori maligni delle vie aeree e digestive superiori (C00-C15, C32)	M + F	5	6	.	.	6 (2-13)	.	87 (42-178)	80 (58-109)	.	.	n.c.	1
Tumori maligni (C00-C97)	F	91	91	.	.	231 (192-275)	.	100 (84-119)	96 (89-104)	.	.	→	1
Tumori maligni (C00-C97)	M	127	119	.	.	338 (290-392)	.	107 (93-124)	98 (91-107)	.	.	→	1
Tumori maligni (C00-C97)	M + F	218	209	.	.	283 (252-317)	.	104 (93-116)	98 (91-105)	.	.	→	1
Tumori maligni dell'esofago (C15)	F	<5	<5	.	.	3 (0-13)	.	398 (89-1783)	77 (33-182)	.	.	n.c.	1
Tumori maligni dell'esofago (C15)	M	<5	<5	.	.	3 (0-13)	.	72 (16-323)	89 (47-144)	.	.	n.c.	1
Tumori maligni dell'esofago (C15)	M + F	<5	<5	.	.	3 (0-8)	.	122 (40-369)	95 (50-172)	.	.	n.c.	1
Tumori maligni dello stomaco (C16)	F	6	8	.	.	15 (7-31)	.	78 (40-151)	96 (75-118)	.	.	n.c.	1
Tumori maligni dello stomaco (C16)	M	9	10	.	.	25 (13-43)	.	89 (52-153)	104 (77-137)	.	.	n.c.	1
Tumori maligni dello stomaco (C16)	M + F	15	18	.	.	20 (12-31)	.	84 (55-129)	97 (77-121)	.	.	n.c.	1
Tumori maligni dell'intestino tenue, compreso il duodeno (C17)	F	0	0	.	.	0 (0-8)	.	0 (.-.)	111 (25-276)	.	.	n.c.	1
Tumori maligni dell'intestino tenue, compreso il duodeno (C17)	M	0	0	.	.	0 (0-9)	.	0 (.-.)	51 (15-133)	.	.	n.c.	1
Tumori maligni dell'intestino tenue, compreso il duodeno (C17)	M + F	0	0	.	.	0 (0-4)	.	0 (.-.)	0 (0-0)	.	↓	n.c.	0 
Tumori maligni del colon (C18)	F	13	9	.	.	33 (19-52)	.	140 (89-220)	104 (84-129)	.	.	→	1
Tumori maligni del colon (C18)	M	13	11	2	137	35 (20-55)	.	115 (73-181)	108 (87-137)	.	.	↑	3 


Tabella 1A - Potenza Picena	Genere	Osservati	Attesi	Cluster sign.	SIR cluster	Tasso std. * 100000 (ic)	Tasso std. > Tasso reg.	SIR (ic)	BIR (ic)	SIR sign.	BIR sign.	Trend	Livello attenzione
Causa (ICD-IX)													
Tumori maligni del colon (C18)	M + F	26	21	.	.	34 (23-47)	.	126 (91-174)	112 (92-138)	.	.	↑	2 
Tumori maligni del retto, della giunzione retto-sigmoidea e dell'ano (C19-C21)	F	<5	<5	.	.	3 (0-13)	.	38 (9-171)	82 (45-129)	.	.	n.c.	1
Tumori maligni del retto, della giunzione retto-sigmoidea e dell'ano (C19-C21)	M	<5	<5	.	.	5 (1-17)	.	49 (16-148)	74 (43-117)	.	.	n.c.	1
Tumori maligni del retto, della giunzione retto-sigmoidea e dell'ano (C19-C21)	M + F	<5	>5	.	.	4 (1-10)	.	45 (18-112)	83 (53-114)	.	.	n.c.	1
Tumore fegato e dotti biliari (C22)	F	<5	<5	.	.	3 (0-13)	.	36 (8-160)	99 (69-130)	.	.	n.c.	1
Tumore fegato e dotti biliari (C22)	M	<5	>5	.	.	8 (2-21)	.	65 (26-163)	78 (53-112)	.	.	n.c.	1
Tumore fegato e dotti biliari (C22)	M + F	<5	>5	.	.	5 (2-12)	.	54 (24-120)	79 (54-109)	.	.	n.c.	1
Tumori maligni del pancreas (C25)	F	<5	>5	.	.	10 (3-23)	.	57 (25-126)	98 (79-116)	.	.	n.c.	1
Tumori maligni del pancreas (C25)	M	>5	>5	.	.	18 (9-35)	.	99 (53-182)	98 (80-118)	.	.	n.c.	1
Tumori maligni del pancreas (C25)	M + F	11	14	.	.	14 (8-23)	.	78 (48-127)	96 (79-113)	.	.	→	1
Tumore del retroperitoneo (C48)	F	0	0	.	.	0 (0-8)	.	0 (.-.)	100 (53-171)	.	.	n.c.	1
Tumore del retroperitoneo (C48)	M	<5	<5	.	.	3 (0-13)	.	573 (128-2570)	57 (20-147)	↑	.	n.c.	1
Tumore del retroperitoneo (C48)	M + F	<5	<5	.	.	1 (0-6)	.	183 (41-822)	87 (53-133)	.	.	n.c.	1
Tumori maligni della laringe (C32)	F	0	0	.	.	0 (0-8)	.	0 (.-.)	73 (21-177)	.	.	n.c.	1
Tumori maligni della laringe (C32)	M	<5	<5	.	.	5 (1-17)	.	132 (44-398)	81 (50-125)	.	.	n.c.	1
Tumori maligni della laringe (C32)	M + F	<5	<5	.	.	2 (0-8)	.	123 (41-371)	80 (50-121)	.	.	n.c.	1

Tabella 1A - Potenza Picena	Genere	Osservati	Attesi	Cluster sign.	SIR cluster	Tasso std. * 100000 (ic)	Tasso std. > Tasso reg.	SIR (ic)	BIR (ic)	SIR sign.	BIR sign.	Trend	Livello attenzione
Causa (ICD-IX)													
Tumori maligni della trachea, dei bronchi e dei polmoni (C33-C34)	F	7	9	.	.	17 (8-33)	.	81 (44-149)	87 (60-117)	.	.	n.c.	1
Tumori maligni della trachea, dei bronchi e dei polmoni (C33-C34)	M	32	28	.	.	85 (62-114)	.	116 (87-155)	96 (82-113)	.	.	→	1
Tumori maligni della trachea, dei bronchi e dei polmoni (C33-C34)	M + F	39	36	.	.	50 (38-66)	.	107 (83-140)	96 (82-112)	.	.	→	1
Mesotelioma (pleura, peritoneo, endocardio, ecc.) (C45)	F	0	0	.	.	0 (0-8)	.	0 (.-.)	76 (30-145)	.	.	n.c.	1
Mesotelioma (pleura, peritoneo, endocardio, ecc.) (C45)	M	0	1	.	.	0 (0-9)	.	0 (.-.)	46 (15-115)	.	.	n.c.	1
Mesotelioma (pleura, peritoneo, endocardio, ecc.) (C45)	M + F	0	1	.	.	0 (0-4)	.	0 (.-.)	57 (25-109)	.	.	n.c.	1
Tumori maligni delle ossa e della cartilagine articolare (C40-C41)	F	0	0	.	.	0 (0-8)	.	0 (.-.)	57 (13-155)	.	.	n.c.	1
Tumori maligni delle ossa e della cartilagine articolare (C40-C41)	M	0	0	.	.	0 (0-9)	.	0 (.-.)	89 (25-227)	.	.	n.c.	1
Tumori maligni delle ossa e della cartilagine articolare (C40-C41)	M + F	0	1	.	.	0 (0-4)	.	0 (.-.)	75 (20-175)	.	.	n.c.	1
Tumori maligni del connettivo e di altri tessuti molli (C49)	F	<5	<5	.	.	3 (0-13)	.	179 (40-801)	87 (51-140)	.	.	n.c.	1
Tumori maligni del connettivo e di altri tessuti molli (C49)	M	<5	<5	.	.	3 (0-13)	.	151 (34-678)	108 (70-177)	.	.	n.c.	1
Tumori maligni del connettivo e di altri tessuti molli (C49)	M + F	<5	<5	.	.	3 (0-9)	.	164 (54-495)	102 (70-150)	.	.	n.c.	1
Melanoma maligno della pelle (C43)	F	<5	<5	.	.	2 (0-13)	.	95 (21-425)	101 (67-151)	.	.	n.c.	1
Melanoma maligno della pelle (C43)	M	<5	<5	.	.	5 (1-17)	.	138 (46-416)	105 (69-155)	.	.	n.c.	1
Melanoma maligno della pelle (C43)	M + F	<5	<5	.	.	4 (1-10)	.	120 (48-299)	104 (77-140)	.	.	n.c.	1
Tumori maligni della mammella (C50)	F	16	14	.	.	40 (25-62)	.	117 (78-177)	97 (81-118)	.	.	→	1

Tabella 1A - Potenza Picena	Genere	Osservati	Attesi	Cluster sign.	SIR cluster	Tasso std. * 100000 (ic)	Tasso std. > Tasso reg.	SIR (ic)	BIR (ic)	SIR sign.	BIR sign.	Trend	Livello attenzione
Causa (ICD-IX)													
Tumori maligni della mammella (C50)	M + F	16	14	.	.	21 (13-32)	.	116 (77-175)	97 (80-119)	.	.	→	1
Tumori maligni dell'utero (C53-C55)	F	<5	<5	.	.	8 (2-20)	.	76 (30-190)	102 (76-135)	.	.	n.c.	1
Tumori maligni del corpo dell'utero (C54)	F	<5	<5	.	.	3 (0-13)	.	91 (20-406)	106 (55-185)	.	.	n.c.	1
Tumori maligni dell'ovaio e degli altri annessi uterini (C56-C57)	F	<5	<5	.	.	10 (3-23)	.	103 (46-228)	94 (68-124)	.	.	n.c.	1
Tumore della prostata (C61)	M	13	10	.	.	35 (21-56)	.	131 (83-206)	102 (86-123)	.	.	→	1
Tumore del testicolo (C62)	M	0	0	.	.	0 (0-9)	.	0 (.-)	67 (11-243)	.	.	n.c.	1
Tumori maligni della vescica (C67)	F	0	1	.	.	0 (0-8)	.	0 (.-)	80 (50-115)	.	.	n.c.	1
Tumori maligni della vescica (C67)	M	6	6	.	.	16 (7-32)	.	105 (54-202)	95 (76-117)	.	.	n.c.	1
Tumori maligni della vescica (C67)	M + F	6	7	.	.	8 (3-15)	.	86 (44-166)	96 (80-111)	.	.	n.c.	1
Tumori maligni del rene e di altri e non specificati organi urinari (C64-C66, C68)	F	<5	<5	.	.	3 (0-13)	.	47 (10-210)	84 (45-134)	.	.	n.c.	1
Tumori maligni del rene e di altri e non specificati organi urinari (C64-C66, C68)	M	>5	>5	.	.	16 (7-31)	.	129 (67-250)	112 (83-156)	.	.	n.c.	1
Tumori maligni del rene e di altri e non specificati organi urinari (C64-C66, C68)	M + F	7	7	.	.	9 (4-17)	.	103 (56-190)	104 (78-139)	.	.	n.c.	1
tumore del sistema nervoso centrale (C70-C72,D33)	F	<5	<5	.	.	8 (2-20)	.	135 (54-338)	103 (75-143)	.	.	n.c.	1
tumore del sistema nervoso centrale (C70-C72,D33)	M	>5	<5	.	.	18 (8-34)	↑	251 (136-463)	105 (72-180)	↑	.	n.c.	3 😞
tumore del sistema nervoso centrale (C70-C72,D33)	M + F	10	5	.	.	13 (7-22)	↑	200 (119-334)	98 (81-127)	↑	.	n.c.	3 😞
Tumori maligni dell'encefalo (C71)	F	<5	<5	.	.	8 (2-20)	.	138 (55-346)	106 (82-136)	.	.	n.c.	1

Tabella 1A - Potenza Picena	Genere	Osservati	Attesi	Cluster sign.	SIR cluster	Tasso std. * 100000 (ic)	Tasso std. > Tasso reg.	SIR (ic)	BIR (ic)	SIR sign.	BIR sign.	Trend	Livello attenzione
Causa (ICD-IX)													
Tumori maligni dell'encefalo (C71)	M	>5	<5	.	.	18 (8-34)	↑	257 (139-473)	97 (72-171)	↑	.	n.c.	3 😞
Tumori maligni dell'encefalo (C71)	M + F	10	5	.	.	13 (7-22)	↑	204 (122-341)	98 (83-126)	↑	.	n.c.	3 😞
Tumori maligni della ghiandola tiroide (C73)	F	0	0	.	.	0 (0-8)	.	0 (.-.)	52 (21-106)	.	.	n.c.	1
Tumori maligni della ghiandola tiroide (C73)	M	0	0	.	.	0 (0-9)	.	0 (.-.)	85 (45-141)	.	.	n.c.	1
Tumori maligni della ghiandola tiroide (C73)	M + F	0	1	.	.	0 (0-4)	.	0 (.-.)	70 (38-113)	.	.	n.c.	1
Tumori emolinfopoiетici (C81-C96)	F	10	9	.	.	26 (14-44)	.	113 (68-189)	98 (83-114)	.	.	n.c.	1
Tumori emolinfopoiетici (C81-C96)	M	13	10	.	.	35 (21-56)	.	128 (82-202)	96 (84-111)	.	.	n.c.	1
Tumori emolinfopoiетici (C81-C96)	M + F	23	19	.	.	30 (21-43)	.	121 (86-170)	97 (88-110)	.	.	→	1
Malattia di Hodgkin (C81)	F	0	0	.	.	0 (0-8)	.	0 (.-.)	84 (26-228)	.	.	n.c.	1
Malattia di Hodgkin (C81)	M	0	0	.	.	0 (0-9)	.	0 (.-.)	78 (30-155)	.	.	n.c.	1
Malattia di Hodgkin (C81)	M + F	0	0	.	.	0 (0-4)	.	0 (.-.)	79 (33-157)	.	.	n.c.	1
Linfoma non Hodgkin (C82-C85)	F	<5	<5	.	.	5 (1-17)	.	65 (21-195)	105 (79-134)	.	.	n.c.	1
Linfoma non Hodgkin (C82-C85)	M	<5	<5	.	.	11 (4-25)	.	129 (58-287)	87 (69-108)	.	.	n.c.	1
Linfoma non Hodgkin (C82-C85)	M + F	6	6	.	.	8 (4-16)	.	97 (50-187)	95 (77-117)	.	.	n.c.	1
Mieloma multiplo e tumori immunoproliferativi (C88, C90)	F	<5	<5	.	.	5 (1-16)	.	90 (30-271)	91 (60-120)	.	.	n.c.	1
Mieloma multiplo e tumori immunoproliferativi (C88, C90)	M	<5	<5	.	.	8 (2-21)	.	121 (48-302)	102 (70-146)	.	.	n.c.	1

Tabella 1A - Potenza Picena	Genere	Osservati	Attesi	Cluster sign.	SIR cluster	Tasso std. * 100000 (ic)	Tasso std. > Tasso reg.	SIR (ic)	BIR (ic)	SIR sign.	BIR sign.	Trend	Livello attenzione
Causa (ICD-IX)													
Mieloma multiplo e tumori immunoproliferativi (C88, C90)	M + F	5	5	.	.	6 (3-14)	.	106 (52-218)	94 (65-128)	.	.	n.c.	1
Leucemie (C91-C95)	F	6	3	.	.	15 (7-30)	.	186 (96-361)	96 (72-135)	.	.	n.c.	1
Leucemie (C91-C95)	M	6	4	.	.	16 (7-32)	.	144 (74-278)	103 (73-148)	.	.	n.c.	1
Leucemie (C91-C95)	M + F	12	7	.	.	16 (9-26)	.	162 (101-260)	99 (82-124)	↑	.	n.c.	3 ☹️
Leucemia linfoide (acuta e cronica) (C91)	F	<5	<5	.	.	2 (0-13)	.	136 (30-608)	67 (44-99)	.	↓	n.c.	0 😊
Leucemia linfoide (acuta e cronica) (C91)	M	<5	<5	.	.	3 (0-13)	.	77 (17-344)	82 (56-120)	.	.	n.c.	1
Leucemia linfoide (acuta e cronica) (C91)	M + F	<5	<5	.	.	3 (0-8)	.	98 (32-296)	78 (60-100)	.	↓	n.c.	0 😊
Leucemia mieloide (acuta e cronica) (C92)	F	<5	<5	.	.	5 (1-16)	.	126 (42-381)	100 (68-143)	.	.	n.c.	1
Leucemia mieloide (acuta e cronica) (C92)	M	<5	<5	.	.	11 (4-25)	.	184 (83-411)	115 (80-182)	.	.	n.c.	1
Leucemia mieloide (acuta e cronica) (C92)	M + F	6	4	.	.	8 (3-15)	.	160 (83-309)	110 (80-156)	.	.	n.c.	1
Malattie del sangue e degli organi emopoietici (D50-D77)	F	<5	<5	.	.	2 (0-12)	.	51 (11-228)	81 (49-118)	.	.	n.c.	1
Malattie del sangue e degli organi emopoietici (D50-D77)	M	<5	<5	.	.	8 (2-22)	.	197 (79-492)	104 (75-149)	.	.	n.c.	1
Malattie del sangue e degli organi emopoietici (D50-D77)	M + F	<5	<5	.	.	5 (2-12)	.	115 (51-255)	93 (70-124)	.	.	n.c.	1
Malattie endocrine, della nutrizione ed immunitarie (E00-E90, D80-D89)	F	11	18	.	.	28 (16-47)	.	62 (38-100)	89 (68-113)	.	.	↓	0 😊
Malattie endocrine, della nutrizione ed immunitarie (E00-E90, D80-D89)	M	8	13	.	.	21 (11-39)	.	60 (34-106)	86 (65-112)	.	.	→	1
Malattie endocrine, della nutrizione ed immunitarie (E00-E90, D80-D89)	M + F	19	31	.	.	25 (16-36)	.	61 (42-88)	83 (65-102)	↓	.	↓	0 😊

Tabella 1A - Potenza Picena	Genere	Osservati	Attesi	Cluster sign.	SIR cluster	Tasso std. * 100000 (ic)	Tasso std. > Tasso reg.	SIR (ic)	BIR (ic)	SIR sign.	BIR sign.	Trend	Livello attenzione
Causa (ICD-IX)													
Tireotossicosi (E05)	F	0	0	.	.	0 (0-8)	.	0 (-.)	56 (15-157)	.	.	n.c.	1
Tireotossicosi (E05)	M	0	0	.	.	0 (0-9)	.	0 (-.)	37 (0-212)	.	.	n.c.	1
Tireotossicosi (E05)	M + F	0	0	.	.	0 (0-4)	.	0 (-.)	57 (14-141)	.	.	n.c.	1
Ipotiroidismo (E00-E03)	F	0	0	.	.	0 (0-8)	.	0 (-.)	87 (20-231)	.	.	n.c.	1
Ipotiroidismo (E00-E03)	M	0	0	.	.	0 (0-9)	.	0 (-.)	101 (19-281)	.	.	n.c.	1
Ipotiroidismo (E00-E03)	M + F	0	0	.	.	0 (0-4)	.	0 (-.)	101 (32-210)	.	.	n.c.	1
Diabete mellito (E10-E14)	F	9	13	.	.	23 (12-41)	.	70 (40-120)	95 (71-122)	.	.	↓	0 😊
Diabete mellito (E10-E14)	M	8	10	.	.	21 (11-39)	.	81 (45-143)	91 (65-122)	.	.	→	1
Diabete mellito (E10-E14)	M + F	17	23	.	.	22 (14-33)	.	74 (50-111)	89 (69-113)	.	.	↓	0 😊
Demenze (F00-F01, F020-F023, F03, G30, G310)	F	22	28	.	.	56 (38-80)	.	78 (55-111)	80 (60-105)	.	.	↑	1
Demenze (F00-F01, F020-F023, F03, G30, G310)	M	10	14	.	.	27 (15-46)	.	70 (42-118)	84 (59-115)	.	.	n.c.	1
Demenze (F00-F01, F020-F023, F03, G30, G310)	M + F	32	42	.	.	42 (30-56)	.	76 (57-101)	79 (62-99)	.	↓	→	0 😊
Malattie neuro-psichiatriche (escluse tossicod.) (F00-F09, F20-F99)	F	>5	>5	.	.	28 (16-47)	.	62 (38-101)	69 (46-101)	.	.	n.c.	1
Malattie neuro-psichiatriche (escluse tossicod.) (F00-F09, F20-F99)	M	<5	>5	.	.	8 (2-21)	.	33 (13-82)	60 (35-94)	↓	↓	n.c.	0 😊
Malattie neuro-psichiatriche (escluse tossicod.) (F00-F09, F20-F99)	M + F	14	27	.	.	18 (11-29)	.	52 (34-80)	60 (41-85)	↓	↓	n.c.	0 😊
Malattie del sistema nervoso e degli organi di senso (G00-H95)	F	28	19	.	.	71 (50-97)	.	145 (107-198)	105 (84-131)	↑	.	→	3 😊

Tabella 1A - Potenza Picena	Genere	Osservati	Attesi	Cluster sign.	SIR cluster	Tasso std. * 100000 (ic)	Tasso std. > Tasso reg.	SIR (ic)	BIR (ic)	SIR sign.	BIR sign.	Trend	Livello attenzione
Causa (ICD-IX)													
Malattie del sistema nervoso e degli organi di senso (G00-H95)	M	27	15	2	141	71 (50-99)	↑	181 (132-249)	127 (100-163)	↑	↑	→	5 🟡
Malattie del sistema nervoso e degli organi di senso (G00-H95)	M + F	55	34	.	.	71 (56-89)	↑	161 (129-201)	121 (102-146)	↑	↑	→	5 🟡
Morbo di Parkinson (G20)	F	<5	<5	.	.	10 (3-23)	.	128 (57-284)	115 (82-167)	.	.	n.c.	1
Morbo di Parkinson (G20)	M	<5	<5	.	.	8 (2-21)	.	96 (39-241)	96 (71-130)	.	.	n.c.	1
Morbo di Parkinson (G20)	M + F	7	6	.	.	9 (4-17)	.	112 (61-207)	108 (84-144)	.	.	n.c.	1
Malattia di Alzheimer (G30)	F	12	11	.	.	30 (17-49)	.	111 (70-178)	93 (65-130)	.	.	n.c.	1
Malattia di Alzheimer (G30)	M	8	6	.	.	22 (11-40)	.	141 (79-250)	107 (71-160)	.	.	n.c.	1
Malattia di Alzheimer (G30)	M + F	20	16	.	.	26 (17-38)	.	122 (84-175)	102 (75-136)	.	.	→	1
Epilessia (G40)	F	<5	<5	.	.	5 (1-16)	.	476 (158-1438)	69 (36-127)	↑	.	n.c.	3 🟡
Epilessia (G40)	M	0	1	.	.	0 (0-9)	.	0 (-.)	96 (49-159)	.	.	n.c.	1
Epilessia (G40)	M + F	<5	<5	.	.	3 (0-8)	.	195 (65-589)	88 (52-152)	.	.	n.c.	1
Malattia dei neuroni motori (G122)	F	<5	<5	.	.	7 (2-20)	.	230 (92-576)	114 (48-257)	.	.	n.c.	1
Malattia dei neuroni motori (G122)	M	<5	<5	.	.	8 (2-21)	.	216 (86-541)	107 (63-192)	.	.	n.c.	1
Malattia dei neuroni motori (G122)	M + F	6	3	.	.	8 (3-15)	.	223 (115-431)	132 (71-233)	↑	.	n.c.	3 🟡
Sclerosi multipla (G35)	F	0	0	.	.	0 (0-8)	.	0 (-.)	71 (33-129)	.	.	n.c.	1
Sclerosi multipla (G35)	M	0	0	.	.	0 (0-9)	.	0 (-.)	50 (6-150)	.	.	n.c.	1

Tabella 1A - Potenza Picena	Genere	Osservati	Attesi	Cluster sign.	SIR cluster	Tasso std. * 100000 (ic)	Tasso std. > Tasso reg.	SIR (ic)	BIR (ic)	SIR sign.	BIR sign.	Trend	Livello attenzione
Causa (ICD-IX)													
Sclerosi multipla (G35)	M + F	0	0	.	.	0 (0-4)	.	0 (-.)	70 (37-119)	.	.	n.c.	1
Neuropatie tossiche e infiammatorie non specificate (G619, G629)	F	0	0	.	.	0 (0-8)	.	0 (-.)	11 (0-112)	.	.	n.c.	1
Neuropatie tossiche e infiammatorie non specificate (G619, G629)	M	<5	<5	.	.	3 (0-13)	.	603 (134-2701)	152 (39-498)	↑	.	n.c.	1
Neuropatie tossiche e infiammatorie non specificate (G619, G629)	M + F	<5	<5	.	.	1 (0-7)	.	511 (114-2291)	86 (20-271)	↑	.	n.c.	1
Malattie dell'apparato circolatorio (I00-I99)	F	172	173	.	.	436 (383-495)	.	99 (88-113)	102 (94-112)	.	.	→	1
Malattie dell'apparato circolatorio (I00-I99)	M	142	136	.	.	383 (332-441)	.	104 (91-120)	102 (92-112)	.	.	→	1
Malattie dell'apparato circolatorio (I00-I99)	M + F	314	309	.	.	410 (373-450)	.	102 (93-111)	102 (95-110)	.	.	→	1
Malattia ipertensiva (I10-I15)	F	23	18	2	144	59 (40-83)	.	126 (90-178)	111 (83-148)	.	.	n.c.	1
Malattia ipertensiva (I10-I15)	M	11	11	.	.	30 (17-49)	.	99 (61-162)	97 (64-140)	.	.	n.c.	1
Malattia ipertensiva (I10-I15)	M + F	34	29	2	135	44 (33-59)	.	116 (88-154)	111 (85-142)	.	.	n.c.	1
Malattie ischemiche del cuore (I20-I25)	F	56	59	.	.	142 (112-178)	.	95 (76-118)	97 (81-116)	.	.	→	1
Malattie ischemiche del cuore (I20-I25)	M	57	55	.	.	153 (121-190)	.	103 (83-128)	95 (81-111)	.	.	→	1
Malattie ischemiche del cuore (I20-I25)	M + F	113	114	.	.	147 (125-172)	.	99 (85-115)	97 (84-111)	.	.	→	1
Infarto miocardico acuto (I21-I22)	F	18	16	.	.	45 (29-67)	.	110 (75-161)	108 (77-147)	.	.	→	1
Infarto miocardico acuto (I21-I22)	M	30	19	.	.	79 (57-107)	↑	159 (118-214)	119 (90-156)	↑	.	→	3 😞
Infarto miocardico acuto (I21-I22)	M + F	48	35	.	.	61 (48-78)	↑	136 (107-172)	124 (98-155)	↑	.	→	3 😞






Tabella 1A - Potenza Picena	Genere	Osservati	Attesi	Cluster sign.	SIR cluster	Tasso std. * 100000 (ic)	Tasso std. > Tasso reg.	SIR (ic)	BIR (ic)	SIR sign.	BIR sign.	Trend	Livello attenzione
Causa (ICD-IX)													
Malattie cerebrovascolari (I60-I69)	F	49	45	2	127	124 (96-158)	.	108 (85-136)	106 (89-126)	.	.	→	1
Malattie cerebrovascolari (I60-I69)	M	47	35	2	123	128 (99-164)	↑	135 (106-171)	120 (100-143)	↑	↑	→	5 
Malattie cerebrovascolari (I60-I69)	M + F	96	80	2	125	126 (106-150)	.	120 (101-141)	114 (99-132)	↑	.	→	3 
Malattie dell'apparato respiratorio (J00-J99)	F	19	24	.	.	48 (32-71)	.	80 (55-116)	88 (69-109)	.	.	→	1
Malattie dell'apparato respiratorio (J00-J99)	M	41	30	.	.	109 (82-141)	.	135 (105-175)	115 (96-141)	↑	.	→	3 
Malattie dell'apparato respiratorio (J00-J99)	M + F	60	54	.	.	78 (62-97)	.	111 (90-137)	106 (90-125)	.	.	→	1
Malattie respiratorie acute (J00-J06, J10-J18, J20-J22)	F	6	7	.	.	15 (7-31)	.	83 (43-161)	92 (60-134)	.	.	n.c.	1
Malattie respiratorie acute (J00-J06, J10-J18, J20-J22)	M	12	7	2	145	31 (18-51)	↑	184 (115-295)	148 (96-226)	↑	.	n.c.	3 
Malattie respiratorie acute (J00-J06, J10-J18, J20-J22)	M + F	18	14	.	.	23 (15-35)	.	131 (89-193)	123 (87-169)	.	.	n.c.	1
Malattie croniche dell'apparato respiratorio (BCPO) (J41-J44, J47)	F	5	9	.	.	13 (5-27)	.	55 (27-113)	75 (50-108)	.	.	n.c.	1
Malattie croniche dell'apparato respiratorio (BCPO) (J41-J44, J47)	M	18	16	.	.	48 (31-72)	.	114 (78-168)	101 (80-129)	.	.	→	1
Malattie croniche dell'apparato respiratorio (BCPO) (J41-J44, J47)	M + F	23	25	.	.	30 (20-43)	.	93 (66-130)	93 (73-117)	.	.	→	1
Asma (J45)	F	0	0	.	.	0 (0-8)	.	0 (-.)	110 (38-241)	.	.	n.c.	1
Asma (J45)	M	<5	<5	.	.	5 (1-17)	.	818 (271-2471)	146 (62-544)	↑	.	n.c.	3 
Asma (J45)	M + F	<5	<5	.	.	3 (0-8)	.	298 (99-901)	128 (76-250)	.	.	n.c.	1
Pneumoconiosi (J60-J64)	M	<5	<5	.	.	3 (0-13)	.	117 (26-523)	44 (9-170)	.	.	n.c.	1

Tabella 1A - Potenza Picena	Genere	Osservati	Attesi	Cluster sign.	SIR cluster	Tasso std. * 100000 (ic)	Tasso std. > Tasso reg.	SIR (ic)	BIR (ic)	SIR sign.	BIR sign.	Trend	Livello attenzione
Causa (ICD-IX)													
Pneumoconiosi (J60-J64)	M + F	<5	<5	.	.	1 (0-7)	.	117 (26-523)	44 (9-170)	.	.	n.c.	1
Malattie dell'apparato digerente (K00-K93)	F	20	14	2	132	51 (34-75)	.	143 (99-205)	103 (88-124)	.	.	→	1
Malattie dell'apparato digerente (K00-K93)	M	18	13	.	.	48 (31-71)	.	135 (92-198)	103 (88-126)	.	.	→	1
Malattie dell'apparato digerente (K00-K93)	M + F	38	27	2	123	49 (37-65)	.	139 (106-181)	111 (95-133)	↑	.	→	3 😊
Cirrosi e altre malattie croniche del fegato (K70, K73-K74)	F	<5	<5	.	.	7 (2-20)	.	199 (80-498)	82 (53-135)	.	.	n.c.	1
Cirrosi e altre malattie croniche del fegato (K70, K73-K74)	M	<5	<5	.	.	5 (1-17)	.	50 (17-151)	94 (74-116)	.	.	n.c.	1
Cirrosi e altre malattie croniche del fegato (K70, K73-K74)	M + F	5	6	.	.	6 (2-14)	.	91 (44-187)	90 (68-116)	.	.	n.c.	1
Nefropatie croniche e acute (N00-N12)	F	0	0	.	.	0 (0-8)	.	0 (.-.)	102 (42-211)	.	.	n.c.	1
Nefropatie croniche e acute (N00-N12)	M	0	0	.	.	0 (0-9)	.	0 (.-.)	134 (45-325)	.	.	n.c.	1
Nefropatie croniche e acute (N00-N12)	M + F	0	0	.	.	0 (0-4)	.	0 (.-.)	119 (28-306)	.	.	n.c.	1
Malattie dell'apparato genito-urinario (N00-N99)	F	13	8	2	148	33 (20-53)	.	159 (101-250)	136 (101-185)	↑	↑	n.c.	5 😡
Malattie dell'apparato genito-urinario (N00-N99)	M	9	8	2	154	24 (13-43)	.	120 (70-205)	126 (89-177)	.	.	n.c.	1
Malattie dell'apparato genito-urinario (N00-N99)	M + F	22	16	2	140	29 (20-41)	.	140 (99-199)	136 (105-175)	.	↑	n.c.	4 😊
Insufficienza renale acuta e cronica (N17-N19)	F	9	7	2	142	24 (12-41)	.	135 (78-232)	120 (88-165)	.	.	n.c.	1
Insufficienza renale acuta e cronica (N17-N19)	M	7	6	.	.	19 (9-36)	.	123 (67-226)	115 (82-163)	.	.	n.c.	1
Insufficienza renale acuta e cronica (N17-N19)	M + F	16	12	2	134	21 (13-33)	.	129 (86-194)	129 (99-167)	.	.	n.c.	1





Tabella 1A - Potenza Picena	Genere	Osservati	Attesi	Cluster sign.	SIR cluster	Tasso std. * 100000 (ic)	Tasso std. > Tasso reg.	SIR (ic)	BIR (ic)	SIR sign.	BIR sign.	Trend	Livello attenzione
Causa (ICD-IX)													
Malformazioni congenite (Q00-Q99)	F	0	1	.	.	0 (0-8)	.	0 (-.)	53 (14-156)	.	.	n.c.	1
Malformazioni congenite (Q00-Q99)	M	5	1	1	856	13 (5-28)	↑	555 (270-1140)	303 (126-662)	↑	↑	n.c.	5 
Malformazioni congenite (Q00-Q99)	M + F	5	2	.	.	6 (2-14)	↑	327 (159-671)	191 (91-380)	↑	.	n.c.	3 
Sintomi, segni e stati morbosi mal definiti (R00-R99)	F	<5	>5	.	.	2 (0-12)	.	17 (4-76)	40 (15-90)	↓	↓	n.c.	0 
Sintomi, segni e stati morbosi mal definiti (R00-R99)	M	<5	<5	.	.	5 (1-18)	.	71 (24-215)	88 (36-182)	.	.	n.c.	1
Sintomi, segni e stati morbosi mal definiti (R00-R99)	M + F	<5	>5	.	.	4 (1-10)	.	34 (14-86)	49 (22-91)	↓	↓	n.c.	0 
Traumatismi e avvelenamenti (S00-T98)	F	13	14	.	.	33 (19-52)	.	94 (60-147)	102 (77-131)	.	.	n.c.	1
Traumatismi e avvelenamenti (S00-T98)	M	18	21	.	.	48 (31-71)	.	87 (59-128)	99 (85-114)	.	.	→	1
Traumatismi e avvelenamenti (S00-T98)	M + F	31	35	.	.	40 (29-54)	.	90 (67-120)	99 (84-116)	.	.	→	1

Tabella 2A. Decessi per causa nel comune di Camerano, tutte le età, periodo di osservazione 2009-2013

Tabella 2A - Camerano	Genere	Osservati	Attesi	Cluster sign.	SIR cluster	Tasso std. * 100000 (ic)	Tasso std. > Tasso reg.	SIR (ic)	BIR (ic)	SIR sign.	BIR sign.	Trend	Livello attenzione
Causa (ICD-IX)													
Mortalità generale (escluse cause violente) (A00-R99)	F	176	168	.	.	1052 (923-1202)	.	105 (93-119)	101 (94-109)	.	.	→	1
Mortalità generale (escluse cause violente) (A00-R99)	M	165	176	.	.	945 (826-1077)	.	94 (83-107)	96 (88-105)	.	.	→	1
Mortalità generale (escluse cause violente) (A00-R99)	M + F	341	344	.	.	1000 (911-1099)	.	99 (91-108)	99 (93-105)	.	.	→	1
Mortalità per cause esterne o violente (S00-Y99)	F	8	6	.	.	50 (25-102)	.	133 (75-236)	107 (78-146)	.	.	n.c.	1
Mortalità per cause esterne o violente (S00-Y99)	M	5	10	.	.	30 (12-65)	.	52 (25-107)	99 (81-114)	.	.	n.c.	1
Mortalità per cause esterne o violente (S00-Y99)	M + F	13	16	.	.	40 (24-70)	.	83 (53-131)	99 (81-117)	.	.	→	1
Malattie infettive (A00-B99)	F	<5	<5	.	.	16 (4-58)	.	109 (44-274)	87 (59-127)	.	.	n.c.	1
Malattie infettive (A00-B99)	M	<5	<5	.	.	19 (5-50)	.	93 (37-232)	94 (72-119)	.	.	n.c.	1
Malattie infettive (A00-B99)	M + F	6	6	.	.	17 (7-41)	.	100 (52-194)	90 (67-122)	.	.	n.c.	1
Epatite virale (B17-B19)	F	0	0	.	.	0 (0-37)	.	0 (.-.)	73 (42-116)	.	.	n.c.	1
Epatite virale (B17-B19)	M	0	1	.	.	0 (0-21)	.	0 (.-.)	83 (40-136)	.	.	n.c.	1
Epatite virale (B17-B19)	M + F	0	1	.	.	0 (0-19)	.	0 (.-.)	82 (54-111)	.	.	n.c.	1
Tutti i tumori (C00-D48)	F	46	43	.	.	257 (198-338)	.	107 (84-136)	98 (90-106)	.	.	→	1
Tutti i tumori (C00-D48)	M	58	58	.	.	331 (263-414)	.	100 (81-124)	97 (87-107)	.	.	→	1
Tutti i tumori (C00-D48)	M + F	104	101	.	.	293 (247-350)	.	103 (88-121)	98 (90-106)	.	.	→	1
Tumori maligni delle vie aeree e digestive superiori (C00-C15, C32)	F	0	0	.	.	0 (0-37)	.	0 (.-.)	74 (50-106)	.	.	n.c.	1


Tabella 2A - Camerano	Genere	Osservati	Attesi	Cluster sign.	SIR cluster	Tasso std. * 100000 (ic)	Tasso std. > Tasso reg.	SIR (ic)	BIR (ic)	SIR sign.	BIR sign.	Trend	Livello attenzione
Causa (ICD-IX)													
Tumori maligni delle vie aeree e digestive superiori (C00-C15, C32)	M	<5	<5	.	.	6 (0-30)	.	45 (10-203)	86 (56-123)	.	.	n.c.	1
Tumori maligni delle vie aeree e digestive superiori (C00-C15, C32)	M + F	<5	<5	.	.	3 (0-23)	.	38 (8-170)	82 (58-112)	.	.	n.c.	1
Tumori maligni (C00-C97)	F	42	41	.	.	235 (178-314)	.	102 (79-132)	97 (89-106)	.	.	→	1
Tumori maligni (C00-C97)	M	55	55	.	.	313 (247-394)	.	99 (80-124)	97 (89-107)	.	.	→	1
Tumori maligni (C00-C97)	M + F	97	96	.	.	273 (229-328)	.	101 (85-119)	98 (90-107)	.	.	→	1
Tumori maligni dell'esofago (C15)	F	0	0	.	.	0 (0-37)	.	0 (.-)	71 (25-147)	.	.	n.c.	1
Tumori maligni dell'esofago (C15)	M	0	1	.	.	0 (0-21)	.	0 (.-)	91 (45-151)	.	.	n.c.	1
Tumori maligni dell'esofago (C15)	M + F	0	1	.	.	0 (0-19)	.	0 (.-)	86 (38-156)	.	.	n.c.	1
Tumori maligni dello stomaco (C16)	F	<5	<5	.	.	5 (0-44)	.	29 (6-130)	93 (69-116)	.	.	n.c.	1
Tumori maligni dello stomaco (C16)	M	<5	>5	.	.	23 (8-55)	.	83 (37-184)	91 (66-125)	.	.	n.c.	1
Tumori maligni dello stomaco (C16)	M + F	5	8	.	.	14 (5-37)	.	60 (29-124)	84 (64-107)	.	.	n.c.	1
Tumori maligni dell'intestino tenue, compreso il duodeno (C17)	F	0	0	.	.	0 (0-37)	.	0 (.-)	114 (26-308)	.	.	n.c.	1
Tumori maligni dell'intestino tenue, compreso il duodeno (C17)	M	0	0	.	.	0 (0-21)	.	0 (.-)	52 (15-136)	.	.	n.c.	1
Tumori maligni dell'intestino tenue, compreso il duodeno (C17)	M + F	0	0	.	.	0 (0-19)	.	0 (.-)	0 (0-0)	.	↓	n.c.	0 
Tumori maligni del colon (C18)	F	<5	<5	.	.	16 (4-57)	.	71 (29-179)	100 (79-124)	.	.	n.c.	1
Tumori maligni del colon (C18)	M	>5	>5	2	137	29 (11-63)	.	94 (46-193)	107 (83-139)	.	.	n.c.	1

Tabella 2A - Camerano	Genere	Osservati	Attesi	Cluster sign.	SIR cluster	Tasso std. * 100000 (ic)	Tasso std. > Tasso reg.	SIR (ic)	BIR (ic)	SIR sign.	BIR sign.	Trend	Livello attenzione
Causa (ICD-IX)													
Tumori maligni del colon (C18)	M + F	8	10	.	.	22 (11-47)	.	84 (47-149)	105 (82-132)	.	.	n.c.	1
Tumori maligni del retto, della giunzione retto-sigmoidea e dell'ano (C19-C21)	F	<5	<5	.	.	11 (2-51)	.	173 (57-523)	106 (63-181)	.	.	n.c.	1
Tumori maligni del retto, della giunzione retto-sigmoidea e dell'ano (C19-C21)	M	<5	<5	.	.	24 (8-57)	.	212 (95-473)	101 (61-179)	.	.	n.c.	1
Tumori maligni del retto, della giunzione retto-sigmoidea e dell'ano (C19-C21)	M + F	6	3	.	.	17 (7-41)	.	197 (102-382)	109 (76-167)	↑	.	n.c.	3 😊
Tumore fegato e dotti biliari (C22)	F	<5	<5	.	.	16 (4-58)	.	233 (93-582)	107 (79-151)	.	.	n.c.	1
Tumore fegato e dotti biliari (C22)	M	<5	<5	.	.	18 (5-48)	.	143 (57-359)	97 (66-147)	.	.	n.c.	1
Tumore fegato e dotti biliari (C22)	M + F	6	3	.	.	17 (7-41)	.	177 (92-343)	111 (78-162)	.	.	n.c.	1
Tumori maligni del pancreas (C25)	F	<5	<5	.	.	16 (4-58)	.	92 (37-231)	101 (83-121)	.	.	n.c.	1
Tumori maligni del pancreas (C25)	M	<5	<5	.	.	16 (4-44)	.	92 (37-230)	99 (80-120)	.	.	n.c.	1
Tumori maligni del pancreas (C25)	M + F	6	7	.	.	16 (7-39)	.	92 (48-178)	99 (81-118)	.	.	n.c.	1
Tumore del retroperitoneo (C48)	F	0	0	.	.	0 (0-37)	.	0 (.-)	102 (55-178)	.	.	n.c.	1
Tumore del retroperitoneo (C48)	M	0	0	.	.	0 (0-21)	.	0 (.-)	59 (21-159)	.	.	n.c.	1
Tumore del retroperitoneo (C48)	M + F	0	0	.	.	0 (0-19)	.	0 (.-)	86 (51-130)	.	.	n.c.	1
Tumori maligni della laringe (C32)	F	0	0	.	.	0 (0-37)	.	0 (.-)	74 (21-184)	.	.	n.c.	1
Tumori maligni della laringe (C32)	M	0	1	.	.	0 (0-21)	.	0 (.-)	85 (51-133)	.	.	n.c.	1
Tumori maligni della laringe (C32)	M + F	0	1	.	.	0 (0-19)	.	0 (.-)	87 (52-135)	.	.	n.c.	1

Tabella 2A - Camerano													
Causa (ICD-IX)	Genere	Osservati	Attesi	Cluster sign.	SIR cluster	Tasso std. * 100000 (ic)	Tasso std. > Tasso reg.	SIR (ic)	BIR (ic)	SIR sign.	BIR sign.	Trend	Livello attenzione
Tumori maligni della trachea, dei bronchi e dei polmoni (C33-C34)	F	<5	<5	.	.	22 (7-65)	.	102 (46-228)	93 (64-131)	.	.	n.c.	1
Tumori maligni della trachea, dei bronchi e dei polmoni (C33-C34)	M	>5	>5	.	.	74 (44-120)	.	102 (65-161)	93 (78-111)	.	.	n.c.	1
Tumori maligni della trachea, dei bronchi e dei polmoni (C33-C34)	M + F	17	17	.	.	48 (30-77)	.	102 (69-152)	97 (81-116)	.	.	→	1
Mesotelioma (pleura, peritoneo, endocardio, ecc.) (C45)	F	0	0	.	.	0 (0-37)	.	0 (.-.)	77 (31-152)	.	.	n.c.	1
Mesotelioma (pleura, peritoneo, endocardio, ecc.) (C45)	M	0	0	.	.	0 (0-21)	.	0 (.-.)	85 (26-226)	.	.	n.c.	1
Mesotelioma (pleura, peritoneo, endocardio, ecc.) (C45)	M + F	0	1	.	.	0 (0-19)	.	0 (.-.)	82 (34-162)	.	.	n.c.	1
Tumori maligni delle ossa e della cartilagine articolare (C40-C41)	F	0	0	.	.	0 (0-37)	.	0 (.-.)	54 (12-153)	.	.	n.c.	1
Tumori maligni delle ossa e della cartilagine articolare (C40-C41)	M	0	0	.	.	0 (0-21)	.	0 (.-.)	73 (18-205)	.	.	n.c.	1
Tumori maligni delle ossa e della cartilagine articolare (C40-C41)	M + F	0	0	.	.	0 (0-19)	.	0 (.-.)	72 (18-179)	.	.	n.c.	1
Tumori maligni del connettivo e di altri tessuti molli (C49)	F	0	0	.	.	0 (0-37)	.	0 (.-.)	84 (48-135)	.	.	n.c.	1
Tumori maligni del connettivo e di altri tessuti molli (C49)	M	<5	<5	.	.	6 (0-30)	.	334 (75-1497)	111 (70-178)	.	.	n.c.	1
Tumori maligni del connettivo e di altri tessuti molli (C49)	M + F	<5	<5	.	.	3 (0-23)	.	178 (40-797)	100 (68-149)	.	.	n.c.	1
Melanoma maligno della pelle (C43)	F	<5	<5	.	.	6 (0-45)	.	210 (47-940)	104 (68-156)	.	.	n.c.	1
Melanoma maligno della pelle (C43)	M	0	1	.	.	0 (0-21)	.	0 (.-.)	102 (65-148)	.	.	n.c.	1
Melanoma maligno della pelle (C43)	M + F	<5	<5	.	.	3 (0-23)	.	88 (20-394)	105 (76-144)	.	.	n.c.	1
Tumori maligni della mammella (C50)	F	5	6	.	.	27 (11-72)	.	82 (40-168)	93 (75-115)	.	.	n.c.	1

Tabella 2A - Camerano	Genere	Osservati	Attesi	Cluster sign.	SIR cluster	Tasso std. * 100000 (ic)	Tasso std. > Tasso reg.	SIR (ic)	BIR (ic)	SIR sign.	BIR sign.	Trend	Livello attenzione
Causa (ICD-IX)													
Tumori maligni della mammella (C50)	M + F	5	6	.	.	14 (5-37)	.	81 (39-166)	94 (75-116)	.	.	n.c.	1
Tumori maligni dell'utero (C53-C55)	F	<5	<5	.	.	17 (5-60)	.	166 (66-416)	109 (81-151)	.	.	n.c.	1
Tumori maligni del corpo dell'utero (C54)	F	0	1	.	.	0 (0-37)	.	0 (.-.)	107 (50-190)	.	.	n.c.	1
Tumori maligni dell'ovaio e degli altri annessi uterini (C56-C57)	F	<5	<5	.	.	12 (2-53)	.	112 (37-339)	95 (68-132)	.	.	n.c.	1
Tumore della prostata (C61)	M	6	5	.	.	35 (15-72)	.	125 (65-242)	99 (83-121)	.	.	n.c.	1
Tumore del testicolo (C62)	M	0	0	.	.	0 (0-21)	.	0 (.-.)	76 (13-286)	.	.	n.c.	1
Tumori maligni della vescica (C67)	F	<5	<5	.	.	6 (0-45)	.	187 (42-836)	83 (54-124)	.	.	n.c.	1
Tumori maligni della vescica (C67)	M	0	3	.	.	0 (0-21)	.	0 (.-.)	93 (70-114)	.	.	n.c.	1
Tumori maligni della vescica (C67)	M + F	<5	<5	.	.	3 (0-23)	.	30 (7-135)	95 (78-111)	.	.	n.c.	1
Tumori maligni del rene e di altri e non specificati organi urinari (C64-C66, C68)	F	<5	<5	.	.	5 (0-44)	.	104 (23-466)	95 (53-157)	.	.	n.c.	1
Tumori maligni del rene e di altri e non specificati organi urinari (C64-C66, C68)	M	<5	<5	.	.	5 (0-28)	.	46 (10-208)	108 (73-149)	.	.	n.c.	1
Tumori maligni del rene e di altri e non specificati organi urinari (C64-C66, C68)	M + F	<5	<5	.	.	5 (1-25)	.	64 (21-194)	103 (73-140)	.	.	n.c.	1
tumore del sistema nervoso centrale (C70-C72,D33)	F	<5	<5	.	.	5 (0-44)	.	98 (22-441)	100 (69-138)	.	.	n.c.	1
tumore del sistema nervoso centrale (C70-C72,D33)	M	<5	<5	.	.	12 (2-40)	.	160 (53-483)	91 (59-144)	.	.	n.c.	1
tumore del sistema nervoso centrale (C70-C72,D33)	M + F	<5	<5	.	.	9 (2-30)	.	132 (53-331)	95 (76-118)	.	.	n.c.	1
Tumori maligni dell'encefalo (C71)	F	<5	<5	.	.	5 (0-44)	.	101 (23-453)	105 (79-134)	.	.	n.c.	1

Tabella 2A - Camerano	Genere	Osservati	Attesi	Cluster sign.	SIR cluster	Tasso std. * 100000 (ic)	Tasso std. > Tasso reg.	SIR (ic)	BIR (ic)	SIR sign.	BIR sign.	Trend	Livello attenzione
Causa (ICD-IX)													
Tumori maligni dell'encefalo (C71)	M	<5	<5	.	.	12 (2-40)	.	163 (54-493)	89 (60-137)	.	.	n.c.	1
Tumori maligni dell'encefalo (C71)	M + F	<5	<5	.	.	9 (2-30)	.	135 (54-339)	96 (80-116)	.	.	n.c.	1
Tumori maligni della ghiandola tiroide (C73)	F	0	0	.	.	0 (0-37)	.	0 (.-.)	52 (22-104)	.	.	n.c.	1
Tumori maligni della ghiandola tiroide (C73)	M	0	0	.	.	0 (0-21)	.	0 (.-.)	85 (45-143)	.	.	n.c.	1
Tumori maligni della ghiandola tiroide (C73)	M + F	0	0	.	.	0 (0-19)	.	0 (.-.)	69 (38-110)	.	.	n.c.	1
Tumori emolinfopoiетici (C81-C96)	F	5	4	.	.	29 (11-75)	.	123 (60-253)	98 (84-117)	.	.	n.c.	1
Tumori emolinfopoiетici (C81-C96)	M	5	5	.	.	28 (11-62)	.	106 (52-219)	95 (82-109)	.	.	n.c.	1
Tumori emolinfopoiетici (C81-C96)	M + F	10	9	.	.	29 (16-55)	.	114 (68-191)	97 (87-110)	.	.	n.c.	1
Malattia di Hodgkin (C81)	F	0	0	.	.	0 (0-37)	.	0 (.-.)	84 (24-246)	.	.	n.c.	1
Malattia di Hodgkin (C81)	M	0	0	.	.	0 (0-21)	.	0 (.-.)	78 (30-158)	.	.	n.c.	1
Malattia di Hodgkin (C81)	M + F	0	0	.	.	0 (0-19)	.	0 (.-.)	81 (33-168)	.	.	n.c.	1
Linfoma non Hodgkin (C82-C85)	F	<5	<5	.	.	6 (0-46)	.	70 (16-316)	106 (80-139)	.	.	n.c.	1
Linfoma non Hodgkin (C82-C85)	M	0	1	.	.	0 (0-21)	.	0 (.-.)	85 (67-105)	.	.	n.c.	1
Linfoma non Hodgkin (C82-C85)	M + F	<5	<5	.	.	3 (0-23)	.	35 (8-158)	94 (73-116)	.	.	n.c.	1
Mieloma multiplo e tumori immunoproliferativi (C88, C90)	F	<5	<5	.	.	6 (0-46)	.	98 (22-440)	90 (56-122)	.	.	n.c.	1
Mieloma multiplo e tumori immunoproliferativi (C88, C90)	M	<5	<5	.	.	11 (2-37)	.	172 (57-520)	96 (63-141)	.	.	n.c.	1





Tabella 2A - Camerano	Genere	Osservati	Attesi	Cluster sign.	SIR cluster	Tasso std. * 100000 (ic)	Tasso std. > Tasso reg.	SIR (ic)	BIR (ic)	SIR sign.	BIR sign.	Trend	Livello attenzione
Causa (ICD-IX)													
Mieloma multiplo e tumori immunoproliferativi (C88, C90)	M + F	<5	<5	.	.	8 (2-30)	.	137 (55-344)	89 (56-129)	.	.	n.c.	1
Leucemie (C91-C95)	F	<5	<5	.	.	17 (5-59)	.	204 (81-509)	98 (72-142)	.	.	n.c.	1
Leucemie (C91-C95)	M	<5	<5	.	.	18 (5-48)	.	155 (62-387)	104 (74-157)	.	.	n.c.	1
Leucemie (C91-C95)	M + F	6	3	.	.	17 (7-41)	.	176 (91-340)	100 (83-130)	.	.	n.c.	1
Leucemia linfoide (acuta e cronica) (C91)	F	0	0	.	.	0 (0-37)	.	0 (-.)	67 (43-97)	.	↓	n.c.	0 
Leucemia linfoide (acuta e cronica) (C91)	M	<5	<5	.	.	6 (0-30)	.	158 (35-710)	84 (57-126)	.	.	n.c.	1
Leucemia linfoide (acuta e cronica) (C91)	M + F	<5	<5	.	.	3 (0-23)	.	104 (23-467)	78 (60-101)	.	.	n.c.	1
Leucemia mieloide (acuta e cronica) (C92)	F	<5	<5	.	.	10 (2-51)	.	278 (92-839)	102 (72-156)	.	.	n.c.	1
Leucemia mieloide (acuta e cronica) (C92)	M	<5	<5	.	.	12 (2-40)	.	205 (68-620)	116 (78-192)	.	.	n.c.	1
Leucemia mieloide (acuta e cronica) (C92)	M + F	<5	<5	.	.	11 (4-33)	.	236 (106-526)	119 (84-179)	↑	.	n.c.	3 
Malattie del sangue e degli organi emopoietici (D50-D77)	F	<5	<5	.	.	17 (5-60)	.	368 (147-920)	96 (66-191)	↑	.	n.c.	3 
Malattie del sangue e degli organi emopoietici (D50-D77)	M	<5	<5	.	.	6 (0-31)	.	139 (31-623)	102 (73-146)	.	.	n.c.	1
Malattie del sangue e degli organi emopoietici (D50-D77)	M + F	<5	<5	.	.	12 (4-34)	.	260 (117-580)	99 (76-149)	↑	.	n.c.	3 
Malattie endocrine, della nutrizione ed immunitarie (E00-E90, D80-D89)	F	9	8	.	.	57 (29-111)	.	115 (67-198)	106 (81-139)	.	.	→	1
Malattie endocrine, della nutrizione ed immunitarie (E00-E90, D80-D89)	M	10	7	.	.	60 (33-103)	.	155 (92-259)	116 (86-157)	.	.	n.c.	1
Malattie endocrine, della nutrizione ed immunitarie (E00-E90, D80-D89)	M + F	19	14	.	.	58 (38-91)	.	133 (92-194)	116 (90-148)	.	.	→	1

Tabella 2A - Camerano	Genere	Osservati	Attesi	Cluster sign.	SIR cluster	Tasso std. * 100000 (ic)	Tasso std. > Tasso reg.	SIR (ic)	BIR (ic)	SIR sign.	BIR sign.	Trend	Livello attenzione
Causa (ICD-IX)													
Tireotossicosi (E05)	F	0	0	.	.	0 (0-37)	.	0 (.-.)	57 (14-166)	.	.	n.c.	1
Tireotossicosi (E05)	M	0	0	.	.	0 (0-21)	.	0 (.-.)	31 (0-190)	.	.	n.c.	1
Tireotossicosi (E05)	M + F	0	0	.	.	0 (0-19)	.	0 (.-.)	57 (14-145)	.	.	n.c.	1
Ipotiroidismo (E00-E03)	F	0	0	.	.	0 (0-37)	.	0 (.-.)	89 (21-238)	.	.	n.c.	1
Ipotiroidismo (E00-E03)	M	0	0	.	.	0 (0-21)	.	0 (.-.)	101 (19-280)	.	.	n.c.	1
Ipotiroidismo (E00-E03)	M + F	0	0	.	.	0 (0-19)	.	0 (.-.)	102 (31-215)	.	.	n.c.	1
Diabete mellito (E10-E14)	F	6	6	.	.	37 (16-85)	.	106 (55-204)	103 (76-141)	.	.	n.c.	1
Diabete mellito (E10-E14)	M	7	5	.	.	42 (20-81)	.	147 (80-271)	113 (79-160)	.	.	n.c.	1
Diabete mellito (E10-E14)	M + F	13	10	.	.	39 (23-68)	.	124 (79-196)	111 (83-148)	.	.	n.c.	1
Demenze (F00-F01, F020-F023, F03, G30, G310)	F	18	12	.	.	112 (72-176)	↑	151 (103-222)	125 (91-173)	↑	.	→	3 😞
Demenze (F00-F01, F020-F023, F03, G30, G310)	M	9	7	1	150	52 (27-92)	.	128 (75-220)	119 (83-170)	.	.	n.c.	1
Demenze (F00-F01, F020-F023, F03, G30, G310)	M + F	27	19	1	129	82 (58-119)	↑	142 (104-195)	129 (99-167)	↑	.	→	3 😞
Malattie neuro-psichiatriche (escluse tossicod.) (F00-F09, F20-F99)	F	7	7	.	.	43 (20-94)	.	94 (51-174)	91 (54-147)	.	.	n.c.	1
Malattie neuro-psichiatriche (escluse tossicod.) (F00-F09, F20-F99)	M	6	5	.	.	35 (15-71)	.	132 (68-255)	108 (63-177)	.	.	n.c.	1
Malattie neuro-psichiatriche (escluse tossicod.) (F00-F09, F20-F99)	M + F	13	12	.	.	39 (23-68)	.	109 (69-171)	103 (68-154)	.	.	→	1
Malattie del sistema nervoso e degli organi di senso (G00-H95)	F	15	9	2	137	91 (56-151)	↑	176 (115-268)	122 (94-160)	↑	.	n.c.	3 😞




Tabella 2A - Camerano	Genere	Osservati	Attesi	Cluster sign.	SIR cluster	Tasso std. * 100000 (ic)	Tasso std. > Tasso reg.	SIR (ic)	BIR (ic)	SIR sign.	BIR sign.	Trend	Livello attenzione
Causa (ICD-IX)													
Malattie del sistema nervoso e degli organi di senso (G00-H95)	M	10	7	2	141	56 (30-97)	.	141 (84-235)	118 (90-154)	.	.	n.c.	1
Malattie del sistema nervoso e degli organi di senso (G00-H95)	M + F	25	16	2	139	74 (51-109)	↑	160 (115-222)	124 (100-154)	↑	.	→	3 
Morbo di Parkinson (G20)	F	<5	<5	.	.	5 (0-44)	.	71 (16-320)	103 (66-148)	.	.	n.c.	1
Morbo di Parkinson (G20)	M	<5	<5	.	.	11 (2-38)	.	136 (45-412)	95 (69-132)	.	.	n.c.	1
Morbo di Parkinson (G20)	M + F	<5	<5	.	.	8 (2-29)	.	105 (42-262)	100 (74-135)	.	.	n.c.	1
Malattia di Alzheimer (G30)	F	>5	>5	2	167	74 (42-131)	↑	250 (156-401)	166 (111-244)	↑	↑	n.c.	5 
Malattia di Alzheimer (G30)	M	<5	<5	2	187	22 (7-52)	.	145 (65-323)	127 (77-204)	.	.	n.c.	1
Malattia di Alzheimer (G30)	M + F	16	8	2	173	48 (30-79)	↑	212 (141-319)	164 (119-228)	↑	↑	→	5 
Epilessia (G40)	F	0	0	.	.	0 (0-37)	.	0 (-.)	69 (35-127)	.	.	n.c.	1
Epilessia (G40)	M	<5	<5	.	.	6 (0-31)	.	368 (82-1651)	102 (58-174)	.	.	n.c.	1
Epilessia (G40)	M + F	<5	<5	.	.	3 (0-23)	.	217 (48-972)	88 (49-160)	.	.	n.c.	1
Malattia dei neuroni motori (G122)	F	0	1	.	.	0 (0-37)	.	0 (-.)	83 (26-216)	.	.	n.c.	1
Malattia dei neuroni motori (G122)	M	0	1	.	.	0 (0-21)	.	0 (-.)	101 (51-177)	.	.	n.c.	1
Malattia dei neuroni motori (G122)	M + F	0	1	.	.	0 (0-19)	.	0 (-.)	83 (34-176)	.	.	n.c.	1
Sclerosi multipla (G35)	F	0	0	.	.	0 (0-37)	.	0 (-.)	71 (33-133)	.	.	n.c.	1
Sclerosi multipla (G35)	M	0	0	.	.	0 (0-21)	.	0 (-.)	54 (7-167)	.	.	n.c.	1

Tabella 2A - Camerano													
Causa (ICD-IX)	Genere	Osservati	Attesi	Cluster sign.	SIR cluster	Tasso std. * 100000 (ic)	Tasso std. > Tasso reg.	SIR (ic)	BIR (ic)	SIR sign.	BIR sign.	Trend	Livello attenzione
Sclerosi multipla (G35)	M + F	0	0	.	.	0 (0-19)	.	0 (.-.)	69 (37-117)	.	.	n.c.	1
Neuropatie tossiche e infiammatorie non specificate (G619, G629)	F	0	0	.	.	0 (0-37)	.	0 (.-.)	13 (0-125)	.	.	n.c.	1
Neuropatie tossiche e infiammatorie non specificate (G619, G629)	M	0	0	.	.	0 (0-21)	.	0 (.-.)	121 (26-377)	.	.	n.c.	1
Neuropatie tossiche e infiammatorie non specificate (G619, G629)	M + F	0	0	.	.	0 (0-19)	.	0 (.-.)	80 (14-248)	.	.	n.c.	1
Malattie dell'apparato circolatorio (I00-I99)	F	75	74	.	.	455 (371-561)	.	102 (84-123)	102 (91-113)	.	.	→	1
Malattie dell'apparato circolatorio (I00-I99)	M	57	67	.	.	320 (253-401)	.	85 (68-105)	95 (84-106)	.	.	→	1
Malattie dell'apparato circolatorio (I00-I99)	M + F	132	141	.	.	389 (334-454)	.	94 (81-108)	97 (88-107)	.	.	→	1
Malattia ipertensiva (I10-I15)	F	>5	>5	.	.	55 (28-108)	.	118 (69-203)	104 (69-152)	.	.	n.c.	1
Malattia ipertensiva (I10-I15)	M	<5	>5	.	.	24 (8-56)	.	72 (32-160)	83 (50-131)	.	.	n.c.	1
Malattia ipertensiva (I10-I15)	M + F	13	13	.	.	39 (23-69)	.	99 (63-155)	95 (66-135)	.	.	n.c.	1
Malattie ischemiche del cuore (I20-I25)	F	27	25	.	.	166 (116-240)	.	108 (79-148)	106 (84-133)	.	.	→	1
Malattie ischemiche del cuore (I20-I25)	M	25	27	.	.	140 (97-198)	.	93 (67-128)	95 (78-116)	.	.	→	1
Malattie ischemiche del cuore (I20-I25)	M + F	52	52	.	.	153 (120-199)	.	100 (80-126)	100 (84-120)	.	.	→	1
Infarto miocardico acuto (I21-I22)	F	11	7	.	.	66 (37-121)	.	153 (94-250)	125 (85-184)	.	.	→	1
Infarto miocardico acuto (I21-I22)	M	10	9	.	.	57 (31-100)	.	113 (67-188)	86 (60-123)	.	.	→	1
Infarto miocardico acuto (I21-I22)	M + F	21	16	.	.	62 (41-94)	.	131 (91-187)	112 (82-152)	.	.	→	1





Tabella 2A - Camerano	Genere	Osservati	Attesi	Cluster sign.	SIR cluster	Tasso std. * 100000 (ic)	Tasso std. > Tasso reg.	SIR (ic)	BIR (ic)	SIR sign.	BIR sign.	Trend	Livello attenzione
Causa (ICD-IX)													
Malattie cerebrovascolari (I60-I69)	F	24	20	.	.	144 (99-214)	.	123 (88-172)	101 (80-126)	.	.	→	1
Malattie cerebrovascolari (I60-I69)	M	16	17	.	.	93 (58-143)	.	93 (62-139)	94 (75-117)	.	.	→	1
Malattie cerebrovascolari (I60-I69)	M + F	40	37	.	.	119 (90-160)	.	109 (84-141)	99 (82-120)	.	.	→	1
Malattie dell'apparato respiratorio (J00-J99)	F	<5	>5	.	.	26 (9-72)	.	39 (18-88)	78 (58-102)	↓	.	n.c.	0 
Malattie dell'apparato respiratorio (J00-J99)	M	>5	>5	.	.	52 (27-93)	.	59 (35-102)	85 (67-106)	.	.	n.c.	1
Malattie dell'apparato respiratorio (J00-J99)	M + F	13	25	.	.	39 (23-67)	.	51 (33-81)	76 (60-95)	↓	↓	n.c.	0 
Malattie respiratorie acute (J00-J06, J10-J18, J20-J22)	F	<5	<5	.	.	21 (6-66)	.	99 (40-248)	99 (61-155)	.	.	n.c.	1
Malattie respiratorie acute (J00-J06, J10-J18, J20-J22)	M	<5	<5	.	.	25 (9-59)	.	124 (56-275)	104 (57-178)	.	.	n.c.	1
Malattie respiratorie acute (J00-J06, J10-J18, J20-J22)	M + F	7	6	.	.	23 (11-49)	.	112 (61-206)	99 (63-154)	.	.	n.c.	1
Malattie croniche dell'apparato respiratorio (BCPO) (J41-J44, J47)	F	<5	<5	.	.	5 (0-44)	.	26 (6-115)	69 (42-105)	.	.	n.c.	1
Malattie croniche dell'apparato respiratorio (BCPO) (J41-J44, J47)	M	<5	>5	.	.	12 (2-39)	.	25 (8-76)	77 (56-102)	↓	.	n.c.	0 
Malattie croniche dell'apparato respiratorio (BCPO) (J41-J44, J47)	M + F	<5	>5	.	.	8 (2-30)	.	25 (10-63)	67 (47-91)	↓	↓	n.c.	0 
Asma (J45)	F	0	0	.	.	0 (0-37)	.	0 (.-.)	105 (35-243)	.	.	n.c.	1
Asma (J45)	M	0	0	.	.	0 (0-21)	.	0 (.-.)	104 (26-251)	.	.	n.c.	1
Asma (J45)	M + F	0	0	.	.	0 (0-19)	.	0 (.-.)	113 (53-187)	.	.	n.c.	1
Pneumoconiosi (J60-J64)	M	0	0	.	.	0 (0-21)	.	0 (.-.)	23 (3-109)	.	.	n.c.	1

Tabella 2A - Camerano	Genere	Osservati	Attesi	Cluster sign.	SIR cluster	Tasso std. * 100000 (ic)	Tasso std. > Tasso reg.	SIR (ic)	BIR (ic)	SIR sign.	BIR sign.	Trend	Livello attenzione
Causa (ICD-IX)													
Pneumoconiosi (J60-J64)	M + F	0	0	.	.	0 (0-19)	.	0 (-.)	23 (3-109)	.	.	n.c.	1
Malattie dell'apparato digerente (K00-K93)	F	<5	>5	.	.	12 (2-53)	.	32 (11-97)	94 (77-110)	↓	.	n.c.	0 😊
Malattie dell'apparato digerente (K00-K93)	M	<5	>5	.	.	25 (8-58)	.	63 (28-141)	98 (82-119)	.	.	n.c.	1
Malattie dell'apparato digerente (K00-K93)	M + F	6	13	.	.	18 (8-43)	.	48 (25-93)	95 (77-113)	↓	.	n.c.	0 😊
Cirrosi e altre malattie croniche del fegato (K70, K73-K74)	F	0	1	.	.	0 (0-37)	.	0 (-.)	73 (41-113)	.	.	n.c.	1
Cirrosi e altre malattie croniche del fegato (K70, K73-K74)	M	<5	<5	.	.	6 (0-31)	.	55 (12-247)	96 (73-120)	.	.	n.c.	1
Cirrosi e altre malattie croniche del fegato (K70, K73-K74)	M + F	<5	<5	.	.	3 (0-23)	.	40 (9-179)	87 (62-112)	.	.	n.c.	1
Nefropatie croniche e acute (N00-N12)	F	0	0	.	.	0 (0-37)	.	0 (-.)	100 (38-208)	.	.	n.c.	1
Nefropatie croniche e acute (N00-N12)	M	<5	<5	.	.	6 (0-31)	.	1230 (274-5512)	151 (54-405)	↑	.	n.c.	1
Nefropatie croniche e acute (N00-N12)	M + F	<5	<5	.	.	3 (0-23)	.	687 (153-3078)	145 (46-480)	↑	.	n.c.	1
Malattie dell'apparato genito-urinario (N00-N99)	F	9	4	2	148	52 (27-103)	↑	260 (151-447)	142 (101-205)	↑	↑	n.c.	5 😞
Malattie dell'apparato genito-urinario (N00-N99)	M	5	4	.	.	30 (12-65)	.	136 (66-280)	115 (78-171)	.	.	n.c.	1
Malattie dell'apparato genito-urinario (N00-N99)	M + F	14	7	.	.	41 (25-70)	↑	196 (127-303)	135 (101-183)	↑	↑	→	5 😞
Insufficienza renale acuta e cronica (N17-N19)	F	>5	<5	2	142	47 (23-97)	↑	284 (160-504)	131 (95-200)	↑	.	n.c.	3 😐
Insufficienza renale acuta e cronica (N17-N19)	M	<5	<5	.	.	17 (4-46)	.	109 (44-273)	106 (73-153)	.	.	n.c.	1
Insufficienza renale acuta e cronica (N17-N19)	M + F	11	6	2	134	32 (18-59)	↑	198 (121-323)	131 (96-182)	↑	.	n.c.	3 😐

Tabella 2A - Camerano	Genere	Osservati	Attesi	Cluster sign.	SIR cluster	Tasso std. * 100000 (ic)	Tasso std. > Tasso reg.	SIR (ic)	BIR (ic)	SIR sign.	BIR sign.	Trend	Livello attenzione
Causa (ICD-IX)													
Malformazioni congenite (Q00-Q99)	F	0	0	.	.	0 (0-37)	.	0 (.-.)	60 (15-191)	'	'	n.c.	1
Malformazioni congenite (Q00-Q99)	M	0	0	.	.	0 (0-21)	.	0 (.-.)	74 (18-234)	'	'	n.c.	1
Malformazioni congenite (Q00-Q99)	M + F	0	1	.	.	0 (0-19)	.	0 (.-.)	71 (21-191)	'	'	n.c.	1
Sintomi, segni e stati morbosi mal definiti (R00-R99)	F	<5	<5	.	.	27 (7-78)	.	133 (53-334)	127 (53-268)	'	'	n.c.	1
Sintomi, segni e stati morbosi mal definiti (R00-R99)	M	<5	<5	.	.	12 (2-39)	.	138 (46-417)	116 (45-260)	'	'	n.c.	1
Sintomi, segni e stati morbosi mal definiti (R00-R99)	M + F	5	4	.	.	19 (7-47)	.	135 (66-278)	131 (64-244)	'	'	n.c.	1
Traumatismi e avvelenamenti (S00-T98)	F	8	6	.	.	50 (25-102)	.	133 (75-236)	107 (78-146)	'	'	n.c.	1
Traumatismi e avvelenamenti (S00-T98)	M	5	10	.	.	30 (12-65)	.	52 (25-107)	99 (81-114)	'	'	n.c.	1
Traumatismi e avvelenamenti (S00-T98)	M + F	13	16	.	.	40 (24-70)	.	83 (53-131)	99 (81-117)	'	'	→	1

Tabella 3A. Decessi per causa nel comune di Castelfidardo, tutte le età, periodo di osservazione 2009-2013

Tabella 3A - Castelfidardo Causa (ICD-IX)	Genere	Osservati	Attesi	Cluster sign.	SIR cluster	Tasso std. * 100000 (ic)	Tasso std. > Tasso reg.	SIR (ic)	BIR (ic)	SIR sign.	BIR sign.	Trend	Livello attenzione
Mortalità generale (escluse cause violente) (A00-R99)	F	429	398	.	.	1077 (991-1169)	.	108 (100-117)	103 (97-110)	.	.	→	1
Mortalità generale (escluse cause violente) (A00-R99)	M	435	401	.	.	1062 (980-1153)	.	109 (100-118)	104 (98-111)	↑	.	→	3 ☹️
Mortalità generale (escluse cause violente) (A00-R99)	M + F	864	798	1	109	1070 (1010-1133)	.	108 (102-114)	105 (100-110)	↑	.	→	3 ☹️
Mortalità per cause esterne o violente (S00-Y99)	F	19	14	.	.	45 (30-70)	.	132 (90-192)	110 (85-143)	.	.	→	1
Mortalità per cause esterne o violente (S00-Y99)	M	21	23	.	.	48 (32-73)	.	90 (63-128)	100 (85-115)	.	.	→	1
Mortalità per cause esterne o violente (S00-Y99)	M + F	40	38	.	.	47 (35-63)	.	106 (82-137)	102 (87-119)	.	.	→	1
Malattie infettive (A00-B99)	F	11	7	.	.	27 (15-47)	.	170 (104-277)	101 (73-143)	↑	.	n.c.	3 ☹️
Malattie infettive (A00-B99)	M	8	8	.	.	19 (10-39)	.	107 (60-190)	97 (78-120)	.	.	n.c.	1
Malattie infettive (A00-B99)	M + F	19	14	2	136	23 (15-36)	.	136 (94-198)	101 (79-130)	.	.	→	1
Epatite virale (B17-B19)	F	<5	<5	.	.	7 (2-23)	.	361 (144-904)	80 (51-136)	↑	.	n.c.	3 ☹️
Epatite virale (B17-B19)	M	<5	<5	.	.	12 (5-30)	↑	381 (185-782)	106 (67-218)	↑	.	n.c.	3 ☹️
Epatite virale (B17-B19)	M + F	8	2	.	.	9 (5-19)	↑	373 (210-662)	92 (70-153)	↑	.	n.c.	3 ☹️
Tutti i tumori (C00-D48)	F	110	104	.	.	255 (216-301)	.	106 (91-124)	98 (91-106)	.	.	→	1
Tutti i tumori (C00-D48)	M	151	136	.	.	365 (318-421)	.	111 (97-127)	100 (92-109)	.	.	→	1
Tutti i tumori (C00-D48)	M + F	261	240	.	.	309 (278-344)	.	109 (98-121)	100 (93-108)	.	.	→	1
Tumori maligni delle vie aeree e digestive superiori (C00-C15, C32)	F	<5	<5	.	.	5 (1-20)	.	189 (62-570)	75 (51-108)	.	.	n.c.	1




Tabella 3A - Castelfidardo	Genere	Osservati	Attesi	Cluster sign.	SIR cluster	Tasso std. * 100000 (ic)	Tasso std. > Tasso reg.	SIR (ic)	BIR (ic)	SIR sign.	BIR sign.	Trend	Livello attenzione
Causa (ICD-IX)													
Tumori maligni delle vie aeree e digestive superiori (C00-C15, C32)	M	<5	>5	.	.	10 (3-28)	.	76 (34-170)	83 (58-115)	.	.	n.c.	1
Tumori maligni delle vie aeree e digestive superiori (C00-C15, C32)	M + F	6	6	.	.	7 (3-17)	.	95 (49-184)	82 (61-109)	.	.	n.c.	1
Tumori maligni (C00-C97)	F	108	99	.	.	250 (212-296)	.	109 (93-128)	98 (91-107)	.	.	→	1
Tumori maligni (C00-C97)	M	143	130	.	.	346 (299-400)	.	110 (96-126)	100 (92-108)	.	.	→	1
Tumori maligni (C00-C97)	M + F	251	229	.	.	297 (267-331)	.	110 (99-122)	101 (94-108)	.	.	→	1
Tumori maligni dell'esofago (C15)	F	<5	<5	.	.	3 (0-17)	.	380 (85-1705)	78 (34-177)	.	.	n.c.	1
Tumori maligni dell'esofago (C15)	M	<5	<5	.	.	2 (0-18)	.	66 (15-294)	92 (50-148)	.	.	n.c.	1
Tumori maligni dell'esofago (C15)	M + F	<5	<5	.	.	2 (0-11)	.	112 (37-338)	94 (50-165)	.	.	n.c.	1
Tumori maligni dello stomaco (C16)	F	<5	>5	.	.	7 (2-22)	.	36 (15-91)	91 (67-112)	↓	.	n.c.	0 
Tumori maligni dello stomaco (C16)	M	>5	>5	.	.	19 (9-39)	.	72 (41-128)	92 (69-120)	.	.	n.c.	1
Tumori maligni dello stomaco (C16)	M + F	11	19	.	.	13 (7-23)	.	57 (35-93)	83 (65-102)	↓	.	→	0 
Tumori maligni dell'intestino tenue, compreso il duodeno (C17)	F	0	0	.	.	0 (0-13)	.	0 (.-.)	113 (29-283)	.	.	n.c.	1
Tumori maligni dell'intestino tenue, compreso il duodeno (C17)	M	0	0	.	.	0 (0-15)	.	0 (.-.)	52 (15-127)	.	.	n.c.	1
Tumori maligni dell'intestino tenue, compreso il duodeno (C17)	M + F	0	0	.	.	0 (0-7)	.	0 (.-.)	0 (0-0)	.	↓	n.c.	0 
Tumori maligni del colon (C18)	F	12	10	.	.	27 (16-47)	.	119 (74-190)	104 (84-127)	.	.	n.c.	1
Tumori maligni del colon (C18)	M	15	13	2	137	36 (22-60)	.	120 (79-184)	111 (89-139)	.	.	→	1

Tabella 3A - Castelfidardo	Genere	Osservati	Attesi	Cluster sign.	SIR cluster	Tasso std. * 100000 (ic)	Tasso std. > Tasso reg.	SIR (ic)	BIR (ic)	SIR sign.	BIR sign.	Trend	Livello attenzione
Causa (ICD-IX)													
Tumori maligni del colon (C18)	M + F	27	23	.	.	32 (22-45)	.	120 (87-164)	112 (93-135)	.	.	→	1
Tumori maligni del retto, della giunzione retto-sigmoidea e dell'ano (C19-C21)	F	>5	<5	.	.	14 (6-32)	.	216 (112-417)	112 (74-180)	↑	.	n.c.	3 😞
Tumori maligni del retto, della giunzione retto-sigmoidea e dell'ano (C19-C21)	M	<5	>5	.	.	10 (3-28)	.	90 (40-200)	84 (53-133)	.	.	n.c.	1
Tumori maligni del retto, della giunzione retto-sigmoidea e dell'ano (C19-C21)	M + F	10	7	.	.	12 (7-23)	.	138 (83-231)	104 (76-149)	.	.	→	1
Tumore fegato e dotti biliari (C22)	F	5	3	.	.	11 (4-28)	.	163 (79-335)	106 (81-146)	.	.	n.c.	1
Tumore fegato e dotti biliari (C22)	M	9	5	.	.	22 (11-43)	.	179 (104-307)	103 (74-148)	↑	.	n.c.	3 😞
Tumore fegato e dotti biliari (C22)	M + F	14	8	.	.	16 (10-28)	.	173 (112-267)	112 (84-155)	↑	.	n.c.	3 😞
Tumori maligni del pancreas (C25)	F	>5	>5	.	.	21 (11-40)	.	117 (68-201)	102 (85-123)	.	.	n.c.	1
Tumori maligni del pancreas (C25)	M	<5	>5	.	.	9 (3-27)	.	52 (23-115)	96 (76-114)	.	.	n.c.	1
Tumori maligni del pancreas (C25)	M + F	13	16	.	.	15 (9-26)	.	84 (54-132)	98 (81-114)	.	.	↓	0 😊
Tumore del retroperitoneo (C48)	F	<5	<5	.	.	2 (0-16)	.	243 (54-1089)	105 (58-181)	.	.	n.c.	1
Tumore del retroperitoneo (C48)	M	<5	<5	.	.	2 (0-18)	.	531 (118-2379)	65 (26-169)	↑	.	n.c.	1
Tumore del retroperitoneo (C48)	M + F	<5	<5	.	.	2 (0-10)	.	333 (110-1007)	89 (56-141)	↑	.	n.c.	3 😞
Tumori maligni della laringe (C32)	F	<5	<5	.	.	3 (0-17)	.	865 (193-3879)	81 (27-215)	↑	.	n.c.	1
Tumori maligni della laringe (C32)	M	<5	<5	.	.	5 (1-22)	.	120 (40-362)	85 (53-127)	.	.	n.c.	1
Tumori maligni della laringe (C32)	M + F	<5	<5	.	.	4 (1-12)	.	168 (67-421)	88 (57-131)	.	.	n.c.	1

Tabella 3A - Castelfidardo	Genere	Osservati	Attesi	Cluster sign.	SIR cluster	Tasso std. * 100000 (ic)	Tasso std. > Tasso reg.	SIR (ic)	BIR (ic)	SIR sign.	BIR sign.	Trend	Livello attenzione
Causa (ICD-IX)													
Tumori maligni della trachea, dei bronchi e dei polmoni (C33-C34)	F	8	10	.	.	18 (9-36)	.	84 (47-149)	88 (62-117)	,	,	n.c.	1
Tumori maligni della trachea, dei bronchi e dei polmoni (C33-C34)	M	35	30	.	.	85 (63-116)	.	116 (88-153)	97 (83-114)	,	,	→	1
Tumori maligni della trachea, dei bronchi e dei polmoni (C33-C34)	M + F	43	40	.	.	51 (39-67)	.	108 (84-139)	98 (85-114)	,	,	→	1
Mesotelioma (pleura, peritoneo, endocardio, ecc.) (C45)	F	<5	<5	.	.	2 (0-16)	.	239 (53-1071)	83 (38-170)	,	,	n.c.	1
Mesotelioma (pleura, peritoneo, endocardio, ecc.) (C45)	M	<5	<5	.	.	2 (0-18)	.	124 (28-554)	72 (27-162)	,	,	n.c.	1
Mesotelioma (pleura, peritoneo, endocardio, ecc.) (C45)	M + F	<5	<5	.	.	2 (0-10)	.	163 (54-492)	80 (41-150)	,	,	n.c.	1
Tumori maligni delle ossa e della cartilagine articolare (C40-C41)	F	0	0	.	.	0 (0-13)	.	0 (.-.)	54 (11-148)	,	,	n.c.	1
Tumori maligni delle ossa e della cartilagine articolare (C40-C41)	M	0	0	.	.	0 (0-15)	.	0 (.-.)	74 (19-193)	,	,	n.c.	1
Tumori maligni delle ossa e della cartilagine articolare (C40-C41)	M + F	0	1	.	.	0 (0-7)	.	0 (.-.)	68 (17-159)	,	,	n.c.	1
Tumori maligni del connettivo e di altri tessuti molli (C49)	F	0	1	.	.	0 (0-13)	.	0 (.-.)	83 (47-131)	,	,	n.c.	1
Tumori maligni del connettivo e di altri tessuti molli (C49)	M	<5	<5	.	.	2 (0-18)	.	134 (30-600)	109 (70-174)	,	,	n.c.	1
Tumori maligni del connettivo e di altri tessuti molli (C49)	M + F	<5	<5	.	.	1 (0-9)	.	73 (16-326)	101 (71-148)	,	,	n.c.	1
Melanoma maligno della pelle (C43)	F	<5	<5	.	.	3 (0-18)	.	87 (19-390)	102 (67-148)	,	,	n.c.	1
Melanoma maligno della pelle (C43)	M	<5	<5	.	.	2 (0-18)	.	62 (14-277)	102 (66-147)	,	,	n.c.	1
Melanoma maligno della pelle (C43)	M + F	<5	<5	.	.	3 (0-11)	.	72 (24-218)	104 (76-138)	,	,	n.c.	1
Tumori maligni della mammella (C50)	F	19	15	.	.	43 (28-66)	.	128 (88-186)	98 (82-118)	,	,	→	1

Tabella 3A - Castelfidardo	Genere	Osservati	Attesi	Cluster sign.	SIR cluster	Tasso std. * 100000 (ic)	Tasso std. > Tasso reg.	SIR (ic)	BIR (ic)	SIR sign.	BIR sign.	Trend	Livello attenzione
Causa (ICD-IX)													
Tumori maligni della mammella (C50)	M + F	19	15	.	.	22 (14-34)	.	126 (87-184)	98 (81-120)	.	.	→	1
Tumori maligni dell'utero (C53-C55)	F	6	4	.	.	14 (6-31)	.	137 (71-265)	109 (83-148)	.	.	n.c.	1
Tumori maligni del corpo dell'utero (C54)	F	<5	<5	.	.	7 (2-22)	.	243 (97-607)	126 (73-242)	.	.	n.c.	1
Tumori maligni dell'ovaio e degli altri annessi uterini (C56-C57)	F	<5	<5	.	.	7 (2-22)	.	70 (28-176)	93 (65-119)	.	.	n.c.	1
Tumore della prostata (C61)	M	13	11	.	.	32 (19-55)	.	119 (76-187)	101 (85-121)	.	.	→	1
Tumore del testicolo (C62)	M	<5	<5	.	.	2 (0-17)	.	1530 (341-6860)	81 (16-299)	↑	.	n.c.	1
Tumori maligni della vescica (C67)	F	<5	<5	.	.	2 (0-17)	.	78 (17-350)	81 (53-116)	.	.	n.c.	1
Tumori maligni della vescica (C67)	M	>5	>5	.	.	20 (10-40)	.	127 (72-226)	96 (77-117)	.	.	n.c.	1
Tumori maligni della vescica (C67)	M + F	9	8	.	.	11 (6-21)	.	119 (69-205)	97 (82-113)	.	.	n.c.	1
Tumori maligni del rene e di altri e non specificati organi urinari (C64-C66, C68)	F	<5	<5	.	.	2 (0-16)	.	44 (10-195)	86 (47-136)	.	.	n.c.	1
Tumori maligni del rene e di altri e non specificati organi urinari (C64-C66, C68)	M	>5	>5	.	.	22 (11-42)	↑	177 (103-304)	121 (91-175)	↑	.	n.c.	3 😊
Tumori maligni del rene e di altri e non specificati organi urinari (C64-C66, C68)	M + F	10	7	.	.	12 (6-22)	.	135 (81-226)	113 (86-152)	.	.	n.c.	1
tumore del sistema nervoso centrale (C70-C72,D33)	F	<5	<5	.	.	7 (2-22)	.	123 (49-307)	101 (72-138)	.	.	n.c.	1
tumore del sistema nervoso centrale (C70-C72,D33)	M	<5	<5	.	.	5 (1-21)	.	64 (21-195)	83 (52-122)	.	.	n.c.	1
tumore del sistema nervoso centrale (C70-C72,D33)	M + F	5	6	.	.	6 (2-15)	.	90 (44-185)	94 (75-115)	.	.	n.c.	1
Tumori maligni dell'encefalo (C71)	F	<5	<5	.	.	7 (2-22)	.	126 (50-314)	105 (81-134)	.	.	n.c.	1

Tabella 3A - Castelfidardo	Genere	Osservati	Attesi	Cluster sign.	SIR cluster	Tasso std. * 100000 (ic)	Tasso std. > Tasso reg.	SIR (ic)	BIR (ic)	SIR sign.	BIR sign.	Trend	Livello attenzione
Causa (ICD-IX)													
Tumori maligni dell'encefalo (C71)	M	<5	<5	.	.	5 (1-21)	.	66 (22-199)	86 (56-119)	'	'	n.c.	1
Tumori maligni dell'encefalo (C71)	M + F	5	5	.	.	6 (2-15)	.	92 (45-189)	95 (79-114)	'	'	n.c.	1
Tumori maligni della ghiandola tiroide (C73)	F	<5	<5	.	.	4 (0-21)	.	441 (98-1979)	55 (26-112)	'	'	n.c.	1
Tumori maligni della ghiandola tiroide (C73)	M	0	0	.	.	0 (0-15)	.	0 (.-.)	84 (45-142)	'	'	n.c.	1
Tumori maligni della ghiandola tiroide (C73)	M + F	<5	<5	.	.	2 (0-11)	.	186 (42-835)	71 (40-113)	'	'	n.c.	1
Tumori emolinfopoiетici (C81-C96)	F	14	10	.	.	32 (19-54)	.	145 (94-225)	99 (86-117)	'	'	n.c.	1
Tumori emolinfopoiетici (C81-C96)	M	14	11	.	.	34 (20-57)	.	126 (81-194)	96 (83-110)	'	'	n.c.	1
Tumori emolinfopoiетici (C81-C96)	M + F	28	21	.	.	33 (23-47)	.	135 (99-184)	98 (89-111)	'	'	→	1
Malattia di Hodgkin (C81)	F	0	0	.	.	0 (0-13)	.	0 (.-.)	87 (31-226)	'	'	n.c.	1
Malattia di Hodgkin (C81)	M	0	0	.	.	0 (0-15)	.	0 (.-.)	78 (30-154)	'	'	n.c.	1
Malattia di Hodgkin (C81)	M + F	0	1	.	.	0 (0-7)	.	0 (.-.)	80 (34-154)	'	'	n.c.	1
Linfoma non Hodgkin (C82-C85)	F	>5	<5	.	.	14 (6-31)	.	176 (91-340)	111 (86-147)	'	'	n.c.	1
Linfoma non Hodgkin (C82-C85)	M	<5	<5	.	.	7 (2-24)	.	88 (35-221)	86 (69-106)	'	'	n.c.	1
Linfoma non Hodgkin (C82-C85)	M + F	9	7	.	.	10 (5-21)	.	132 (77-227)	97 (79-122)	'	'	n.c.	1
Mieloma multiplo e tumori immunoproliferativi (C88, C90)	F	<5	<5	.	.	7 (2-23)	.	124 (50-311)	90 (58-120)	'	'	n.c.	1
Mieloma multiplo e tumori immunoproliferativi (C88, C90)	M	<5	<5	.	.	5 (1-21)	.	73 (24-222)	94 (62-130)	'	'	n.c.	1

Tabella 3A - Castelfidardo	Genere	Osservati	Attesi	Cluster sign.	SIR cluster	Tasso std. * 100000 (ic)	Tasso std. > Tasso reg.	SIR (ic)	BIR (ic)	SIR sign.	BIR sign.	Trend	Livello attenzione
Causa (ICD-IX)													
Mieloma multiplo e tumori immunoproliferativi (C88, C90)	M + F	5	5	.	.	6 (2-15)	.	97 (47-200)	87 (57-121)	.	.	n.c.	1
Leucemie (C91-C95)	F	5	4	.	.	11 (4-28)	.	144 (70-296)	97 (73-135)	.	.	n.c.	1
Leucemie (C91-C95)	M	9	5	.	.	22 (11-43)	↑	195 (113-335)	112 (83-163)	↑	.	n.c.	3 ☹️
Leucemie (C91-C95)	M + F	14	8	.	.	17 (10-28)	.	173 (112-268)	101 (85-128)	↑	.	n.c.	3 ☹️
Leucemia linfocitica (acuta e cronica) (C91)	F	<5	<5	.	.	4 (1-19)	.	255 (84-771)	69 (46-103)	.	.	n.c.	1
Leucemia linfocitica (acuta e cronica) (C91)	M	>5	<5	.	.	12 (5-31)	↑	338 (165-695)	88 (63-147)	↑	.	n.c.	3 ☹️
Leucemia linfocitica (acuta e cronica) (C91)	M + F	7	2	.	.	8 (4-18)	↑	309 (168-571)	81 (63-110)	↑	.	n.c.	3 ☹️
Leucemia mieloide (acuta e cronica) (C92)	F	<5	<5	.	.	7 (2-22)	.	174 (70-437)	102 (73-151)	.	.	n.c.	1
Leucemia mieloide (acuta e cronica) (C92)	M	<5	<5	.	.	5 (1-21)	.	84 (28-255)	109 (72-162)	.	.	n.c.	1
Leucemia mieloide (acuta e cronica) (C92)	M + F	5	4	.	.	6 (2-15)	.	122 (60-251)	111 (81-156)	.	.	n.c.	1
Malattie del sangue e degli organi emopoietici (D50-D77)	F	<5	<5	.	.	7 (2-23)	.	154 (62-386)	91 (63-148)	.	.	n.c.	1
Malattie del sangue e degli organi emopoietici (D50-D77)	M	0	2	.	.	0 (0-15)	.	0 (.-)	99 (69-135)	.	.	n.c.	1
Malattie del sangue e degli organi emopoietici (D50-D77)	M + F	<5	<5	.	.	4 (1-12)	.	83 (33-208)	93 (71-126)	.	.	n.c.	1
Malattie endocrine, della nutrizione ed immunitarie (E00-E90, D80-D89)	F	19	18	.	.	48 (31-73)	.	103 (71-150)	102 (81-129)	.	.	n.c.	1
Malattie endocrine, della nutrizione ed immunitarie (E00-E90, D80-D89)	M	24	15	.	.	58 (40-85)	↑	163 (117-227)	115 (91-147)	↑	.	→	3 ☹️
Malattie endocrine, della nutrizione ed immunitarie (E00-E90, D80-D89)	M + F	43	33	.	.	53 (40-70)	.	130 (101-167)	112 (93-136)	↑	.	→	3 ☹️

Tabella 3A - Castelfidardo	Genere	Osservati	Attesi	Cluster sign.	SIR cluster	Tasso std. * 100000 (ic)	Tasso std. > Tasso reg.	SIR (ic)	BIR (ic)	SIR sign.	BIR sign.	Trend	Livello attenzione
Causa (ICD-IX)													
Tireotossicosi (E05)	F	0	0	.	.	0 (0-13)	.	0 (.-.)	57 (14-159)	.	.	n.c.	1
Tireotossicosi (E05)	M	0	0	.	.	0 (0-15)	.	0 (.-.)	31 (0-171)	.	.	n.c.	1
Tireotossicosi (E05)	M + F	0	0	.	.	0 (0-7)	.	0 (.-.)	55 (13-141)	.	.	n.c.	1
Ipotiroidismo (E00-E03)	F	0	0	.	.	0 (0-13)	.	0 (.-.)	86 (21-226)	.	.	n.c.	1
Ipotiroidismo (E00-E03)	M	0	0	.	.	0 (0-15)	.	0 (.-.)	99 (19-275)	.	.	n.c.	1
Ipotiroidismo (E00-E03)	M + F	0	0	.	.	0 (0-7)	.	0 (.-.)	101 (31-199)	.	.	n.c.	1
Diabete mellito (E10-E14)	F	15	13	.	.	37 (23-61)	.	112 (74-171)	105 (81-136)	.	.	n.c.	1
Diabete mellito (E10-E14)	M	20	11	.	.	48 (32-74)	↑	184 (127-265)	117 (89-158)	↑	.	→	3 😞
Diabete mellito (E10-E14)	M + F	35	24	.	.	43 (32-58)	↑	144 (110-191)	117 (94-145)	↑	.	→	3 😞
Demenze (F00-F01, F020-F023, F03, G30, G310)	F	29	28	.	.	74 (52-103)	.	103 (76-140)	100 (78-127)	.	.	→	1
Demenze (F00-F01, F020-F023, F03, G30, G310)	M	24	16	1	150	59 (41-87)	↑	153 (110-214)	125 (94-164)	↑	.	→	3 😞
Demenze (F00-F01, F020-F023, F03, G30, G310)	M + F	53	44	1	129	67 (52-85)	.	121 (97-152)	114 (93-139)	.	.	→	1
Malattie neuro-psichiatriche (escluse tossicod.) (F00-F09, F20-F99)	F	15	18	.	.	40 (24-64)	.	86 (56-131)	88 (61-124)	.	.	→	1
Malattie neuro-psichiatriche (escluse tossicod.) (F00-F09, F20-F99)	M	9	10	.	.	22 (12-43)	.	89 (52-153)	89 (58-131)	.	.	n.c.	1
Malattie neuro-psichiatriche (escluse tossicod.) (F00-F09, F20-F99)	M + F	24	28	.	.	31 (21-46)	.	87 (62-121)	90 (66-119)	.	.	→	1
Malattie del sistema nervoso e degli organi di senso (G00-H95)	F	28	20	2	137	71 (50-101)	.	139 (102-189)	107 (86-132)	↑	.	n.c.	3 😞

Tabella 3A - Castelfidardo	Genere	Osservati	Attesi	Cluster sign.	SIR cluster	Tasso std. * 100000 (ic)	Tasso std. > Tasso reg.	SIR (ic)	BIR (ic)	SIR sign.	BIR sign.	Trend	Livello attenzione
Causa (ICD-IX)													
Malattie del sistema nervoso e degli organi di senso (G00-H95)	M	20	16	2	141	49 (33-75)	.	122 (85-176)	112 (91-140)	.	.	→	1
Malattie del sistema nervoso e degli organi di senso (G00-H95)	M + F	48	37	2	139	60 (47-79)	.	131 (104-167)	112 (95-132)	↑	.	↓	2 😊
Morbo di Parkinson (G20)	F	<5	<5	.	.	11 (4-29)	.	121 (54-269)	109 (77-155)	.	.	n.c.	1
Morbo di Parkinson (G20)	M	<5	<5	.	.	5 (1-21)	.	59 (19-177)	92 (66-121)	.	.	n.c.	1
Morbo di Parkinson (G20)	M + F	6	7	.	.	8 (4-18)	.	89 (46-173)	100 (77-130)	.	.	n.c.	1
Malattia di Alzheimer (G30)	F	15	11	.	.	36 (22-59)	.	134 (88-204)	112 (81-154)	.	.	n.c.	1
Malattia di Alzheimer (G30)	M	15	6	2	187	37 (23-61)	↑	241 (158-367)	153 (106-218)	↑	↑	n.c.	5 😡
Malattia di Alzheimer (G30)	M + F	30	17	2	173	37 (26-52)	↑	172 (128-232)	135 (104-174)	↑	↑	→	5 😡
Epilessia (G40)	F	0	0	.	.	0 (0-13)	.	0 (-.)	66 (34-115)	.	.	n.c.	1
Epilessia (G40)	M	0	1	.	.	0 (0-15)	.	0 (-.)	95 (51-157)	.	.	n.c.	1
Epilessia (G40)	M + F	0	1	.	.	0 (0-7)	.	0 (-.)	79 (41-125)	.	.	n.c.	1
Malattia dei neuroni motori (G122)	F	<5	<5	.	.	6 (2-22)	.	208 (83-520)	111 (51-237)	.	.	n.c.	1
Malattia dei neuroni motori (G122)	M	<5	<5	.	.	5 (1-21)	.	132 (44-397)	106 (61-178)	.	.	n.c.	1
Malattia dei neuroni motori (G122)	M + F	5	3	.	.	6 (2-15)	.	169 (82-347)	113 (61-200)	.	.	n.c.	1
Sclerosi multipla (G35)	F	0	0	.	.	0 (0-13)	.	0 (-.)	70 (32-129)	.	.	n.c.	1
Sclerosi multipla (G35)	M	0	0	.	.	0 (0-15)	.	0 (-.)	51 (7-154)	.	.	n.c.	1

Tabella 3A - Castelfidardo	Genere	Osservati	Attesi	Cluster sign.	SIR cluster	Tasso std. * 100000 (ic)	Tasso std. > Tasso reg.	SIR (ic)	BIR (ic)	SIR sign.	BIR sign.	Trend	Livello attenzione
Causa (ICD-IX)													
Sclerosi multipla (G35)	M + F	0	1	.	.	0 (0-7)	.	0 (.-.)	69 (38-115)	,	,	n.c.	1
Neuropatie tossiche e infiammatorie non specificate (G619, G629)	F	0	0	.	.	0 (0-13)	.	0 (.-.)	12 (0-115)	,	,	n.c.	1
Neuropatie tossiche e infiammatorie non specificate (G619, G629)	M	0	0	.	.	0 (0-15)	.	0 (.-.)	117 (24-339)	,	,	n.c.	1
Neuropatie tossiche e infiammatorie non specificate (G619, G629)	M + F	0	0	.	.	0 (0-7)	.	0 (.-.)	73 (14-207)	,	,	n.c.	1
Malattie dell'apparato circolatorio (I00-I99)	F	187	173	.	.	486 (428-551)	.	108 (96-122)	105 (97-115)	,	,	→	1
Malattie dell'apparato circolatorio (I00-I99)	M	160	150	.	.	394 (344-452)	.	106 (93-121)	102 (93-112)	,	,	→	1
Malattie dell'apparato circolatorio (I00-I99)	M + F	347	323	.	.	441 (402-483)	.	107 (98-117)	105 (97-113)	,	,	→	1
Malattia ipertensiva (I10-I15)	F	14	18	.	.	35 (21-58)	.	78 (50-121)	89 (64-121)	,	,	→	1
Malattia ipertensiva (I10-I15)	M	11	12	.	.	27 (15-49)	.	90 (55-147)	91 (60-131)	,	,	n.c.	1
Malattia ipertensiva (I10-I15)	M + F	25	30	.	.	31 (22-45)	.	83 (60-115)	88 (66-114)	,	,	→	1
Malattie ischemiche del cuore (I20-I25)	F	63	59	.	.	165 (132-206)	.	107 (87-132)	107 (90-126)	,	,	→	1
Malattie ischemiche del cuore (I20-I25)	M	63	61	.	.	153 (123-192)	.	103 (84-127)	98 (84-113)	,	,	→	1
Malattie ischemiche del cuore (I20-I25)	M + F	126	120	.	.	159 (136-186)	.	105 (91-122)	104 (91-118)	,	,	→	1
Infarto miocardico acuto (I21-I22)	F	16	17	.	.	40 (25-65)	.	95 (63-142)	101 (72-136)	,	,	→	1
Infarto miocardico acuto (I21-I22)	M	20	21	.	.	48 (32-74)	.	96 (67-139)	86 (65-113)	,	,	→	1
Infarto miocardico acuto (I21-I22)	M + F	36	38	.	.	44 (33-60)	.	96 (73-126)	95 (74-120)	,	,	→	1

Tabella 3A - Castelfidardo	Genere	Osservati	Attesi	Cluster sign.	SIR cluster	Tasso std. * 100000 (ic)	Tasso std. > Tasso reg.	SIR (ic)	BIR (ic)	SIR sign.	BIR sign.	Trend	Livello attenzione
Malattie cerebrovascolari (I60-I69)	F	47	46	.	.	123 (95-160)	.	102 (81-130)	98 (82-116)	.	.	→	1
Malattie cerebrovascolari (I60-I69)	M	46	39	.	.	113 (87-148)	.	119 (94-152)	105 (88-126)	.	.	↑	2 😊
Malattie cerebrovascolari (I60-I69)	M + F	93	84	.	.	118 (99-142)	.	110 (93-131)	104 (89-119)	.	.	→	1
Malattie dell'apparato respiratorio (J00-J99)	F	21	24	.	.	56 (37-83)	.	88 (62-126)	88 (71-110)	.	.	n.c.	1
Malattie dell'apparato respiratorio (J00-J99)	M	23	34	.	.	57 (39-84)	.	69 (49-97)	87 (72-104)	↓	.	→	0 😊
Malattie dell'apparato respiratorio (J00-J99)	M + F	44	57	.	.	56 (43-74)	.	77 (60-98)	85 (71-100)	↓	↓	→	0 😊
Malattie respiratorie acute (J00-J06, J10-J18, J20-J22)	F	>5	>5	.	.	28 (16-50)	.	154 (95-252)	120 (83-175)	.	.	n.c.	1
Malattie respiratorie acute (J00-J06, J10-J18, J20-J22)	M	<5	>5	.	.	7 (2-25)	.	42 (17-104)	67 (37-110)	.	.	n.c.	1
Malattie respiratorie acute (J00-J06, J10-J18, J20-J22)	M + F	14	14	.	.	18 (11-30)	.	98 (63-151)	98 (69-138)	.	.	n.c.	1
Malattie croniche dell'apparato respiratorio (BCPO) (J41-J44, J47)	F	8	9	.	.	22 (11-43)	.	88 (49-155)	82 (57-114)	.	.	n.c.	1
Malattie croniche dell'apparato respiratorio (BCPO) (J41-J44, J47)	M	10	17	.	.	25 (13-46)	.	57 (34-96)	83 (64-104)	↓	.	→	0 😊
Malattie croniche dell'apparato respiratorio (BCPO) (J41-J44, J47)	M + F	18	27	.	.	23 (15-36)	.	68 (46-100)	79 (61-98)	↓	↓	→	0 😊
Asma (J45)	F	0	0	.	.	0 (0-13)	.	0 (-.)	104 (36-216)	.	.	n.c.	1
Asma (J45)	M	0	0	.	.	0 (0-15)	.	0 (-.)	101 (25-224)	.	.	n.c.	1
Asma (J45)	M + F	0	1	.	.	0 (0-7)	.	0 (-.)	112 (53-182)	.	.	n.c.	1
Pneumoconiosi (J60-J64)	M	0	1	.	.	0 (0-15)	.	0 (-.)	23 (4-95)	.	↓	n.c.	0 😊


Tabella 3A - Castelfidardo	Genere	Osservati	Attesi	Cluster sign.	SIR cluster	Tasso std. * 100000 (ic)	Tasso std. > Tasso reg.	SIR (ic)	BIR (ic)	SIR sign.	BIR sign.	Trend	Livello attenzione
Causa (ICD-IX)													
Pneumoconiosi (J60-J64)	M + F	0	1	.	.	0 (0-7)	.	0 (-.)	23 (4-95)	,	↓	n.c.	0 
Malattie dell'apparato digerente (K00-K93)	F	16	15	2	132	40 (25-64)	.	110 (73-165)	98 (84-115)	,	,	n.c.	1
Malattie dell'apparato digerente (K00-K93)	M	21	15	.	.	50 (34-76)	.	143 (100-204)	104 (89-130)	,	,	→	1
Malattie dell'apparato digerente (K00-K93)	M + F	37	29	2	123	45 (34-61)	.	126 (97-166)	107 (92-127)	,	,	→	1
Cirrosi e altre malattie croniche del fegato (K70, K73-K74)	F	<5	<5	.	.	6 (2-21)	.	179 (71-448)	80 (51-130)	,	,	n.c.	1
Cirrosi e altre malattie croniche del fegato (K70, K73-K74)	M	>5	<5	.	.	12 (5-30)	.	114 (55-234)	97 (77-121)	,	,	n.c.	1
Cirrosi e altre malattie croniche del fegato (K70, K73-K74)	M + F	8	6	.	.	9 (4-19)	.	132 (74-234)	91 (71-119)	,	,	n.c.	1
Nefropatie croniche e acute (N00-N12)	F	0	0	.	.	0 (0-13)	.	0 (-.)	101 (40-206)	,	,	n.c.	1
Nefropatie croniche e acute (N00-N12)	M	0	0	.	.	0 (0-15)	.	0 (-.)	136 (47-316)	,	,	n.c.	1
Nefropatie croniche e acute (N00-N12)	M + F	0	0	.	.	0 (0-7)	.	0 (-.)	110 (26-272)	,	,	n.c.	1
Malattie dell'apparato genito-urinario (N00-N99)	F	10	8	2	148	26 (14-48)	.	123 (73-205)	126 (96-167)	,	,	n.c.	1
Malattie dell'apparato genito-urinario (N00-N99)	M	10	8	2	154	24 (13-46)	.	121 (72-202)	117 (84-162)	,	,	n.c.	1
Malattie dell'apparato genito-urinario (N00-N99)	M + F	20	16	.	.	25 (17-39)	.	122 (84-175)	123 (96-156)	,	,	→	1
Insufficienza renale acuta e cronica (N17-N19)	F	8	7	2	142	22 (11-42)	.	120 (68-214)	118 (88-161)	,	,	n.c.	1
Insufficienza renale acuta e cronica (N17-N19)	M	9	6	.	.	22 (11-43)	.	144 (84-247)	114 (83-160)	,	,	n.c.	1
Insufficienza renale acuta e cronica (N17-N19)	M + F	17	13	2	134	22 (14-35)	.	132 (89-196)	124 (96-159)	,	,	→	1

Tabella 3A - Castelfidardo	Genere	Osservati	Attesi	Cluster sign.	SIR cluster	Tasso std. * 100000 (ic)	Tasso std. > Tasso reg.	SIR (ic)	BIR (ic)	SIR sign.	BIR sign.	Trend	Livello attenzione
Causa (ICD-IX)													
Malformazioni congenite (Q00-Q99)	F	<5	<5	.	.	4 (1-19)	.	258 (85-778)	101 (36-261)	'	'	n.c.	1
Malformazioni congenite (Q00-Q99)	M	<5	<5	.	.	4 (1-20)	.	191 (63-577)	121 (44-293)	'	'	n.c.	1
Malformazioni congenite (Q00-Q99)	M + F	<5	<5	.	.	4 (1-12)	.	219 (98-489)	141 (63-280)	'	'	n.c.	1
Sintomi, segni e stati morbosi mal definiti (R00-R99)	F	6	5	.	.	16 (7-34)	.	112 (58-217)	115 (59-201)	'	'	n.c.	1
Sintomi, segni e stati morbosi mal definiti (R00-R99)	M	5	3	.	.	15 (5-35)	.	159 (77-327)	143 (69-262)	'	'	n.c.	1
Sintomi, segni e stati morbosi mal definiti (R00-R99)	M + F	11	9	.	.	15 (8-27)	.	129 (79-211)	134 (81-214)	'	'	n.c.	1
Traumatismi e avvelenamenti (S00-T98)	F	19	14	.	.	45 (30-70)	.	132 (90-192)	110 (85-143)	'	'	→	1
Traumatismi e avvelenamenti (S00-T98)	M	21	23	.	.	48 (32-73)	.	90 (63-128)	100 (85-115)	'	'	→	1
Traumatismi e avvelenamenti (S00-T98)	M + F	40	38	.	.	47 (35-63)	.	106 (82-137)	102 (87-119)	'	'	→	1

Tabella 4A. Decessi per causa nel comune di Civitanova Marche, tutte le età, periodo di osservazione 2009-2013









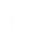






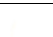
Tabella 4A - Civitanova Marche	Genere	Osservati	Attesi	Cluster sign.	SIR cluster	Tasso std. * 100000 (ic)	Tasso std. > Tasso reg.	SIR (ic)	BIR (ic)	SIR sign.	BIR sign.	Trend	Livello attenzione
Causa (ICD-IX)													
Mortalità generale (escluse cause violente) (A00-R99)	F	1033	978	.	.	1080 (1026-1138)	↑	106 (100-111)	104 (99-109)	↑	.	↓	2 
Mortalità generale (escluse cause violente) (A00-R99)	M	1058	896	1	116	1229 (1167-1294)	↑	118 (112-124)	115 (109-120)	↑	↑	→	5 
Mortalità generale (escluse cause violente) (A00-R99)	M + F	2091	1873	1	109	1152 (1111-1195)	↑	112 (108-116)	110 (106-114)	↑	↑	→	5 
Mortalità per cause esterne o violente (S00-Y99)	F	56	36	2	131	58 (46-73)	↑	158 (127-197)	138 (113-169)	↑	↑	→	5 
Mortalità per cause esterne o violente (S00-Y99)	M	48	48	.	.	54 (42-69)	.	100 (79-126)	97 (85-110)	.	.	→	1 
Mortalità per cause esterne o violente (S00-Y99)	M + F	104	84	.	.	56 (47-66)	↑	124 (106-146)	112 (98-129)	↑	.	→	3 
Malattie infettive (A00-B99)	F	19	19	.	.	19 (13-29)	.	99 (68-144)	105 (79-137)	.	.	→	1 
Malattie infettive (A00-B99)	M	19	17	.	.	21 (14-32)	.	109 (75-159)	105 (87-132)	.	.	→	1 
Malattie infettive (A00-B99)	M + F	38	37	.	.	20 (15-27)	.	104 (80-136)	107 (87-131)	.	.	→	1 
Epatite virale (B17-B19)	F	6	3	.	.	6 (3-12)	↑	208 (107-401)	126 (90-208)	↑	.	n.c.	3 
Epatite virale (B17-B19)	M	<5	<5	.	.	4 (1-11)	.	117 (53-261)	104 (66-160)	.	.	n.c.	1 
Epatite virale (B17-B19)	M + F	10	6	.	.	5 (3-9)	.	159 (95-266)	115 (92-162)	.	.	n.c.	1 
Tutti i tumori (C00-D48)	F	265	263	.	.	268 (242-298)	.	101 (91-111)	102 (95-108)	.	.	→	1 
Tutti i tumori (C00-D48)	M	376	322	.	.	423 (388-461)	↑	117 (107-127)	111 (103-120)	↑	↑	→	5 
Tutti i tumori (C00-D48)	M + F	641	585	.	.	343 (321-366)	↑	110 (103-117)	108 (102-114)	↑	↑	→	5 
Tumori maligni delle vie aeree e digestive superiori (C00-C15, C32)	F	<5	<5	.	.	2 (0-7)	.	51 (17-155)	110 (77-142)	.	.	n.c.	1 






Tabella 4A - Civitanova Marche	Genere	Osservati	Attesi	Cluster sign.	SIR cluster	Tasso std. * 100000 (ic)	Tasso std. > Tasso reg.	SIR (ic)	BIR (ic)	SIR sign.	BIR sign.	Trend	Livello attenzione
Causa (ICD-IX)													
Tumori maligni delle vie aeree e digestive superiori (C00-C15, C32)	M	>5	>5	.	.	10 (5-18)	.	80 (47-138)	79 (56-107)	.	.	→	1
Tumori maligni delle vie aeree e digestive superiori (C00-C15, C32)	M + F	11	15	.	.	6 (3-10)	.	73 (44-119)	83 (61-108)	.	.	→	1
Tumori maligni (C00-C97)	F	252	251	.	.	255 (229-283)	.	101 (91-111)	102 (95-108)	.	.	→	1
Tumori maligni (C00-C97)	M	356	306	.	.	400 (366-437)	↑	116 (106-127)	109 (102-118)	↑	↑	→	5 
Tumori maligni (C00-C97)	M + F	608	557	.	.	325 (303-348)	↑	109 (102-117)	107 (101-113)	↑	↑	→	5 
Tumori maligni dell'esofago (C15)	F	0	1	.	.	0 (0-4)	.	0 (-.)	103 (32-169)	.	.	n.c.	1
Tumori maligni dell'esofago (C15)	M	<5	<5	.	.	2 (0-8)	.	64 (21-192)	81 (45-124)	.	.	n.c.	1
Tumori maligni dell'esofago (C15)	M + F	<5	<5	.	.	1 (0-4)	.	48 (16-146)	79 (38-123)	.	.	n.c.	1
Tumori maligni dello stomaco (C16)	F	19	20	.	.	20 (13-29)	.	96 (66-140)	98 (80-119)	.	.	↓	0 
Tumori maligni dello stomaco (C16)	M	26	24	.	.	30 (21-42)	.	110 (79-151)	105 (83-133)	.	.	→	1
Tumori maligni dello stomaco (C16)	M + F	45	43	.	.	25 (19-32)	.	104 (81-132)	102 (84-122)	.	.	→	1
Tumori maligni dell'intestino tenue, compreso il duodeno (C17)	F	0	0	.	.	0 (0-4)	.	0 (-.)	59 (13-147)	.	.	n.c.	1
Tumori maligni dell'intestino tenue, compreso il duodeno (C17)	M	0	1	.	.	0 (0-5)	.	0 (-.)	102 (36-196)	.	.	n.c.	1
Tumori maligni dell'intestino tenue, compreso il duodeno (C17)	M + F	0	1	.	.	0 (0-2)	.	0 (-.)	0 (0-0)	.	↓	n.c.	0 
Tumori maligni del colon (C18)	F	26	25	.	.	27 (19-38)	.	105 (76-144)	100 (83-121)	.	.	→	1
Tumori maligni del colon (C18)	M	43	29	2	137	49 (37-64)	↑	150 (117-193)	122 (100-151)	↑	↑	→	5 

Tabella 4A - Civitanova Marche	Genere	Osservati	Attesi	Cluster sign.	SIR cluster	Tasso std. * 100000 (ic)	Tasso std. > Tasso reg.	SIR (ic)	BIR (ic)	SIR sign.	BIR sign.	Trend	Livello attenzione
Causa (ICD-IX)													
Tumori maligni del colon (C18)	M + F	69	53	.	.	38 (30-46)	↑	129 (106-157)	115 (98-137)	↑	.	→	3 😞
Tumori maligni del retto, della giunzione retto-sigmoidea e dell'ano (C19-C21)	F	<5	>5	.	.	4 (1-10)	.	56 (25-124)	90 (55-133)	.	.	n.c.	1 😞
Tumori maligni del retto, della giunzione retto-sigmoidea e dell'ano (C19-C21)	M	>5	>5	.	.	10 (5-18)	.	90 (51-160)	77 (50-116)	.	.	n.c.	1 😞
Tumori maligni del retto, della giunzione retto-sigmoidea e dell'ano (C19-C21)	M + F	12	16	.	.	7 (4-11)	.	75 (47-120)	85 (61-112)	.	.	→	1 😞
Tumore fegato e dotti biliari (C22)	F	<5	>5	.	.	4 (1-10)	.	58 (26-129)	93 (66-117)	.	.	n.c.	1 😞
Tumore fegato e dotti biliari (C22)	M	>5	>5	.	.	18 (11-28)	.	115 (76-173)	111 (81-151)	.	.	n.c.	1 😞
Tumore fegato e dotti biliari (C22)	M + F	20	21	.	.	11 (7-16)	.	96 (67-138)	100 (76-131)	.	.	→	1 😞
Tumori maligni del pancreas (C25)	F	20	19	.	.	20 (14-30)	.	108 (75-156)	100 (85-117)	.	.	n.c.	1 😞
Tumori maligni del pancreas (C25)	M	25	18	.	.	27 (19-39)	↑	139 (100-193)	104 (89-127)	↑	.	→	3 😞
Tumori maligni del pancreas (C25)	M + F	45	36	.	.	24 (18-31)	.	124 (97-158)	103 (89-122)	.	.	→	1 😞
Tumore del retroperitoneo (C48)	F	<5	<5	.	.	1 (0-5)	.	109 (24-490)	95 (56-152)	.	.	n.c.	1 😞
Tumore del retroperitoneo (C48)	M	0	1	.	.	0 (0-5)	.	0 (.-.)	95 (29-189)	.	.	n.c.	1 😞
Tumore del retroperitoneo (C48)	M + F	<5	<5	.	.	1 (0-3)	.	55 (12-248)	109 (69-147)	.	.	n.c.	1 😞
Tumori maligni della laringe (C32)	F	0	0	.	.	0 (0-4)	.	0 (.-.)	100 (36-196)	.	.	n.c.	1 😞
Tumori maligni della laringe (C32)	M	<5	<5	.	.	4 (1-11)	.	94 (42-208)	91 (58-131)	.	.	n.c.	1 😞
Tumori maligni della laringe (C32)	M + F	<5	>5	.	.	2 (1-5)	.	85 (38-190)	89 (56-127)	.	.	n.c.	1 😞

Tabella 4A - Civitanova Marche	Genere	Osservati	Attesi	Cluster sign.	SIR cluster	Tasso std. * 100000 (ic)	Tasso std. > Tasso reg.	SIR (ic)	BIR (ic)	SIR sign.	BIR sign.	Trend	Livello attenzione
Causa (ICD-IX)													
Tumori maligni della trachea, dei bronchi e dei polmoni (C33-C34)	F	37	25	.	.	37 (28-49)	↑	146 (111-191)	123 (98-162)	↑	.	→	3 😊
Tumori maligni della trachea, dei bronchi e dei polmoni (C33-C34)	M	95	74	.	.	106 (88-126)	↑	128 (108-151)	113 (99-132)	↑	.	→	3 😊
Tumori maligni della trachea, dei bronchi e dei polmoni (C33-C34)	M + F	132	100	.	.	70 (60-81)	↑	132 (115-153)	120 (105-137)	↑	↑	→	5 😡
Mesotelioma (pleura, peritoneo, endocardio, ecc.) (C45)	F	0	1	.	.	0 (0-4)	.	0 (.-.)	97 (38-160)	.	.	n.c.	1
Mesotelioma (pleura, peritoneo, endocardio, ecc.) (C45)	M	5	3	.	.	6 (2-13)	.	152 (74-312)	119 (57-232)	.	.	n.c.	1
Mesotelioma (pleura, peritoneo, endocardio, ecc.) (C45)	M + F	5	5	.	.	3 (1-6)	.	108 (53-222)	101 (56-170)	.	.	n.c.	1
Tumori maligni delle ossa e della cartilagine articolare (C40-C41)	F	<5	<5	.	.	1 (0-6)	.	140 (31-629)	113 (41-266)	.	.	n.c.	1
Tumori maligni delle ossa e della cartilagine articolare (C40-C41)	M	0	1	.	.	0 (0-5)	.	0 (.-.)	66 (19-162)	.	.	n.c.	1
Tumori maligni delle ossa e della cartilagine articolare (C40-C41)	M + F	<5	<5	.	.	1 (0-3)	.	79 (18-352)	85 (31-176)	.	.	n.c.	1
Tumori maligni del connettivo e di altri tessuti molli (C49)	F	0	2	.	.	0 (0-4)	.	0 (.-.)	99 (55-140)	.	.	n.c.	1
Tumori maligni del connettivo e di altri tessuti molli (C49)	M	<5	<5	.	.	2 (0-8)	.	147 (49-444)	94 (62-144)	.	.	n.c.	1
Tumori maligni del connettivo e di altri tessuti molli (C49)	M + F	<5	<5	.	.	1 (0-4)	.	63 (21-190)	100 (71-137)	.	.	n.c.	1
Melanoma maligno della pelle (C43)	F	<5	<5	.	.	1 (0-6)	.	37 (8-166)	95 (64-130)	.	.	n.c.	1
Melanoma maligno della pelle (C43)	M	<5	<5	.	.	4 (1-11)	.	120 (54-267)	97 (67-137)	.	.	n.c.	1
Melanoma maligno della pelle (C43)	M + F	5	6	.	.	3 (1-6)	.	83 (40-170)	95 (70-122)	.	.	n.c.	1
Tumori maligni della mammella (C50)	F	42	41	.	.	42 (32-54)	.	102 (80-132)	109 (93-128)	.	.	→	1

Tabella 4A - Civitanova Marche	Genere	Osservati	Attesi	Cluster sign.	SIR cluster	Tasso std. * 100000 (ic)	Tasso std. > Tasso reg.	SIR (ic)	BIR (ic)	SIR sign.	BIR sign.	Trend	Livello attenzione
Causa (ICD-IX)													
Tumori maligni della mammella (C50)	M + F	43	42	.	.	22 (17-29)	.	104 (81-133)	110 (93-130)	.	.	→	1
Tumori maligni dell'utero (C53-C55)	F	14	10	.	.	14 (8-22)	.	145 (94-224)	102 (80-135)	.	.	→	1
Tumori maligni del corpo dell'utero (C54)	F	<5	<5	.	.	4 (1-10)	.	161 (72-358)	97 (56-166)	.	.	n.c.	1
Tumori maligni dell'ovaio e degli altri annessi uterini (C56-C57)	F	7	11	.	.	7 (3-14)	.	65 (35-120)	92 (64-115)	.	.	n.c.	1
Tumore della prostata (C61)	M	27	25	.	.	31 (22-43)	.	110 (80-151)	103 (88-121)	.	.	→	1
Tumore del testicolo (C62)	M	0	0	.	.	0 (0-5)	.	0 (.-)	89 (18-242)	.	.	n.c.	1
Tumori maligni della vescica (C67)	F	6	4	.	.	6 (3-13)	.	147 (76-284)	112 (82-160)	.	.	n.c.	1
Tumori maligni della vescica (C67)	M	8	14	.	.	9 (5-17)	.	57 (32-101)	93 (73-111)	.	.	n.c.	1
Tumori maligni della vescica (C67)	M + F	14	18	.	.	8 (5-12)	.	77 (50-119)	100 (85-113)	.	.	→	1
Tumori maligni del rene e di altri e non specificati organi urinari (C64-C66, C68)	F	<5	>5	.	.	4 (1-10)	.	74 (33-166)	80 (46-120)	.	.	n.c.	1
Tumori maligni del rene e di altri e non specificati organi urinari (C64-C66, C68)	M	>5	>5	.	.	12 (7-21)	.	113 (69-184)	93 (70-125)	.	.	n.c.	1
Tumori maligni del rene e di altri e non specificati organi urinari (C64-C66, C68)	M + F	15	15	.	.	8 (5-13)	.	99 (65-151)	91 (69-116)	.	.	→	1
tumore del sistema nervoso centrale (C70-C72,D33)	F	<5	>5	.	.	3 (1-8)	.	54 (22-136)	92 (67-121)	.	.	n.c.	1
tumore del sistema nervoso centrale (C70-C72,D33)	M	>5	>5	.	.	10 (5-18)	.	108 (63-186)	106 (75-146)	.	.	n.c.	1
tumore del sistema nervoso centrale (C70-C72,D33)	M + F	12	14	.	.	6 (4-10)	.	87 (54-139)	101 (83-120)	.	.	n.c.	1
Tumori maligni dell'encefalo (C71)	F	<5	>5	.	.	3 (1-8)	.	57 (23-142)	94 (74-116)	.	.	n.c.	1

Tabella 4A - Civitanova Marche	Genere	Osservati	Attesi	Cluster sign.	SIR cluster	Tasso std. * 100000 (ic)	Tasso std. > Tasso reg.	SIR (ic)	BIR (ic)	SIR sign.	BIR sign.	Trend	Livello attenzione
Causa (ICD-IX)													
Tumori maligni dell'encefalo (C71)	M	>5	>5	.	.	10 (5-18)	.	110 (64-190)	107 (79-146)	.	.	n.c.	1
Tumori maligni dell'encefalo (C71)	M + F	12	13	.	.	6 (4-10)	.	89 (56-143)	101 (86-117)	.	.	n.c.	1
Tumori maligni della ghiandola tiroide (C73)	F	<5	<5	.	.	3 (1-9)	.	230 (92-576)	131 (83-236)	.	.	n.c.	1
Tumori maligni della ghiandola tiroide (C73)	M	0	1	.	.	0 (0-5)	.	0 (.-.)	100 (63-148)	.	.	n.c.	1
Tumori maligni della ghiandola tiroide (C73)	M + F	<5	<5	.	.	2 (0-5)	.	142 (57-355)	120 (84-181)	.	.	n.c.	1
Tumori emolinfopoiectici (C81-C96)	F	22	24	.	.	22 (15-32)	.	91 (64-129)	101 (87-115)	.	.	→	1
Tumori emolinfopoiectici (C81-C96)	M	33	27	.	.	37 (27-50)	.	123 (92-163)	105 (94-120)	.	.	→	1
Tumori emolinfopoiectici (C81-C96)	M + F	55	51	.	.	29 (23-37)	.	108 (86-134)	104 (94-115)	.	.	→	1
Malattia di Hodgkin (C81)	F	<5	<5	.	.	1 (0-6)	.	153 (34-685)	113 (45-275)	.	.	n.c.	1
Malattia di Hodgkin (C81)	M	0	1	.	.	0 (0-5)	.	0 (.-.)	100 (42-163)	.	.	n.c.	1
Malattia di Hodgkin (C81)	M + F	<5	<5	.	.	1 (0-3)	.	74 (16-330)	100 (47-174)	.	.	n.c.	1
Linfoma non Hodgkin (C82-C85)	F	6	7	.	.	6 (3-12)	.	82 (42-158)	95 (74-118)	.	.	n.c.	1
Linfoma non Hodgkin (C82-C85)	M	12	10	.	.	13 (8-22)	.	125 (78-201)	110 (93-133)	.	.	n.c.	1
Linfoma non Hodgkin (C82-C85)	M + F	18	17	.	.	10 (6-15)	.	106 (72-156)	104 (86-124)	.	.	→	1
Mieloma multiplo e tumori immunoproliferativi (C88, C90)	F	>5	>5	.	.	10 (6-18)	.	168 (100-280)	101 (79-142)	↑	.	n.c.	3 🙄
Mieloma multiplo e tumori immunoproliferativi (C88, C90)	M	<5	>5	.	.	4 (2-11)	.	69 (31-155)	93 (64-127)	.	.	n.c.	1

Tabella 4A - Civitanova Marche													
Causa (ICD-IX)	Genere	Osservati	Attesi	Cluster sign.	SIR cluster	Tasso std. * 100000 (ic)	Tasso std. > Tasso reg.	SIR (ic)	BIR (ic)	SIR sign.	BIR sign.	Trend	Livello attenzione
Mieloma multiplo e tumori immunoproliferativi (C88, C90)	M + F	14	12	.	.	7 (5-12)	.	119 (77-185)	102 (77-134)	.	.	n.c.	1
Leucemie (C91-C95)	F	5	10	.	.	5 (2-11)	.	50 (24-103)	101 (72-128)	.	.	n.c.	1
Leucemie (C91-C95)	M	17	11	.	.	19 (12-29)	↑	158 (106-235)	118 (89-165)	↑	.	n.c.	3 😞
Leucemie (C91-C95)	M + F	22	21	.	.	12 (8-17)	.	106 (75-151)	106 (90-128)	.	.	→	1
Leucemia linfoide (acuta e cronica) (C91)	F	<5	<5	.	.	3 (1-8)	.	92 (37-230)	116 (85-150)	.	.	n.c.	1
Leucemia linfoide (acuta e cronica) (C91)	M	>5	<5	.	.	6 (2-13)	.	120 (59-247)	109 (83-154)	.	.	n.c.	1
Leucemia linfoide (acuta e cronica) (C91)	M + F	8	7	.	.	4 (2-8)	.	108 (61-191)	112 (92-137)	.	.	n.c.	1
Leucemia mieloide (acuta e cronica) (C92)	F	<5	<5	.	.	2 (0-7)	.	47 (15-141)	98 (62-127)	.	.	n.c.	1
Leucemia mieloide (acuta e cronica) (C92)	M	>5	>5	.	.	8 (4-15)	.	154 (83-283)	98 (70-149)	.	.	n.c.	1
Leucemia mieloide (acuta e cronica) (C92)	M + F	9	9	.	.	5 (2-9)	.	102 (59-175)	98 (72-132)	.	.	→	1
Malattie del sangue e degli organi emopoietici (D50-D77)	F	>5	>5	.	.	10 (5-18)	.	162 (97-270)	116 (86-178)	.	.	n.c.	1
Malattie del sangue e degli organi emopoietici (D50-D77)	M	<5	<5	.	.	5 (2-11)	.	116 (52-258)	97 (71-129)	.	.	n.c.	1
Malattie del sangue e degli organi emopoietici (D50-D77)	M + F	14	10	.	.	7 (5-12)	.	145 (94-225)	108 (87-146)	.	.	→	1
Malattie endocrine, della nutrizione ed immunitarie (E00-E90, D80-D89)	F	52	42	.	.	54 (42-68)	.	124 (99-155)	108 (89-130)	.	.	→	1
Malattie endocrine, della nutrizione ed immunitarie (E00-E90, D80-D89)	M	45	33	.	.	53 (40-68)	↑	135 (106-172)	116 (93-143)	↑	.	→	3 😞
Malattie endocrine, della nutrizione ed immunitarie (E00-E90, D80-D89)	M + F	97	75	.	.	53 (45-64)	↑	129 (109-152)	115 (98-134)	↑	.	→	3 😞

Tabella 4A - Civitanova Marche	Genere	Osservati	Attesi	Cluster sign.	SIR cluster	Tasso std. * 100000 (ic)	Tasso std. > Tasso reg.	SIR (ic)	BIR (ic)	SIR sign.	BIR sign.	Trend	Livello attenzione
Causa (ICD-IX)													
Tireotossicosi (E05)	F	<5	<5	.	.	1 (0-6)	.	196 (44-877)	112 (45-259)	.	.	n.c.	1
Tireotossicosi (E05)	M	<5	<5	.	.	2 (0-8)	.	1005 (333-3038)	181 (46-1436)	↑	.	n.c.	3 😞
Tireotossicosi (E05)	M + F	<5	<5	.	.	2 (0-5)	.	422 (169-1057)	139 (71-412)	↑	.	n.c.	3 😞
Ipotiroidismo (E00-E03)	F	<5	<5	.	.	2 (0-7)	.	450 (149-1361)	116 (46-333)	↑	.	n.c.	3 😞
Ipotiroidismo (E00-E03)	M	<5	<5	.	.	1 (0-7)	.	836 (187-3749)	66 (17-212)	↑	.	n.c.	1
Ipotiroidismo (E00-E03)	M + F	<5	<5	.	.	2 (0-5)	.	532 (213-1331)	107 (56-302)	↑	.	n.c.	3 😞
Diabete mellito (E10-E14)	F	41	30	.	.	43 (32-56)	↑	135 (104-174)	113 (91-141)	↑	.	→	3 😞
Diabete mellito (E10-E14)	M	33	25	.	.	39 (29-53)	↑	133 (100-177)	114 (89-145)	.	.	→	1
Diabete mellito (E10-E14)	M + F	74	55	.	.	41 (34-50)	↑	134 (111-162)	120 (100-143)	↑	↑	→	5 😡
Demenze (F00-F01, F020-F023, F03, G30, G310)	F	48	64	.	.	50 (39-64)	.	75 (59-95)	77 (62-94)	↓	↓	→	0 😊
Demenze (F00-F01, F020-F023, F03, G30, G310)	M	38	31	.	.	45 (34-60)	.	121 (93-158)	108 (85-136)	.	.	→	1
Demenze (F00-F01, F020-F023, F03, G30, G310)	M + F	86	96	.	.	48 (40-57)	.	90 (75-107)	88 (74-104)	.	.	→	1
Malattie neuro-psichiatriche (escluse tossicod.) (F00-F09, F20-F99)	F	22	36	.	.	23 (16-34)	.	61 (43-87)	61 (44-82)	↓	↓	n.c.	0 😊
Malattie neuro-psichiatriche (escluse tossicod.) (F00-F09, F20-F99)	M	24	17	.	.	29 (20-41)	.	139 (99-194)	113 (80-153)	.	.	→	1
Malattie neuro-psichiatriche (escluse tossicod.) (F00-F09, F20-F99)	M + F	46	53	.	.	26 (20-33)	.	86 (68-110)	80 (63-99)	.	↓	→	0 😊
Malattie del sistema nervoso e degli organi di senso (G00-H95)	F	57	56	.	.	59 (47-74)	.	101 (81-126)	108 (90-129)	.	.	→	1

Tabella 4A - Civitanova Marche													
Causa (ICD-IX)	Genere	Osservati	Attesi	Cluster sign.	SIR cluster	Tasso std. * 100000 (ic)	Tasso std. > Tasso reg.	SIR (ic)	BIR (ic)	SIR sign.	BIR sign.	Trend	Livello attenzione
Malattie del sistema nervoso e degli organi di senso (G00-H95)	M	55	39	2	141	64 (51-81)	↑	142 (114-177)	126 (105-153)	↑	↑	→	5 🧐
Malattie del sistema nervoso e degli organi di senso (G00-H95)	M + F	112	95	.	.	62 (52-72)	↑	118 (101-138)	119 (103-137)	↑	↑	→	5 🧐
Morbo di Parkinson (G20)	F	15	7	.	.	16 (10-25)	↑	211 (139-322)	122 (91-189)	↑	.	n.c.	3 😊
Morbo di Parkinson (G20)	M	10	8	.	.	12 (6-20)	.	123 (73-205)	106 (83-141)	.	.	n.c.	1 😊
Morbo di Parkinson (G20)	M + F	25	15	.	.	14 (10-20)	↑	164 (118-228)	121 (95-160)	↑	.	n.c.	3 😊
Malattia di Alzheimer (G30)	F	27	30	.	.	28 (20-39)	.	89 (65-122)	96 (73-124)	.	.	→	1 😊
Malattia di Alzheimer (G30)	M	15	15	.	.	18 (11-28)	.	97 (64-148)	98 (70-136)	.	.	→	1 😊
Malattia di Alzheimer (G30)	M + F	42	46	.	.	23 (17-30)	.	92 (71-118)	97 (77-121)	.	.	→	1 😊
Epilessia (G40)	F	<5	<5	.	.	2 (0-7)	.	104 (35-315)	114 (67-177)	.	.	n.c.	1 😊
Epilessia (G40)	M	<5	<5	.	.	4 (1-11)	.	275 (123-612)	110 (72-191)	↑	.	n.c.	3 😊
Epilessia (G40)	M + F	6	3	.	.	3 (1-7)	.	178 (92-344)	123 (81-201)	.	.	n.c.	1 😊
Malattia dei neuroni motori (G122)	F	<5	<5	.	.	2 (0-7)	.	55 (18-165)	74 (30-147)	.	.	n.c.	1 😊
Malattia dei neuroni motori (G122)	M	<5	<5	.	.	4 (1-11)	.	110 (49-245)	97 (57-157)	.	.	n.c.	1 😊
Malattia dei neuroni motori (G122)	M + F	6	7	.	.	3 (1-7)	.	82 (42-159)	86 (49-143)	.	.	n.c.	1 😊
Sclerosi multipla (G35)	F	0	1	.	.	0 (0-4)	.	0 (-.)	101 (58-160)	.	.	n.c.	1 😊
Sclerosi multipla (G35)	M	0	1	.	.	0 (0-5)	.	0 (-.)	75 (10-172)	.	.	n.c.	1 😊






Tabella 4A - Civitanova Marche	Genere	Osservati	Attesi	Cluster sign.	SIR cluster	Tasso std. * 100000 (ic)	Tasso std. > Tasso reg.	SIR (ic)	BIR (ic)	SIR sign.	BIR sign.	Trend	Livello attenzione
Causa (ICD-IX)													
Sclerosi multipla (G35)	M + F	0	2	.	.	0 (0-2)	.	0 (-.)	100 (59-146)	.	.	n.c.	1
Neuropatie tossiche e infiammatorie non specificate (G619, G629)	F	0	0	.	.	0 (0-4)	.	0 (-.)	52 (3-228)	.	.	n.c.	1
Neuropatie tossiche e infiammatorie non specificate (G619, G629)	M	0	0	.	.	0 (0-5)	.	0 (-.)	44 (7-148)	.	.	n.c.	1
Neuropatie tossiche e infiammatorie non specificate (G619, G629)	M + F	0	0	.	.	0 (0-2)	.	0 (-.)	54 (9-149)	.	.	n.c.	1
Malattie dell'apparato circolatorio (I00-I99)	F	468	416	2	110	499 (462-539)	↑	113 (104-121)	108 (101-116)	↑	↑	↓	5 
Malattie dell'apparato circolatorio (I00-I99)	M	373	329	.	.	443 (406-484)	↑	113 (104-123)	109 (102-118)	↑	↑	→	5 
Malattie dell'apparato circolatorio (I00-I99)	M + F	841	745	1	110	472 (446-500)	↑	113 (107-119)	110 (104-116)	↑	↑	↓	5 
Malattia ipertensiva (I10-I15)	F	60	46	2	144	64 (51-80)	↑	130 (105-160)	123 (99-150)	↑	.	→	3 
Malattia ipertensiva (I10-I15)	M	34	26	.	.	40 (29-54)	.	130 (98-172)	121 (92-157)	.	.	→	1
Malattia ipertensiva (I10-I15)	M + F	94	73	2	135	53 (44-63)	↑	130 (109-154)	126 (106-149)	↑	↑	→	5 
Malattie ischemiche del cuore (I20-I25)	F	124	137	.	.	133 (114-155)	.	91 (78-105)	90 (79-103)	.	.	→	1
Malattie ischemiche del cuore (I20-I25)	M	131	133	.	.	155 (134-180)	.	98 (85-114)	97 (85-109)	.	.	→	1
Malattie ischemiche del cuore (I20-I25)	M + F	255	270	.	.	144 (129-160)	.	94 (85-105)	93 (85-103)	.	.	→	1
Infarto miocardico acuto (I21-I22)	F	33	38	.	.	35 (25-47)	.	86 (65-115)	85 (66-108)	.	.	→	1
Infarto miocardico acuto (I21-I22)	M	41	48	.	.	47 (35-61)	.	85 (66-110)	90 (72-112)	.	.	→	1
Infarto miocardico acuto (I21-I22)	M + F	74	86	.	.	40 (33-49)	.	86 (71-104)	86 (72-102)	.	.	→	1











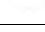
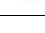
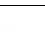


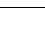
Tabella 4A - Civitanova Marche													
Causa (ICD-IX)	Genere	Osservati	Attesi	Cluster sign.	SIR cluster	Tasso std. * 100000 (ic)	Tasso std. > Tasso reg.	SIR (ic)	BIR (ic)	SIR sign.	BIR sign.	Trend	Livello attenzione
Malattie cerebrovascolari (I60-I69)	F	152	116	2	127	161 (140-185)	↑	132 (115-150)	128 (113-144)	↑	↑	↓	5 
Malattie cerebrovascolari (I60-I69)	M	117	84	2	123	139 (119-163)	↑	139 (119-161)	131 (114-150)	↑	↑	→	5 
Malattie cerebrovascolari (I60-I69)	M + F	269	200	2	125	151 (136-167)	↑	135 (122-149)	132 (120-145)	↑	↑	↓	5 
Malattie dell'apparato respiratorio (J00-J99)	F	48	58	.	.	50 (39-64)	.	83 (65-105)	83 (69-100)	.	.	→	1 
Malattie dell'apparato respiratorio (J00-J99)	M	90	71	.	.	107 (89-128)	↑	127 (107-151)	114 (98-133)	↑	.	→	3 
Malattie dell'apparato respiratorio (J00-J99)	M + F	138	129	.	.	78 (67-90)	.	107 (93-123)	102 (90-116)	.	.	→	1 
Malattie respiratorie acute (J00-J06, J10-J18, J20-J22)	F	15	17	.	.	16 (10-25)	.	89 (59-136)	84 (60-117)	.	.	n.c.	1 
Malattie respiratorie acute (J00-J06, J10-J18, J20-J22)	M	26	15	2	145	32 (22-45)	↑	174 (126-240)	149 (108-202)	↑	↑	→	5 
Malattie respiratorie acute (J00-J06, J10-J18, J20-J22)	M + F	41	32	.	.	23 (18-31)	.	129 (100-167)	116 (91-148)	.	.	→	1 
Malattie croniche dell'apparato respiratorio (BCPO) (J41-J44, J47)	F	19	24	.	.	20 (13-30)	.	81 (56-118)	83 (61-111)	.	.	→	1 
Malattie croniche dell'apparato respiratorio (BCPO) (J41-J44, J47)	M	40	38	.	.	47 (36-62)	.	106 (82-137)	101 (82-123)	.	.	→	1 
Malattie croniche dell'apparato respiratorio (BCPO) (J41-J44, J47)	M + F	59	61	.	.	33 (26-42)	.	96 (78-119)	95 (79-114)	.	.	→	1 
Asma (J45)	F	<5	<5	.	.	1 (0-6)	.	134 (30-601)	90 (36-194)	.	.	n.c.	1 
Asma (J45)	M	<5	<5	.	.	1 (0-6)	.	231 (52-1037)	84 (32-214)	.	.	n.c.	1 
Asma (J45)	M + F	<5	<5	.	.	1 (0-4)	.	170 (56-513)	92 (55-161)	.	.	n.c.	1 
Pneumoconiosi (J60-J64)	M	0	1	.	.	0 (0-5)	.	0 (.-.)	15 (2-64)	.	↓	n.c.	0 







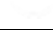

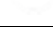

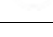

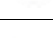

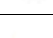

Tabella 4A - Civitanova Marche	Genere	Osservati	Attesi	Cluster sign.	SIR cluster	Tasso std. * 100000 (ic)	Tasso std. > Tasso reg.	SIR (ic)	BIR (ic)	SIR sign.	BIR sign.	Trend	Livello attenzione
Causa (ICD-IX)													
Pneumoconiosi (J60-J64)	M + F	0	1	.	.	0 (0-2)	.	0 (-.)	15 (2-64)	.	↓	n.c.	0 
Malattie dell'apparato digerente (K00-K93)	F	54	37	2	132	56 (44-71)	↑	145 (116-181)	113 (99-138)	↑	.	→	3 
Malattie dell'apparato digerente (K00-K93)	M	35	34	.	.	41 (30-54)	.	104 (79-138)	102 (88-119)	.	.	↓	0 
Malattie dell'apparato digerente (K00-K93)	M + F	89	71	2	123	49 (40-58)	↑	126 (105-149)	116 (101-133)	↑	↑	→	5 
Cirrosi e altre malattie croniche del fegato (K70, K73-K74)	F	13	6	.	.	13 (8-21)	↑	228 (145-359)	141 (100-235)	↑	↑	→	5 
Cirrosi e altre malattie croniche del fegato (K70, K73-K74)	M	9	10	.	.	10 (5-19)	.	90 (53-155)	95 (77-114)	.	.	n.c.	1 
Cirrosi e altre malattie croniche del fegato (K70, K73-K74)	M + F	22	16	.	.	12 (8-17)	↑	141 (99-199)	110 (90-145)	.	.	→	1 
Nefropatie croniche e acute (N00-N12)	F	0	0	.	.	0 (0-4)	.	0 (-.)	84 (38-164)	.	.	n.c.	1 
Nefropatie croniche e acute (N00-N12)	M	0	0	.	.	0 (0-5)	.	0 (-.)	52 (15-141)	.	.	n.c.	1 
Nefropatie croniche e acute (N00-N12)	M + F	0	0	.	.	0 (0-2)	.	0 (-.)	66 (15-171)	.	.	n.c.	1 
Malattie dell'apparato genito-urinario (N00-N99)	F	25	20	.	.	26 (18-37)	.	124 (89-172)	114 (89-149)	.	.	→	1 
Malattie dell'apparato genito-urinario (N00-N99)	M	24	17	2	154	29 (20-42)	↑	142 (102-199)	124 (95-164)	↑	.	→	3 
Malattie dell'apparato genito-urinario (N00-N99)	M + F	49	37	2	140	28 (22-35)	↑	132 (105-167)	123 (100-150)	↑	.	→	3 
Insufficienza renale acuta e cronica (N17-N19)	F	21	17	.	.	22 (15-32)	.	124 (87-178)	113 (88-148)	.	.	→	1 
Insufficienza renale acuta e cronica (N17-N19)	M	17	14	.	.	21 (13-32)	.	125 (84-186)	112 (84-149)	.	.	→	1 
Insufficienza renale acuta e cronica (N17-N19)	M + F	38	31	2	134	21 (16-28)	.	125 (95-163)	119 (95-147)	.	.	→	1 





Tabella 4A - Civitanova Marche	Genere	Osservati	Attesi	Cluster sign.	SIR cluster	Tasso std. * 100000 (ic)	Tasso std. > Tasso reg.	SIR (ic)	BIR (ic)	SIR sign.	BIR sign.	Trend	Livello attenzione
Causa (ICD-IX)													
Malformazioni congenite (Q00-Q99)	F	<5	<5	.	.	2 (0-7)	.	74 (25-224)	96 (38-209)	,	,	n.c.	1
Malformazioni congenite (Q00-Q99)	M	<5	<5	.	.	3 (1-10)	.	145 (58-363)	117 (49-251)	,	,	n.c.	1
Malformazioni congenite (Q00-Q99)	M + F	5	5	.	.	3 (1-6)	.	105 (51-216)	113 (58-204)	,	,	n.c.	1
Sintomi, segni e stati morbosi mal definiti (R00-R99)	F	>5	>5	.	.	8 (4-16)	.	67 (36-123)	54 (29-94)	,	↓	n.c.	0 
Sintomi, segni e stati morbosi mal definiti (R00-R99)	M	<5	>5	.	.	5 (2-12)	.	81 (36-181)	66 (31-124)	,	,	n.c.	1
Sintomi, segni e stati morbosi mal definiti (R00-R99)	M + F	11	15	.	.	7 (4-11)	.	71 (44-116)	59 (36-92)	,	↓	n.c.	0 
Traumatismi e avvelenamenti (S00-T98)	F	56	36	2	131	58 (46-73)	↑	158 (127-197)	138 (113-169)	↑	↑	→	5 
Traumatismi e avvelenamenti (S00-T98)	M	48	48	.	.	54 (42-69)	.	100 (79-126)	97 (85-110)	,	,	→	1
Traumatismi e avvelenamenti (S00-T98)	M + F	104	84	.	.	56 (47-66)	↑	124 (106-146)	112 (98-129)	↑	,	→	3 

Tabella 5A. Decessi per causa nel comune di Corridonia, tutte le età, periodo di osservazione 2009-2013

Tabella 5A - Corridonia	Genere	Osservati	Attesi	Cluster sign.	SIR cluster	Tasso std. * 100000 (ic)	Tasso std. > Tasso reg.	SIR (ic)	BIR (ic)	SIR sign.	BIR sign.	Trend	Livello attenzione
Causa (ICD-IX)													
Mortalità generale (escluse cause violente) (A00-R99)	F	351	325	.	.	1108 (1012-1211)	.	108 (99-118)	103 (97-110)	.	.	→	1
Mortalità generale (escluse cause violente) (A00-R99)	M	336	333	.	.	1056 (962-1158)	.	101 (92-110)	100 (93-107)	.	.	→	1
Mortalità generale (escluse cause violente) (A00-R99)	M + F	687	658	.	.	1083 (1015-1154)	.	104 (98-111)	103 (97-108)	.	.	→	1
Mortalità per cause esterne o violente (S00-Y99)	F	10	12	.	.	30 (16-52)	.	83 (50-139)	96 (72-124)	.	.	n.c.	1
Mortalità per cause esterne o violente (S00-Y99)	M	19	18	.	.	56 (37-85)	.	103 (71-151)	98 (85-113)	.	.	→	1
Mortalità per cause esterne o violente (S00-Y99)	M + F	29	30	.	.	43 (30-59)	.	95 (70-129)	99 (84-116)	.	.	→	1
Malattie infettive (A00-B99)	F	12	6	2	153	38 (22-62)	↑	190 (119-304)	126 (93-181)	↑	.	n.c.	3 😞
Malattie infettive (A00-B99)	M	9	7	.	.	29 (15-53)	.	138 (80-238)	108 (90-135)	.	.	n.c.	1
Malattie infettive (A00-B99)	M + F	21	13	2	136	34 (22-49)	↑	164 (115-234)	124 (98-161)	↑	.	→	3 😞
Epatite virale (B17-B19)	F	<5	<5	.	.	10 (3-25)	.	316 (126-790)	121 (85-196)	↑	.	n.c.	3 😞
Epatite virale (B17-B19)	M	<5	<5	.	.	5 (0-22)	.	78 (17-351)	100 (57-155)	.	.	n.c.	1
Epatite virale (B17-B19)	M + F	<5	<5	.	.	7 (2-17)	.	180 (81-400)	111 (86-154)	.	.	n.c.	1
Tutti i tumori (C00-D48)	F	97	88	.	.	292 (244-346)	.	111 (94-131)	103 (95-111)	.	.	→	1
Tutti i tumori (C00-D48)	M	121	119	.	.	372 (318-435)	.	102 (88-118)	99 (91-108)	.	.	→	1
Tutti i tumori (C00-D48)	M + F	218	207	.	.	330 (294-370)	.	106 (94-118)	102 (95-109)	.	.	→	1
Tumori maligni delle vie aeree e digestive superiori (C00-C15, C32)	F	<5	<5	.	.	3 (0-14)	.	77 (17-343)	112 (83-144)	.	.	n.c.	1

Tabella 5A - Corridonia	Genere	Osservati	Attesi	Cluster sign.	SIR cluster	Tasso std. * 100000 (ic)	Tasso std. > Tasso reg.	SIR (ic)	BIR (ic)	SIR sign.	BIR sign.	Trend	Livello attenzione
Causa (ICD-IX)													
Tumori maligni delle vie aeree e digestive superiori (C00-C15, C32)	M	<5	<5	.	.	10 (3-28)	.	72 (29-181)	82 (59-109)	.	.	n.c.	1
Tumori maligni delle vie aeree e digestive superiori (C00-C15, C32)	M + F	<5	>5	.	.	6 (2-15)	.	73 (33-163)	86 (65-111)	.	.	n.c.	1
Tumori maligni (C00-C97)	F	89	84	.	.	267 (222-320)	.	107 (89-127)	102 (95-110)	.	.	→	1
Tumori maligni (C00-C97)	M	115	113	.	.	352 (299-413)	.	102 (87-118)	99 (92-107)	.	.	→	1
Tumori maligni (C00-C97)	M + F	204	197	.	.	308 (273-347)	.	104 (92-116)	101 (94-108)	.	.	→	1
Tumori maligni dell'esofago (C15)	F	0	0	.	.	0 (0-10)	.	0 (.-.)	110 (37-193)	.	.	n.c.	1
Tumori maligni dell'esofago (C15)	M	0	1	.	.	0 (0-14)	.	0 (.-.)	79 (39-117)	.	.	n.c.	1
Tumori maligni dell'esofago (C15)	M + F	0	2	.	.	0 (0-7)	.	0 (.-.)	78 (33-127)	.	.	n.c.	1
Tumori maligni dello stomaco (C16)	F	10	7	.	.	31 (17-53)	.	154 (92-257)	104 (86-133)	.	.	n.c.	1
Tumori maligni dello stomaco (C16)	M	18	9	2	167	55 (36-84)	↑	205 (140-302)	126 (98-167)	↑	.	n.c.	3 😞
Tumori maligni dello stomaco (C16)	M + F	28	15	2	124	43 (30-60)	↑	183 (134-250)	122 (101-153)	↑	↑	n.c.	5 😡
Tumori maligni dell'intestino tenue, compreso il duodeno (C17)	F	0	0	.	.	0 (0-10)	.	0 (.-.)	61 (16-157)	.	.	n.c.	1
Tumori maligni dell'intestino tenue, compreso il duodeno (C17)	M	0	0	.	.	0 (0-14)	.	0 (.-.)	111 (45-226)	.	.	n.c.	1
Tumori maligni dell'intestino tenue, compreso il duodeno (C17)	M + F	0	0	.	.	0 (0-7)	.	0 (.-.)	0 (0-0)	.	↓	n.c.	0 😊
Tumori maligni del colon (C18)	F	10	8	.	.	29 (16-50)	.	121 (72-202)	103 (85-124)	.	.	n.c.	1
Tumori maligni del colon (C18)	M	15	11	.	.	45 (28-72)	.	142 (93-217)	107 (88-135)	.	.	→	1

Tabella 5A - Corridonia	Genere	Osservati	Attesi	Cluster sign.	SIR cluster	Tasso std. * 100000 (ic)	Tasso std. > Tasso reg.	SIR (ic)	BIR (ic)	SIR sign.	BIR sign.	Trend	Livello attenzione
Causa (ICD-IX)													
Tumori maligni del colon (C18)	M + F	25	19	.	.	37 (25-52)	.	133 (96-184)	110 (91-132)	.	.	→	1
Tumori maligni del retto, della giunzione retto-sigmoidea e dell'ano (C19-C21)	F	<5	<5	.	.	6 (1-19)	.	84 (28-253)	94 (59-136)	.	.	n.c.	1
Tumori maligni del retto, della giunzione retto-sigmoidea e dell'ano (C19-C21)	M	>5	<5	.	.	15 (6-35)	.	152 (74-312)	88 (58-137)	.	.	n.c.	1
Tumori maligni del retto, della giunzione retto-sigmoidea e dell'ano (C19-C21)	M + F	7	6	.	.	10 (5-21)	.	123 (67-227)	96 (69-137)	.	.	n.c.	1
Tumore fegato e dotti biliari (C22)	F	6	2	.	.	18 (8-37)	↑	264 (137-510)	101 (81-146)	↑	.	n.c.	3 😞
Tumore fegato e dotti biliari (C22)	M	6	5	.	.	19 (8-39)	.	116 (60-225)	103 (76-139)	.	.	n.c.	1
Tumore fegato e dotti biliari (C22)	M + F	12	7	.	.	18 (11-31)	↑	162 (101-259)	109 (83-149)	↑	.	n.c.	3 😞
Tumori maligni del pancreas (C25)	F	<5	>5	.	.	6 (1-20)	.	33 (11-99)	96 (78-112)	↓	.	n.c.	0 😊
Tumori maligni del pancreas (C25)	M	>5	>5	.	.	21 (10-42)	.	105 (57-194)	99 (82-117)	.	.	n.c.	1
Tumori maligni del pancreas (C25)	M + F	9	13	.	.	13 (7-24)	.	71 (41-121)	95 (79-109)	.	.	n.c.	1
Tumore del retroperitoneo (C48)	F	0	0	.	.	0 (0-10)	.	0 (.-)	95 (56-147)	.	.	n.c.	1
Tumore del retroperitoneo (C48)	M	0	0	.	.	0 (0-14)	.	0 (.-)	100 (37-186)	.	.	n.c.	1
Tumore del retroperitoneo (C48)	M + F	0	1	.	.	0 (0-7)	.	0 (.-)	110 (67-148)	.	.	n.c.	1
Tumori maligni della laringe (C32)	F	0	0	.	.	0 (0-10)	.	0 (.-)	103 (37-202)	.	.	n.c.	1
Tumori maligni della laringe (C32)	M	<5	<5	.	.	3 (0-19)	.	63 (14-283)	93 (62-132)	.	.	n.c.	1
Tumori maligni della laringe (C32)	M + F	<5	<5	.	.	2 (0-9)	.	58 (13-260)	92 (61-128)	.	.	n.c.	1


Tabella 5A - Corridonia	Genere	Osservati	Attesi	Cluster sign.	SIR cluster	Tasso std. * 100000 (ic)	Tasso std. > Tasso reg.	SIR (ic)	BIR (ic)	SIR sign.	BIR sign.	Trend	Livello attenzione
Causa (ICD-IX)													
Tumori maligni della trachea, dei bronchi e dei polmoni (C33-C34)	F	10	9	.	.	30 (16-52)	.	118 (71-197)	101 (75-141)	.	.	→	1
Tumori maligni della trachea, dei bronchi e dei polmoni (C33-C34)	M	17	27	.	.	52 (33-80)	.	62 (42-92)	93 (74-107)	↓	.	→	0 
Tumori maligni della trachea, dei bronchi e dei polmoni (C33-C34)	M + F	27	36	.	.	40 (28-57)	.	75 (55-103)	91 (77-104)	.	.	→	1
Mesotelioma (pleura, peritoneo, endocardio, ecc.) (C45)	F	<5	<5	.	.	3 (0-15)	.	227 (51-1016)	112 (61-221)	.	.	n.c.	1
Mesotelioma (pleura, peritoneo, endocardio, ecc.) (C45)	M	0	1	.	.	0 (0-14)	.	0 (.-.)	56 (22-125)	.	.	n.c.	1
Mesotelioma (pleura, peritoneo, endocardio, ecc.) (C45)	M + F	<5	<5	.	.	2 (0-9)	.	61 (14-272)	86 (44-146)	.	.	n.c.	1
Tumori maligni delle ossa e della cartilagine articolare (C40-C41)	F	<5	<5	.	.	3 (0-15)	.	407 (91-1824)	129 (51-343)	.	.	n.c.	1
Tumori maligni delle ossa e della cartilagine articolare (C40-C41)	M	0	0	.	.	0 (0-14)	.	0 (.-.)	76 (24-181)	.	.	n.c.	1
Tumori maligni delle ossa e della cartilagine articolare (C40-C41)	M + F	<5	<5	.	.	1 (0-9)	.	219 (49-981)	104 (41-246)	.	.	n.c.	1
Tumori maligni del connettivo e di altri tessuti molli (C49)	F	0	1	.	.	0 (0-10)	.	0 (.-.)	103 (62-151)	.	.	n.c.	1
Tumori maligni del connettivo e di altri tessuti molli (C49)	M	<5	<5	.	.	3 (0-18)	.	199 (44-890)	93 (62-137)	.	.	n.c.	1
Tumori maligni del connettivo e di altri tessuti molli (C49)	M + F	<5	<5	.	.	1 (0-9)	.	89 (20-400)	100 (74-134)	.	.	n.c.	1
Melanoma maligno della pelle (C43)	F	0	1	.	.	0 (0-10)	.	0 (.-.)	97 (65-133)	.	.	n.c.	1
Melanoma maligno della pelle (C43)	M	0	1	.	.	0 (0-14)	.	0 (.-.)	92 (58-129)	.	.	n.c.	1
Melanoma maligno della pelle (C43)	M + F	0	2	.	.	0 (0-7)	.	0 (.-.)	93 (67-119)	.	.	n.c.	1
Tumori maligni della mammella (C50)	F	13	14	.	.	39 (23-63)	.	94 (60-148)	106 (89-125)	.	.	→	1

Tabella 5A - Corridonia	Genere	Osservati	Attesi	Cluster sign.	SIR cluster	Tasso std. * 100000 (ic)	Tasso std. > Tasso reg.	SIR (ic)	BIR (ic)	SIR sign.	BIR sign.	Trend	Livello attenzione
Causa (ICD-IX)													
Tumori maligni della mammella (C50)	M + F	13	14	.	.	20 (12-34)	.	93 (59-146)	106 (88-126)	.	.	→	1
Tumori maligni dell'utero (C53-C55)	F	<5	<5	.	.	6 (1-19)	.	62 (20-186)	91 (68-115)	.	.	n.c.	1
Tumori maligni del corpo dell'utero (C54)	F	0	1	.	.	0 (0-10)	.	0 (.-.)	82 (37-132)	.	.	n.c.	1
Tumori maligni dell'ovaio e degli altri annessi uterini (C56-C57)	F	7	4	.	.	20 (9-38)	.	194 (105-358)	105 (83-150)	↑	.	n.c.	3 ☹️
Tumore della prostata (C61)	M	11	9	.	.	34 (19-59)	.	121 (74-197)	101 (86-120)	.	.	n.c.	1
Tumore del testicolo (C62)	M	0	0	.	.	0 (0-14)	.	0 (.-.)	90 (24-230)	.	.	n.c.	1
Tumori maligni della vescica (C67)	F	0	1	.	.	0 (0-10)	.	0 (.-.)	103 (66-137)	.	.	n.c.	1
Tumori maligni della vescica (C67)	M	<5	>5	.	.	9 (2-27)	.	58 (23-145)	96 (78-114)	.	.	n.c.	1
Tumori maligni della vescica (C67)	M + F	<5	>5	.	.	4 (1-13)	.	46 (18-115)	100 (84-114)	.	.	n.c.	1
Tumori maligni del rene e di altri e non specificati organi urinari (C64-C66, C68)	F	<5	<5	.	.	3 (0-16)	.	56 (13-252)	81 (46-126)	.	.	n.c.	1
Tumori maligni del rene e di altri e non specificati organi urinari (C64-C66, C68)	M	<5	<5	.	.	6 (1-23)	.	55 (18-167)	89 (61-117)	.	.	n.c.	1
Tumori maligni del rene e di altri e non specificati organi urinari (C64-C66, C68)	M + F	<5	>5	.	.	5 (1-14)	.	56 (22-139)	86 (60-111)	.	.	n.c.	1
tumore del sistema nervoso centrale (C70-C72,D33)	F	<5	<5	.	.	3 (0-15)	.	54 (12-241)	95 (70-124)	.	.	n.c.	1
tumore del sistema nervoso centrale (C70-C72,D33)	M	<5	<5	.	.	6 (1-23)	.	65 (21-195)	98 (61-138)	.	.	n.c.	1
tumore del sistema nervoso centrale (C70-C72,D33)	M + F	<5	>5	.	.	4 (1-13)	.	61 (24-151)	100 (81-118)	.	.	n.c.	1
Tumori maligni dell'encefalo (C71)	F	<5	<5	.	.	3 (0-15)	.	56 (13-252)	95 (76-118)	.	.	n.c.	1

Tabella 5A - Corridonia	Genere	Osservati	Attesi	Cluster sign.	SIR cluster	Tasso std. * 100000 (ic)	Tasso std. > Tasso reg.	SIR (ic)	BIR (ic)	SIR sign.	BIR sign.	Trend	Livello attenzione
Causa (ICD-IX)													
Tumori maligni dell'encefalo (C71)	M	<5	<5	.	.	6 (1-23)	.	66 (22-199)	99 (63-129)	'	'	n.c.	1
Tumori maligni dell'encefalo (C71)	M + F	<5	>5	.	.	4 (1-13)	.	62 (25-156)	101 (83-118)	'	'	n.c.	1
Tumori maligni della ghiandola tiroide (C73)	F	0	0	.	.	0 (0-10)	.	0 (.-.)	119 (61-189)	'	'	n.c.	1
Tumori maligni della ghiandola tiroide (C73)	M	<5	<5	.	.	3 (0-18)	.	331 (74-1484)	102 (66-155)	'	'	n.c.	1
Tumori maligni della ghiandola tiroide (C73)	M + F	<5	<5	.	.	1 (0-9)	.	136 (30-611)	116 (81-169)	'	'	n.c.	1
Tumori emolinfopoietici (C81-C96)	F	10	8	.	.	30 (16-52)	.	125 (75-209)	102 (89-118)	'	'	n.c.	1
Tumori emolinfopoietici (C81-C96)	M	9	10	.	.	28 (14-51)	.	91 (53-156)	102 (90-114)	'	'	n.c.	1
Tumori emolinfopoietici (C81-C96)	M + F	19	18	.	.	29 (19-44)	.	106 (73-154)	102 (92-112)	'	'	→	1
Malattia di Hodgkin (C81)	F	0	0	.	.	0 (0-10)	.	0 (.-.)	97 (35-201)	'	'	n.c.	1
Malattia di Hodgkin (C81)	M	0	0	.	.	0 (0-14)	.	0 (.-.)	104 (48-170)	'	'	n.c.	1
Malattia di Hodgkin (C81)	M + F	0	1	.	.	0 (0-7)	.	0 (.-.)	101 (47-177)	'	'	n.c.	1
Linfoma non Hodgkin (C82-C85)	F	<5	<5	.	.	3 (0-15)	.	41 (9-184)	95 (72-120)	'	'	n.c.	1
Linfoma non Hodgkin (C82-C85)	M	<5	<5	.	.	9 (2-27)	.	85 (34-214)	108 (89-128)	'	'	n.c.	1
Linfoma non Hodgkin (C82-C85)	M + F	<5	>5	.	.	6 (2-15)	.	67 (30-150)	101 (79-119)	'	'	n.c.	1
Mieloma multiplo e tumori immunoproliferativi (C88, C90)	F	<5	<5	.	.	5 (1-19)	.	102 (34-308)	95 (70-124)	'	'	n.c.	1
Mieloma multiplo e tumori immunoproliferativi (C88, C90)	M	<5	<5	.	.	6 (1-23)	.	94 (31-285)	99 (72-137)	'	'	n.c.	1

Tabella 5A - Corridonia	Genere	Osservati	Attesi	Cluster sign.	SIR cluster	Tasso std. * 100000 (ic)	Tasso std. > Tasso reg.	SIR (ic)	BIR (ic)	SIR sign.	BIR sign.	Trend	Livello attenzione
Causa (ICD-IX)													
Mieloma multiplo e tumori immunoproliferativi (C88, C90)	M + F	<5	<5	.	.	6 (2-15)	.	98 (44-218)	98 (73-131)	.	.	n.c.	1
Leucemie (C91-C95)	F	>5	<5	.	.	22 (10-42)	↑	212 (115-391)	113 (90-153)	↑	.	n.c.	3 😞
Leucemie (C91-C95)	M	<5	<5	.	.	13 (4-32)	.	101 (45-224)	94 (67-129)	.	.	n.c.	1
Leucemie (C91-C95)	M + F	11	7	.	.	17 (10-30)	.	151 (92-247)	104 (88-123)	.	.	n.c.	1
Leucemia linfoide (acuta e cronica) (C91)	F	<5	<5	.	.	9 (2-24)	.	273 (109-684)	120 (92-174)	↑	.	n.c.	3 😞
Leucemia linfoide (acuta e cronica) (C91)	M	<5	<5	.	.	6 (1-23)	.	130 (43-394)	107 (78-142)	.	.	n.c.	1
Leucemia linfoide (acuta e cronica) (C91)	M + F	5	3	.	.	8 (3-18)	.	190 (93-391)	113 (94-142)	.	.	n.c.	1
Leucemia mieloide (acuta e cronica) (C92)	F	<5	<5	.	.	6 (1-21)	.	140 (46-424)	103 (74-140)	.	.	n.c.	1
Leucemia mieloide (acuta e cronica) (C92)	M	<5	<5	.	.	3 (0-18)	.	59 (13-265)	85 (51-119)	.	.	n.c.	1
Leucemia mieloide (acuta e cronica) (C92)	M + F	<5	<5	.	.	5 (1-14)	.	96 (38-241)	91 (66-122)	.	.	n.c.	1
Malattie del sangue e degli organi emopoietici (D50-D77)	F	<5	<5	.	.	6 (1-21)	.	97 (32-294)	101 (64-139)	.	.	n.c.	1
Malattie del sangue e degli organi emopoietici (D50-D77)	M	<5	<5	.	.	3 (0-19)	.	77 (17-345)	95 (70-125)	.	.	n.c.	1
Malattie del sangue e degli organi emopoietici (D50-D77)	M + F	<5	<5	.	.	5 (1-14)	.	89 (36-224)	100 (74-126)	.	.	n.c.	1
Malattie endocrine, della nutrizione ed immunitarie (E00-E90, D80-D89)	F	10	14	.	.	31 (17-53)	.	72 (43-120)	88 (69-110)	.	.	n.c.	1
Malattie endocrine, della nutrizione ed immunitarie (E00-E90, D80-D89)	M	7	12	.	.	19 (9-40)	.	56 (31-104)	89 (68-111)	.	.	n.c.	1
Malattie endocrine, della nutrizione ed immunitarie (E00-E90, D80-D89)	M + F	17	26	.	.	25 (16-39)	.	65 (43-96)	84 (69-102)	↓	.	n.c.	0 😊

Tabella 5A - Corridonia	Genere	Osservati	Attesi	Cluster sign.	SIR cluster	Tasso std. * 100000 (ic)	Tasso std. > Tasso reg.	SIR (ic)	BIR (ic)	SIR sign.	BIR sign.	Trend	Livello attenzione
Causa (ICD-IX)													
Tireotossicosi (E05)	F	0	0	.	.	0 (0-10)	.	0 (.-.)	102 (36-222)	.	.	n.c.	1
Tireotossicosi (E05)	M	0	0	.	.	0 (0-14)	.	0 (.-.)	64 (0-233)	.	.	n.c.	1
Tireotossicosi (E05)	M + F	0	0	.	.	0 (0-7)	.	0 (.-.)	100 (27-200)	.	.	n.c.	1
Ipotiroidismo (E00-E03)	F	0	0	.	.	0 (0-10)	.	0 (.-.)	79 (18-190)	.	.	n.c.	1
Ipotiroidismo (E00-E03)	M	<5	<5	.	.	3 (0-18)	.	2299 (513-10304)	68 (18-272)	↑	.	n.c.	1
Ipotiroidismo (E00-E03)	M + F	<5	<5	.	.	1 (0-9)	.	533 (119-2390)	90 (42-192)	↑	.	n.c.	1
Diabete mellito (E10-E14)	F	9	10	.	.	28 (15-50)	.	90 (52-154)	94 (72-119)	.	.	n.c.	1
Diabete mellito (E10-E14)	M	5	9	.	.	14 (5-33)	.	54 (26-112)	88 (65-114)	.	.	n.c.	1
Diabete mellito (E10-E14)	M + F	14	19	.	.	21 (13-34)	.	73 (47-113)	88 (69-109)	.	.	n.c.	1
Demenze (F00-F01, F020-F023, F03, G30, G310)	F	26	21	.	.	85 (59-118)	.	123 (90-170)	103 (79-133)	.	.	→	1
Demenze (F00-F01, F020-F023, F03, G30, G310)	M	8	12	.	.	27 (13-51)	.	69 (39-122)	76 (56-101)	.	.	n.c.	1
Demenze (F00-F01, F020-F023, F03, G30, G310)	M + F	34	33	.	.	57 (42-77)	.	104 (79-138)	92 (73-115)	.	.	→	1
Malattie neuro-psichiatriche (escluse tossicod.) (F00-F09, F20-F99)	F	>5	>5	.	.	62 (40-91)	.	161 (110-234)	119 (82-168)	↑	.	→	3 ☹️
Malattie neuro-psichiatriche (escluse tossicod.) (F00-F09, F20-F99)	M	<5	>5	.	.	11 (3-31)	.	47 (19-117)	56 (36-85)	.	↓	n.c.	0 😊
Malattie neuro-psichiatriche (escluse tossicod.) (F00-F09, F20-F99)	M + F	22	18	.	.	37 (25-54)	.	121 (85-171)	93 (67-126)	.	.	→	1
Malattie del sistema nervoso e degli organi di senso (G00-H95)	F	19	19	.	.	60 (39-88)	.	103 (71-149)	100 (81-122)	.	.	→	1

Tabella 5A - Corridonia	Genere	Osservati	Attesi	Cluster sign.	SIR cluster	Tasso std. * 100000 (ic)	Tasso std. > Tasso reg.	SIR (ic)	BIR (ic)	SIR sign.	BIR sign.	Trend	Livello attenzione
Causa (ICD-IX)													
Malattie del sistema nervoso e degli organi di senso (G00-H95)	M	17	14	.	.	52 (33-81)	.	119 (80-176)	104 (84-128)	.	.	→	1
Malattie del sistema nervoso e degli organi di senso (G00-H95)	M + F	36	33	.	.	56 (42-75)	.	110 (83-144)	103 (87-122)	.	.	→	1
Morbo di Parkinson (G20)	F	<5	<5	.	.	10 (3-26)	.	130 (52-325)	99 (70-139)	.	.	n.c.	1
Morbo di Parkinson (G20)	M	<5	<5	.	.	12 (4-31)	.	134 (60-299)	103 (79-137)	.	.	n.c.	1
Morbo di Parkinson (G20)	M + F	7	5	.	.	11 (5-22)	.	132 (72-244)	102 (81-130)	.	.	n.c.	1
Malattia di Alzheimer (G30)	F	8	10	.	.	26 (13-46)	.	81 (46-143)	92 (66-127)	.	.	n.c.	1
Malattia di Alzheimer (G30)	M	5	6	.	.	16 (6-37)	.	88 (43-181)	94 (62-136)	.	.	n.c.	1
Malattia di Alzheimer (G30)	M + F	13	16	.	.	21 (12-34)	.	83 (53-131)	92 (70-121)	.	.	→	1
Epilessia (G40)	F	0	1	.	.	0 (0-10)	.	0 (.-.)	110 (61-162)	.	.	n.c.	1
Epilessia (G40)	M	<5	<5	.	.	3 (0-18)	.	182 (41-815)	100 (60-162)	.	.	n.c.	1
Epilessia (G40)	M + F	<5	<5	.	.	1 (0-9)	.	84 (19-376)	105 (62-159)	.	.	n.c.	1
Malattia dei neuroni motori (G122)	F	<5	<5	.	.	9 (2-24)	.	248 (99-621)	100 (46-219)	.	.	n.c.	1
Malattia dei neuroni motori (G122)	M	<5	<5	.	.	3 (0-18)	.	74 (17-334)	91 (51-149)	.	.	n.c.	1
Malattia dei neuroni motori (G122)	M + F	<5	<5	.	.	6 (2-15)	.	157 (70-349)	95 (52-170)	.	.	n.c.	1
Sclerosi multipla (G35)	F	<5	<5	.	.	3 (0-15)	.	305 (68-1367)	107 (65-172)	.	.	n.c.	1
Sclerosi multipla (G35)	M	0	0	.	.	0 (0-14)	.	0 (.-.)	81 (11-201)	.	.	n.c.	1

Tabella 5A - Corridonia	Genere	Osservati	Attesi	Cluster sign.	SIR cluster	Tasso std. * 100000 (ic)	Tasso std. > Tasso reg.	SIR (ic)	BIR (ic)	SIR sign.	BIR sign.	Trend	Livello attenzione
Causa (ICD-IX)													
Sclerosi multipla (G35)	M + F	<5	<5	.	.	2 (0-9)	.	195 (43-872)	105 (70-154)	.	.	n.c.	1
Neuropatie tossiche e infiammatorie non specificate (G619, G629)	F	0	0	.	.	0 (0-10)	.	0 (.-)	53 (4-247)	.	.	n.c.	1
Neuropatie tossiche e infiammatorie non specificate (G619, G629)	M	0	0	.	.	0 (0-14)	.	0 (.-)	44 (7-139)	.	.	n.c.	1
Neuropatie tossiche e infiammatorie non specificate (G619, G629)	M + F	0	0	.	.	0 (0-7)	.	0 (.-)	54 (11-143)	.	.	n.c.	1
Malattie dell'apparato circolatorio (I00-I99)	F	132	138	.	.	429 (369-496)	.	96 (83-111)	98 (90-108)	.	.	→	1
Malattie dell'apparato circolatorio (I00-I99)	M	115	123	.	.	369 (314-433)	.	94 (80-109)	98 (89-108)	.	.	→	1
Malattie dell'apparato circolatorio (I00-I99)	M + F	247	260	.	.	400 (359-445)	.	95 (85-105)	97 (90-105)	.	.	→	1
Malattia ipertensiva (I10-I15)	F	13	15	.	.	43 (25-68)	.	85 (54-133)	86 (62-117)	.	.	n.c.	1
Malattia ipertensiva (I10-I15)	M	8	10	.	.	26 (13-50)	.	82 (46-145)	86 (56-127)	.	.	n.c.	1
Malattia ipertensiva (I10-I15)	M + F	21	25	.	.	35 (23-51)	.	83 (58-119)	86 (64-113)	.	.	n.c.	1
Malattie ischemiche del cuore (I20-I25)	F	39	45	.	.	128 (96-167)	.	86 (66-112)	89 (74-107)	.	.	→	1
Malattie ischemiche del cuore (I20-I25)	M	45	50	.	.	141 (108-182)	.	91 (71-116)	92 (79-107)	.	.	→	1
Malattie ischemiche del cuore (I20-I25)	M + F	84	95	.	.	134 (111-162)	.	89 (74-106)	88 (77-102)	.	.	→	1
Infarto miocardico acuto (I21-I22)	F	13	13	.	.	42 (25-68)	.	104 (66-163)	95 (67-132)	.	.	n.c.	1
Infarto miocardico acuto (I21-I22)	M	19	18	.	.	57 (38-87)	.	107 (73-156)	102 (79-131)	.	.	→	1
Infarto miocardico acuto (I21-I22)	M + F	32	30	.	.	50 (36-68)	.	106 (79-141)	101 (79-129)	.	.	→	1


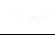




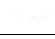
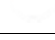
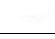
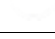
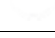

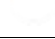
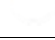
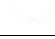

Tabella 5A - Corridonia	Genere	Osservati	Attesi	Cluster sign.	SIR cluster	Tasso std. * 100000 (ic)	Tasso std. > Tasso reg.	SIR (ic)	BIR (ic)	SIR sign.	BIR sign.	Trend	Livello attenzione
Causa (ICD-IX)													
Malattie cerebrovascolari (I60-I69)	F	43	38	.	.	138 (105-178)	.	113 (88-145)	111 (94-132)	.	.	↓	0 
Malattie cerebrovascolari (I60-I69)	M	31	31	2	123	101 (73-139)	.	99 (74-133)	107 (90-128)	.	.	→	1 
Malattie cerebrovascolari (I60-I69)	M + F	74	70	.	.	120 (98-147)	.	106 (88-129)	109 (94-126)	.	.	↓	0 
Malattie dell'apparato respiratorio (J00-J99)	F	27	19	.	.	87 (61-121)	↑	140 (102-192)	106 (86-132)	↑	.	n.c.	3 
Malattie dell'apparato respiratorio (J00-J99)	M	38	26	.	.	123 (92-164)	↑	144 (110-187)	111 (94-134)	↑	.	→	3 
Malattie dell'apparato respiratorio (J00-J99)	M + F	65	46	.	.	105 (84-130)	↑	142 (116-174)	116 (99-137)	↑	.	→	3 
Malattie respiratorie acute (J00-J06, J10-J18, J20-J22)	F	<5	>5	.	.	13 (5-31)	.	72 (32-160)	81 (52-121)	.	.	n.c.	1 
Malattie respiratorie acute (J00-J06, J10-J18, J20-J22)	M	>5	>5	2	145	26 (13-49)	.	141 (80-251)	112 (67-178)	.	.	→	1 
Malattie respiratorie acute (J00-J06, J10-J18, J20-J22)	M + F	12	11	.	.	19 (11-32)	.	107 (67-171)	92 (64-131)	.	.	→	1 
Malattie croniche dell'apparato respiratorio (BCPO) (J41-J44, J47)	F	12	8	.	.	39 (23-64)	.	154 (96-247)	112 (82-157)	.	.	n.c.	1 
Malattie croniche dell'apparato respiratorio (BCPO) (J41-J44, J47)	M	19	14	.	.	62 (40-93)	.	134 (92-196)	106 (86-133)	.	.	→	1 
Malattie croniche dell'apparato respiratorio (BCPO) (J41-J44, J47)	M + F	31	22	.	.	50 (36-69)	↑	141 (105-190)	114 (93-142)	↑	.	→	3 
Asma (J45)	F	0	0	.	.	0 (0-10)	.	0 (.-.)	79 (29-160)	.	.	n.c.	1 
Asma (J45)	M	<5	<5	.	.	3 (0-19)	.	633 (141-2835)	89 (35-273)	↑	.	n.c.	1 
Asma (J45)	M + F	<5	<5	.	.	2 (0-9)	.	243 (54-1089)	88 (52-153)	.	.	n.c.	1 
Pneumoconiosi (J60-J64)	M	0	0	.	.	0 (0-14)	.	0 (.-.)	22 (5-74)	.	↓	n.c.	0 




Tabella 5A - Corridonia	Genere	Osservati	Attesi	Cluster sign.	SIR cluster	Tasso std. * 100000 (ic)	Tasso std. > Tasso reg.	SIR (ic)	BIR (ic)	SIR sign.	BIR sign.	Trend	Livello attenzione
Causa (ICD-IX)													
Pneumoconiosi (J60-J64)	M + F	0	0	.	.	0 (0-7)	.	0 (.-.)	22 (5-74)	.	↓	n.c.	0 
Malattie dell'apparato digerente (K00-K93)	F	19	12	.	.	61 (40-90)	↑	155 (106-225)	106 (93-126)	↑	.	→	3 
Malattie dell'apparato digerente (K00-K93)	M	13	12	.	.	39 (23-64)	.	104 (66-164)	100 (85-116)	.	.	n.c.	1
Malattie dell'apparato digerente (K00-K93)	M + F	32	25	.	.	50 (37-69)	.	129 (97-173)	105 (91-123)	.	.	→	1
Cirrosi e altre malattie croniche del fegato (K70, K73-K74)	F	<5	<5	.	.	12 (4-29)	.	212 (95-472)	117 (81-191)	.	.	n.c.	1
Cirrosi e altre malattie croniche del fegato (K70, K73-K74)	M	>5	<5	.	.	17 (7-37)	.	162 (84-313)	98 (81-122)	.	.	n.c.	1
Cirrosi e altre malattie croniche del fegato (K70, K73-K74)	M + F	10	6	.	.	14 (8-26)	↑	179 (107-299)	104 (83-135)	↑	.	→	3 
Nefropatie croniche e acute (N00-N12)	F	0	0	.	.	0 (0-10)	.	0 (.-.)	86 (41-167)	.	.	n.c.	1
Nefropatie croniche e acute (N00-N12)	M	0	0	.	.	0 (0-14)	.	0 (.-.)	53 (16-137)	.	.	n.c.	1
Nefropatie croniche e acute (N00-N12)	M + F	0	0	.	.	0 (0-7)	.	0 (.-.)	75 (21-196)	.	.	n.c.	1
Malattie dell'apparato genito-urinario (N00-N99)	F	9	7	2	148	29 (15-51)	.	134 (78-231)	113 (85-149)	.	.	n.c.	1
Malattie dell'apparato genito-urinario (N00-N99)	M	8	6	.	.	25 (12-48)	.	126 (71-224)	105 (76-146)	.	.	n.c.	1
Malattie dell'apparato genito-urinario (N00-N99)	M + F	17	13	2	140	27 (17-42)	.	130 (88-194)	112 (89-143)	.	.	n.c.	1
Insufficienza renale acuta e cronica (N17-N19)	F	8	6	2	142	26 (13-46)	.	143 (80-253)	110 (84-147)	.	.	n.c.	1
Insufficienza renale acuta e cronica (N17-N19)	M	7	5	.	.	22 (10-43)	.	137 (74-252)	107 (78-146)	.	.	n.c.	1
Insufficienza renale acuta e cronica (N17-N19)	M + F	15	11	2	134	24 (15-37)	.	140 (92-213)	115 (91-147)	.	.	n.c.	1

Tabella 5A - Corridonia	Genere	Osservati	Attesi	Cluster sign.	SIR cluster	Tasso std. * 100000 (ic)	Tasso std. > Tasso reg.	SIR (ic)	BIR (ic)	SIR sign.	BIR sign.	Trend	Livello attenzione
Causa (ICD-IX)													
Malformazioni congenite (Q00-Q99)	F	<5	<5	.	.	2 (0-13)	.	100 (22-449)	101 (33-255)	'	'	n.c.	1
Malformazioni congenite (Q00-Q99)	M	0	1	.	.	0 (0-14)	.	0 (.-.)	57 (14-156)	'	'	n.c.	1
Malformazioni congenite (Q00-Q99)	M + F	<5	<5	.	.	1 (0-8)	.	54 (12-243)	74 (29-167)	'	'	n.c.	1
Sintomi, segni e stati morbosi mal definiti (R00-R99)	F	<5	<5	.	.	3 (0-16)	.	27 (6-120)	48 (18-104)	'	'	n.c.	1
Sintomi, segni e stati morbosi mal definiti (R00-R99)	M	<5	<5	.	.	9 (3-27)	.	159 (64-399)	102 (42-208)	'	'	n.c.	1
Sintomi, segni e stati morbosi mal definiti (R00-R99)	M + F	<5	>5	.	.	6 (2-16)	.	71 (32-159)	66 (31-123)	'	'	n.c.	1
Traumatismi e avvelenamenti (S00-T98)	F	10	12	.	.	30 (16-52)	.	83 (50-139)	96 (72-124)	'	'	n.c.	1
Traumatismi e avvelenamenti (S00-T98)	M	19	18	.	.	56 (37-85)	.	103 (71-151)	98 (85-113)	'	'	→	1
Traumatismi e avvelenamenti (S00-T98)	M + F	29	30	.	.	43 (30-59)	.	95 (70-129)	99 (84-116)	'	'	→	1

Tabella 6A. Decessi per causa nel comune di Loreto, tutte le età, periodo di osservazione 2009-2013

Tabella 6A - Loreto	Genere	Osservati	Attesi	Cluster sign.	SIR cluster	Tasso std. * 100000 (ic)	Tasso std. > Tasso reg.	SIR (ic)	BIR (ic)	SIR sign.	BIR sign.	Trend	Livello attenzione
Causa (ICD-IX)													
Mortalità generale (escluse cause violente) (A00-R99)	F	368	333	.	.	1146 (1047-1260)	↑	110 (101-120)	105 (98-111)	↑	.	→	3 😞
Mortalità generale (escluse cause violente) (A00-R99)	M	291	287	.	.	1066 (964-1179)	.	102 (92-112)	101 (94-109)	.	.	→	1 😐
Mortalità generale (escluse cause violente) (A00-R99)	M + F	659	620	1	109	1107 (1036-1186)	↑	106 (100-113)	104 (99-110)	.	.	→	2 😊
Mortalità per cause esterne o violente (S00-Y99)	F	7	12	.	.	21 (10-54)	.	59 (32-108)	87 (62-116)	.	.	n.c.	1 😐
Mortalità per cause esterne o violente (S00-Y99)	M	9	15	.	.	33 (17-63)	.	59 (35-102)	93 (75-106)	.	.	→	1 😐
Mortalità per cause esterne o violente (S00-Y99)	M + F	16	27	.	.	27 (17-47)	.	59 (39-89)	87 (71-104)	↓	.	→	0 😊
Malattie infettive (A00-B99)	F	5	7	.	.	15 (6-46)	.	77 (38-159)	98 (66-137)	.	.	n.c.	1 😐
Malattie infettive (A00-B99)	M	9	6	.	.	31 (16-60)	.	162 (94-278)	105 (84-141)	.	.	n.c.	1 😐
Malattie infettive (A00-B99)	M + F	14	12	2	136	23 (14-42)	.	116 (75-180)	108 (82-141)	.	.	n.c.	1 😐
Epatite virale (B17-B19)	F	<5	<5	.	.	3 (0-32)	.	103 (23-463)	115 (71-173)	.	.	n.c.	1 😐
Epatite virale (B17-B19)	M	<5	<5	.	.	11 (3-35)	.	277 (111-693)	116 (74-218)	↑	.	n.c.	3 😞
Epatite virale (B17-B19)	M + F	<5	<5	.	.	7 (2-23)	.	195 (87-434)	113 (88-165)	.	.	n.c.	1 😐
Tutti i tumori (C00-D48)	F	87	86	.	.	269 (223-330)	.	101 (85-120)	102 (94-110)	.	.	→	1 😐
Tutti i tumori (C00-D48)	M	115	102	.	.	423 (360-499)	↑	113 (97-132)	106 (97-118)	.	.	→	1 😐
Tutti i tumori (C00-D48)	M + F	202	188	.	.	343 (304-390)	↑	107 (96-121)	105 (97-113)	.	.	→	1 😐
Tumori maligni delle vie aeree e digestive superiori (C00-C15, C32)	F	<5	<5	.	.	3 (0-32)	.	79 (18-355)	113 (78-153)	.	.	n.c.	1 😐


Tabella 6A - Loreto	Genere	Osservati	Attesi	Cluster sign.	SIR cluster	Tasso std. * 100000 (ic)	Tasso std. > Tasso reg.	SIR (ic)	BIR (ic)	SIR sign.	BIR sign.	Trend	Livello attenzione
Causa (ICD-IX)													
Tumori maligni delle vie aeree e digestive superiori (C00-C15, C32)	M	<5	<5	.	.	7 (1-30)	.	58 (19-174)	81 (53-118)	.	.	n.c.	1
Tumori maligni delle vie aeree e digestive superiori (C00-C15, C32)	M + F	<5	>5	.	.	5 (1-21)	.	63 (25-158)	86 (59-119)	.	.	n.c.	1
Tumori maligni (C00-C97)	F	84	82	.	.	260 (215-320)	.	102 (86-122)	102 (94-111)	.	.	→	1
Tumori maligni (C00-C97)	M	111	97	.	.	408 (345-482)	↑	115 (98-134)	106 (97-117)	.	.	→	1
Tumori maligni (C00-C97)	M + F	195	179	.	.	331 (292-377)	↑	109 (97-123)	105 (98-114)	.	.	→	1
Tumori maligni dell'esofago (C15)	F	0	0	.	.	0 (0-29)	.	0 (.-.)	109 (36-189)	.	.	n.c.	1
Tumori maligni dell'esofago (C15)	M	<5	<5	.	.	7 (1-30)	.	204 (68-618)	94 (54-171)	.	.	n.c.	1
Tumori maligni dell'esofago (C15)	M + F	<5	<5	.	.	3 (1-19)	.	154 (51-465)	100 (53-185)	.	.	n.c.	1
Tumori maligni dello stomaco (C16)	F	<5	>5	.	.	12 (4-42)	.	60 (27-135)	95 (72-116)	.	.	n.c.	1
Tumori maligni dello stomaco (C16)	M	>5	>5	.	.	32 (17-62)	.	119 (70-205)	98 (70-136)	.	.	n.c.	1
Tumori maligni dello stomaco (C16)	M + F	13	14	.	.	21 (13-40)	.	92 (58-144)	89 (68-114)	.	.	→	1
Tumori maligni dell'intestino tenue, compreso il duodeno (C17)	F	0	0	.	.	0 (0-29)	.	0 (.-.)	63 (15-168)	.	.	n.c.	1
Tumori maligni dell'intestino tenue, compreso il duodeno (C17)	M	<5	<5	.	.	3 (0-26)	.	461 (103-2067)	123 (55-309)	↑	.	n.c.	1
Tumori maligni dell'intestino tenue, compreso il duodeno (C17)	M + F	<5	<5	.	.	2 (0-17)	.	320 (71-1434)	0 (0-0)	.	↓	n.c.	0 
Tumori maligni del colon (C18)	F	12	8	.	.	37 (21-72)	.	146 (91-234)	109 (88-140)	.	.	n.c.	1
Tumori maligni del colon (C18)	M	13	9	2	137	48 (28-82)	.	144 (92-227)	114 (88-150)	.	.	→	1

Tabella 6A - Loreto	Genere	Osservati	Attesi	Cluster sign.	SIR cluster	Tasso std. * 100000 (ic)	Tasso std. > Tasso reg.	SIR (ic)	BIR (ic)	SIR sign.	BIR sign.	Trend	Livello attenzione
Causa (ICD-IX)													
Tumori maligni del colon (C18)	M + F	25	17	.	.	42 (29-64)	↑	145 (105-202)	121 (97-152)	↑	.	→	3 😊
Tumori maligni del retto, della giunzione retto-sigmoidea e dell'ano (C19-C21)	F	>5	<5	.	.	15 (6-46)	.	211 (103-433)	118 (72-211)	↑	.	n.c.	3 😊
Tumori maligni del retto, della giunzione retto-sigmoidea e dell'ano (C19-C21)	M	<5	<5	.	.	3 (0-26)	.	36 (8-160)	71 (38-117)	.	.	n.c.	1
Tumori maligni del retto, della giunzione retto-sigmoidea e dell'ano (C19-C21)	M + F	6	5	.	.	9 (4-26)	.	116 (60-224)	97 (66-140)	.	.	n.c.	1
Tumore fegato e dotti biliari (C22)	F	<5	<5	.	.	6 (1-36)	.	88 (29-266)	96 (71-128)	.	.	n.c.	1
Tumore fegato e dotti biliari (C22)	M	>5	<5	.	.	24 (10-54)	.	136 (70-263)	128 (86-191)	.	.	n.c.	1
Tumore fegato e dotti biliari (C22)	M + F	8	7	.	.	15 (7-34)	.	120 (67-212)	118 (82-170)	.	.	n.c.	1
Tumori maligni del pancreas (C25)	F	8	6	.	.	25 (12-58)	.	131 (74-233)	101 (85-122)	.	.	n.c.	1
Tumori maligni del pancreas (C25)	M	7	6	.	.	26 (12-55)	.	126 (68-232)	101 (83-122)	.	.	n.c.	1
Tumori maligni del pancreas (C25)	M + F	15	12	.	.	25 (16-45)	.	129 (85-196)	102 (85-122)	.	.	→	1
Tumore del retroperitoneo (C48)	F	<5	<5	.	.	3 (0-32)	.	337 (75-1510)	99 (59-167)	.	.	n.c.	1
Tumore del retroperitoneo (C48)	M	<5	<5	.	.	4 (0-26)	.	364 (81-1633)	145 (62-409)	.	.	n.c.	1
Tumore del retroperitoneo (C48)	M + F	<5	<5	.	.	3 (1-19)	.	350 (116-1058)	113 (81-165)	↑	.	n.c.	3 😊
Tumori maligni della laringe (C32)	F	0	0	.	.	0 (0-29)	.	0 (.-.)	104 (36-207)	.	.	n.c.	1
Tumori maligni della laringe (C32)	M	0	1	.	.	0 (0-21)	.	0 (.-.)	94 (53-143)	.	.	n.c.	1
Tumori maligni della laringe (C32)	M + F	0	2	.	.	0 (0-15)	.	0 (.-.)	95 (54-144)	.	.	n.c.	1

Tabella 6A - Loreto	Genere	Osservati	Attesi	Cluster sign.	SIR cluster	Tasso std. * 100000 (ic)	Tasso std. > Tasso reg.	SIR (ic)	BIR (ic)	SIR sign.	BIR sign.	Trend	Livello attenzione
Causa (ICD-IX)													
Tumori maligni della trachea, dei bronchi e dei polmoni (C33-C34)	F	5	8	.	.	15 (6-47)	.	61 (30-125)	91 (60-123)	.	.	n.c.	1
Tumori maligni della trachea, dei bronchi e dei polmoni (C33-C34)	M	31	23	.	.	112 (81-157)	↑	132 (99-178)	108 (93-132)	.	.	→	1
Tumori maligni della trachea, dei bronchi e dei polmoni (C33-C34)	M + F	36	32	.	.	62 (46-87)	.	114 (87-150)	108 (91-129)	.	.	→	1
Mesotelioma (pleura, peritoneo, endocardio, ecc.) (C45)	F	0	0	.	.	0 (0-29)	.	0 (-.)	105 (47-180)	.	.	n.c.	1
Mesotelioma (pleura, peritoneo, endocardio, ecc.) (C45)	M	0	1	.	.	0 (0-21)	.	0 (-.)	73 (20-204)	.	.	n.c.	1
Mesotelioma (pleura, peritoneo, endocardio, ecc.) (C45)	M + F	0	2	.	.	0 (0-15)	.	0 (-.)	89 (37-181)	.	.	n.c.	1
Tumori maligni delle ossa e della cartilagine articolare (C40-C41)	F	0	0	.	.	0 (0-29)	.	0 (-.)	97 (25-229)	.	.	n.c.	1
Tumori maligni delle ossa e della cartilagine articolare (C40-C41)	M	0	0	.	.	0 (0-21)	.	0 (-.)	49 (12-148)	.	.	n.c.	1
Tumori maligni delle ossa e della cartilagine articolare (C40-C41)	M + F	0	0	.	.	0 (0-15)	.	0 (-.)	71 (18-171)	.	.	n.c.	1
Tumori maligni del connettivo e di altri tessuti molli (C49)	F	<5	<5	.	.	9 (2-39)	↑	519 (207-1298)	112 (78-210)	↑	.	n.c.	3 😞
Tumori maligni del connettivo e di altri tessuti molli (C49)	M	<5	<5	.	.	4 (0-26)	.	233 (52-1046)	95 (62-148)	.	.	n.c.	1
Tumori maligni del connettivo e di altri tessuti molli (C49)	M + F	<5	<5	.	.	7 (2-23)	↑	397 (178-885)	110 (79-178)	↑	.	n.c.	3 😞
Melanoma maligno della pelle (C43)	F	0	1	.	.	0 (0-29)	.	0 (-.)	97 (64-138)	.	.	n.c.	1
Melanoma maligno della pelle (C43)	M	0	1	.	.	0 (0-21)	.	0 (-.)	94 (57-133)	.	.	n.c.	1
Melanoma maligno della pelle (C43)	M + F	0	2	.	.	0 (0-15)	.	0 (-.)	94 (68-125)	.	.	n.c.	1
Tumori maligni della mammella (C50)	F	12	13	.	.	37 (21-72)	.	91 (57-146)	106 (85-129)	.	.	n.c.	1

Tabella 6A - Loreto	Genere	Osservati	Attesi	Cluster sign.	SIR cluster	Tasso std. * 100000 (ic)	Tasso std. > Tasso reg.	SIR (ic)	BIR (ic)	SIR sign.	BIR sign.	Trend	Livello attenzione
Causa (ICD-IX)													
Tumori maligni della mammella (C50)	M + F	12	13	.	.	19 (11-38)	.	90 (56-144)	105 (84-129)	.	.	n.c.	1
Tumori maligni dell'utero (C53-C55)	F	<5	<5	.	.	13 (4-44)	.	130 (58-289)	99 (74-137)	.	.	n.c.	1
Tumori maligni del corpo dell'utero (C54)	F	<5	<5	.	.	3 (0-33)	.	125 (28-562)	92 (44-163)	.	.	n.c.	1
Tumori maligni dell'ovaio e degli altri annessi uterini (C56-C57)	F	<5	<5	.	.	13 (4-43)	.	116 (52-259)	101 (74-138)	.	.	n.c.	1
Tumore della prostata (C61)	M	12	8	.	.	46 (26-80)	.	151 (94-241)	104 (89-131)	.	.	→	1
Tumore del testicolo (C62)	M	0	0	.	.	0 (0-21)	.	0 (.-.)	99 (24-295)	.	.	n.c.	1
Tumori maligni della vescica (C67)	F	<5	<5	.	.	3 (0-32)	.	73 (16-327)	106 (68-148)	.	.	n.c.	1
Tumori maligni della vescica (C67)	M	<5	>5	.	.	7 (1-30)	.	44 (15-133)	95 (73-115)	.	.	n.c.	1
Tumori maligni della vescica (C67)	M + F	<5	>5	.	.	5 (1-21)	.	51 (20-127)	100 (84-114)	.	.	n.c.	1
Tumori maligni del rene e di altri e non specificati organi urinari (C64-C66, C68)	F	<5	<5	.	.	10 (3-40)	.	169 (67-422)	93 (54-155)	.	.	n.c.	1
Tumori maligni del rene e di altri e non specificati organi urinari (C64-C66, C68)	M	<5	<5	.	.	7 (1-31)	.	64 (21-194)	91 (62-124)	.	.	n.c.	1
Tumori maligni del rene e di altri e non specificati organi urinari (C64-C66, C68)	M + F	5	5	.	.	8 (3-25)	.	102 (50-210)	93 (67-123)	.	.	n.c.	1
Tumore del sistema nervoso centrale (C70-C72,D33)	F	<5	<5	.	.	3 (0-33)	.	57 (13-256)	92 (64-123)	.	.	n.c.	1
Tumore del sistema nervoso centrale (C70-C72,D33)	M	>5	<5	.	.	22 (9-49)	↑	236 (122-457)	121 (85-201)	↑	.	n.c.	3 😊
Tumore del sistema nervoso centrale (C70-C72,D33)	M + F	7	4	.	.	12 (6-30)	.	163 (88-301)	104 (86-129)	.	.	n.c.	1
Tumori maligni dell'encefalo (C71)	F	<5	<5	.	.	3 (0-33)	.	60 (13-269)	94 (73-116)	.	.	n.c.	1

Tabella 6A - Loreto	Genere	Osservati	Attesi	Cluster sign.	SIR cluster	Tasso std. * 100000 (ic)	Tasso std. > Tasso reg.	SIR (ic)	BIR (ic)	SIR sign.	BIR sign.	Trend	Livello attenzione
Causa (ICD-IX)													
Tumori maligni dell'encefalo (C71)	M	>5	<5	.	.	22 (9-49)	↑	241 (125-466)	115 (84-199)	↑	.	n.c.	3 🟡
Tumori maligni dell'encefalo (C71)	M + F	7	4	.	.	12 (6-30)	.	168 (91-310)	103 (89-124)	.	.	n.c.	1
Tumori maligni della ghiandola tiroide (C73)	F	0	0	.	.	0 (0-29)	.	0 (.-.)	119 (61-188)	.	.	n.c.	1
Tumori maligni della ghiandola tiroide (C73)	M	0	0	.	.	0 (0-21)	.	0 (.-.)	100 (64-150)	.	.	n.c.	1
Tumori maligni della ghiandola tiroide (C73)	M + F	0	1	.	.	0 (0-15)	.	0 (.-.)	115 (74-169)	.	.	n.c.	1
Tumori emolinfopoiетici (C81-C96)	F	8	8	.	.	25 (12-58)	.	100 (56-177)	102 (87-118)	.	.	n.c.	1
Tumori emolinfopoiетici (C81-C96)	M	5	9	.	.	18 (7-45)	.	59 (29-121)	101 (87-115)	.	.	n.c.	1
Tumori emolinfopoiетici (C81-C96)	M + F	13	17	.	.	21 (13-40)	.	79 (50-124)	101 (90-113)	.	.	→	1
Malattia di Hodgkin (C81)	F	<5	<5	.	.	3 (0-32)	.	456 (102-2044)	127 (52-548)	↑	.	n.c.	1
Malattia di Hodgkin (C81)	M	0	0	.	.	0 (0-21)	.	0 (.-.)	100 (45-170)	.	.	n.c.	1
Malattia di Hodgkin (C81)	M + F	<5	<5	.	.	2 (0-17)	.	227 (51-1017)	110 (54-232)	.	.	n.c.	1
Linfoma non Hodgkin (C82-C85)	F	<5	<5	.	.	10 (3-40)	.	124 (49-309)	97 (76-126)	.	.	n.c.	1
Linfoma non Hodgkin (C82-C85)	M	<5	<5	.	.	3 (0-26)	.	33 (7-148)	107 (86-127)	.	.	n.c.	1
Linfoma non Hodgkin (C82-C85)	M + F	<5	>5	.	.	7 (2-23)	.	73 (33-164)	102 (81-122)	.	.	n.c.	1
Mieloma multiplo e tumori immunoproliferativi (C88, C90)	F	0	2	.	.	0 (0-29)	.	0 (.-.)	89 (51-116)	.	.	n.c.	1
Mieloma multiplo e tumori immunoproliferativi (C88, C90)	M	<5	<5	.	.	4 (0-26)	.	55 (12-246)	89 (57-127)	.	.	n.c.	1





Tabella 6A - Loreto	Genere	Osservati	Attesi	Cluster sign.	SIR cluster	Tasso std. * 100000 (ic)	Tasso std. > Tasso reg.	SIR (ic)	BIR (ic)	SIR sign.	BIR sign.	Trend	Livello attenzione
Causa (ICD-IX)													
Mieloma multiplo e tumori immunoproliferativi (C88, C90)	M + F	<5	<5	.	.	2 (0-17)	.	26 (6-118)	80 (50-114)	.	.	n.c.	1
Leucemie (C91-C95)	F	<5	<5	.	.	12 (4-43)	.	121 (54-269)	113 (85-163)	.	.	n.c.	1
Leucemie (C91-C95)	M	<5	<5	.	.	11 (3-35)	.	88 (35-221)	101 (69-151)	.	.	n.c.	1
Leucemie (C91-C95)	M + F	7	7	.	.	11 (5-28)	.	104 (57-193)	108 (90-136)	.	.	↓	0 
Leucemia linfocitica (acuta e cronica) (C91)	F	0	1	.	.	0 (0-29)	.	0 (.-)	116 (78-148)	.	.	n.c.	1
Leucemia linfocitica (acuta e cronica) (C91)	M	<5	<5	.	.	7 (1-31)	.	151 (50-456)	109 (79-165)	.	.	n.c.	1
Leucemia linfocitica (acuta e cronica) (C91)	M + F	<5	<5	.	.	3 (1-19)	.	83 (27-250)	112 (89-138)	.	.	n.c.	1
Leucemia mieloide (acuta e cronica) (C92)	F	<5	<5	.	.	12 (4-43)	.	284 (127-633)	107 (80-175)	↑	.	n.c.	3 
Leucemia mieloide (acuta e cronica) (C92)	M	<5	<5	.	.	3 (0-26)	.	70 (16-313)	92 (56-143)	.	.	n.c.	1
Leucemia mieloide (acuta e cronica) (C92)	M + F	5	3	.	.	8 (3-24)	.	176 (86-362)	107 (76-163)	.	.	n.c.	1
Malattie del sangue e degli organi emopoietici (D50-D77)	F	<5	<5	.	.	6 (1-35)	.	93 (31-281)	109 (70-171)	.	.	n.c.	1
Malattie del sangue e degli organi emopoietici (D50-D77)	M	0	1	.	.	0 (0-21)	.	0 (.-)	93 (63-125)	.	.	n.c.	1
Malattie del sangue e degli organi emopoietici (D50-D77)	M + F	<5	<5	.	.	3 (1-18)	.	61 (20-186)	101 (72-132)	.	.	n.c.	1
Malattie endocrine, della nutrizione ed immunitarie (E00-E90, D80-D89)	F	>5	>5	.	.	36 (21-71)	.	83 (52-133)	92 (70-118)	.	.	n.c.	1
Malattie endocrine, della nutrizione ed immunitarie (E00-E90, D80-D89)	M	<5	>5	.	.	14 (5-39)	.	37 (17-83)	82 (57-112)	↓	.	n.c.	0 
Malattie endocrine, della nutrizione ed immunitarie (E00-E90, D80-D89)	M + F	16	25	.	.	25 (16-45)	.	64 (42-96)	82 (63-105)	↓	.	→	0 




Tabella 6A - Loreto	Genere	Osservati	Attesi	Cluster sign.	SIR cluster	Tasso std. * 100000 (ic)	Tasso std. > Tasso reg.	SIR (ic)	BIR (ic)	SIR sign.	BIR sign.	Trend	Livello attenzione
Causa (ICD-IX)													
Tireotossicosi (E05)	F	0	0	.	.	0 (0-29)	.	0 (.-.)	99 (33-228)	.	.	n.c.	1
Tireotossicosi (E05)	M	0	0	.	.	0 (0-21)	.	0 (.-.)	56 (0-237)	.	.	n.c.	1
Tireotossicosi (E05)	M + F	0	0	.	.	0 (0-15)	.	0 (.-.)	98 (24-205)	.	.	n.c.	1
Ipotiroidismo (E00-E03)	F	0	0	.	.	0 (0-29)	.	0 (.-.)	80 (18-199)	.	.	n.c.	1
Ipotiroidismo (E00-E03)	M	0	0	.	.	0 (0-21)	.	0 (.-.)	57 (12-165)	.	.	n.c.	1
Ipotiroidismo (E00-E03)	M + F	0	0	.	.	0 (0-15)	.	0 (.-.)	83 (26-165)	.	.	n.c.	1
Diabete mellito (E10-E14)	F	>5	>5	.	.	30 (16-64)	.	96 (57-160)	94 (69-126)	.	.	n.c.	1
Diabete mellito (E10-E14)	M	<5	>5	.	.	7 (1-31)	.	25 (8-75)	80 (52-114)	↓	.	n.c.	0 
Diabete mellito (E10-E14)	M + F	12	19	.	.	19 (11-37)	.	65 (41-104)	83 (60-110)	.	.	n.c.	1
Demenze (F00-F01, F020-F023, F03, G30, G310)	F	25	22	.	.	81 (55-126)	.	112 (80-155)	102 (75-134)	.	.	n.c.	1
Demenze (F00-F01, F020-F023, F03, G30, G310)	M	12	10	.	.	43 (24-75)	.	117 (73-188)	105 (74-148)	.	.	n.c.	1
Demenze (F00-F01, F020-F023, F03, G30, G310)	M + F	37	33	.	.	63 (46-88)	.	113 (87-148)	105 (82-133)	.	.	n.c.	1
Malattie neuro-psichiatriche (escluse tossicod.) (F00-F09, F20-F99)	F	20	13	.	.	66 (42-109)	↑	159 (110-229)	127 (87-179)	↑	.	n.c.	3 
Malattie neuro-psichiatriche (escluse tossicod.) (F00-F09, F20-F99)	M	7	6	.	.	23 (11-51)	.	124 (67-229)	95 (56-158)	.	.	n.c.	1
Malattie neuro-psichiatriche (escluse tossicod.) (F00-F09, F20-F99)	M + F	27	18	.	.	46 (31-69)	.	148 (108-203)	123 (89-165)	↑	.	n.c.	3 
Malattie del sistema nervoso e degli organi di senso (G00-H95)	F	13	19	.	.	40 (24-76)	.	68 (43-106)	93 (70-121)	.	.	→	1


Tabella 6A - Loreto	Genere	Osservati	Attesi	Cluster sign.	SIR cluster	Tasso std. * 100000 (ic)	Tasso std. > Tasso reg.	SIR (ic)	BIR (ic)	SIR sign.	BIR sign.	Trend	Livello attenzione
Causa (ICD-IX)													
Malattie del sistema nervoso e degli organi di senso (G00-H95)	M	14	13	2	141	51 (31-85)	.	112 (72-173)	113 (87-146)	.	.	→	1
Malattie del sistema nervoso e degli organi di senso (G00-H95)	M + F	27	32	.	.	45 (32-68)	.	85 (62-117)	100 (80-123)	.	.	→	1
Morbo di Parkinson (G20)	F	<5	<5	.	.	12 (4-43)	.	164 (74-366)	100 (70-153)	.	.	n.c.	1
Morbo di Parkinson (G20)	M	0	3	.	.	0 (0-21)	.	0 (-.)	95 (63-123)	.	.	n.c.	1
Morbo di Parkinson (G20)	M + F	<5	>5	.	.	6 (2-22)	.	78 (35-175)	95 (69-126)	.	.	n.c.	1
Malattia di Alzheimer (G30)	F	5	11	.	.	15 (6-46)	.	48 (23-98)	78 (49-117)	↓	.	n.c.	0 
Malattia di Alzheimer (G30)	M	5	5	.	.	19 (7-47)	.	100 (49-205)	111 (69-173)	.	.	n.c.	1
Malattia di Alzheimer (G30)	M + F	10	16	.	.	17 (9-35)	.	65 (39-108)	85 (58-120)	.	.	n.c.	1
Epilessia (G40)	F	<5	<5	.	.	3 (0-33)	.	160 (36-718)	123 (70-209)	.	.	n.c.	1
Epilessia (G40)	M	0	1	.	.	0 (0-21)	.	0 (-.)	95 (54-149)	.	.	n.c.	1
Epilessia (G40)	M + F	<5	<5	.	.	2 (0-17)	.	91 (20-409)	108 (58-177)	.	.	n.c.	1
Malattia dei neuroni motori (G122)	F	<5	<5	.	.	3 (0-33)	.	83 (19-373)	85 (28-215)	.	.	n.c.	1
Malattia dei neuroni motori (G122)	M	<5	<5	.	.	4 (0-26)	.	87 (19-390)	104 (54-183)	.	.	n.c.	1
Malattia dei neuroni motori (G122)	M + F	<5	<5	.	.	4 (1-19)	.	85 (28-257)	92 (41-189)	.	.	n.c.	1
Sclerosi multipla (G35)	F	0	0	.	.	0 (0-29)	.	0 (-.)	103 (58-164)	.	.	n.c.	1
Sclerosi multipla (G35)	M	0	0	.	.	0 (0-21)	.	0 (-.)	83 (12-211)	.	.	n.c.	1









Tabella 6A - Loreto	Genere	Osservati	Attesi	Cluster sign.	SIR cluster	Tasso std. * 100000 (ic)	Tasso std. > Tasso reg.	SIR (ic)	BIR (ic)	SIR sign.	BIR sign.	Trend	Livello attenzione
Causa (ICD-IX)													
Sclerosi multipla (G35)	M + F	0	0	.	.	0 (0-15)	.	0 (.-.)	99 (59-151)	.	.	n.c.	1
Neuropatie tossiche e infiammatorie non specificate (G619, G629)	F	0	0	.	.	0 (0-29)	.	0 (.-.)	58 (4-290)	.	.	n.c.	1
Neuropatie tossiche e infiammatorie non specificate (G619, G629)	M	0	0	.	.	0 (0-21)	.	0 (.-.)	47 (8-169)	.	.	n.c.	1
Neuropatie tossiche e infiammatorie non specificate (G619, G629)	M + F	0	0	.	.	0 (0-15)	.	0 (.-.)	61 (10-192)	.	.	n.c.	1
Malattie dell'apparato circolatorio (I00-I99)	F	182	144	.	.	567 (497-652)	↑	126 (112-142)	111 (101-121)	↑	↑	→	5 
Malattie dell'apparato circolatorio (I00-I99)	M	100	106	.	.	372 (313-444)	.	94 (80-111)	98 (88-108)	.	.	→	1
Malattie dell'apparato circolatorio (I00-I99)	M + F	282	250	.	.	473 (427-527)	↑	113 (102-124)	106 (98-115)	↑	.	→	3 
Malattia ipertensiva (I10-I15)	F	33	16	2	144	105 (76-153)	↑	204 (154-272)	175 (130-229)	↑	↑	→	5 
Malattia ipertensiva (I10-I15)	M	7	8	.	.	28 (13-58)	.	83 (45-154)	85 (54-129)	.	.	n.c.	1
Malattia ipertensiva (I10-I15)	M + F	40	25	2	135	68 (50-94)	↑	163 (126-211)	150 (116-192)	↑	↑	→	5 
Malattie ischemiche del cuore (I20-I25)	F	69	48	.	.	213 (172-271)	↑	145 (119-177)	125 (103-150)	↑	↑	→	5 
Malattie ischemiche del cuore (I20-I25)	M	41	43	.	.	155 (117-206)	.	96 (74-124)	95 (78-114)	.	.	→	1
Malattie ischemiche del cuore (I20-I25)	M + F	110	90	.	.	185 (156-222)	↑	122 (104-142)	113 (97-131)	↑	.	→	3 
Infarto miocardico acuto (I21-I22)	F	22	13	.	.	67 (45-107)	↑	168 (119-239)	137 (99-186)	↑	.	→	3 
Infarto miocardico acuto (I21-I22)	M	18	15	.	.	69 (44-108)	.	119 (81-175)	108 (77-147)	.	.	→	1
Infarto miocardico acuto (I21-I22)	M + F	40	28	.	.	68 (51-94)	↑	142 (109-184)	129 (100-163)	↑	.	→	3 


Tabella 6A - Loreto	Genere	Osservati	Attesi	Cluster sign.	SIR cluster	Tasso std. * 100000 (ic)	Tasso std. > Tasso reg.	SIR (ic)	BIR (ic)	SIR sign.	BIR sign.	Trend	Livello attenzione
Causa (ICD-IX)													
Malattie cerebrovascolari (I60-I69)	F	42	40	.	.	127 (97-175)	.	104 (81-134)	102 (84-123)	.	.	→	1
Malattie cerebrovascolari (I60-I69)	M	31	27	.	.	112 (81-156)	.	114 (85-153)	106 (85-131)	.	.	→	1
Malattie cerebrovascolari (I60-I69)	M + F	73	68	.	.	120 (98-150)	.	108 (89-131)	105 (89-123)	.	.	→	1
Malattie dell'apparato respiratorio (J00-J99)	F	22	20	.	.	65 (44-105)	.	109 (77-155)	98 (76-127)	.	.	→	1
Malattie dell'apparato respiratorio (J00-J99)	M	20	23	.	.	71 (47-109)	.	88 (61-127)	93 (73-115)	.	.	→	1
Malattie dell'apparato respiratorio (J00-J99)	M + F	42	43	.	.	68 (52-93)	.	98 (76-126)	95 (78-116)	.	.	→	1
Malattie respiratorie acute (J00-J06, J10-J18, J20-J22)	F	>5	>5	.	.	18 (8-50)	.	102 (53-198)	94 (60-142)	.	.	n.c.	1
Malattie respiratorie acute (J00-J06, J10-J18, J20-J22)	M	<5	>5	2	145	14 (5-39)	.	84 (38-187)	83 (46-138)	.	.	n.c.	1
Malattie respiratorie acute (J00-J06, J10-J18, J20-J22)	M + F	10	11	.	.	16 (9-34)	.	94 (56-157)	92 (61-137)	.	.	→	1
Malattie croniche dell'apparato respiratorio (BCPO) (J41-J44, J47)	F	11	8	.	.	33 (18-67)	.	135 (83-221)	111 (75-162)	.	.	n.c.	1
Malattie croniche dell'apparato respiratorio (BCPO) (J41-J44, J47)	M	11	12	.	.	39 (22-70)	.	90 (55-147)	93 (69-122)	.	.	n.c.	1
Malattie croniche dell'apparato respiratorio (BCPO) (J41-J44, J47)	M + F	22	20	.	.	36 (24-56)	.	108 (76-153)	100 (76-131)	.	.	n.c.	1
Asma (J45)	F	0	0	.	.	0 (0-29)	.	0 (-.)	76 (24-172)	.	.	n.c.	1
Asma (J45)	M	0	0	.	.	0 (0-21)	.	0 (-.)	74 (19-178)	.	.	n.c.	1
Asma (J45)	M + F	0	0	.	.	0 (0-15)	.	0 (-.)	83 (40-140)	.	.	n.c.	1
Pneumoconiosi (J60-J64)	M	0	0	.	.	0 (0-21)	.	0 (-.)	14 (1-73)	.	↓	n.c.	0 


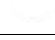


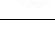




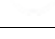


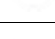


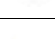
Tabella 6A - Loreto	Genere	Osservati	Attesi	Cluster sign.	SIR cluster	Tasso std. * 100000 (ic)	Tasso std. > Tasso reg.	SIR (ic)	BIR (ic)	SIR sign.	BIR sign.	Trend	Livello attenzione
Causa (ICD-IX)													
Pneumoconiosi (J60-J64)	M + F	0	0	.	.	0 (0-15)	.	0 (.-)	14 (1-73)	.	↓	n.c.	0 
Malattie dell'apparato digerente (K00-K93)	F	14	13	2	132	42 (26-78)	.	110 (71-170)	104 (89-124)	.	.	→	1 
Malattie dell'apparato digerente (K00-K93)	M	17	11	.	.	62 (39-99)	↑	158 (106-235)	109 (92-141)	↑	.	n.c.	3 
Malattie dell'apparato digerente (K00-K93)	M + F	31	24	2	123	52 (37-75)	↑	132 (98-177)	115 (97-140)	.	.	→	2 
Cirrosi e altre malattie croniche del fegato (K70, K73-K74)	F	<5	<5	.	.	6 (1-36)	.	108 (36-325)	108 (66-165)	.	.	n.c.	1 
Cirrosi e altre malattie croniche del fegato (K70, K73-K74)	M	<5	<5	.	.	11 (3-36)	.	98 (39-245)	97 (77-119)	.	.	n.c.	1 
Cirrosi e altre malattie croniche del fegato (K70, K73-K74)	M + F	5	5	.	.	8 (3-25)	.	102 (49-209)	101 (75-136)	.	.	n.c.	1 
Nefropatie croniche e acute (N00-N12)	F	0	0	.	.	0 (0-29)	.	0 (.-)	83 (36-161)	.	.	n.c.	1 
Nefropatie croniche e acute (N00-N12)	M	0	0	.	.	0 (0-21)	.	0 (.-)	51 (14-142)	.	.	n.c.	1 
Nefropatie croniche e acute (N00-N12)	M + F	0	0	.	.	0 (0-15)	.	0 (.-)	59 (13-187)	.	.	n.c.	1 
Malattie dell'apparato genito-urinario (N00-N99)	F	>5	>5	2	148	30 (13-68)	.	114 (64-203)	119 (83-170)	.	.	n.c.	1 
Malattie dell'apparato genito-urinario (N00-N99)	M	<5	>5	2	154	10 (3-34)	.	55 (22-139)	90 (58-132)	.	.	n.c.	1 
Malattie dell'apparato genito-urinario (N00-N99)	M + F	11	12	.	.	21 (11-41)	.	89 (54-145)	104 (76-138)	.	.	n.c.	1 
Insufficienza renale acuta e cronica (N17-N19)	F	>5	>5	2	142	27 (11-65)	.	120 (65-221)	115 (82-163)	.	.	n.c.	1 
Insufficienza renale acuta e cronica (N17-N19)	M	<5	<5	.	.	10 (3-34)	.	69 (27-172)	96 (64-137)	.	.	n.c.	1 
Insufficienza renale acuta e cronica (N17-N19)	M + F	10	10	2	134	19 (9-39)	.	98 (59-164)	109 (78-147)	.	.	n.c.	1 




Tabella 6A - Loreto	Genere	Osservati	Attesi	Cluster sign.	SIR cluster	Tasso std. * 100000 (ic)	Tasso std. > Tasso reg.	SIR (ic)	BIR (ic)	SIR sign.	BIR sign.	Trend	Livello attenzione
Causa (ICD-IX)													
Malformazioni congenite (Q00-Q99)	F	<5	<5	.	.	6 (1-36)	.	231 (76-698)	163 (58-414)	,	,	n.c.	1
Malformazioni congenite (Q00-Q99)	M	<5	<5	.	.	4 (0-26)	.	154 (34-688)	101 (30-287)	,	,	n.c.	1
Malformazioni congenite (Q00-Q99)	M + F	<5	<5	.	.	5 (1-21)	.	198 (79-495)	160 (66-335)	,	,	n.c.	1
Sintomi, segni e stati morbosi mal definiti (R00-R99)	F	<5	<5	.	.	3 (0-32)	.	28 (6-125)	36 (12-89)	,	↓	n.c.	0 
Sintomi, segni e stati morbosi mal definiti (R00-R99)	M	0	2	.	.	0 (0-21)	.	0 (.-)	43 (14-112)	,	,	n.c.	1
Sintomi, segni e stati morbosi mal definiti (R00-R99)	M + F	<5	>5	.	.	2 (0-17)	.	19 (4-86)	31 (11-72)	↓	↓	n.c.	0 
Traumatismi e avvelenamenti (S00-T98)	F	7	12	.	.	21 (10-54)	.	59 (32-108)	87 (62-116)	,	,	n.c.	1
Traumatismi e avvelenamenti (S00-T98)	M	9	15	.	.	33 (17-63)	.	59 (35-102)	93 (75-106)	,	,	→	1
Traumatismi e avvelenamenti (S00-T98)	M + F	16	27	.	.	27 (17-47)	.	59 (39-89)	87 (71-104)	↓	,	→	0 

Tabella 7A. Decessi per causa nel comune di Macerata, tutte le età, periodo di osservazione 2009-2013



Tabella 7A - Macerata	Genere	Osservati	Attesi	Cluster sign.	SIR cluster	Tasso std. * 100000 (ic)	Tasso std. > Tasso reg.	SIR (ic)	BIR (ic)	SIR sign.	BIR sign.	Trend	Livello attenzione
Causa (ICD-IX)													
Mortalità generale (escluse cause violente) (A00-R99)	F	1235	1218	.	.	1034 (986-1084)	.	101 (97-106)	101 (97-105)	.	.	→	1
Mortalità generale (escluse cause violente) (A00-R99)	M	1105	1077	.	.	1064 (1012-1118)	.	103 (98-108)	102 (98-107)	.	.	→	1
Mortalità generale (escluse cause violente) (A00-R99)	M + F	2340	2295	.	.	1049 (1013-1085)	.	102 (99-105)	102 (98-105)	.	.	→	1
Mortalità per cause esterne o violente (S00-Y99)	F	53	43	.	.	45 (35-56)	.	122 (98-153)	113 (94-137)	.	.	→	1
Mortalità per cause esterne o violente (S00-Y99)	M	51	55	.	.	50 (39-63)	.	93 (74-118)	96 (84-108)	.	.	→	1
Mortalità per cause esterne o violente (S00-Y99)	M + F	104	98	.	.	47 (40-55)	.	106 (90-125)	102 (90-115)	.	.	→	1
Malattie infettive (A00-B99)	F	38	24	2	153	32 (24-42)	↑	161 (123-210)	138 (107-178)	↑	↑	→	5 
Malattie infettive (A00-B99)	M	23	21	.	.	22 (15-32)	.	112 (80-158)	105 (90-127)	.	.	→	1
Malattie infettive (A00-B99)	M + F	61	44	2	136	27 (22-34)	↑	138 (112-171)	126 (105-152)	↑	↑	→	5 
Epatite virale (B17-B19)	F	>5	<5	.	.	4 (2-9)	.	142 (69-292)	119 (84-174)	.	.	n.c.	1
Epatite virale (B17-B19)	M	<5	<5	.	.	3 (1-8)	.	79 (31-197)	98 (57-141)	.	.	n.c.	1
Epatite virale (B17-B19)	M + F	8	7	.	.	4 (2-7)	.	109 (62-194)	110 (84-144)	.	.	n.c.	1
Tutti i tumori (C00-D48)	F	321	314	.	.	272 (248-299)	.	102 (93-112)	102 (97-109)	.	.	→	1
Tutti i tumori (C00-D48)	M	376	376	.	.	364 (334-397)	.	100 (92-109)	100 (94-107)	.	.	→	1
Tutti i tumori (C00-D48)	M + F	697	690	.	.	317 (297-337)	.	101 (95-108)	102 (97-107)	.	.	→	1
Tumori maligni delle vie aeree e digestive superiori (C00-C15, C32)	F	5	5	.	.	4 (2-9)	.	109 (53-223)	114 (86-147)	.	.	n.c.	1

Tabella 7A - Macerata	Genere	Osservati	Attesi	Cluster sign.	SIR cluster	Tasso std. * 100000 (ic)	Tasso std. > Tasso reg.	SIR (ic)	BIR (ic)	SIR sign.	BIR sign.	Trend	Livello attenzione
Causa (ICD-IX)													
Tumori maligni delle vie aeree e digestive superiori (C00-C15, C32)	M	16	13	.	.	16 (10-24)	.	124 (83-187)	93 (71-121)	.	.	↑	2 😊
Tumori maligni delle vie aeree e digestive superiori (C00-C15, C32)	M + F	21	18	.	.	10 (6-14)	.	120 (84-172)	97 (78-123)	.	.	↑	2 😊
Tumori maligni (C00-C97)	F	307	299	.	.	261 (237-287)	.	103 (94-113)	102 (96-109)	.	.	→	1
Tumori maligni (C00-C97)	M	356	358	.	.	345 (315-377)	.	99 (91-109)	100 (94-106)	.	.	→	1
Tumori maligni (C00-C97)	M + F	663	656	.	.	301 (282-321)	.	101 (95-108)	101 (96-107)	.	.	→	1
Tumori maligni dell'esofago (C15)	F	<5	<5	.	.	2 (0-5)	.	168 (55-506)	119 (61-222)	.	.	n.c.	1
Tumori maligni dell'esofago (C15)	M	<5	<5	.	.	4 (1-9)	.	111 (50-248)	86 (55-131)	.	.	n.c.	1
Tumori maligni dell'esofago (C15)	M + F	6	5	.	.	3 (1-5)	.	125 (65-242)	99 (62-161)	.	.	n.c.	1
Tumori maligni dello stomaco (C16)	F	30	24	.	.	25 (18-34)	.	125 (93-169)	105 (89-128)	.	.	↓	0 😊
Tumori maligni dello stomaco (C16)	M	29	28	.	.	28 (20-39)	.	104 (77-141)	101 (82-125)	.	.	→	1
Tumori maligni dello stomaco (C16)	M + F	59	52	2	124	27 (21-33)	.	114 (92-141)	105 (90-123)	.	.	→	1
Tumori maligni dell'intestino tenue, compreso il duodeno (C17)	F	<5	<5	.	.	1 (0-4)	.	297 (66-1331)	72 (24-189)	.	.	n.c.	1
Tumori maligni dell'intestino tenue, compreso il duodeno (C17)	M	0	1	.	.	0 (0-3)	.	0 (-.-)	103 (39-196)	.	.	n.c.	1
Tumori maligni dell'intestino tenue, compreso il duodeno (C17)	M + F	<5	<5	.	.	0 (0-2)	.	89 (20-397)	0 (0-0)	.	↓	n.c.	0 😊
Tumori maligni del colon (C18)	F	31	30	.	.	26 (19-35)	.	104 (77-139)	103 (87-121)	.	.	→	1
Tumori maligni del colon (C18)	M	28	33	.	.	27 (19-37)	.	84 (61-114)	96 (79-114)	.	.	→	1

Tabella 7A - Macerata	Genere	Osservati	Attesi	Cluster sign.	SIR cluster	Tasso std. * 100000 (ic)	Tasso std. > Tasso reg.	SIR (ic)	BIR (ic)	SIR sign.	BIR sign.	Trend	Livello attenzione
Causa (ICD-IX)													
Tumori maligni del colon (C18)	M + F	59	63	.	.	26 (21-33)	.	93 (75-115)	99 (85-114)	.	.	→	1
Tumori maligni del retto, della giunzione retto-sigmoidea e dell'ano (C19-C21)	F	6	9	.	.	5 (2-10)	.	70 (36-135)	83 (53-116)	.	.	n.c.	1
Tumori maligni del retto, della giunzione retto-sigmoidea e dell'ano (C19-C21)	M	13	10	.	.	13 (7-20)	.	126 (80-198)	96 (69-136)	.	.	→	1
Tumori maligni del retto, della giunzione retto-sigmoidea e dell'ano (C19-C21)	M + F	19	19	.	.	9 (6-13)	.	101 (69-146)	94 (72-122)	.	.	→	1
Tumore fegato e dotti biliari (C22)	F	8	8	.	.	7 (3-12)	.	97 (54-171)	97 (74-123)	.	.	n.c.	1
Tumore fegato e dotti biliari (C22)	M	21	16	.	.	20 (14-29)	.	131 (91-187)	117 (91-152)	.	.	→	1
Tumore fegato e dotti biliari (C22)	M + F	29	24	.	.	13 (9-18)	.	119 (88-161)	112 (90-140)	.	.	→	1
Tumori maligni del pancreas (C25)	F	27	22	.	.	23 (16-32)	.	122 (89-167)	102 (88-121)	.	.	→	1
Tumori maligni del pancreas (C25)	M	20	21	.	.	19 (13-28)	.	97 (68-140)	99 (83-115)	.	.	→	1
Tumori maligni del pancreas (C25)	M + F	47	43	.	.	21 (16-27)	.	110 (87-140)	101 (89-116)	.	.	→	1
Tumore del retroperitoneo (C48)	F	0	1	.	.	0 (0-3)	.	0 (-.)	94 (55-143)	.	.	n.c.	1
Tumore del retroperitoneo (C48)	M	<5	<5	.	.	1 (0-5)	.	99 (22-442)	109 (50-193)	.	.	n.c.	1
Tumore del retroperitoneo (C48)	M + F	<5	<5	.	.	0 (0-2)	.	48 (11-215)	110 (70-146)	.	.	n.c.	1
Tumori maligni della laringe (C32)	F	<5	<5	.	.	1 (0-4)	.	204 (46-915)	109 (47-219)	.	.	n.c.	1
Tumori maligni della laringe (C32)	M	<5	>5	.	.	4 (1-9)	.	81 (36-179)	96 (66-130)	.	.	n.c.	1
Tumori maligni della laringe (C32)	M + F	5	6	.	.	2 (1-5)	.	92 (45-188)	98 (69-132)	.	.	n.c.	1

Tabella 7A - Macerata													
Causa (ICD-IX)	Genere	Osservati	Attesi	Cluster sign.	SIR cluster	Tasso std. * 100000 (ic)	Tasso std. > Tasso reg.	SIR (ic)	BIR (ic)	SIR sign.	BIR sign.	Trend	Livello attenzione
Tumori maligni della trachea, dei bronchi e dei polmoni (C33-C34)	F	27	30	.	.	23 (16-32)	.	90 (66-124)	96 (74-119)	.	.	→	1
Tumori maligni della trachea, dei bronchi e dei polmoni (C33-C34)	M	77	86	.	.	75 (61-90)	.	89 (74-108)	97 (84-108)	.	.	→	1
Tumori maligni della trachea, dei bronchi e dei polmoni (C33-C34)	M + F	104	116	.	.	48 (40-57)	.	89 (76-105)	95 (84-106)	.	.	→	1
Mesotelioma (pleura, peritoneo, endocardio, ecc.) (C45)	F	<5	<5	.	.	2 (0-6)	.	127 (42-384)	111 (61-192)	.	.	n.c.	1
Mesotelioma (pleura, peritoneo, endocardio, ecc.) (C45)	M	<5	<5	.	.	4 (1-9)	.	105 (47-234)	85 (43-157)	.	.	n.c.	1
Mesotelioma (pleura, peritoneo, endocardio, ecc.) (C45)	M + F	6	5	.	.	3 (1-6)	.	111 (58-215)	106 (65-169)	.	.	n.c.	1
Tumori maligni delle ossa e della cartilagine articolare (C40-C41)	F	0	1	.	.	0 (0-3)	.	0 (-.)	95 (27-197)	.	.	n.c.	1
Tumori maligni delle ossa e della cartilagine articolare (C40-C41)	M	<5	<5	.	.	1 (0-5)	.	156 (35-700)	69 (26-157)	.	.	n.c.	1
Tumori maligni delle ossa e della cartilagine articolare (C40-C41)	M + F	<5	<5	.	.	0 (0-2)	.	68 (15-306)	81 (31-159)	.	.	n.c.	1
Tumori maligni del connettivo e di altri tessuti molli (C49)	F	<5	<5	.	.	1 (0-4)	.	48 (11-216)	102 (61-143)	.	.	n.c.	1
Tumori maligni del connettivo e di altri tessuti molli (C49)	M	<5	<5	.	.	3 (1-8)	.	191 (76-477)	95 (65-143)	.	.	n.c.	1
Tumori maligni del connettivo e di altri tessuti molli (C49)	M + F	<5	<5	.	.	2 (1-4)	.	110 (49-244)	102 (76-133)	.	.	n.c.	1
Melanoma maligno della pelle (C43)	F	<5	<5	.	.	3 (1-8)	.	126 (57-282)	102 (72-140)	.	.	n.c.	1
Melanoma maligno della pelle (C43)	M	6	4	.	.	6 (3-12)	.	157 (81-303)	102 (73-146)	.	.	n.c.	1
Melanoma maligno della pelle (C43)	M + F	10	7	.	.	5 (3-8)	.	143 (85-239)	102 (79-134)	.	.	→	1
Tumori maligni della mammella (C50)	F	52	48	.	.	45 (35-57)	.	109 (86-136)	109 (95-126)	.	.	→	1

Tabella 7A - Macerata	Genere	Osservati	Attesi	Cluster sign.	SIR cluster	Tasso std. * 100000 (ic)	Tasso std. > Tasso reg.	SIR (ic)	BIR (ic)	SIR sign.	BIR sign.	Trend	Livello attenzione
Causa (ICD-IX)													
Tumori maligni della mammella (C50)	M + F	52	49	.	.	23 (18-29)	.	107 (85-134)	109 (94-125)	.	.	→	1
Tumori maligni dell'utero (C53-C55)	F	14	11	.	.	12 (7-19)	.	124 (80-192)	98 (78-124)	.	.	→	1
Tumori maligni del corpo dell'utero (C54)	F	5	3	.	.	4 (2-9)	.	171 (83-350)	100 (62-172)	.	.	n.c.	1
Tumori maligni dell'ovaio e degli altri annessi uterini (C56-C57)	F	15	13	.	.	13 (8-20)	.	119 (78-182)	103 (83-133)	.	.	n.c.	1
Tumore della prostata (C61)	M	30	30	.	.	29 (21-39)	.	100 (74-134)	100 (87-116)	.	.	→	1
Tumore del testicolo (C62)	M	0	0	.	.	0 (0-3)	.	0 (-.)	89 (24-223)	.	.	n.c.	1
Tumori maligni della vescica (C67)	F	6	5	.	.	5 (2-10)	.	120 (62-231)	108 (78-144)	.	.	n.c.	1
Tumori maligni della vescica (C67)	M	16	17	.	.	15 (10-23)	.	95 (63-143)	97 (82-114)	.	.	n.c.	1
Tumori maligni della vescica (C67)	M + F	22	22	.	.	10 (7-14)	.	101 (71-143)	101 (88-115)	.	.	→	1
Tumori maligni del rene e di altri e non specificati organi urinari (C64-C66, C68)	F	7	7	.	.	6 (3-12)	.	108 (59-199)	89 (58-130)	.	.	n.c.	1
Tumori maligni del rene e di altri e non specificati organi urinari (C64-C66, C68)	M	20	11	.	.	19 (13-29)	↑	176 (122-254)	109 (85-157)	↑	.	n.c.	3 😊
Tumori maligni del rene e di altri e non specificati organi urinari (C64-C66, C68)	M + F	27	18	.	.	13 (9-17)	↑	152 (111-208)	107 (85-143)	↑	.	→	3 😊
tumore del sistema nervoso centrale (C70-C72,D33)	F	5	6	.	.	4 (2-9)	.	79 (38-161)	93 (68-119)	.	.	n.c.	1
tumore del sistema nervoso centrale (C70-C72,D33)	M	6	9	.	.	6 (3-12)	.	65 (34-126)	94 (61-127)	.	.	n.c.	1
tumore del sistema nervoso centrale (C70-C72,D33)	M + F	11	16	.	.	5 (3-8)	.	71 (43-116)	99 (80-114)	.	.	n.c.	1
Tumori maligni dell'encefalo (C71)	F	5	6	.	.	4 (2-9)	.	82 (40-169)	94 (75-115)	.	.	n.c.	1

Tabella 7A - Macerata	Genere	Osservati	Attesi	Cluster sign.	SIR cluster	Tasso std. * 100000 (ic)	Tasso std. > Tasso reg.	SIR (ic)	BIR (ic)	SIR sign.	BIR sign.	Trend	Livello attenzione
Causa (ICD-IX)													
Tumori maligni dell'encefalo (C71)	M	5	9	.	.	5 (2-11)	.	56 (27-114)	96 (62-122)	.	.	n.c.	1
Tumori maligni dell'encefalo (C71)	M + F	10	15	.	.	5 (2-8)	.	66 (40-111)	100 (81-114)	.	.	n.c.	1
Tumori maligni della ghiandola tiroide (C73)	F	<5	<5	.	.	1 (0-4)	.	63 (14-283)	119 (63-181)	.	.	n.c.	1
Tumori maligni della ghiandola tiroide (C73)	M	<5	<5	.	.	2 (0-6)	.	217 (72-655)	102 (67-153)	.	.	n.c.	1
Tumori maligni della ghiandola tiroide (C73)	M + F	<5	<5	.	.	1 (0-4)	.	120 (48-299)	117 (82-165)	.	.	n.c.	1
Tumori emolinfopietici (C81-C96)	F	32	29	.	.	27 (20-36)	.	110 (82-147)	103 (90-117)	.	.	→	1
Tumori emolinfopietici (C81-C96)	M	30	31	.	.	29 (21-40)	.	96 (72-130)	102 (90-114)	.	.	→	1
Tumori emolinfopietici (C81-C96)	M + F	62	60	.	.	28 (22-35)	.	103 (84-127)	102 (93-112)	.	.	→	1
Malattia di Hodgkin (C81)	F	<5	<5	.	.	1 (0-4)	.	128 (28-572)	100 (41-190)	.	.	n.c.	1
Malattia di Hodgkin (C81)	M	<5	<5	.	.	1 (0-5)	.	130 (29-582)	105 (57-172)	.	.	n.c.	1
Malattia di Hodgkin (C81)	M + F	<5	<5	.	.	1 (0-3)	.	129 (43-389)	106 (59-179)	.	.	n.c.	1
Linfoma non Hodgkin (C82-C85)	F	11	9	.	.	9 (5-16)	.	125 (76-204)	99 (79-126)	.	.	n.c.	1
Linfoma non Hodgkin (C82-C85)	M	10	11	.	.	10 (5-17)	.	90 (54-151)	108 (89-127)	.	.	n.c.	1
Linfoma non Hodgkin (C82-C85)	M + F	21	20	.	.	9 (6-14)	.	105 (74-151)	104 (87-123)	.	.	n.c.	1
Mieloma multiplo e tumori immunoproliferativi (C88, C90)	F	5	7	.	.	4 (2-9)	.	69 (34-142)	92 (65-114)	.	.	n.c.	1
Mieloma multiplo e tumori immunoproliferativi (C88, C90)	M	11	7	.	.	11 (6-18)	.	164 (100-267)	104 (80-146)	↑	.	n.c.	3 😞




Tabella 7A - Macerata	Genere	Osservati	Attesi	Cluster sign.	SIR cluster	Tasso std. * 100000 (ic)	Tasso std. > Tasso reg.	SIR (ic)	BIR (ic)	SIR sign.	BIR sign.	Trend	Livello attenzione
Causa (ICD-IX)													
Mieloma multiplo e tumori immunoproliferativi (C88, C90)	M + F	16	14	.	.	7 (5-11)	.	115 (76-173)	98 (75-126)	.	.	→	1
Leucemie (C91-C95)	F	14	12	.	.	12 (7-19)	.	117 (76-181)	112 (90-140)	.	.	→	1
Leucemie (C91-C95)	M	8	12	.	.	8 (4-14)	.	65 (36-115)	89 (65-115)	.	.	n.c.	1
Leucemie (C91-C95)	M + F	22	24	.	.	10 (7-14)	.	91 (64-128)	103 (87-118)	.	.	→	1
Leucemia linfocitica (acuta e cronica) (C91)	F	<5	<5	.	.	2 (1-7)	.	77 (31-192)	116 (84-148)	.	.	n.c.	1
Leucemia linfocitica (acuta e cronica) (C91)	M	<5	>5	.	.	3 (1-8)	.	63 (25-156)	103 (73-131)	.	.	n.c.	1
Leucemia linfocitica (acuta e cronica) (C91)	M + F	6	9	.	.	3 (1-6)	.	69 (36-133)	110 (87-130)	.	.	n.c.	1
Leucemia mieloide (acuta e cronica) (C92)	F	>5	>5	.	.	6 (3-11)	.	137 (74-253)	105 (80-147)	.	.	n.c.	1
Leucemia mieloide (acuta e cronica) (C92)	M	<5	>5	.	.	1 (0-5)	.	19 (4-86)	81 (47-109)	↓	.	n.c.	0 
Leucemia mieloide (acuta e cronica) (C92)	M + F	8	10	.	.	4 (2-7)	.	78 (44-138)	91 (67-116)	.	.	n.c.	1
Malattie del sangue e degli organi emopoietici (D50-D77)	F	>5	>5	.	.	5 (2-10)	.	78 (40-151)	101 (66-133)	.	.	n.c.	1
Malattie del sangue e degli organi emopoietici (D50-D77)	M	<5	<5	.	.	3 (1-8)	.	70 (28-176)	94 (69-121)	.	.	n.c.	1
Malattie del sangue e degli organi emopoietici (D50-D77)	M + F	9	12	.	.	4 (2-7)	.	75 (44-129)	98 (73-120)	.	.	n.c.	1
Malattie endocrine, della nutrizione ed immunitarie (E00-E90, D80-D89)	F	46	53	.	.	38 (30-49)	.	87 (69-111)	89 (74-106)	.	.	→	1
Malattie endocrine, della nutrizione ed immunitarie (E00-E90, D80-D89)	M	29	40	.	.	28 (20-38)	.	72 (53-98)	85 (68-102)	↓	.	→	0 
Malattie endocrine, della nutrizione ed immunitarie (E00-E90, D80-D89)	M + F	75	93	.	.	33 (27-41)	.	81 (67-98)	84 (72-97)	↓	↓	→	0 






Tabella 7A - Macerata	Genere	Osservati	Attesi	Cluster sign.	SIR cluster	Tasso std. * 100000 (ic)	Tasso std. > Tasso reg.	SIR (ic)	BIR (ic)	SIR sign.	BIR sign.	Trend	Livello attenzione
Causa (ICD-IX)													
Tireotossicosi (E05)	F	0	1	.	.	0 (0-3)	.	0 (.-.)	95 (32-197)	.	.	n.c.	1
Tireotossicosi (E05)	M	0	0	.	.	0 (0-3)	.	0 (.-.)	57 (0-198)	.	.	n.c.	1
Tireotossicosi (E05)	M + F	0	1	.	.	0 (0-2)	.	0 (.-.)	93 (23-174)	.	.	n.c.	1
Ipotiroidismo (E00-E03)	F	0	1	.	.	0 (0-3)	.	0 (.-.)	74 (18-165)	.	.	n.c.	1
Ipotiroidismo (E00-E03)	M	0	0	.	.	0 (0-3)	.	0 (.-.)	58 (11-158)	.	.	n.c.	1
Ipotiroidismo (E00-E03)	M + F	0	1	.	.	0 (0-2)	.	0 (.-.)	80 (25-148)	.	.	n.c.	1
Diabete mellito (E10-E14)	F	37	38	.	.	31 (23-41)	.	97 (74-127)	94 (77-114)	.	.	→	1
Diabete mellito (E10-E14)	M	22	30	.	.	21 (14-31)	.	73 (52-104)	86 (67-107)	.	.	→	1
Diabete mellito (E10-E14)	M + F	59	68	.	.	26 (21-33)	.	86 (70-107)	88 (74-104)	.	.	→	1
Demenze (F00-F01, F020-F023, F03, G30, G310)	F	60	82	.	.	50 (40-62)	.	73 (59-91)	76 (63-91)	↓	↓	→	0 
Demenze (F00-F01, F020-F023, F03, G30, G310)	M	37	39	.	.	36 (26-47)	.	95 (72-124)	87 (70-108)	.	.	→	1
Demenze (F00-F01, F020-F023, F03, G30, G310)	M + F	97	121	.	.	43 (36-51)	.	80 (68-95)	79 (68-92)	↓	↓	→	0 
Malattie neuro-psichiatriche (escluse tossicod.) (F00-F09, F20-F99)	F	25	46	.	.	21 (15-29)	.	54 (39-75)	56 (42-73)	↓	↓	→	0 
Malattie neuro-psichiatriche (escluse tossicod.) (F00-F09, F20-F99)	M	17	22	.	.	16 (10-25)	.	79 (53-117)	68 (49-91)	.	↓	n.c.	0 
Malattie neuro-psichiatriche (escluse tossicod.) (F00-F09, F20-F99)	M + F	42	68	.	.	19 (14-24)	.	62 (48-80)	60 (48-75)	↓	↓	→	0 
Malattie del sistema nervoso e degli organi di senso (G00-H95)	F	57	70	.	.	48 (38-59)	.	81 (65-101)	92 (77-107)	.	.	→	1

Tabella 7A - Macerata													
Causa (ICD-IX)	Genere	Osservati	Attesi	Cluster sign.	SIR cluster	Tasso std. * 100000 (ic)	Tasso std. > Tasso reg.	SIR (ic)	BIR (ic)	SIR sign.	BIR sign.	Trend	Livello attenzione
Malattie del sistema nervoso e degli organi di senso (G00-H95)	M	49	47	.	.	47 (37-60)	.	105 (83-133)	104 (88-122)	.	.	→	1
Malattie del sistema nervoso e degli organi di senso (G00-H95)	M + F	106	117	.	.	47 (40-56)	.	91 (77-107)	96 (85-109)	.	.	→	1
Morbo di Parkinson (G20)	F	5	9	.	.	4 (2-9)	.	56 (27-116)	88 (59-113)	.	.	n.c.	1
Morbo di Parkinson (G20)	M	7	10	.	.	7 (3-13)	.	71 (38-131)	97 (70-120)	.	.	n.c.	1
Morbo di Parkinson (G20)	M + F	12	19	.	.	5 (3-9)	.	64 (40-102)	89 (69-110)	.	.	→	1
Malattia di Alzheimer (G30)	F	36	38	.	.	30 (22-40)	.	95 (72-124)	97 (77-121)	.	.	→	1
Malattia di Alzheimer (G30)	M	20	19	.	.	19 (13-28)	.	106 (73-153)	104 (77-138)	.	.	→	1
Malattia di Alzheimer (G30)	M + F	56	57	.	.	25 (20-31)	.	98 (79-122)	100 (83-120)	.	.	→	1
Epilessia (G40)	F	<5	<5	.	.	1 (0-4)	.	43 (10-195)	111 (67-162)	.	.	n.c.	1
Epilessia (G40)	M	<5	<5	.	.	1 (0-5)	.	61 (14-274)	96 (56-146)	.	.	n.c.	1
Epilessia (G40)	M + F	<5	<5	.	.	1 (0-3)	.	51 (17-153)	100 (57-143)	.	.	n.c.	1
Malattia dei neuroni motori (G122)	F	<5	<5	.	.	3 (1-7)	.	68 (27-171)	72 (36-129)	.	.	n.c.	1
Malattia dei neuroni motori (G122)	M	>5	<5	.	.	6 (3-12)	.	144 (74-278)	109 (71-172)	.	.	n.c.	1
Malattia dei neuroni motori (G122)	M + F	9	9	.	.	4 (2-7)	.	105 (61-181)	95 (60-145)	.	.	n.c.	1
Sclerosi multipla (G35)	F	<5	<5	.	.	1 (0-4)	.	89 (20-397)	104 (62-161)	.	.	n.c.	1
Sclerosi multipla (G35)	M	<5	<5	.	.	1 (0-5)	.	183 (41-820)	96 (30-256)	.	.	n.c.	1








Tabella 7A - Macerata	Genere	Osservati	Attesi	Cluster sign.	SIR cluster	Tasso std. * 100000 (ic)	Tasso std. > Tasso reg.	SIR (ic)	BIR (ic)	SIR sign.	BIR sign.	Trend	Livello attenzione
Causa (ICD-IX)													
Sclerosi multipla (G35)	M + F	<5	<5	.	.	1 (0-3)	.	119 (40-361)	104 (71-149)	.	.	n.c.	1
Neuropatie tossiche e infiammatorie non specificate (G619, G629)	F	0	0	.	.	0 (0-3)	.	0 (-.)	52 (4-212)	.	.	n.c.	1
Neuropatie tossiche e infiammatorie non specificate (G619, G629)	M	0	0	.	.	0 (0-3)	.	0 (-.)	44 (8-133)	.	.	n.c.	1
Neuropatie tossiche e infiammatorie non specificate (G619, G629)	M + F	0	1	.	.	0 (0-2)	.	0 (-.)	55 (10-136)	.	.	n.c.	1
Malattie dell'apparato circolatorio (I00-I99)	F	522	529	.	.	435 (404-468)	.	99 (92-106)	98 (92-104)	.	.	→	1
Malattie dell'apparato circolatorio (I00-I99)	M	437	404	.	.	419 (387-454)	↑	108 (100-117)	106 (99-113)	.	.	↓	1
Malattie dell'apparato circolatorio (I00-I99)	M + F	959	933	.	.	428 (405-451)	.	103 (97-108)	102 (97-107)	.	.	↓	0 
Malattia ipertensiva (I10-I15)	F	43	59	.	.	36 (27-46)	.	73 (57-93)	76 (61-94)	↓	↓	→	0 
Malattia ipertensiva (I10-I15)	M	45	32	.	.	43 (33-55)	↑	139 (109-177)	128 (100-161)	↑	↑	↑	6 
Malattia ipertensiva (I10-I15)	M + F	88	92	.	.	39 (33-47)	.	96 (81-114)	95 (80-112)	.	.	↑	1
Malattie ischemiche del cuore (I20-I25)	F	174	174	.	.	145 (128-165)	.	100 (88-113)	96 (85-107)	.	.	→	1
Malattie ischemiche del cuore (I20-I25)	M	149	163	.	.	143 (125-165)	.	92 (80-105)	91 (82-102)	.	.	↓	0 
Malattie ischemiche del cuore (I20-I25)	M + F	323	337	.	.	144 (131-158)	.	96 (88-105)	93 (86-102)	.	.	→	1
Infarto miocardico acuto (I21-I22)	F	60	48	.	.	50 (40-62)	.	126 (102-156)	116 (94-141)	↑	.	→	3 
Infarto miocardico acuto (I21-I22)	M	49	57	.	.	48 (37-60)	.	86 (68-109)	90 (74-109)	.	.	↓	0 
Infarto miocardico acuto (I21-I22)	M + F	109	104	.	.	49 (41-57)	.	104 (89-122)	102 (87-118)	.	.	↓	0 

Tabella 7A - Macerata	Genere	Osservati	Attesi	Cluster sign.	SIR cluster	Tasso std. * 100000 (ic)	Tasso std. > Tasso reg.	SIR (ic)	BIR (ic)	SIR sign.	BIR sign.	Trend	Livello attenzione
Malattie cerebrovascolari (I60-I69)	F	115	147	.	.	95 (81-112)	.	78 (67-91)	87 (76-98)	↓	↓	↓	0 😊
Malattie cerebrovascolari (I60-I69)	M	114	104	2	123	109 (93-128)	.	110 (94-128)	110 (97-124)	.	.	→	1 😊
Malattie cerebrovascolari (I60-I69)	M + F	229	250	.	.	102 (91-114)	.	91 (82-102)	95 (86-105)	.	.	↓	0 😊
Malattie dell'apparato respiratorio (J00-J99)	F	99	74	.	.	82 (69-97)	↑	134 (114-158)	118 (102-137)	↑	↑	↑	6 😞
Malattie dell'apparato respiratorio (J00-J99)	M	86	87	.	.	82 (68-98)	.	99 (83-118)	99 (86-113)	.	.	→	1 😊
Malattie dell'apparato respiratorio (J00-J99)	M + F	185	161	.	.	82 (72-93)	.	115 (102-130)	110 (99-122)	↑	.	→	3 😊
Malattie respiratorie acute (J00-J06, J10-J18, J20-J22)	F	37	21	.	.	31 (23-40)	↑	173 (132-227)	139 (106-179)	↑	↑	n.c.	5 😞
Malattie respiratorie acute (J00-J06, J10-J18, J20-J22)	M	22	19	2	145	21 (14-30)	.	118 (83-167)	108 (78-148)	.	.	→	1 😊
Malattie respiratorie acute (J00-J06, J10-J18, J20-J22)	M + F	59	40	.	.	26 (21-32)	↑	147 (119-182)	134 (109-163)	↑	↑	↑	6 😞
Malattie croniche dell'apparato respiratorio (BCPO) (J41-J44, J47)	F	38	30	.	.	31 (24-41)	.	127 (97-166)	113 (90-143)	.	.	↑	2 😊
Malattie croniche dell'apparato respiratorio (BCPO) (J41-J44, J47)	M	46	47	.	.	44 (34-56)	.	98 (77-125)	98 (82-115)	.	.	→	1 😊
Malattie croniche dell'apparato respiratorio (BCPO) (J41-J44, J47)	M + F	84	77	.	.	37 (31-45)	.	109 (91-131)	105 (90-122)	.	.	→	1 😊
Asma (J45)	F	<5	<5	.	.	1 (0-4)	.	105 (24-473)	79 (35-153)	.	.	n.c.	1 😊
Asma (J45)	M	0	1	.	.	0 (0-3)	.	0 (-.-)	72 (18-151)	.	.	n.c.	1 😊
Asma (J45)	M + F	<5	<5	.	.	0 (0-2)	.	68 (15-307)	84 (46-129)	.	.	n.c.	1 😊
Pneumoconiosi (J60-J64)	M	0	1	.	.	0 (0-3)	.	0 (-.-)	18 (4-55)	.	↓	n.c.	0 😊


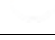
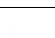






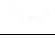
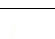



Tabella 7A - Macerata	Genere	Osservati	Attesi	Cluster sign.	SIR cluster	Tasso std. * 100000 (ic)	Tasso std. > Tasso reg.	SIR (ic)	BIR (ic)	SIR sign.	BIR sign.	Trend	Livello attenzione
Causa (ICD-IX)													
Pneumoconiosi (J60-J64)	M + F	0	1	.	.	0 (0-2)	.	0 (-.)	18 (4-55)	.	↓	n.c.	0 
Malattie dell'apparato digerente (K00-K93)	F	49	47	.	.	41 (32-52)	.	105 (83-133)	105 (92-119)	.	.	→	1 
Malattie dell'apparato digerente (K00-K93)	M	50	40	.	.	48 (38-61)	↑	125 (99-158)	106 (93-124)	.	.	→	1 
Malattie dell'apparato digerente (K00-K93)	M + F	99	86	2	123	44 (37-53)	.	115 (97-135)	108 (96-122)	.	.	→	1 
Cirrosi e altre malattie croniche del fegato (K70, K73-K74)	F	9	7	.	.	8 (4-13)	.	133 (77-228)	116 (83-170)	.	.	n.c.	1 
Cirrosi e altre malattie croniche del fegato (K70, K73-K74)	M	14	11	.	.	14 (8-22)	.	126 (82-195)	98 (82-120)	.	.	↓	0 
Cirrosi e altre malattie croniche del fegato (K70, K73-K74)	M + F	23	18	.	.	11 (7-15)	.	129 (91-181)	105 (87-131)	.	.	↓	0 
Nefropatie croniche e acute (N00-N12)	F	<5	<5	.	.	1 (0-4)	.	283 (63-1270)	85 (41-160)	.	.	n.c.	1 
Nefropatie croniche e acute (N00-N12)	M	0	0	.	.	0 (0-3)	.	0 (-.)	50 (15-128)	.	.	n.c.	1 
Nefropatie croniche e acute (N00-N12)	M + F	<5	<5	.	.	0 (0-2)	.	185 (41-830)	72 (26-174)	.	.	n.c.	1 
Malattie dell'apparato genito-urinario (N00-N99)	F	35	26	2	148	29 (22-39)	↑	137 (104-181)	125 (101-154)	↑	↑	→	5 
Malattie dell'apparato genito-urinario (N00-N99)	M	19	21	.	.	18 (12-27)	.	91 (63-132)	94 (71-121)	.	.	→	1 
Malattie dell'apparato genito-urinario (N00-N99)	M + F	54	46	2	140	24 (19-30)	.	116 (93-145)	112 (93-134)	.	.	→	1 
Insufficienza renale acuta e cronica (N17-N19)	F	27	21	2	142	23 (16-31)	.	126 (92-173)	116 (94-146)	.	.	→	1 
Insufficienza renale acuta e cronica (N17-N19)	M	16	17	.	.	15 (10-24)	.	95 (63-142)	98 (74-126)	.	.	→	1
Insufficienza renale acuta e cronica (N17-N19)	M + F	43	38	2	134	19 (15-25)	.	112 (87-144)	112 (93-134)	.	.	→	1

Tabella 7A - Macerata	Genere	Osservati	Attesi	Cluster sign.	SIR cluster	Tasso std. * 100000 (ic)	Tasso std. > Tasso reg.	SIR (ic)	BIR (ic)	SIR sign.	BIR sign.	Trend	Livello attenzione
Causa (ICD-IX)													
Malformazioni congenite (Q00-Q99)	F	>5	<5	.	.	5 (2-10)	.	166 (81-341)	153 (74-285)	.	.	n.c.	1
Malformazioni congenite (Q00-Q99)	M	<5	<5	.	.	1 (0-5)	.	44 (10-196)	62 (21-142)	.	.	n.c.	1
Malformazioni congenite (Q00-Q99)	M + F	6	5	.	.	3 (1-6)	.	113 (59-219)	111 (58-193)	.	.	→	1
Sintomi, segni e stati morbosi mal definiti (R00-R99)	F	20	14	.	.	17 (11-25)	.	146 (101-210)	119 (80-167)	↑	.	→	3 ☹️
Sintomi, segni e stati morbosi mal definiti (R00-R99)	M	9	6	.	.	8 (4-15)	.	142 (83-245)	106 (62-171)	.	.	n.c.	1
Sintomi, segni e stati morbosi mal definiti (R00-R99)	M + F	29	20	.	.	13 (9-18)	.	145 (107-196)	119 (87-161)	↑	.	→	3 ☹️
Traumatismi e avvelenamenti (S00-T98)	F	53	43	.	.	45 (35-56)	.	122 (98-153)	113 (94-137)	.	.	→	1
Traumatismi e avvelenamenti (S00-T98)	M	51	55	.	.	50 (39-63)	.	93 (74-118)	96 (84-108)	.	.	→	1
Traumatismi e avvelenamenti (S00-T98)	M + F	104	98	.	.	47 (40-55)	.	106 (90-125)	102 (90-115)	.	.	→	1

Tabella 8A. Decessi per causa nel comune di Monte San Giusto, tutte le età, periodo di osservazione 2009-2013

Tabella 8A - Monte San Giusto	Genere	Osservati	Attesi	Cluster sign.	SIR cluster	Tasso std. * 100000 (ic)	Tasso std. > Tasso reg.	SIR (ic)	BIR (ic)	SIR sign.	BIR sign.	Trend	Livello attenzione
Causa (ICD-IX)													
Mortalità generale (escluse cause violente) (A00-R99)	F	197	181	.	.	1293 (1142-1476)	↑	109 (97-122)	108 (101-117)	.	↑	→	4 😞
Mortalità generale (escluse cause violente) (A00-R99)	M	177	170	.	.	1111 (975-1263)	.	104 (92-118)	101 (92-110)	.	.	→	1 😐
Mortalità generale (escluse cause violente) (A00-R99)	M + F	374	351	.	.	1204 (1101-1322)	↑	107 (98-116)	106 (99-113)	.	.	→	1 😐
Mortalità per cause esterne o violente (S00-Y99)	F	5	5	2	131	28 (11-93)	.	92 (45-189)	88 (60-125)	.	.	n.c.	1 😐
Mortalità per cause esterne o violente (S00-Y99)	M	15	10	.	.	89 (54-140)	↑	145 (95-221)	108 (87-135)	.	.	→	1 😐
Mortalità per cause esterne o violente (S00-Y99)	M + F	20	16	.	.	58 (38-97)	.	127 (88-183)	103 (83-129)	.	.	→	1 😐
Malattie infettive (A00-B99)	F	<5	<5	2	153	22 (7-86)	.	99 (45-221)	126 (82-189)	.	.	n.c.	1 😐
Malattie infettive (A00-B99)	M	>5	<5	.	.	63 (34-111)	↑	248 (148-414)	132 (93-191)	↑	.	n.c.	3 😞
Malattie infettive (A00-B99)	M + F	14	8	.	.	42 (25-80)	↑	174 (112-268)	147 (107-206)	↑	↑	n.c.	5 😡
Epatite virale (B17-B19)	F	<5	<5	.	.	7 (0-68)	.	526 (117-2356)	42 (9-122)	↑	.	n.c.	1 😐
Epatite virale (B17-B19)	M	>5	<5	1	828	41 (17-83)	↑	827 (428-1600)	168 (73-456)	↑	.	n.c.	3 😞
Epatite virale (B17-B19)	M + F	7	1	1	765	23 (11-58)	↑	765 (415-1410)	101 (52-204)	↑	.	n.c.	3 😐
Tutti i tumori (C00-D48)	F	43	45	.	.	250 (190-346)	.	95 (74-122)	96 (86-107)	.	.	→	1 😐
Tutti i tumori (C00-D48)	M	44	60	.	.	268 (204-349)	.	74 (58-95)	92 (81-103)	↓	.	→	0 😊
Tutti i tumori (C00-D48)	M + F	87	105	.	.	259 (214-321)	.	83 (70-99)	93 (84-102)	↓	.	→	0 😊
Tumori maligni delle vie aeree e digestive superiori (C00-C15, C32)	F	0	0	.	.	0 (0-60)	.	0 (.-.)	46 (14-116)	.	.	n.c.	1 😐



Tabella 8A - Monte San Giusto	Genere	Osservati	Attesi	Cluster sign.	SIR cluster	Tasso std. * 100000 (ic)	Tasso std. > Tasso reg.	SIR (ic)	BIR (ic)	SIR sign.	BIR sign.	Trend	Livello attenzione
Causa (ICD-IX)													
Tumori maligni delle vie aeree e digestive superiori (C00-C15, C32)	M	<5	<5	.	.	24 (8-59)	.	150 (67-335)	108 (66-174)	.	.	n.c.	1
Tumori maligni delle vie aeree e digestive superiori (C00-C15, C32)	M + F	<5	<5	.	.	12 (4-44)	.	135 (61-302)	95 (62-146)	.	.	n.c.	1
Tumori maligni (C00-C97)	F	41	43	.	.	239 (180-333)	.	95 (74-123)	97 (86-109)	.	.	→	1
Tumori maligni (C00-C97)	M	43	57	.	.	260 (198-339)	.	75 (59-97)	94 (83-105)	↓	.	→	0 
Tumori maligni (C00-C97)	M + F	84	100	.	.	249 (205-310)	.	84 (70-100)	94 (85-103)	.	.	→	1
Tumori maligni dell'esofago (C15)	F	0	0	.	.	0 (0-60)	.	.	0 (0-0)	.	.	n.c.	1
Tumori maligni dell'esofago (C15)	M	0	0	.	.	0 (0-24)	.	0 (.-.)	59 (20-142)	.	.	n.c.	1
Tumori maligni dell'esofago (C15)	M + F	0	0	.	.	0 (0-31)	.	0 (.-.)	44 (13-117)	.	.	n.c.	1
Tumori maligni dello stomaco (C16)	F	<5	<5	.	.	24 (8-88)	.	94 (42-209)	119 (85-162)	.	.	n.c.	1
Tumori maligni dello stomaco (C16)	M	<5	>5	2	167	18 (5-51)	.	54 (22-135)	116 (79-168)	.	.	n.c.	1
Tumori maligni dello stomaco (C16)	M + F	7	10	2	124	21 (10-55)	.	71 (39-132)	119 (89-157)	.	.	n.c.	1
Tumori maligni dell'intestino tenue, compreso il duodeno (C17)	F	0	0	.	.	0 (0-60)	.	0 (.-.)	95 (6-505)	.	.	n.c.	1
Tumori maligni dell'intestino tenue, compreso il duodeno (C17)	M	0	0	.	.	0 (0-24)	.	0 (.-.)	68 (5-349)	.	.	n.c.	1
Tumori maligni dell'intestino tenue, compreso il duodeno (C17)	M + F	0	0	.	.	0 (0-31)	.	0 (.-.)	0 (0-0)	.	↓	n.c.	0 
Tumori maligni del colon (C18)	F	8	5	.	.	49 (24-119)	.	171 (96-304)	107 (77-147)	.	.	n.c.	1
Tumori maligni del colon (C18)	M	8	5	.	.	41 (21-80)	.	173 (98-307)	91 (64-130)	.	.	n.c.	1

Tabella 8A - Monte San Giusto	Genere	Osservati	Attesi	Cluster sign.	SIR cluster	Tasso std. * 100000 (ic)	Tasso std. > Tasso reg.	SIR (ic)	BIR (ic)	SIR sign.	BIR sign.	Trend	Livello attenzione
Causa (ICD-IX)													
Tumori maligni del colon (C18)	M + F	16	9	.	.	45 (28-83)	↑	172 (114-259)	106 (80-143)	↑	.	→	3 😞
Tumori maligni del retto, della giunzione retto-sigmoidea e dell'ano (C19-C21)	F	<5	<5	.	.	13 (2-75)	.	144 (48-435)	120 (61-231)	.	.	n.c.	1 😞
Tumori maligni del retto, della giunzione retto-sigmoidea e dell'ano (C19-C21)	M	0	1	.	.	0 (0-24)	.	0 (.-)	41 (18-85)	.	↓	n.c.	0 😊
Tumori maligni del retto, della giunzione retto-sigmoidea e dell'ano (C19-C21)	M + F	<5	<5	.	.	6 (1-38)	.	84 (28-253)	74 (43-120)	.	.	n.c.	1 😞
Tumore fegato e dotti biliari (C22)	F	<5	<5	.	.	17 (4-79)	.	237 (95-594)	101 (58-170)	.	.	n.c.	1 😞
Tumore fegato e dotti biliari (C22)	M	<5	<5	.	.	6 (0-33)	.	55 (12-245)	63 (35-107)	.	.	n.c.	1 😞
Tumore fegato e dotti biliari (C22)	M + F	<5	<5	.	.	11 (4-44)	.	129 (58-288)	79 (50-124)	.	.	n.c.	1 😞
Tumori maligni del pancreas (C25)	F	<5	<5	.	.	10 (1-74)	.	34 (8-153)	87 (60-121)	.	.	n.c.	1 😞
Tumori maligni del pancreas (C25)	M	<5	<5	.	.	15 (3-49)	.	62 (20-187)	93 (64-130)	.	.	n.c.	1 😞
Tumori maligni del pancreas (C25)	M + F	<5	>5	.	.	13 (3-47)	.	49 (19-122)	87 (66-114)	.	.	n.c.	1 😞
Tumore del retroperitoneo (C48)	F	0	0	.	.	0 (0-60)	.	.	0 (0-0)	.	.	n.c.	1 😞
Tumore del retroperitoneo (C48)	M	0	0	.	.	0 (0-24)	.	.	0 (0-0)	.	.	n.c.	1 😞
Tumore del retroperitoneo (C48)	M + F	0	0	.	.	0 (0-31)	.	.	0 (0-0)	.	.	n.c.	1 😞
Tumori maligni della laringe (C32)	F	0	0	.	.	0 (0-60)	.	.	0 (0-0)	.	.	n.c.	1 😞
Tumori maligni della laringe (C32)	M	<5	<5	.	.	11 (2-40)	.	227 (75-687)	89 (39-178)	.	.	n.c.	1 😞
Tumori maligni della laringe (C32)	M + F	<5	<5	.	.	5 (1-37)	.	227 (75-687)	80 (35-159)	.	.	n.c.	1 😞



Tabella 8A - Monte San Giusto	Genere	Osservati	Attesi	Cluster sign.	SIR cluster	Tasso std. * 100000 (ic)	Tasso std. > Tasso reg.	SIR (ic)	BIR (ic)	SIR sign.	BIR sign.	Trend	Livello attenzione
Causa (ICD-IX)													
Tumori maligni della trachea, dei bronchi e dei polmoni (C33-C34)	F	5	4	.	.	28 (11-92)	.	120 (59-248)	93 (60-141)	.	.	n.c.	1
Tumori maligni della trachea, dei bronchi e dei polmoni (C33-C34)	M	7	16	.	.	43 (20-85)	.	43 (23-80)	105 (81-128)	↓	.	n.c.	0 
Tumori maligni della trachea, dei bronchi e dei polmoni (C33-C34)	M + F	12	20	.	.	36 (20-72)	.	59 (37-95)	97 (77-119)	↓	.	n.c.	0 
Mesotelioma (pleura, peritoneo, endocardio, ecc.) (C45)	F	0	0	.	.	0 (0-60)	.	0 (.-.)	33 (2-157)	.	.	n.c.	1
Mesotelioma (pleura, peritoneo, endocardio, ecc.) (C45)	M	0	1	.	.	0 (0-24)	.	0 (.-.)	49 (11-167)	.	.	n.c.	1
Mesotelioma (pleura, peritoneo, endocardio, ecc.) (C45)	M + F	0	1	.	.	0 (0-31)	.	0 (.-.)	56 (19-145)	.	.	n.c.	1
Tumori maligni delle ossa e della cartilagine articolare (C40-C41)	F	0	0	.	.	0 (0-60)	.	.	0 (0-0)	.	.	n.c.	1
Tumori maligni delle ossa e della cartilagine articolare (C40-C41)	M	<5	<5	.	.	5 (0-31)	.	386 (86-1730)	171 (29-649)	.	.	n.c.	1
Tumori maligni delle ossa e della cartilagine articolare (C40-C41)	M + F	<5	<5	.	.	2 (0-33)	.	386 (86-1730)	88 (16-331)	.	.	n.c.	1
Tumori maligni del connettivo e di altri tessuti molli (C49)	F	0	0	.	.	0 (0-60)	.	0 (.-.)	94 (26-229)	.	.	n.c.	1
Tumori maligni del connettivo e di altri tessuti molli (C49)	M	0	0	.	.	0 (0-24)	.	0 (.-.)	105 (31-259)	.	.	n.c.	1
Tumori maligni del connettivo e di altri tessuti molli (C49)	M + F	0	1	.	.	0 (0-31)	.	0 (.-.)	105 (44-206)	.	.	n.c.	1
Melanoma maligno della pelle (C43)	F	<5	<5	.	.	5 (0-65)	.	307 (68-1374)	61 (19-153)	.	.	n.c.	1
Melanoma maligno della pelle (C43)	M	0	1	.	.	0 (0-24)	.	0 (.-.)	61 (22-136)	.	.	n.c.	1
Melanoma maligno della pelle (C43)	M + F	<5	<5	.	.	2 (0-33)	.	121 (27-544)	65 (31-122)	.	.	n.c.	1
Tumori maligni della mammella (C50)	F	6	6	.	.	33 (14-98)	.	102 (53-197)	86 (64-113)	.	.	n.c.	1

Tabella 8A - Monte San Giusto	Genere	Osservati	Attesi	Cluster sign.	SIR cluster	Tasso std. * 100000 (ic)	Tasso std. > Tasso reg.	SIR (ic)	BIR (ic)	SIR sign.	BIR sign.	Trend	Livello attenzione
Causa (ICD-IX)													
Tumori maligni della mammella (C50)	M + F	6	6	.	.	17 (7-50)	.	102 (53-197)	85 (63-113)	.	.	n.c.	1
Tumori maligni dell'utero (C53-C55)	F	5	2	.	.	29 (11-94)	↑	208 (101-428)	131 (83-202)	↑	.	n.c.	3 😞
Tumori maligni del corpo dell'utero (C54)	F	<5	<5	.	.	18 (5-81)	↑	700 (280-1750)	104 (35-283)	↑	.	n.c.	3 😞
Tumori maligni dell'ovaio e degli altri annessi uterini (C56-C57)	F	0	2	.	.	0 (0-60)	.	0 (.-.)	89 (51-141)	.	.	n.c.	1
Tumore della prostata (C61)	M	<5	<5	.	.	8 (0-37)	.	25 (5-110)	82 (59-110)	.	.	n.c.	1
Tumore del testicolo (C62)	M	0	0	.	.	0 (0-24)	.	.	0 (0-0)	.	.	n.c.	1
Tumori maligni della vescica (C67)	F	0	1	.	.	0 (0-60)	.	0 (.-.)	69 (28-145)	.	.	n.c.	1
Tumori maligni della vescica (C67)	M	<5	<5	.	.	29 (10-68)	.	203 (91-451)	78 (50-115)	.	.	n.c.	1
Tumori maligni della vescica (C67)	M + F	<5	<5	.	.	14 (5-48)	.	156 (70-348)	78 (53-110)	.	.	n.c.	1
Tumori maligni del rene e di altri e non specificati organi urinari (C64-C66, C68)	F	0	1	.	.	0 (0-60)	.	0 (.-.)	119 (55-218)	.	.	n.c.	1
Tumori maligni del rene e di altri e non specificati organi urinari (C64-C66, C68)	M	0	3	.	.	0 (0-24)	.	0 (.-.)	113 (65-173)	.	.	n.c.	1
Tumori maligni del rene e di altri e non specificati organi urinari (C64-C66, C68)	M + F	0	4	.	.	0 (0-31)	.	0 (.-.)	114 (72-165)	.	.	n.c.	1
tumore del sistema nervoso centrale (C70-C72,D33)	F	<5	<5	.	.	10 (2-71)	.	156 (52-470)	122 (66-208)	.	.	n.c.	1
tumore del sistema nervoso centrale (C70-C72,D33)	M	<5	<5	.	.	11 (2-41)	.	213 (71-644)	63 (29-121)	.	.	n.c.	1
tumore del sistema nervoso centrale (C70-C72,D33)	M + F	<5	<5	.	.	10 (4-42)	.	180 (81-401)	88 (57-131)	.	.	n.c.	1
Tumori maligni dell'encefalo (C71)	F	<5	<5	.	.	10 (2-71)	.	168 (56-508)	114 (62-194)	.	.	n.c.	1

Tabella 8A - Monte San Giusto	Genere	Osservati	Attesi	Cluster sign.	SIR cluster	Tasso std. * 100000 (ic)	Tasso std. > Tasso reg.	SIR (ic)	BIR (ic)	SIR sign.	BIR sign.	Trend	Livello attenzione
Causa (ICD-IX)													
Tumori maligni dell'encefalo (C71)	M	<5	<5	.	.	11 (2-41)	.	213 (71-644)	62 (29-120)	.	.	n.c.	1
Tumori maligni dell'encefalo (C71)	M + F	<5	<5	.	.	10 (4-42)	.	188 (84-419)	85 (54-127)	.	.	n.c.	1
Tumori maligni della ghiandola tiroide (C73)	F	0	0	.	.	0 (0-60)	.	0 (.-.)	88 (18-270)	.	.	n.c.	1
Tumori maligni della ghiandola tiroide (C73)	M	0	0	.	.	0 (0-24)	.	0 (.-.)	127 (25-367)	.	.	n.c.	1
Tumori maligni della ghiandola tiroide (C73)	M + F	0	1	.	.	0 (0-31)	.	0 (.-.)	114 (40-258)	.	.	n.c.	1
Tumori emolinfopoiectici (C81-C96)	F	<5	<5	.	.	7 (0-68)	.	25 (6-114)	88 (63-118)	.	.	n.c.	1
Tumori emolinfopoiectici (C81-C96)	M	>5	>5	.	.	30 (12-68)	.	98 (48-202)	103 (78-134)	.	.	n.c.	1
Tumori emolinfopoiectici (C81-C96)	M + F	6	9	.	.	18 (8-52)	.	67 (34-129)	96 (78-118)	.	.	→	1
Malattia di Hodgkin (C81)	F	0	0	.	.	0 (0-60)	.	0 (.-.)	132 (18-510)	.	.	n.c.	1
Malattia di Hodgkin (C81)	M	0	0	.	.	0 (0-24)	.	0 (.-.)	62 (4-282)	.	.	n.c.	1
Malattia di Hodgkin (C81)	M + F	0	0	.	.	0 (0-31)	.	0 (.-.)	114 (29-331)	.	.	n.c.	1
Linfoma non Hodgkin (C82-C85)	F	<5	<5	.	.	7 (0-68)	.	92 (21-412)	76 (42-129)	.	.	n.c.	1
Linfoma non Hodgkin (C82-C85)	M	<5	<5	.	.	13 (2-45)	.	137 (45-414)	90 (54-141)	.	.	n.c.	1
Linfoma non Hodgkin (C82-C85)	M + F	<5	<5	.	.	10 (3-42)	.	118 (47-295)	85 (57-123)	.	.	n.c.	1
Mieloma multiplo e tumori immunoproliferativi (C88, C90)	F	0	2	.	.	0 (0-60)	.	0 (.-.)	123 (67-197)	.	.	n.c.	1
Mieloma multiplo e tumori immunoproliferativi (C88, C90)	M	<5	<5	.	.	13 (2-44)	.	140 (46-424)	128 (71-216)	.	.	n.c.	1



Tabella 8A - Monte San Giusto	Genere	Osservati	Attesi	Cluster sign.	SIR cluster	Tasso std. * 100000 (ic)	Tasso std. > Tasso reg.	SIR (ic)	BIR (ic)	SIR sign.	BIR sign.	Trend	Livello attenzione
Causa (ICD-IX)													
Mieloma multiplo e tumori immunoproliferativi (C88, C90)	M + F	<5	<5	.	.	6 (1-38)	.	69 (23-210)	122 (76-187)	.	.	n.c.	1
Leucemie (C91-C95)	F	0	1	.	.	0 (0-60)	.	0 (.-.)	59 (31-104)	.	.	n.c.	1
Leucemie (C91-C95)	M	<5	<5	.	.	4 (0-30)	.	49 (11-219)	95 (55-151)	.	.	n.c.	1
Leucemie (C91-C95)	M + F	<5	<5	.	.	2 (0-33)	.	32 (7-141)	82 (56-115)	.	.	n.c.	1
Leucemia linfoide (acuta e cronica) (C91)	F	0	1	.	.	0 (0-60)	.	0 (.-.)	95 (39-197)	.	.	n.c.	1
Leucemia linfoide (acuta e cronica) (C91)	M	0	1	.	.	0 (0-24)	.	0 (.-.)	112 (54-204)	.	.	n.c.	1
Leucemia linfoide (acuta e cronica) (C91)	M + F	0	1	.	.	0 (0-31)	.	0 (.-.)	110 (65-173)	.	.	n.c.	1
Leucemia mieloide (acuta e cronica) (C92)	F	0	1	.	.	0 (0-60)	.	0 (.-.)	52 (18-115)	.	.	n.c.	1
Leucemia mieloide (acuta e cronica) (C92)	M	<5	<5	.	.	4 (0-30)	.	128 (29-575)	77 (34-151)	.	.	n.c.	1
Leucemia mieloide (acuta e cronica) (C92)	M + F	<5	<5	.	.	2 (0-33)	.	80 (18-360)	66 (34-114)	.	.	n.c.	1
Malattie del sangue e degli organi emopoietici (D50-D77)	F	0	1	.	.	0 (0-60)	.	0 (.-.)	93 (43-168)	.	.	n.c.	1
Malattie del sangue e degli organi emopoietici (D50-D77)	M	<5	<5	.	.	5 (0-32)	.	169 (38-759)	85 (38-164)	.	.	n.c.	1
Malattie del sangue e degli organi emopoietici (D50-D77)	M + F	<5	<5	.	.	3 (0-34)	.	58 (13-260)	95 (57-149)	.	.	n.c.	1
Malattie endocrine, della nutrizione ed immunitarie (E00-E90, D80-D89)	F	>5	>5	.	.	60 (31-132)	.	124 (72-214)	96 (70-132)	.	.	↑	2 
Malattie endocrine, della nutrizione ed immunitarie (E00-E90, D80-D89)	M	<5	>5	.	.	5 (0-32)	.	15 (3-65)	86 (58-121)	↓	.	n.c.	0 
Malattie endocrine, della nutrizione ed immunitarie (E00-E90, D80-D89)	M + F	10	14	.	.	33 (18-71)	.	71 (42-118)	86 (65-114)	.	.	→	1




Tabella 8A - Monte San Giusto	Genere	Osservati	Attesi	Cluster sign.	SIR cluster	Tasso std. * 100000 (ic)	Tasso std. > Tasso reg.	SIR (ic)	BIR (ic)	SIR sign.	BIR sign.	Trend	Livello attenzione
Causa (ICD-IX)													
Tireotossicosi (E05)	F	0	0	.	.	0 (0-60)	.	0 (.-.)	73 (5-397)	.	.	n.c.	1
Tireotossicosi (E05)	M	0	0	.	.	0 (0-24)	.	0 (.-.)	96 (0-921)	.	.	n.c.	1
Tireotossicosi (E05)	M + F	0	0	.	.	0 (0-31)	.	0 (.-.)	128 (16-446)	.	.	n.c.	1
Ipotiroidismo (E00-E03)	F	0	0	.	.	0 (0-60)	.	.	0 (0-0)	.	.	n.c.	1
Ipotiroidismo (E00-E03)	M	0	0	.	.	0 (0-24)	.	0 (.-.)	212 (12-1119)	.	.	n.c.	1
Ipotiroidismo (E00-E03)	M + F	0	0	.	.	0 (0-31)	.	0 (.-.)	59 (4-295)	.	.	n.c.	1
Diabete mellito (E10-E14)	F	>5	>5	.	.	42 (18-112)	.	111 (57-215)	97 (68-138)	.	.	n.c.	1
Diabete mellito (E10-E14)	M	<5	>5	.	.	5 (0-32)	.	19 (4-85)	90 (58-134)	↓	.	n.c.	0 
Diabete mellito (E10-E14)	M + F	7	11	.	.	24 (11-60)	.	65 (35-121)	90 (64-123)	.	.	n.c.	1
Demenze (F00-F01, F020-F023, F03, G30, G310)	F	>5	>5	.	.	67 (34-142)	.	67 (39-115)	90 (62-127)	.	.	n.c.	1
Demenze (F00-F01, F020-F023, F03, G30, G310)	M	<5	>5	.	.	24 (8-58)	.	62 (28-138)	84 (55-128)	.	.	n.c.	1
Demenze (F00-F01, F020-F023, F03, G30, G310)	M + F	13	20	.	.	46 (27-85)	.	65 (41-102)	85 (61-115)	.	.	n.c.	1
Malattie neuro-psichiatriche (escluse tossicod.) (F00-F09, F20-F99)	F	6	8	.	.	47 (20-118)	.	73 (38-141)	93 (57-150)	.	.	n.c.	1
Malattie neuro-psichiatriche (escluse tossicod.) (F00-F09, F20-F99)	M	0	3	.	.	0 (0-24)	.	0 (.-.)	48 (23-91)	.	↓	n.c.	0 
Malattie neuro-psichiatriche (escluse tossicod.) (F00-F09, F20-F99)	M + F	6	12	.	.	24 (10-60)	.	52 (27-100)	71 (44-110)	↓	.	n.c.	0 
Malattie del sistema nervoso e degli organi di senso (G00-H95)	F	9	10	.	.	55 (28-124)	.	90 (52-154)	100 (74-136)	.	.	n.c.	1

Tabella 8A - Monte San Giusto	Genere	Osservati	Attesi	Cluster sign.	SIR cluster	Tasso std. * 100000 (ic)	Tasso std. > Tasso reg.	SIR (ic)	BIR (ic)	SIR sign.	BIR sign.	Trend	Livello attenzione
Causa (ICD-IX)													
Malattie del sistema nervoso e degli organi di senso (G00-H95)	M	8	7	.	.	46 (23-88)	.	108 (61-191)	110 (80-147)	.	.	n.c.	1
Malattie del sistema nervoso e degli organi di senso (G00-H95)	M + F	17	17	.	.	51 (32-89)	.	97 (66-145)	106 (83-135)	.	.	n.c.	1
Morbo di Parkinson (G20)	F	<5	<5	.	.	18 (5-82)	.	217 (87-542)	107 (59-189)	.	.	n.c.	1
Morbo di Parkinson (G20)	M	<5	<5	.	.	8 (0-37)	.	71 (16-318)	102 (60-164)	.	.	n.c.	1
Morbo di Parkinson (G20)	M + F	<5	<5	.	.	13 (4-46)	.	143 (64-319)	109 (71-163)	.	.	n.c.	1
Malattia di Alzheimer (G30)	F	<5	>5	.	.	20 (5-84)	.	54 (22-135)	84 (51-132)	.	.	n.c.	1
Malattia di Alzheimer (G30)	M	<5	<5	.	.	24 (8-58)	.	128 (57-284)	119 (70-199)	.	.	n.c.	1
Malattia di Alzheimer (G30)	M + F	7	9	.	.	22 (10-56)	.	81 (44-149)	97 (63-140)	.	.	n.c.	1
Epilessia (G40)	F	0	0	.	.	0 (0-60)	.	0 (.-.)	24 (2-110)	.	.	n.c.	1
Epilessia (G40)	M	0	0	.	.	0 (0-24)	.	0 (.-.)	65 (14-205)	.	.	n.c.	1
Epilessia (G40)	M + F	0	0	.	.	0 (0-31)	.	0 (.-.)	48 (13-127)	.	.	n.c.	1
Malattia dei neuroni motori (G122)	F	0	1	.	.	0 (0-60)	.	0 (.-.)	59 (15-186)	.	.	n.c.	1
Malattia dei neuroni motori (G122)	M	<5	<5	.	.	6 (0-33)	.	436 (97-1955)	28 (5-91)	.	↓	n.c.	0 😊
Malattia dei neuroni motori (G122)	M + F	<5	<5	.	.	3 (0-34)	.	127 (28-570)	55 (19-138)	.	.	n.c.	1
Sclerosi multipla (G35)	F	<5	<5	.	.	10 (2-71)	.	771 (255-2330)	127 (26-395)	↑	.	n.c.	3 😞
Sclerosi multipla (G35)	M	0	0	.	.	0 (0-24)	.	0 (.-.)	247 (29-817)	.	.	n.c.	1


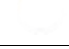
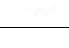



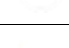



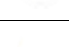




Tabella 8A - Monte San Giusto	Genere	Osservati	Attesi	Cluster sign.	SIR cluster	Tasso std. * 100000 (ic)	Tasso std. > Tasso reg.	SIR (ic)	BIR (ic)	SIR sign.	BIR sign.	Trend	Livello attenzione
Causa (ICD-IX)													
Sclerosi multipla (G35)	M + F	<5	<5	.	.	5 (1-36)	.	309 (102-935)	220 (89-472)	↑	.	n.c.	3 
Neuropatie tossiche e infiammatorie non specificate (G619, G629)	F	0	0	.	.	0 (0-60)	.	0 (.-.)	106 (3-924)	.	.	n.c.	1 
Neuropatie tossiche e infiammatorie non specificate (G619, G629)	M	0	0	.	.	0 (0-24)	.	0 (.-.)	0 (0-0)	.	.	n.c.	1 
Neuropatie tossiche e infiammatorie non specificate (G619, G629)	M + F	0	0	.	.	0 (0-31)	.	0 (.-.)	55 (2-348)	.	.	n.c.	1 
Malattie dell'apparato circolatorio (I00-I99)	F	104	78	2	110	722 (607-869)	↑	133 (113-156)	118 (106-133)	↑	↑	→	5 
Malattie dell'apparato circolatorio (I00-I99)	M	76	60	.	.	495 (404-602)	↑	128 (106-154)	100 (88-113)	↑	.	→	3 
Malattie dell'apparato circolatorio (I00-I99)	M + F	180	138	1	110	611 (536-701)	↑	131 (115-148)	114 (104-126)	↑	↑	→	5 
Malattia ipertensiva (I10-I15)	F	5	6	.	.	32 (13-98)	.	90 (44-184)	69 (44-109)	.	.	n.c.	1 
Malattia ipertensiva (I10-I15)	M	7	4	.	.	47 (22-91)	.	175 (95-322)	96 (57-158)	.	.	n.c.	1 
Malattia ipertensiva (I10-I15)	M + F	12	10	.	.	39 (23-77)	.	125 (78-201)	85 (58-124)	.	.	→	1 
Malattie ischemiche del cuore (I20-I25)	F	24	26	.	.	169 (115-260)	.	91 (65-127)	98 (76-124)	.	.	→	1 
Malattie ischemiche del cuore (I20-I25)	M	19	23	.	.	118 (77-177)	.	83 (57-121)	78 (62-98)	.	↓	→	0 
Malattie ischemiche del cuore (I20-I25)	M + F	43	49	.	.	144 (109-197)	.	88 (68-112)	86 (70-104)	.	.	→	1 
Infarto miocardico acuto (I21-I22)	F	<5	>5	.	.	25 (8-89)	.	52 (23-115)	82 (51-126)	.	.	n.c.	1 
Infarto miocardico acuto (I21-I22)	M	>5	>5	.	.	44 (20-86)	.	73 (40-135)	90 (61-128)	.	.	→	1 
Infarto miocardico acuto (I21-I22)	M + F	11	17	.	.	34 (19-71)	.	63 (39-104)	80 (55-112)	.	.	→	1

Tabella 8A - Monte San Giusto	Genere	Osservati	Attesi	Cluster sign.	SIR cluster	Tasso std. * 100000 (ic)	Tasso std. > Tasso reg.	SIR (ic)	BIR (ic)	SIR sign.	BIR sign.	Trend	Livello attenzione
Causa (ICD-IX)													
Malattie cerebrovascolari (I60-I69)	F	28	22	.	.	187 (132-279)	↑	126 (92-172)	126 (101-155)	.	↑	→	4 😞
Malattie cerebrovascolari (I60-I69)	M	18	14	2	123	122 (78-183)	.	128 (87-188)	94 (73-121)	.	.	→	1 😐
Malattie cerebrovascolari (I60-I69)	M + F	46	36	2	125	155 (119-209)	↑	127 (100-162)	116 (96-140)	.	.	→	2 😊
Malattie dell'apparato respiratorio (J00-J99)	F	10	13	.	.	61 (33-132)	.	80 (48-134)	105 (78-138)	.	.	n.c.	1 😐
Malattie dell'apparato respiratorio (J00-J99)	M	11	13	.	.	61 (34-105)	.	85 (52-139)	92 (71-118)	.	.	→	1 😐
Malattie dell'apparato respiratorio (J00-J99)	M + F	21	26	.	.	61 (41-101)	.	82 (58-118)	96 (77-121)	.	.	→	1 😐
Malattie respiratorie acute (J00-J06, J10-J18, J20-J22)	F	<5	<5	.	.	13 (2-75)	.	51 (17-154)	101 (60-164)	.	.	n.c.	1 😐
Malattie respiratorie acute (J00-J06, J10-J18, J20-J22)	M	<5	<5	.	.	13 (2-44)	.	89 (29-269)	69 (33-129)	.	.	n.c.	1 😐
Malattie respiratorie acute (J00-J06, J10-J18, J20-J22)	M + F	<5	>5	.	.	13 (4-46)	.	65 (29-144)	77 (45-124)	.	.	n.c.	1 😐
Malattie croniche dell'apparato respiratorio (BCPO) (J41-J44, J47)	F	<5	<5	.	.	11 (2-73)	.	48 (16-145)	80 (48-128)	.	.	n.c.	1 😐
Malattie croniche dell'apparato respiratorio (BCPO) (J41-J44, J47)	M	>5	>5	.	.	29 (11-65)	.	69 (33-141)	96 (69-133)	.	.	n.c.	1 😐
Malattie croniche dell'apparato respiratorio (BCPO) (J41-J44, J47)	M + F	7	12	.	.	20 (9-54)	.	61 (33-113)	88 (63-120)	.	.	n.c.	1 😐
Asma (J45)	F	0	0	.	.	0 (0-60)	.	0 (.-.)	40 (3-218)	.	.	n.c.	1 😐
Asma (J45)	M	0	0	.	.	0 (0-24)	.	0 (.-.)	65 (4-358)	.	.	n.c.	1 😐
Asma (J45)	M + F	0	0	.	.	0 (0-31)	.	0 (.-.)	64 (12-204)	.	.	n.c.	1 😐
Pneumoconiosi (J60-J64)	M	0	0	.	.	0 (0-24)	.	0 (.-.)	8 (0-73)	.	↓	n.c.	0 😊

Tabella 8A - Monte San Giusto	Genere	Osservati	Attesi	Cluster sign.	SIR cluster	Tasso std. * 100000 (ic)	Tasso std. > Tasso reg.	SIR (ic)	BIR (ic)	SIR sign.	BIR sign.	Trend	Livello attenzione
Causa (ICD-IX)													
Pneumoconiosi (J60-J64)	M + F	0	0	.	.	0 (0-31)	.	0 (-.)	8 (0-73)	.	↓	n.c.	0 😊
Malattie dell'apparato digerente (K00-K93)	F	5	5	.	.	30 (12-96)	.	92 (45-190)	86 (65-111)	.	.	n.c.	1 😊
Malattie dell'apparato digerente (K00-K93)	M	13	7	.	.	82 (48-134)	↑	178 (113-280)	114 (89-150)	↑	.	n.c.	3 😊
Malattie dell'apparato digerente (K00-K93)	M + F	18	13	.	.	56 (36-96)	.	142 (96-208)	102 (82-128)	.	.	→	1 😊
Cirrosi e altre malattie croniche del fegato (K70, K73-K74)	F	<5	<5	.	.	17 (5-80)	.	342 (137-856)	102 (49-208)	↑	.	n.c.	3 😊
Cirrosi e altre malattie croniche del fegato (K70, K73-K74)	M	>5	<5	.	.	30 (11-66)	↑	167 (81-342)	153 (105-219)	.	↑	n.c.	4 😊
Cirrosi e altre malattie croniche del fegato (K70, K73-K74)	M + F	8	4	.	.	23 (12-58)	↑	206 (116-366)	143 (99-213)	↑	.	n.c.	3 😊
Nefropatie croniche e acute (N00-N12)	F	0	0	.	.	0 (0-60)	.	0 (-.)	126 (10-547)	.	.	n.c.	1 😊
Nefropatie croniche e acute (N00-N12)	M	0	0	.	.	0 (0-24)	.	0 (-.)	139 (9-712)	.	.	n.c.	1 😊
Nefropatie croniche e acute (N00-N12)	M + F	0	0	.	.	0 (0-31)	.	0 (-.)	159 (24-615)	.	.	n.c.	1 😊
Malattie dell'apparato genito-urinario (N00-N99)	F	<5	<5	.	.	20 (5-83)	.	74 (29-184)	112 (74-168)	.	.	n.c.	1 😊
Malattie dell'apparato genito-urinario (N00-N99)	M	>5	<5	.	.	51 (25-95)	↑	202 (114-358)	149 (96-232)	↑	.	n.c.	3 😊
Malattie dell'apparato genito-urinario (N00-N99)	M + F	11	8	2	140	35 (19-72)	.	137 (84-224)	133 (96-181)	.	.	↑	3 😊
Insufficienza renale acuta e cronica (N17-N19)	F	<5	<5	.	.	13 (2-76)	.	60 (20-180)	107 (70-160)	.	.	n.c.	1 😊
Insufficienza renale acuta e cronica (N17-N19)	M	>5	<5	.	.	51 (25-95)	↑	251 (141-445)	150 (96-232)	↑	.	n.c.	3 😊
Insufficienza renale acuta e cronica (N17-N19)	M + F	10	7	2	134	32 (17-68)	↑	153 (91-256)	136 (96-194)	.	.	n.c.	2 😊

Tabella 8A - Monte San Giusto													
Causa (ICD-IX)	Genere	Osservati	Attesi	Cluster sign.	SIR cluster	Tasso std. * 100000 (ic)	Tasso std. > Tasso reg.	SIR (ic)	BIR (ic)	SIR sign.	BIR sign.	Trend	Livello attenzione
Malformazioni congenite (Q00-Q99)	F	0	0	.	.	0 (0-60)	.	0 (-.)	54 (10-212)	.	.	n.c.	1
Malformazioni congenite (Q00-Q99)	M	0	1	.	.	0 (0-24)	.	0 (-.)	65 (13-249)	.	.	n.c.	1
Malformazioni congenite (Q00-Q99)	M + F	0	1	.	.	0 (0-31)	.	0 (-.)	60 (18-181)	.	.	n.c.	1
Sintomi, segni e stati morbosi mal definiti (R00-R99)	F	<5	<5	.	.	6 (0-68)	.	35 (8-159)	78 (28-192)	.	.	n.c.	1
Sintomi, segni e stati morbosi mal definiti (R00-R99)	M	<5	<5	.	.	21 (6-57)	.	139 (56-348)	178 (74-382)	.	.	n.c.	1
Sintomi, segni e stati morbosi mal definiti (R00-R99)	M + F	<5	>5	.	.	14 (5-47)	.	80 (36-179)	118 (56-227)	.	.	n.c.	1
Traumatismi e avvelenamenti (S00-T98)	F	5	5	2	131	28 (11-93)	.	92 (45-189)	88 (60-125)	.	.	n.c.	1
Traumatismi e avvelenamenti (S00-T98)	M	15	10	.	.	89 (54-140)	↑	145 (95-221)	108 (87-135)	.	.	→	1
Traumatismi e avvelenamenti (S00-T98)	M + F	20	16	.	.	58 (38-97)	.	127 (88-183)	103 (83-129)	.	.	→	1

Tabella 9A. Decessi per causa nel comune di Monte Urano, tutte le età, periodo di osservazione 2009-2013




Tabella 9A - Monte Urano	Genere	Osservati	Attesi	Cluster sign.	SIR cluster	Tasso std. * 100000 (ic)	Tasso std. > Tasso reg.	SIR (ic)	BIR (ic)	SIR sign.	BIR sign.	Trend	Livello attenzione
Causa (ICD-IX)													
Mortalità generale (escluse cause violente) (A00-R99)	F	168	177	.	.	1147 (956-1408)	.	95 (84-108)	98 (91-105)	.	.	↓	0 
Mortalità generale (escluse cause violente) (A00-R99)	M	215	185	.	.	1221 (1085-1372)	↑	116 (104-130)	107 (98-116)	↑	.	→	3 
Mortalità generale (escluse cause violente) (A00-R99)	M + F	383	362	.	.	1183 (1063-1336)	↑	106 (97-115)	103 (96-109)	.	.	→	1
Mortalità per cause esterne o violente (S00-Y99)	F	9	7	2	131	48 (25-177)	.	139 (81-239)	113 (84-152)	.	.	n.c.	1
Mortalità per cause esterne o violente (S00-Y99)	M	7	10	.	.	34 (16-70)	.	70 (38-128)	96 (80-111)	.	.	n.c.	1
Mortalità per cause esterne o violente (S00-Y99)	M + F	16	17	.	.	42 (26-109)	.	97 (64-145)	101 (84-120)	.	.	n.c.	1
Malattie infettive (A00-B99)	F	<5	<5	.	.	17 (4-145)	.	86 (34-216)	104 (70-147)	.	.	n.c.	1
Malattie infettive (A00-B99)	M	<5	<5	.	.	23 (8-57)	.	112 (50-250)	104 (82-133)	.	.	n.c.	1
Malattie infettive (A00-B99)	M + F	7	7	.	.	20 (9-86)	.	99 (54-183)	106 (78-141)	.	.	n.c.	1
Epatite virale (B17-B19)	F	0	1	.	.	0 (0-128)	.	0 (.-.)	113 (69-165)	.	.	n.c.	1
Epatite virale (B17-B19)	M	0	1	.	.	0 (0-24)	.	0 (.-.)	96 (49-152)	.	.	n.c.	1
Epatite virale (B17-B19)	M + F	0	1	.	.	0 (0-67)	.	0 (.-.)	107 (73-138)	.	.	n.c.	1
Tutti i tumori (C00-D48)	F	36	49	.	.	191 (141-328)	.	73 (56-96)	98 (89-106)	↓	.	→	0 
Tutti i tumori (C00-D48)	M	67	68	.	.	362 (291-447)	.	99 (81-121)	99 (89-109)	.	.	→	1
Tutti i tumori (C00-D48)	M + F	103	117	.	.	273 (230-355)	.	88 (75-104)	96 (88-105)	.	.	→	1
Tumori maligni delle vie aeree e digestive superiori (C00-C15, C32)	F	0	1	.	.	0 (0-128)	.	0 (.-.)	111 (77-145)	.	.	n.c.	1



Tabella 9A - Monte Urano													
Causa (ICD-IX)	Genere	Osservati	Attesi	Cluster sign.	SIR cluster	Tasso std. * 100000 (ic)	Tasso std. > Tasso reg.	SIR (ic)	BIR (ic)	SIR sign.	BIR sign.	Trend	Livello attenzione
Tumori maligni delle vie aeree e digestive superiori (C00-C15, C32)	M	<5	<5	.	.	5 (0-31)	.	42 (9-189)	76 (52-108)	.	.	n.c.	1
Tumori maligni delle vie aeree e digestive superiori (C00-C15, C32)	M + F	<5	<5	.	.	2 (0-69)	.	32 (7-144)	81 (56-109)	.	.	n.c.	1
Tumori maligni (C00-C97)	F	35	47	.	.	185 (136-321)	.	74 (56-98)	98 (89-106)	↓	.	→	0 
Tumori maligni (C00-C97)	M	64	65	.	.	347 (278-431)	.	99 (81-122)	99 (90-108)	.	.	→	1
Tumori maligni (C00-C97)	M + F	99	112	.	.	263 (220-344)	.	89 (75-105)	97 (89-105)	.	.	→	1
Tumori maligni dell'esofago (C15)	F	0	0	.	.	0 (0-128)	.	0 (.-.)	108 (37-191)	.	.	n.c.	1
Tumori maligni dell'esofago (C15)	M	0	1	.	.	0 (0-24)	.	0 (.-.)	81 (41-129)	.	.	n.c.	1
Tumori maligni dell'esofago (C15)	M + F	0	1	.	.	0 (0-67)	.	0 (.-.)	81 (35-139)	.	.	n.c.	1
Tumori maligni dello stomaco (C16)	F	<5	<5	.	.	17 (5-146)	.	82 (33-206)	98 (79-123)	.	.	n.c.	1
Tumori maligni dello stomaco (C16)	M	>5	>5	.	.	32 (14-67)	.	121 (63-234)	111 (81-154)	.	.	n.c.	1
Tumori maligni dello stomaco (C16)	M + F	9	9	2	124	24 (13-91)	.	105 (61-180)	106 (84-136)	.	.	n.c.	1
Tumori maligni dell'intestino tenue, compreso il duodeno (C17)	F	0	0	.	.	0 (0-128)	.	0 (.-.)	61 (15-158)	.	.	n.c.	1
Tumori maligni dell'intestino tenue, compreso il duodeno (C17)	M	0	0	.	.	0 (0-24)	.	0 (.-.)	110 (42-239)	.	.	n.c.	1
Tumori maligni dell'intestino tenue, compreso il duodeno (C17)	M + F	0	0	.	.	0 (0-67)	.	0 (.-.)	0 (0-0)	.	↓	n.c.	0 
Tumori maligni del colon (C18)	F	<5	>5	.	.	20 (7-148)	.	86 (39-193)	98 (78-121)	.	.	n.c.	1
Tumori maligni del colon (C18)	M	<5	>5	.	.	19 (5-52)	.	50 (20-126)	96 (73-122)	.	.	n.c.	1

Tabella 9A - Monte Urano													
Causa (ICD-IX)	Genere	Osservati	Attesi	Cluster sign.	SIR cluster	Tasso std. * 100000 (ic)	Tasso std. > Tasso reg.	SIR (ic)	BIR (ic)	SIR sign.	BIR sign.	Trend	Livello attenzione
Tumori maligni del colon (C18)	M + F	7	11	.	.	19 (9-86)	.	66 (36-122)	94 (72-117)	.	.	n.c.	1
Tumori maligni del retto, della giunzione retto-sigmoidea e dell'ano (C19-C21)	F	>5	<5	2	177	26 (10-155)	↑	372 (181-764)	141 (89-261)	↑	.	n.c.	3 ☹️
Tumori maligni del retto, della giunzione retto-sigmoidea e dell'ano (C19-C21)	M	<5	<5	.	.	21 (7-54)	.	216 (97-480)	89 (53-152)	.	.	n.c.	1
Tumori maligni del retto, della giunzione retto-sigmoidea e dell'ano (C19-C21)	M + F	9	3	.	.	24 (13-91)	↑	281 (164-483)	117 (83-192)	↑	.	n.c.	3 ☹️
Tumore fegato e dotti biliari (C22)	F	0	1	.	.	0 (0-128)	.	0 (.-.)	95 (66-123)	.	.	n.c.	1
Tumore fegato e dotti biliari (C22)	M	<5	<5	.	.	17 (4-50)	.	101 (40-252)	97 (63-141)	.	.	n.c.	1
Tumore fegato e dotti biliari (C22)	M + F	<5	<5	.	.	8 (2-75)	.	70 (28-176)	91 (62-130)	.	.	n.c.	1
Tumori maligni del pancreas (C25)	F	<5	<5	.	.	10 (2-138)	.	58 (19-174)	97 (80-116)	.	.	n.c.	1
Tumori maligni del pancreas (C25)	M	<5	<5	.	.	5 (0-30)	.	26 (6-118)	96 (74-113)	.	.	n.c.	1
Tumori maligni del pancreas (C25)	M + F	<5	>5	.	.	7 (2-74)	.	41 (16-103)	94 (73-109)	.	.	n.c.	1
Tumore del retroperitoneo (C48)	F	0	0	.	.	0 (0-128)	.	0 (.-.)	95 (55-153)	.	.	n.c.	1
Tumore del retroperitoneo (C48)	M	0	0	.	.	0 (0-24)	.	0 (.-.)	99 (31-203)	.	.	n.c.	1
Tumore del retroperitoneo (C48)	M + F	0	0	.	.	0 (0-67)	.	0 (.-.)	110 (69-148)	.	.	n.c.	1
Tumori maligni della laringe (C32)	F	0	0	.	.	0 (0-128)	.	0 (.-.)	103 (36-208)	.	.	n.c.	1
Tumori maligni della laringe (C32)	M	0	1	.	.	0 (0-24)	.	0 (.-.)	85 (49-126)	.	.	n.c.	1
Tumori maligni della laringe (C32)	M + F	0	1	.	.	0 (0-67)	.	0 (.-.)	84 (48-124)	.	.	n.c.	1

Tabella 9A - Monte Urano													
Causa (ICD-IX)	Genere	Osservati	Attesi	Cluster sign.	SIR cluster	Tasso std. * 100000 (ic)	Tasso std. > Tasso reg.	SIR (ic)	BIR (ic)	SIR sign.	BIR sign.	Trend	Livello attenzione
Tumori maligni della trachea, dei bronchi e dei polmoni (C33-C34)	F	<5	>5	.	.	21 (7-149)	.	83 (37-185)	94 (64-130)	.	.	n.c.	1
Tumori maligni della trachea, dei bronchi e dei polmoni (C33-C34)	M	>5	>5	.	.	73 (44-118)	.	88 (57-136)	98 (81-115)	.	.	n.c.	1
Tumori maligni della trachea, dei bronchi e dei polmoni (C33-C34)	M + F	18	21	.	.	46 (30-113)	.	87 (59-128)	95 (78-113)	.	.	n.c.	1
Mesotelioma (pleura, peritoneo, endocardio, ecc.) (C45)	F	0	0	.	.	0 (0-128)	.	0 (.-.)	106 (47-190)	.	.	n.c.	1
Mesotelioma (pleura, peritoneo, endocardio, ecc.) (C45)	M	0	1	.	.	0 (0-24)	.	0 (.-.)	54 (16-144)	.	.	n.c.	1
Mesotelioma (pleura, peritoneo, endocardio, ecc.) (C45)	M + F	0	1	.	.	0 (0-67)	.	0 (.-.)	75 (33-148)	.	.	n.c.	1
Tumori maligni delle ossa e della cartilagine articolare (C40-C41)	F	<5	<5	.	.	5 (0-133)	.	720 (161-3226)	133 (54-421)	↑	.	n.c.	1
Tumori maligni delle ossa e della cartilagine articolare (C40-C41)	M	<5	<5	.	.	13 (2-44)	.	1795 (594-5423)	139 (52-551)	↑	.	n.c.	3 😞
Tumori maligni delle ossa e della cartilagine articolare (C40-C41)	M + F	<5	<5	2	431	9 (2-75)	↑	1198 (479-2998)	182 (76-676)	↑	.	n.c.	3 😞
Tumori maligni del connettivo e di altri tessuti molli (C49)	F	0	0	.	.	0 (0-128)	.	0 (.-.)	103 (61-153)	.	.	n.c.	1
Tumori maligni del connettivo e di altri tessuti molli (C49)	M	0	0	.	.	0 (0-24)	.	0 (.-.)	92 (59-141)	.	.	n.c.	1
Tumori maligni del connettivo e di altri tessuti molli (C49)	M + F	0	1	.	.	0 (0-67)	.	0 (.-.)	100 (70-139)	.	.	n.c.	1
Melanoma maligno della pelle (C43)	F	<5	<5	.	.	5 (0-133)	.	193 (43-867)	100 (69-142)	.	.	n.c.	1
Melanoma maligno della pelle (C43)	M	<5	<5	.	.	5 (0-32)	.	141 (32-633)	95 (62-137)	.	.	n.c.	1
Melanoma maligno della pelle (C43)	M + F	<5	<5	.	.	5 (1-72)	.	163 (54-493)	98 (72-129)	.	.	n.c.	1
Tumori maligni della mammella (C50)	F	<5	>5	.	.	10 (2-138)	.	26 (9-78)	102 (78-120)	↓	.	n.c.	0 😊


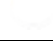
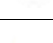


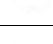
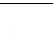

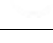



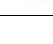


Tabella 9A - Monte Urano	Genere	Osservati	Attesi	Cluster sign.	SIR cluster	Tasso std. * 100000 (ic)	Tasso std. > Tasso reg.	SIR (ic)	BIR (ic)	SIR sign.	BIR sign.	Trend	Livello attenzione
Causa (ICD-IX)													
Tumori maligni della mammella (C50)	M + F	<5	>5	.	.	5 (1-72)	.	25 (8-77)	101 (78-122)	↓	.	n.c.	0 
Tumori maligni dell'utero (C53-C55)	F	<5	<5	.	.	5 (0-133)	.	55 (12-246)	90 (65-120)	.	.	n.c.	1 
Tumori maligni del corpo dell'utero (C54)	F	0	1	.	.	0 (0-128)	.	0 (.-.)	81 (37-141)	.	.	n.c.	1 
Tumori maligni dell'ovaio e degli altri annessi uterini (C56-C57)	F	<5	<5	.	.	10 (2-138)	.	97 (32-294)	98 (70-130)	.	.	n.c.	1 
Tumore della prostata (C61)	M	<5	>5	.	.	25 (8-60)	.	79 (36-177)	100 (82-118)	.	.	n.c.	1 
Tumore del testicolo (C62)	M	0	0	.	.	0 (0-24)	.	0 (.-.)	89 (20-252)	.	.	n.c.	1 
Tumori maligni della vescica (C67)	F	<5	<5	.	.	6 (0-135)	.	133 (30-596)	107 (71-149)	.	.	n.c.	1 
Tumori maligni della vescica (C67)	M	<5	<5	.	.	21 (7-54)	.	137 (61-305)	99 (80-122)	.	.	n.c.	1 
Tumori maligni della vescica (C67)	M + F	5	4	.	.	13 (5-80)	.	136 (66-279)	102 (87-118)	.	.	n.c.	1 
Tumori maligni del rene e di altri e non specificati organi urinari (C64-C66, C68)	F	0	1	.	.	0 (0-128)	.	0 (.-.)	78 (41-124)	.	.	n.c.	1 
Tumori maligni del rene e di altri e non specificati organi urinari (C64-C66, C68)	M	<5	<5	.	.	10 (2-38)	.	96 (32-290)	91 (62-125)	.	.	n.c.	1 
Tumori maligni del rene e di altri e non specificati organi urinari (C64-C66, C68)	M + F	<5	<5	.	.	5 (1-71)	.	65 (21-196)	87 (61-116)	.	.	n.c.	1 
tumore del sistema nervoso centrale (C70-C72,D33)	F	<5	<5	.	.	5 (0-133)	.	94 (21-421)	97 (71-136)	.	.	n.c.	1 
tumore del sistema nervoso centrale (C70-C72,D33)	M	>5	<5	.	.	29 (11-65)	↑	281 (137-578)	119 (82-203)	↑	.	n.c.	3 
tumore del sistema nervoso centrale (C70-C72,D33)	M + F	6	3	.	.	17 (7-83)	↑	211 (109-408)	105 (88-132)	↑	.	n.c.	3 
Tumori maligni dell'encefalo (C71)	F	<5	<5	.	.	5 (0-133)	.	98 (22-440)	96 (77-122)	.	.	n.c.	1

Tabella 9A - Monte Urano													
Causa (ICD-IX)	Genere	Osservati	Attesi	Cluster sign.	SIR cluster	Tasso std. * 100000 (ic)	Tasso std. > Tasso reg.	SIR (ic)	BIR (ic)	SIR sign.	BIR sign.	Trend	Livello attenzione
Tumori maligni dell'encefalo (C71)	M	>5	<5	.	.	29 (11-65)	↑	287 (140-589)	112 (82-194)	↑	.	n.c.	3 😞
Tumori maligni dell'encefalo (C71)	M + F	6	3	.	.	17 (7-83)	↑	217 (112-420)	104 (89-126)	↑	.	n.c.	3 😞
Tumori maligni della ghiandola tiroide (C73)	F	<5	<5	.	.	5 (0-134)	.	408 (91-1831)	127 (73-226)	.	.	n.c.	1 😐
Tumori maligni della ghiandola tiroide (C73)	M	0	0	.	.	0 (0-24)	.	0 (.-)	100 (64-152)	.	.	n.c.	1 😐
Tumori maligni della ghiandola tiroide (C73)	M + F	<5	<5	.	.	3 (0-69)	.	240 (54-1076)	118 (80-180)	.	.	n.c.	1 😐
Tumori emolinfopoiетici (C81-C96)	F	<5	>5	.	.	5 (0-133)	.	22 (5-99)	99 (85-115)	↓	.	n.c.	0 😊
Tumori emolinfopoiетici (C81-C96)	M	>5	>5	.	.	36 (17-73)	.	123 (67-227)	103 (90-117)	.	.	→	1 😐
Tumori emolinfopoiетici (C81-C96)	M + F	8	10	.	.	20 (10-86)	.	78 (44-139)	102 (91-112)	.	.	→	1 😐
Malattia di Hodgkin (C81)	F	0	0	.	.	0 (0-128)	.	0 (.-)	94 (22-233)	.	.	n.c.	1 😐
Malattia di Hodgkin (C81)	M	0	0	.	.	0 (0-24)	.	0 (.-)	103 (48-173)	.	.	n.c.	1 😐
Malattia di Hodgkin (C81)	M + F	0	0	.	.	0 (0-67)	.	0 (.-)	100 (42-186)	.	.	n.c.	1 😐
Linfoma non Hodgkin (C82-C85)	F	<5	<5	.	.	5 (0-133)	.	73 (16-326)	96 (73-123)	.	.	n.c.	1 😐
Linfoma non Hodgkin (C82-C85)	M	<5	<5	.	.	9 (2-37)	.	99 (33-300)	108 (89-129)	.	.	n.c.	1 😐
Linfoma non Hodgkin (C82-C85)	M + F	<5	<5	.	.	7 (2-74)	.	89 (35-222)	102 (82-124)	.	.	n.c.	1 😐
Mieloma multiplo e tumori immunoproliferativi (C88, C90)	F	0	1	.	.	0 (0-128)	.	0 (.-)	93 (63-123)	.	.	n.c.	1 😐
Mieloma multiplo e tumori immunoproliferativi (C88, C90)	M	<5	<5	.	.	11 (2-39)	.	165 (55-498)	103 (72-152)	.	.	n.c.	1 😐

Tabella 9A - Monte Urano													
Causa (ICD-IX)	Genere	Osservati	Attesi	Cluster sign.	SIR cluster	Tasso std. * 100000 (ic)	Tasso std. > Tasso reg.	SIR (ic)	BIR (ic)	SIR sign.	BIR sign.	Trend	Livello attenzione
Mieloma multiplo e tumori immunoproliferativi (C88, C90)	M + F	<5	<5	.	.	5 (1-72)	.	86 (28-260)	98 (71-138)	.	.	n.c.	1
Leucemie (C91-C95)	F	0	2	.	.	0 (0-128)	.	0 (.-.)	103 (71-136)	.	.	n.c.	1
Leucemie (C91-C95)	M	<5	<5	.	.	16 (4-47)	.	131 (52-328)	99 (68-142)	.	.	n.c.	1
Leucemie (C91-C95)	M + F	<5	<5	.	.	8 (2-74)	.	72 (29-181)	102 (82-121)	.	.	n.c.	1
Leucemia linfoide (acuta e cronica) (C91)	F	0	1	.	.	0 (0-128)	.	0 (.-.)	116 (81-151)	.	.	n.c.	1
Leucemia linfoide (acuta e cronica) (C91)	M	<5	<5	.	.	5 (0-30)	.	114 (25-509)	108 (77-153)	.	.	n.c.	1
Leucemia linfoide (acuta e cronica) (C91)	M + F	<5	<5	.	.	2 (0-69)	.	67 (15-300)	111 (89-135)	.	.	n.c.	1
Leucemia mieloide (acuta e cronica) (C92)	F	0	1	.	.	0 (0-128)	.	0 (.-.)	99 (63-133)	.	.	n.c.	1
Leucemia mieloide (acuta e cronica) (C92)	M	<5	<5	.	.	12 (2-41)	.	204 (67-616)	91 (59-138)	.	.	n.c.	1
Leucemia mieloide (acuta e cronica) (C92)	M + F	<5	<5	.	.	6 (1-72)	.	112 (37-337)	92 (64-131)	.	.	n.c.	1
Malattie del sangue e degli organi emopoietici (D50-D77)	F	<5	<5	.	.	6 (0-134)	.	88 (20-396)	103 (63-154)	.	.	n.c.	1
Malattie del sangue e degli organi emopoietici (D50-D77)	M	<5	<5	.	.	6 (0-33)	.	137 (30-613)	96 (70-129)	.	.	n.c.	1
Malattie del sangue e degli organi emopoietici (D50-D77)	M + F	<5	<5	.	.	6 (1-73)	.	107 (35-324)	101 (74-131)	.	.	n.c.	1
Malattie endocrine, della nutrizione ed immunitarie (E00-E90, D80-D89)	F	9	8	.	.	52 (27-182)	.	118 (69-203)	98 (75-128)	.	.	n.c.	1
Malattie endocrine, della nutrizione ed immunitarie (E00-E90, D80-D89)	M	11	7	.	.	68 (37-116)	↑	159 (97-259)	110 (82-150)	.	.	n.c.	1
Malattie endocrine, della nutrizione ed immunitarie (E00-E90, D80-D89)	M + F	20	15	.	.	60 (39-129)	.	138 (95-198)	108 (83-138)	.	.	→	1

Tabella 9A - Monte Urano													
Causa (ICD-IX)	Genere	Osservati	Attesi	Cluster sign.	SIR cluster	Tasso std. * 100000 (ic)	Tasso std. > Tasso reg.	SIR (ic)	BIR (ic)	SIR sign.	BIR sign.	Trend	Livello attenzione
Tireotossicosi (E05)	F	<5	<5	.	.	6 (0-135)	.	1098 (245-4924)	121 (49-320)	↑	.	n.c.	1
Tireotossicosi (E05)	M	0	0	.	.	0 (0-24)	.	0 (.-)	66 (0-289)	.	.	n.c.	1
Tireotossicosi (E05)	M + F	<5	<5	.	.	3 (0-70)	.	769 (171-3446)	119 (49-350)	↑	.	n.c.	1
Ipotiroidismo (E00-E03)	F	0	0	.	.	0 (0-128)	.	0 (.-)	80 (19-206)	.	.	n.c.	1
Ipotiroidismo (E00-E03)	M	0	0	.	.	0 (0-24)	.	0 (.-)	57 (11-158)	.	.	n.c.	1
Ipotiroidismo (E00-E03)	M + F	0	0	.	.	0 (0-67)	.	0 (.-)	84 (29-167)	.	.	n.c.	1
Diabete mellito (E10-E14)	F	<5	>5	.	.	23 (8-151)	.	73 (33-162)	92 (66-124)	.	.	n.c.	1
Diabete mellito (E10-E14)	M	<5	>5	.	.	29 (10-68)	.	77 (35-172)	90 (62-125)	.	.	n.c.	1
Diabete mellito (E10-E14)	M + F	8	11	.	.	26 (13-93)	.	75 (42-133)	87 (64-117)	.	.	n.c.	1
Demenze (F00-F01, F020-F023, F03, G30, G310)	F	10	12	.	.	59 (32-189)	.	87 (52-146)	89 (62-124)	.	.	→	1
Demenze (F00-F01, F020-F023, F03, G30, G310)	M	9	6	.	.	56 (29-100)	.	144 (84-248)	102 (71-149)	.	.	n.c.	1
Demenze (F00-F01, F020-F023, F03, G30, G310)	M + F	19	18	.	.	57 (37-126)	.	107 (74-156)	98 (72-129)	.	.	→	1
Malattie neuro-psichiatriche (escluse tossicod.) (F00-F09, F20-F99)	F	6	6	.	.	36 (15-164)	.	94 (49-182)	85 (51-136)	.	.	n.c.	1
Malattie neuro-psichiatriche (escluse tossicod.) (F00-F09, F20-F99)	M	5	3	.	.	29 (11-64)	.	145 (71-298)	90 (52-151)	.	.	n.c.	1
Malattie neuro-psichiatriche (escluse tossicod.) (F00-F09, F20-F99)	M + F	11	10	.	.	32 (18-99)	.	112 (69-183)	93 (61-139)	.	.	n.c.	1
Malattie del sistema nervoso e degli organi di senso (G00-H95)	F	8	10	.	.	84 (25-244)	.	79 (44-140)	99 (74-128)	.	.	n.c.	1

Tabella 9A - Monte Urano													
Causa (ICD-IX)	Genere	Osservati	Attesi	Cluster sign.	SIR cluster	Tasso std. * 100000 (ic)	Tasso std. > Tasso reg.	SIR (ic)	BIR (ic)	SIR sign.	BIR sign.	Trend	Livello attenzione
Malattie del sistema nervoso e degli organi di senso (G00-H95)	M	12	8	.	.	73 (42-122)	↑	151 (94-242)	112 (87-146)	.	.	→	1
Malattie del sistema nervoso e degli organi di senso (G00-H95)	M + F	20	18	.	.	79 (41-162)	.	111 (77-159)	107 (86-133)	.	.	→	1
Morbo di Parkinson (G20)	F	<5	<5	.	.	6 (0-134)	.	79 (18-353)	100 (68-145)	.	.	n.c.	1
Morbo di Parkinson (G20)	M	<5	<5	.	.	11 (2-41)	.	121 (40-364)	104 (77-142)	.	.	n.c.	1
Morbo di Parkinson (G20)	M + F	<5	<5	.	.	8 (2-75)	.	102 (41-256)	106 (79-143)	.	.	n.c.	1
Malattia di Alzheimer (G30)	F	5	5	.	.	29 (11-158)	.	92 (45-189)	98 (64-147)	.	.	n.c.	1
Malattia di Alzheimer (G30)	M	5	3	.	.	33 (13-72)	.	163 (79-335)	113 (70-182)	.	.	n.c.	1
Malattia di Alzheimer (G30)	M + F	10	9	.	.	31 (17-98)	.	118 (70-197)	111 (75-159)	.	.	n.c.	1
Epilessia (G40)	F	0	0	.	.	0 (0-128)	.	0 (.-.)	108 (58-173)	.	.	n.c.	1
Epilessia (G40)	M	<5	<5	.	.	8 (0-37)	.	331 (74-1485)	102 (62-176)	.	.	n.c.	1
Epilessia (G40)	M + F	<5	<5	.	.	4 (0-71)	.	154 (34-690)	109 (62-178)	.	.	n.c.	1
Malattia dei neuroni motori (G122)	F	0	1	.	.	0 (0-128)	.	0 (.-.)	54 (17-152)	.	.	n.c.	1
Malattia dei neuroni motori (G122)	M	<5	<5	.	.	11 (2-39)	.	253 (84-765)	100 (54-183)	.	.	n.c.	1
Malattia dei neuroni motori (G122)	M + F	<5	<5	.	.	5 (1-72)	.	135 (45-409)	81 (36-175)	.	.	n.c.	1
Sclerosi multipla (G35)	F	0	0	.	.	0 (0-128)	.	0 (.-.)	104 (60-169)	.	.	n.c.	1
Sclerosi multipla (G35)	M	0	0	.	.	0 (0-24)	.	0 (.-.)	81 (13-217)	.	.	n.c.	1

Tabella 9A - Monte Urano	Genere	Osservati	Attesi	Cluster sign.	SIR cluster	Tasso std. * 100000 (ic)	Tasso std. > Tasso reg.	SIR (ic)	BIR (ic)	SIR sign.	BIR sign.	Trend	Livello attenzione
Causa (ICD-IX)													
Sclerosi multipla (G35)	M + F	0	0	.	.	0 (0-67)	.	0 (.-.)	103 (64-158)	.	.	n.c.	1
Neuropatie tossiche e infiammatorie non specificate (G619, G629)	F	0	0	.	.	0 (0-128)	.	0 (.-.)	56 (4-274)	.	.	n.c.	1
Neuropatie tossiche e infiammatorie non specificate (G619, G629)	M	0	0	.	.	0 (0-24)	.	0 (.-.)	43 (6-155)	.	.	n.c.	1
Neuropatie tossiche e infiammatorie non specificate (G619, G629)	M + F	0	0	.	.	0 (0-67)	.	0 (.-.)	54 (8-155)	.	.	n.c.	1
Malattie dell'apparato circolatorio (I00-I99)	F	82	74	2	110	556 (431-756)	.	111 (92-133)	104 (94-116)	.	.	↓	1
Malattie dell'apparato circolatorio (I00-I99)	M	81	67	.	.	452 (372-548)	.	120 (100-144)	107 (96-120)	↑	.	→	3 😊
Malattie dell'apparato circolatorio (I00-I99)	M + F	163	141	1	110	506 (429-619)	↑	115 (101-131)	108 (98-118)	↑	.	→	3 😊
Malattia ipertensiva (I10-I15)	F	5	8	.	.	28 (11-156)	.	61 (30-125)	75 (47-113)	.	.	n.c.	1
Malattia ipertensiva (I10-I15)	M	5	5	.	.	25 (10-59)	.	94 (46-192)	94 (57-145)	.	.	n.c.	1
Malattia ipertensiva (I10-I15)	M + F	10	14	.	.	27 (14-93)	.	74 (44-123)	80 (55-115)	.	.	n.c.	1
Malattie ischemiche del cuore (I20-I25)	F	24	24	.	.	181 (105-344)	.	99 (71-138)	99 (79-125)	.	.	→	1
Malattie ischemiche del cuore (I20-I25)	M	25	27	.	.	137 (95-195)	.	92 (66-127)	96 (79-117)	.	.	→	1
Malattie ischemiche del cuore (I20-I25)	M + F	49	52	.	.	160 (114-247)	.	95 (75-120)	97 (81-116)	.	.	→	1
Infarto miocardico acuto (I21-I22)	F	5	7	.	.	30 (12-159)	.	72 (35-149)	81 (53-123)	.	.	n.c.	1
Infarto miocardico acuto (I21-I22)	M	9	10	.	.	49 (25-90)	.	91 (53-157)	94 (66-132)	.	.	n.c.	1
Infarto miocardico acuto (I21-I22)	M + F	14	17	.	.	39 (23-107)	.	83 (54-129)	86 (61-118)	.	.	→	1

Tabella 9A - Monte Urano													
Causa (ICD-IX)	Genere	Osservati	Attesi	Cluster sign.	SIR cluster	Tasso std. * 100000 (ic)	Tasso std. > Tasso reg.	SIR (ic)	BIR (ic)	SIR sign.	BIR sign.	Trend	Livello attenzione
Malattie cerebrovascolari (I60-I69)	F	29	21	.	.	171 (122-308)	↑	140 (103-190)	122 (99-150)	↑	.	↓	2 😊
Malattie cerebrovascolari (I60-I69)	M	31	17	.	.	174 (125-239)	↑	181 (135-243)	131 (106-166)	↑	↑	→	5 😊
Malattie cerebrovascolari (I60-I69)	M + F	60	38	2	125	172 (137-249)	↑	159 (129-196)	136 (114-162)	↑	↑	→	5 😊
Malattie dell'apparato respiratorio (J00-J99)	F	8	10	.	.	46 (23-175)	.	77 (44-137)	83 (62-108)	.	.	n.c.	1 😊
Malattie dell'apparato respiratorio (J00-J99)	M	19	14	.	.	113 (73-169)	.	133 (91-193)	102 (82-127)	.	.	n.c.	1 😊
Malattie dell'apparato respiratorio (J00-J99)	M + F	27	25	.	.	78 (55-148)	.	110 (80-150)	95 (77-117)	.	.	n.c.	1 😊
Malattie respiratorie acute (J00-J06, J10-J18, J20-J22)	F	0	3	.	.	0 (0-128)	.	0 (.-.)	68 (40-107)	.	.	n.c.	1 😊
Malattie respiratorie acute (J00-J06, J10-J18, J20-J22)	M	<5	<5	.	.	6 (0-32)	.	33 (7-146)	68 (35-122)	.	.	n.c.	1 😊
Malattie respiratorie acute (J00-J06, J10-J18, J20-J22)	M + F	<5	>5	.	.	3 (0-69)	.	17 (4-74)	49 (27-80)	↓	↓	n.c.	0 😊
Malattie croniche dell'apparato respiratorio (BCPO) (J41-J44, J47)	F	<5	<5	.	.	18 (5-146)	.	72 (29-179)	83 (52-127)	.	.	n.c.	1 😊
Malattie croniche dell'apparato respiratorio (BCPO) (J41-J44, J47)	M	>5	>5	.	.	68 (39-115)	.	158 (99-253)	107 (82-144)	.	.	n.c.	1 😊
Malattie croniche dell'apparato respiratorio (BCPO) (J41-J44, J47)	M + F	15	12	.	.	42 (26-110)	.	127 (84-194)	104 (77-138)	.	.	n.c.	1 😊
Asma (J45)	F	<5	<5	.	.	11 (2-140)	.	1519 (503-4589)	116 (53-385)	↑	.	n.c.	3 😊
Asma (J45)	M	0	0	.	.	0 (0-24)	.	0 (.-.)	75 (20-175)	.	.	n.c.	1 😊
Asma (J45)	M + F	<5	<5	.	.	6 (1-72)	.	892 (295-2695)	96 (59-223)	↑	.	n.c.	3 😊
Pneumoconiosi (J60-J64)	M	0	0	.	.	0 (0-24)	.	0 (.-.)	17 (2-77)	.	↓	n.c.	0 😊






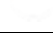
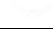
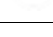
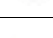

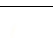

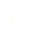



Tabella 9A - Monte Urano													
Causa (ICD-IX)	Genere	Osservati	Attesi	Cluster sign.	SIR cluster	Tasso std. * 100000 (ic)	Tasso std. > Tasso reg.	SIR (ic)	BIR (ic)	SIR sign.	BIR sign.	Trend	Livello attenzione
Pneumoconiosi (J60-J64)	M + F	0	0	.	.	0 (0-67)	.	0 (.-.)	17 (2-77)	.	↓	n.c.	0 
Malattie dell'apparato digerente (K00-K93)	F	8	7	.	.	84 (25-244)	.	119 (67-210)	104 (88-122)	.	.	→	1 
Malattie dell'apparato digerente (K00-K93)	M	13	7	.	.	80 (47-131)	↑	188 (120-296)	105 (89-129)	↑	.	n.c.	3 
Malattie dell'apparato digerente (K00-K93)	M + F	21	14	.	.	82 (44-166)	↑	154 (108-220)	108 (91-132)	↑	.	→	3 
Cirrosi e altre malattie croniche del fegato (K70, K73-K74)	F	0	1	.	.	0 (0-128)	.	0 (.-.)	102 (56-148)	.	.	n.c.	1 
Cirrosi e altre malattie croniche del fegato (K70, K73-K74)	M	<5	<5	.	.	21 (7-53)	.	190 (85-423)	98 (79-123)	.	.	n.c.	1 
Cirrosi e altre malattie croniche del fegato (K70, K73-K74)	M + F	<5	<5	.	.	10 (3-76)	.	126 (57-281)	100 (74-132)	.	.	n.c.	1 
Nefropatie croniche e acute (N00-N12)	F	0	0	2	490	0 (0-128)	.	0 (.-.)	86 (40-173)	.	.	n.c.	1 
Nefropatie croniche e acute (N00-N12)	M	0	0	.	.	0 (0-24)	.	0 (.-.)	54 (16-147)	.	.	n.c.	1 
Nefropatie croniche e acute (N00-N12)	M + F	0	0	.	.	0 (0-67)	.	0 (.-.)	83 (22-243)	.	.	n.c.	1 
Malattie dell'apparato genito-urinario (N00-N99)	F	<5	<5	.	.	17 (5-145)	.	83 (33-207)	99 (66-139)	.	.	n.c.	1 
Malattie dell'apparato genito-urinario (N00-N99)	M	<5	<5	.	.	16 (3-49)	.	58 (19-175)	96 (62-140)	.	.	n.c.	1 
Malattie dell'apparato genito-urinario (N00-N99)	M + F	5	7	.	.	16 (6-83)	.	71 (34-145)	97 (70-129)	.	.	n.c.	1 
Insufficienza renale acuta e cronica (N17-N19)	F	<5	<5	.	.	17 (5-145)	.	99 (40-249)	102 (72-141)	.	.	n.c.	1 
Insufficienza renale acuta e cronica (N17-N19)	M	<5	<5	.	.	8 (0-37)	.	36 (8-162)	95 (62-134)	.	.	n.c.	1 
Insufficienza renale acuta e cronica (N17-N19)	M + F	<5	>5	.	.	13 (4-79)	.	69 (31-154)	98 (70-134)	.	.	n.c.	1 


Tabella 9A - Monte Urano													
Causa (ICD-IX)	Genere	Osservati	Attesi	Cluster sign.	SIR cluster	Tasso std. * 100000 (ic)	Tasso std. > Tasso reg.	SIR (ic)	BIR (ic)	SIR sign.	BIR sign.	Trend	Livello attenzione
Malformazioni congenite (Q00-Q99)	F	<5	<5	.	.	11 (2-140)	.	375 (124-1134)	185 (64-479)	↑	.	n.c.	3 
Malformazioni congenite (Q00-Q99)	M	0	1	.	.	0 (0-24)	.	0 (.-.)	63 (16-194)	.	.	n.c.	1
Malformazioni congenite (Q00-Q99)	M + F	<5	<5	.	.	6 (1-72)	.	201 (67-608)	130 (49-307)	.	.	n.c.	1
Sintomi, segni e stati morbosi mal definiti (R00-R99)	F	<5	<5	.	.	43 (2-203)	.	56 (13-253)	49 (16-132)	.	.	n.c.	1
Sintomi, segni e stati morbosi mal definiti (R00-R99)	M	0	1	.	.	0 (0-24)	.	0 (.-.)	49 (16-130)	.	.	n.c.	1
Sintomi, segni e stati morbosi mal definiti (R00-R99)	M + F	<5	<5	.	.	22 (1-105)	.	35 (8-159)	42 (15-102)	.	.	n.c.	1
Traumatismi e avvelenamenti (S00-T98)	F	9	7	2	131	48 (25-177)	.	139 (81-239)	113 (84-152)	.	.	n.c.	1
Traumatismi e avvelenamenti (S00-T98)	M	7	10	.	.	34 (16-70)	.	70 (38-128)	96 (80-111)	.	.	n.c.	1
Traumatismi e avvelenamenti (S00-T98)	M + F	16	17	.	.	42 (26-109)	.	97 (64-145)	101 (84-120)	.	.	n.c.	1

Tabella 10A. Decessi per causa nel comune di Montecassiano, tutte le età, periodo di osservazione 2009-2013






Tabella 10A - Montecassiano	Genere	Osservati	Attesi	Cluster sign.	SIR cluster	Tasso std. * 100000 (ic)	Tasso std. > Tasso reg.	SIR (ic)	BIR (ic)	SIR sign.	BIR sign.	Trend	Livello attenzione
Causa (ICD-IX)													
Mortalità generale (escluse cause violente) (A00-R99)	F	180	164	.	.	1113 (978-1269)	.	110 (97-124)	103 (96-111)	.	.	↑	2 
Mortalità generale (escluse cause violente) (A00-R99)	M	146	170	.	.	846 (731-982)	.	86 (75-99)	93 (85-101)	↓	.	→	0 
Mortalità generale (escluse cause violente) (A00-R99)	M + F	326	334	.	.	982 (893-1083)	.	98 (89-107)	98 (92-105)	.	.	→	1
Mortalità per cause esterne o violente (S00-Y99)	F	5	6	.	.	30 (12-76)	.	85 (41-175)	98 (70-133)	.	.	n.c.	1
Mortalità per cause esterne o violente (S00-Y99)	M	9	10	.	.	53 (28-105)	.	95 (55-163)	101 (85-118)	.	.	n.c.	1
Mortalità per cause esterne o violente (S00-Y99)	M + F	14	15	.	.	41 (25-70)	.	91 (59-141)	99 (82-119)	.	.	n.c.	1
Malattie infettive (A00-B99)	F	<5	<5	.	.	5 (0-44)	.	37 (8-167)	82 (53-117)	.	.	n.c.	1
Malattie infettive (A00-B99)	M	>5	<5	.	.	34 (15-81)	.	189 (98-366)	101 (81-134)	.	.	n.c.	1
Malattie infettive (A00-B99)	M + F	7	6	2	136	19 (9-43)	.	120 (65-220)	97 (73-129)	.	.	n.c.	1
Epatite virale (B17-B19)	F	0	0	.	.	0 (0-37)	.	0 (.-.)	74 (42-119)	.	.	n.c.	1
Epatite virale (B17-B19)	M	<5	<5	.	.	11 (2-52)	.	354 (117-1071)	93 (55-170)	↑	.	n.c.	3 
Epatite virale (B17-B19)	M + F	<5	<5	.	.	5 (1-26)	.	222 (73-670)	85 (61-120)	.	.	n.c.	1
Tutti i tumori (C00-D48)	F	48	42	.	.	275 (213-359)	.	114 (90-144)	98 (90-106)	.	.	→	1
Tutti i tumori (C00-D48)	M	26	58	.	.	141 (99-207)	.	45 (32-62)	85 (73-94)	↓	↓	↓	0 
Tutti i tumori (C00-D48)	M + F	74	100	.	.	210 (171-259)	.	74 (61-89)	90 (81-97)	↓	↓	→	0 
Tumori maligni delle vie aeree e digestive superiori (C00-C15, C32)	F	0	0	.	.	0 (0-37)	.	0 (.-.)	74 (50-107)	.	.	n.c.	1





Tabella 10A - Montecassiano													
Causa (ICD-IX)	Genere	Osservati	Attesi	Cluster sign.	SIR cluster	Tasso std. * 100000 (ic)	Tasso std. > Tasso reg.	SIR (ic)	BIR (ic)	SIR sign.	BIR sign.	Trend	Livello attenzione
Tumori maligni delle vie aeree e digestive superiori (C00-C15, C32)	M	<5	<5	.	.	11 (2-51)	.	91 (30-274)	87 (58-125)	.	.	n.c.	1
Tumori maligni delle vie aeree e digestive superiori (C00-C15, C32)	M + F	<5	<5	.	.	5 (1-26)	.	76 (25-230)	83 (59-115)	.	.	n.c.	1
Tumori maligni (C00-C97)	F	45	40	.	.	257 (197-340)	.	112 (88-143)	97 (90-106)	.	.	→	1
Tumori maligni (C00-C97)	M	26	56	.	.	141 (99-207)	.	47 (34-64)	88 (78-97)	↓	↓	↓	0 
Tumori maligni (C00-C97)	M + F	71	96	.	.	201 (163-249)	.	74 (61-90)	90 (82-98)	↓	↓	→	0 
Tumori maligni dell'esofago (C15)	F	0	0	.	.	0 (0-37)	.	0 (-.)	70 (23-150)	.	.	n.c.	1
Tumori maligni dell'esofago (C15)	M	0	1	.	.	0 (0-38)	.	0 (-.)	87 (45-143)	.	.	n.c.	1
Tumori maligni dell'esofago (C15)	M + F	0	1	.	.	0 (0-19)	.	0 (-.)	85 (37-151)	.	.	n.c.	1
Tumori maligni dello stomaco (C16)	F	<5	<5	.	.	10 (2-50)	.	59 (20-179)	96 (75-120)	.	.	n.c.	1
Tumori maligni dello stomaco (C16)	M	0	5	.	.	0 (0-38)	.	0 (-.)	89 (61-122)	.	.	n.c.	1
Tumori maligni dello stomaco (C16)	M + F	<5	>5	.	.	5 (1-26)	.	25 (8-74)	88 (65-113)	↓	.	n.c.	0 
Tumori maligni dell'intestino tenue, compreso il duodeno (C17)	F	0	0	.	.	0 (0-37)	.	0 (-.)	114 (27-293)	.	.	n.c.	1
Tumori maligni dell'intestino tenue, compreso il duodeno (C17)	M	0	0	.	.	0 (0-38)	.	0 (-.)	52 (15-133)	.	.	n.c.	1
Tumori maligni dell'intestino tenue, compreso il duodeno (C17)	M + F	0	0	.	.	0 (0-19)	.	0 (-.)	0 (0-0)	.	↓	n.c.	0 
Tumori maligni del colon (C18)	F	<5	<5	.	.	24 (8-69)	.	97 (44-216)	100 (80-126)	.	.	n.c.	1
Tumori maligni del colon (C18)	M	<5	>5	.	.	12 (2-53)	.	38 (12-114)	95 (70-121)	.	.	n.c.	1

Tabella 10A - Montecassiano	Genere	Osservati	Attesi	Cluster sign.	SIR cluster	Tasso std. * 100000 (ic)	Tasso std. > Tasso reg.	SIR (ic)	BIR (ic)	SIR sign.	BIR sign.	Trend	Livello attenzione
Causa (ICD-IX)													
Tumori maligni del colon (C18)	M + F	6	9	.	.	18 (8-42)	.	64 (33-123)	95 (74-120)	.	.	n.c.	1
Tumori maligni del retto, della giunzione retto-sigmoidea e dell'ano (C19-C21)	F	0	1	.	.	0 (0-37)	.	0 (-.)	79 (41-130)	.	.	n.c.	1
Tumori maligni del retto, della giunzione retto-sigmoidea e dell'ano (C19-C21)	M	0	2	.	.	0 (0-38)	.	0 (-.)	77 (42-125)	.	.	n.c.	1
Tumori maligni del retto, della giunzione retto-sigmoidea e dell'ano (C19-C21)	M + F	0	3	.	.	0 (0-19)	.	0 (-.)	83 (51-119)	.	.	n.c.	1
Tumore fegato e dotti biliari (C22)	F	<5	<5	.	.	5 (0-44)	.	79 (18-356)	103 (75-140)	.	.	n.c.	1
Tumore fegato e dotti biliari (C22)	M	<5	<5	.	.	11 (2-53)	.	93 (31-282)	84 (55-126)	.	.	n.c.	1
Tumore fegato e dotti biliari (C22)	M + F	<5	<5	.	.	8 (2-30)	.	88 (35-220)	91 (61-132)	.	.	n.c.	1
Tumori maligni del pancreas (C25)	F	>5	<5	.	.	45 (22-94)	↑	251 (142-446)	104 (87-130)	↑	.	n.c.	3 😊
Tumori maligni del pancreas (C25)	M	<5	<5	.	.	16 (4-58)	.	90 (36-225)	97 (78-119)	.	.	n.c.	1
Tumori maligni del pancreas (C25)	M + F	11	7	.	.	31 (17-57)	.	169 (103-276)	102 (86-126)	↑	.	n.c.	3 😊
Tumore del retroperitoneo (C48)	F	0	0	.	.	0 (0-37)	.	0 (-.)	102 (54-175)	.	.	n.c.	1
Tumore del retroperitoneo (C48)	M	0	0	.	.	0 (0-38)	.	0 (-.)	54 (17-131)	.	.	n.c.	1
Tumore del retroperitoneo (C48)	M + F	0	0	.	.	0 (0-19)	.	0 (-.)	86 (50-129)	.	.	n.c.	1
Tumori maligni della laringe (C32)	F	0	0	.	.	0 (0-37)	.	0 (-.)	73 (21-184)	.	.	n.c.	1
Tumori maligni della laringe (C32)	M	0	1	.	.	0 (0-38)	.	0 (-.)	81 (47-125)	.	.	n.c.	1
Tumori maligni della laringe (C32)	M + F	0	1	.	.	0 (0-19)	.	0 (-.)	82 (48-123)	.	.	n.c.	1



Tabella 10A - Montecassiano													
Causa (ICD-IX)	Genere	Osservati	Attesi	Cluster sign.	SIR cluster	Tasso std. * 100000 (ic)	Tasso std. > Tasso reg.	SIR (ic)	BIR (ic)	SIR sign.	BIR sign.	Trend	Livello attenzione
Tumori maligni della trachea, dei bronchi e dei polmoni (C33-C34)	F	>5	<5	.	.	30 (12-76)	.	131 (64-269)	94 (65-134)	.	.	n.c.	1
Tumori maligni della trachea, dei bronchi e dei polmoni (C33-C34)	M	<5	>5	.	.	16 (4-58)	.	23 (9-58)	85 (65-99)	↓	↓	n.c.	0 
Tumori maligni della trachea, dei bronchi e dei polmoni (C33-C34)	M + F	8	17	.	.	23 (11-48)	.	48 (27-85)	84 (67-100)	↓	↓	→	0 
Mesotelioma (pleura, peritoneo, endocardio, ecc.) (C45)	F	<5	<5	.	.	6 (0-45)	.	601 (134-2694)	85 (39-182)	↑	.	n.c.	1
Mesotelioma (pleura, peritoneo, endocardio, ecc.) (C45)	M	0	0	.	.	0 (0-38)	.	0 (.-)	48 (14-134)	.	.	n.c.	1
Mesotelioma (pleura, peritoneo, endocardio, ecc.) (C45)	M + F	<5	<5	.	.	3 (0-23)	.	197 (44-884)	73 (34-148)	.	.	n.c.	1
Tumori maligni delle ossa e della cartilagine articolare (C40-C41)	F	0	0	.	.	0 (0-37)	.	0 (.-)	59 (14-166)	.	.	n.c.	1
Tumori maligni delle ossa e della cartilagine articolare (C40-C41)	M	0	0	.	.	0 (0-38)	.	0 (.-)	86 (23-238)	.	.	n.c.	1
Tumori maligni delle ossa e della cartilagine articolare (C40-C41)	M + F	0	0	.	.	0 (0-19)	.	0 (.-)	79 (23-191)	.	.	n.c.	1
Tumori maligni del connettivo e di altri tessuti molli (C49)	F	0	0	.	.	0 (0-37)	.	0 (.-)	84 (47-133)	.	.	n.c.	1
Tumori maligni del connettivo e di altri tessuti molli (C49)	M	0	0	.	.	0 (0-38)	.	0 (.-)	107 (67-169)	.	.	n.c.	1
Tumori maligni del connettivo e di altri tessuti molli (C49)	M + F	0	1	.	.	0 (0-19)	.	0 (.-)	98 (67-144)	.	.	n.c.	1
Melanoma maligno della pelle (C43)	F	<5	<5	.	.	6 (0-45)	.	214 (48-958)	104 (69-153)	.	.	n.c.	1
Melanoma maligno della pelle (C43)	M	<5	<5	.	.	5 (0-45)	.	151 (34-675)	104 (68-155)	.	.	n.c.	1
Melanoma maligno della pelle (C43)	M + F	<5	<5	.	.	5 (1-26)	.	177 (58-534)	106 (78-144)	.	.	n.c.	1
Tumori maligni della mammella (C50)	F	7	6	.	.	41 (19-90)	.	116 (63-214)	95 (78-117)	.	.	n.c.	1


Tabella 10A - Montecassiano													
Causa (ICD-IX)	Genere	Osservati	Attesi	Cluster sign.	SIR cluster	Tasso std. * 100000 (ic)	Tasso std. > Tasso reg.	SIR (ic)	BIR (ic)	SIR sign.	BIR sign.	Trend	Livello attenzione
Tumori maligni della mammella (C50)	M + F	7	6	.	.	21 (10-46)	.	115 (63-213)	95 (76-119)	,	,	n.c.	1
Tumori maligni dell'utero (C53-C55)	F	<5	<5	.	.	5 (0-44)	.	57 (13-254)	102 (75-137)	,	,	n.c.	1
Tumori maligni del corpo dell'utero (C54)	F	0	1	.	.	0 (0-37)	.	0 (-.)	103 (48-182)	,	,	n.c.	1
Tumori maligni dell'ovaio e degli altri annessi uterini (C56-C57)	F	<5	<5	.	.	5 (0-44)	.	57 (13-255)	94 (65-126)	,	,	n.c.	1
Tumore della prostata (C61)	M	<5	>5	.	.	5 (0-45)	.	21 (5-96)	96 (77-115)	↓	,	n.c.	0 
Tumore del testicolo (C62)	M	0	0	.	.	0 (0-38)	.	0 (-.)	69 (11-249)	,	,	n.c.	1
Tumori maligni della vescica (C67)	F	0	1	.	.	0 (0-37)	.	0 (-.)	80 (49-116)	,	,	n.c.	1
Tumori maligni della vescica (C67)	M	<5	<5	.	.	22 (7-66)	.	147 (66-328)	97 (76-120)	,	,	n.c.	1
Tumori maligni della vescica (C67)	M + F	<5	<5	.	.	11 (4-33)	.	123 (55-275)	97 (81-113)	,	,	n.c.	1
Tumori maligni del rene e di altri e non specificati organi urinari (C64-C66, C68)	F	<5	<5	.	.	5 (0-44)	.	106 (24-474)	90 (51-149)	,	,	n.c.	1
Tumori maligni del rene e di altri e non specificati organi urinari (C64-C66, C68)	M	<5	<5	.	.	5 (0-45)	.	46 (10-206)	107 (72-146)	,	,	n.c.	1
Tumori maligni del rene e di altri e non specificati organi urinari (C64-C66, C68)	M + F	<5	<5	.	.	5 (1-26)	.	64 (21-193)	102 (72-136)	,	,	n.c.	1
tumore del sistema nervoso centrale (C70-C72,D33)	F	0	1	.	.	0 (0-37)	.	0 (-.)	99 (69-134)	,	,	n.c.	1
tumore del sistema nervoso centrale (C70-C72,D33)	M	<5	<5	.	.	5 (0-45)	.	78 (18-352)	86 (53-131)	,	,	n.c.	1
tumore del sistema nervoso centrale (C70-C72,D33)	M + F	<5	<5	.	.	3 (0-23)	.	44 (10-198)	93 (73-113)	,	,	n.c.	1
Tumori maligni dell'encefalo (C71)	F	0	1	.	.	0 (0-37)	.	0 (-.)	104 (78-132)	,	,	n.c.	1

Tabella 10A - Montecassiano	Genere	Osservati	Attesi	Cluster sign.	SIR cluster	Tasso std. * 100000 (ic)	Tasso std. > Tasso reg.	SIR (ic)	BIR (ic)	SIR sign.	BIR sign.	Trend	Livello attenzione
Causa (ICD-IX)													
Tumori maligni dell'encefalo (C71)	M	<5	<5	.	.	5 (0-45)	.	80 (18-360)	85 (53-120)	.	.	n.c.	1
Tumori maligni dell'encefalo (C71)	M + F	<5	<5	.	.	3 (0-23)	.	45 (10-202)	95 (77-114)	.	.	n.c.	1
Tumori maligni della ghiandola tiroide (C73)	F	<5	<5	.	.	5 (0-44)	.	1071 (239-4799)	55 (26-121)	↑	.	n.c.	1
Tumori maligni della ghiandola tiroide (C73)	M	0	0	.	.	0 (0-38)	.	0 (.-)	85 (45-143)	.	.	n.c.	1
Tumori maligni della ghiandola tiroide (C73)	M + F	<5	<5	.	.	3 (0-23)	.	446 (99-1999)	72 (41-118)	.	.	n.c.	1
Tumori emolinfopoiectici (C81-C96)	F	<5	<5	.	.	13 (2-54)	.	51 (17-153)	96 (81-112)	.	.	n.c.	1
Tumori emolinfopoiectici (C81-C96)	M	<5	>5	.	.	22 (7-66)	.	84 (38-187)	94 (82-108)	.	.	n.c.	1
Tumori emolinfopoiectici (C81-C96)	M + F	6	9	.	.	17 (7-41)	.	69 (36-133)	95 (84-106)	.	.	n.c.	1
Malattia di Hodgkin (C81)	F	0	0	.	.	0 (0-37)	.	0 (.-)	80 (20-228)	.	.	n.c.	1
Malattia di Hodgkin (C81)	M	0	0	.	.	0 (0-38)	.	0 (.-)	79 (31-158)	.	.	n.c.	1
Malattia di Hodgkin (C81)	M + F	0	0	.	.	0 (0-19)	.	0 (.-)	81 (35-168)	.	.	n.c.	1
Linfoma non Hodgkin (C82-C85)	F	0	1	.	.	0 (0-37)	.	0 (.-)	104 (78-136)	.	.	n.c.	1
Linfoma non Hodgkin (C82-C85)	M	0	1	.	.	0 (0-38)	.	0 (.-)	85 (66-106)	.	.	n.c.	1
Linfoma non Hodgkin (C82-C85)	M + F	0	3	.	.	0 (0-19)	.	0 (.-)	93 (71-113)	.	.	n.c.	1
Mieloma multiplo e tumori immunoproliferativi (C88, C90)	F	0	1	.	.	0 (0-37)	.	0 (.-)	89 (54-119)	.	.	n.c.	1
Mieloma multiplo e tumori immunoproliferativi (C88, C90)	M	0	1	.	.	0 (0-38)	.	0 (.-)	95 (62-136)	.	.	n.c.	1

Tabella 10A - Montecassiano													
Causa (ICD-IX)	Genere	Osservati	Attesi	Cluster sign.	SIR cluster	Tasso std. * 100000 (ic)	Tasso std. > Tasso reg.	SIR (ic)	BIR (ic)	SIR sign.	BIR sign.	Trend	Livello attenzione
Mieloma multiplo e tumori immunoproliferativi (C88, C90)	M + F	0	2	.	.	0 (0-19)	.	0 (-.)	85 (55-121)	.	.	n.c.	1
Leucemie (C91-C95)	F	<5	<5	.	.	13 (2-54)	.	139 (46-420)	93 (67-129)	.	.	n.c.	1
Leucemie (C91-C95)	M	<5	<5	.	.	22 (7-66)	.	203 (91-453)	102 (70-151)	.	.	n.c.	1
Leucemie (C91-C95)	M + F	6	3	.	.	17 (7-41)	.	176 (91-341)	97 (80-122)	.	.	n.c.	1
Leucemia linfoide (acuta e cronica) (C91)	F	<5	<5	.	.	6 (0-46)	.	311 (69-1396)	68 (46-103)	.	.	n.c.	1
Leucemia linfoide (acuta e cronica) (C91)	M	0	1	.	.	0 (0-38)	.	0 (-.)	81 (51-114)	.	.	n.c.	1
Leucemia linfoide (acuta e cronica) (C91)	M + F	<5	<5	.	.	3 (0-24)	.	106 (24-475)	78 (60-100)	.	↓	n.c.	0 😊
Leucemia mieloide (acuta e cronica) (C92)	F	<5	<5	.	.	6 (0-46)	.	142 (32-635)	99 (68-144)	.	.	n.c.	1
Leucemia mieloide (acuta e cronica) (C92)	M	<5	<5	.	.	22 (7-66)	↑	398 (179-886)	119 (80-211)	↑	.	n.c.	3 😞
Leucemia mieloide (acuta e cronica) (C92)	M + F	5	2	.	.	14 (5-37)	↑	292 (142-600)	113 (81-168)	↑	.	n.c.	3 😞
Malattie del sangue e degli organi emopoietici (D50-D77)	F	0	1	.	.	0 (0-37)	.	0 (-.)	80 (44-119)	.	.	n.c.	1
Malattie del sangue e degli organi emopoietici (D50-D77)	M	0	1	.	.	0 (0-38)	.	0 (-.)	101 (71-140)	.	.	n.c.	1
Malattie del sangue e degli organi emopoietici (D50-D77)	M + F	0	2	.	.	0 (0-19)	.	0 (-.)	90 (63-118)	.	.	n.c.	1
Malattie endocrine, della nutrizione ed immunitarie (E00-E90, D80-D89)	F	5	8	.	.	29 (11-75)	.	66 (32-135)	94 (70-123)	.	.	n.c.	1
Malattie endocrine, della nutrizione ed immunitarie (E00-E90, D80-D89)	M	5	6	.	.	35 (12-86)	.	80 (39-165)	91 (65-122)	.	.	n.c.	1
Malattie endocrine, della nutrizione ed immunitarie (E00-E90, D80-D89)	M + F	10	14	.	.	32 (16-60)	.	72 (43-121)	87 (67-112)	.	.	n.c.	1


Tabella 10A - Montecassiano	Genere	Osservati	Attesi	Cluster sign.	SIR cluster	Tasso std. * 100000 (ic)	Tasso std. > Tasso reg.	SIR (ic)	BIR (ic)	SIR sign.	BIR sign.	Trend	Livello attenzione
Causa (ICD-IX)													
Tireotossicosi (E05)	F	0	0	.	.	0 (0-37)	.	0 (.-.)	55 (14-160)	.	.	n.c.	1
Tireotossicosi (E05)	M	0	0	.	.	0 (0-38)	.	0 (.-.)	33 (0-195)	.	.	n.c.	1
Tireotossicosi (E05)	M + F	0	0	.	.	0 (0-19)	.	0 (.-.)	57 (14-151)	.	.	n.c.	1
Ipotiroidismo (E00-E03)	F	0	0	.	.	0 (0-37)	.	0 (.-.)	88 (20-231)	.	.	n.c.	1
Ipotiroidismo (E00-E03)	M	0	0	.	.	0 (0-38)	.	0 (.-.)	101 (20-280)	.	.	n.c.	1
Ipotiroidismo (E00-E03)	M + F	0	0	.	.	0 (0-19)	.	0 (.-.)	102 (33-212)	.	.	n.c.	1
Diabete mellito (E10-E14)	F	>5	>5	.	.	29 (11-75)	.	90 (44-186)	99 (73-134)	.	.	n.c.	1
Diabete mellito (E10-E14)	M	<5	>5	.	.	16 (4-59)	.	65 (26-162)	85 (57-121)	.	.	n.c.	1
Diabete mellito (E10-E14)	M + F	8	10	.	.	23 (11-48)	.	79 (44-140)	87 (63-118)	.	.	n.c.	1
Demenze (F00-F01, F020-F023, F03, G30, G310)	F	>5	>5	.	.	49 (24-100)	.	69 (39-122)	79 (55-113)	.	.	n.c.	1
Demenze (F00-F01, F020-F023, F03, G30, G310)	M	<5	>5	.	.	22 (7-66)	.	60 (27-134)	79 (52-115)	.	.	n.c.	1
Demenze (F00-F01, F020-F023, F03, G30, G310)	M + F	12	18	.	.	36 (20-64)	.	66 (41-105)	74 (54-101)	.	.	n.c.	1
Malattie neuro-psichiatriche (escluse tossicod.) (F00-F09, F20-F99)	F	<5	>5	.	.	20 (5-64)	.	42 (17-104)	62 (34-103)	.	.	n.c.	1
Malattie neuro-psichiatriche (escluse tossicod.) (F00-F09, F20-F99)	M	<5	<5	.	.	5 (0-45)	.	24 (5-106)	59 (31-102)	.	.	n.c.	1
Malattie neuro-psichiatriche (escluse tossicod.) (F00-F09, F20-F99)	M + F	<5	>5	.	.	13 (4-36)	.	35 (16-78)	54 (31-86)	↓	↓	n.c.	0 
Malattie del sistema nervoso e degli organi di senso (G00-H95)	F	5	8	.	.	29 (11-75)	.	60 (29-123)	80 (59-106)	.	.	n.c.	1

Tabella 10A - Montecassiano													
Causa (ICD-IX)	Genere	Osservati	Attesi	Cluster sign.	SIR cluster	Tasso std. * 100000 (ic)	Tasso std. > Tasso reg.	SIR (ic)	BIR (ic)	SIR sign.	BIR sign.	Trend	Livello attenzione
Malattie del sistema nervoso e degli organi di senso (G00-H95)	M	5	7	.	.	27 (11-73)	.	71 (35-147)	95 (72-123)	.	.	n.c.	1
Malattie del sistema nervoso e degli organi di senso (G00-H95)	M + F	10	15	.	.	28 (15-55)	.	65 (39-109)	84 (66-105)	.	.	n.c.	1
Morbo di Parkinson (G20)	F	0	1	.	.	0 (0-37)	.	0 (.-)	103 (64-142)	.	.	n.c.	1
Morbo di Parkinson (G20)	M	<5	<5	.	.	6 (0-45)	.	69 (15-307)	92 (67-125)	.	.	n.c.	1
Morbo di Parkinson (G20)	M + F	<5	<5	.	.	3 (0-23)	.	35 (8-159)	95 (68-126)	.	.	n.c.	1
Malattia di Alzheimer (G30)	F	>5	>5	.	.	29 (11-75)	.	107 (52-220)	92 (59-139)	.	.	n.c.	1
Malattia di Alzheimer (G30)	M	<5	<5	.	.	16 (4-59)	.	111 (44-277)	94 (57-149)	.	.	n.c.	1
Malattia di Alzheimer (G30)	M + F	8	7	.	.	23 (11-48)	.	108 (61-192)	92 (62-132)	.	.	n.c.	1
Epilessia (G40)	F	0	0	.	.	0 (0-37)	.	0 (.-)	64 (32-113)	.	.	n.c.	1
Epilessia (G40)	M	0	0	.	.	0 (0-38)	.	0 (.-)	97 (52-159)	.	.	n.c.	1
Epilessia (G40)	M + F	0	1	.	.	0 (0-19)	.	0 (.-)	80 (43-133)	.	.	n.c.	1
Malattia dei neuroni motori (G122)	F	0	1	.	.	0 (0-37)	.	0 (.-)	65 (19-181)	.	.	n.c.	1
Malattia dei neuroni motori (G122)	M	0	1	.	.	0 (0-38)	.	0 (.-)	94 (48-166)	.	.	n.c.	1
Malattia dei neuroni motori (G122)	M + F	0	1	.	.	0 (0-19)	.	0 (.-)	71 (28-151)	.	.	n.c.	1
Sclerosi multipla (G35)	F	0	0	.	.	0 (0-37)	.	0 (.-)	71 (33-132)	.	.	n.c.	1
Sclerosi multipla (G35)	M	0	0	.	.	0 (0-38)	.	0 (.-)	53 (6-167)	.	.	n.c.	1

Tabella 10A - Montecassiano	Genere	Osservati	Attesi	Cluster sign.	SIR cluster	Tasso std. * 100000 (ic)	Tasso std. > Tasso reg.	SIR (ic)	BIR (ic)	SIR sign.	BIR sign.	Trend	Livello attenzione
Causa (ICD-IX)													
Sclerosi multipla (G35)	M + F	0	0	.	.	0 (0-19)	.	0 (-.)	70 (38-123)	.	.	n.c.	1
Neuropatie tossiche e infiammatorie non specificate (G619, G629)	F	0	0	.	.	0 (0-37)	.	0 (-.)	12 (0-122)	.	.	n.c.	1
Neuropatie tossiche e infiammatorie non specificate (G619, G629)	M	0	0	.	.	0 (0-38)	.	0 (-.)	122 (22-382)	.	.	n.c.	1
Neuropatie tossiche e infiammatorie non specificate (G619, G629)	M + F	0	0	.	.	0 (0-19)	.	0 (-.)	69 (11-212)	.	.	n.c.	1
Malattie dell'apparato circolatorio (I00-I99)	F	93	72	.	.	602 (502-725)	↑	130 (110-154)	111 (100-124)	↑	.	→	3 😊
Malattie dell'apparato circolatorio (I00-I99)	M	68	63	.	.	407 (326-510)	.	107 (88-131)	101 (91-113)	.	.	→	1
Malattie dell'apparato circolatorio (I00-I99)	M + F	161	135	.	.	507 (441-584)	↑	119 (105-136)	109 (100-120)	↑	.	→	3 😊
Malattia ipertensiva (I10-I15)	F	<5	>5	.	.	25 (9-71)	.	54 (24-120)	66 (42-103)	.	.	n.c.	1
Malattia ipertensiva (I10-I15)	M	<5	>5	.	.	12 (2-53)	.	39 (13-118)	72 (42-115)	.	.	n.c.	1
Malattia ipertensiva (I10-I15)	M + F	6	13	.	.	19 (8-43)	.	48 (25-93)	62 (40-92)	↓	↓	n.c.	0 😊
Malattie ischemiche del cuore (I20-I25)	F	27	24	.	.	173 (121-249)	.	111 (81-152)	105 (84-133)	.	.	→	1
Malattie ischemiche del cuore (I20-I25)	M	25	26	.	.	139 (97-206)	.	97 (70-134)	93 (76-113)	.	.	→	1
Malattie ischemiche del cuore (I20-I25)	M + F	52	50	.	.	157 (122-203)	.	104 (83-130)	100 (83-120)	.	.	→	1
Infarto miocardico acuto (I21-I22)	F	6	7	.	.	42 (17-95)	.	85 (44-165)	95 (63-142)	.	.	n.c.	1
Infarto miocardico acuto (I21-I22)	M	9	9	.	.	52 (27-103)	.	102 (60-176)	89 (63-126)	.	.	→	1
Infarto miocardico acuto (I21-I22)	M + F	15	16	.	.	46 (28-78)	.	95 (62-145)	92 (65-126)	.	.	→	1

Tabella 10A - Montecassiano													
Causa (ICD-IX)	Genere	Osservati	Attesi	Cluster sign.	SIR cluster	Tasso std. * 100000 (ic)	Tasso std. > Tasso reg.	SIR (ic)	BIR (ic)	SIR sign.	BIR sign.	Trend	Livello attenzione
Malattie cerebrovascolari (I60-I69)	F	25	19	2	127	165 (114-240)	.	132 (95-183)	111 (89-138)	.	.	→	1
Malattie cerebrovascolari (I60-I69)	M	15	16	2	123	92 (55-154)	.	91 (60-139)	100 (79-124)	.	.	→	1
Malattie cerebrovascolari (I60-I69)	M + F	40	35	.	.	129 (97-174)	.	113 (87-146)	107 (89-129)	.	.	→	1
Malattie dell'apparato respiratorio (J00-J99)	F	11	10	.	.	68 (38-123)	.	111 (68-182)	102 (77-133)	.	.	n.c.	1
Malattie dell'apparato respiratorio (J00-J99)	M	20	14	.	.	113 (75-176)	.	141 (97-203)	110 (88-137)	.	.	→	1
Malattie dell'apparato respiratorio (J00-J99)	M + F	31	24	.	.	90 (65-127)	.	129 (96-173)	112 (90-138)	.	.	→	1
Malattie respiratorie acute (J00-J06, J10-J18, J20-J22)	F	>5	<5	.	.	31 (12-77)	.	170 (83-348)	115 (74-183)	.	.	n.c.	1
Malattie respiratorie acute (J00-J06, J10-J18, J20-J22)	M	<5	<5	2	145	17 (5-60)	.	99 (40-248)	95 (52-167)	.	.	n.c.	1
Malattie respiratorie acute (J00-J06, J10-J18, J20-J22)	M + F	8	6	.	.	24 (12-50)	.	134 (75-238)	118 (75-180)	.	.	n.c.	1
Malattie croniche dell'apparato respiratorio (BCPO) (J41-J44, J47)	F	<5	<5	.	.	19 (5-63)	.	80 (32-199)	85 (54-129)	.	.	n.c.	1
Malattie croniche dell'apparato respiratorio (BCPO) (J41-J44, J47)	M	>5	>5	.	.	74 (43-129)	↑	175 (111-275)	109 (84-148)	↑	.	n.c.	3 😊
Malattie croniche dell'apparato respiratorio (BCPO) (J41-J44, J47)	M + F	16	11	.	.	46 (29-75)	.	143 (95-215)	108 (81-144)	.	.	n.c.	1
Asma (J45)	F	0	0	.	.	0 (0-37)	.	0 (.-)	104 (35-229)	.	.	n.c.	1
Asma (J45)	M	0	0	.	.	0 (0-38)	.	0 (.-)	105 (27-253)	.	.	n.c.	1
Asma (J45)	M + F	0	0	.	.	0 (0-19)	.	0 (.-)	115 (56-192)	.	.	n.c.	1
Pneumoconiosi (J60-J64)	M	0	0	.	.	0 (0-38)	.	0 (.-)	29 (4-132)	.	.	n.c.	1

Tabella 10A - Montecassiano	Genere	Osservati	Attesi	Cluster sign.	SIR cluster	Tasso std. * 100000 (ic)	Tasso std. > Tasso reg.	SIR (ic)	BIR (ic)	SIR sign.	BIR sign.	Trend	Livello attenzione
Causa (ICD-IX)													
Pneumoconiosi (J60-J64)	M + F	0	0	.	.	0 (0-19)	.	0 (-.)	29 (4-132)	.	.	n.c.	1
Malattie dell'apparato digerente (K00-K93)	F	>5	>5	2	132	55 (28-107)	.	149 (87-257)	100 (84-120)	.	.	n.c.	1
Malattie dell'apparato digerente (K00-K93)	M	<5	>5	.	.	16 (4-59)	.	48 (19-120)	97 (80-116)	.	.	n.c.	1
Malattie dell'apparato digerente (K00-K93)	M + F	12	12	2	123	36 (21-64)	.	98 (61-157)	101 (84-121)	.	.	→	1
Cirrosi e altre malattie croniche del fegato (K70, K73-K74)	F	<5	<5	.	.	6 (0-45)	.	145 (32-650)	78 (46-125)	.	.	n.c.	1
Cirrosi e altre malattie croniche del fegato (K70, K73-K74)	M	<5	<5	.	.	6 (0-45)	.	55 (12-245)	95 (75-119)	.	.	n.c.	1
Cirrosi e altre malattie croniche del fegato (K70, K73-K74)	M + F	<5	<5	.	.	6 (1-26)	.	79 (26-240)	88 (65-116)	.	.	n.c.	1
Nefropatie croniche e acute (N00-N12)	F	0	0	.	.	0 (0-37)	.	0 (-.)	102 (41-215)	.	.	n.c.	1
Nefropatie croniche e acute (N00-N12)	M	0	0	.	.	0 (0-38)	.	0 (-.)	135 (46-319)	.	.	n.c.	1
Nefropatie croniche e acute (N00-N12)	M + F	0	0	.	.	0 (0-19)	.	0 (-.)	114 (26-314)	.	.	n.c.	1
Malattie dell'apparato genito-urinario (N00-N99)	F	<5	<5	2	148	19 (5-63)	.	89 (36-223)	124 (87-176)	.	.	n.c.	1
Malattie dell'apparato genito-urinario (N00-N99)	M	>5	<5	.	.	29 (11-76)	.	147 (71-301)	119 (80-178)	.	.	n.c.	1
Malattie dell'apparato genito-urinario (N00-N99)	M + F	8	7	2	140	24 (12-50)	.	118 (67-210)	122 (90-164)	.	.	n.c.	1
Insufficienza renale acuta e cronica (N17-N19)	F	<5	<5	2	142	19 (5-63)	.	109 (44-274)	114 (80-160)	.	.	n.c.	1
Insufficienza renale acuta e cronica (N17-N19)	M	<5	<5	.	.	19 (5-63)	.	117 (47-293)	107 (74-156)	.	.	n.c.	1
Insufficienza renale acuta e cronica (N17-N19)	M + F	6	5	2	134	19 (8-44)	.	113 (59-219)	116 (84-158)	.	.	n.c.	1


Tabella 10A - Montecassiano	Genere	Osservati	Attesi	Cluster sign.	SIR cluster	Tasso std. * 100000 (ic)	Tasso std. > Tasso reg.	SIR (ic)	BIR (ic)	SIR sign.	BIR sign.	Trend	Livello attenzione
Causa (ICD-IX)													
Malformazioni congenite (Q00-Q99)	F	0	0	.	.	0 (0-37)	.	0 (.-.)	53 (14-175)	.	.	n.c.	1
Malformazioni congenite (Q00-Q99)	M	<5	<5	.	.	12 (2-53)	.	500 (166-1512)	166 (54-484)	↑	.	n.c.	3 
Malformazioni congenite (Q00-Q99)	M + F	<5	<5	.	.	6 (1-27)	.	293 (97-884)	126 (46-322)	.	.	n.c.	1
Sintomi, segni e stati morbosi mal definiti (R00-R99)	F	0	2	.	.	0 (0-37)	.	0 (.-.)	48 (14-129)	.	.	n.c.	1
Sintomi, segni e stati morbosi mal definiti (R00-R99)	M	<5	<5	.	.	10 (2-51)	.	167 (55-505)	137 (53-315)	.	.	n.c.	1
Sintomi, segni e stati morbosi mal definiti (R00-R99)	M + F	<5	<5	.	.	5 (1-26)	.	59 (19-178)	78 (32-166)	.	.	n.c.	1
Traumatismi e avvelenamenti (S00-T98)	F	5	6	.	.	30 (12-76)	.	85 (41-175)	98 (70-133)	.	.	n.c.	1
Traumatismi e avvelenamenti (S00-T98)	M	9	10	.	.	53 (28-105)	.	95 (55-163)	101 (85-118)	.	.	n.c.	1
Traumatismi e avvelenamenti (S00-T98)	M + F	14	15	.	.	41 (25-70)	.	91 (59-141)	99 (82-119)	.	.	n.c.	1

Tabella 11A. Decessi per causa nel comune di Montecosaro, tutte le età, periodo di osservazione 2009-2013

Tabella 11A - Montecosaro	Genere	Osservati	Attesi	Cluster sign.	SIR cluster	Tasso std. * 100000 (ic)	Tasso std. > Tasso reg.	SIR (ic)	BIR (ic)	SIR sign.	BIR sign.	Trend	Livello attenzione
Causa (ICD-IX)													
Mortalità generale (escluse cause violente) (A00-R99)	F	145	128	.	.	1182 (1024-1361)	↑	113 (99-130)	103 (96-111)	.	.	→	1
Mortalità generale (escluse cause violente) (A00-R99)	M	144	139	.	.	1065 (923-1226)	.	103 (90-119)	102 (93-111)	.	.	→	1
Mortalità generale (escluse cause violente) (A00-R99)	M + F	289	267	1	109	1126 (1018-1244)	↑	108 (98-119)	104 (97-111)	.	.	→	2 😊
Mortalità per cause esterne o violente (S00-Y99)	F	11	5	2	131	83 (46-144)	↑	227 (139-371)	124 (93-172)	↑	.	n.c.	3 😞
Mortalità per cause esterne o violente (S00-Y99)	M	8	8	.	.	55 (27-104)	.	102 (58-181)	97 (83-113)	.	.	n.c.	1
Mortalità per cause esterne o violente (S00-Y99)	M + F	19	13	.	.	70 (45-106)	↑	150 (103-218)	107 (91-130)	↑	.	→	3 😞
Malattie infettive (A00-B99)	F	<5	<5	2	153	32 (11-78)	.	159 (72-355)	111 (77-162)	.	.	n.c.	1
Malattie infettive (A00-B99)	M	<5	<5	.	.	30 (10-73)	.	145 (65-323)	106 (87-135)	.	.	n.c.	1
Malattie infettive (A00-B99)	M + F	8	5	.	.	31 (15-59)	.	152 (86-270)	114 (87-152)	.	.	n.c.	1
Epatite virale (B17-B19)	F	0	0	.	.	0 (0-32)	.	0 (-.)	115 (71-169)	.	.	n.c.	1
Epatite virale (B17-B19)	M	<5	<5	.	.	6 (0-37)	.	180 (40-808)	104 (61-178)	.	.	n.c.	1
Epatite virale (B17-B19)	M + F	<5	<5	.	.	3 (0-21)	.	108 (24-482)	109 (79-146)	.	.	n.c.	1
Tutti i tumori (C00-D48)	F	34	35	.	.	254 (186-342)	.	96 (73-128)	101 (93-109)	.	.	→	1
Tutti i tumori (C00-D48)	M	52	49	.	.	372 (291-471)	.	106 (84-133)	102 (92-113)	.	.	→	1
Tutti i tumori (C00-D48)	M + F	86	85	.	.	310 (257-374)	.	102 (85-121)	101 (93-109)	.	.	→	1
Tumori maligni delle vie aeree e digestive superiori (C00-C15, C32)	F	<5	<5	.	.	7 (0-44)	.	190 (42-852)	113 (82-150)	.	.	n.c.	1

Tabella 11A - Montecosaro	Genere	Osservati	Attesi	Cluster sign.	SIR cluster	Tasso std. * 100000 (ic)	Tasso std. > Tasso reg.	SIR (ic)	BIR (ic)	SIR sign.	BIR sign.	Trend	Livello attenzione
Causa (ICD-IX)													
Tumori maligni delle vie aeree e digestive superiori (C00-C15, C32)	M	<5	<5	.	.	7 (0-39)	.	58 (13-260)	80 (55-111)	.	.	n.c.	1
Tumori maligni delle vie aeree e digestive superiori (C00-C15, C32)	M + F	<5	<5	.	.	7 (1-27)	.	89 (29-269)	87 (63-117)	.	.	n.c.	1
Tumori maligni (C00-C97)	F	32	34	.	.	239 (174-325)	.	95 (71-127)	101 (92-109)	.	.	→	1
Tumori maligni (C00-C97)	M	46	47	.	.	328 (252-422)	.	98 (77-125)	101 (92-110)	.	.	→	1
Tumori maligni (C00-C97)	M + F	78	81	.	.	282 (231-343)	.	97 (80-117)	100 (92-108)	.	.	→	1
Tumori maligni dell'esofago (C15)	F	0	0	.	.	0 (0-32)	.	0 (.-.)	109 (37-200)	.	.	n.c.	1
Tumori maligni dell'esofago (C15)	M	0	1	.	.	0 (0-28)	.	0 (.-.)	82 (41-128)	.	.	n.c.	1
Tumori maligni dell'esofago (C15)	M + F	0	1	.	.	0 (0-17)	.	0 (.-.)	85 (36-146)	.	.	n.c.	1
Tumori maligni dello stomaco (C16)	F	<5	<5	.	.	29 (10-74)	.	154 (69-344)	101 (82-129)	.	.	n.c.	1
Tumori maligni dello stomaco (C16)	M	>5	<5	2	167	51 (24-100)	.	192 (104-355)	117 (87-160)	↑	.	n.c.	3 😞
Tumori maligni dello stomaco (C16)	M + F	11	6	2	124	40 (22-69)	.	177 (108-289)	112 (90-143)	↑	.	n.c.	3 😞
Tumori maligni dell'intestino tenue, compreso il duodeno (C17)	F	0	0	.	.	0 (0-32)	.	0 (.-.)	62 (16-163)	.	.	n.c.	1
Tumori maligni dell'intestino tenue, compreso il duodeno (C17)	M	0	0	.	.	0 (0-28)	.	0 (.-.)	109 (41-223)	.	.	n.c.	1
Tumori maligni dell'intestino tenue, compreso il duodeno (C17)	M + F	0	0	.	.	0 (0-17)	.	0 (.-.)	0 (0-0)	.	↓	n.c.	0 😊
Tumori maligni del colon (C18)	F	<5	<5	.	.	8 (0-45)	.	30 (7-136)	98 (79-119)	.	.	n.c.	1
Tumori maligni del colon (C18)	M	<5	<5	.	.	22 (6-60)	.	69 (27-171)	103 (80-130)	.	.	n.c.	1

Tabella 11A - Montecosaro	Genere	Osservati	Attesi	Cluster sign.	SIR cluster	Tasso std. * 100000 (ic)	Tasso std. > Tasso reg.	SIR (ic)	BIR (ic)	SIR sign.	BIR sign.	Trend	Livello attenzione
Causa (ICD-IX)													
Tumori maligni del colon (C18)	M + F	<5	>5	.	.	15 (5-38)	.	52 (23-116)	100 (79-124)	.	.	n.c.	1
Tumori maligni del retto, della giunzione retto-sigmoidea e dell'ano (C19-C21)	F	<5	<5	.	.	7 (0-44)	.	105 (23-470)	98 (59-150)	.	.	n.c.	1
Tumori maligni del retto, della giunzione retto-sigmoidea e dell'ano (C19-C21)	M	0	1	.	.	0 (0-28)	.	0 (.-.)	71 (39-110)	.	.	n.c.	1
Tumori maligni del retto, della giunzione retto-sigmoidea e dell'ano (C19-C21)	M + F	<5	<5	.	.	4 (0-23)	.	43 (10-193)	86 (56-123)	.	.	n.c.	1
Tumore fegato e dotti biliari (C22)	F	<5	<5	.	.	7 (0-44)	.	111 (25-496)	97 (73-128)	.	.	n.c.	1
Tumore fegato e dotti biliari (C22)	M	<5	<5	.	.	7 (0-39)	.	47 (11-211)	99 (67-140)	.	.	n.c.	1
Tumore fegato e dotti biliari (C22)	M + F	<5	<5	.	.	7 (1-27)	.	66 (22-200)	97 (67-133)	.	.	n.c.	1
Tumori maligni del pancreas (C25)	F	<5	<5	.	.	16 (3-56)	.	81 (27-245)	98 (81-117)	.	.	n.c.	1
Tumori maligni del pancreas (C25)	M	<5	<5	.	.	7 (0-39)	.	36 (8-163)	98 (77-116)	.	.	n.c.	1
Tumori maligni del pancreas (C25)	M + F	<5	>5	.	.	12 (3-34)	.	58 (23-144)	96 (78-112)	.	.	n.c.	1
Tumore del retroperitoneo (C48)	F	0	0	.	.	0 (0-32)	.	0 (.-.)	96 (55-148)	.	.	n.c.	1
Tumore del retroperitoneo (C48)	M	0	0	.	.	0 (0-28)	.	0 (.-.)	102 (38-201)	.	.	n.c.	1
Tumore del retroperitoneo (C48)	M + F	0	0	.	.	0 (0-17)	.	0 (.-.)	110 (70-149)	.	.	n.c.	1
Tumori maligni della laringe (C32)	F	0	0	.	.	0 (0-32)	.	0 (.-.)	104 (38-208)	.	.	n.c.	1
Tumori maligni della laringe (C32)	M	0	1	.	.	0 (0-28)	.	0 (.-.)	91 (56-132)	.	.	n.c.	1
Tumori maligni della laringe (C32)	M + F	0	1	.	.	0 (0-17)	.	0 (.-.)	90 (56-131)	.	.	n.c.	1

Tabella 11A - Montecosaro													
Causa (ICD-IX)	Genere	Osservati	Attesi	Cluster sign.	SIR cluster	Tasso std. * 100000 (ic)	Tasso std. > Tasso reg.	SIR (ic)	BIR (ic)	SIR sign.	BIR sign.	Trend	Livello attenzione
Tumori maligni della trachea, dei bronchi e dei polmoni (C33-C34)	F	6	3	.	.	45 (19-95)	.	176 (91-341)	108 (78-158)	.	.	n.c.	1
Tumori maligni della trachea, dei bronchi e dei polmoni (C33-C34)	M	10	11	.	.	71 (39-125)	.	89 (53-149)	100 (83-117)	.	.	n.c.	1
Tumori maligni della trachea, dei bronchi e dei polmoni (C33-C34)	M + F	16	15	.	.	58 (36-91)	.	109 (73-164)	101 (85-119)	.	.	→	1
Mesotelioma (pleura, peritoneo, endocardio, ecc.) (C45)	F	0	0	.	.	0 (0-32)	.	0 (.-.)	106 (48-188)	.	.	n.c.	1
Mesotelioma (pleura, peritoneo, endocardio, ecc.) (C45)	M	0	1	.	.	0 (0-28)	.	0 (.-.)	65 (22-153)	.	.	n.c.	1
Mesotelioma (pleura, peritoneo, endocardio, ecc.) (C45)	M + F	0	1	.	.	0 (0-17)	.	0 (.-.)	84 (40-157)	.	.	n.c.	1
Tumori maligni delle ossa e della cartilagine articolare (C40-C41)	F	0	0	.	.	0 (0-32)	.	0 (.-.)	106 (29-249)	.	.	n.c.	1
Tumori maligni delle ossa e della cartilagine articolare (C40-C41)	M	0	0	.	.	0 (0-28)	.	0 (.-.)	70 (22-178)	.	.	n.c.	1
Tumori maligni delle ossa e della cartilagine articolare (C40-C41)	M + F	0	0	.	.	0 (0-17)	.	0 (.-.)	84 (25-195)	.	.	n.c.	1
Tumori maligni del connettivo e di altri tessuti molli (C49)	F	0	0	.	.	0 (0-32)	.	0 (.-.)	104 (62-152)	.	.	n.c.	1
Tumori maligni del connettivo e di altri tessuti molli (C49)	M	<5	<5	.	.	6 (0-37)	.	475 (106-2130)	95 (63-147)	↑	.	n.c.	1
Tumori maligni del connettivo e di altri tessuti molli (C49)	M + F	<5	<5	.	.	3 (0-21)	.	214 (48-959)	102 (74-140)	.	.	n.c.	1
Melanoma maligno della pelle (C43)	F	0	0	.	.	0 (0-32)	.	0 (.-.)	98 (67-136)	.	.	n.c.	1
Melanoma maligno della pelle (C43)	M	0	1	.	.	0 (0-28)	.	0 (.-.)	94 (60-133)	.	.	n.c.	1
Melanoma maligno della pelle (C43)	M + F	0	1	.	.	0 (0-17)	.	0 (.-.)	95 (69-124)	.	.	n.c.	1
Tumori maligni della mammella (C50)	F	8	6	.	.	57 (28-110)	.	142 (80-252)	110 (92-134)	.	.	n.c.	1

Tabella 11A - Montecosaro													
Causa (ICD-IX)	Genere	Osservati	Attesi	Cluster sign.	SIR cluster	Tasso std. * 100000 (ic)	Tasso std. > Tasso reg.	SIR (ic)	BIR (ic)	SIR sign.	BIR sign.	Trend	Livello attenzione
Tumori maligni della mammella (C50)	M + F	8	6	.	.	30 (15-57)	.	140 (79-249)	111 (92-136)	.	.	n.c.	1
Tumori maligni dell'utero (C53-C55)	F	<5	<5	.	.	8 (0-45)	.	76 (17-341)	94 (70-123)	.	.	n.c.	1
Tumori maligni del corpo dell'utero (C54)	F	0	0	.	.	0 (0-32)	.	0 (.-.)	84 (38-144)	.	.	n.c.	1
Tumori maligni dell'ovaio e degli altri annessi uterini (C56-C57)	F	<5	<5	.	.	7 (0-44)	.	68 (15-305)	98 (69-128)	.	.	n.c.	1
Tumore della prostata (C61)	M	6	4	.	.	45 (19-92)	.	158 (82-306)	102 (86-122)	.	.	n.c.	1
Tumore del testicolo (C62)	M	0	0	.	.	0 (0-28)	.	0 (.-.)	90 (23-242)	.	.	n.c.	1
Tumori maligni della vescica (C67)	F	0	1	.	.	0 (0-32)	.	0 (.-.)	105 (68-144)	.	.	n.c.	1
Tumori maligni della vescica (C67)	M	<5	<5	.	.	15 (3-51)	.	92 (30-278)	97 (78-116)	.	.	n.c.	1
Tumori maligni della vescica (C67)	M + F	<5	<5	.	.	7 (1-27)	.	74 (24-223)	101 (86-116)	.	.	n.c.	1
Tumori maligni del rene e di altri e non specificati organi urinari (C64-C66, C68)	F	<5	<5	.	.	8 (0-46)	.	142 (32-637)	85 (48-140)	.	.	n.c.	1
Tumori maligni del rene e di altri e non specificati organi urinari (C64-C66, C68)	M	0	2	.	.	0 (0-28)	.	0 (.-.)	88 (57-118)	.	.	n.c.	1
Tumori maligni del rene e di altri e non specificati organi urinari (C64-C66, C68)	M + F	<5	<5	.	.	4 (0-24)	.	45 (10-203)	87 (61-116)	.	.	n.c.	1
tumore del sistema nervoso centrale (C70-C72,D33)	F	<5	<5	.	.	9 (0-46)	.	131 (29-587)	96 (71-131)	.	.	n.c.	1
tumore del sistema nervoso centrale (C70-C72,D33)	M	<5	<5	.	.	8 (0-40)	.	78 (17-350)	102 (63-150)	.	.	n.c.	1
tumore del sistema nervoso centrale (C70-C72,D33)	M + F	<5	<5	.	.	8 (1-29)	.	98 (32-295)	102 (84-123)	.	.	n.c.	1
Tumori maligni dell'encefalo (C71)	F	<5	<5	.	.	9 (0-46)	.	137 (31-614)	95 (76-120)	.	.	n.c.	1

Tabella 11A - Montecosaro													
Causa (ICD-IX)	Genere	Osservati	Attesi	Cluster sign.	SIR cluster	Tasso std. * 100000 (ic)	Tasso std. > Tasso reg.	SIR (ic)	BIR (ic)	SIR sign.	BIR sign.	Trend	Livello attenzione
Tumori maligni dell'encefalo (C71)	M	<5	<5	.	.	8 (0-40)	.	79 (18-356)	104 (70-148)	.	.	n.c.	1
Tumori maligni dell'encefalo (C71)	M + F	<5	<5	.	.	8 (1-29)	.	101 (33-304)	102 (86-120)	.	.	n.c.	1
Tumori maligni della ghiandola tiroide (C73)	F	<5	<5	.	.	7 (0-43)	.	577 (129-2587)	127 (75-229)	↑	.	n.c.	1
Tumori maligni della ghiandola tiroide (C73)	M	0	0	.	.	0 (0-28)	.	0 (.-.)	101 (65-150)	.	.	n.c.	1
Tumori maligni della ghiandola tiroide (C73)	M + F	<5	<5	.	.	4 (0-22)	.	335 (75-1500)	118 (82-179)	.	.	n.c.	1
Tumori emolinfopoiетici (C81-C96)	F	<5	<5	.	.	14 (2-52)	.	62 (20-187)	101 (87-116)	.	.	n.c.	1
Tumori emolinfopoiетici (C81-C96)	M	>5	<5	.	.	37 (14-80)	.	121 (59-249)	103 (90-117)	.	.	n.c.	1
Tumori emolinfopoiетici (C81-C96)	M + F	7	7	.	.	25 (12-50)	.	95 (52-175)	102 (92-114)	.	.	n.c.	1
Malattia di Hodgkin (C81)	F	0	0	.	.	0 (0-32)	.	0 (.-.)	99 (33-230)	.	.	n.c.	1
Malattia di Hodgkin (C81)	M	0	0	.	.	0 (0-28)	.	0 (.-.)	103 (49-172)	.	.	n.c.	1
Malattia di Hodgkin (C81)	M + F	0	0	.	.	0 (0-17)	.	0 (.-.)	101 (45-186)	.	.	n.c.	1
Linfoma non Hodgkin (C82-C85)	F	<5	<5	.	.	14 (2-52)	.	203 (67-615)	98 (76-127)	.	.	n.c.	1
Linfoma non Hodgkin (C82-C85)	M	<5	<5	.	.	14 (3-49)	.	137 (45-415)	109 (91-132)	.	.	n.c.	1
Linfoma non Hodgkin (C82-C85)	M + F	<5	<5	.	.	14 (5-36)	.	164 (74-365)	104 (86-129)	.	.	n.c.	1
Mieloma multiplo e tumori immunoproliferativi (C88, C90)	F	0	1	.	.	0 (0-32)	.	0 (.-.)	93 (64-121)	.	.	n.c.	1
Mieloma multiplo e tumori immunoproliferativi (C88, C90)	M	<5	<5	.	.	7 (0-39)	.	114 (25-509)	98 (68-137)	.	.	n.c.	1

Tabella 11A - Montecosaro													
Causa (ICD-IX)	Genere	Osservati	Attesi	Cluster sign.	SIR cluster	Tasso std. * 100000 (ic)	Tasso std. > Tasso reg.	SIR (ic)	BIR (ic)	SIR sign.	BIR sign.	Trend	Livello attenzione
Mieloma multiplo e tumori immunoproliferativi (C88, C90)	M + F	<5	<5	.	.	3 (0-22)	.	60 (13-269)	94 (67-128)	.	.	n.c.	1
Leucemie (C91-C95)	F	0	1	.	.	0 (0-32)	.	0 (.-.)	107 (78-138)	.	.	n.c.	1
Leucemie (C91-C95)	M	<5	<5	.	.	15 (3-51)	.	121 (40-365)	100 (70-141)	.	.	n.c.	1
Leucemie (C91-C95)	M + F	<5	<5	.	.	7 (1-27)	.	67 (22-201)	104 (86-124)	.	.	n.c.	1
Leucemia linfoide (acuta e cronica) (C91)	F	0	1	.	.	0 (0-32)	.	0 (.-.)	117 (84-152)	.	.	n.c.	1
Leucemia linfoide (acuta e cronica) (C91)	M	<5	<5	.	.	8 (0-40)	.	157 (35-702)	108 (79-152)	.	.	n.c.	1
Leucemia linfoide (acuta e cronica) (C91)	M + F	<5	<5	.	.	4 (0-22)	.	92 (20-411)	111 (90-135)	.	.	n.c.	1
Leucemia mieloide (acuta e cronica) (C92)	F	0	1	.	.	0 (0-32)	.	0 (.-.)	100 (66-134)	.	.	n.c.	1
Leucemia mieloide (acuta e cronica) (C92)	M	<5	<5	.	.	8 (0-40)	.	143 (32-642)	91 (59-133)	.	.	n.c.	1
Leucemia mieloide (acuta e cronica) (C92)	M + F	<5	<5	.	.	4 (0-22)	.	78 (17-350)	93 (66-128)	.	.	n.c.	1
Malattie del sangue e degli organi emopoietici (D50-D77)	F	0	1	.	.	0 (0-32)	.	0 (.-.)	102 (65-145)	.	.	n.c.	1
Malattie del sangue e degli organi emopoietici (D50-D77)	M	0	1	.	.	0 (0-28)	.	0 (.-.)	95 (68-125)	.	.	n.c.	1
Malattie del sangue e degli organi emopoietici (D50-D77)	M + F	0	1	.	.	0 (0-17)	.	0 (.-.)	100 (74-128)	.	.	n.c.	1
Malattie endocrine, della nutrizione ed immunitarie (E00-E90, D80-D89)	F	5	6	.	.	41 (16-91)	.	91 (44-188)	94 (71-122)	.	.	n.c.	1
Malattie endocrine, della nutrizione ed immunitarie (E00-E90, D80-D89)	M	5	5	.	.	37 (15-81)	.	97 (47-200)	95 (72-126)	.	.	n.c.	1
Malattie endocrine, della nutrizione ed immunitarie (E00-E90, D80-D89)	M + F	10	11	.	.	39 (21-69)	.	94 (56-157)	93 (73-117)	.	.	n.c.	1

Tabella 11A - Montecosaro	Genere	Osservati	Attesi	Cluster sign.	SIR cluster	Tasso std. * 100000 (ic)	Tasso std. > Tasso reg.	SIR (ic)	BIR (ic)	SIR sign.	BIR sign.	Trend	Livello attenzione
Causa (ICD-IX)													
Tireotossicosi (E05)	F	0	0	.	.	0 (0-32)	.	0 (.-.)	102 (37-223)	.	.	n.c.	1
Tireotossicosi (E05)	M	0	0	.	.	0 (0-28)	.	0 (.-.)	69 (0-284)	.	.	n.c.	1
Tireotossicosi (E05)	M + F	0	0	.	.	0 (0-17)	.	0 (.-.)	102 (26-220)	.	.	n.c.	1
Ipotiroidismo (E00-E03)	F	0	0	.	.	0 (0-32)	.	0 (.-.)	81 (20-206)	.	.	n.c.	1
Ipotiroidismo (E00-E03)	M	0	0	.	.	0 (0-28)	.	0 (.-.)	58 (11-166)	.	.	n.c.	1
Ipotiroidismo (E00-E03)	M + F	0	0	.	.	0 (0-17)	.	0 (.-.)	85 (30-169)	.	.	n.c.	1
Diabete mellito (E10-E14)	F	<5	<5	.	.	24 (7-69)	.	76 (30-191)	95 (69-126)	.	.	n.c.	1
Diabete mellito (E10-E14)	M	<5	<5	.	.	30 (10-71)	.	105 (47-233)	97 (70-133)	.	.	n.c.	1
Diabete mellito (E10-E14)	M + F	7	8	.	.	27 (13-54)	.	90 (49-166)	95 (72-124)	.	.	n.c.	1
Demenze (F00-F01, F020-F023, F03, G30, G310)	F	9	8	.	.	76 (40-137)	.	110 (64-189)	93 (66-129)	.	.	n.c.	1
Demenze (F00-F01, F020-F023, F03, G30, G310)	M	6	5	.	.	46 (20-93)	.	121 (62-233)	93 (65-131)	.	.	n.c.	1
Demenze (F00-F01, F020-F023, F03, G30, G310)	M + F	15	13	.	.	62 (38-97)	.	114 (75-174)	95 (71-127)	.	.	↑	2 😊
Malattie neuro-psichiatriche (escluse tossicod.) (F00-F09, F20-F99)	F	<5	>5	.	.	27 (7-74)	.	66 (26-164)	73 (43-121)	.	.	n.c.	1
Malattie neuro-psichiatriche (escluse tossicod.) (F00-F09, F20-F99)	M	<5	<5	.	.	23 (6-62)	.	109 (43-272)	74 (45-119)	.	.	n.c.	1
Malattie neuro-psichiatriche (escluse tossicod.) (F00-F09, F20-F99)	M + F	6	7	.	.	25 (11-52)	.	82 (42-158)	74 (48-113)	.	.	n.c.	1
Malattie del sistema nervoso e degli organi di senso (G00-H95)	F	>5	>5	.	.	98 (56-164)	↑	165 (103-264)	116 (91-149)	↑	.	n.c.	3 😞

Tabella 11A - Montecosaro													
Causa (ICD-IX)	Genere	Osservati	Attesi	Cluster sign.	SIR cluster	Tasso std. * 100000 (ic)	Tasso std. > Tasso reg.	SIR (ic)	BIR (ic)	SIR sign.	BIR sign.	Trend	Livello attenzione
Malattie del sistema nervoso e degli organi di senso (G00-H95)	M	<5	>5	.	.	23 (6-62)	.	49 (20-124)	106 (80-134)	.	.	n.c.	1
Malattie del sistema nervoso e degli organi di senso (G00-H95)	M + F	15	13	.	.	62 (38-98)	.	112 (74-171)	112 (91-137)	.	.	→	1
Morbo di Parkinson (G20)	F	<5	<5	.	.	7 (0-43)	.	111 (25-496)	101 (69-147)	.	.	n.c.	1
Morbo di Parkinson (G20)	M	0	1	.	.	0 (0-28)	.	0 (.-.)	100 (70-132)	.	.	n.c.	1
Morbo di Parkinson (G20)	M + F	<5	<5	.	.	4 (0-22)	.	46 (10-206)	104 (78-136)	.	.	n.c.	1
Malattia di Alzheimer (G30)	F	>5	<5	.	.	49 (21-101)	.	155 (80-300)	109 (74-161)	.	.	n.c.	1
Malattia di Alzheimer (G30)	M	<5	<5	.	.	23 (6-62)	.	124 (49-309)	104 (66-160)	.	.	n.c.	1
Malattia di Alzheimer (G30)	M + F	9	6	.	.	36 (19-66)	.	143 (83-246)	112 (79-159)	.	.	n.c.	1
Epilessia (G40)	F	<5	<5	.	.	8 (0-45)	.	377 (84-1692)	117 (72-186)	.	.	n.c.	1
Epilessia (G40)	M	0	0	.	.	0 (0-28)	.	0 (.-.)	97 (56-154)	.	.	n.c.	1
Epilessia (G40)	M + F	<5	<5	.	.	4 (0-23)	.	199 (44-890)	110 (65-178)	.	.	n.c.	1
Malattia dei neuroni motori (G122)	F	<5	<5	.	.	6 (0-42)	.	209 (47-937)	94 (37-236)	.	.	n.c.	1
Malattia dei neuroni motori (G122)	M	0	1	.	.	0 (0-28)	.	0 (.-.)	91 (49-152)	.	.	n.c.	1
Malattia dei neuroni motori (G122)	M + F	<5	<5	.	.	3 (0-22)	.	97 (22-434)	89 (42-177)	.	.	n.c.	1
Sclerosi multipla (G35)	F	0	0	.	.	0 (0-32)	.	0 (.-.)	104 (62-167)	.	.	n.c.	1
Sclerosi multipla (G35)	M	0	0	.	.	0 (0-28)	.	0 (.-.)	83 (13-227)	.	.	n.c.	1



Tabella 11A - Montecosaro	Genere	Osservati	Attesi	Cluster sign.	SIR cluster	Tasso std. * 100000 (ic)	Tasso std. > Tasso reg.	SIR (ic)	BIR (ic)	SIR sign.	BIR sign.	Trend	Livello attenzione
Causa (ICD-IX)													
Sclerosi multipla (G35)	M + F	0	0	.	.	0 (0-17)	.	0 (-.)	102 (65-150)	.	.	n.c.	1
Neuropatie tossiche e infiammatorie non specificate (G619, G629)	F	0	0	.	.	0 (0-32)	.	0 (-.)	57 (4-270)	.	.	n.c.	1
Neuropatie tossiche e infiammatorie non specificate (G619, G629)	M	0	0	.	.	0 (0-28)	.	0 (-.)	45 (9-153)	.	.	n.c.	1
Neuropatie tossiche e infiammatorie non specificate (G619, G629)	M + F	0	0	.	.	0 (0-17)	.	0 (-.)	57 (11-154)	.	.	n.c.	1
Malattie dell'apparato circolatorio (I00-I99)	F	63	54	.	.	532 (426-660)	.	117 (95-144)	104 (94-117)	.	.	→	1
Malattie dell'apparato circolatorio (I00-I99)	M	54	52	.	.	411 (323-518)	.	105 (84-131)	102 (91-115)	.	.	→	1
Malattie dell'apparato circolatorio (I00-I99)	M + F	117	105	1	110	474 (403-555)	.	111 (96-129)	105 (95-115)	.	.	→	1
Malattia ipertensiva (I10-I15)	F	<5	>5	2	144	33 (11-80)	.	67 (30-149)	88 (57-129)	.	.	n.c.	1
Malattia ipertensiva (I10-I15)	M	>5	<5	.	.	45 (20-93)	.	146 (76-282)	110 (69-175)	.	.	n.c.	1
Malattia ipertensiva (I10-I15)	M + F	10	10	2	135	39 (21-69)	.	99 (59-166)	98 (68-139)	.	.	→	1
Malattie ischemiche del cuore (I20-I25)	F	19	18	.	.	152 (99-228)	.	108 (74-157)	97 (77-121)	.	.	→	1
Malattie ischemiche del cuore (I20-I25)	M	14	21	.	.	110 (66-174)	.	67 (43-104)	87 (71-104)	.	.	→	1
Malattie ischemiche del cuore (I20-I25)	M + F	33	39	.	.	132 (96-179)	.	86 (64-114)	87 (72-105)	.	.	→	1
Infarto miocardico acuto (I21-I22)	F	<5	>5	.	.	24 (7-68)	.	61 (24-152)	82 (52-126)	.	.	n.c.	1
Infarto miocardico acuto (I21-I22)	M	<5	>5	.	.	15 (3-51)	.	27 (9-81)	82 (57-114)	↓	.	n.c.	0 
Infarto miocardico acuto (I21-I22)	M + F	5	12	.	.	20 (8-45)	.	40 (20-83)	70 (49-101)	↓	.	n.c.	0 




Tabella 11A - Montecosaro	Genere	Osservati	Attesi	Cluster sign.	SIR cluster	Tasso std. * 100000 (ic)	Tasso std. > Tasso reg.	SIR (ic)	BIR (ic)	SIR sign.	BIR sign.	Trend	Livello attenzione
Causa (ICD-IX)													
Malattie cerebrovascolari (I60-I69)	F	24	15	2	127	211 (145-300)	↑	162 (116-226)	125 (102-156)	↑	↑	→	5 
Malattie cerebrovascolari (I60-I69)	M	19	13	2	123	141 (92-209)	.	144 (99-210)	121 (98-149)	.	.	→	1
Malattie cerebrovascolari (I60-I69)	M + F	43	28	2	125	177 (135-231)	↑	153 (119-197)	130 (108-156)	↑	↑	→	5 
Malattie dell'apparato respiratorio (J00-J99)	F	7	8	.	.	59 (28-115)	.	93 (50-171)	90 (69-115)	.	.	n.c.	1
Malattie dell'apparato respiratorio (J00-J99)	M	11	11	.	.	80 (45-135)	.	100 (61-163)	101 (82-123)	.	.	→	1
Malattie dell'apparato respiratorio (J00-J99)	M + F	18	19	.	.	69 (44-105)	.	97 (66-142)	97 (78-119)	.	.	→	1
Malattie respiratorie acute (J00-J06, J10-J18, J20-J22)	F	<5	<5	.	.	9 (0-46)	.	46 (10-206)	79 (48-126)	.	.	n.c.	1
Malattie respiratorie acute (J00-J06, J10-J18, J20-J22)	M	<5	<5	2	145	29 (10-69)	.	171 (77-382)	109 (57-196)	.	.	n.c.	1
Malattie respiratorie acute (J00-J06, J10-J18, J20-J22)	M + F	5	5	.	.	18 (7-42)	.	111 (54-228)	93 (59-143)	.	.	n.c.	1
Malattie croniche dell'apparato respiratorio (BCPO) (J41-J44, J47)	F	>5	<5	.	.	42 (16-92)	.	164 (80-338)	100 (67-154)	.	.	n.c.	1
Malattie croniche dell'apparato respiratorio (BCPO) (J41-J44, J47)	M	<5	>5	.	.	29 (10-71)	.	68 (30-150)	95 (73-123)	.	.	n.c.	1
Malattie croniche dell'apparato respiratorio (BCPO) (J41-J44, J47)	M + F	9	9	.	.	36 (19-65)	.	100 (58-173)	98 (74-129)	.	.	n.c.	1
Asma (J45)	F	<5	<5	.	.	8 (0-46)	.	1012 (226-4535)	95 (42-238)	↑	.	n.c.	1
Asma (J45)	M	0	0	.	.	0 (0-28)	.	0 (.-.)	77 (21-184)	.	.	n.c.	1
Asma (J45)	M + F	<5	<5	.	.	4 (0-24)	.	609 (136-2731)	92 (55-169)	↑	.	n.c.	1
Pneumoconiosi (J60-J64)	M	0	0	.	.	0 (0-28)	.	0 (.-.)	17 (3-72)	.	↓	n.c.	0 


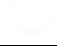
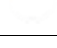
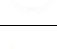
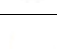
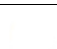


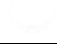
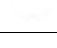
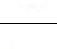

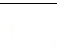



Tabella 11A - Montecosaro													
Causa (ICD-IX)	Genere	Osservati	Attesi	Cluster sign.	SIR cluster	Tasso std. * 100000 (ic)	Tasso std. > Tasso reg.	SIR (ic)	BIR (ic)	SIR sign.	BIR sign.	Trend	Livello attenzione
Pneumoconiosi (J60-J64)	M + F	0	0	.	.	0 (0-17)	.	0 (-.)	17 (3-72)	.	↓	n.c.	0 
Malattie dell'apparato digerente (K00-K93)	F	<5	>5	2	132	34 (12-82)	.	82 (37-183)	104 (88-123)	.	.	n.c.	1 
Malattie dell'apparato digerente (K00-K93)	M	<5	>5	.	.	29 (10-70)	.	76 (34-169)	100 (84-118)	.	.	n.c.	1 
Malattie dell'apparato digerente (K00-K93)	M + F	8	10	2	123	31 (16-60)	.	79 (45-140)	105 (87-123)	.	.	n.c.	1 
Cirrosi e altre malattie croniche del fegato (K70, K73-K74)	F	0	1	.	.	0 (0-32)	.	0 (-.)	105 (59-158)	.	.	n.c.	1 
Cirrosi e altre malattie croniche del fegato (K70, K73-K74)	M	<5	<5	.	.	14 (2-49)	.	129 (43-388)	96 (77-118)	.	.	n.c.	1 
Cirrosi e altre malattie croniche del fegato (K70, K73-K74)	M + F	<5	<5	.	.	7 (1-26)	.	86 (29-261)	101 (77-130)	.	.	n.c.	1 
Nefropatie croniche e acute (N00-N12)	F	0	0	.	.	0 (0-32)	.	0 (-.)	85 (40-163)	.	.	n.c.	1 
Nefropatie croniche e acute (N00-N12)	M	0	0	.	.	0 (0-28)	.	0 (-.)	52 (15-138)	.	.	n.c.	1 
Nefropatie croniche e acute (N00-N12)	M + F	0	0	.	.	0 (0-17)	.	0 (-.)	74 (20-204)	.	.	n.c.	1 
Malattie dell'apparato genito-urinario (N00-N99)	F	<5	<5	2	148	35 (12-84)	.	153 (68-340)	117 (84-162)	.	.	n.c.	1 
Malattie dell'apparato genito-urinario (N00-N99)	M	<5	<5	2	154	14 (3-50)	.	77 (25-232)	108 (71-157)	.	.	n.c.	1 
Malattie dell'apparato genito-urinario (N00-N99)	M + F	6	5	2	140	25 (11-52)	.	115 (59-222)	116 (87-154)	.	.	n.c.	1 
Insufficienza renale acuta e cronica (N17-N19)	F	<5	<5	2	142	35 (12-84)	.	181 (81-404)	114 (84-161)	.	.	n.c.	1 
Insufficienza renale acuta e cronica (N17-N19)	M	<5	<5	.	.	7 (0-39)	.	47 (11-212)	102 (68-142)	.	.	n.c.	1 
Insufficienza renale acuta e cronica (N17-N19)	M + F	5	4	2	134	21 (8-48)	.	116 (56-238)	119 (88-158)	.	.	n.c.	1 










Tabella 11A - Montecosaro													
Causa (ICD-IX)	Genere	Osservati	Attesi	Cluster sign.	SIR cluster	Tasso std. * 100000 (ic)	Tasso std. > Tasso reg.	SIR (ic)	BIR (ic)	SIR sign.	BIR sign.	Trend	Livello attenzione
Malformazioni congenite (Q00-Q99)	F	9	0	1	2031	70 (36-129)	↑	2031 (1182-3492)	1038 (410-2161)	↑	↑	n.c.	5 
Malformazioni congenite (Q00-Q99)	M	6	0	1	856	47 (20-95)	↑	1560 (807-3017)	558 (196-1351)	↑	↑	n.c.	5 
Malformazioni congenite (Q00-Q99)	M + F	15	1	1	1812	59 (36-94)	↑	1812 (1189-2763)	1176 (651-1929)	↑	↑	→	5 
Sintomi, segni e stati morbosi mal definiti (R00-R99)	F	0	2	.	.	0 (0-32)	.	0 (-.)	35 (11-103)	.	.	n.c.	1 
Sintomi, segni e stati morbosi mal definiti (R00-R99)	M	0	1	.	.	0 (0-28)	.	0 (-.)	54 (16-147)	.	.	n.c.	1 
Sintomi, segni e stati morbosi mal definiti (R00-R99)	M + F	0	2	.	.	0 (0-17)	.	0 (-.)	33 (11-85)	.	↓	n.c.	0 
Traumatismi e avvelenamenti (S00-T98)	F	11	5	2	131	83 (46-144)	↑	227 (139-371)	124 (93-172)	↑	.	n.c.	3 
Traumatismi e avvelenamenti (S00-T98)	M	8	8	.	.	55 (27-104)	.	102 (58-181)	97 (83-113)	.	.	n.c.	1 
Traumatismi e avvelenamenti (S00-T98)	M + F	19	13	.	.	70 (45-106)	↑	150 (103-218)	107 (91-130)	↑	.	→	3 

Tabella 12A. Decessi per causa nel comune di Montefano, tutte le età, periodo di osservazione 2009-2013

Tabella 12A - Montefano	Genere	Osservati	Attesi	Cluster sign.	SIR cluster	Tasso std. * 100000 (ic)	Tasso std. > Tasso reg.	SIR (ic)	BIR (ic)	SIR sign.	BIR sign.	Trend	Livello attenzione
Causa (ICD-IX)													
Mortalità generale (escluse cause violente) (A00-R99)	F	104	94	.	.	1122 (943-1330)	.	111 (95-131)	102 (95-110)	.	.	→	1
Mortalità generale (escluse cause violente) (A00-R99)	M	82	89	.	.	908 (749-1104)	.	92 (77-111)	96 (88-105)	.	.	→	1
Mortalità generale (escluse cause violente) (A00-R99)	M + F	186	182	.	.	1018 (896-1156)	.	102 (90-115)	100 (92-107)	.	.	→	1
Mortalità per cause esterne o violente (S00-Y99)	F	<5	<5	.	.	26 (5-85)	.	61 (20-186)	96 (69-130)	.	.	n.c.	1
Mortalità per cause esterne o violente (S00-Y99)	M	<5	>5	.	.	34 (9-106)	.	62 (25-155)	100 (84-116)	.	.	n.c.	1
Mortalità per cause esterne o violente (S00-Y99)	M + F	5	8	.	.	30 (12-70)	.	62 (30-127)	97 (79-117)	.	.	n.c.	1
Malattie infettive (A00-B99)	F	0	1	.	.	0 (0-43)	.	0 (-.)	81 (52-117)	.	.	n.c.	1
Malattie infettive (A00-B99)	M	<5	<5	.	.	10 (1-72)	.	61 (14-275)	96 (76-122)	.	.	n.c.	1
Malattie infettive (A00-B99)	M + F	<5	<5	.	.	5 (0-35)	.	33 (7-147)	88 (63-118)	.	.	n.c.	1
Epatite virale (B17-B19)	F	0	0	.	.	0 (0-43)	.	0 (-.)	75 (44-116)	.	.	n.c.	1
Epatite virale (B17-B19)	M	0	0	.	.	0 (0-59)	.	0 (-.)	84 (41-136)	.	.	n.c.	1
Epatite virale (B17-B19)	M + F	0	0	.	.	0 (0-29)	.	0 (-.)	83 (55-113)	.	.	n.c.	1
Tutti i tumori (C00-D48)	F	23	21	.	.	261 (177-375)	.	109 (77-153)	97 (89-106)	.	.	→	1
Tutti i tumori (C00-D48)	M	25	30	.	.	271 (188-392)	.	85 (61-118)	93 (82-103)	.	.	→	1
Tutti i tumori (C00-D48)	M + F	48	51	.	.	266 (205-344)	.	95 (75-120)	95 (87-104)	.	.	→	1
Tumori maligni delle vie aeree e digestive superiori (C00-C15, C32)	F	0	0	.	.	0 (0-43)	.	0 (-.)	73 (50-105)	.	.	n.c.	1


Tabella 12A - Montefano	Genere	Osservati	Attesi	Cluster sign.	SIR cluster	Tasso std. * 100000 (ic)	Tasso std. > Tasso reg.	SIR (ic)	BIR (ic)	SIR sign.	BIR sign.	Trend	Livello attenzione
Causa (ICD-IX)													
Tumori maligni delle vie aeree e digestive superiori (C00-C15, C32)	M	0	1	.	.	0 (0-59)	.	0 (.-.)	85 (57-120)	,	,	n.c.	1
Tumori maligni delle vie aeree e digestive superiori (C00-C15, C32)	M + F	0	1	.	.	0 (0-29)	.	0 (.-.)	82 (57-113)	,	,	n.c.	1
Tumori maligni (C00-C97)	F	22	20	.	.	251 (169-364)	.	109 (77-155)	97 (89-106)	,	,	→	1
Tumori maligni (C00-C97)	M	24	28	.	.	261 (179-380)	.	85 (61-119)	94 (85-103)	,	,	→	1
Tumori maligni (C00-C97)	M + F	46	48	.	.	256 (196-333)	.	95 (75-122)	95 (87-103)	,	,	→	1
Tumori maligni dell'esofago (C15)	F	0	0	.	.	0 (0-43)	.	0 (.-.)	71 (24-150)	,	,	n.c.	1
Tumori maligni dell'esofago (C15)	M	0	0	.	.	0 (0-59)	.	0 (.-.)	90 (46-146)	,	,	n.c.	1
Tumori maligni dell'esofago (C15)	M + F	0	0	.	.	0 (0-29)	.	0 (.-.)	88 (39-163)	,	,	n.c.	1
Tumori maligni dello stomaco (C16)	F	0	2	.	.	0 (0-43)	.	0 (.-.)	95 (73-120)	,	,	n.c.	1
Tumori maligni dello stomaco (C16)	M	<5	<5	.	.	26 (5-98)	.	83 (27-249)	98 (70-132)	,	,	n.c.	1
Tumori maligni dello stomaco (C16)	M + F	<5	<5	.	.	13 (2-48)	.	49 (16-148)	92 (71-117)	,	,	n.c.	1
Tumori maligni dell'intestino tenue, compreso il duodeno (C17)	F	0	0	.	.	0 (0-43)	.	0 (.-.)	116 (29-293)	,	,	n.c.	1
Tumori maligni dell'intestino tenue, compreso il duodeno (C17)	M	0	0	.	.	0 (0-59)	.	0 (.-.)	53 (15-133)	,	,	n.c.	1
Tumori maligni dell'intestino tenue, compreso il duodeno (C17)	M + F	0	0	.	.	0 (0-29)	.	0 (.-.)	0 (0-0)	,	↓	n.c.	0 
Tumori maligni del colon (C18)	F	<5	<5	.	.	37 (10-100)	.	148 (59-371)	102 (82-128)	,	,	n.c.	1
Tumori maligni del colon (C18)	M	<5	<5	.	.	30 (8-99)	.	112 (45-280)	102 (78-130)	,	,	n.c.	1

Tabella 12A - Montefano													
Causa (ICD-IX)	Genere	Osservati	Attesi	Cluster sign.	SIR cluster	Tasso std. * 100000 (ic)	Tasso std. > Tasso reg.	SIR (ic)	BIR (ic)	SIR sign.	BIR sign.	Trend	Livello attenzione
Tumori maligni del colon (C18)	M + F	6	5	.	.	33 (14-74)	.	127 (66-246)	103 (81-130)	,	,	n.c.	1
Tumori maligni del retto, della giunzione retto-sigmoidea e dell'ano (C19-C21)	F	0	1	.	.	0 (0-43)	.	0 (.-.)	86 (47-137)	,	,	n.c.	1
Tumori maligni del retto, della giunzione retto-sigmoidea e dell'ano (C19-C21)	M	0	1	.	.	0 (0-59)	.	0 (.-.)	83 (46-134)	,	,	n.c.	1
Tumori maligni del retto, della giunzione retto-sigmoidea e dell'ano (C19-C21)	M + F	0	2	.	.	0 (0-29)	.	0 (.-.)	89 (56-129)	,	,	n.c.	1
Tumore fegato e dotti biliari (C22)	F	<5	<5	.	.	20 (4-73)	.	305 (101-921)	107 (80-151)	↑	,	n.c.	3 😊
Tumore fegato e dotti biliari (C22)	M	0	1	.	.	0 (0-59)	.	0 (.-.)	82 (53-120)	,	,	n.c.	1
Tumore fegato e dotti biliari (C22)	M + F	<5	<5	.	.	10 (2-43)	.	116 (38-350)	96 (65-137)	,	,	n.c.	1
Tumori maligni del pancreas (C25)	F	<5	<5	.	.	19 (3-72)	.	128 (42-388)	101 (82-123)	,	,	n.c.	1
Tumori maligni del pancreas (C25)	M	<5	<5	.	.	23 (4-91)	.	121 (40-366)	98 (79-120)	,	,	n.c.	1
Tumori maligni del pancreas (C25)	M + F	<5	<5	.	.	21 (7-57)	.	125 (56-278)	100 (82-119)	,	,	n.c.	1
Tumore del retroperitoneo (C48)	F	0	0	.	.	0 (0-43)	.	0 (.-.)	101 (55-173)	,	,	n.c.	1
Tumore del retroperitoneo (C48)	M	0	0	.	.	0 (0-59)	.	0 (.-.)	54 (18-137)	,	,	n.c.	1
Tumore del retroperitoneo (C48)	M + F	0	0	.	.	0 (0-29)	.	0 (.-.)	86 (50-130)	,	,	n.c.	1
Tumori maligni della laringe (C32)	F	0	0	.	.	0 (0-43)	.	0 (.-.)	73 (22-182)	,	,	n.c.	1
Tumori maligni della laringe (C32)	M	0	0	.	.	0 (0-59)	.	0 (.-.)	83 (52-128)	,	,	n.c.	1
Tumori maligni della laringe (C32)	M + F	0	0	.	.	0 (0-29)	.	0 (.-.)	86 (52-128)	,	,	n.c.	1


Tabella 12A - Montefano	Genere	Osservati	Attesi	Cluster sign.	SIR cluster	Tasso std. * 100000 (ic)	Tasso std. > Tasso reg.	SIR (ic)	BIR (ic)	SIR sign.	BIR sign.	Trend	Livello attenzione
Causa (ICD-IX)													
Tumori maligni della trachea, dei bronchi e dei polmoni (C33-C34)	F	<5	<5	.	.	53 (18-124)	.	209 (94-466)	97 (68-143)	.	.	n.c.	1
Tumori maligni della trachea, dei bronchi e dei polmoni (C33-C34)	M	<5	>5	.	.	21 (4-88)	.	31 (10-93)	89 (70-104)	↓	.	n.c.	0 
Tumori maligni della trachea, dei bronchi e dei polmoni (C33-C34)	M + F	6	8	.	.	37 (16-80)	.	71 (37-138)	90 (74-107)	.	.	n.c.	1
Mesotelioma (pleura, peritoneo, endocardio, ecc.) (C45)	F	0	0	.	.	0 (0-43)	.	0 (.-.)	78 (31-151)	.	.	n.c.	1
Mesotelioma (pleura, peritoneo, endocardio, ecc.) (C45)	M	0	0	.	.	0 (0-59)	.	0 (.-.)	57 (18-153)	.	.	n.c.	1
Mesotelioma (pleura, peritoneo, endocardio, ecc.) (C45)	M + F	0	0	.	.	0 (0-29)	.	0 (.-.)	70 (32-143)	.	.	n.c.	1
Tumori maligni delle ossa e della cartilagine articolare (C40-C41)	F	0	0	.	.	0 (0-43)	.	0 (.-.)	59 (14-171)	.	.	n.c.	1
Tumori maligni delle ossa e della cartilagine articolare (C40-C41)	M	0	0	.	.	0 (0-59)	.	0 (.-.)	82 (21-224)	.	.	n.c.	1
Tumori maligni delle ossa e della cartilagine articolare (C40-C41)	M + F	0	0	.	.	0 (0-29)	.	0 (.-.)	80 (21-209)	.	.	n.c.	1
Tumori maligni del connettivo e di altri tessuti molli (C49)	F	<5	<5	.	.	12 (1-63)	.	798 (178-3576)	87 (53-144)	↑	.	n.c.	1
Tumori maligni del connettivo e di altri tessuti molli (C49)	M	0	0	.	.	0 (0-59)	.	0 (.-.)	107 (67-170)	.	.	n.c.	1
Tumori maligni del connettivo e di altri tessuti molli (C49)	M + F	<5	<5	.	.	6 (0-38)	.	361 (81-1618)	101 (70-146)	.	.	n.c.	1
Melanoma maligno della pelle (C43)	F	0	0	.	.	0 (0-43)	.	0 (.-.)	102 (68-150)	.	.	n.c.	1
Melanoma maligno della pelle (C43)	M	0	0	.	.	0 (0-59)	.	0 (.-.)	102 (65-153)	.	.	n.c.	1
Melanoma maligno della pelle (C43)	M + F	0	1	.	.	0 (0-29)	.	0 (.-.)	104 (75-141)	.	.	n.c.	1
Tumori maligni della mammella (C50)	F	<5	<5	.	.	50 (17-119)	.	134 (60-298)	95 (77-116)	.	.	n.c.	1

Tabella 12A - Montefano	Genere	Osservati	Attesi	Cluster sign.	SIR cluster	Tasso std. * 100000 (ic)	Tasso std. > Tasso reg.	SIR (ic)	BIR (ic)	SIR sign.	BIR sign.	Trend	Livello attenzione
Causa (ICD-IX)													
Tumori maligni della mammella (C50)	M + F	<5	<5	.	.	26 (9-65)	.	133 (60-295)	95 (77-118)	.	.	n.c.	1
Tumori maligni dell'utero (C53-C55)	F	<5	<5	.	.	20 (4-73)	.	222 (74-672)	105 (79-145)	.	.	n.c.	1
Tumori maligni del corpo dell'utero (C54)	F	0	0	.	.	0 (0-43)	.	0 (.-.)	107 (51-192)	.	.	n.c.	1
Tumori maligni dell'ovaio e degli altri annessi uterini (C56-C57)	F	0	1	.	.	0 (0-43)	.	0 (.-.)	94 (64-124)	.	.	n.c.	1
Tumore della prostata (C61)	M	<5	<5	.	.	39 (13-111)	.	161 (72-360)	100 (84-121)	.	.	n.c.	1
Tumore del testicolo (C62)	M	0	0	.	.	0 (0-59)	.	0 (.-.)	70 (12-254)	.	.	n.c.	1
Tumori maligni della vescica (C67)	F	0	0	.	.	0 (0-43)	.	0 (.-.)	81 (51-117)	.	.	n.c.	1
Tumori maligni della vescica (C67)	M	<5	<5	.	.	11 (1-75)	.	70 (16-316)	95 (74-116)	.	.	n.c.	1
Tumori maligni della vescica (C67)	M + F	<5	<5	.	.	5 (0-36)	.	58 (13-260)	96 (80-112)	.	.	n.c.	1
Tumori maligni del rene e di altri e non specificati organi urinari (C64-C66, C68)	F	0	1	.	.	0 (0-43)	.	0 (.-.)	88 (47-141)	.	.	n.c.	1
Tumori maligni del rene e di altri e non specificati organi urinari (C64-C66, C68)	M	<5	<5	.	.	44 (15-119)	↑	368 (165-820)	120 (89-189)	↑	.	n.c.	3 😊
Tumori maligni del rene e di altri e non specificati organi urinari (C64-C66, C68)	M + F	<5	<5	.	.	22 (7-58)	.	257 (115-572)	113 (83-162)	↑	.	n.c.	3 😊
tumore del sistema nervoso centrale (C70-C72,D33)	F	0	1	.	.	0 (0-43)	.	0 (.-.)	99 (69-136)	.	.	n.c.	1
tumore del sistema nervoso centrale (C70-C72,D33)	M	0	1	.	.	0 (0-59)	.	0 (.-.)	84 (50-128)	.	.	n.c.	1
tumore del sistema nervoso centrale (C70-C72,D33)	M + F	0	1	.	.	0 (0-29)	.	0 (.-.)	94 (73-113)	.	.	n.c.	1
Tumori maligni dell'encefalo (C71)	F	0	1	.	.	0 (0-43)	.	0 (.-.)	104 (79-131)	.	.	n.c.	1

Tabella 12A - Montefano	Genere	Osservati	Attesi	Cluster sign.	SIR cluster	Tasso std. * 100000 (ic)	Tasso std. > Tasso reg.	SIR (ic)	BIR (ic)	SIR sign.	BIR sign.	Trend	Livello attenzione
Causa (ICD-IX)													
Tumori maligni dell'encefalo (C71)	M	0	1	.	.	0 (0-59)	.	0 (.-.)	84 (51-120)	'	'	n.c.	1
Tumori maligni dell'encefalo (C71)	M + F	0	1	.	.	0 (0-29)	.	0 (.-.)	95 (77-113)	'	'	n.c.	1
Tumori maligni della ghiandola tiroide (C73)	F	0	0	.	.	0 (0-43)	.	0 (.-.)	53 (23-104)	'	'	n.c.	1
Tumori maligni della ghiandola tiroide (C73)	M	0	0	.	.	0 (0-59)	.	0 (.-.)	85 (45-142)	'	'	n.c.	1
Tumori maligni della ghiandola tiroide (C73)	M + F	0	0	.	.	0 (0-29)	.	0 (.-.)	69 (39-112)	'	'	n.c.	1
Tumori emolinfopoiетici (C81-C96)	F	<5	<5	.	.	22 (4-76)	.	101 (33-306)	97 (83-114)	'	'	n.c.	1
Tumori emolinfopoiетici (C81-C96)	M	<5	<5	.	.	10 (1-72)	.	42 (9-187)	94 (81-108)	'	'	n.c.	1
Tumori emolinfopoiетici (C81-C96)	M + F	<5	<5	.	.	16 (4-51)	.	69 (27-172)	96 (85-108)	'	'	n.c.	1
Malattia di Hodgkin (C81)	F	0	0	.	.	0 (0-43)	.	0 (.-.)	81 (23-234)	'	'	n.c.	1
Malattia di Hodgkin (C81)	M	0	0	.	.	0 (0-59)	.	0 (.-.)	79 (32-161)	'	'	n.c.	1
Malattia di Hodgkin (C81)	M + F	0	0	.	.	0 (0-29)	.	0 (.-.)	82 (35-166)	'	'	n.c.	1
Linfoma non Hodgkin (C82-C85)	F	<5	<5	.	.	10 (0-58)	.	139 (31-625)	107 (81-140)	'	'	n.c.	1
Linfoma non Hodgkin (C82-C85)	M	0	1	.	.	0 (0-59)	.	0 (.-.)	85 (68-106)	'	'	n.c.	1
Linfoma non Hodgkin (C82-C85)	M + F	<5	<5	.	.	5 (0-36)	.	69 (15-309)	95 (75-116)	'	'	n.c.	1
Mieloma multiplo e tumori immunoproliferativi (C88, C90)	F	<5	<5	.	.	12 (1-63)	.	208 (46-930)	91 (58-122)	'	'	n.c.	1
Mieloma multiplo e tumori immunoproliferativi (C88, C90)	M	0	1	.	.	0 (0-59)	.	0 (.-.)	95 (63-136)	'	'	n.c.	1




Tabella 12A - Montefano	Genere	Osservati	Attesi	Cluster sign.	SIR cluster	Tasso std. * 100000 (ic)	Tasso std. > Tasso reg.	SIR (ic)	BIR (ic)	SIR sign.	BIR sign.	Trend	Livello attenzione
Causa (ICD-IX)													
Mieloma multiplo e tumori immunoproliferativi (C88, C90)	M + F	<5	<5	.	.	6 (0-38)	.	94 (21-423)	89 (59-126)	.	.	n.c.	1
Leucemie (C91-C95)	F	0	1	.	.	0 (0-43)	.	0 (-.)	91 (65-123)	.	.	n.c.	1
Leucemie (C91-C95)	M	<5	<5	.	.	10 (1-72)	.	101 (22-451)	97 (67-140)	.	.	n.c.	1
Leucemie (C91-C95)	M + F	<5	<5	.	.	5 (0-35)	.	59 (13-263)	95 (77-116)	.	.	n.c.	1
Leucemia linfoide (acuta e cronica) (C91)	F	0	0	.	.	0 (0-43)	.	0 (-.)	67 (43-99)	.	↓	n.c.	0 
Leucemia linfoide (acuta e cronica) (C91)	M	<5	<5	.	.	10 (1-72)	.	313 (70-1404)	83 (55-121)	.	.	n.c.	1
Leucemia linfoide (acuta e cronica) (C91)	M + F	<5	<5	.	.	5 (0-35)	.	205 (46-918)	78 (60-101)	.	.	n.c.	1
Leucemia mieloide (acuta e cronica) (C92)	F	0	0	.	.	0 (0-43)	.	0 (-.)	98 (63-139)	.	.	n.c.	1
Leucemia mieloide (acuta e cronica) (C92)	M	0	1	.	.	0 (0-59)	.	0 (-.)	107 (67-159)	.	.	n.c.	1
Leucemia mieloide (acuta e cronica) (C92)	M + F	0	1	.	.	0 (0-29)	.	0 (-.)	102 (70-142)	.	.	n.c.	1
Malattie del sangue e degli organi emopoietici (D50-D77)	F	<5	<5	.	.	13 (1-66)	.	196 (44-879)	85 (54-130)	.	.	n.c.	1
Malattie del sangue e degli organi emopoietici (D50-D77)	M	<5	<5	.	.	43 (15-117)	↑	1048 (470-2333)	108 (79-168)	↑	.	n.c.	3 
Malattie del sangue e degli organi emopoietici (D50-D77)	M + F	5	1	.	.	28 (11-67)	↑	561 (273-1152)	98 (76-146)	↑	.	n.c.	3 
Malattie endocrine, della nutrizione ed immunitarie (E00-E90, D80-D89)	F	<5	<5	.	.	20 (4-73)	.	47 (15-141)	96 (70-125)	.	.	n.c.	1
Malattie endocrine, della nutrizione ed immunitarie (E00-E90, D80-D89)	M	<5	<5	.	.	43 (14-117)	.	124 (55-275)	99 (72-134)	.	.	n.c.	1
Malattie endocrine, della nutrizione ed immunitarie (E00-E90, D80-D89)	M + F	6	8	.	.	31 (14-70)	.	80 (41-154)	94 (72-122)	.	.	n.c.	1


Tabella 12A - Montefano	Genere	Osservati	Attesi	Cluster sign.	SIR cluster	Tasso std. * 100000 (ic)	Tasso std. > Tasso reg.	SIR (ic)	BIR (ic)	SIR sign.	BIR sign.	Trend	Livello attenzione
Causa (ICD-IX)													
Tireotossicosi (E05)	F	0	0	.	.	0 (0-43)	.	0 (.-.)	56 (15-159)	,	,	n.c.	1
Tireotossicosi (E05)	M	0	0	.	.	0 (0-59)	.	0 (.-.)	32 (0-192)	,	,	n.c.	1
Tireotossicosi (E05)	M + F	0	0	.	.	0 (0-29)	.	0 (.-.)	57 (14-147)	,	,	n.c.	1
Ipotiroidismo (E00-E03)	F	0	0	.	.	0 (0-43)	.	0 (.-.)	90 (20-248)	,	,	n.c.	1
Ipotiroidismo (E00-E03)	M	0	0	.	.	0 (0-59)	.	0 (.-.)	100 (20-277)	,	,	n.c.	1
Ipotiroidismo (E00-E03)	M + F	0	0	.	.	0 (0-29)	.	0 (.-.)	102 (32-216)	,	,	n.c.	1
Diabete mellito (E10-E14)	F	0	3	.	.	0 (0-43)	.	0 (.-.)	93 (66-125)	,	,	n.c.	1
Diabete mellito (E10-E14)	M	<5	<5	.	.	10 (1-72)	.	41 (9-186)	88 (61-125)	,	,	n.c.	1
Diabete mellito (E10-E14)	M + F	<5	>5	.	.	5 (0-35)	.	18 (4-82)	83 (60-114)	↓	,	n.c.	0 
Demenze (F00-F01, F020-F023, F03, G30, G310)	F	>5	>5	.	.	77 (35-152)	.	103 (56-189)	97 (67-139)	,	,	n.c.	1
Demenze (F00-F01, F020-F023, F03, G30, G310)	M	<5	<5	.	.	10 (1-73)	.	28 (6-124)	82 (54-120)	,	,	n.c.	1
Demenze (F00-F01, F020-F023, F03, G30, G310)	M + F	8	10	.	.	44 (22-88)	.	77 (43-136)	87 (62-120)	,	,	n.c.	1
Malattie neuro-psichiatriche (escluse tossicod.) (F00-F09, F20-F99)	F	<5	>5	.	.	37 (10-101)	.	66 (26-164)	80 (46-136)	,	,	n.c.	1
Malattie neuro-psichiatriche (escluse tossicod.) (F00-F09, F20-F99)	M	<5	<5	.	.	10 (1-73)	.	43 (10-193)	76 (42-129)	,	,	n.c.	1
Malattie neuro-psichiatriche (escluse tossicod.) (F00-F09, F20-F99)	M + F	<5	>5	.	.	24 (8-63)	.	58 (26-129)	75 (45-118)	,	,	n.c.	1
Malattie del sistema nervoso e degli organi di senso (G00-H95)	F	>5	<5	.	.	63 (27-132)	.	137 (71-265)	94 (71-124)	,	,	n.c.	1

Tabella 12A - Montefano	Genere	Osservati	Attesi	Cluster sign.	SIR cluster	Tasso std. * 100000 (ic)	Tasso std. > Tasso reg.	SIR (ic)	BIR (ic)	SIR sign.	BIR sign.	Trend	Livello attenzione
Causa (ICD-IX)													
Malattie del sistema nervoso e degli organi di senso (G00-H95)	M	<5	<5	.	.	11 (1-76)	.	27 (6-121)	96 (72-123)	.	.	n.c.	1
Malattie del sistema nervoso e degli organi di senso (G00-H95)	M + F	7	8	.	.	38 (17-79)	.	87 (47-160)	92 (72-115)	.	.	n.c.	1
Morbo di Parkinson (G20)	F	<5	<5	.	.	10 (0-58)	.	141 (31-632)	108 (72-156)	.	.	n.c.	1
Morbo di Parkinson (G20)	M	0	1	.	.	0 (0-59)	.	0 (.-.)	92 (65-123)	.	.	n.c.	1
Morbo di Parkinson (G20)	M + F	<5	<5	.	.	5 (0-36)	.	67 (15-299)	97 (72-130)	.	.	n.c.	1
Malattia di Alzheimer (G30)	F	<5	<5	.	.	40 (13-100)	.	167 (75-372)	104 (66-160)	.	.	n.c.	1
Malattia di Alzheimer (G30)	M	0	1	.	.	0 (0-59)	.	0 (.-.)	84 (49-135)	.	.	n.c.	1
Malattia di Alzheimer (G30)	M + F	<5	<5	.	.	20 (7-56)	.	104 (47-232)	94 (62-138)	.	.	n.c.	1
Epilessia (G40)	F	0	0	.	.	0 (0-43)	.	0 (.-.)	66 (34-118)	.	.	n.c.	1
Epilessia (G40)	M	0	0	.	.	0 (0-59)	.	0 (.-.)	98 (52-163)	.	.	n.c.	1
Epilessia (G40)	M + F	0	0	.	.	0 (0-29)	.	0 (.-.)	82 (45-140)	.	.	n.c.	1
Malattia dei neuroni motori (G122)	F	0	0	.	.	0 (0-43)	.	0 (.-.)	82 (26-223)	.	.	n.c.	1
Malattia dei neuroni motori (G122)	M	0	0	.	.	0 (0-59)	.	0 (.-.)	99 (51-177)	.	.	n.c.	1
Malattia dei neuroni motori (G122)	M + F	0	1	.	.	0 (0-29)	.	0 (.-.)	87 (37-184)	.	.	n.c.	1
Sclerosi multipla (G35)	F	0	0	.	.	0 (0-43)	.	0 (.-.)	71 (33-132)	.	.	n.c.	1
Sclerosi multipla (G35)	M	0	0	.	.	0 (0-59)	.	0 (.-.)	54 (8-172)	.	.	n.c.	1

Tabella 12A - Montefano	Genere	Osservati	Attesi	Cluster sign.	SIR cluster	Tasso std. * 100000 (ic)	Tasso std. > Tasso reg.	SIR (ic)	BIR (ic)	SIR sign.	BIR sign.	Trend	Livello attenzione
Causa (ICD-IX)													
Sclerosi multipla (G35)	M + F	0	0	.	.	0 (0-29)	.	0 (-.)	70 (38-119)	.	.	n.c.	1
Neuropatie tossiche e infiammatorie non specificate (G619, G629)	F	0	0	.	.	0 (0-43)	.	0 (-.)	12 (0-119)	.	.	n.c.	1
Neuropatie tossiche e infiammatorie non specificate (G619, G629)	M	0	0	.	.	0 (0-59)	.	0 (-.)	123 (23-374)	.	.	n.c.	1
Neuropatie tossiche e infiammatorie non specificate (G619, G629)	M + F	0	0	.	.	0 (0-29)	.	0 (-.)	72 (11-216)	.	.	n.c.	1
Malattie dell'apparato circolatorio (I00-I99)	F	57	43	.	.	589 (463-743)	↑	133 (107-165)	108 (97-121)	↑	.	→	3 😊
Malattie dell'apparato circolatorio (I00-I99)	M	32	34	.	.	354 (258-489)	.	95 (71-126)	99 (87-111)	.	.	→	1
Malattie dell'apparato circolatorio (I00-I99)	M + F	89	77	.	.	474 (393-573)	.	116 (97-138)	105 (95-117)	.	.	→	1
Malattia ipertensiva (I10-I15)	F	>5	>5	.	.	47 (18-109)	.	108 (53-223)	79 (50-123)	.	.	n.c.	1
Malattia ipertensiva (I10-I15)	M	<5	<5	.	.	11 (1-75)	.	36 (8-162)	77 (43-127)	.	.	n.c.	1
Malattia ipertensiva (I10-I15)	M + F	6	7	.	.	29 (12-68)	.	81 (42-157)	76 (49-115)	.	.	n.c.	1
Malattie ischemiche del cuore (I20-I25)	F	10	15	.	.	87 (46-159)	.	67 (40-113)	94 (72-119)	.	.	n.c.	1
Malattie ischemiche del cuore (I20-I25)	M	12	14	.	.	132 (76-230)	.	88 (55-141)	93 (75-114)	.	.	n.c.	1
Malattie ischemiche del cuore (I20-I25)	M + F	22	28	.	.	109 (73-164)	.	77 (55-110)	91 (73-112)	.	.	n.c.	1
Infarto miocardico acuto (I21-I22)	F	0	4	.	.	0 (0-43)	.	0 (-.)	77 (46-120)	.	.	n.c.	1
Infarto miocardico acuto (I21-I22)	M	6	5	.	.	70 (30-154)	.	133 (69-257)	89 (61-129)	.	.	n.c.	1
Infarto miocardico acuto (I21-I22)	M + F	6	8	.	.	34 (15-75)	.	72 (37-139)	83 (55-122)	.	.	n.c.	1



Tabella 12A - Montefano	Genere	Osservati	Attesi	Cluster sign.	SIR cluster	Tasso std. * 100000 (ic)	Tasso std. > Tasso reg.	SIR (ic)	BIR (ic)	SIR sign.	BIR sign.	Trend	Livello attenzione
Causa (ICD-IX)													
Malattie cerebrovascolari (I60-I69)	F	25	11	2	127	272 (187-386)	↑	229 (165-318)	124 (99-160)	↑	.	→	3 
Malattie cerebrovascolari (I60-I69)	M	10	9	.	.	107 (58-198)	.	114 (68-190)	103 (82-129)	.	.	→	1
Malattie cerebrovascolari (I60-I69)	M + F	35	20	.	.	191 (141-260)	↑	178 (135-234)	123 (101-152)	↑	↑	→	5 
Malattie dell'apparato respiratorio (J00-J99)	F	5	6	.	.	54 (21-122)	.	84 (41-172)	95 (72-124)	.	.	n.c.	1
Malattie dell'apparato respiratorio (J00-J99)	M	7	8	.	.	82 (38-169)	.	91 (50-168)	99 (78-123)	.	.	n.c.	1
Malattie dell'apparato respiratorio (J00-J99)	M + F	12	14	.	.	68 (39-117)	.	88 (55-141)	98 (78-122)	.	.	n.c.	1
Malattie respiratorie acute (J00-J06, J10-J18, J20-J22)	F	<5	<5	.	.	13 (1-66)	.	55 (12-246)	94 (56-151)	.	.	n.c.	1
Malattie respiratorie acute (J00-J06, J10-J18, J20-J22)	M	0	2	.	.	0 (0-59)	.	0 (-.)	73 (36-141)	.	.	n.c.	1
Malattie respiratorie acute (J00-J06, J10-J18, J20-J22)	M + F	<5	<5	.	.	7 (0-39)	.	29 (6-129)	83 (50-133)	.	.	n.c.	1
Malattie croniche dell'apparato respiratorio (BCPO) (J41-J44, J47)	F	<5	<5	.	.	19 (3-72)	.	88 (29-267)	82 (52-127)	.	.	n.c.	1
Malattie croniche dell'apparato respiratorio (BCPO) (J41-J44, J47)	M	<5	<5	.	.	41 (14-113)	.	100 (45-222)	95 (72-127)	.	.	n.c.	1
Malattie croniche dell'apparato respiratorio (BCPO) (J41-J44, J47)	M + F	6	6	.	.	30 (13-68)	.	96 (50-185)	92 (67-123)	.	.	n.c.	1
Asma (J45)	F	0	0	.	.	0 (0-43)	.	0 (-.)	106 (36-229)	.	.	n.c.	1
Asma (J45)	M	0	0	.	.	0 (0-59)	.	0 (-.)	107 (26-259)	.	.	n.c.	1
Asma (J45)	M + F	0	0	.	.	0 (0-29)	.	0 (-.)	115 (58-194)	.	.	n.c.	1
Pneumoconiosi (J60-J64)	M	0	0	.	.	0 (0-59)	.	0 (-.)	29 (4-122)	.	.	n.c.	1

Tabella 12A - Montefano	Genere	Osservati	Attesi	Cluster sign.	SIR cluster	Tasso std. * 100000 (ic)	Tasso std. > Tasso reg.	SIR (ic)	BIR (ic)	SIR sign.	BIR sign.	Trend	Livello attenzione
Causa (ICD-IX)													
Pneumoconiosi (J60-J64)	M + F	0	0	.	.	0 (0-29)	.	0 (.-.)	29 (4-122)	.	.	n.c.	1
Malattie dell'apparato digerente (K00-K93)	F	<5	<5	2	132	40 (11-105)	.	92 (37-229)	98 (82-116)	.	.	n.c.	1
Malattie dell'apparato digerente (K00-K93)	M	>5	<5	.	.	61 (24-144)	.	156 (76-320)	100 (85-123)	.	.	n.c.	1
Malattie dell'apparato digerente (K00-K93)	M + F	8	7	2	123	50 (25-97)	.	123 (69-219)	102 (85-124)	.	.	n.c.	1
Cirrosi e altre malattie croniche del fegato (K70, K73-K74)	F	0	0	.	.	0 (0-43)	.	0 (.-.)	75 (43-117)	.	.	n.c.	1
Cirrosi e altre malattie croniche del fegato (K70, K73-K74)	M	<5	<5	.	.	14 (1-81)	.	112 (25-503)	96 (76-122)	.	.	n.c.	1
Cirrosi e altre malattie croniche del fegato (K70, K73-K74)	M + F	<5	<5	.	.	7 (0-40)	.	82 (18-369)	89 (66-117)	.	.	n.c.	1
Nefropatie croniche e acute (N00-N12)	F	0	0	.	.	0 (0-43)	.	0 (.-.)	101 (41-212)	.	.	n.c.	1
Nefropatie croniche e acute (N00-N12)	M	0	0	.	.	0 (0-59)	.	0 (.-.)	136 (47-319)	.	.	n.c.	1
Nefropatie croniche e acute (N00-N12)	M + F	0	0	.	.	0 (0-29)	.	0 (.-.)	113 (26-295)	.	.	n.c.	1
Malattie dell'apparato genito-urinario (N00-N99)	F	<5	<5	2	148	35 (9-97)	.	149 (60-374)	127 (89-179)	.	.	n.c.	1
Malattie dell'apparato genito-urinario (N00-N99)	M	<5	<5	.	.	12 (1-76)	.	53 (12-239)	107 (71-159)	.	.	n.c.	1
Malattie dell'apparato genito-urinario (N00-N99)	M + F	<5	<5	.	.	24 (8-62)	.	103 (46-229)	119 (86-160)	.	.	n.c.	1
Insufficienza renale acuta e cronica (N17-N19)	F	<5	<5	2	142	13 (1-66)	.	60 (13-270)	110 (78-155)	.	.	n.c.	1
Insufficienza renale acuta e cronica (N17-N19)	M	0	1	.	.	0 (0-59)	.	0 (.-.)	101 (66-144)	.	.	n.c.	1
Insufficienza renale acuta e cronica (N17-N19)	M + F	<5	<5	.	.	7 (0-39)	.	33 (7-146)	108 (76-145)	.	.	n.c.	1

Tabella 12A - Montefano	Genere	Osservati	Attesi	Cluster sign.	SIR cluster	Tasso std. * 100000 (ic)	Tasso std. > Tasso reg.	SIR (ic)	BIR (ic)	SIR sign.	BIR sign.	Trend	Livello attenzione
Causa (ICD-IX)													
Malformazioni congenite (Q00-Q99)	F	0	0	.	.	0 (0-43)	.	0 (.-.)	58 (14-193)	'	'	n.c.	1
Malformazioni congenite (Q00-Q99)	M	0	0	.	.	0 (0-59)	.	0 (.-.)	78 (19-251)	'	'	n.c.	1
Malformazioni congenite (Q00-Q99)	M + F	0	0	.	.	0 (0-29)	.	0 (.-.)	73 (22-208)	'	'	n.c.	1
Sintomi, segni e stati morbosi mal definiti (R00-R99)	F	0	2	.	.	0 (0-43)	.	0 (.-.)	52 (17-138)	'	'	n.c.	1
Sintomi, segni e stati morbosi mal definiti (R00-R99)	M	<5	<5	.	.	11 (1-75)	.	144 (32-646)	120 (40-301)	'	'	n.c.	1
Sintomi, segni e stati morbosi mal definiti (R00-R99)	M + F	<5	<5	.	.	5 (0-36)	.	40 (9-181)	68 (26-161)	'	'	n.c.	1
Traumatismi e avvelenamenti (S00-T98)	F	<5	<5	.	.	26 (5-85)	.	61 (20-186)	96 (69-130)	'	'	n.c.	1
Traumatismi e avvelenamenti (S00-T98)	M	<5	>5	.	.	34 (9-106)	.	62 (25-155)	100 (84-116)	'	'	n.c.	1
Traumatismi e avvelenamenti (S00-T98)	M + F	5	8	.	.	30 (12-70)	.	62 (30-127)	97 (79-117)	'	'	n.c.	1

Tabella 13A. Decessi per causa nel comune di Montegranaro, tutte le età, periodo di osservazione 2009-2013



Tabella 13A - Montegranaro	Genere	Osservati	Attesi	Cluster sign.	SIR cluster	Tasso std. * 100000 (ic)	Tasso std. > Tasso reg.	SIR (ic)	BIR (ic)	SIR sign.	BIR sign.	Trend	Livello attenzione
Causa (ICD-IX)													
Mortalità generale (escluse cause violente) (A00-R99)	F	258	290	.	.	936 (839-1048)	.	89 (80-99)	96 (89-102)	↓	.	↓	0 
Mortalità generale (escluse cause violente) (A00-R99)	M	298	303	.	.	1023 (927-1129)	.	98 (89-108)	99 (92-106)	.	.	→	1
Mortalità generale (escluse cause violente) (A00-R99)	M + F	556	593	.	.	978 (909-1054)	.	94 (87-101)	96 (91-101)	.	.	↓	0 
Mortalità per cause esterne o violente (S00-Y99)	F	9	11	2	131	29 (15-63)	.	86 (50-147)	100 (74-130)	.	.	n.c.	1
Mortalità per cause esterne o violente (S00-Y99)	M	14	16	.	.	47 (28-78)	.	86 (55-133)	97 (82-111)	.	.	n.c.	1
Mortalità per cause esterne o violente (S00-Y99)	M + F	23	27	.	.	38 (26-59)	.	86 (61-121)	98 (82-114)	.	.	n.c.	1
Malattie infettive (A00-B99)	F	<5	>5	2	153	13 (5-45)	.	69 (31-155)	99 (67-137)	.	.	n.c.	1
Malattie infettive (A00-B99)	M	<5	>5	.	.	11 (3-32)	.	51 (20-128)	103 (83-127)	.	.	n.c.	1
Malattie infettive (A00-B99)	M + F	7	12	.	.	12 (6-29)	.	60 (33-111)	98 (72-127)	.	.	n.c.	1
Epatite virale (B17-B19)	F	0	1	.	.	0 (0-29)	.	0 (-.)	112 (69-162)	.	.	n.c.	1
Epatite virale (B17-B19)	M	0	1	.	.	0 (0-17)	.	0 (-.)	95 (48-143)	.	.	n.c.	1
Epatite virale (B17-B19)	M + F	0	2	.	.	0 (0-15)	.	0 (-.)	106 (71-134)	.	.	n.c.	1
Tutti i tumori (C00-D48)	F	68	81	.	.	232 (187-294)	.	84 (69-103)	99 (91-106)	.	.	→	1
Tutti i tumori (C00-D48)	M	121	110	.	.	401 (343-470)	.	110 (95-128)	102 (93-112)	.	.	→	1
Tutti i tumori (C00-D48)	M + F	189	191	.	.	314 (277-359)	.	99 (88-112)	99 (92-107)	.	.	→	1
Tumori maligni delle vie aeree e digestive superiori (C00-C15, C32)	F	0	1	.	.	0 (0-29)	.	0 (-.)	110 (78-144)	.	.	n.c.	1





Tabella 13A - Montegranaro													
Causa (ICD-IX)	Genere	Osservati	Attesi	Cluster sign.	SIR cluster	Tasso std. * 100000 (ic)	Tasso std. > Tasso reg.	SIR (ic)	BIR (ic)	SIR sign.	BIR sign.	Trend	Livello attenzione
Tumori maligni delle vie aeree e digestive superiori (C00-C15, C32)	M	<5	<5	.	.	3 (0-21)	.	26 (6-116)	76 (53-103)	.	.	n.c.	1
Tumori maligni delle vie aeree e digestive superiori (C00-C15, C32)	M + F	<5	>5	.	.	2 (0-17)	.	20 (4-89)	81 (58-106)	↓	.	n.c.	0 
Tumori maligni (C00-C97)	F	67	77	.	.	227 (182-287)	.	87 (71-106)	99 (90-106)	.	.	→	1
Tumori maligni (C00-C97)	M	113	105	.	.	374 (318-441)	.	108 (92-126)	101 (93-110)	.	.	→	1
Tumori maligni (C00-C97)	M + F	180	182	.	.	298 (262-342)	.	99 (88-112)	99 (92-106)	.	.	→	1
Tumori maligni dell'esofago (C15)	F	0	0	.	.	0 (0-29)	.	0 (-.)	108 (35-185)	.	.	n.c.	1
Tumori maligni dell'esofago (C15)	M	0	1	.	.	0 (0-17)	.	0 (-.)	79 (40-122)	.	.	n.c.	1
Tumori maligni dell'esofago (C15)	M + F	0	1	.	.	0 (0-15)	.	0 (-.)	78 (32-130)	.	.	n.c.	1
Tumori maligni dello stomaco (C16)	F	6	6	.	.	22 (9-57)	.	100 (52-194)	99 (81-122)	.	.	n.c.	1
Tumori maligni dello stomaco (C16)	M	16	8	2	167	51 (32-82)	↑	197 (131-297)	126 (97-170)	↑	.	n.c.	3 
Tumori maligni dello stomaco (C16)	M + F	22	14	2	124	36 (24-58)	↑	156 (110-221)	117 (96-147)	↑	.	→	3 
Tumori maligni dell'intestino tenue, compreso il duodeno (C17)	F	0	0	.	.	0 (0-29)	.	0 (-.)	62 (15-154)	.	.	n.c.	1
Tumori maligni dell'intestino tenue, compreso il duodeno (C17)	M	<5	<5	.	.	3 (0-21)	.	423 (94-1897)	122 (56-282)	.	.	n.c.	1
Tumori maligni dell'intestino tenue, compreso il duodeno (C17)	M + F	<5	<5	.	.	1 (0-16)	.	313 (70-1401)	0 (0-0)	.	↓	n.c.	0 
Tumori maligni del colon (C18)	F	5	8	.	.	21 (8-56)	.	66 (32-135)	97 (78-117)	.	.	n.c.	1
Tumori maligni del colon (C18)	M	14	10	.	.	45 (27-74)	.	143 (93-222)	108 (87-135)	.	.	n.c.	1

Tabella 13A - Montegranaro													
Causa (ICD-IX)	Genere	Osservati	Attesi	Cluster sign.	SIR cluster	Tasso std. * 100000 (ic)	Tasso std. > Tasso reg.	SIR (ic)	BIR (ic)	SIR sign.	BIR sign.	Trend	Livello attenzione
Tumori maligni del colon (C18)	M + F	19	17	.	.	32 (21-53)	.	109 (75-159)	103 (84-125)	.	.	n.c.	1
Tumori maligni del retto, della giunzione retto-sigmoidea e dell'ano (C19-C21)	F	<5	<5	.	.	15 (5-48)	.	183 (82-408)	116 (78-183)	.	.	n.c.	1
Tumori maligni del retto, della giunzione retto-sigmoidea e dell'ano (C19-C21)	M	<5	<5	.	.	7 (1-27)	.	66 (22-199)	73 (44-111)	.	.	n.c.	1
Tumori maligni del retto, della giunzione retto-sigmoidea e dell'ano (C19-C21)	M + F	6	5	.	.	11 (5-29)	.	115 (59-222)	96 (68-135)	.	.	n.c.	1
Tumore fegato e dotti biliari (C22)	F	<5	<5	.	.	13 (5-45)	.	189 (85-420)	99 (77-136)	.	.	n.c.	1
Tumore fegato e dotti biliari (C22)	M	<5	>5	.	.	15 (5-38)	.	84 (38-187)	96 (67-133)	.	.	n.c.	1
Tumore fegato e dotti biliari (C22)	M + F	8	7	.	.	14 (7-32)	.	116 (65-206)	101 (74-136)	.	.	→	1
Tumori maligni del pancreas (C25)	F	<5	>5	.	.	10 (3-40)	.	53 (21-132)	97 (79-114)	.	.	n.c.	1
Tumori maligni del pancreas (C25)	M	>5	>5	.	.	26 (13-51)	.	130 (73-230)	100 (82-119)	.	.	n.c.	1
Tumori maligni del pancreas (C25)	M + F	11	12	.	.	17 (10-35)	.	93 (57-152)	96 (80-112)	.	.	→	1
Tumore del retroperitoneo (C48)	F	0	0	.	.	0 (0-29)	.	0 (.-.)	95 (55-148)	.	.	n.c.	1
Tumore del retroperitoneo (C48)	M	0	0	.	.	0 (0-17)	.	0 (.-.)	98 (34-189)	.	.	n.c.	1
Tumore del retroperitoneo (C48)	M + F	0	1	.	.	0 (0-15)	.	0 (.-.)	109 (69-147)	.	.	n.c.	1
Tumori maligni della laringe (C32)	F	0	0	.	.	0 (0-29)	.	0 (.-.)	101 (38-204)	.	.	n.c.	1
Tumori maligni della laringe (C32)	M	0	2	.	.	0 (0-17)	.	0 (.-.)	87 (54-124)	.	.	n.c.	1
Tumori maligni della laringe (C32)	M + F	0	2	.	.	0 (0-15)	.	0 (.-.)	86 (52-123)	.	.	n.c.	1

Tabella 13A - Montegranaro													
Causa (ICD-IX)	Genere	Osservati	Attesi	Cluster sign.	SIR cluster	Tasso std. * 100000 (ic)	Tasso std. > Tasso reg.	SIR (ic)	BIR (ic)	SIR sign.	BIR sign.	Trend	Livello attenzione
Tumori maligni della trachea, dei bronchi e dei polmoni (C33-C34)	F	5	8	.	.	16 (6-47)	.	64 (31-131)	90 (62-120)	.	.	n.c.	1
Tumori maligni della trachea, dei bronchi e dei polmoni (C33-C34)	M	26	26	.	.	88 (61-125)	.	102 (74-140)	100 (85-116)	.	.	→	1
Tumori maligni della trachea, dei bronchi e dei polmoni (C33-C34)	M + F	31	34	.	.	50 (36-73)	.	93 (69-124)	95 (81-110)	.	.	→	1
Mesotelioma (pleura, peritoneo, endocardio, ecc.) (C45)	F	<5	<5	.	.	3 (0-33)	.	244 (54-1093)	114 (61-225)	.	.	n.c.	1
Mesotelioma (pleura, peritoneo, endocardio, ecc.) (C45)	M	<5	<5	.	.	4 (0-22)	.	88 (20-393)	63 (24-142)	.	.	n.c.	1
Mesotelioma (pleura, peritoneo, endocardio, ecc.) (C45)	M + F	<5	<5	.	.	4 (1-19)	.	129 (43-390)	91 (49-169)	.	.	n.c.	1
Tumori maligni delle ossa e della cartilagine articolare (C40-C41)	F	0	0	.	.	0 (0-29)	.	0 (-.)	107 (31-249)	.	.	n.c.	1
Tumori maligni delle ossa e della cartilagine articolare (C40-C41)	M	0	0	.	.	0 (0-17)	.	0 (-.)	82 (25-204)	.	.	n.c.	1
Tumori maligni delle ossa e della cartilagine articolare (C40-C41)	M + F	0	0	.	.	0 (0-15)	.	0 (-.)	88 (27-201)	.	.	n.c.	1
Tumori maligni del connettivo e di altri tessuti molli (C49)	F	0	1	.	.	0 (0-29)	.	0 (-.)	102 (62-150)	.	.	n.c.	1
Tumori maligni del connettivo e di altri tessuti molli (C49)	M	0	1	.	.	0 (0-17)	.	0 (-.)	92 (61-134)	.	.	n.c.	1
Tumori maligni del connettivo e di altri tessuti molli (C49)	M + F	0	1	.	.	0 (0-15)	.	0 (-.)	99 (71-135)	.	.	n.c.	1
Melanoma maligno della pelle (C43)	F	<5	<5	.	.	3 (0-33)	.	119 (27-534)	99 (70-141)	.	.	n.c.	1
Melanoma maligno della pelle (C43)	M	<5	<5	.	.	3 (0-21)	.	87 (19-392)	94 (63-134)	.	.	n.c.	1
Melanoma maligno della pelle (C43)	M + F	<5	<5	.	.	3 (1-19)	.	101 (33-305)	96 (72-127)	.	.	n.c.	1
Tumori maligni della mammella (C50)	F	8	13	.	.	25 (12-58)	.	63 (36-113)	104 (83-121)	.	.	n.c.	1

Tabella 13A - Montegranaro													
Causa (ICD-IX)	Genere	Osservati	Attesi	Cluster sign.	SIR cluster	Tasso std. * 100000 (ic)	Tasso std. > Tasso reg.	SIR (ic)	BIR (ic)	SIR sign.	BIR sign.	Trend	Livello attenzione
Tumori maligni della mammella (C50)	M + F	8	13	.	.	13 (6-30)	.	63 (35-111)	103 (83-122)	.	.	n.c.	1
Tumori maligni dell'utero (C53-C55)	F	<5	<5	.	.	6 (1-36)	.	67 (22-204)	91 (66-117)	.	.	n.c.	1
Tumori maligni del corpo dell'utero (C54)	F	0	1	.	.	0 (0-29)	.	0 (-.)	81 (37-137)	.	.	n.c.	1
Tumori maligni dell'ovaio e degli altri annessi uterini (C56-C57)	F	<5	<5	.	.	6 (1-36)	.	60 (20-181)	96 (68-124)	.	.	n.c.	1
Tumore della prostata (C61)	M	<5	>5	.	.	13 (4-35)	.	48 (22-107)	98 (79-113)	.	.	n.c.	1
Tumore del testicolo (C62)	M	0	0	.	.	0 (0-17)	.	0 (-.)	89 (22-239)	.	.	n.c.	1
Tumori maligni della vescica (C67)	F	<5	<5	.	.	3 (0-33)	.	80 (18-361)	105 (71-143)	.	.	n.c.	1
Tumori maligni della vescica (C67)	M	7	5	.	.	25 (11-51)	.	146 (79-269)	99 (82-121)	.	.	n.c.	1
Tumori maligni della vescica (C67)	M + F	8	6	.	.	14 (7-31)	.	133 (75-235)	102 (88-118)	.	.	n.c.	1
Tumori maligni del rene e di altri e non specificati organi urinari (C64-C66, C68)	F	<5	<5	.	.	3 (0-32)	.	60 (13-270)	80 (45-126)	.	.	n.c.	1
Tumori maligni del rene e di altri e non specificati organi urinari (C64-C66, C68)	M	<5	<5	.	.	10 (3-31)	.	90 (36-225)	90 (64-122)	.	.	n.c.	1
Tumori maligni del rene e di altri e non specificati organi urinari (C64-C66, C68)	M + F	<5	>5	.	.	6 (2-22)	.	80 (36-178)	88 (63-115)	.	.	n.c.	1
tumore del sistema nervoso centrale (C70-C72,D33)	F	<5	<5	.	.	9 (2-39)	.	174 (70-436)	99 (75-137)	.	.	n.c.	1
tumore del sistema nervoso centrale (C70-C72,D33)	M	<5	<5	.	.	10 (3-31)	.	105 (42-263)	104 (68-153)	.	.	n.c.	1
tumore del sistema nervoso centrale (C70-C72,D33)	M + F	6	5	.	.	10 (4-26)	.	131 (68-253)	103 (87-126)	.	.	n.c.	1
Tumori maligni dell'encefalo (C71)	F	<5	<5	.	.	9 (2-39)	.	182 (73-456)	97 (78-124)	.	.	n.c.	1

Tabella 13A - Montegranaro													
Causa (ICD-IX)	Genere	Osservati	Attesi	Cluster sign.	SIR cluster	Tasso std. * 100000 (ic)	Tasso std. > Tasso reg.	SIR (ic)	BIR (ic)	SIR sign.	BIR sign.	Trend	Livello attenzione
Tumori maligni dell'encefalo (C71)	M	<5	<5	.	.	10 (3-31)	.	107 (43-268)	104 (72-143)	.	.	n.c.	1
Tumori maligni dell'encefalo (C71)	M + F	6	4	.	.	10 (4-26)	.	135 (70-261)	103 (88-122)	.	.	n.c.	1
Tumori maligni della ghiandola tiroide (C73)	F	0	0	.	.	0 (0-29)	.	0 (.-.)	120 (62-190)	.	.	n.c.	1
Tumori maligni della ghiandola tiroide (C73)	M	<5	<5	.	.	3 (0-21)	.	361 (80-1616)	102 (66-155)	.	.	n.c.	1
Tumori maligni della ghiandola tiroide (C73)	M + F	<5	<5	.	.	2 (0-17)	.	147 (33-661)	117 (82-169)	.	.	n.c.	1
Tumori emolinfopoiectici (C81-C96)	F	7	7	.	.	23 (11-56)	.	94 (51-174)	101 (88-116)	.	.	n.c.	1
Tumori emolinfopoiectici (C81-C96)	M	8	9	.	.	27 (13-52)	.	87 (49-154)	102 (89-115)	.	.	n.c.	1
Tumori emolinfopoiectici (C81-C96)	M + F	15	17	.	.	25 (15-44)	.	90 (59-138)	102 (92-112)	.	.	→	1
Malattia di Hodgkin (C81)	F	0	0	.	.	0 (0-29)	.	0 (.-.)	93 (27-200)	.	.	n.c.	1
Malattia di Hodgkin (C81)	M	0	0	.	.	0 (0-17)	.	0 (.-.)	102 (47-168)	.	.	n.c.	1
Malattia di Hodgkin (C81)	M + F	0	0	.	.	0 (0-15)	.	0 (.-.)	100 (42-172)	.	.	n.c.	1
Linfoma non Hodgkin (C82-C85)	F	<5	<5	.	.	13 (4-44)	.	177 (79-394)	99 (78-128)	.	.	n.c.	1
Linfoma non Hodgkin (C82-C85)	M	<5	<5	.	.	13 (4-35)	.	122 (55-272)	109 (90-130)	.	.	n.c.	1
Linfoma non Hodgkin (C82-C85)	M + F	8	6	.	.	13 (6-30)	.	145 (81-256)	105 (86-129)	.	.	n.c.	1
Mieloma multiplo e tumori immunoproliferativi (C88, C90)	F	1	2	.	.	3 (0-32)	.	55 (12-245)	93 (65-120)	.	.	n.c.	1
Mieloma multiplo e tumori immunoproliferativi (C88, C90)	M	<5	<5	.	.	6 (1-26)	.	101 (34-307)	99 (70-140)	.	.	n.c.	1

Tabella 13A - Montegranaro													
Causa (ICD-IX)	Genere	Osservati	Attesi	Cluster sign.	SIR cluster	Tasso std. * 100000 (ic)	Tasso std. > Tasso reg.	SIR (ic)	BIR (ic)	SIR sign.	BIR sign.	Trend	Livello attenzione
Mieloma multiplo e tumori immunoproliferativi (C88, C90)	M + F	<5	<5	.	.	5 (1-20)	.	79 (32-197)	95 (69-126)	.	.	n.c.	1
Leucemie (C91-C95)	F	<5	<5	.	.	7 (1-37)	.	65 (22-197)	105 (77-134)	.	.	n.c.	1
Leucemie (C91-C95)	M	<5	<5	.	.	7 (1-27)	.	54 (18-165)	92 (63-125)	.	.	n.c.	1
Leucemie (C91-C95)	M + F	<5	>5	.	.	7 (2-23)	.	59 (27-132)	101 (82-119)	.	.	n.c.	1
Leucemia linfoide (acuta e cronica) (C91)	F	0	1	.	.	0 (0-29)	.	0 (-.)	115 (80-149)	.	.	n.c.	1
Leucemia linfoide (acuta e cronica) (C91)	M	0	1	.	.	0 (0-17)	.	0 (-.)	105 (72-140)	.	.	n.c.	1
Leucemia linfoide (acuta e cronica) (C91)	M + F	0	2	.	.	0 (0-15)	.	0 (-.)	110 (85-132)	.	.	n.c.	1
Leucemia mieloide (acuta e cronica) (C92)	F	<5	<5	.	.	3 (0-33)	.	75 (17-337)	101 (69-135)	.	.	n.c.	1
Leucemia mieloide (acuta e cronica) (C92)	M	<5	<5	.	.	4 (0-22)	.	64 (14-288)	87 (54-121)	.	.	n.c.	1
Leucemia mieloide (acuta e cronica) (C92)	M + F	<5	<5	.	.	3 (1-19)	.	69 (23-209)	90 (64-122)	.	.	n.c.	1
Malattie del sangue e degli organi emopoietici (D50-D77)	F	<5	<5	.	.	12 (3-45)	.	167 (67-417)	106 (71-153)	.	.	n.c.	1
Malattie del sangue e degli organi emopoietici (D50-D77)	M	<5	<5	.	.	4 (0-22)	.	86 (19-386)	95 (68-127)	.	.	n.c.	1
Malattie del sangue e degli organi emopoietici (D50-D77)	M + F	<5	<5	.	.	8 (3-25)	.	135 (61-301)	102 (78-131)	.	.	n.c.	1
Malattie endocrine, della nutrizione ed immunitarie (E00-E90, D80-D89)	F	8	12	.	.	29 (14-64)	.	64 (36-114)	88 (68-111)	.	.	n.c.	1
Malattie endocrine, della nutrizione ed immunitarie (E00-E90, D80-D89)	M	15	11	.	.	50 (31-81)	.	133 (87-202)	103 (79-132)	.	.	n.c.	1
Malattie endocrine, della nutrizione ed immunitarie (E00-E90, D80-D89)	M + F	23	24	.	.	39 (27-61)	.	97 (69-136)	94 (76-115)	.	.	→	1

Tabella 13A - Montegranaro													
Causa (ICD-IX)	Genere	Osservati	Attesi	Cluster sign.	SIR cluster	Tasso std. * 100000 (ic)	Tasso std. > Tasso reg.	SIR (ic)	BIR (ic)	SIR sign.	BIR sign.	Trend	Livello attenzione
Tireotossicosi (E05)	F	0	0	.	.	0 (0-29)	.	0 (-.)	102 (36-229)	.	.	n.c.	1
Tireotossicosi (E05)	M	0	0	.	.	0 (0-17)	.	0 (-.)	64 (0-245)	.	.	n.c.	1
Tireotossicosi (E05)	M + F	0	0	.	.	0 (0-15)	.	0 (-.)	100 (25-205)	.	.	n.c.	1
Ipotiroidismo (E00-E03)	F	0	0	.	.	0 (0-29)	.	0 (-.)	80 (20-193)	.	.	n.c.	1
Ipotiroidismo (E00-E03)	M	0	0	.	.	0 (0-17)	.	0 (-.)	58 (11-161)	.	.	n.c.	1
Ipotiroidismo (E00-E03)	M + F	0	0	.	.	0 (0-15)	.	0 (-.)	83 (29-163)	.	.	n.c.	1
Diabete mellito (E10-E14)	F	8	9	.	.	29 (14-64)	.	89 (50-157)	94 (71-122)	.	.	n.c.	1
Diabete mellito (E10-E14)	M	12	8	.	.	40 (23-69)	.	142 (89-228)	100 (75-133)	.	.	n.c.	1
Diabete mellito (E10-E14)	M + F	20	17	.	.	34 (23-56)	.	115 (80-165)	98 (77-124)	.	.	→	1
Demenze (F00-F01, F020-F023, F03, G30, G310)	F	15	19	.	.	59 (35-102)	.	79 (52-121)	84 (62-110)	.	.	→	1
Demenze (F00-F01, F020-F023, F03, G30, G310)	M	15	11	.	.	53 (33-85)	.	143 (94-218)	100 (73-137)	.	.	n.c.	1
Demenze (F00-F01, F020-F023, F03, G30, G310)	M + F	30	29	.	.	56 (40-82)	.	102 (76-138)	93 (73-117)	.	.	→	1
Malattie neuro-psichiatriche (escluse tossicod.) (F00-F09, F20-F99)	F	8	10	.	.	32 (14-71)	.	77 (43-136)	76 (49-113)	.	.	n.c.	1
Malattie neuro-psichiatriche (escluse tossicod.) (F00-F09, F20-F99)	M	5	6	.	.	18 (7-42)	.	87 (42-179)	69 (44-108)	.	.	n.c.	1
Malattie neuro-psichiatriche (escluse tossicod.) (F00-F09, F20-F99)	M + F	13	16	.	.	25 (14-47)	.	80 (51-126)	74 (52-104)	.	.	→	1
Malattie del sistema nervoso e degli organi di senso (G00-H95)	F	19	17	.	.	66 (43-107)	.	113 (78-164)	106 (85-132)	.	.	→	1

Tabella 13A - Montegranaro													
Causa (ICD-IX)	Genere	Osservati	Attesi	Cluster sign.	SIR cluster	Tasso std. * 100000 (ic)	Tasso std. > Tasso reg.	SIR (ic)	BIR (ic)	SIR sign.	BIR sign.	Trend	Livello attenzione
Malattie del sistema nervoso e degli organi di senso (G00-H95)	M	17	13	.	.	58 (37-91)	.	130 (87-193)	110 (89-138)	.	.	→	1
Malattie del sistema nervoso e degli organi di senso (G00-H95)	M + F	36	30	.	.	62 (46-87)	.	120 (92-158)	111 (93-132)	.	.	→	1
Morbo di Parkinson (G20)	F	<5	<5	.	.	10 (3-40)	.	140 (56-351)	103 (73-148)	.	.	n.c.	1
Morbo di Parkinson (G20)	M	<5	<5	.	.	7 (1-27)	.	73 (24-220)	102 (74-134)	.	.	n.c.	1
Morbo di Parkinson (G20)	M + F	5	5	.	.	8 (3-25)	.	102 (50-210)	105 (81-137)	.	.	n.c.	1
Malattia di Alzheimer (G30)	F	9	9	.	.	33 (17-69)	.	99 (58-170)	97 (69-137)	.	.	n.c.	1
Malattia di Alzheimer (G30)	M	10	5	.	.	35 (19-63)	↑	193 (116-324)	125 (86-189)	↑	.	n.c.	3 😊
Malattia di Alzheimer (G30)	M + F	19	14	.	.	34 (22-55)	.	133 (92-194)	113 (85-151)	.	.	→	1
Epilessia (G40)	F	0	1	.	.	0 (0-29)	.	0 (-.)	108 (62-165)	.	.	n.c.	1
Epilessia (G40)	M	0	1	.	.	0 (0-17)	.	0 (-.)	96 (55-149)	.	.	n.c.	1
Epilessia (G40)	M + F	0	1	.	.	0 (0-15)	.	0 (-.)	102 (55-152)	.	.	n.c.	1
Malattia dei neuroni motori (G122)	F	<5	<5	.	.	3 (0-33)	.	89 (20-397)	71 (28-161)	.	.	n.c.	1
Malattia dei neuroni motori (G122)	M	0	1	.	.	0 (0-17)	.	0 (-.)	84 (44-140)	.	.	n.c.	1
Malattia dei neuroni motori (G122)	M + F	<5	<5	.	.	2 (0-17)	.	42 (9-188)	70 (33-133)	.	.	n.c.	1
Sclerosi multipla (G35)	F	0	0	.	.	0 (0-29)	.	0 (-.)	104 (62-166)	.	.	n.c.	1
Sclerosi multipla (G35)	M	0	0	.	.	0 (0-17)	.	0 (-.)	80 (12-205)	.	.	n.c.	1





Tabella 13A - Montegranaro	Genere	Osservati	Attesi	Cluster sign.	SIR cluster	Tasso std. * 100000 (ic)	Tasso std. > Tasso reg.	SIR (ic)	BIR (ic)	SIR sign.	BIR sign.	Trend	Livello attenzione
Causa (ICD-IX)													
Sclerosi multipla (G35)	M + F	0	1	.	.	0 (0-15)	.	0 (-.)	103 (65-152)	.	.	n.c.	1
Neuropatie tossiche e infiammatorie non specificate (G619, G629)	F	0	0	.	.	0 (0-29)	.	0 (-.)	54 (4-270)	.	.	n.c.	1
Neuropatie tossiche e infiammatorie non specificate (G619, G629)	M	0	0	.	.	0 (0-17)	.	0 (-.)	43 (7-143)	.	.	n.c.	1
Neuropatie tossiche e infiammatorie non specificate (G619, G629)	M + F	0	0	.	.	0 (0-15)	.	0 (-.)	55 (10-144)	.	.	n.c.	1
Malattie dell'apparato circolatorio (I00-I99)	F	117	121	2	110	437 (370-520)	.	97 (83-113)	99 (91-109)	.	.	↓	0 
Malattie dell'apparato circolatorio (I00-I99)	M	112	111	.	.	400 (339-471)	.	101 (87-118)	101 (92-112)	.	.	→	1
Malattie dell'apparato circolatorio (I00-I99)	M + F	229	232	1	110	419 (373-473)	.	99 (89-110)	100 (92-108)	.	.	↓	0 
Malattia ipertensiva (I10-I15)	F	6	13	.	.	20 (9-53)	.	45 (23-87)	71 (49-101)	↓	.	↓	0 
Malattia ipertensiva (I10-I15)	M	10	9	.	.	38 (20-68)	.	114 (68-190)	103 (67-151)	.	.	n.c.	1
Malattia ipertensiva (I10-I15)	M + F	16	22	.	.	29 (18-49)	.	72 (48-109)	81 (59-109)	.	.	→	1
Malattie ischemiche del cuore (I20-I25)	F	43	40	.	.	155 (118-209)	.	108 (84-139)	100 (83-120)	.	.	↓	0 
Malattie ischemiche del cuore (I20-I25)	M	54	45	.	.	192 (151-244)	.	120 (96-151)	102 (86-119)	.	.	→	1
Malattie ischemiche del cuore (I20-I25)	M + F	97	85	.	.	173 (145-209)	.	115 (97-135)	104 (90-120)	.	.	→	1
Infarto miocardico acuto (I21-I22)	F	13	12	.	.	46 (27-85)	.	114 (72-178)	98 (68-138)	.	.	→	1
Infarto miocardico acuto (I21-I22)	M	17	16	.	.	60 (38-94)	.	104 (70-155)	98 (73-129)	.	.	→	1
Infarto miocardico acuto (I21-I22)	M + F	30	28	.	.	53 (38-77)	.	108 (80-146)	101 (77-129)	.	.	→	1






Tabella 13A - Montegranaro													
Causa (ICD-IX)	Genere	Osservati	Attesi	Cluster sign.	SIR cluster	Tasso std. * 100000 (ic)	Tasso std. > Tasso reg.	SIR (ic)	BIR (ic)	SIR sign.	BIR sign.	Trend	Livello attenzione
Malattie cerebrovascolari (I60-I69)	F	33	34	.	.	126 (91-179)	.	98 (73-130)	108 (89-129)	.	.	→	1
Malattie cerebrovascolari (I60-I69)	M	26	28	.	.	97 (67-138)	.	92 (67-126)	106 (87-128)	.	.	n.c.	1
Malattie cerebrovascolari (I60-I69)	M + F	59	62	2	125	112 (88-144)	.	95 (77-118)	105 (89-122)	.	.	↓	0 
Malattie dell'apparato respiratorio (J00-J99)	F	12	17	.	.	46 (26-86)	.	71 (44-114)	84 (66-104)	.	.	→	1
Malattie dell'apparato respiratorio (J00-J99)	M	16	24	.	.	54 (34-85)	.	67 (45-101)	90 (73-109)	.	.	→	1
Malattie dell'apparato respiratorio (J00-J99)	M + F	28	41	.	.	50 (35-74)	.	69 (51-94)	84 (69-101)	↓	.	→	0 
Malattie respiratorie acute (J00-J06, J10-J18, J20-J22)	F	<5	>5	.	.	10 (3-41)	.	62 (25-154)	77 (48-119)	.	.	n.c.	1
Malattie respiratorie acute (J00-J06, J10-J18, J20-J22)	M	0	5	.	.	0 (0-17)	.	0 (-.)	51 (25-89)	.	↓	n.c.	0 
Malattie respiratorie acute (J00-J06, J10-J18, J20-J22)	M + F	<5	>5	.	.	5 (1-21)	.	30 (12-76)	56 (36-84)	↓	↓	n.c.	0 
Malattie croniche dell'apparato respiratorio (BCPO) (J41-J44, J47)	F	6	7	.	.	27 (11-63)	.	87 (45-168)	91 (63-127)	.	.	n.c.	1
Malattie croniche dell'apparato respiratorio (BCPO) (J41-J44, J47)	M	9	13	.	.	30 (16-57)	.	71 (41-122)	94 (73-119)	.	.	n.c.	1
Malattie croniche dell'apparato respiratorio (BCPO) (J41-J44, J47)	M + F	15	20	.	.	28 (17-50)	.	77 (50-117)	92 (71-116)	.	.	→	1
Asma (J45)	F	0	0	.	.	0 (0-29)	.	0 (-.)	87 (33-188)	.	.	n.c.	1
Asma (J45)	M	0	0	.	.	0 (0-17)	.	0 (-.)	76 (21-174)	.	.	n.c.	1
Asma (J45)	M + F	0	0	.	.	0 (0-15)	.	0 (-.)	86 (44-140)	.	.	n.c.	1
Pneumoconiosi (J60-J64)	M	0	0	.	.	0 (0-17)	.	0 (-.)	17 (3-67)	.	↓	n.c.	0 


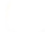


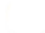


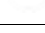
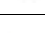



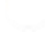



Tabella 13A - Montegranaro													
Causa (ICD-IX)	Genere	Osservati	Attesi	Cluster sign.	SIR cluster	Tasso std. * 100000 (ic)	Tasso std. > Tasso reg.	SIR (ic)	BIR (ic)	SIR sign.	BIR sign.	Trend	Livello attenzione
Pneumoconiosi (J60-J64)	M + F	0	0	.	.	0 (0-15)	.	0 (-.)	17 (3-67)	.	↓	n.c.	0 
Malattie dell'apparato digerente (K00-K93)	F	>5	>5	.	.	37 (20-74)	.	89 (53-149)	103 (87-119)	.	.	n.c.	1 
Malattie dell'apparato digerente (K00-K93)	M	<5	>5	.	.	14 (5-36)	.	35 (16-79)	96 (77-111)	↓	.	n.c.	0 
Malattie dell'apparato digerente (K00-K93)	M + F	14	23	.	.	26 (15-46)	.	62 (40-96)	97 (80-113)	↓	.	n.c.	0 
Cirrosi e altre malattie croniche del fegato (K70, K73-K74)	F	0	2	.	.	0 (0-29)	.	0 (-.)	101 (54-144)	.	.	n.c.	1 
Cirrosi e altre malattie croniche del fegato (K70, K73-K74)	M	<5	<5	.	.	7 (1-27)	.	59 (20-178)	95 (74-114)	.	.	n.c.	1 
Cirrosi e altre malattie croniche del fegato (K70, K73-K74)	M + F	<5	>5	.	.	3 (1-19)	.	39 (13-117)	97 (71-120)	.	.	n.c.	1 
Nefropatie croniche e acute (N00-N12)	F	0	0	.	.	0 (0-29)	.	0 (-.)	85 (41-165)	.	.	n.c.	1 
Nefropatie croniche e acute (N00-N12)	M	0	0	.	.	0 (0-17)	.	0 (-.)	54 (16-145)	.	.	n.c.	1 
Nefropatie croniche e acute (N00-N12)	M + F	0	0	.	.	0 (0-15)	.	0 (-.)	79 (22-206)	.	.	n.c.	1 
Malattie dell'apparato genito-urinario (N00-N99)	F	>5	>5	.	.	24 (11-58)	.	118 (64-218)	107 (80-143)	.	.	n.c.	1 
Malattie dell'apparato genito-urinario (N00-N99)	M	<5	>5	.	.	10 (3-31)	.	53 (21-132)	95 (63-133)	.	.	n.c.	1 
Malattie dell'apparato genito-urinario (N00-N99)	M + F	10	12	2	140	17 (9-36)	.	86 (51-144)	102 (78-130)	.	.	n.c.	1 
Insufficienza renale acuta e cronica (N17-N19)	F	>5	>5	.	.	21 (9-54)	.	121 (63-235)	107 (80-144)	.	.	n.c.	1 
Insufficienza renale acuta e cronica (N17-N19)	M	<5	>5	.	.	10 (3-31)	.	65 (26-163)	99 (67-135)	.	.	n.c.	1 
Insufficienza renale acuta e cronica (N17-N19)	M + F	9	10	.	.	16 (8-34)	.	94 (55-162)	107 (81-139)	.	.	n.c.	1 


Tabella 13A - Montegranaro													
Causa (ICD-IX)	Genere	Osservati	Attesi	Cluster sign.	SIR cluster	Tasso std. * 100000 (ic)	Tasso std. > Tasso reg.	SIR (ic)	BIR (ic)	SIR sign.	BIR sign.	Trend	Livello attenzione
Malformazioni congenite (Q00-Q99)	F	0	1	.	.	0 (0-29)	.	0 (-.)	81 (22-223)	'	'	n.c.	1
Malformazioni congenite (Q00-Q99)	M	0	1	.	.	0 (0-17)	.	0 (-.)	65 (16-182)	'	'	n.c.	1
Malformazioni congenite (Q00-Q99)	M + F	0	2	.	.	0 (0-15)	.	0 (-.)	68 (23-162)	'	'	n.c.	1
Sintomi, segni e stati morbosi mal definiti (R00-R99)	F	<5	<5	.	.	3 (0-33)	.	37 (8-164)	44 (16-106)	'	'	n.c.	1
Sintomi, segni e stati morbosi mal definiti (R00-R99)	M	0	2	.	.	0 (0-17)	.	0 (-.)	44 (15-112)	'	'	n.c.	1
Sintomi, segni e stati morbosi mal definiti (R00-R99)	M + F	<5	<5	.	.	2 (0-17)	.	23 (5-103)	35 (13-81)	'	↓	n.c.	0 
Traumatismi e avvelenamenti (S00-T98)	F	9	11	2	131	29 (15-63)	.	86 (50-147)	100 (74-130)	'	'	n.c.	1
Traumatismi e avvelenamenti (S00-T98)	M	14	16	.	.	47 (28-78)	.	86 (55-133)	97 (82-111)	'	'	n.c.	1
Traumatismi e avvelenamenti (S00-T98)	M + F	23	27	.	.	38 (26-59)	.	86 (61-121)	98 (82-114)	'	'	n.c.	1

Tabella 14A. Decessi per causa nel comune di Montelupone, tutte le età, periodo di osservazione 2009-2013

Tabella 14A - Montelupone	Genere	Osservati	Attesi	Cluster sign.	SIR cluster	Tasso std. * 100000 (ic)	Tasso std. > Tasso reg.	SIR (ic)	BIR (ic)	SIR sign.	BIR sign.	Trend	Livello attenzione
Causa (ICD-IX)													
Mortalità generale (escluse cause violente) (A00-R99)	F	87	78	.	.	1162 (964-1395)	.	111 (93-132)	102 (94-110)	.	.	→	1
Mortalità generale (escluse cause violente) (A00-R99)	M	86	91	.	.	1001 (829-1201)	.	95 (79-113)	99 (90-109)	.	.	→	1
Mortalità generale (escluse cause violente) (A00-R99)	M + F	173	169	.	.	1084 (951-1235)	.	102 (90-116)	101 (94-109)	.	.	→	1
Mortalità per cause esterne o violente (S00-Y99)	F	<5	<5	.	.	49 (17-123)	.	139 (62-310)	106 (77-146)	.	.	n.c.	1
Mortalità per cause esterne o violente (S00-Y99)	M	>5	>5	.	.	67 (29-135)	.	126 (65-243)	98 (83-115)	.	.	n.c.	1
Mortalità per cause esterne o violente (S00-Y99)	M + F	10	8	.	.	58 (31-103)	.	131 (78-219)	102 (85-124)	.	.	n.c.	1
Malattie infettive (A00-B99)	F	<5	<5	2	153	43 (11-117)	.	194 (77-485)	111 (77-166)	.	.	n.c.	1
Malattie infettive (A00-B99)	M	<5	<5	.	.	13 (1-63)	.	58 (13-260)	103 (84-131)	.	.	n.c.	1
Malattie infettive (A00-B99)	M + F	<5	<5	2	136	29 (10-69)	.	122 (55-272)	108 (80-145)	.	.	n.c.	1
Epatite virale (B17-B19)	F	0	0	.	.	0 (0-52)	.	0 (-.)	114 (72-168)	.	.	n.c.	1
Epatite virale (B17-B19)	M	0	0	.	.	0 (0-40)	.	0 (-.)	99 (53-162)	.	.	n.c.	1
Epatite virale (B17-B19)	M + F	0	1	.	.	0 (0-27)	.	0 (-.)	108 (76-143)	.	.	n.c.	1
Tutti i tumori (C00-D48)	F	23	21	.	.	288 (196-415)	.	107 (76-151)	102 (93-110)	.	.	↑	2 😊
Tutti i tumori (C00-D48)	M	32	32	.	.	371 (270-501)	.	102 (76-136)	101 (91-112)	.	.	→	1
Tutti i tumori (C00-D48)	M + F	55	53	.	.	328 (258-415)	.	104 (83-130)	101 (92-110)	.	.	→	1
Tumori maligni delle vie aeree e digestive superiori (C00-C15, C32)	F	<5	<5	.	.	12 (1-70)	.	317 (71-1420)	114 (83-152)	.	.	n.c.	1

Tabella 14A - Montelupone													
Causa (ICD-IX)	Genere	Osservati	Attesi	Cluster sign.	SIR cluster	Tasso std. * 100000 (ic)	Tasso std. > Tasso reg.	SIR (ic)	BIR (ic)	SIR sign.	BIR sign.	Trend	Livello attenzione
Tumori maligni delle vie aeree e digestive superiori (C00-C15, C32)	M	0	1	.	.	0 (0-40)	.	0 (.-.)	82 (56-116)	.	.	n.c.	1
Tumori maligni delle vie aeree e digestive superiori (C00-C15, C32)	M + F	<5	<5	.	.	6 (0-36)	.	72 (16-321)	90 (65-121)	.	.	n.c.	1
Tumori maligni (C00-C97)	F	22	20	.	.	275 (186-400)	.	108 (76-153)	101 (93-110)	.	.	↑	2 😊
Tumori maligni (C00-C97)	M	32	30	.	.	371 (270-501)	.	107 (80-143)	101 (92-111)	.	.	→	1
Tumori maligni (C00-C97)	M + F	54	50	.	.	321 (252-407)	.	107 (86-134)	101 (93-110)	.	.	→	1
Tumori maligni dell'esofago (C15)	F	0	0	.	.	0 (0-52)	.	0 (.-.)	110 (37-201)	.	.	n.c.	1
Tumori maligni dell'esofago (C15)	M	0	0	.	.	0 (0-40)	.	0 (.-.)	84 (43-133)	.	.	n.c.	1
Tumori maligni dell'esofago (C15)	M + F	0	0	.	.	0 (0-27)	.	0 (.-.)	86 (38-154)	.	.	n.c.	1
Tumori maligni dello stomaco (C16)	F	<5	<5	.	.	14 (1-75)	.	63 (14-281)	98 (78-124)	.	.	n.c.	1
Tumori maligni dello stomaco (C16)	M	<5	<5	.	.	29 (8-84)	.	130 (52-325)	106 (79-145)	.	.	n.c.	1
Tumori maligni dello stomaco (C16)	M + F	<5	<5	2	124	21 (7-57)	.	102 (46-228)	102 (80-132)	.	.	n.c.	1
Tumori maligni dell'intestino tenue, compreso il duodeno (C17)	F	0	0	.	.	0 (0-52)	.	0 (.-.)	62 (15-161)	.	.	n.c.	1
Tumori maligni dell'intestino tenue, compreso il duodeno (C17)	M	0	0	.	.	0 (0-40)	.	0 (.-.)	110 (40-229)	.	.	n.c.	1
Tumori maligni dell'intestino tenue, compreso il duodeno (C17)	M + F	0	0	.	.	0 (0-27)	.	0 (.-.)	0 (0-0)	.	↓	n.c.	0 😊
Tumori maligni del colon (C18)	F	5	2	.	.	60 (24-136)	.	248 (121-510)	105 (86-132)	↑	.	n.c.	3 😊
Tumori maligni del colon (C18)	M	<5	<5	.	.	48 (16-113)	.	143 (64-319)	106 (83-135)	.	.	n.c.	1

Tabella 14A - Montelupone													
Causa (ICD-IX)	Genere	Osservati	Attesi	Cluster sign.	SIR cluster	Tasso std. * 100000 (ic)	Tasso std. > Tasso reg.	SIR (ic)	BIR (ic)	SIR sign.	BIR sign.	Trend	Livello attenzione
Tumori maligni del colon (C18)	M + F	>5	>5	.	.	54 (28-100)	↑	187 (109-322)	111 (89-142)	↑	.	n.c.	3 🟡
Tumori maligni del retto, della giunzione retto-sigmoidea e dell'ano (C19-C21)	F	0	1	.	.	0 (0-52)	.	0 (.-.)	87 (49-138)	.	.	n.c.	1
Tumori maligni del retto, della giunzione retto-sigmoidea e dell'ano (C19-C21)	M	<5	<5	.	.	24 (4-79)	.	234 (77-706)	86 (51-144)	.	.	n.c.	1
Tumori maligni del retto, della giunzione retto-sigmoidea e dell'ano (C19-C21)	M + F	<5	<5	.	.	12 (2-44)	.	139 (46-420)	93 (63-139)	.	.	n.c.	1
Tumore fegato e dotti biliari (C22)	F	0	1	.	.	0 (0-52)	.	0 (.-.)	96 (70-127)	.	.	n.c.	1
Tumore fegato e dotti biliari (C22)	M	<5	<5	.	.	12 (1-60)	.	73 (16-329)	105 (71-153)	.	.	n.c.	1
Tumore fegato e dotti biliari (C22)	M + F	<5	<5	.	.	6 (0-35)	.	52 (12-233)	100 (67-139)	.	.	n.c.	1
Tumori maligni del pancreas (C25)	F	0	2	.	.	0 (0-52)	.	0 (.-.)	98 (81-116)	.	.	n.c.	1
Tumori maligni del pancreas (C25)	M	<5	<5	.	.	12 (1-60)	.	58 (13-261)	98 (79-116)	.	.	n.c.	1
Tumori maligni del pancreas (C25)	M + F	<5	<5	.	.	6 (0-36)	.	31 (7-139)	97 (79-112)	.	.	n.c.	1
Tumore del retroperitoneo (C48)	F	0	0	.	.	0 (0-52)	.	0 (.-.)	96 (57-151)	.	.	n.c.	1
Tumore del retroperitoneo (C48)	M	0	0	.	.	0 (0-40)	.	0 (.-.)	111 (45-227)	.	.	n.c.	1
Tumore del retroperitoneo (C48)	M + F	0	0	.	.	0 (0-27)	.	0 (.-.)	110 (71-149)	.	.	n.c.	1
Tumori maligni della laringe (C32)	F	0	0	.	.	0 (0-52)	.	0 (.-.)	103 (37-208)	.	.	n.c.	1
Tumori maligni della laringe (C32)	M	0	0	.	.	0 (0-40)	.	0 (.-.)	95 (59-140)	.	.	n.c.	1
Tumori maligni della laringe (C32)	M + F	0	1	.	.	0 (0-27)	.	0 (.-.)	95 (61-140)	.	.	n.c.	1

Tabella 14A - Montelupone													
Causa (ICD-IX)	Genere	Osservati	Attesi	Cluster sign.	SIR cluster	Tasso std. * 100000 (ic)	Tasso std. > Tasso reg.	SIR (ic)	BIR (ic)	SIR sign.	BIR sign.	Trend	Livello attenzione
Tumori maligni della trachea, dei bronchi e dei polmoni (C33-C34)	F	<5	<5	.	.	35 (10-103)	.	145 (58-362)	102 (70-148)	.	.	n.c.	1
Tumori maligni della trachea, dei bronchi e dei polmoni (C33-C34)	M	<5	>5	.	.	48 (16-112)	.	55 (25-124)	97 (79-114)	.	.	n.c.	1
Tumori maligni della trachea, dei bronchi e dei polmoni (C33-C34)	M + F	7	9	.	.	41 (19-83)	.	75 (41-139)	97 (80-116)	.	.	n.c.	1
Mesotelioma (pleura, peritoneo, endocardio, ecc.) (C45)	F	<5	<5	.	.	11 (1-68)	.	924 (206-4140)	117 (64-254)	↑	.	n.c.	1
Mesotelioma (pleura, peritoneo, endocardio, ecc.) (C45)	M	0	0	.	.	0 (0-40)	.	0 (.-)	67 (21-171)	.	.	n.c.	1
Mesotelioma (pleura, peritoneo, endocardio, ecc.) (C45)	M + F	<5	<5	.	.	6 (0-35)	.	233 (52-1047)	100 (49-196)	.	.	n.c.	1
Tumori maligni delle ossa e della cartilagine articolare (C40-C41)	F	0	0	.	.	0 (0-52)	.	0 (.-)	107 (30-258)	.	.	n.c.	1
Tumori maligni delle ossa e della cartilagine articolare (C40-C41)	M	0	0	.	.	0 (0-40)	.	0 (.-)	63 (18-173)	.	.	n.c.	1
Tumori maligni delle ossa e della cartilagine articolare (C40-C41)	M + F	0	0	.	.	0 (0-27)	.	0 (.-)	82 (24-200)	.	.	n.c.	1
Tumori maligni del connettivo e di altri tessuti molli (C49)	F	0	0	.	.	0 (0-52)	.	0 (.-)	104 (64-154)	.	.	n.c.	1
Tumori maligni del connettivo e di altri tessuti molli (C49)	M	0	0	.	.	0 (0-40)	.	0 (.-)	93 (61-143)	.	.	n.c.	1
Tumori maligni del connettivo e di altri tessuti molli (C49)	M + F	0	0	.	.	0 (0-27)	.	0 (.-)	101 (73-140)	.	.	n.c.	1
Melanoma maligno della pelle (C43)	F	0	0	.	.	0 (0-52)	.	0 (.-)	99 (66-139)	.	.	n.c.	1
Melanoma maligno della pelle (C43)	M	0	0	.	.	0 (0-40)	.	0 (.-)	95 (61-136)	.	.	n.c.	1
Melanoma maligno della pelle (C43)	M + F	0	1	.	.	0 (0-27)	.	0 (.-)	96 (70-126)	.	.	n.c.	1
Tumori maligni della mammella (C50)	F	<5	<5	.	.	25 (4-90)	.	60 (20-180)	106 (85-127)	.	.	n.c.	1

Tabella 14A - Montelupone													
Causa (ICD-IX)	Genere	Osservati	Attesi	Cluster sign.	SIR cluster	Tasso std. * 100000 (ic)	Tasso std. > Tasso reg.	SIR (ic)	BIR (ic)	SIR sign.	BIR sign.	Trend	Livello attenzione
Tumori maligni della mammella (C50)	M + F	<5	<5	.	.	13 (2-47)	.	59 (19-177)	106 (86-129)	.	.	n.c.	1
Tumori maligni dell'utero (C53-C55)	F	<5	<5	.	.	14 (1-75)	.	126 (28-566)	95 (72-125)	.	.	n.c.	1
Tumori maligni del corpo dell'utero (C54)	F	0	0	.	.	0 (0-52)	.	0 (-.)	86 (40-150)	.	.	n.c.	1
Tumori maligni dell'ovaio e degli altri annessi uterini (C56-C57)	F	0	1	.	.	0 (0-52)	.	0 (-.)	98 (68-129)	.	.	n.c.	1
Tumore della prostata (C61)	M	<5	<5	.	.	13 (1-63)	.	39 (9-177)	100 (82-118)	.	.	n.c.	1
Tumore del testicolo (C62)	M	0	0	.	.	0 (0-40)	.	0 (-.)	91 (23-243)	.	.	n.c.	1
Tumori maligni della vescica (C67)	F	<5	<5	.	.	12 (1-71)	.	302 (67-1354)	108 (74-155)	.	.	n.c.	1
Tumori maligni della vescica (C67)	M	<5	<5	.	.	11 (1-58)	.	71 (16-317)	97 (77-116)	.	.	n.c.	1
Tumori maligni della vescica (C67)	M + F	<5	<5	.	.	12 (2-44)	.	115 (38-346)	101 (86-117)	.	.	n.c.	1
Tumori maligni del rene e di altri e non specificati organi urinari (C64-C66, C68)	F	0	0	.	.	0 (0-52)	.	0 (-.)	81 (43-129)	.	.	n.c.	1
Tumori maligni del rene e di altri e non specificati organi urinari (C64-C66, C68)	M	<5	<5	.	.	23 (4-75)	.	207 (68-624)	95 (68-138)	.	.	n.c.	1
Tumori maligni del rene e di altri e non specificati organi urinari (C64-C66, C68)	M + F	<5	<5	.	.	11 (2-42)	.	142 (47-430)	92 (67-127)	.	.	n.c.	1
tumore del sistema nervoso centrale (C70-C72,D33)	F	<5	<5	.	.	12 (1-70)	.	220 (49-985)	96 (70-130)	.	.	n.c.	1
tumore del sistema nervoso centrale (C70-C72,D33)	M	<5	<5	.	.	35 (9-93)	.	384 (153-961)	115 (79-196)	↑	.	n.c.	3 😞
tumore del sistema nervoso centrale (C70-C72,D33)	M + F	<5	<5	.	.	23 (8-59)	↑	324 (145-721)	104 (86-129)	↑	.	n.c.	3 😞
Tumori maligni dell'encefalo (C71)	F	<5	<5	.	.	12 (1-70)	.	230 (51-1032)	95 (75-119)	.	.	n.c.	1

Tabella 14A - Montelupone													
Causa (ICD-IX)	Genere	Osservati	Attesi	Cluster sign.	SIR cluster	Tasso std. * 100000 (ic)	Tasso std. > Tasso reg.	SIR (ic)	BIR (ic)	SIR sign.	BIR sign.	Trend	Livello attenzione
Tumori maligni dell'encefalo (C71)	M	<5	<5	.	.	24 (4-78)	.	261 (87-790)	108 (77-167)	.	.	n.c.	1
Tumori maligni dell'encefalo (C71)	M + F	<5	<5	.	.	18 (5-52)	.	250 (100-626)	103 (88-124)	.	.	n.c.	1
Tumori maligni della ghiandola tiroide (C73)	F	0	0	.	.	0 (0-52)	.	0 (.-.)	121 (65-200)	.	.	n.c.	1
Tumori maligni della ghiandola tiroide (C73)	M	<5	<5	.	.	12 (1-61)	.	1318 (294-5906)	101 (66-156)	↑	.	n.c.	1
Tumori maligni della ghiandola tiroide (C73)	M + F	<5	<5	.	.	6 (0-36)	.	548 (122-2455)	118 (81-181)	↑	.	n.c.	1
Tumori emolinfopoiетici (C81-C96)	F	<5	<5	.	.	14 (1-75)	.	51 (11-227)	101 (87-117)	.	.	n.c.	1
Tumori emolinfopoiетici (C81-C96)	M	>5	<5	.	.	55 (21-119)	.	191 (93-392)	103 (91-119)	.	.	n.c.	1
Tumori emolinfopoiетici (C81-C96)	M + F	6	5	.	.	34 (14-73)	.	131 (68-253)	103 (92-114)	.	.	n.c.	1
Malattia di Hodgkin (C81)	F	0	0	.	.	0 (0-52)	.	0 (.-.)	103 (32-259)	.	.	n.c.	1
Malattia di Hodgkin (C81)	M	0	0	.	.	0 (0-40)	.	0 (.-.)	103 (50-172)	.	.	n.c.	1
Malattia di Hodgkin (C81)	M + F	0	0	.	.	0 (0-27)	.	0 (.-.)	102 (47-189)	.	.	n.c.	1
Linfoma non Hodgkin (C82-C85)	F	0	1	.	.	0 (0-52)	.	0 (.-.)	96 (72-122)	.	.	n.c.	1
Linfoma non Hodgkin (C82-C85)	M	<5	<5	.	.	33 (9-90)	.	319 (128-799)	109 (91-134)	↑	.	n.c.	3 😊
Linfoma non Hodgkin (C82-C85)	M + F	<5	<5	.	.	16 (4-49)	.	195 (78-487)	104 (85-129)	.	.	n.c.	1
Mieloma multiplo e tumori immunoproliferativi (C88, C90)	F	<5	<5	.	.	14 (1-75)	.	207 (46-927)	94 (65-126)	.	.	n.c.	1
Mieloma multiplo e tumori immunoproliferativi (C88, C90)	M	<5	<5	.	.	11 (1-57)	.	179 (40-800)	97 (67-138)	.	.	n.c.	1

Tabella 14A - Montelupone													
Causa (ICD-IX)	Genere	Osservati	Attesi	Cluster sign.	SIR cluster	Tasso std. * 100000 (ic)	Tasso std. > Tasso reg.	SIR (ic)	BIR (ic)	SIR sign.	BIR sign.	Trend	Livello attenzione
Mieloma multiplo e tumori immunoproliferativi (C88, C90)	M + F	<5	<5	.	.	13 (2-46)	.	192 (63-579)	95 (68-134)	.	.	n.c.	1
Leucemie (C91-C95)	F	0	1	.	.	0 (0-52)	.	0 (.-.)	108 (78-144)	.	.	n.c.	1
Leucemie (C91-C95)	M	<5	<5	.	.	11 (1-57)	.	96 (21-430)	99 (68-142)	.	.	n.c.	1
Leucemie (C91-C95)	M + F	<5	<5	.	.	5 (0-34)	.	54 (12-241)	104 (86-126)	.	.	n.c.	1
Leucemia linfoide (acuta e cronica) (C91)	F	0	0	.	.	0 (0-52)	.	0 (.-.)	117 (83-153)	.	.	n.c.	1
Leucemia linfoide (acuta e cronica) (C91)	M	<5	<5	.	.	11 (1-57)	.	246 (55-1103)	108 (79-153)	.	.	n.c.	1
Leucemia linfoide (acuta e cronica) (C91)	M + F	<5	<5	.	.	5 (0-34)	.	148 (33-664)	112 (90-137)	.	.	n.c.	1
Leucemia mieloide (acuta e cronica) (C92)	F	0	0	.	.	0 (0-52)	.	0 (.-.)	100 (66-136)	.	.	n.c.	1
Leucemia mieloide (acuta e cronica) (C92)	M	0	0	.	.	0 (0-40)	.	0 (.-.)	89 (54-130)	.	.	n.c.	1
Leucemia mieloide (acuta e cronica) (C92)	M + F	0	1	.	.	0 (0-27)	.	0 (.-.)	93 (65-129)	.	.	n.c.	1
Malattie del sangue e degli organi emopoietici (D50-D77)	F	<5	<5	.	.	25 (5-90)	.	410 (136-1239)	111 (75-180)	↑	.	n.c.	3 😊
Malattie del sangue e degli organi emopoietici (D50-D77)	M	0	0	.	.	0 (0-40)	.	0 (.-.)	95 (69-127)	.	.	n.c.	1
Malattie del sangue e degli organi emopoietici (D50-D77)	M + F	<5	<5	.	.	13 (2-47)	.	235 (78-709)	103 (78-138)	.	.	n.c.	1
Malattie endocrine, della nutrizione ed immunitarie (E00-E90, D80-D89)	F	>5	<5	.	.	72 (28-157)	.	148 (72-304)	98 (74-130)	.	.	n.c.	1
Malattie endocrine, della nutrizione ed immunitarie (E00-E90, D80-D89)	M	<5	<5	.	.	25 (4-81)	.	59 (19-177)	89 (65-120)	.	.	n.c.	1
Malattie endocrine, della nutrizione ed immunitarie (E00-E90, D80-D89)	M + F	7	7	.	.	50 (23-97)	.	103 (56-190)	91 (70-118)	.	.	n.c.	1


Tabella 14A - Montelupone													
Causa (ICD-IX)	Genere	Osservati	Attesi	Cluster sign.	SIR cluster	Tasso std. * 100000 (ic)	Tasso std. > Tasso reg.	SIR (ic)	BIR (ic)	SIR sign.	BIR sign.	Trend	Livello attenzione
Tireotossicosi (E05)	F	0	0	.	.	0 (0-52)	.	0 (.-.)	102 (37-229)	.	.	n.c.	1
Tireotossicosi (E05)	M	0	0	.	.	0 (0-40)	.	0 (.-.)	62 (0-253)	.	.	n.c.	1
Tireotossicosi (E05)	M + F	0	0	.	.	0 (0-27)	.	0 (.-.)	101 (24-217)	.	.	n.c.	1
Ipotiroidismo (E00-E03)	F	0	0	.	.	0 (0-52)	.	0 (.-.)	81 (20-209)	.	.	n.c.	1
Ipotiroidismo (E00-E03)	M	0	0	.	.	0 (0-40)	.	0 (.-.)	58 (12-166)	.	.	n.c.	1
Ipotiroidismo (E00-E03)	M + F	0	0	.	.	0 (0-27)	.	0 (.-.)	85 (27-173)	.	.	n.c.	1
Diabete mellito (E10-E14)	F	<5	<5	.	.	60 (20-142)	.	164 (74-365)	99 (74-136)	.	.	n.c.	1
Diabete mellito (E10-E14)	M	<5	<5	.	.	25 (4-81)	.	79 (26-237)	91 (64-128)	.	.	n.c.	1
Diabete mellito (E10-E14)	M + F	6	5	.	.	43 (19-89)	.	120 (62-233)	96 (71-129)	.	.	n.c.	1
Demenze (F00-F01, F020-F023, F03, G30, G310)	F	<5	>5	.	.	60 (20-142)	.	79 (35-176)	83 (57-121)	.	.	n.c.	1
Demenze (F00-F01, F020-F023, F03, G30, G310)	M	<5	<5	.	.	36 (10-96)	.	91 (36-228)	85 (58-122)	.	.	n.c.	1
Demenze (F00-F01, F020-F023, F03, G30, G310)	M + F	7	8	.	.	49 (23-95)	.	84 (45-154)	82 (59-114)	.	.	n.c.	1
Malattie neuro-psichiatriche (escluse tossicod.) (F00-F09, F20-F99)	F	<5	<5	.	.	60 (20-142)	.	142 (64-316)	89 (50-154)	.	.	n.c.	1
Malattie neuro-psichiatriche (escluse tossicod.) (F00-F09, F20-F99)	M	0	2	.	.	0 (0-40)	.	0 (.-.)	57 (30-99)	.	↓	n.c.	0 
Malattie neuro-psichiatriche (escluse tossicod.) (F00-F09, F20-F99)	M + F	<5	>5	.	.	31 (11-73)	.	86 (38-191)	70 (42-114)	.	.	n.c.	1
Malattie del sistema nervoso e degli organi di senso (G00-H95)	F	0	5	.	.	0 (0-52)	.	0 (.-.)	95 (70-124)	.	.	n.c.	1

Tabella 14A - Montelupone													
Causa (ICD-IX)	Genere	Osservati	Attesi	Cluster sign.	SIR cluster	Tasso std. * 100000 (ic)	Tasso std. > Tasso reg.	SIR (ic)	BIR (ic)	SIR sign.	BIR sign.	Trend	Livello attenzione
Malattie del sistema nervoso e degli organi di senso (G00-H95)	M	7	4	.	.	82 (39-157)	.	179 (97-329)	115 (91-151)	.	.	n.c.	1
Malattie del sistema nervoso e degli organi di senso (G00-H95)	M + F	7	8	.	.	40 (19-80)	.	83 (45-153)	104 (83-130)	.	.	n.c.	1
Morbo di Parkinson (G20)	F	0	1	.	.	0 (0-52)	.	0 (-.)	96 (64-137)	.	.	n.c.	1
Morbo di Parkinson (G20)	M	<5	<5	.	.	34 (9-92)	.	361 (144-903)	105 (80-149)	↑	.	n.c.	3 😊
Morbo di Parkinson (G20)	M + F	<5	<5	.	.	16 (4-50)	.	214 (86-536)	103 (78-138)	.	.	n.c.	1
Malattia di Alzheimer (G30)	F	0	2	.	.	0 (0-52)	.	0 (-.)	85 (54-131)	.	.	n.c.	1
Malattia di Alzheimer (G30)	M	<5	<5	.	.	36 (10-96)	.	191 (76-477)	112 (69-180)	.	.	n.c.	1
Malattia di Alzheimer (G30)	M + F	<5	<5	.	.	18 (5-52)	.	75 (30-188)	95 (64-140)	.	.	n.c.	1
Epilessia (G40)	F	0	0	.	.	0 (0-52)	.	0 (-.)	115 (69-181)	.	.	n.c.	1
Epilessia (G40)	M	0	0	.	.	0 (0-40)	.	0 (-.)	97 (56-155)	.	.	n.c.	1
Epilessia (G40)	M + F	0	0	.	.	0 (0-27)	.	0 (-.)	106 (58-167)	.	.	n.c.	1
Malattia dei neuroni motori (G122)	F	0	0	.	.	0 (0-52)	.	0 (-.)	80 (27-212)	.	.	n.c.	1
Malattia dei neuroni motori (G122)	M	0	0	.	.	0 (0-40)	.	0 (-.)	98 (52-166)	.	.	n.c.	1
Malattia dei neuroni motori (G122)	M + F	0	1	.	.	0 (0-27)	.	0 (-.)	85 (37-181)	.	.	n.c.	1
Sclerosi multipla (G35)	F	0	0	.	.	0 (0-52)	.	0 (-.)	104 (60-170)	.	.	n.c.	1
Sclerosi multipla (G35)	M	0	0	.	.	0 (0-40)	.	0 (-.)	84 (14-244)	.	.	n.c.	1


Tabella 14A - Montelupone													
Causa (ICD-IX)	Genere	Osservati	Attesi	Cluster sign.	SIR cluster	Tasso std. * 100000 (ic)	Tasso std. > Tasso reg.	SIR (ic)	BIR (ic)	SIR sign.	BIR sign.	Trend	Livello attenzione
Sclerosi multipla (G35)	M + F	0	0	.	.	0 (0-27)	.	0 (-.)	102 (65-153)	.	.	n.c.	1
Neuropatie tossiche e infiammatorie non specificate (G619, G629)	F	0	0	.	.	0 (0-52)	.	0 (-.)	59 (4-292)	.	.	n.c.	1
Neuropatie tossiche e infiammatorie non specificate (G619, G629)	M	0	0	.	.	0 (0-40)	.	0 (-.)	46 (9-156)	.	.	n.c.	1
Neuropatie tossiche e infiammatorie non specificate (G619, G629)	M + F	0	0	.	.	0 (0-27)	.	0 (-.)	60 (11-167)	.	.	n.c.	1
Malattie dell'apparato circolatorio (I00-I99)	F	34	33	.	.	459 (337-617)	.	103 (78-136)	101 (90-113)	.	.	→	1
Malattie dell'apparato circolatorio (I00-I99)	M	27	34	.	.	308 (217-428)	.	79 (57-108)	97 (86-109)	.	.	→	1
Malattie dell'apparato circolatorio (I00-I99)	M + F	61	67	.	.	386 (308-483)	.	91 (73-112)	98 (88-109)	.	.	→	1
Malattia ipertensiva (I10-I15)	F	<5	<5	.	.	26 (5-91)	.	55 (18-165)	85 (53-131)	.	.	n.c.	1
Malattia ipertensiva (I10-I15)	M	<5	<5	.	.	22 (4-74)	.	73 (24-220)	87 (50-145)	.	.	n.c.	1
Malattia ipertensiva (I10-I15)	M + F	<5	>5	.	.	24 (8-61)	.	62 (28-139)	83 (54-127)	.	.	n.c.	1
Malattie ischemiche del cuore (I20-I25)	F	8	11	.	.	104 (52-195)	.	74 (41-131)	86 (66-110)	.	.	n.c.	1
Malattie ischemiche del cuore (I20-I25)	M	8	14	.	.	88 (43-164)	.	58 (33-103)	85 (68-103)	.	.	n.c.	1
Malattie ischemiche del cuore (I20-I25)	M + F	16	25	.	.	96 (60-151)	.	65 (43-97)	79 (62-97)	↓	↓	→	0 
Infarto miocardico acuto (I21-I22)	F	<5	<5	.	.	38 (10-108)	.	98 (39-245)	93 (58-149)	.	.	n.c.	1
Infarto miocardico acuto (I21-I22)	M	>5	>5	.	.	54 (21-118)	.	106 (51-217)	100 (69-142)	.	.	n.c.	1
Infarto miocardico acuto (I21-I22)	M + F	8	8	.	.	46 (22-89)	.	103 (58-182)	97 (66-140)	.	.	→	1

Tabella 14A - Montelupone													
Causa (ICD-IX)	Genere	Osservati	Attesi	Cluster sign.	SIR cluster	Tasso std. * 100000 (ic)	Tasso std. > Tasso reg.	SIR (ic)	BIR (ic)	SIR sign.	BIR sign.	Trend	Livello attenzione
Malattie cerebrovascolari (I60-I69)	F	13	9	2	127	186 (110-301)	.	142 (90-223)	114 (91-144)	.	.	→	1
Malattie cerebrovascolari (I60-I69)	M	12	9	2	123	137 (79-225)	.	137 (86-220)	116 (93-147)	.	.	n.c.	1
Malattie cerebrovascolari (I60-I69)	M + F	25	18	2	125	163 (112-232)	↑	140 (101-194)	120 (98-148)	↑	.	→	3 😞
Malattie dell'apparato respiratorio (J00-J99)	F	<5	>5	.	.	59 (20-139)	.	86 (39-192)	94 (71-124)	.	.	n.c.	1
Malattie dell'apparato respiratorio (J00-J99)	M	>5	>5	.	.	83 (39-159)	.	96 (52-177)	101 (81-126)	.	.	n.c.	1
Malattie dell'apparato respiratorio (J00-J99)	M + F	11	12	.	.	70 (39-121)	.	92 (56-151)	99 (79-123)	.	.	n.c.	1
Malattie respiratorie acute (J00-J06, J10-J18, J20-J22)	F	<5	<5	.	.	41 (11-114)	.	226 (90-565)	101 (63-169)	.	.	n.c.	1
Malattie respiratorie acute (J00-J06, J10-J18, J20-J22)	M	<5	<5	2	145	11 (1-57)	.	64 (14-286)	79 (39-149)	.	.	n.c.	1
Malattie respiratorie acute (J00-J06, J10-J18, J20-J22)	M + F	<5	<5	.	.	27 (9-66)	.	138 (62-307)	108 (66-172)	.	.	n.c.	1
Malattie croniche dell'apparato respiratorio (BCPO) (J41-J44, J47)	F	0	2	.	.	0 (0-52)	.	0 (-.)	89 (56-137)	.	.	n.c.	1
Malattie croniche dell'apparato respiratorio (BCPO) (J41-J44, J47)	M	<5	<5	.	.	35 (9-94)	.	77 (31-192)	97 (73-126)	.	.	n.c.	1
Malattie croniche dell'apparato respiratorio (BCPO) (J41-J44, J47)	M + F	<5	>5	.	.	17 (5-51)	.	52 (21-130)	94 (69-126)	.	.	n.c.	1
Asma (J45)	F	0	0	.	.	0 (0-52)	.	0 (-.)	82 (28-179)	.	.	n.c.	1
Asma (J45)	M	0	0	.	.	0 (0-40)	.	0 (-.)	77 (21-177)	.	.	n.c.	1
Asma (J45)	M + F	0	0	.	.	0 (0-27)	.	0 (-.)	86 (45-145)	.	.	n.c.	1
Pneumoconiosi (J60-J64)	M	0	0	.	.	0 (0-40)	.	0 (-.)	18 (3-74)	.	↓	n.c.	0 😊



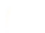

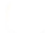




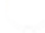






Tabella 14A - Montelupone													
Causa (ICD-IX)	Genere	Osservati	Attesi	Cluster sign.	SIR cluster	Tasso std. * 100000 (ic)	Tasso std. > Tasso reg.	SIR (ic)	BIR (ic)	SIR sign.	BIR sign.	Trend	Livello attenzione
Pneumoconiosi (J60-J64)	M + F	0	0	.	.	0 (0-27)	.	0 (-.)	18 (3-74)	.	↓	n.c.	0 
Malattie dell'apparato digerente (K00-K93)	F	>5	<5	2	132	81 (35-166)	.	200 (103-387)	107 (91-129)	↑	.	n.c.	3 
Malattie dell'apparato digerente (K00-K93)	M	<5	<5	.	.	53 (18-121)	.	118 (53-263)	102 (86-124)	.	.	n.c.	1 
Malattie dell'apparato digerente (K00-K93)	M + F	10	6	2	123	67 (37-118)	↑	156 (93-262)	110 (92-134)	.	.	n.c.	2 
Cirrosi e altre malattie croniche del fegato (K70, K73-K74)	F	<5	<5	.	.	14 (1-75)	.	214 (48-959)	111 (68-172)	.	.	n.c.	1 
Cirrosi e altre malattie croniche del fegato (K70, K73-K74)	M	0	1	.	.	0 (0-40)	.	0 (-.)	95 (75-116)	.	.	n.c.	1 
Cirrosi e altre malattie croniche del fegato (K70, K73-K74)	M + F	<5	<5	.	.	7 (0-39)	.	71 (16-318)	101 (75-132)	.	.	n.c.	1 
Nefropatie croniche e acute (N00-N12)	F	0	0	.	.	0 (0-52)	.	0 (-.)	84 (40-162)	.	.	n.c.	1 
Nefropatie croniche e acute (N00-N12)	M	0	0	.	.	0 (0-40)	.	0 (-.)	52 (15-138)	.	.	n.c.	1 
Nefropatie croniche e acute (N00-N12)	M + F	0	0	.	.	0 (0-27)	.	0 (-.)	68 (17-196)	.	.	n.c.	1 
Malattie dell'apparato genito-urinario (N00-N99)	F	<5	<5	2	148	38 (10-108)	.	185 (74-464)	127 (90-182)	.	.	n.c.	1 
Malattie dell'apparato genito-urinario (N00-N99)	M	>5	<2	2	154	65 (28-133)	↑	344 (178-665)	130 (89-205)	↑	.	n.c.	3 
Malattie dell'apparato genito-urinario (N00-N99)	M + F	9	3	2	140	51 (26-95)	↑	267 (156-460)	135 (100-191)	↑	↑	n.c.	5 
Insufficienza renale acuta e cronica (N17-N19)	F	<5	<5	2	142	25 (4-90)	.	148 (49-446)	114 (83-164)	.	.	n.c.	1 
Insufficienza renale acuta e cronica (N17-N19)	M	>5	<5	.	.	54 (21-118)	↑	354 (172-728)	118 (84-181)	↑	.	n.c.	3 
Insufficienza renale acuta e cronica (N17-N19)	M + F	7	3	2	134	39 (18-80)	↑	253 (137-467)	132 (98-185)	↑	.	n.c.	3 

Tabella 14A - Montelupone													
Causa (ICD-IX)	Genere	Osservati	Attesi	Cluster sign.	SIR cluster	Tasso std. * 100000 (ic)	Tasso std. > Tasso reg.	SIR (ic)	BIR (ic)	SIR sign.	BIR sign.	Trend	Livello attenzione
Malformazioni congenite (Q00-Q99)	F	0	0	.	.	0 (0-52)	.	0 (.-.)	99 (26-320)	,	,	n.c.	1
Malformazioni congenite (Q00-Q99)	M	0	0	.	.	0 (0-40)	.	0 (.-.)	88 (20-290)	,	,	n.c.	1
Malformazioni congenite (Q00-Q99)	M + F	0	0	.	.	0 (0-27)	.	0 (.-.)	101 (32-285)	,	,	n.c.	1
Sintomi, segni e stati morbosi mal definiti (R00-R99)	F	<5	<5	.	.	14 (1-75)	.	118 (26-528)	65 (20-189)	,	,	n.c.	1
Sintomi, segni e stati morbosi mal definiti (R00-R99)	M	0	1	.	.	0 (0-40)	.	0 (.-.)	57 (18-161)	,	,	n.c.	1
Sintomi, segni e stati morbosi mal definiti (R00-R99)	M + F	<5	<5	.	.	7 (0-39)	.	70 (16-313)	58 (19-153)	,	,	n.c.	1
Traumatismi e avvelenamenti (S00-T98)	F	<5	<5	.	.	49 (17-123)	.	139 (62-310)	106 (77-146)	,	,	n.c.	1
Traumatismi e avvelenamenti (S00-T98)	M	>5	<5	.	.	67 (29-135)	.	126 (65-243)	98 (83-115)	,	,	n.c.	1
Traumatismi e avvelenamenti (S00-T98)	M + F	10	8	.	.	58 (31-103)	.	131 (78-219)	102 (85-124)	,	,	n.c.	1

Tabella 15A. Decessi per causa nel comune di Morrovalle, tutte le età, periodo di osservazione 2009-2013




Tabella 15A - Morrovalle	Genere	Osservati	Attesi	Cluster sign.	SIR cluster	Tasso std. * 100000 (ic)	Tasso std. > Tasso reg.	SIR (ic)	BIR (ic)	SIR sign.	BIR sign.	Trend	Livello attenzione
Causa (ICD-IX)													
Mortalità generale (escluse cause violente) (A00-R99)	F	211	221	.	.	979 (870-1251)	.	96 (85-107)	98 (92-105)	.	.	↓	0 
Mortalità generale (escluse cause violente) (A00-R99)	M	228	243	.	.	978 (874-1093)	.	94 (84-105)	97 (90-105)	.	.	↑	1
Mortalità generale (escluse cause violente) (A00-R99)	M + F	439	464	.	.	979 (902-1132)	.	95 (88-102)	97 (91-103)	.	.	→	1
Mortalità per cause esterne o violente (S00-Y99)	F	8	8	.	.	35 (17-288)	.	99 (56-175)	102 (76-135)	.	.	n.c.	1
Mortalità per cause esterne o violente (S00-Y99)	M	13	13	.	.	55 (32-89)	.	100 (64-157)	97 (84-114)	.	.	→	1
Mortalità per cause esterne o violente (S00-Y99)	M + F	21	21	.	.	44 (30-174)	.	100 (70-142)	100 (84-118)	.	.	→	1
Malattie infettive (A00-B99)	F	<5	<5	2	153	18 (6-273)	.	91 (41-203)	105 (72-147)	.	.	n.c.	1
Malattie infettive (A00-B99)	M	>5	>5	.	.	22 (9-48)	.	106 (52-218)	105 (86-133)	.	.	n.c.	1
Malattie infettive (A00-B99)	M + F	9	9	.	.	20 (10-152)	.	99 (58-170)	108 (82-140)	.	.	n.c.	1
Epatite virale (B17-B19)	F	0	1	.	.	0 (0-257)	.	0 (.-)	113 (71-163)	.	.	n.c.	1
Epatite virale (B17-B19)	M	<5	<5	.	.	4 (0-22)	.	111 (25-497)	102 (60-165)	.	.	n.c.	1
Epatite virale (B17-B19)	M + F	<5	<5	.	.	2 (0-135)	.	64 (14-285)	108 (76-140)	.	.	n.c.	1
Tutti i tumori (C00-D48)	F	55	60	.	.	242 (190-491)	.	91 (73-114)	100 (92-108)	.	.	→	1
Tutti i tumori (C00-D48)	M	69	85	.	.	297 (241-365)	.	82 (67-99)	95 (86-104)	↓	.	→	0 
Tutti i tumori (C00-D48)	M + F	124	145	.	.	269 (230-401)	.	86 (74-99)	96 (88-104)	↓	.	→	0 
Tumori maligni delle vie aeree e digestive superiori (C00-C15, C32)	F	<5	<5	.	.	4 (0-260)	.	111 (25-497)	113 (81-148)	.	.	n.c.	1



Tabella 15A - Morrovalle	Genere	Osservati	Attesi	Cluster sign.	SIR cluster	Tasso std. * 100000 (ic)	Tasso std. > Tasso reg.	SIR (ic)	BIR (ic)	SIR sign.	BIR sign.	Trend	Livello attenzione
Causa (ICD-IX)													
Tumori maligni delle vie aeree e digestive superiori (C00-C15, C32)	M	<5	<5	.	.	17 (6-41)	.	137 (61-305)	86 (61-121)	.	.	n.c.	1
Tumori maligni delle vie aeree e digestive superiori (C00-C15, C32)	M + F	5	4	.	.	10 (4-142)	.	131 (64-269)	92 (69-121)	.	.	n.c.	1
Tumori maligni (C00-C97)	F	51	57	.	.	223 (174-472)	.	89 (71-112)	100 (91-108)	.	.	→	1
Tumori maligni (C00-C97)	M	68	80	.	.	293 (237-360)	.	85 (69-103)	97 (88-105)	.	.	→	1
Tumori maligni (C00-C97)	M + F	119	138	.	.	257 (219-388)	.	86 (74-100)	96 (89-104)	.	.	→	1
Tumori maligni dell'esofago (C15)	F	0	0	.	.	0 (0-257)	.	0 (.-.)	109 (35-194)	.	.	n.c.	1
Tumori maligni dell'esofago (C15)	M	<5	<5	.	.	4 (0-22)	.	123 (27-549)	84 (47-132)	.	.	n.c.	1
Tumori maligni dell'esofago (C15)	M + F	<5	<5	.	.	2 (0-135)	.	96 (21-430)	89 (44-158)	.	.	n.c.	1
Tumori maligni dello stomaco (C16)	F	6	5	.	.	27 (12-282)	.	132 (68-255)	101 (83-128)	.	.	n.c.	1
Tumori maligni dello stomaco (C16)	M	10	6	2	167	43 (23-74)	.	160 (95-267)	117 (89-157)	.	.	↑	3 
Tumori maligni dello stomaco (C16)	M + F	16	11	2	124	35 (22-165)	.	148 (98-223)	115 (93-146)	.	.	→	1
Tumori maligni dell'intestino tenue, compreso il duodeno (C17)	F	0	0	.	.	0 (0-257)	.	0 (.-.)	61 (16-160)	.	.	n.c.	1
Tumori maligni dell'intestino tenue, compreso il duodeno (C17)	M	0	0	.	.	0 (0-16)	.	0 (.-.)	109 (44-231)	.	.	n.c.	1
Tumori maligni dell'intestino tenue, compreso il duodeno (C17)	M + F	0	0	.	.	0 (0-133)	.	0 (.-.)	0 (0-0)	.	↓	n.c.	0 
Tumori maligni del colon (C18)	F	<5	>5	.	.	18 (6-273)	.	71 (32-157)	100 (81-121)	.	.	n.c.	1
Tumori maligni del colon (C18)	M	>5	>5	.	.	39 (20-69)	.	119 (69-205)	106 (85-132)	.	.	→	1

Tabella 15A - Morrovalle	Genere	Osservati	Attesi	Cluster sign.	SIR cluster	Tasso std. * 100000 (ic)	Tasso std. > Tasso reg.	SIR (ic)	BIR (ic)	SIR sign.	BIR sign.	Trend	Livello attenzione
Causa (ICD-IX)													
Tumori maligni del colon (C18)	M + F	13	13	.	.	28 (16-159)	.	98 (63-155)	105 (85-129)	.	.	→	1
Tumori maligni del retto, della giunzione retto-sigmoidea e dell'ano (C19-C21)	F	<5	<5	.	.	3 (0-260)	.	61 (14-273)	94 (56-143)	.	.	n.c.	1
Tumori maligni del retto, della giunzione retto-sigmoidea e dell'ano (C19-C21)	M	0	2	.	.	0 (0-16)	.	0 (.-.)	71 (39-107)	.	.	n.c.	1
Tumori maligni del retto, della giunzione retto-sigmoidea e dell'ano (C19-C21)	M + F	<5	<5	.	.	2 (0-135)	.	25 (6-113)	83 (53-116)	.	.	n.c.	1
Tumore fegato e dotti biliari (C22)	F	<5	<5	.	.	5 (0-261)	.	63 (14-283)	96 (71-126)	.	.	n.c.	1
Tumore fegato e dotti biliari (C22)	M	<5	<5	.	.	13 (4-36)	.	83 (33-208)	101 (70-142)	.	.	n.c.	1
Tumore fegato e dotti biliari (C22)	M + F	<5	>5	.	.	9 (3-141)	.	77 (35-172)	99 (70-135)	.	.	n.c.	1
Tumori maligni del pancreas (C25)	F	<5	<5	.	.	4 (0-260)	.	24 (5-106)	96 (78-113)	.	.	n.c.	1
Tumori maligni del pancreas (C25)	M	<5	>5	.	.	17 (6-41)	.	86 (39-192)	98 (79-116)	.	.	n.c.	1
Tumori maligni del pancreas (C25)	M + F	5	9	.	.	10 (4-143)	.	56 (27-116)	95 (77-110)	.	.	n.c.	1
Tumore del retroperitoneo (C48)	F	0	0	.	.	0 (0-257)	.	0 (.-.)	95 (56-147)	.	.	n.c.	1
Tumore del retroperitoneo (C48)	M	0	0	.	.	0 (0-16)	.	0 (.-.)	102 (38-196)	.	.	n.c.	1
Tumore del retroperitoneo (C48)	M + F	0	0	.	.	0 (0-133)	.	0 (.-.)	110 (68-147)	.	.	n.c.	1
Tumori maligni della laringe (C32)	F	0	0	.	.	0 (0-257)	.	0 (.-.)	104 (38-208)	.	.	n.c.	1
Tumori maligni della laringe (C32)	M	<5	<5	.	.	13 (4-35)	.	269 (108-674)	99 (66-152)	↑	.	n.c.	3 😞
Tumori maligni della laringe (C32)	M + F	<5	<5	.	.	6 (2-139)	.	247 (99-619)	98 (67-146)	.	.	n.c.	1



Tabella 15A - Morrovalle	Genere	Osservati	Attesi	Cluster sign.	SIR cluster	Tasso std. * 100000 (ic)	Tasso std. > Tasso reg.	SIR (ic)	BIR (ic)	SIR sign.	BIR sign.	Trend	Livello attenzione
Causa (ICD-IX)													
Tumori maligni della trachea, dei bronchi e dei polmoni (C33-C34)	F	5	6	.	.	22 (9-277)	.	86 (42-177)	96 (67-131)	.	.	n.c.	1
Tumori maligni della trachea, dei bronchi e dei polmoni (C33-C34)	M	10	19	.	.	44 (24-76)	.	52 (31-87)	93 (74-107)	↓	.	n.c.	0 
Tumori maligni della trachea, dei bronchi e dei polmoni (C33-C34)	M + F	15	25	.	.	33 (20-163)	.	60 (39-91)	90 (74-105)	↓	.	n.c.	0 
Mesotelioma (pleura, peritoneo, endocardio, ecc.) (C45)	F	0	0	.	.	0 (0-257)	.	0 (.-.)	107 (49-187)	.	.	n.c.	1
Mesotelioma (pleura, peritoneo, endocardio, ecc.) (C45)	M	0	1	.	.	0 (0-16)	.	0 (.-.)	57 (20-136)	.	.	n.c.	1
Mesotelioma (pleura, peritoneo, endocardio, ecc.) (C45)	M + F	0	1	.	.	0 (0-133)	.	0 (.-.)	81 (38-150)	.	.	n.c.	1
Tumori maligni delle ossa e della cartilagine articolare (C40-C41)	F	0	0	.	.	0 (0-257)	.	0 (.-.)	106 (31-243)	.	.	n.c.	1
Tumori maligni delle ossa e della cartilagine articolare (C40-C41)	M	0	0	.	.	0 (0-16)	.	0 (.-.)	71 (22-181)	.	.	n.c.	1
Tumori maligni delle ossa e della cartilagine articolare (C40-C41)	M + F	0	0	.	.	0 (0-133)	.	0 (.-.)	85 (26-195)	.	.	n.c.	1
Tumori maligni del connettivo e di altri tessuti molli (C49)	F	0	0	.	.	0 (0-257)	.	0 (.-.)	103 (62-151)	.	.	n.c.	1
Tumori maligni del connettivo e di altri tessuti molli (C49)	M	0	0	.	.	0 (0-16)	.	0 (.-.)	92 (60-136)	.	.	n.c.	1
Tumori maligni del connettivo e di altri tessuti molli (C49)	M + F	0	1	.	.	0 (0-133)	.	0 (.-.)	99 (71-134)	.	.	n.c.	1
Melanoma maligno della pelle (C43)	F	0	1	.	.	0 (0-257)	.	0 (.-.)	98 (67-136)	.	.	n.c.	1
Melanoma maligno della pelle (C43)	M	<5	<5	.	.	8 (1-29)	.	228 (76-690)	99 (68-147)	.	.	n.c.	1
Melanoma maligno della pelle (C43)	M + F	<5	<5	.	.	4 (1-137)	.	134 (44-404)	98 (73-129)	.	.	n.c.	1
Tumori maligni della mammella (C50)	F	11	9	.	.	46 (26-299)	.	118 (72-192)	108 (90-131)	.	.	n.c.	1

Tabella 15A - Morrovalle	Genere	Osservati	Attesi	Cluster sign.	SIR cluster	Tasso std. * 100000 (ic)	Tasso std. > Tasso reg.	SIR (ic)	BIR (ic)	SIR sign.	BIR sign.	Trend	Livello attenzione
Causa (ICD-IX)													
Tumori maligni della mammella (C50)	M + F	11	10	.	.	24 (13-155)	.	116 (71-189)	109 (90-131)	'	'	n.c.	1
Tumori maligni dell'utero (C53-C55)	F	<5	<5	.	.	4 (0-260)	.	45 (10-203)	92 (67-119)	'	'	n.c.	1
Tumori maligni del corpo dell'utero (C54)	F	0	1	.	.	0 (0-257)	.	0 (.-.)	83 (37-140)	'	'	n.c.	1
Tumori maligni dell'ovaio e degli altri annessi uterini (C56-C57)	F	<5	<5	.	.	17 (6-272)	.	163 (73-362)	102 (76-139)	'	'	n.c.	1
Tumore della prostata (C61)	M	7	7	.	.	31 (15-60)	.	104 (56-191)	100 (84-118)	'	'	n.c.	1
Tumore del testicolo (C62)	M	0	0	.	.	0 (0-16)	.	0 (.-.)	89 (22-238)	'	'	n.c.	1
Tumori maligni della vescica (C67)	F	0	1	.	.	0 (0-257)	.	0 (.-.)	104 (67-140)	'	'	n.c.	1
Tumori maligni della vescica (C67)	M	0	4	.	.	0 (0-16)	.	0 (.-.)	95 (76-113)	'	'	n.c.	1
Tumori maligni della vescica (C67)	M + F	0	5	.	.	0 (0-133)	.	0 (.-.)	99 (83-113)	'	'	n.c.	1
Tumori maligni del rene e di altri e non specificati organi urinari (C64-C66, C68)	F	0	1	.	.	0 (0-257)	.	0 (.-.)	77 (41-120)	'	'	n.c.	1
Tumori maligni del rene e di altri e non specificati organi urinari (C64-C66, C68)	M	<5	<5	.	.	9 (2-30)	.	79 (26-238)	90 (63-122)	'	'	n.c.	1
Tumori maligni del rene e di altri e non specificati organi urinari (C64-C66, C68)	M + F	<5	<5	.	.	4 (1-137)	.	53 (17-160)	86 (60-114)	'	'	n.c.	1
tumore del sistema nervoso centrale (C70-C72,D33)	F	<5	<5	.	.	5 (0-261)	.	80 (18-358)	95 (71-127)	'	'	n.c.	1
tumore del sistema nervoso centrale (C70-C72,D33)	M	<5	<5	.	.	10 (2-31)	.	95 (31-286)	103 (67-153)	'	'	n.c.	1
tumore del sistema nervoso centrale (C70-C72,D33)	M + F	<5	<5	.	.	7 (2-140)	.	89 (36-223)	101 (84-122)	'	'	n.c.	1
Tumori maligni dell'encefalo (C71)	F	<5	<5	.	.	5 (0-261)	.	84 (19-376)	95 (76-119)	'	'	n.c.	1

Tabella 15A - Morrovalle	Genere	Osservati	Attesi	Cluster sign.	SIR cluster	Tasso std. * 100000 (ic)	Tasso std. > Tasso reg.	SIR (ic)	BIR (ic)	SIR sign.	BIR sign.	Trend	Livello attenzione
Causa (ICD-IX)													
Tumori maligni dell'encefalo (C71)	M	<5	<5	.	.	10 (2-31)	.	97 (32-292)	103 (69-143)	'	'	n.c.	1
Tumori maligni dell'encefalo (C71)	M + F	<5	<5	.	.	7 (2-140)	.	92 (37-230)	102 (85-119)	'	'	n.c.	1
Tumori maligni della ghiandola tiroide (C73)	F	0	0	.	.	0 (0-257)	.	0 (.-.)	120 (62-193)	'	'	n.c.	1
Tumori maligni della ghiandola tiroide (C73)	M	0	0	.	.	0 (0-16)	.	0 (.-.)	100 (64-151)	'	'	n.c.	1
Tumori maligni della ghiandola tiroide (C73)	M + F	0	1	.	.	0 (0-133)	.	0 (.-.)	115 (75-164)	'	'	n.c.	1
Tumori emolinfopoiетici (C81-C96)	F	9	6	.	.	40 (21-294)	.	162 (94-278)	103 (89-120)	'	'	n.c.	1
Tumori emolinfopoiетici (C81-C96)	M	5	7	.	.	21 (8-46)	.	71 (35-146)	102 (88-114)	'	'	n.c.	1
Tumori emolinfopoiетici (C81-C96)	M + F	14	13	.	.	31 (19-162)	.	111 (72-172)	102 (92-114)	'	'	n.c.	1
Malattia di Hodgkin (C81)	F	0	0	.	.	0 (0-257)	.	0 (.-.)	95 (28-209)	'	'	n.c.	1
Malattia di Hodgkin (C81)	M	<5	<5	.	.	4 (0-22)	.	552 (123-2475)	108 (60-202)	↑	'	n.c.	1
Malattia di Hodgkin (C81)	M + F	<5	<5	.	.	2 (0-135)	.	296 (66-1327)	108 (55-206)	'	'	n.c.	1
Linfoma non Hodgkin (C82-C85)	F	>5	<5	.	.	27 (12-282)	↑	355 (184-686)	102 (81-139)	↑	'	n.c.	3 😊
Linfoma non Hodgkin (C82-C85)	M	<5	<5	.	.	12 (3-34)	.	119 (48-298)	109 (90-130)	'	'	n.c.	1
Linfoma non Hodgkin (C82-C85)	M + F	9	4	.	.	20 (10-152)	↑	214 (124-368)	107 (89-137)	↑	'	n.c.	3 😊
Mieloma multiplo e tumori immunoproliferativi (C88, C90)	F	<5	<5	.	.	4 (0-261)	.	73 (16-326)	93 (66-122)	'	'	n.c.	1
Mieloma multiplo e tumori immunoproliferativi (C88, C90)	M	0	2	.	.	0 (0-16)	.	0 (.-.)	94 (64-129)	'	'	n.c.	1

Tabella 15A - Morrovalle	Genere	Osservati	Attesi	Cluster sign.	SIR cluster	Tasso std. * 100000 (ic)	Tasso std. > Tasso reg.	SIR (ic)	BIR (ic)	SIR sign.	BIR sign.	Trend	Livello attenzione
Causa (ICD-IX)													
Mieloma multiplo e tumori immunoproliferativi (C88, C90)	M + F	<5	<5	.	.	2 (0-135)	.	35 (8-155)	91 (65-123)	.	.	n.c.	1
Leucemie (C91-C95)	F	<5	<5	.	.	9 (2-265)	.	87 (29-263)	107 (80-140)	.	.	n.c.	1
Leucemie (C91-C95)	M	<5	<5	.	.	4 (0-22)	.	36 (8-160)	91 (62-125)	.	.	n.c.	1
Leucemie (C91-C95)	M + F	<5	>5	.	.	7 (2-139)	.	59 (24-147)	102 (83-120)	.	.	n.c.	1
Leucemia linfocitica (acuta e cronica) (C91)	F	<5	<5	.	.	4 (0-261)	.	132 (29-591)	117 (86-157)	.	.	n.c.	1
Leucemia linfocitica (acuta e cronica) (C91)	M	<5	<5	.	.	4 (0-22)	.	92 (20-411)	106 (76-144)	.	.	n.c.	1
Leucemia linfocitica (acuta e cronica) (C91)	M + F	<5	<5	.	.	4 (1-137)	.	108 (36-327)	111 (91-136)	.	.	n.c.	1
Leucemia mieloide (acuta e cronica) (C92)	F	0	1	.	.	0 (0-257)	.	0 (-.)	99 (63-131)	.	.	n.c.	1
Leucemia mieloide (acuta e cronica) (C92)	M	0	1	.	.	0 (0-16)	.	0 (-.)	85 (50-118)	.	.	n.c.	1
Leucemia mieloide (acuta e cronica) (C92)	M + F	0	2	.	.	0 (0-133)	.	0 (-.)	88 (60-118)	.	.	n.c.	1
Malattie del sangue e degli organi emopoietici (D50-D77)	F	<5	<5	.	.	5 (0-261)	.	71 (16-320)	102 (64-143)	.	.	n.c.	1
Malattie del sangue e degli organi emopoietici (D50-D77)	M	<5	<5	.	.	4 (0-22)	.	105 (23-471)	96 (70-127)	.	.	n.c.	1
Malattie del sangue e degli organi emopoietici (D50-D77)	M + F	<5	<5	.	.	4 (1-137)	.	85 (28-257)	101 (75-129)	.	.	n.c.	1
Malattie endocrine, della nutrizione ed immunitarie (E00-E90, D80-D89)	F	9	10	.	.	45 (24-299)	.	95 (55-163)	93 (72-120)	.	.	n.c.	1
Malattie endocrine, della nutrizione ed immunitarie (E00-E90, D80-D89)	M	9	9	.	.	38 (20-68)	.	100 (58-171)	93 (70-120)	.	.	n.c.	1
Malattie endocrine, della nutrizione ed immunitarie (E00-E90, D80-D89)	M + F	18	19	.	.	42 (27-172)	.	97 (66-143)	91 (72-112)	.	.	→	1




Tabella 15A - Morrovalle	Genere	Osservati	Attesi	Cluster sign.	SIR cluster	Tasso std. * 100000 (ic)	Tasso std. > Tasso reg.	SIR (ic)	BIR (ic)	SIR sign.	BIR sign.	Trend	Livello attenzione
Causa (ICD-IX)													
Tireotossicosi (E05)	F	<5	<5	.	.	5 (0-261)	.	833 (186-3735)	119 (50-301)	↑	.	n.c.	1
Tireotossicosi (E05)	M	0	0	.	.	0 (0-16)	.	0 (.-.)	63 (0-245)	.	.	n.c.	1
Tireotossicosi (E05)	M + F	<5	<5	.	.	2 (0-135)	.	577 (129-2588)	117 (49-317)	↑	.	n.c.	1
Ipotiroidismo (E00-E03)	F	0	0	.	.	0 (0-257)	.	0 (.-.)	79 (19-194)	.	.	n.c.	1
Ipotiroidismo (E00-E03)	M	0	0	.	.	0 (0-16)	.	0 (.-.)	59 (11-166)	.	.	n.c.	1
Ipotiroidismo (E00-E03)	M + F	0	0	.	.	0 (0-133)	.	0 (.-.)	84 (30-163)	.	.	n.c.	1
Diabete mellito (E10-E14)	F	8	7	.	.	41 (20-294)	.	116 (65-205)	98 (75-129)	.	.	n.c.	1
Diabete mellito (E10-E14)	M	8	7	.	.	34 (17-63)	.	119 (67-212)	95 (70-129)	.	.	n.c.	1
Diabete mellito (E10-E14)	M + F	16	14	.	.	37 (23-168)	.	117 (78-177)	99 (77-128)	.	.	→	1
Demenze (F00-F01, F020-F023, F03, G30, G310)	F	13	15	.	.	61 (36-314)	.	89 (56-140)	86 (64-115)	.	.	→	1
Demenze (F00-F01, F020-F023, F03, G30, G310)	M	0	9	.	.	0 (0-16)	.	0 (.-.)	65 (43-91)	.	↓	n.c.	0 
Demenze (F00-F01, F020-F023, F03, G30, G310)	M + F	13	24	.	.	32 (19-163)	.	55 (35-87)	70 (52-91)	↓	↓	→	0 
Malattie neuro-psichiatriche (escluse tossicod.) (F00-F09, F20-F99)	F	>5	>5	.	.	44 (23-297)	.	112 (65-192)	91 (57-138)	.	.	n.c.	1
Malattie neuro-psichiatriche (escluse tossicod.) (F00-F09, F20-F99)	M	<5	>5	.	.	4 (0-22)	.	20 (5-91)	51 (30-81)	↓	↓	n.c.	0 
Malattie neuro-psichiatriche (escluse tossicod.) (F00-F09, F20-F99)	M + F	10	13	.	.	25 (13-156)	.	77 (46-129)	71 (47-101)	.	.	n.c.	1
Malattie del sistema nervoso e degli organi di senso (G00-H95)	F	12	13	.	.	52 (30-305)	.	93 (58-149)	100 (79-126)	.	.	→	1

Tabella 15A - Morrovalle	Genere	Osservati	Attesi	Cluster sign.	SIR cluster	Tasso std. * 100000 (ic)	Tasso std. > Tasso reg.	SIR (ic)	BIR (ic)	SIR sign.	BIR sign.	Trend	Livello attenzione
Causa (ICD-IX)													
Malattie del sistema nervoso e degli organi di senso (G00-H95)	M	11	11	.	.	47 (26-79)	.	104 (64-170)	106 (84-134)	.	.	n.c.	1
Malattie del sistema nervoso e degli organi di senso (G00-H95)	M + F	23	24	.	.	50 (34-180)	.	98 (70-138)	103 (85-125)	.	.	→	1
Morbo di Parkinson (G20)	F	<5	<5	.	.	14 (4-270)	.	180 (72-451)	103 (74-152)	.	.	n.c.	1
Morbo di Parkinson (G20)	M	>5	<5	.	.	21 (8-46)	.	224 (109-460)	107 (82-149)	↑	.	n.c.	3 😞
Morbo di Parkinson (G20)	M + F	8	4	.	.	17 (9-149)	↑	205 (116-364)	109 (85-148)	↑	.	n.c.	3 😞
Malattia di Alzheimer (G30)	F	<5	>5	.	.	17 (6-272)	.	57 (26-127)	84 (56-120)	.	.	n.c.	1
Malattia di Alzheimer (G30)	M	0	4	.	.	0 (0-16)	.	0 (.-.)	80 (46-122)	.	.	n.c.	1
Malattia di Alzheimer (G30)	M + F	<5	>5	.	.	9 (3-141)	.	35 (16-79)	77 (54-108)	↓	.	n.c.	0 😊
Epilessia (G40)	F	0	0	.	.	0 (0-257)	.	0 (.-.)	111 (62-170)	.	.	n.c.	1
Epilessia (G40)	M	0	0	.	.	0 (0-16)	.	0 (.-.)	96 (55-151)	.	.	n.c.	1
Epilessia (G40)	M + F	0	1	.	.	0 (0-133)	.	0 (.-.)	102 (54-155)	.	.	n.c.	1
Malattia dei neuroni motori (G122)	F	<5	<5	.	.	4 (0-260)	.	119 (27-535)	82 (32-197)	.	.	n.c.	1
Malattia dei neuroni motori (G122)	M	<5	<5	.	.	9 (2-30)	.	215 (71-651)	103 (60-182)	.	.	n.c.	1
Malattia dei neuroni motori (G122)	M + F	<5	<5	.	.	6 (2-139)	.	170 (68-425)	105 (54-201)	.	.	n.c.	1
Sclerosi multipla (G35)	F	0	0	.	.	0 (0-257)	.	0 (.-.)	104 (60-167)	.	.	n.c.	1
Sclerosi multipla (G35)	M	0	0	.	.	0 (0-16)	.	0 (.-.)	81 (13-215)	.	.	n.c.	1







Tabella 15A - Morrovalle	Genere	Osservati	Attesi	Cluster sign.	SIR cluster	Tasso std. * 100000 (ic)	Tasso std. > Tasso reg.	SIR (ic)	BIR (ic)	SIR sign.	BIR sign.	Trend	Livello attenzione
Causa (ICD-IX)													
Sclerosi multipla (G35)	M + F	0	0	.	.	0 (0-133)	.	0 (.-.)	102 (65-148)	,	,	n.c.	1
Neuropatie tossiche e infiammatorie non specificate (G619, G629)	F	0	0	.	.	0 (0-257)	.	0 (.-.)	55 (4-266)	,	,	n.c.	1
Neuropatie tossiche e infiammatorie non specificate (G619, G629)	M	0	0	.	.	0 (0-16)	.	0 (.-.)	44 (8-145)	,	,	n.c.	1
Neuropatie tossiche e infiammatorie non specificate (G619, G629)	M + F	0	0	.	.	0 (0-133)	.	0 (.-.)	56 (10-153)	,	,	n.c.	1
Malattie dell'apparato circolatorio (I00-I99)	F	86	93	.	.	403 (334-657)	.	92 (77-110)	98 (89-108)	,	,	↓	0 
Malattie dell'apparato circolatorio (I00-I99)	M	82	91	.	.	354 (292-427)	.	90 (75-108)	98 (88-108)	,	,	→	1
Malattie dell'apparato circolatorio (I00-I99)	M + F	168	184	.	.	380 (332-516)	.	91 (80-104)	96 (88-105)	,	,	→	1
Malattia ipertensiva (I10-I15)	F	20	10	2	144	101 (66-352)	↑	195 (135-281)	132 (94-185)	↑	,	n.c.	3 
Malattia ipertensiva (I10-I15)	M	10	7	.	.	46 (25-80)	.	137 (82-230)	113 (74-168)	,	,	n.c.	1
Malattia ipertensiva (I10-I15)	M + F	30	18	2	135	74 (53-204)	↑	171 (127-231)	143 (107-188)	↑	↑	n.c.	5 
Malattie ischemiche del cuore (I20-I25)	F	19	31	.	.	88 (57-339)	.	62 (43-90)	79 (63-98)	↓	↓	→	0 
Malattie ischemiche del cuore (I20-I25)	M	19	37	.	.	81 (53-121)	.	52 (36-75)	79 (65-95)	↓	↓	↑	0 
Malattie ischemiche del cuore (I20-I25)	M + F	38	67	.	.	85 (63-214)	.	56 (43-74)	71 (59-85)	↓	↓	→	0 
Infarto miocardico acuto (I21-I22)	F	6	9	.	.	28 (12-283)	.	68 (35-132)	80 (53-118)	,	,	n.c.	1
Infarto miocardico acuto (I21-I22)	M	12	13	.	.	52 (30-86)	.	93 (58-149)	94 (69-127)	,	,	n.c.	1
Infarto miocardico acuto (I21-I22)	M + F	18	22	.	.	40 (26-170)	.	83 (57-122)	86 (63-116)	,	,	↑	1





Tabella 15A - Morrovalle	Genere	Osservati	Attesi	Cluster sign.	SIR cluster	Tasso std. * 100000 (ic)	Tasso std. > Tasso reg.	SIR (ic)	BIR (ic)	SIR sign.	BIR sign.	Trend	Livello attenzione
Causa (ICD-IX)													
Malattie cerebrovascolari (I60-I69)	F	32	26	2	127	145 (106-395)	.	122 (92-163)	115 (95-140)	.	.	↓	1
Malattie cerebrovascolari (I60-I69)	M	30	23	2	123	129 (93-176)	.	128 (95-173)	117 (97-144)	.	.	→	1
Malattie cerebrovascolari (I60-I69)	M + F	62	50	2	125	137 (110-267)	↑	125 (102-154)	119 (102-140)	↑	↑	→	5 
Malattie dell'apparato respiratorio (J00-J99)	F	15	13	.	.	75 (46-327)	.	115 (76-176)	98 (78-125)	.	.	→	1
Malattie dell'apparato respiratorio (J00-J99)	M	26	20	.	.	110 (77-155)	.	132 (96-183)	107 (89-131)	.	.	n.c.	1
Malattie dell'apparato respiratorio (J00-J99)	M + F	41	33	.	.	92 (69-221)	.	126 (97-162)	108 (90-130)	.	.	→	1
Malattie respiratorie acute (J00-J06, J10-J18, J20-J22)	F	5	4	.	.	26 (10-281)	.	133 (65-274)	96 (62-147)	.	.	n.c.	1
Malattie respiratorie acute (J00-J06, J10-J18, J20-J22)	M	5	4	2	145	21 (8-45)	.	119 (58-245)	98 (55-164)	.	.	n.c.	1
Malattie respiratorie acute (J00-J06, J10-J18, J20-J22)	M + F	10	8	.	.	23 (12-155)	.	126 (75-211)	101 (67-150)	.	.	→	1
Malattie croniche dell'apparato respiratorio (BCPO) (J41-J44, J47)	F	9	5	.	.	44 (23-298)	.	170 (99-292)	114 (80-167)	.	.	n.c.	1
Malattie croniche dell'apparato respiratorio (BCPO) (J41-J44, J47)	M	16	11	.	.	68 (42-104)	.	152 (101-228)	107 (85-139)	↑	.	n.c.	3 
Malattie croniche dell'apparato respiratorio (BCPO) (J41-J44, J47)	M + F	25	16	.	.	56 (38-185)	↑	158 (114-219)	118 (92-152)	↑	.	→	3 
Asma (J45)	F	0	0	.	.	0 (0-257)	.	0 (-.)	81 (30-171)	.	.	n.c.	1
Asma (J45)	M	0	0	.	.	0 (0-16)	.	0 (-.)	76 (20-170)	.	.	n.c.	1
Asma (J45)	M + F	0	0	.	.	0 (0-133)	.	0 (-.)	85 (45-137)	.	.	n.c.	1
Pneumoconiosi (J60-J64)	M	0	0	.	.	0 (0-16)	.	0 (-.)	18 (3-68)	.	↓	n.c.	0 


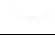



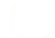



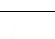
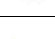





Tabella 15A - Morrovalle	Genere	Osservati	Attesi	Cluster sign.	SIR cluster	Tasso std. * 100000 (ic)	Tasso std. > Tasso reg.	SIR (ic)	BIR (ic)	SIR sign.	BIR sign.	Trend	Livello attenzione
Causa (ICD-IX)													
Pneumoconiosi (J60-J64)	M + F	0	0	.	.	0 (0-133)	.	0 (.-.)	18 (3-68)	.	↓	n.c.	0 
Malattie dell'apparato digerente (K00-K93)	F	10	9	2	132	46 (25-299)	.	118 (70-197)	105 (90-122)	.	.	n.c.	1 
Malattie dell'apparato digerente (K00-K93)	M	6	9	.	.	27 (12-54)	.	66 (34-128)	99 (82-115)	.	.	n.c.	1 
Malattie dell'apparato digerente (K00-K93)	M + F	16	18	2	123	37 (23-167)	.	91 (61-137)	102 (86-120)	.	.	→	1 
Cirrosi e altre malattie croniche del fegato (K70, K73-K74)	F	<5	<5	.	.	9 (2-265)	.	155 (51-467)	111 (70-172)	.	.	n.c.	1 
Cirrosi e altre malattie croniche del fegato (K70, K73-K74)	M	<5	<5	.	.	4 (0-23)	.	39 (9-175)	95 (75-114)	.	.	n.c.	1 
Cirrosi e altre malattie croniche del fegato (K70, K73-K74)	M + F	<5	<5	.	.	7 (2-140)	.	78 (31-195)	100 (77-127)	.	.	n.c.	1 
Nefropatie croniche e acute (N00-N12)	F	0	0	.	.	0 (0-257)	.	0 (.-.)	85 (41-164)	.	.	n.c.	1 
Nefropatie croniche e acute (N00-N12)	M	0	0	.	.	0 (0-16)	.	0 (.-.)	53 (16-136)	.	.	n.c.	1 
Nefropatie croniche e acute (N00-N12)	M + F	0	0	.	.	0 (0-133)	.	0 (.-.)	73 (20-190)	.	.	n.c.	1 
Malattie dell'apparato genito-urinario (N00-N99)	F	7	5	2	148	31 (15-285)	.	154 (83-284)	119 (88-163)	.	.	n.c.	1 
Malattie dell'apparato genito-urinario (N00-N99)	M	11	5	2	154	48 (27-81)	↑	235 (144-384)	132 (93-196)	↑	.	→	3 
Malattie dell'apparato genito-urinario (N00-N99)	M + F	18	9	2	140	39 (25-170)	↑	195 (133-287)	132 (102-174)	↑	↑	→	5 
Insufficienza renale acuta e cronica (N17-N19)	F	7	4	2	142	31 (15-285)	.	184 (100-340)	116 (88-162)	.	.	n.c.	1 
Insufficienza renale acuta e cronica (N17-N19)	M	9	4	.	.	40 (21-71)	↑	237 (138-408)	122 (90-181)	↑	.	→	3 
Insufficienza renale acuta e cronica (N17-N19)	M + F	16	8	2	134	35 (22-166)	↑	211 (140-317)	135 (104-184)	↑	↑	→	5 

Tabella 15A - Morrovalle	Genere	Osservati	Attesi	Cluster sign.	SIR cluster	Tasso std. * 100000 (ic)	Tasso std. > Tasso reg.	SIR (ic)	BIR (ic)	SIR sign.	BIR sign.	Trend	Livello attenzione
Causa (ICD-IX)													
Malformazioni congenite (Q00-Q99)	F	<5	<5	.	.	6 (0-263)	.	152 (34-679)	121 (39-321)	,	,	n.c.	1
Malformazioni congenite (Q00-Q99)	M	<5	<5	.	.	7 (1-26)	.	352 (117-1065)	145 (50-393)	↑	,	n.c.	3 ☹️
Malformazioni congenite (Q00-Q99)	M + F	<5	<5	.	.	7 (2-139)	.	244 (98-612)	160 (68-351)	,	,	n.c.	1
Sintomi, segni e stati morbosi mal definiti (R00-R99)	F	<5	<5	.	.	6 (0-263)	.	48 (11-217)	50 (18-123)	,	,	n.c.	1
Sintomi, segni e stati morbosi mal definiti (R00-R99)	M	0	1	.	.	0 (0-16)	.	0 (.-.)	47 (16-124)	,	,	n.c.	1
Sintomi, segni e stati morbosi mal definiti (R00-R99)	M + F	<5	<5	.	.	3 (0-136)	.	29 (6-129)	40 (15-90)	,	↓	n.c.	0 😊
Traumatismi e avvelenamenti (S00-T98)	F	8	8	.	.	35 (17-288)	.	99 (56-175)	102 (76-135)	,	,	n.c.	1
Traumatismi e avvelenamenti (S00-T98)	M	13	13	.	.	55 (32-89)	.	100 (64-157)	97 (84-114)	,	,	→	1
Traumatismi e avvelenamenti (S00-T98)	M + F	21	21	.	.	44 (30-174)	.	100 (70-142)	100 (84-118)	,	,	→	1

Tabella 16A. Decessi per causa nel comune di Numana, tutte le età, periodo di osservazione 2009-2013




Tabella 16A - Numana	Genere	Osservati	Attesi	Cluster sign.	SIR cluster	Tasso std. * 100000 (ic)	Tasso std. > Tasso reg.	SIR (ic)	BIR (ic)	SIR sign.	BIR sign.	Trend	Livello attenzione
Causa (ICD-IX)													
Mortalità generale (escluse cause violente) (A00-R99)	F	66	80	.	.	821 (661-1012)	.	83 (68-101)	97 (89-105)	.	.	↓	0 
Mortalità generale (escluse cause violente) (A00-R99)	M	89	90	.	.	951 (790-1140)	.	99 (83-117)	99 (89-108)	.	.	→	1
Mortalità generale (escluse cause violente) (A00-R99)	M + F	155	170	.	.	885 (769-1015)	.	91 (80-104)	96 (88-104)	.	.	→	1
Mortalità per cause esterne o violente (S00-Y99)	F	<5	<5	.	.	22 (4-76)	.	70 (23-212)	98 (68-137)	.	.	n.c.	1
Mortalità per cause esterne o violente (S00-Y99)	M	>5	>5	.	.	100 (54-176)	↑	196 (117-328)	104 (89-128)	↑	.	n.c.	3 
Mortalità per cause esterne o violente (S00-Y99)	M + F	12	8	.	.	60 (34-101)	.	151 (94-241)	105 (86-129)	.	.	n.c.	1
Malattie infettive (A00-B99)	F	0	1	.	.	0 (0-43)	.	0 (.-.)	82 (52-120)	.	.	n.c.	1
Malattie infettive (A00-B99)	M	<5	<5	.	.	30 (8-87)	.	178 (71-445)	97 (73-131)	.	.	n.c.	1
Malattie infettive (A00-B99)	M + F	<5	<5	.	.	15 (4-44)	.	101 (40-254)	91 (65-127)	.	.	n.c.	1
Epatite virale (B17-B19)	F	0	0	.	.	0 (0-43)	.	0 (.-.)	75 (42-123)	.	.	n.c.	1
Epatite virale (B17-B19)	M	<5	<5	.	.	12 (1-62)	.	334 (75-1498)	90 (48-167)	.	.	n.c.	1
Epatite virale (B17-B19)	M + F	<5	<5	.	.	6 (0-31)	.	217 (48-973)	85 (58-120)	.	.	n.c.	1
Tutti i tumori (C00-D48)	F	18	21	.	.	215 (138-323)	.	87 (59-128)	96 (88-105)	.	.	↓	0 
Tutti i tumori (C00-D48)	M	37	31	.	.	386 (287-513)	.	119 (91-156)	99 (89-113)	.	.	→	1
Tutti i tumori (C00-D48)	M + F	55	52	.	.	299 (235-377)	.	106 (85-133)	98 (89-108)	.	.	→	1
Tumori maligni delle vie aeree e digestive superiori (C00-C15, C32)	F	0	0	.	.	0 (0-43)	.	0 (.-.)	74 (48-109)	.	.	n.c.	1



Tabella 16A - Numana	Genere	Osservati	Attesi	Cluster sign.	SIR cluster	Tasso std. * 100000 (ic)	Tasso std. > Tasso reg.	SIR (ic)	BIR (ic)	SIR sign.	BIR sign.	Trend	Livello attenzione
Causa (ICD-IX)													
Tumori maligni delle vie aeree e digestive superiori (C00-C15, C32)	M	0	1	.	.	0 (0-42)	.	0 (-.)	79 (48-120)	.	.	n.c.	1
Tumori maligni delle vie aeree e digestive superiori (C00-C15, C32)	M + F	0	1	.	.	0 (0-22)	.	0 (-.)	78 (49-111)	.	.	n.c.	1
Tumori maligni (C00-C97)	F	18	20	.	.	215 (138-323)	.	92 (62-135)	97 (88-106)	.	.	↓	0 
Tumori maligni (C00-C97)	M	36	30	.	.	377 (279-503)	.	121 (92-159)	100 (89-111)	.	.	→	1
Tumori maligni (C00-C97)	M + F	54	49	.	.	294 (231-372)	.	109 (88-137)	99 (90-109)	.	.	→	1
Tumori maligni dell'esofago (C15)	F	0	0	.	.	0 (0-43)	.	0 (-.)	71 (24-152)	.	.	n.c.	1
Tumori maligni dell'esofago (C15)	M	0	0	.	.	0 (0-42)	.	0 (-.)	92 (45-159)	.	.	n.c.	1
Tumori maligni dell'esofago (C15)	M + F	0	0	.	.	0 (0-22)	.	0 (-.)	89 (39-167)	.	.	n.c.	1
Tumori maligni dello stomaco (C16)	F	<5	<5	.	.	11 (1-61)	.	62 (14-278)	96 (72-121)	.	.	n.c.	1
Tumori maligni dello stomaco (C16)	M	<5	<5	.	.	41 (14-101)	.	157 (71-350)	100 (70-145)	.	.	n.c.	1
Tumori maligni dello stomaco (C16)	M + F	5	4	.	.	26 (10-58)	.	120 (59-247)	90 (66-121)	.	.	n.c.	1
Tumori maligni dell'intestino tenue, compreso il duodeno (C17)	F	0	0	.	.	0 (0-43)	.	0 (-.)	120 (28-317)	.	.	n.c.	1
Tumori maligni dell'intestino tenue, compreso il duodeno (C17)	M	0	0	.	.	0 (0-42)	.	0 (-.)	52 (15-144)	.	.	n.c.	1
Tumori maligni dell'intestino tenue, compreso il duodeno (C17)	M + F	0	0	.	.	0 (0-22)	.	0 (-.)	0 (0-0)	.	↓	n.c.	0 
Tumori maligni del colon (C18)	F	<5	<5	.	.	13 (1-64)	.	50 (11-225)	101 (78-129)	.	.	n.c.	1
Tumori maligni del colon (C18)	M	<5	<5	2	137	38 (13-96)	.	142 (64-317)	112 (84-156)	.	.	n.c.	1

Tabella 16A - Numana	Genere	Osservati	Attesi	Cluster sign.	SIR cluster	Tasso std. * 100000 (ic)	Tasso std. > Tasso reg.	SIR (ic)	BIR (ic)	SIR sign.	BIR sign.	Trend	Livello attenzione
Causa (ICD-IX)													
Tumori maligni del colon (C18)	M + F	5	5	.	.	25 (10-57)	.	104 (51-214)	111 (84-148)	'	'	n.c.	1
Tumori maligni del retto, della giunzione retto-sigmoidea e dell'ano (C19-C21)	F	<5	<5	.	.	14 (1-68)	.	182 (40-814)	102 (53-189)	'	'	n.c.	1
Tumori maligni del retto, della giunzione retto-sigmoidea e dell'ano (C19-C21)	M	0	1	.	.	0 (0-42)	.	0 (.-.)	75 (39-133)	'	'	n.c.	1
Tumori maligni del retto, della giunzione retto-sigmoidea e dell'ano (C19-C21)	M + F	<5	<5	.	.	7 (0-35)	.	63 (14-284)	93 (58-139)	'	'	n.c.	1
Tumore fegato e dotti biliari (C22)	F	0	1	.	.	0 (0-43)	.	0 (.-.)	102 (72-138)	'	'	n.c.	1
Tumore fegato e dotti biliari (C22)	M	<5	<5	.	.	10 (1-58)	.	85 (19-383)	96 (60-156)	'	'	n.c.	1
Tumore fegato e dotti biliari (C22)	M + F	<5	<5	.	.	5 (0-30)	.	56 (12-250)	98 (63-153)	'	'	n.c.	1
Tumori maligni del pancreas (C25)	F	0	2	.	.	0 (0-43)	.	0 (.-.)	100 (81-121)	'	'	n.c.	1
Tumori maligni del pancreas (C25)	M	<5	<5	.	.	10 (1-58)	.	55 (12-248)	98 (78-120)	'	'	n.c.	1
Tumori maligni del pancreas (C25)	M + F	<5	<5	.	.	5 (0-30)	.	30 (7-135)	97 (78-117)	'	'	n.c.	1
Tumore del retroperitoneo (C48)	F	0	0	.	.	0 (0-43)	.	0 (.-.)	103 (54-182)	'	'	n.c.	1
Tumore del retroperitoneo (C48)	M	0	0	.	.	0 (0-42)	.	0 (.-.)	62 (20-181)	'	'	n.c.	1
Tumore del retroperitoneo (C48)	M + F	0	0	.	.	0 (0-22)	.	0 (.-.)	87 (51-132)	'	'	n.c.	1
Tumori maligni della laringe (C32)	F	0	0	.	.	0 (0-43)	.	0 (.-.)	73 (21-186)	'	'	n.c.	1
Tumori maligni della laringe (C32)	M	0	0	.	.	0 (0-42)	.	0 (.-.)	81 (45-131)	'	'	n.c.	1
Tumori maligni della laringe (C32)	M + F	0	0	.	.	0 (0-22)	.	0 (.-.)	83 (46-134)	'	'	n.c.	1

Tabella 16A - Numana	Genere	Osservati	Attesi	Cluster sign.	SIR cluster	Tasso std. * 100000 (ic)	Tasso std. > Tasso reg.	SIR (ic)	BIR (ic)	SIR sign.	BIR sign.	Trend	Livello attenzione
Causa (ICD-IX)													
Tumori maligni della trachea, dei bronchi e dei polmoni (C33-C34)	F	<5	<5	.	.	23 (4-79)	.	105 (35-317)	92 (60-134)	.	.	n.c.	1
Tumori maligni della trachea, dei bronchi e dei polmoni (C33-C34)	M	>5	>5	.	.	78 (37-152)	.	101 (55-186)	93 (76-113)	.	.	n.c.	1
Tumori maligni della trachea, dei bronchi e dei polmoni (C33-C34)	M + F	9	9	.	.	50 (26-90)	.	102 (59-175)	98 (79-122)	.	.	n.c.	1
Mesotelioma (pleura, peritoneo, endocardio, ecc.) (C45)	F	0	0	.	.	0 (0-43)	.	0 (.-.)	78 (31-156)	.	.	n.c.	1
Mesotelioma (pleura, peritoneo, endocardio, ecc.) (C45)	M	0	0	.	.	0 (0-42)	.	0 (.-.)	69 (18-218)	.	.	n.c.	1
Mesotelioma (pleura, peritoneo, endocardio, ecc.) (C45)	M + F	0	0	.	.	0 (0-22)	.	0 (.-.)	74 (30-162)	.	.	n.c.	1
Tumori maligni delle ossa e della cartilagine articolare (C40-C41)	F	0	0	.	.	0 (0-43)	.	0 (.-.)	56 (12-170)	.	.	n.c.	1
Tumori maligni delle ossa e della cartilagine articolare (C40-C41)	M	0	0	.	.	0 (0-42)	.	0 (.-.)	76 (16-222)	.	.	n.c.	1
Tumori maligni delle ossa e della cartilagine articolare (C40-C41)	M + F	0	0	.	.	0 (0-22)	.	0 (.-.)	74 (16-187)	.	.	n.c.	1
Tumori maligni del connettivo e di altri tessuti molli (C49)	F	0	0	.	.	0 (0-43)	.	0 (.-.)	85 (47-138)	.	.	n.c.	1
Tumori maligni del connettivo e di altri tessuti molli (C49)	M	<5	<5	.	.	12 (1-62)	.	612 (136-2741)	112 (71-189)	↑	.	n.c.	1
Tumori maligni del connettivo e di altri tessuti molli (C49)	M + F	<5	<5	.	.	6 (0-31)	.	345 (77-1546)	103 (68-163)	.	.	n.c.	1
Melanoma maligno della pelle (C43)	F	0	0	.	.	0 (0-43)	.	0 (.-.)	101 (65-151)	.	.	n.c.	1
Melanoma maligno della pelle (C43)	M	<5	<5	.	.	19 (3-71)	.	537 (178-1624)	109 (73-180)	↑	.	n.c.	3 😊
Melanoma maligno della pelle (C43)	M + F	<5	<5	.	.	9 (2-36)	.	332 (110-1003)	108 (79-151)	↑	.	n.c.	3 😊
Tumori maligni della mammella (C50)	F	<5	<5	.	.	51 (17-120)	.	132 (59-294)	96 (77-123)	.	.	n.c.	1

Tabella 16A - Numana	Genere	Osservati	Attesi	Cluster sign.	SIR cluster	Tasso std. * 100000 (ic)	Tasso std. > Tasso reg.	SIR (ic)	BIR (ic)	SIR sign.	BIR sign.	Trend	Livello attenzione
Causa (ICD-IX)													
Tumori maligni della mammella (C50)	M + F	<5	<5	.	.	26 (9-61)	.	131 (59-291)	96 (76-124)	.	.	n.c.	1
Tumori maligni dell'utero (C53-C55)	F	<5	<5	.	.	22 (4-77)	.	225 (75-681)	109 (80-158)	.	.	n.c.	1
Tumori maligni del corpo dell'utero (C54)	F	0	0	.	.	0 (0-43)	.	0 (.-.)	108 (51-203)	.	.	n.c.	1
Tumori maligni dell'ovaio e degli altri annessi uterini (C56-C57)	F	0	1	.	.	0 (0-43)	.	0 (.-.)	93 (63-126)	.	.	n.c.	1
Tumore della prostata (C61)	M	<5	<5	.	.	34 (9-93)	.	124 (49-309)	100 (82-124)	.	.	n.c.	1
Tumore del testicolo (C62)	M	0	0	.	.	0 (0-42)	.	0 (.-.)	75 (13-299)	.	.	n.c.	1
Tumori maligni della vescica (C67)	F	<5	<5	.	.	13 (1-64)	.	380 (85-1705)	83 (53-129)	.	.	n.c.	1
Tumori maligni della vescica (C67)	M	<5	<5	.	.	24 (4-79)	.	140 (46-422)	96 (73-122)	.	.	n.c.	1
Tumori maligni della vescica (C67)	M + F	<5	<5	.	.	18 (5-49)	.	177 (71-443)	97 (81-114)	.	.	n.c.	1
Tumori maligni del rene e di altri e non specificati organi urinari (C64-C66, C68)	F	0	1	.	.	0 (0-43)	.	0 (.-.)	88 (46-152)	.	.	n.c.	1
Tumori maligni del rene e di altri e non specificati organi urinari (C64-C66, C68)	M	<5	<5	.	.	29 (8-85)	.	258 (103-646)	118 (85-178)	↑	.	n.c.	3 😊
Tumori maligni del rene e di altri e non specificati organi urinari (C64-C66, C68)	M + F	<5	<5	.	.	14 (4-43)	.	185 (74-464)	110 (81-156)	.	.	n.c.	1
tumore del sistema nervoso centrale (C70-C72,D33)	F	<5	<5	.	.	24 (4-82)	.	395 (131-1194)	104 (72-150)	↑	.	n.c.	3 😊
tumore del sistema nervoso centrale (C70-C72,D33)	M	<5	<5	.	.	10 (1-58)	.	140 (31-630)	89 (56-138)	.	.	n.c.	1
tumore del sistema nervoso centrale (C70-C72,D33)	M + F	<5	<5	.	.	17 (5-48)	.	246 (98-616)	96 (77-121)	.	.	n.c.	1
Tumori maligni dell'encefalo (C71)	F	<5	<5	.	.	24 (4-82)	.	406 (134-1226)	106 (81-137)	↑	.	n.c.	3 😊

Tabella 16A - Numana	Genere	Osservati	Attesi	Cluster sign.	SIR cluster	Tasso std. * 100000 (ic)	Tasso std. > Tasso reg.	SIR (ic)	BIR (ic)	SIR sign.	BIR sign.	Trend	Livello attenzione
Causa (ICD-IX)													
Tumori maligni dell'encefalo (C71)	M	<5	<5	.	.	10 (1-58)	.	144 (32-643)	88 (57-138)	.	.	n.c.	1
Tumori maligni dell'encefalo (C71)	M + F	<5	<5	.	.	17 (5-48)	.	252 (101-631)	96 (81-119)	↑	.	n.c.	3 ☹️
Tumori maligni della ghiandola tiroide (C73)	F	0	0	.	.	0 (0-43)	.	0 (.-.)	52 (22-107)	.	.	n.c.	1
Tumori maligni della ghiandola tiroide (C73)	M	0	0	.	.	0 (0-42)	.	0 (.-.)	84 (45-142)	.	.	n.c.	1
Tumori maligni della ghiandola tiroide (C73)	M + F	0	0	.	.	0 (0-22)	.	0 (.-.)	69 (38-115)	.	.	n.c.	1
Tumori emolinfopietici (C81-C96)	F	0	2	.	.	0 (0-43)	.	0 (.-.)	96 (81-114)	.	.	n.c.	1
Tumori emolinfopietici (C81-C96)	M	<5	<5	.	.	32 (9-89)	.	119 (48-298)	95 (82-110)	.	.	n.c.	1
Tumori emolinfopietici (C81-C96)	M + F	<5	<5	.	.	16 (4-45)	.	68 (27-170)	96 (85-110)	.	.	n.c.	1
Malattia di Hodgkin (C81)	F	0	0	.	.	0 (0-43)	.	0 (.-.)	88 (24-325)	.	.	n.c.	1
Malattia di Hodgkin (C81)	M	0	0	.	.	0 (0-42)	.	0 (.-.)	79 (29-160)	.	.	n.c.	1
Malattia di Hodgkin (C81)	M + F	0	0	.	.	0 (0-22)	.	0 (.-.)	81 (32-178)	.	.	n.c.	1
Linfoma non Hodgkin (C82-C85)	F	0	1	.	.	0 (0-43)	.	0 (.-.)	105 (78-138)	.	.	n.c.	1
Linfoma non Hodgkin (C82-C85)	M	<5	<5	.	.	21 (4-75)	.	265 (88-801)	87 (70-109)	.	.	n.c.	1
Linfoma non Hodgkin (C82-C85)	M + F	<5	<5	.	.	11 (2-38)	.	141 (47-425)	96 (76-120)	.	.	n.c.	1
Mieloma multiplo e tumori immunoproliferativi (C88, C90)	F	0	1	.	.	0 (0-43)	.	0 (.-.)	88 (52-122)	.	.	n.c.	1
Mieloma multiplo e tumori immunoproliferativi (C88, C90)	M	0	1	.	.	0 (0-42)	.	0 (.-.)	93 (57-137)	.	.	n.c.	1

Tabella 16A - Numana	Genere	Osservati	Attesi	Cluster sign.	SIR cluster	Tasso std. * 100000 (ic)	Tasso std. > Tasso reg.	SIR (ic)	BIR (ic)	SIR sign.	BIR sign.	Trend	Livello attenzione
Causa (ICD-IX)													
Mieloma multiplo e tumori immunoproliferativi (C88, C90)	M + F	0	1	.	.	0 (0-22)	.	0 (-.)	85 (50-124)	.	.	n.c.	1
Leucemie (C91-C95)	F	0	1	.	.	0 (0-43)	.	0 (-.)	94 (66-139)	.	.	n.c.	1
Leucemie (C91-C95)	M	<5	<5	.	.	10 (1-58)	.	95 (21-428)	100 (67-156)	.	.	n.c.	1
Leucemie (C91-C95)	M + F	<5	<5	.	.	5 (0-30)	.	58 (13-258)	97 (79-125)	.	.	n.c.	1
Leucemia linfoide (acuta e cronica) (C91)	F	0	0	.	.	0 (0-43)	.	0 (-.)	67 (43-99)	.	↓	n.c.	0 😊
Leucemia linfoide (acuta e cronica) (C91)	M	0	0	.	.	0 (0-42)	.	0 (-.)	83 (53-127)	.	.	n.c.	1
Leucemia linfoide (acuta e cronica) (C91)	M + F	0	1	.	.	0 (0-22)	.	0 (-.)	78 (59-100)	.	.	n.c.	1
Leucemia mieloide (acuta e cronica) (C92)	F	0	0	.	.	0 (0-43)	.	0 (-.)	99 (64-142)	.	.	n.c.	1
Leucemia mieloide (acuta e cronica) (C92)	M	<5	<5	.	.	10 (1-58)	.	183 (41-821)	112 (70-191)	.	.	n.c.	1
Leucemia mieloide (acuta e cronica) (C92)	M + F	<5	<5	.	.	5 (0-30)	.	112 (25-501)	111 (75-169)	.	.	n.c.	1
Malattie del sangue e degli organi emopoietici (D50-D77)	F	<5	<5	.	.	24 (4-82)	.	482 (159-1456)	96 (63-208)	↑	.	n.c.	3 😊
Malattie del sangue e degli organi emopoietici (D50-D77)	M	0	0	.	.	0 (0-42)	.	0 (-.)	100 (69-143)	.	.	n.c.	1
Malattie del sangue e degli organi emopoietici (D50-D77)	M + F	<5	<5	.	.	12 (2-42)	.	258 (85-780)	97 (71-147)	.	.	n.c.	1
Malattie endocrine, della nutrizione ed immunitarie (E00-E90, D80-D89)	F	<5	<5	.	.	26 (5-85)	.	55 (18-166)	98 (71-131)	.	.	n.c.	1
Malattie endocrine, della nutrizione ed immunitarie (E00-E90, D80-D89)	M	<5	<5	.	.	12 (1-61)	.	30 (7-134)	95 (64-135)	.	.	n.c.	1
Malattie endocrine, della nutrizione ed immunitarie (E00-E90, D80-D89)	M + F	<5	>5	.	.	19 (5-51)	.	43 (17-107)	93 (66-126)	.	.	n.c.	1



Tabella 16A - Numana	Genere	Osservati	Attesi	Cluster sign.	SIR cluster	Tasso std. * 100000 (ic)	Tasso std. > Tasso reg.	SIR (ic)	BIR (ic)	SIR sign.	BIR sign.	Trend	Livello attenzione
Causa (ICD-IX)													
Tireotossicosi (E05)	F	0	0	.	.	0 (0-43)	.	0 (.-.)	56 (15-165)	,	,	n.c.	1
Tireotossicosi (E05)	M	0	0	.	.	0 (0-42)	.	0 (.-.)	32 (0-204)	,	,	n.c.	1
Tireotossicosi (E05)	M + F	0	0	.	.	0 (0-22)	.	0 (.-.)	58 (14-156)	,	,	n.c.	1
Ipotiroidismo (E00-E03)	F	0	0	.	.	0 (0-43)	.	0 (.-.)	89 (20-260)	,	,	n.c.	1
Ipotiroidismo (E00-E03)	M	0	0	.	.	0 (0-42)	.	0 (.-.)	99 (19-289)	,	,	n.c.	1
Ipotiroidismo (E00-E03)	M + F	0	0	.	.	0 (0-22)	.	0 (.-.)	103 (31-221)	,	,	n.c.	1
Diabete mellito (E10-E14)	F	<5	<5	.	.	13 (1-64)	.	38 (9-171)	96 (66-137)	,	,	n.c.	1
Diabete mellito (E10-E14)	M	<5	<5	.	.	12 (1-61)	.	41 (9-182)	95 (61-144)	,	,	n.c.	1
Diabete mellito (E10-E14)	M + F	<5	>5	.	.	12 (2-41)	.	39 (13-119)	92 (62-130)	,	,	n.c.	1
Demenze (F00-F01, F020-F023, F03, G30, G310)	F	<5	>5	.	.	26 (5-85)	.	36 (12-109)	77 (48-118)	,	,	n.c.	1
Demenze (F00-F01, F020-F023, F03, G30, G310)	M	<5	>5	.	.	22 (4-76)	.	58 (19-175)	96 (59-150)	,	,	n.c.	1
Demenze (F00-F01, F020-F023, F03, G30, G310)	M + F	<5	>5	.	.	24 (8-58)	.	44 (20-99)	79 (53-113)	↓	,	n.c.	0 
Malattie neuro-psichiatriche (escluse tossicod.) (F00-F09, F20-F99)	F	<5	<5	.	.	14 (1-67)	.	28 (6-126)	65 (33-123)	,	,	n.c.	1
Malattie neuro-psichiatriche (escluse tossicod.) (F00-F09, F20-F99)	M	0	2	.	.	0 (0-42)	.	0 (.-.)	63 (30-122)	,	,	n.c.	1
Malattie neuro-psichiatriche (escluse tossicod.) (F00-F09, F20-F99)	M + F	<5	>5	.	.	7 (0-34)	.	17 (4-78)	55 (29-98)	↓	↓	n.c.	0 
Malattie del sistema nervoso e degli organi di senso (G00-H95)	F	<5	<5	.	.	35 (9-97)	.	77 (31-191)	97 (68-135)	,	,	n.c.	1

Tabella 16A - Numana	Genere	Osservati	Attesi	Cluster sign.	SIR cluster	Tasso std. * 100000 (ic)	Tasso std. > Tasso reg.	SIR (ic)	BIR (ic)	SIR sign.	BIR sign.	Trend	Livello attenzione
Causa (ICD-IX)													
Malattie del sistema nervoso e degli organi di senso (G00-H95)	M	<5	<5	2	141	44 (15-107)	.	110 (49-245)	112 (84-151)	.	.	n.c.	1
Malattie del sistema nervoso e degli organi di senso (G00-H95)	M + F	7	8	.	.	40 (18-78)	.	93 (50-171)	104 (79-136)	.	.	n.c.	1
Morbo di Parkinson (G20)	F	<5	<5	.	.	14 (1-68)	.	158 (35-710)	108 (68-166)	.	.	n.c.	1
Morbo di Parkinson (G20)	M	<5	<5	.	.	10 (1-58)	.	134 (30-599)	95 (68-137)	.	.	n.c.	1
Morbo di Parkinson (G20)	M + F	<5	<5	.	.	12 (2-42)	.	145 (48-438)	104 (74-148)	.	.	n.c.	1
Malattia di Alzheimer (G30)	F	<5	<5	.	.	12 (1-63)	.	47 (10-210)	94 (55-160)	.	.	n.c.	1
Malattia di Alzheimer (G30)	M	<5	<5	2	187	22 (4-76)	.	146 (48-441)	118 (68-212)	.	.	n.c.	1
Malattia di Alzheimer (G30)	M + F	<5	<5	.	.	17 (5-48)	.	86 (34-214)	105 (66-166)	.	.	n.c.	1
Epilessia (G40)	F	0	0	.	.	0 (0-43)	.	0 (-.)	67 (32-127)	.	.	n.c.	1
Epilessia (G40)	M	0	0	.	.	0 (0-42)	.	0 (-.)	97 (53-161)	.	.	n.c.	1
Epilessia (G40)	M + F	0	0	.	.	0 (0-22)	.	0 (-.)	81 (42-147)	.	.	n.c.	1
Malattia dei neuroni motori (G122)	F	0	0	.	.	0 (0-43)	.	0 (-.)	76 (19-247)	.	.	n.c.	1
Malattia dei neuroni motori (G122)	M	0	0	.	.	0 (0-42)	.	0 (-.)	99 (49-187)	.	.	n.c.	1
Malattia dei neuroni motori (G122)	M + F	0	1	.	.	0 (0-22)	.	0 (-.)	81 (28-194)	.	.	n.c.	1
Sclerosi multipla (G35)	F	0	0	.	.	0 (0-43)	.	0 (-.)	71 (32-138)	.	.	n.c.	1
Sclerosi multipla (G35)	M	0	0	.	.	0 (0-42)	.	0 (-.)	54 (7-167)	.	.	n.c.	1

Tabella 16A - Numana	Genere	Osservati	Attesi	Cluster sign.	SIR cluster	Tasso std. * 100000 (ic)	Tasso std. > Tasso reg.	SIR (ic)	BIR (ic)	SIR sign.	BIR sign.	Trend	Livello attenzione
Causa (ICD-IX)													
Sclerosi multipla (G35)	M + F	0	0	.	.	0 (0-22)	.	0 (.-.)	69 (36-122)	.	.	n.c.	1
Neuropatie tossiche e infiammatorie non specificate (G619, G629)	F	0	0	.	.	0 (0-43)	.	0 (.-.)	12 (0-133)	.	.	n.c.	1
Neuropatie tossiche e infiammatorie non specificate (G619, G629)	M	0	0	.	.	0 (0-42)	.	0 (.-.)	123 (21-411)	.	.	n.c.	1
Neuropatie tossiche e infiammatorie non specificate (G619, G629)	M + F	0	0	.	.	0 (0-22)	.	0 (.-.)	77 (12-257)	.	.	n.c.	1
Malattie dell'apparato circolatorio (I00-I99)	F	32	35	.	.	409 (297-553)	.	92 (69-123)	100 (88-113)	.	.	→	1
Malattie dell'apparato circolatorio (I00-I99)	M	34	34	.	.	377 (276-508)	.	101 (76-134)	99 (87-112)	.	.	→	1
Malattie dell'apparato circolatorio (I00-I99)	M + F	66	69	.	.	393 (316-486)	.	96 (79-118)	98 (88-110)	.	.	→	1
Malattia ipertensiva (I10-I15)	F	<5	<5	.	.	39 (11-103)	.	82 (33-206)	95 (56-156)	.	.	n.c.	1
Malattia ipertensiva (I10-I15)	M	8	3	.	.	95 (47-175)	↑	290 (163-514)	151 (90-251)	↑	.	n.c.	3 😞
Malattia ipertensiva (I10-I15)	M + F	11	6	.	.	66 (37-112)	.	172 (105-280)	132 (87-202)	↑	.	→	3 😞
Malattie ischemiche del cuore (I20-I25)	F	12	12	.	.	158 (91-258)	.	101 (63-161)	101 (74-132)	.	.	n.c.	1
Malattie ischemiche del cuore (I20-I25)	M	14	14	.	.	150 (90-240)	.	102 (66-158)	95 (74-120)	.	.	n.c.	1
Malattie ischemiche del cuore (I20-I25)	M + F	26	26	.	.	154 (107-217)	.	102 (74-140)	98 (77-124)	.	.	n.c.	1
Infarto miocardico acuto (I21-I22)	F	>5	<5	.	.	64 (25-137)	.	148 (72-305)	117 (73-185)	.	.	n.c.	1
Infarto miocardico acuto (I21-I22)	M	<5	>5	.	.	28 (7-84)	.	64 (26-160)	77 (48-119)	.	.	n.c.	1
Infarto miocardico acuto (I21-I22)	M + F	8	8	.	.	47 (23-87)	.	99 (56-176)	96 (64-143)	.	.	n.c.	1


Tabella 16A - Numana	Genere	Osservati	Attesi	Cluster sign.	SIR cluster	Tasso std. * 100000 (ic)	Tasso std. > Tasso reg.	SIR (ic)	BIR (ic)	SIR sign.	BIR sign.	Trend	Livello attenzione
Causa (ICD-IX)													
Malattie cerebrovascolari (I60-I69)	F	9	9	.	.	113 (58-201)	.	99 (58-170)	95 (73-123)	'	'	n.c.	1
Malattie cerebrovascolari (I60-I69)	M	5	9	.	.	53 (21-118)	.	58 (28-120)	89 (66-116)	'	'	n.c.	1
Malattie cerebrovascolari (I60-I69)	M + F	14	18	.	.	84 (50-134)	.	79 (51-123)	89 (70-112)	'	'	n.c.	1
Malattie dell'apparato respiratorio (J00-J99)	F	<5	>5	.	.	22 (4-78)	.	41 (14-125)	83 (59-114)	'	'	n.c.	1
Malattie dell'apparato respiratorio (J00-J99)	M	<5	>5	.	.	32 (9-90)	.	40 (16-101)	88 (66-113)	'	'	n.c.	1
Malattie dell'apparato respiratorio (J00-J99)	M + F	5	12	.	.	27 (11-61)	.	41 (20-83)	79 (60-102)	↓	'	n.c.	0 
Malattie respiratorie acute (J00-J06, J10-J18, J20-J22)	F	<5	<5	.	.	22 (4-78)	.	139 (46-419)	104 (63-175)	'	'	n.c.	1
Malattie respiratorie acute (J00-J06, J10-J18, J20-J22)	M	0	2	.	.	0 (0-42)	.	0 (-.)	75 (36-140)	'	'	n.c.	1
Malattie respiratorie acute (J00-J06, J10-J18, J20-J22)	M + F	<5	<5	.	.	11 (2-40)	.	66 (22-199)	90 (50-156)	'	'	n.c.	1
Malattie croniche dell'apparato respiratorio (BCPO) (J41-J44, J47)	F	0	2	.	.	0 (0-43)	.	0 (-.)	72 (40-119)	'	'	n.c.	1
Malattie croniche dell'apparato respiratorio (BCPO) (J41-J44, J47)	M	<5	<5	.	.	32 (9-90)	.	78 (31-194)	89 (62-123)	'	'	n.c.	1
Malattie croniche dell'apparato respiratorio (BCPO) (J41-J44, J47)	M + F	<5	>5	.	.	16 (4-45)	.	53 (21-131)	79 (54-112)	'	'	n.c.	1
Asma (J45)	F	0	0	.	.	0 (0-43)	.	0 (-.)	107 (33-264)	'	'	n.c.	1
Asma (J45)	M	0	0	.	.	0 (0-42)	.	0 (-.)	105 (26-267)	'	'	n.c.	1
Asma (J45)	M + F	0	0	.	.	0 (0-22)	.	0 (-.)	116 (53-203)	'	'	n.c.	1
Pneumoconiosi (J60-J64)	M	0	0	.	.	0 (0-42)	.	0 (-.)	24 (2-150)	'	'	n.c.	1

Tabella 16A - Numana	Genere	Osservati	Attesi	Cluster sign.	SIR cluster	Tasso std. * 100000 (ic)	Tasso std. > Tasso reg.	SIR (ic)	BIR (ic)	SIR sign.	BIR sign.	Trend	Livello attenzione
Causa (ICD-IX)													
Pneumoconiosi (J60-J64)	M + F	0	0	.	.	0 (0-22)	.	0 (.-.)	24 (2-150)	'	'	n.c.	1
Malattie dell'apparato digerente (K00-K93)	F	<5	<5	.	.	14 (1-68)	.	35 (8-156)	96 (78-114)	'	'	n.c.	1
Malattie dell'apparato digerente (K00-K93)	M	>5	<5	.	.	55 (22-122)	.	153 (74-314)	102 (85-134)	'	'	n.c.	1
Malattie dell'apparato digerente (K00-K93)	M + F	6	6	.	.	34 (15-71)	.	98 (51-189)	103 (83-128)	'	'	n.c.	1
Cirrosi e altre malattie croniche del fegato (K70, K73-K74)	F	0	0	.	.	0 (0-43)	.	0 (.-.)	74 (42-118)	'	'	n.c.	1
Cirrosi e altre malattie croniche del fegato (K70, K73-K74)	M	<5	<5	.	.	22 (4-77)	.	199 (66-601)	98 (77-124)	'	'	n.c.	1
Cirrosi e altre malattie croniche del fegato (K70, K73-K74)	M + F	<5	<5	.	.	11 (2-39)	.	149 (49-450)	90 (65-126)	'	'	n.c.	1
Nefropatie croniche e acute (N00-N12)	F	0	0	.	.	0 (0-43)	.	0 (.-.)	101 (38-214)	'	'	n.c.	1
Nefropatie croniche e acute (N00-N12)	M	0	0	.	.	0 (0-42)	.	0 (.-.)	135 (46-355)	'	'	n.c.	1
Nefropatie croniche e acute (N00-N12)	M + F	0	0	.	.	0 (0-22)	.	0 (.-.)	110 (21-355)	'	'	n.c.	1
Malattie dell'apparato genito-urinario (N00-N99)	F	<5	<5	2	148	27 (5-86)	.	122 (40-368)	124 (82-187)	'	'	n.c.	1
Malattie dell'apparato genito-urinario (N00-N99)	M	<5	<5	.	.	14 (2-60)	.	106 (35-320)	114 (72-180)	'	'	n.c.	1
Malattie dell'apparato genito-urinario (N00-N99)	M + F	<5	<5	.	.	20 (6-52)	.	113 (51-253)	120 (85-169)	'	'	n.c.	1
Insufficienza renale acuta e cronica (N17-N19)	F	<5	<5	2	142	27 (5-86)	.	149 (49-450)	118 (81-184)	'	'	n.c.	1
Insufficienza renale acuta e cronica (N17-N19)	M	<5	<5	.	.	7 (0-51)	.	70 (16-313)	106 (69-158)	'	'	n.c.	1
Insufficienza renale acuta e cronica (N17-N19)	M + F	<5	<5	2	134	17 (4-48)	.	108 (43-270)	118 (80-174)	'	'	n.c.	1

Tabella 16A - Numana	Genere	Osservati	Attesi	Cluster sign.	SIR cluster	Tasso std. * 100000 (ic)	Tasso std. > Tasso reg.	SIR (ic)	BIR (ic)	SIR sign.	BIR sign.	Trend	Livello attenzione
Causa (ICD-IX)													
Malformazioni congenite (Q00-Q99)	F	0	0	.	.	0 (0-43)	.	0 (.-.)	65 (15-236)	'	'	n.c.	1
Malformazioni congenite (Q00-Q99)	M	0	0	.	.	0 (0-42)	.	0 (.-.)	84 (19-294)	'	'	n.c.	1
Malformazioni congenite (Q00-Q99)	M + F	0	0	.	.	0 (0-22)	.	0 (.-.)	85 (24-266)	'	'	n.c.	1
Sintomi, segni e stati morbosi mal definiti (R00-R99)	F	<5	<5	.	.	21 (3-74)	.	165 (55-500)	129 (42-327)	'	'	n.c.	1
Sintomi, segni e stati morbosi mal definiti (R00-R99)	M	0	1	.	.	0 (0-42)	.	0 (.-.)	74 (22-213)	'	'	n.c.	1
Sintomi, segni e stati morbosi mal definiti (R00-R99)	M + F	<5	<5	.	.	11 (2-38)	.	102 (34-308)	102 (35-235)	'	'	n.c.	1
Traumatismi e avvelenamenti (S00-T98)	F	<5	<5	.	.	22 (4-76)	.	70 (23-212)	98 (68-137)	'	'	n.c.	1
Traumatismi e avvelenamenti (S00-T98)	M	10	5	.	.	100 (54-176)	↑	196 (117-328)	104 (89-128)	↑	'	n.c.	3 😊
Traumatismi e avvelenamenti (S00-T98)	M + F	12	8	.	.	60 (34-101)	.	151 (94-241)	105 (86-129)	'	'	n.c.	1

Tabella 17A. Decessi per causa nel comune di Osimo, tutte le età, periodo di osservazione 2009-2013

Tabella 17A - Osimo	Genere	Osservati	Attesi	Cluster sign.	SIR cluster	Tasso std. * 100000 (ic)	Tasso std. > Tasso reg.	SIR (ic)	BIR (ic)	SIR sign.	BIR sign.	Trend	Livello attenzione
Causa (ICD-IX)													
Mortalità generale (escluse cause violente) (A00-R99)	F	813	815	.	.	982 (926-1042)	.	100 (94-106)	99 (95-104)	.	.	→	1
Mortalità generale (escluse cause violente) (A00-R99)	M	756	700	.	.	1053 (990-1118)	.	108 (102-115)	105 (99-110)	↑	.	→	3 😊
Mortalità generale (escluse cause violente) (A00-R99)	M + F	1569	1515	.	.	1017 (975-1060)	.	104 (99-108)	102 (98-106)	.	.	→	1
Mortalità per cause esterne o violente (S00-Y99)	F	30	29	.	.	36 (26-49)	.	103 (77-139)	101 (81-125)	.	.	→	1
Mortalità per cause esterne o violente (S00-Y99)	M	43	42	.	.	56 (43-73)	.	103 (80-133)	102 (90-117)	.	.	→	1
Mortalità per cause esterne o violente (S00-Y99)	M + F	73	71	.	.	46 (37-56)	.	103 (85-125)	102 (89-117)	.	.	→	1
Malattie infettive (A00-B99)	F	16	13	.	.	19 (12-30)	.	125 (83-189)	93 (70-126)	.	.	↑	2 😊
Malattie infettive (A00-B99)	M	12	13	.	.	17 (10-27)	.	91 (57-146)	94 (76-114)	.	.	n.c.	1
Malattie infettive (A00-B99)	M + F	28	26	.	.	18 (13-25)	.	108 (79-147)	94 (75-117)	.	.	→	1
Epatite virale (B17-B19)	F	<5	<5	.	.	1 (0-6)	.	68 (15-304)	74 (44-111)	.	.	n.c.	1
Epatite virale (B17-B19)	M	<5	<5	.	.	5 (2-13)	.	171 (77-380)	93 (59-154)	.	.	n.c.	1
Epatite virale (B17-B19)	M + F	5	4	.	.	3 (1-7)	.	131 (64-269)	85 (62-116)	.	.	n.c.	1
Tutti i tumori (C00-D48)	F	183	194	.	.	226 (199-255)	.	94 (83-106)	95 (89-102)	.	.	→	1
Tutti i tumori (C00-D48)	M	244	241	.	.	330 (296-368)	.	101 (91-113)	97 (90-104)	.	.	→	1
Tutti i tumori (C00-D48)	M + F	427	435	.	.	277 (255-300)	.	98 (91-106)	96 (90-101)	.	.	→	1
Tumori maligni delle vie aeree e digestive superiori (C00-C15, C32)	F	<5	<5	.	.	1 (0-6)	.	49 (11-222)	73 (51-103)	.	.	n.c.	1


Tabella 17A - Osimo	Genere	Osservati	Attesi	Cluster sign.	SIR cluster	Tasso std. * 100000 (ic)	Tasso std. > Tasso reg.	SIR (ic)	BIR (ic)	SIR sign.	BIR sign.	Trend	Livello attenzione
Causa (ICD-IX)													
Tumori maligni delle vie aeree e digestive superiori (C00-C15, C32)	M	>5	>5	.	.	7 (3-15)	.	53 (26-110)	84 (60-112)	.	.	n.c.	1
Tumori maligni delle vie aeree e digestive superiori (C00-C15, C32)	M + F	6	11	.	.	4 (2-8)	.	53 (27-102)	81 (61-104)	.	.	n.c.	1
Tumori maligni (C00-C97)	F	169	185	.	.	208 (182-237)	.	91 (81-104)	95 (87-101)	.	.	→	1
Tumori maligni (C00-C97)	M	231	230	.	.	312 (279-348)	.	100 (90-112)	97 (90-104)	.	.	→	1
Tumori maligni (C00-C97)	M + F	400	415	.	.	259 (238-281)	.	96 (89-105)	95 (90-101)	.	.	→	1
Tumori maligni dell'esofago (C15)	F	<5	<5	.	.	1 (0-6)	.	199 (44-892)	76 (33-160)	.	.	n.c.	1
Tumori maligni dell'esofago (C15)	M	0	3	.	.	0 (0-4)	.	0 (.-.)	85 (40-128)	.	.	n.c.	1
Tumori maligni dell'esofago (C15)	M + F	<5	<5	.	.	1 (0-3)	.	31 (7-138)	79 (35-127)	.	.	n.c.	1
Tumori maligni dello stomaco (C16)	F	16	16	.	.	20 (12-30)	.	103 (69-156)	98 (78-119)	.	.	→	1
Tumori maligni dello stomaco (C16)	M	24	20	.	.	32 (22-46)	.	122 (88-171)	104 (83-132)	.	.	→	1
Tumori maligni dello stomaco (C16)	M + F	40	35	.	.	26 (20-34)	.	114 (88-148)	98 (82-119)	.	.	→	1
Tumori maligni dell'intestino tenue, compreso il duodeno (C17)	F	<5	<5	.	.	1 (0-6)	.	254 (57-1140)	130 (44-325)	.	.	n.c.	1
Tumori maligni dell'intestino tenue, compreso il duodeno (C17)	M	0	0	.	.	0 (0-4)	.	0 (.-.)	52 (15-128)	.	.	n.c.	1
Tumori maligni dell'intestino tenue, compreso il duodeno (C17)	M + F	<5	<5	.	.	1 (0-3)	.	147 (33-660)	0 (0-0)	.	↓	n.c.	0 
Tumori maligni del colon (C18)	F	18	19	.	.	22 (14-33)	.	96 (65-141)	100 (83-119)	.	.	→	1
Tumori maligni del colon (C18)	M	23	22	2	137	32 (22-45)	.	105 (74-147)	105 (86-127)	.	.	→	1

Tabella 17A - Osimo	Genere	Osservati	Attesi	Cluster sign.	SIR cluster	Tasso std. * 100000 (ic)	Tasso std. > Tasso reg.	SIR (ic)	BIR (ic)	SIR sign.	BIR sign.	Trend	Livello attenzione
Causa (ICD-IX)													
Tumori maligni del colon (C18)	M + F	41	41	.	.	27 (20-35)	.	101 (78-130)	103 (88-121)	.	.	→	1
Tumori maligni del retto, della giunzione retto-sigmoidea e dell'ano (C19-C21)	F	>5	>5	.	.	6 (2-13)	.	94 (46-193)	97 (66-140)	.	.	n.c.	1
Tumori maligni del retto, della giunzione retto-sigmoidea e dell'ano (C19-C21)	M	<5	>5	.	.	5 (2-13)	.	51 (23-113)	80 (50-116)	.	.	n.c.	1
Tumori maligni del retto, della giunzione retto-sigmoidea e dell'ano (C19-C21)	M + F	9	13	.	.	6 (3-10)	.	68 (40-117)	90 (64-117)	.	.	n.c.	1
Tumore fegato e dotti biliari (C22)	F	<5	>5	.	.	4 (1-9)	.	52 (21-131)	100 (72-128)	.	.	n.c.	1
Tumore fegato e dotti biliari (C22)	M	>5	>5	.	.	15 (8-25)	.	122 (75-200)	93 (68-124)	.	.	n.c.	1
Tumore fegato e dotti biliari (C22)	M + F	14	15	.	.	9 (5-14)	.	95 (61-147)	95 (72-122)	.	.	n.c.	1
Tumori maligni del pancreas (C25)	F	10	14	.	.	12 (7-21)	.	70 (42-117)	98 (80-115)	.	.	→	1
Tumori maligni del pancreas (C25)	M	13	14	.	.	18 (11-29)	.	94 (60-148)	98 (81-117)	.	.	n.c.	1
Tumori maligni del pancreas (C25)	M + F	23	28	.	.	15 (10-21)	.	82 (58-115)	97 (81-111)	.	.	→	1
Tumore del retroperitoneo (C48)	F	<5	<5	.	.	1 (0-6)	.	133 (30-596)	103 (59-176)	.	.	n.c.	1
Tumore del retroperitoneo (C48)	M	0	0	.	.	0 (0-4)	.	0 (.-)	56 (21-128)	.	.	n.c.	1
Tumore del retroperitoneo (C48)	M + F	<5	<5	.	.	1 (0-3)	.	91 (20-410)	87 (53-130)	.	.	n.c.	1
Tumori maligni della laringe (C32)	F	0	0	.	.	0 (0-4)	.	0 (.-)	72 (20-174)	.	.	n.c.	1
Tumori maligni della laringe (C32)	M	<5	<5	.	.	4 (1-11)	.	101 (41-254)	87 (59-127)	.	.	n.c.	1
Tumori maligni della laringe (C32)	M + F	<5	<5	.	.	2 (1-5)	.	93 (37-234)	90 (61-129)	.	.	n.c.	1


Tabella 17A - Osimo													
Causa (ICD-IX)	Genere	Osservati	Attesi	Cluster sign.	SIR cluster	Tasso std. * 100000 (ic)	Tasso std. > Tasso reg.	SIR (ic)	BIR (ic)	SIR sign.	BIR sign.	Trend	Livello attenzione
Tumori maligni della trachea, dei bronchi e dei polmoni (C33-C34)	F	9	18	.	.	11 (6-20)	.	51 (30-88)	75 (51-101)	↓	.	n.c.	0 
Tumori maligni della trachea, dei bronchi e dei polmoni (C33-C34)	M	63	54	.	.	85 (68-105)	.	118 (96-145)	98 (86-115)	.	.	→	1
Tumori maligni della trachea, dei bronchi e dei polmoni (C33-C34)	M + F	72	71	.	.	47 (38-58)	.	101 (83-123)	95 (84-108)	.	.	→	1
Mesotelioma (pleura, peritoneo, endocardio, ecc.) (C45)	F	<5	<5	.	.	1 (0-6)	.	133 (30-594)	80 (36-153)	.	.	n.c.	1
Mesotelioma (pleura, peritoneo, endocardio, ecc.) (C45)	M	<5	<5	.	.	3 (0-9)	.	139 (46-419)	85 (39-167)	.	.	n.c.	1
Mesotelioma (pleura, peritoneo, endocardio, ecc.) (C45)	M + F	<5	<5	.	.	2 (1-5)	.	137 (55-342)	88 (48-147)	.	.	n.c.	1
Tumori maligni delle ossa e della cartilagine articolare (C40-C41)	F	0	0	.	.	0 (0-4)	.	0 (-.)	54 (13-140)	.	.	n.c.	1
Tumori maligni delle ossa e della cartilagine articolare (C40-C41)	M	0	1	.	.	0 (0-4)	.	0 (-.)	72 (20-170)	.	.	n.c.	1
Tumori maligni delle ossa e della cartilagine articolare (C40-C41)	M + F	0	1	.	.	0 (0-2)	.	0 (-.)	67 (18-145)	.	.	n.c.	1
Tumori maligni del connettivo e di altri tessuti molli (C49)	F	<5	<5	.	.	1 (0-6)	.	88 (20-394)	85 (50-130)	.	.	n.c.	1
Tumori maligni del connettivo e di altri tessuti molli (C49)	M	<5	<5	.	.	2 (0-8)	.	148 (49-447)	109 (70-170)	.	.	n.c.	1
Tumori maligni del connettivo e di altri tessuti molli (C49)	M + F	<5	<5	.	.	2 (1-5)	.	120 (48-301)	100 (70-139)	.	.	n.c.	1
Melanoma maligno della pelle (C43)	F	<5	<5	.	.	5 (2-11)	.	184 (83-410)	106 (73-158)	.	.	n.c.	1
Melanoma maligno della pelle (C43)	M	<5	<5	.	.	5 (2-12)	.	137 (62-306)	108 (75-158)	.	.	n.c.	1
Melanoma maligno della pelle (C43)	M + F	8	5	.	.	5 (2-9)	.	157 (89-279)	111 (84-150)	.	.	n.c.	1
Tumori maligni della mammella (C50)	F	35	28	.	.	43 (31-57)	.	125 (95-165)	98 (84-117)	.	.	→	1

Tabella 17A - Osimo	Genere	Osservati	Attesi	Cluster sign.	SIR cluster	Tasso std. * 100000 (ic)	Tasso std. > Tasso reg.	SIR (ic)	BIR (ic)	SIR sign.	BIR sign.	Trend	Livello attenzione
Causa (ICD-IX)													
Tumori maligni della mammella (C50)	M + F	35	28	.	.	22 (16-29)	.	124 (94-164)	98 (84-118)	.	.	→	1
Tumori maligni dell'utero (C53-C55)	F	<5	>5	.	.	5 (2-11)	.	50 (22-110)	99 (73-126)	.	.	n.c.	1
Tumori maligni del corpo dell'utero (C54)	F	<5	<5	.	.	3 (0-8)	.	90 (30-270)	110 (59-182)	.	.	n.c.	1
Tumori maligni dell'ovaio e degli altri annessi uterini (C56-C57)	F	6	8	.	.	7 (3-15)	.	76 (39-148)	92 (66-118)	.	.	n.c.	1
Tumore della prostata (C61)	M	17	19	.	.	24 (15-36)	.	90 (61-134)	97 (82-114)	.	.	→	1
Tumore del testicolo (C62)	M	0	0	.	.	0 (0-4)	.	0 (.-.)	73 (14-251)	.	.	n.c.	1
Tumori maligni della vescica (C67)	F	<5	<5	.	.	2 (0-8)	.	77 (26-234)	81 (54-114)	.	.	n.c.	1
Tumori maligni della vescica (C67)	M	>5	>5	.	.	8 (3-16)	.	54 (28-105)	92 (73-110)	.	.	→	1
Tumori maligni della vescica (C67)	M + F	8	14	.	.	5 (3-9)	.	59 (33-104)	94 (78-108)	.	.	→	1
Tumori maligni del rene e di altri e non specificati organi urinari (C64-C66, C68)	F	<5	<5	.	.	5 (2-11)	.	92 (41-205)	93 (58-141)	.	.	n.c.	1
Tumori maligni del rene e di altri e non specificati organi urinari (C64-C66, C68)	M	>5	>5	.	.	12 (6-21)	.	100 (58-171)	111 (82-146)	.	.	n.c.	1
Tumori maligni del rene e di altri e non specificati organi urinari (C64-C66, C68)	M + F	13	13	.	.	8 (5-13)	.	97 (62-153)	105 (81-136)	.	.	→	1
tumore del sistema nervoso centrale (C70-C72,D33)	F	<5	>5	.	.	5 (2-11)	.	88 (39-195)	99 (71-132)	.	.	n.c.	1
tumore del sistema nervoso centrale (C70-C72,D33)	M	>5	>5	.	.	8 (3-15)	.	107 (55-206)	89 (61-127)	.	.	n.c.	1
tumore del sistema nervoso centrale (C70-C72,D33)	M + F	10	10	.	.	6 (3-11)	.	98 (59-164)	94 (76-113)	.	.	n.c.	1
Tumori maligni dell'encefalo (C71)	F	<5	<5	.	.	5 (2-11)	.	90 (40-201)	104 (80-130)	.	.	n.c.	1



Tabella 17A - Osimo	Genere	Osservati	Attesi	Cluster sign.	SIR cluster	Tasso std. * 100000 (ic)	Tasso std. > Tasso reg.	SIR (ic)	BIR (ic)	SIR sign.	BIR sign.	Trend	Livello attenzione
Causa (ICD-IX)													
Tumori maligni dell'encefalo (C71)	M	>5	>5	.	.	8 (3-15)	.	109 (56-210)	87 (63-119)	.	.	n.c.	1
Tumori maligni dell'encefalo (C71)	M + F	10	10	.	.	6 (3-11)	.	100 (60-168)	95 (80-113)	.	.	n.c.	1
Tumori maligni della ghiandola tiroide (C73)	F	0	1	.	.	0 (0-4)	.	0 (-.)	51 (22-96)	.	↓	n.c.	0 
Tumori maligni della ghiandola tiroide (C73)	M	<5	<5	.	.	3 (0-9)	.	362 (120-1093)	87 (48-147)	↑	.	n.c.	3 
Tumori maligni della ghiandola tiroide (C73)	M + F	<5	<5	.	.	1 (0-4)	.	197 (65-595)	71 (42-112)	.	.	n.c.	1
Tumori emolinfopietici (C81-C96)	F	19	18	.	.	24 (16-35)	.	106 (73-154)	98 (84-114)	.	.	n.c.	1
Tumori emolinfopietici (C81-C96)	M	18	20	.	.	24 (15-35)	.	91 (62-134)	94 (82-107)	.	.	→	1
Tumori emolinfopietici (C81-C96)	M + F	37	38	.	.	24 (18-31)	.	98 (75-128)	96 (87-107)	.	.	→	1
Malattia di Hodgkin (C81)	F	<5	<5	.	.	1 (0-6)	.	242 (54-1084)	88 (34-211)	.	.	n.c.	1
Malattia di Hodgkin (C81)	M	<5	<5	.	.	1 (0-6)	.	224 (50-1002)	81 (36-160)	.	.	n.c.	1
Malattia di Hodgkin (C81)	M + F	<5	<5	.	.	1 (0-4)	.	232 (77-702)	89 (45-179)	.	.	n.c.	1
Linfoma non Hodgkin (C82-C85)	F	9	6	.	.	11 (6-20)	.	142 (83-244)	110 (86-146)	.	.	n.c.	1
Linfoma non Hodgkin (C82-C85)	M	9	6	.	.	12 (6-21)	.	149 (87-257)	88 (71-109)	.	.	n.c.	1
Linfoma non Hodgkin (C82-C85)	M + F	18	12	.	.	11 (7-17)	.	146 (99-214)	101 (84-126)	.	.	n.c.	1
Mieloma multiplo e tumori immunoproliferativi (C88, C90)	F	<5	>5	.	.	3 (0-8)	.	45 (15-136)	87 (56-115)	.	.	n.c.	1
Mieloma multiplo e tumori immunoproliferativi (C88, C90)	M	<5	>5	.	.	3 (0-9)	.	41 (14-124)	89 (59-120)	.	.	n.c.	1




Tabella 17A - Osimo	Genere	Osservati	Attesi	Cluster sign.	SIR cluster	Tasso std. * 100000 (ic)	Tasso std. > Tasso reg.	SIR (ic)	BIR (ic)	SIR sign.	BIR sign.	Trend	Livello attenzione
Causa (ICD-IX)													
Mieloma multiplo e tumori immunoproliferativi (C88, C90)	M + F	<5	>5	.	.	3 (1-6)	.	43 (19-96)	79 (54-107)	↓	.	n.c.	0 
Leucemie (C91-C95)	F	7	7	.	.	9 (4-17)	.	107 (58-197)	94 (72-123)	.	.	n.c.	1
Leucemie (C91-C95)	M	6	8	.	.	8 (3-16)	.	73 (38-142)	95 (68-125)	.	.	n.c.	1
Leucemie (C91-C95)	M + F	13	15	.	.	8 (5-14)	.	88 (56-139)	96 (80-114)	.	.	n.c.	1
Leucemia linfoide (acuta e cronica) (C91)	F	<5	<5	.	.	3 (0-8)	.	129 (43-389)	68 (46-99)	.	↓	n.c.	0 
Leucemia linfoide (acuta e cronica) (C91)	M	<5	<5	.	.	3 (0-9)	.	77 (26-233)	82 (56-113)	.	.	n.c.	1
Leucemia linfoide (acuta e cronica) (C91)	M + F	<5	<5	.	.	3 (1-6)	.	97 (43-215)	78 (60-99)	.	↓	n.c.	0 
Leucemia mieloide (acuta e cronica) (C92)	F	<5	<5	.	.	3 (0-8)	.	62 (21-189)	96 (63-132)	.	.	n.c.	1
Leucemia mieloide (acuta e cronica) (C92)	M	<5	<5	.	.	3 (0-9)	.	47 (16-143)	106 (68-146)	.	.	n.c.	1
Leucemia mieloide (acuta e cronica) (C92)	M + F	<5	>5	.	.	3 (1-6)	.	54 (24-120)	101 (72-132)	.	.	n.c.	1
Malattie del sangue e degli organi emopoietici (D50-D77)	F	5	4	.	.	6 (2-13)	.	119 (58-245)	87 (61-125)	.	.	n.c.	1
Malattie del sangue e degli organi emopoietici (D50-D77)	M	<5	<5	.	.	4 (1-11)	.	104 (42-260)	102 (74-138)	.	.	n.c.	1
Malattie del sangue e degli organi emopoietici (D50-D77)	M + F	8	7	.	.	5 (3-10)	.	113 (64-201)	95 (74-124)	.	.	→	1
Malattie endocrine, della nutrizione ed immunitarie (E00-E90, D80-D89)	F	42	37	.	.	51 (39-66)	.	112 (87-144)	108 (90-131)	.	.	→	1
Malattie endocrine, della nutrizione ed immunitarie (E00-E90, D80-D89)	M	28	26	.	.	39 (27-53)	.	108 (79-147)	105 (86-130)	.	.	→	1
Malattie endocrine, della nutrizione ed immunitarie (E00-E90, D80-D89)	M + F	70	63	.	.	45 (36-55)	.	110 (91-134)	108 (93-126)	.	.	→	1

Tabella 17A - Osimo	Genere	Osservati	Attesi	Cluster sign.	SIR cluster	Tasso std. * 100000 (ic)	Tasso std. > Tasso reg.	SIR (ic)	BIR (ic)	SIR sign.	BIR sign.	Trend	Livello attenzione
Causa (ICD-IX)													
Tireotossicosi (E05)	F	0	0	.	.	0 (0-4)	.	0 (.-.)	55 (14-146)	.	.	n.c.	1
Tireotossicosi (E05)	M	0	0	.	.	0 (0-4)	.	0 (.-.)	30 (0-161)	.	.	n.c.	1
Tireotossicosi (E05)	M + F	0	0	.	.	0 (0-2)	.	0 (.-.)	54 (13-130)	.	.	n.c.	1
Ipotiroidismo (E00-E03)	F	0	0	.	.	0 (0-4)	.	0 (.-.)	86 (20-208)	.	.	n.c.	1
Ipotiroidismo (E00-E03)	M	0	0	.	.	0 (0-4)	.	0 (.-.)	99 (18-262)	.	.	n.c.	1
Ipotiroidismo (E00-E03)	M + F	0	1	.	.	0 (0-2)	.	0 (.-.)	99 (30-194)	.	.	n.c.	1
Diabete mellito (E10-E14)	F	28	27	.	.	34 (24-47)	.	104 (77-142)	104 (84-128)	.	.	→	1
Diabete mellito (E10-E14)	M	23	19	.	.	32 (22-46)	.	120 (86-169)	107 (86-136)	.	.	→	1
Diabete mellito (E10-E14)	M + F	51	46	.	.	33 (26-42)	.	111 (88-140)	107 (89-127)	.	.	→	1
Demenze (F00-F01, F020-F023, F03, G30, G310)	F	55	59	.	.	67 (53-85)	.	93 (75-116)	98 (81-118)	.	.	→	1
Demenze (F00-F01, F020-F023, F03, G30, G310)	M	29	27	.	.	42 (30-57)	.	108 (80-147)	108 (85-135)	.	.	→	1
Demenze (F00-F01, F020-F023, F03, G30, G310)	M + F	84	86	.	.	55 (45-66)	.	98 (82-117)	102 (87-119)	.	.	→	1
Malattie neuro-psichiatriche (escluse tossicod.) (F00-F09, F20-F99)	F	19	39	.	.	23 (15-34)	.	49 (34-72)	62 (45-84)	↓	↓	n.c.	0 😊
Malattie neuro-psichiatriche (escluse tossicod.) (F00-F09, F20-F99)	M	16	17	.	.	23 (15-35)	.	93 (62-140)	99 (71-136)	.	.	n.c.	1
Malattie neuro-psichiatriche (escluse tossicod.) (F00-F09, F20-F99)	M + F	35	56	.	.	23 (17-31)	.	63 (48-83)	75 (58-94)	↓	↓	→	0 😊
Malattie del sistema nervoso e degli organi di senso (G00-H95)	F	50	39	2	137	62 (49-79)	.	127 (101-160)	108 (91-129)	↑	.	→	3 😞




Tabella 17A - Osimo	Genere	Osservati	Attesi	Cluster sign.	SIR cluster	Tasso std. * 100000 (ic)	Tasso std. > Tasso reg.	SIR (ic)	BIR (ic)	SIR sign.	BIR sign.	Trend	Livello attenzione
Causa (ICD-IX)													
Malattie del sistema nervoso e degli organi di senso (G00-H95)	M	37	28	.	.	51 (38-68)	.	130 (99-170)	113 (94-135)	.	.	→	1
Malattie del sistema nervoso e degli organi di senso (G00-H95)	M + F	87	68	2	139	57 (47-68)	.	128 (108-153)	112 (97-128)	↑	.	→	3 
Morbo di Parkinson (G20)	F	6	6	.	.	8 (3-16)	.	95 (49-183)	105 (75-141)	.	.	n.c.	1
Morbo di Parkinson (G20)	M	5	6	.	.	7 (3-15)	.	86 (42-176)	92 (69-121)	.	.	n.c.	1
Morbo di Parkinson (G20)	M + F	11	12	.	.	8 (4-13)	.	90 (55-148)	98 (77-123)	.	.	n.c.	1
Malattia di Alzheimer (G30)	F	37	22	2	167	46 (34-60)	↑	169 (129-222)	137 (107-172)	↑	↑	→	5 
Malattia di Alzheimer (G30)	M	16	11	2	187	23 (14-35)	.	150 (100-225)	120 (86-164)	.	.	n.c.	1
Malattia di Alzheimer (G30)	M + F	53	33	2	173	35 (27-44)	↑	163 (130-204)	135 (110-165)	↑	↑	→	5 
Epilessia (G40)	F	0	1	.	.	0 (0-4)	.	0 (.-.)	67 (35-114)	.	.	n.c.	1
Epilessia (G40)	M	<5	<5	.	.	1 (0-6)	.	84 (19-375)	98 (55-160)	.	.	n.c.	1
Epilessia (G40)	M + F	<5	<5	.	.	1 (0-3)	.	49 (11-220)	80 (46-127)	.	.	n.c.	1
Malattia dei neuroni motori (G122)	F	<5	<5	.	.	2 (0-8)	.	77 (25-231)	92 (43-176)	.	.	n.c.	1
Malattia dei neuroni motori (G122)	M	<5	<5	.	.	4 (1-10)	.	110 (44-276)	106 (64-168)	.	.	n.c.	1
Malattia dei neuroni motori (G122)	M + F	5	5	.	.	3 (1-7)	.	94 (46-193)	100 (59-162)	.	.	n.c.	1
Sclerosi multipla (G35)	F	0	1	.	.	0 (0-4)	.	0 (.-.)	70 (33-127)	.	.	n.c.	1
Sclerosi multipla (G35)	M	0	0	.	.	0 (0-4)	.	0 (.-.)	50 (6-140)	.	.	n.c.	1






Tabella 17A - Osimo	Genere	Osservati	Attesi	Cluster sign.	SIR cluster	Tasso std. * 100000 (ic)	Tasso std. > Tasso reg.	SIR (ic)	BIR (ic)	SIR sign.	BIR sign.	Trend	Livello attenzione
Causa (ICD-IX)													
Sclerosi multipla (G35)	M + F	0	1	.	.	0 (0-2)	.	0 (-.)	69 (38-112)	.	.	n.c.	1
Neuropatie tossiche e infiammatorie non specificate (G619, G629)	F	0	0	.	.	0 (0-4)	.	0 (-.)	13 (0-108)	.	.	n.c.	1
Neuropatie tossiche e infiammatorie non specificate (G619, G629)	M	0	0	.	.	0 (0-4)	.	0 (-.)	117 (25-316)	.	.	n.c.	1
Neuropatie tossiche e infiammatorie non specificate (G619, G629)	M + F	0	0	.	.	0 (0-2)	.	0 (-.)	74 (15-192)	.	.	n.c.	1
Malattie dell'apparato circolatorio (I00-I99)	F	370	368	.	.	441 (404-481)	.	101 (92-110)	102 (95-109)	.	.	→	1
Malattie dell'apparato circolatorio (I00-I99)	M	307	261	.	.	434 (394-478)	↑	118 (107-129)	110 (102-120)	↑	↑	→	5 
Malattie dell'apparato circolatorio (I00-I99)	M + F	677	628	.	.	438 (410-467)	.	108 (101-115)	106 (100-112)	↑	↑	→	5 
Malattia ipertensiva (I10-I15)	F	39	39	.	.	46 (35-61)	.	100 (77-130)	92 (72-116)	.	.	→	1
Malattia ipertensiva (I10-I15)	M	25	21	.	.	36 (25-50)	.	118 (85-163)	110 (81-146)	.	.	→	1
Malattia ipertensiva (I10-I15)	M + F	64	60	.	.	41 (33-51)	.	106 (87-130)	100 (82-121)	.	.	→	1
Malattie ischemiche del cuore (I20-I25)	F	131	126	.	.	152 (131-176)	.	104 (90-120)	107 (94-121)	.	.	→	1
Malattie ischemiche del cuore (I20-I25)	M	114	106	.	.	161 (137-189)	.	108 (92-125)	103 (91-116)	.	.	→	1
Malattie ischemiche del cuore (I20-I25)	M + F	245	232	.	.	157 (140-174)	.	106 (95-117)	107 (97-117)	.	.	→	1
Infarto miocardico acuto (I21-I22)	F	24	34	.	.	29 (20-41)	.	71 (50-99)	81 (61-105)	↓	.	n.c.	0 
Infarto miocardico acuto (I21-I22)	M	17	37	.	.	24 (15-36)	.	47 (31-69)	63 (47-80)	↓	↓	↓	0 
Infarto miocardico acuto (I21-I22)	M + F	41	71	.	.	27 (20-35)	.	58 (45-75)	65 (51-80)	↓	↓	→	0 

Tabella 17A - Osimo	Genere	Osservati	Attesi	Cluster sign.	SIR cluster	Tasso std. * 100000 (ic)	Tasso std. > Tasso reg.	SIR (ic)	BIR (ic)	SIR sign.	BIR sign.	Trend	Livello attenzione
Causa (ICD-IX)													
Malattie cerebrovascolari (I60-I69)	F	80	95	.	.	98 (80-118)	.	84 (70-101)	87 (75-100)	.	.	→	1
Malattie cerebrovascolari (I60-I69)	M	84	67	.	.	119 (98-143)	↑	126 (105-151)	110 (95-129)	↑	.	→	3 ☹️
Malattie cerebrovascolari (I60-I69)	M + F	164	162	.	.	108 (95-123)	.	101 (89-115)	98 (88-110)	.	.	→	1
Malattie dell'apparato respiratorio (J00-J99)	F	39	51	.	.	48 (36-63)	.	77 (59-100)	84 (70-100)	↓	.	→	0 😊
Malattie dell'apparato respiratorio (J00-J99)	M	56	58	.	.	80 (63-100)	.	97 (78-120)	95 (82-112)	.	.	→	1
Malattie dell'apparato respiratorio (J00-J99)	M + F	95	109	.	.	64 (53-76)	.	87 (74-104)	90 (78-102)	.	.	→	1
Malattie respiratorie acute (J00-J06, J10-J18, J20-J22)	F	11	16	.	.	13 (7-22)	.	71 (44-116)	84 (59-115)	.	.	→	1
Malattie respiratorie acute (J00-J06, J10-J18, J20-J22)	M	11	12	.	.	15 (8-25)	.	89 (54-145)	91 (59-135)	.	.	n.c.	1
Malattie respiratorie acute (J00-J06, J10-J18, J20-J22)	M + F	22	28	.	.	14 (9-20)	.	79 (56-112)	85 (63-111)	.	.	→	1
Malattie croniche dell'apparato respiratorio (BCPO) (J41-J44, J47)	F	8	19	.	.	9 (5-17)	.	41 (23-73)	65 (44-86)	↓	↓	n.c.	0 😊
Malattie croniche dell'apparato respiratorio (BCPO) (J41-J44, J47)	M	26	30	.	.	37 (26-52)	.	87 (63-120)	88 (72-107)	.	.	→	1
Malattie croniche dell'apparato respiratorio (BCPO) (J41-J44, J47)	M + F	34	49	.	.	23 (17-31)	.	69 (52-91)	77 (63-93)	↓	↓	→	0 😊
Asma (J45)	F	<5	<5	.	.	1 (0-6)	.	105 (23-470)	111 (46-219)	.	.	n.c.	1
Asma (J45)	M	0	1	.	.	0 (0-4)	.	0 (-.)	100 (23-222)	.	.	n.c.	1
Asma (J45)	M + F	<5	<5	.	.	1 (0-3)	.	71 (16-316)	112 (58-180)	.	.	n.c.	1
Pneumoconiosi (J60-J64)	M	0	2	.	.	0 (0-4)	.	0 (-.)	25 (5-84)	.	↓	n.c.	0 😊






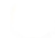










Tabella 17A - Osimo	Genere	Osservati	Attesi	Cluster sign.	SIR cluster	Tasso std. * 100000 (ic)	Tasso std. > Tasso reg.	SIR (ic)	BIR (ic)	SIR sign.	BIR sign.	Trend	Livello attenzione
Causa (ICD-IX)													
Pneumoconiosi (J60-J64)	M + F	0	2	.	.	0 (0-2)	.	0 (-.)	25 (5-84)	.	↓	n.c.	0 
Malattie dell'apparato digerente (K00-K93)	F	42	29	2	132	52 (40-68)	↑	144 (112-185)	103 (90-123)	↑	.	→	3 
Malattie dell'apparato digerente (K00-K93)	M	29	26	.	.	40 (28-54)	.	113 (83-153)	101 (87-118)	.	.	→	1 
Malattie dell'apparato digerente (K00-K93)	M + F	71	55	2	123	46 (37-56)	↑	129 (106-157)	107 (94-125)	↑	.	→	3 
Cirrosi e altre malattie croniche del fegato (K70, K73-K74)	F	<5	<5	.	.	3 (0-8)	.	66 (22-199)	73 (43-106)	.	.	n.c.	1 
Cirrosi e altre malattie croniche del fegato (K70, K73-K74)	M	>5	>5	.	.	12 (6-21)	.	114 (66-196)	97 (79-122)	.	.	→	1 
Cirrosi e altre malattie croniche del fegato (K70, K73-K74)	M + F	11	11	.	.	7 (4-12)	.	101 (62-164)	89 (70-112)	.	.	→	1 
Nefropatie croniche e acute (N00-N12)	F	0	0	.	.	0 (0-4)	.	0 (-.)	100 (39-204)	.	.	n.c.	1 
Nefropatie croniche e acute (N00-N12)	M	<5	<5	.	.	1 (0-7)	.	323 (72-1449)	144 (55-335)	.	.	n.c.	1 
Nefropatie croniche e acute (N00-N12)	M + F	<5	<5	.	.	1 (0-3)	.	166 (37-745)	122 (43-292)	.	.	n.c.	1 
Malattie dell'apparato genito-urinario (N00-N99)	F	23	17	2	148	28 (19-40)	.	133 (94-187)	124 (98-157)	.	.	→	1 
Malattie dell'apparato genito-urinario (N00-N99)	M	13	14	.	.	18 (11-29)	.	91 (58-142)	106 (78-138)	.	.	→	1 
Malattie dell'apparato genito-urinario (N00-N99)	M + F	36	32	.	.	23 (17-31)	.	114 (86-149)	117 (95-142)	.	.	→	1 
Insufficienza renale acuta e cronica (N17-N19)	F	20	14	2	142	24 (16-35)	.	141 (98-203)	119 (94-155)	.	.	→	1 
Insufficienza renale acuta e cronica (N17-N19)	M	10	11	.	.	14 (8-24)	.	92 (55-154)	102 (74-135)	.	.	→	1 
Insufficienza renale acuta e cronica (N17-N19)	M + F	30	25	.	.	19 (14-26)	.	120 (89-161)	117 (95-144)	.	.	→	1 

Tabella 17A - Osimo	Genere	Osservati	Attesi	Cluster sign.	SIR cluster	Tasso std. * 100000 (ic)	Tasso std. > Tasso reg.	SIR (ic)	BIR (ic)	SIR sign.	BIR sign.	Trend	Livello attenzione
Causa (ICD-IX)													
Malformazioni congenite (Q00-Q99)	F	<5	<5	.	.	2 (0-7)	.	149 (49-450)	78 (29-176)	,	,	n.c.	1
Malformazioni congenite (Q00-Q99)	M	0	2	.	.	0 (0-4)	.	0 (.-.)	51 (14-133)	,	,	n.c.	1
Malformazioni congenite (Q00-Q99)	M + F	<5	<5	.	.	1 (0-4)	.	61 (20-184)	66 (28-132)	,	,	n.c.	1
Sintomi, segni e stati morbosi mal definiti (R00-R99)	F	>5	>5	.	.	9 (5-17)	.	67 (39-114)	79 (46-123)	,	,	n.c.	1
Sintomi, segni e stati morbosi mal definiti (R00-R99)	M	<5	>5	.	.	3 (0-9)	.	37 (12-111)	60 (27-121)	,	,	n.c.	1
Sintomi, segni e stati morbosi mal definiti (R00-R99)	M + F	11	19	.	.	6 (3-10)	.	58 (35-95)	68 (43-104)	↓	,	n.c.	0 
Traumatismi e avvelenamenti (S00-T98)	F	30	29	.	.	36 (26-49)	.	103 (77-139)	101 (81-125)	,	,	→	1
Traumatismi e avvelenamenti (S00-T98)	M	43	42	.	.	56 (43-73)	.	103 (80-133)	102 (90-117)	,	,	→	1
Traumatismi e avvelenamenti (S00-T98)	M + F	73	71	.	.	46 (37-56)	.	103 (85-125)	102 (89-117)	,	,	→	1

Tabella 18A. Decessi per causa nel comune di Porto Recanati, tutte le età, periodo di osservazione 2009-2013




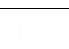
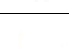
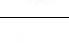
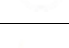
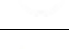
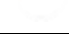
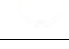
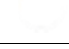




Tabella 18A - Porto Recanati	Genere	Osservati	Attesi	Cluster sign.	SIR cluster	Tasso std. * 100000 (ic)	Tasso std. > Tasso reg.	SIR (ic)	BIR (ic)	SIR sign.	BIR sign.	Trend	Livello attenzione
Causa (ICD-IX)													
Mortalità generale (escluse cause violente) (A00-R99)	F	208	251	.	.	968 (859-1088)	.	83 (74-93)	99 (92-107)	↓	.	→	0 
Mortalità generale (escluse cause violente) (A00-R99)	M	220	220	.	.	1104 (982-1251)	.	100 (90-112)	100 (92-109)	.	.	↓	0 
Mortalità generale (escluse cause violente) (A00-R99)	M + F	428	471	.	.	1034 (952-1128)	.	91 (84-98)	98 (92-104)	↓	.	→	0 
Mortalità per cause esterne o violente (S00-Y99)	F	9	8	.	.	39 (20-70)	.	118 (69-203)	89 (63-126)	.	.	n.c.	1 
Mortalità per cause esterne o violente (S00-Y99)	M	10	14	.	.	41 (21-94)	.	71 (43-120)	100 (78-124)	.	.	→	1 
Mortalità per cause esterne o violente (S00-Y99)	M + F	19	22	.	.	40 (26-69)	.	88 (60-128)	93 (75-114)	.	.	→	1 
Malattie infettive (A00-B99)	F	>5	>5	.	.	29 (12-58)	.	111 (57-214)	125 (83-185)	.	.	n.c.	1 
Malattie infettive (A00-B99)	M	<5	>5	.	.	14 (2-65)	.	39 (13-119)	114 (80-157)	.	.	n.c.	1 
Malattie infettive (A00-B99)	M + F	8	11	.	.	21 (10-49)	.	76 (43-135)	115 (83-155)	.	.	n.c.	1 
Epatite virale (B17-B19)	F	0	0	.	.	0 (0-16)	.	0 (-.)	39 (8-117)	.	.	n.c.	1 
Epatite virale (B17-B19)	M	0	1	.	.	0 (0-47)	.	0 (-.)	107 (42-220)	.	.	n.c.	1 
Epatite virale (B17-B19)	M + F	0	1	.	.	0 (0-23)	.	0 (-.)	87 (43-150)	.	.	n.c.	1 
Tutti i tumori (C00-D48)	F	56	59	.	.	250 (197-315)	.	94 (76-117)	97 (87-107)	.	.	→	1 
Tutti i tumori (C00-D48)	M	78	77	.	.	362 (297-453)	.	101 (84-121)	101 (90-113)	.	.	→	1 
Tutti i tumori (C00-D48)	M + F	134	137	.	.	305 (262-360)	.	98 (85-113)	99 (90-108)	.	.	→	1 


Tabella 18A - Porto Recanati													
Causa (ICD-IX)	Genere	Osservati	Attesi	Cluster sign.	SIR cluster	Tasso std. * 100000 (ic)	Tasso std. > Tasso reg.	SIR (ic)	BIR (ic)	SIR sign.	BIR sign.	Trend	Livello attenzione
Tumori maligni delle vie aeree e digestive superiori (C00-C15, C32)	F	0	0	.	.	0 (0-16)	.	0 (-.)	46 (15-117)	.	.	n.c.	1
Tumori maligni delle vie aeree e digestive superiori (C00-C15, C32)	M	<5	<5	.	.	5 (0-53)	.	28 (6-125)	98 (59-154)	.	.	n.c.	1
Tumori maligni delle vie aeree e digestive superiori (C00-C15, C32)	M + F	<5	<5	.	.	2 (0-26)	.	25 (6-113)	89 (55-134)	.	.	n.c.	1
Tumori maligni (C00-C97)	F	53	57	.	.	237 (185-300)	.	93 (74-117)	97 (87-109)	.	.	→	1
Tumori maligni (C00-C97)	M	77	74	.	.	356 (292-447)	.	104 (86-125)	102 (92-114)	.	.	→	1
Tumori maligni (C00-C97)	M + F	130	131	.	.	295 (254-349)	.	99 (86-115)	100 (91-109)	.	.	→	1
Tumori maligni dell'esofago (C15)	F	0	0	.	.	0 (0-16)	.	0 (-.)	0 (0-0)	.	.	n.c.	1
Tumori maligni dell'esofago (C15)	M	0	1	.	.	0 (0-47)	.	0 (-.)	62 (21-148)	.	.	n.c.	1
Tumori maligni dell'esofago (C15)	M + F	0	1	.	.	0 (0-23)	.	0 (-.)	46 (14-115)	.	.	n.c.	1
Tumori maligni dello stomaco (C16)	F	<5	>5	.	.	21 (7-48)	.	72 (32-161)	114 (80-156)	.	.	n.c.	1
Tumori maligni dello stomaco (C16)	M	>5	>5	.	.	24 (9-76)	.	70 (34-143)	103 (70-146)	.	.	n.c.	1
Tumori maligni dello stomaco (C16)	M + F	9	13	.	.	22 (12-50)	.	71 (41-122)	99 (73-129)	.	.	n.c.	1
Tumori maligni dell'intestino tenue, compreso il duodeno (C17)	F	<5	<5	.	.	4 (0-23)	.	684 (153-3067)	125 (9-667)	↑	.	n.c.	1
Tumori maligni dell'intestino tenue, compreso il duodeno (C17)	M	0	0	.	.	0 (0-47)	.	0 (-.)	66 (4-337)	.	.	n.c.	1
Tumori maligni dell'intestino tenue, compreso il duodeno (C17)	M + F	<5	<5	.	.	2 (0-26)	.	370 (82-1657)	0 (0-0)	.	↓	n.c.	0 
Tumori maligni del colon (C18)	F	6	6	.	.	24 (10-50)	.	95 (49-184)	106 (78-145)	.	.	n.c.	1


Tabella 18A - Porto Recanati	Genere	Osservati	Attesi	Cluster sign.	SIR cluster	Tasso std. * 100000 (ic)	Tasso std. > Tasso reg.	SIR (ic)	BIR (ic)	SIR sign.	BIR sign.	Trend	Livello attenzione
Causa (ICD-IX)													
Tumori maligni del colon (C18)	M	7	6	2	137	31 (14-83)	.	117 (64-216)	90 (64-127)	.	.	n.c.	1
Tumori maligni del colon (C18)	M + F	13	12	.	.	27 (16-55)	.	106 (67-167)	101 (77-134)	.	.	→	1
Tumori maligni del retto, della giunzione retto-sigmoidea e dell'ano (C19-C21)	F	0	2	.	.	0 (0-16)	.	0 (.-.)	102 (50-183)	.	.	n.c.	1
Tumori maligni del retto, della giunzione retto-sigmoidea e dell'ano (C19-C21)	M	0	1	.	.	0 (0-47)	.	0 (.-.)	41 (18-82)	.	↓	n.c.	0 
Tumori maligni del retto, della giunzione retto-sigmoidea e dell'ano (C19-C21)	M + F	0	3	.	.	0 (0-23)	.	0 (.-.)	66 (37-106)	.	.	n.c.	1
Tumore fegato e dotti biliari (C22)	F	<5	<5	.	.	5 (0-24)	.	60 (13-268)	96 (53-159)	.	.	n.c.	1
Tumore fegato e dotti biliari (C22)	M	<5	<5	.	.	18 (6-67)	.	167 (75-371)	84 (49-141)	.	.	n.c.	1
Tumore fegato e dotti biliari (C22)	M + F	5	4	.	.	11 (4-36)	.	123 (60-252)	89 (57-134)	.	.	n.c.	1
Tumori maligni del pancreas (C25)	F	6	4	.	.	28 (12-57)	.	154 (80-298)	91 (64-127)	.	.	n.c.	1
Tumori maligni del pancreas (C25)	M	6	4	.	.	29 (13-81)	.	149 (77-288)	97 (68-135)	.	.	n.c.	1
Tumori maligni del pancreas (C25)	M + F	12	8	.	.	29 (16-57)	.	151 (95-242)	95 (73-124)	.	.	n.c.	1
Tumore del retroperitoneo (C48)	F	0	0	.	.	0 (0-16)	.	.	0 (0-0)	.	.	n.c.	1
Tumore del retroperitoneo (C48)	M	0	0	.	.	0 (0-47)	.	.	0 (0-0)	.	.	n.c.	1
Tumore del retroperitoneo (C48)	M + F	0	0	.	.	0 (0-23)	.	.	0 (0-0)	.	.	n.c.	1
Tumori maligni della laringe (C32)	F	0	0	.	.	0 (0-16)	.	.	0 (0-0)	.	.	n.c.	1
Tumori maligni della laringe (C32)	M	0	1	.	.	0 (0-47)	.	0 (.-.)	85 (37-168)	.	.	n.c.	1

Tabella 18A - Porto Recanati	Genere	Osservati	Attesi	Cluster sign.	SIR cluster	Tasso std. * 100000 (ic)	Tasso std. > Tasso reg.	SIR (ic)	BIR (ic)	SIR sign.	BIR sign.	Trend	Livello attenzione
Causa (ICD-IX)													
Tumori maligni della laringe (C32)	M + F	0	1	.	.	0 (0-23)	.	0 (-.)	80 (35-157)	.	.	n.c.	1
Tumori maligni della trachea, dei bronchi e dei polmoni (C33-C34)	F	5	5	.	.	20 (8-45)	.	94 (46-193)	90 (59-134)	.	.	n.c.	1
Tumori maligni della trachea, dei bronchi e dei polmoni (C33-C34)	M	27	21	.	.	125 (88-191)	↑	131 (95-179)	122 (101-151)	.	↑	→	4 😬
Tumori maligni della trachea, dei bronchi e dei polmoni (C33-C34)	M + F	32	26	.	.	71 (52-105)	↑	123 (92-165)	121 (99-145)	.	.	→	1
Mesotelioma (pleura, peritoneo, endocardio, ecc.) (C45)	F	0	0	.	.	0 (0-16)	.	0 (-.)	33 (2-155)	.	.	n.c.	1
Mesotelioma (pleura, peritoneo, endocardio, ecc.) (C45)	M	<5	<5	.	.	10 (2-59)	.	311 (103-940)	114 (31-331)	↑	.	n.c.	3 😬
Mesotelioma (pleura, peritoneo, endocardio, ecc.) (C45)	M + F	<5	<5	.	.	5 (1-29)	.	263 (87-795)	85 (31-210)	.	.	n.c.	1
Tumori maligni delle ossa e della cartilagine articolare (C40-C41)	F	0	0	.	.	0 (0-16)	.	.	0 (0-0)	.	.	n.c.	1
Tumori maligni delle ossa e della cartilagine articolare (C40-C41)	M	0	0	.	.	0 (0-47)	.	0 (-.)	82 (11-325)	.	.	n.c.	1
Tumori maligni delle ossa e della cartilagine articolare (C40-C41)	M + F	0	0	.	.	0 (0-23)	.	0 (-.)	51 (7-204)	.	.	n.c.	1
Tumori maligni del connettivo e di altri tessuti molli (C49)	F	<5	<5	.	.	4 (0-22)	.	226 (51-1015)	98 (28-244)	.	.	n.c.	1
Tumori maligni del connettivo e di altri tessuti molli (C49)	M	0	0	.	.	0 (0-47)	.	0 (-.)	106 (32-256)	.	.	n.c.	1
Tumori maligni del connettivo e di altri tessuti molli (C49)	M + F	<5	<5	.	.	2 (0-25)	.	116 (26-518)	111 (47-217)	.	.	n.c.	1
Melanoma maligno della pelle (C43)	F	0	0	.	.	0 (0-16)	.	0 (-.)	60 (17-148)	.	.	n.c.	1
Melanoma maligno della pelle (C43)	M	<5	<5	.	.	3 (0-51)	.	157 (35-705)	64 (22-146)	.	.	n.c.	1
Melanoma maligno della pelle (C43)	M + F	<5	<5	.	.	2 (0-25)	.	96 (21-430)	67 (32-123)	.	.	n.c.	1

Tabella 18A - Porto Recanati	Genere	Osservati	Attesi	Cluster sign.	SIR cluster	Tasso std. * 100000 (ic)	Tasso std. > Tasso reg.	SIR (ic)	BIR (ic)	SIR sign.	BIR sign.	Trend	Livello attenzione
Causa (ICD-IX)													
Tumori maligni della mammella (C50)	F	9	8	.	.	42 (22-74)	.	115 (67-198)	87 (65-116)	'	'	n.c.	1
Tumori maligni della mammella (C50)	M + F	9	8	.	.	21 (11-48)	.	115 (67-198)	86 (64-115)	'	'	n.c.	1
Tumori maligni dell'utero (C53-C55)	F	<5	<5	.	.	7 (1-27)	.	63 (21-190)	129 (82-195)	'	'	n.c.	1
Tumori maligni del corpo dell'utero (C54)	F	0	1	.	.	0 (0-16)	.	0 (-.)	78 (24-192)	'	'	n.c.	1
Tumori maligni dell'ovaio e degli altri annessi uterini (C56-C57)	F	<5	<5	.	.	16 (4-42)	.	122 (49-305)	96 (58-150)	'	'	n.c.	1
Tumore della prostata (C61)	M	7	5	.	.	33 (16-86)	.	137 (74-253)	87 (63-118)	'	'	n.c.	1
Tumore del testicolo (C62)	M	0	0	.	.	0 (0-47)	.	.	0 (0-0)	'	'	n.c.	1
Tumori maligni della vescica (C67)	F	<5	<5	.	.	3 (0-21)	.	127 (28-567)	72 (30-150)	'	'	n.c.	1
Tumori maligni della vescica (C67)	M	<5	<5	.	.	14 (4-64)	.	113 (45-283)	76 (49-112)	'	'	n.c.	1
Tumori maligni della vescica (C67)	M + F	<5	<5	.	.	9 (3-33)	.	116 (52-259)	77 (54-109)	'	'	n.c.	1
Tumori maligni del rene e di altri e non specificati organi urinari (C64-C66, C68)	F	<5	<5	.	.	5 (0-25)	.	55 (12-247)	127 (63-231)	'	'	n.c.	1
Tumori maligni del rene e di altri e non specificati organi urinari (C64-C66, C68)	M	<5	<5	.	.	19 (6-69)	.	122 (55-271)	129 (81-198)	'	'	n.c.	1
Tumori maligni del rene e di altri e non specificati organi urinari (C64-C66, C68)	M + F	5	5	.	.	12 (5-37)	.	98 (48-201)	131 (89-190)	'	'	n.c.	1
tumore del sistema nervoso centrale (C70-C72,D33)	F	0	2	.	.	0 (0-16)	.	0 (-.)	111 (59-189)	'	'	n.c.	1
tumore del sistema nervoso centrale (C70-C72,D33)	M	0	1	.	.	0 (0-47)	.	0 (-.)	56 (25-107)	'	'	n.c.	1
tumore del sistema nervoso centrale (C70-C72,D33)	M + F	0	3	.	.	0 (0-23)	.	0 (-.)	84 (54-122)	'	'	n.c.	1

Tabella 18A - Porto Recanati													
Causa (ICD-IX)	Genere	Osservati	Attesi	Cluster sign.	SIR cluster	Tasso std. * 100000 (ic)	Tasso std. > Tasso reg.	SIR (ic)	BIR (ic)	SIR sign.	BIR sign.	Trend	Livello attenzione
Tumori maligni dell'encefalo (C71)	F	0	2	.	.	0 (0-16)	.	0 (.-.)	109 (59-184)	'	'	n.c.	1
Tumori maligni dell'encefalo (C71)	M	0	1	.	.	0 (0-47)	.	0 (.-.)	61 (27-113)	'	'	n.c.	1
Tumori maligni dell'encefalo (C71)	M + F	0	3	.	.	0 (0-23)	.	0 (.-.)	82 (52-121)	'	'	n.c.	1
Tumori maligni della ghiandola tiroide (C73)	F	<5	<5	.	.	3 (0-21)	.	259 (58-1159)	95 (20-284)	'	'	n.c.	1
Tumori maligni della ghiandola tiroide (C73)	M	<5	<5	.	.	6 (0-54)	.	340 (76-1525)	129 (26-377)	'	'	n.c.	1
Tumori maligni della ghiandola tiroide (C73)	M + F	<5	<5	.	.	4 (1-28)	.	294 (97-888)	121 (45-275)	'	'	n.c.	1
Tumori emolinfopietici (C81-C96)	F	<5	>5	.	.	18 (6-44)	.	79 (35-175)	89 (65-120)	'	'	n.c.	1
Tumori emolinfopietici (C81-C96)	M	>5	>5	.	.	33 (15-85)	.	101 (55-186)	104 (78-134)	'	'	→	1
Tumori emolinfopietici (C81-C96)	M + F	11	12	.	.	25 (14-53)	.	91 (56-149)	97 (79-118)	'	'	→	1
Malattia di Hodgkin (C81)	F	<5	<5	.	.	4 (0-22)	.	292 (65-1307)	193 (36-758)	'	'	n.c.	1
Malattia di Hodgkin (C81)	M	0	0	.	.	0 (0-47)	.	0 (.-.)	60 (4-280)	'	'	n.c.	1
Malattia di Hodgkin (C81)	M + F	<5	<5	.	.	2 (0-25)	.	183 (41-822)	129 (34-352)	'	'	n.c.	1
Linfoma non Hodgkin (C82-C85)	F	0	1	.	.	0 (0-16)	.	0 (.-.)	75 (41-125)	'	'	n.c.	1
Linfoma non Hodgkin (C82-C85)	M	<5	<5	.	.	13 (4-63)	.	145 (58-362)	90 (54-142)	'	'	n.c.	1
Linfoma non Hodgkin (C82-C85)	M + F	<5	<5	.	.	7 (2-31)	.	87 (35-218)	84 (57-122)	'	'	n.c.	1
Mieloma multiplo e tumori immunoproliferativi (C88, C90)	F	0	2	.	.	0 (0-16)	.	0 (.-.)	117 (61-191)	'	'	n.c.	1

Tabella 18A - Porto Recanati	Genere	Osservati	Attesi	Cluster sign.	SIR cluster	Tasso std. * 100000 (ic)	Tasso std. > Tasso reg.	SIR (ic)	BIR (ic)	SIR sign.	BIR sign.	Trend	Livello attenzione
Causa (ICD-IX)													
Mieloma multiplo e tumori immunoproliferativi (C88, C90)	M	<5	<5	.	.	10 (2-59)	.	109 (36-331)	115 (62-195)	.	.	n.c.	1
Mieloma multiplo e tumori immunoproliferativi (C88, C90)	M + F	<5	<5	.	.	5 (1-29)	.	54 (18-164)	109 (65-168)	.	.	n.c.	1
Leucemie (C91-C95)	F	<5	<5	.	.	15 (4-39)	.	199 (79-497)	66 (35-118)	.	.	n.c.	1
Leucemie (C91-C95)	M	<5	<5	.	.	9 (2-58)	.	71 (23-213)	105 (63-168)	.	.	n.c.	1
Leucemie (C91-C95)	M + F	5	4	.	.	12 (5-37)	.	115 (56-237)	90 (63-126)	.	.	n.c.	1
Leucemia linfoide (acuta e cronica) (C91)	F	<5	<5	.	.	10 (2-33)	.	281 (93-850)	100 (43-209)	.	.	n.c.	1
Leucemia linfoide (acuta e cronica) (C91)	M	0	1	.	.	0 (0-47)	.	0 (.-.)	115 (54-208)	.	.	n.c.	1
Leucemia linfoide (acuta e cronica) (C91)	M + F	<5	<5	.	.	5 (1-29)	.	102 (34-308)	112 (67-178)	.	.	n.c.	1
Leucemia mieloide (acuta e cronica) (C92)	F	0	1	.	.	0 (0-16)	.	0 (.-.)	52 (18-117)	.	.	n.c.	1
Leucemia mieloide (acuta e cronica) (C92)	M	<5	<5	.	.	4 (0-52)	.	95 (21-428)	83 (36-164)	.	.	n.c.	1
Leucemia mieloide (acuta e cronica) (C92)	M + F	<5	<5	.	.	2 (0-25)	.	59 (13-264)	73 (39-130)	.	.	n.c.	1
Malattie del sangue e degli organi emopoietici (D50-D77)	F	<5	<5	.	.	9 (2-29)	.	132 (44-400)	110 (58-205)	.	.	n.c.	1
Malattie del sangue e degli organi emopoietici (D50-D77)	M	0	1	.	.	0 (0-47)	.	0 (.-.)	82 (35-159)	.	.	n.c.	1
Malattie del sangue e degli organi emopoietici (D50-D77)	M + F	<5	<5	.	.	4 (1-28)	.	88 (29-264)	99 (60-156)	.	.	n.c.	1
Malattie endocrine, della nutrizione ed immunitarie (E00-E90, D80-D89)	F	10	10	.	.	47 (25-81)	.	97 (58-163)	93 (69-125)	.	.	n.c.	1
Malattie endocrine, della nutrizione ed immunitarie (E00-E90, D80-D89)	M	11	9	.	.	56 (31-113)	.	124 (76-202)	108 (77-149)	.	.	n.c.	1

Tabella 18A - Porto Recanati													
Causa (ICD-IX)	Genere	Osservati	Attesi	Cluster sign.	SIR cluster	Tasso std. * 100000 (ic)	Tasso std. > Tasso reg.	SIR (ic)	BIR (ic)	SIR sign.	BIR sign.	Trend	Livello attenzione
Malattie endocrine, della nutrizione ed immunitarie (E00-E90, D80-D89)	M + F	21	19	.	.	51 (34-83)	.	109 (77-156)	99 (77-127)	.	.	↑	2 😊
Tireotossicosi (E05)	F	0	0	.	.	0 (0-16)	.	0 (.-.)	73 (5-369)	.	.	n.c.	1
Tireotossicosi (E05)	M	0	0	.	.	0 (0-47)	.	0 (.-.)	83 (0-829)	.	.	n.c.	1
Tireotossicosi (E05)	M + F	0	0	.	.	0 (0-23)	.	0 (.-.)	124 (16-435)	.	.	n.c.	1
Ipotiroidismo (E00-E03)	F	0	0	.	.	0 (0-16)	.	.	0 (0-0)	.	.	n.c.	1
Ipotiroidismo (E00-E03)	M	0	0	.	.	0 (0-47)	.	0 (.-.)	211 (11-1054)	.	.	n.c.	1
Ipotiroidismo (E00-E03)	M + F	0	0	.	.	0 (0-23)	.	0 (.-.)	58 (4-296)	.	.	n.c.	1
Diabete mellito (E10-E14)	F	6	8	.	.	28 (12-57)	.	79 (41-152)	91 (63-129)	.	.	n.c.	1
Diabete mellito (E10-E14)	M	9	7	.	.	45 (24-101)	.	132 (77-227)	116 (79-168)	.	.	n.c.	1
Diabete mellito (E10-E14)	M + F	15	15	.	.	37 (23-66)	.	104 (68-158)	102 (75-137)	.	.	→	1
Demenze (F00-F01, F020-F023, F03, G30, G310)	F	17	18	.	.	83 (53-126)	.	93 (62-138)	105 (76-140)	.	.	→	1
Demenze (F00-F01, F020-F023, F03, G30, G310)	M	7	8	.	.	37 (17-91)	.	85 (46-157)	104 (70-150)	.	.	n.c.	1
Demenze (F00-F01, F020-F023, F03, G30, G310)	M + F	24	27	.	.	60 (42-94)	.	90 (65-126)	103 (79-133)	.	.	→	1
Malattie neuro-psichiatriche (escluse tossicod.) (F00-F09, F20-F99)	F	>5	>5	.	.	44 (23-78)	.	78 (46-135)	94 (59-144)	.	.	n.c.	1
Malattie neuro-psichiatriche (escluse tossicod.) (F00-F09, F20-F99)	M	<5	<5	.	.	22 (7-73)	.	93 (42-206)	79 (45-136)	.	.	n.c.	1
Malattie neuro-psichiatriche (escluse tossicod.) (F00-F09, F20-F99)	M + F	13	16	.	.	33 (19-62)	.	82 (52-129)	90 (61-129)	.	.	n.c.	1

Tabella 18A - Porto Recanati													
Causa (ICD-IX)	Genere	Osservati	Attesi	Cluster sign.	SIR cluster	Tasso std. * 100000 (ic)	Tasso std. > Tasso reg.	SIR (ic)	BIR (ic)	SIR sign.	BIR sign.	Trend	Livello attenzione
Malattie del sistema nervoso e degli organi di senso (G00-H95)	F	12	14	.	.	58 (33-95)	.	89 (56-142)	107 (80-141)	.	.	n.c.	1
Malattie del sistema nervoso e degli organi di senso (G00-H95)	M	13	10	2	141	65 (38-124)	.	131 (83-205)	124 (92-165)	.	.	n.c.	1
Malattie del sistema nervoso e degli organi di senso (G00-H95)	M + F	25	23	.	.	61 (43-95)	.	107 (77-148)	117 (93-146)	.	.	n.c.	1
Morbo di Parkinson (G20)	F	<5	<5	.	.	4 (0-23)	.	56 (12-249)	93 (51-160)	.	.	n.c.	1
Morbo di Parkinson (G20)	M	>5	<5	.	.	26 (10-78)	↑	264 (129-542)	108 (64-179)	↑	.	n.c.	3 ☹️
Morbo di Parkinson (G20)	M + F	6	4	.	.	15 (6-41)	.	163 (84-314)	106 (70-158)	.	.	n.c.	1
Malattia di Alzheimer (G30)	F	>5	>5	.	.	39 (19-72)	.	110 (62-196)	109 (71-162)	.	.	n.c.	1
Malattia di Alzheimer (G30)	M	<5	<5	.	.	15 (4-65)	.	74 (30-185)	119 (69-195)	.	.	n.c.	1
Malattia di Alzheimer (G30)	M + F	11	11	.	.	27 (15-56)	.	97 (60-159)	112 (78-158)	.	.	n.c.	1
Epilessia (G40)	F	0	0	.	.	0 (0-16)	.	0 (-.)	26 (2-118)	.	.	n.c.	1
Epilessia (G40)	M	0	0	.	.	0 (0-47)	.	0 (-.)	65 (14-199)	.	.	n.c.	1
Epilessia (G40)	M + F	0	1	.	.	0 (0-23)	.	0 (-.)	48 (13-133)	.	.	n.c.	1
Malattia dei neuroni motori (G122)	F	0	1	.	.	0 (0-16)	.	0 (-.)	72 (20-211)	.	.	n.c.	1
Malattia dei neuroni motori (G122)	M	0	0	.	.	0 (0-47)	.	0 (-.)	28 (5-90)	.	↓	n.c.	0 😊
Malattia dei neuroni motori (G122)	M + F	0	1	.	.	0 (0-23)	.	0 (-.)	54 (20-128)	.	.	n.c.	1
Sclerosi multipla (G35)	F	0	0	.	.	0 (0-16)	.	0 (-.)	114 (22-339)	.	.	n.c.	1







Tabella 18A - Porto Recanati	Genere	Osservati	Attesi	Cluster sign.	SIR cluster	Tasso std. * 100000 (ic)	Tasso std. > Tasso reg.	SIR (ic)	BIR (ic)	SIR sign.	BIR sign.	Trend	Livello attenzione
Causa (ICD-IX)													
Sclerosi multipla (G35)	M	<5	<5	.	.	4 (0-52)	.	178 (40-797)	332 (69-1097)	.	.	n.c.	1
Sclerosi multipla (G35)	M + F	<5	<5	.	.	2 (0-25)	.	108 (24-483)	204 (79-429)	.	.	n.c.	1
Neuropatie tossiche e infiammatorie non specificate (G619, G629)	F	0	0	.	.	0 (0-16)	.	0 (.-)	114 (4-934)	.	.	n.c.	1
Neuropatie tossiche e infiammatorie non specificate (G619, G629)	M	0	0	.	.	0 (0-47)	.	.	0 (0-0)	.	.	n.c.	1
Neuropatie tossiche e infiammatorie non specificate (G619, G629)	M + F	0	0	.	.	0 (0-23)	.	0 (.-)	66 (3-398)	.	.	n.c.	1
Malattie dell'apparato circolatorio (I00-I99)	F	82	111	.	.	390 (321-470)	.	74 (61-88)	97 (87-108)	↓	.	→	0 
Malattie dell'apparato circolatorio (I00-I99)	M	62	76	.	.	341 (270-438)	.	82 (67-101)	88 (78-99)	.	↓	→	0 
Malattie dell'apparato circolatorio (I00-I99)	M + F	144	187	.	.	366 (316-428)	.	77 (67-88)	90 (81-98)	↓	↓	→	0 
Malattia ipertensiva (I10-I15)	F	11	8	2	144	51 (28-85)	.	139 (85-228)	89 (60-129)	.	.	→	1
Malattia ipertensiva (I10-I15)	M	6	5	.	.	30 (13-82)	.	117 (60-226)	80 (47-128)	.	.	n.c.	1
Malattia ipertensiva (I10-I15)	M + F	17	13	2	135	40 (26-70)	.	131 (88-194)	91 (64-127)	.	.	→	1
Malattie ischemiche del cuore (I20-I25)	F	23	37	.	.	108 (73-154)	.	61 (44-86)	85 (67-106)	↓	.	→	0 
Malattie ischemiche del cuore (I20-I25)	M	26	29	.	.	144 (98-220)	.	88 (64-122)	82 (66-100)	.	↓	→	0 
Malattie ischemiche del cuore (I20-I25)	M + F	49	67	.	.	125 (96-168)	.	73 (58-93)	81 (68-97)	↓	↓	→	0 
Infarto miocardico acuto (I21-I22)	F	8	10	.	.	39 (19-71)	.	77 (43-136)	96 (63-141)	.	.	n.c.	1
Infarto miocardico acuto (I21-I22)	M	10	13	.	.	48 (26-104)	.	78 (47-131)	95 (66-131)	.	.	→	1




Tabella 18A - Porto Recanati	Genere	Osservati	Attesi	Cluster sign.	SIR cluster	Tasso std. * 100000 (ic)	Tasso std. > Tasso reg.	SIR (ic)	BIR (ic)	SIR sign.	BIR sign.	Trend	Livello attenzione
Causa (ICD-IX)													
Infarto miocardico acuto (I21-I22)	M + F	18	23	.	.	43 (28-74)	.	78 (53-114)	91 (67-122)	.	.	→	1
Malattie cerebrovascolari (I60-I69)	F	18	31	.	.	88 (57-132)	.	59 (40-86)	92 (72-113)	↓	.	→	0 
Malattie cerebrovascolari (I60-I69)	M	10	18	.	.	51 (28-108)	.	57 (34-95)	74 (57-95)	↓	↓	→	0 
Malattie cerebrovascolari (I60-I69)	M + F	28	48	.	.	70 (50-105)	.	58 (43-79)	78 (63-95)	↓	↓	→	0 
Malattie dell'apparato respiratorio (J00-J99)	F	15	17	.	.	68 (42-107)	.	87 (57-132)	105 (80-136)	.	.	→	1
Malattie dell'apparato respiratorio (J00-J99)	M	23	17	.	.	119 (81-187)	.	135 (96-189)	100 (78-126)	.	.	→	1
Malattie dell'apparato respiratorio (J00-J99)	M + F	38	34	.	.	93 (70-131)	.	110 (85-144)	104 (84-128)	.	.	→	1
Malattie respiratorie acute (J00-J06, J10-J18, J20-J22)	F	>5	>5	.	.	24 (10-52)	.	90 (44-185)	120 (72-190)	.	.	n.c.	1
Malattie respiratorie acute (J00-J06, J10-J18, J20-J22)	M	<5	<5	2	145	20 (7-70)	.	135 (61-301)	82 (42-148)	.	.	n.c.	1
Malattie respiratorie acute (J00-J06, J10-J18, J20-J22)	M + F	9	9	.	.	22 (11-49)	.	106 (61-182)	107 (69-160)	.	.	n.c.	1
Malattie croniche dell'apparato respiratorio (BCPO) (J41-J44, J47)	F	<5	>5	.	.	18 (6-43)	.	70 (31-156)	79 (50-123)	.	.	n.c.	1
Malattie croniche dell'apparato respiratorio (BCPO) (J41-J44, J47)	M	>5	>5	.	.	75 (45-136)	↑	149 (96-230)	104 (77-142)	.	.	→	1
Malattie croniche dell'apparato respiratorio (BCPO) (J41-J44, J47)	M + F	18	15	.	.	46 (29-77)	.	119 (81-175)	98 (72-132)	.	.	→	1
Asma (J45)	F	<5	<5	.	.	3 (0-21)	.	482 (108-2161)	44 (3-227)	↑	.	n.c.	1
Asma (J45)	M	0	0	.	.	0 (0-47)	.	0 (-.)	64 (3-341)	.	.	n.c.	1
Asma (J45)	M + F	<5	<5	.	.	2 (0-25)	.	301 (67-1351)	67 (13-214)	.	.	n.c.	1

Tabella 18A - Porto Recanati	Genere	Osservati	Attesi	Cluster sign.	SIR cluster	Tasso std. * 100000 (ic)	Tasso std. > Tasso reg.	SIR (ic)	BIR (ic)	SIR sign.	BIR sign.	Trend	Livello attenzione
Causa (ICD-IX)													
Pneumoconiosi (J60-J64)	M	0	0	.	.	0 (0-47)	.	0 (.-.)	7 (0-62)	'	↓	n.c.	0 😊
Pneumoconiosi (J60-J64)	M + F	0	0	.	.	0 (0-23)	.	0 (.-.)	7 (0-62)	'	↓	n.c.	0 😊
Malattie dell'apparato digerente (K00-K93)	F	6	7	2	132	29 (12-58)	.	81 (42-156)	85 (65-110)	'	'	n.c.	1 😊
Malattie dell'apparato digerente (K00-K93)	M	13	10	.	.	57 (34-113)	.	134 (85-211)	118 (91-156)	'	'	n.c.	1 😊
Malattie dell'apparato digerente (K00-K93)	M + F	19	17	2	123	43 (28-73)	.	111 (76-162)	106 (86-132)	'	'	→	1 😊
Cirrosi e altre malattie croniche del fegato (K70, K73-K74)	F	0	1	.	.	0 (0-16)	.	0 (.-.)	84 (37-162)	'	'	n.c.	1 😊
Cirrosi e altre malattie croniche del fegato (K70, K73-K74)	M	5	4	.	.	21 (8-72)	.	127 (62-260)	152 (104-214)	'	↑	n.c.	3 😞
Cirrosi e altre malattie croniche del fegato (K70, K73-K74)	M + F	5	5	.	.	11 (4-35)	.	98 (48-202)	134 (92-189)	'	'	n.c.	1 😊
Nefropatie croniche e acute (N00-N12)	F	0	0	.	.	0 (0-16)	.	0 (.-.)	122 (9-529)	'	'	n.c.	1 😊
Nefropatie croniche e acute (N00-N12)	M	0	0	.	.	0 (0-47)	.	0 (.-.)	132 (9-684)	'	'	n.c.	1 😊
Nefropatie croniche e acute (N00-N12)	M + F	0	0	.	.	0 (0-23)	.	0 (.-.)	124 (17-481)	'	'	n.c.	1 😊
Malattie dell'apparato genito-urinario (N00-N99)	F	<5	>5	2	148	17 (6-42)	.	70 (32-157)	122 (80-178)	'	'	n.c.	1 😊
Malattie dell'apparato genito-urinario (N00-N99)	M	>5	>5	2	154	43 (21-98)	↑	159 (90-282)	140 (92-209)	'	'	n.c.	2 😊
Malattie dell'apparato genito-urinario (N00-N99)	M + F	12	11	.	.	30 (17-58)	.	112 (70-179)	129 (94-174)	'	'	n.c.	1 😊
Insufficienza renale acuta e cronica (N17-N19)	F	<5	>5	2	142	13 (3-36)	.	66 (27-166)	113 (72-168)	'	'	n.c.	1 😊
Insufficienza renale acuta e cronica (N17-N19)	M	>5	<5	.	.	32 (14-85)	.	147 (76-285)	133 (85-198)	'	'	n.c.	1 😊

Tabella 18A - Porto Recanati	Genere	Osservati	Attesi	Cluster sign.	SIR cluster	Tasso std. * 100000 (ic)	Tasso std. > Tasso reg.	SIR (ic)	BIR (ic)	SIR sign.	BIR sign.	Trend	Livello attenzione
Causa (ICD-IX)													
Insufficienza renale acuta e cronica (N17-N19)	M + F	9	9	2	134	22 (11-49)	·	105 (61-180)	125 (88-171)	·	·	n.c.	1
Malformazioni congenite (Q00-Q99)	F	<5	<5	·	·	3 (0-20)	·	158 (35-709)	86 (18-289)	·	·	n.c.	1
Malformazioni congenite (Q00-Q99)	M	<5	<5	·	·	3 (0-50)	·	115 (26-515)	107 (26-325)	·	·	n.c.	1
Malformazioni congenite (Q00-Q99)	M + F	<5	<5	·	·	3 (0-26)	·	133 (44-402)	123 (43-301)	·	·	n.c.	1
Sintomi, segni e stati morbosi mal definiti (R00-R99)	F	<5	>5	·	·	15 (4-39)	·	64 (25-160)	89 (39-183)	·	·	n.c.	1
Sintomi, segni e stati morbosi mal definiti (R00-R99)	M	<5	<5	·	·	10 (2-60)	·	77 (25-231)	129 (50-283)	·	·	n.c.	1
Sintomi, segni e stati morbosi mal definiti (R00-R99)	M + F	5	7	·	·	13 (5-38)	·	68 (33-140)	101 (49-184)	·	·	n.c.	1
Traumatismi e avvelenamenti (S00-T98)	F	9	8	·	·	39 (20-70)	·	118 (69-203)	89 (63-126)	·	·	n.c.	1
Traumatismi e avvelenamenti (S00-T98)	M	10	14	·	·	41 (21-94)	·	71 (43-120)	100 (78-124)	·	·	→	1
Traumatismi e avvelenamenti (S00-T98)	M + F	19	22	·	·	40 (26-69)	·	88 (60-128)	93 (75-114)	·	·	→	1

Tabella 19A. Decessi per causa nel comune di Porto Sant'Elpidio, tutte le età, periodo di osservazione 2009-2013

Tabella 19A - Porto Sant'Elpidio	Genere	Osservati	Attesi	Cluster sign.	SIR cluster	Tasso std. * 100000 (ic)	Tasso std. > Tasso reg.	SIR (ic)	BIR (ic)	SIR sign.	BIR sign.	Trend	Livello attenzione
Causa (ICD-IX)													
Mortalità generale (escluse cause violente) (A00-R99)	F	517	504	.	.	1040 (965-1120)	.	102 (95-110)	101 (96-107)	.	.	→	1
Mortalità generale (escluse cause violente) (A00-R99)	M	532	543	.	.	1015 (943-1092)	.	98 (91-105)	99 (93-105)	.	.	→	1
Mortalità generale (escluse cause violente) (A00-R99)	M + F	1049	1048	.	.	1028 (975-1083)	.	100 (95-105)	100 (96-105)	.	.	→	1
Mortalità per cause esterne o violente (S00-Y99)	F	17	19	2	131	32 (20-50)	.	91 (61-135)	101 (76-130)	.	.	n.c.	1
Mortalità per cause esterne o violente (S00-Y99)	M	25	30	.	.	45 (31-65)	.	83 (60-116)	95 (80-108)	.	.	→	1
Mortalità per cause esterne o violente (S00-Y99)	M + F	42	49	.	.	38 (29-51)	.	86 (67-111)	96 (81-111)	.	.	→	1
Malattie infettive (A00-B99)	F	9	10	.	.	17 (9-32)	.	90 (52-154)	102 (72-138)	.	.	n.c.	1
Malattie infettive (A00-B99)	M	11	11	.	.	20 (11-34)	.	103 (63-169)	104 (83-132)	.	.	→	1
Malattie infettive (A00-B99)	M + F	20	21	.	.	18 (12-28)	.	97 (67-139)	104 (81-131)	.	.	→	1
Epatite virale (B17-B19)	F	<5	<5	.	.	4 (1-15)	.	129 (43-389)	118 (77-181)	.	.	n.c.	1
Epatite virale (B17-B19)	M	<5	<5	.	.	2 (0-11)	.	47 (10-211)	95 (50-144)	.	.	n.c.	1
Epatite virale (B17-B19)	M + F	<5	<5	.	.	3 (1-9)	.	81 (33-204)	108 (78-140)	.	.	n.c.	1
Tutti i tumori (C00-D48)	F	154	146	.	.	276 (240-317)	.	105 (92-120)	103 (95-110)	.	.	→	1
Tutti i tumori (C00-D48)	M	205	198	.	.	374 (332-421)	.	103 (92-116)	103 (95-112)	.	.	→	1
Tutti i tumori (C00-D48)	M + F	359	344	.	.	323 (296-354)	.	104 (96-114)	103 (97-110)	.	.	→	1
Tumori maligni delle vie aeree e digestive superiori (C00-C15, C32)	F	<5	<5	.	.	7 (2-18)	.	137 (55-342)	113 (80-150)	.	.	n.c.	1




Tabella 19A - Porto Sant'Elpidio	Genere	Osservati	Attesi	Cluster sign.	SIR cluster	Tasso std. * 100000 (ic)	Tasso std. > Tasso reg.	SIR (ic)	BIR (ic)	SIR sign.	BIR sign.	Trend	Livello attenzione
Causa (ICD-IX)													
Tumori maligni delle vie aeree e digestive superiori (C00-C15, C32)	M	>5	>5	.	.	10 (4-23)	.	72 (35-148)	77 (52-109)	.	.	n.c.	1
Tumori maligni delle vie aeree e digestive superiori (C00-C15, C32)	M + F	8	9	.	.	8 (4-16)	.	88 (49-156)	86 (61-114)	.	.	n.c.	1
Tumori maligni (C00-C97)	F	150	139	.	.	268 (233-309)	.	108 (94-123)	103 (96-112)	.	.	→	1
Tumori maligni (C00-C97)	M	191	189	.	.	346 (306-391)	.	101 (90-114)	101 (94-109)	.	.	→	1
Tumori maligni (C00-C97)	M + F	341	328	.	.	306 (279-335)	.	104 (95-114)	103 (96-110)	.	.	→	1
Tumori maligni dell'esofago (C15)	F	<5	<5	.	.	3 (0-13)	.	185 (41-829)	116 (52-217)	.	.	n.c.	1
Tumori maligni dell'esofago (C15)	M	<5	<5	.	.	4 (1-14)	.	102 (34-310)	86 (48-142)	.	.	n.c.	1
Tumori maligni dell'esofago (C15)	M + F	<5	<5	.	.	3 (1-9)	.	120 (48-301)	95 (53-162)	.	.	n.c.	1
Tumori maligni dello stomaco (C16)	F	11	11	.	.	20 (11-35)	.	104 (64-170)	100 (81-123)	.	.	→	1
Tumori maligni dello stomaco (C16)	M	8	15	.	.	15 (8-29)	.	55 (31-97)	87 (63-115)	↓	.	n.c.	0 
Tumori maligni dello stomaco (C16)	M + F	19	25	.	.	18 (11-27)	.	76 (52-110)	92 (72-113)	.	.	→	1
Tumori maligni dell'intestino tenue, compreso il duodeno (C17)	F	0	0	.	.	0 (0-9)	.	0 (.-)	60 (13-156)	.	.	n.c.	1
Tumori maligni dell'intestino tenue, compreso il duodeno (C17)	M	0	0	.	.	0 (0-8)	.	0 (.-)	104 (37-216)	.	.	n.c.	1
Tumori maligni dell'intestino tenue, compreso il duodeno (C17)	M + F	0	1	.	.	0 (0-4)	.	0 (.-)	0 (0-0)	.	↓	n.c.	0 
Tumori maligni del colon (C18)	F	6	14	.	.	11 (5-23)	.	44 (23-85)	90 (69-110)	↓	.	→	0 
Tumori maligni del colon (C18)	M	13	18	.	.	23 (14-39)	.	74 (47-116)	97 (74-121)	.	.	→	1












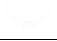
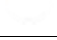
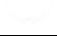
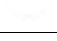

Tabella 19A - Porto Sant'Elpidio	Genere	Osservati	Attesi	Cluster sign.	SIR cluster	Tasso std. * 100000 (ic)	Tasso std. > Tasso reg.	SIR (ic)	BIR (ic)	SIR sign.	BIR sign.	Trend	Livello attenzione
Causa (ICD-IX)													
Tumori maligni del colon (C18)	M + F	19	31	.	.	17 (11-26)	.	61 (42-89)	86 (68-106)	↓	.	→	0 
Tumori maligni del retto, della giunzione retto-sigmoidea e dell'ano (C19-C21)	F	>5	<5	2	177	20 (11-35)	↑	279 (171-455)	161 (102-276)	↑	↑	n.c.	5 
Tumori maligni del retto, della giunzione retto-sigmoidea e dell'ano (C19-C21)	M	<5	>5	.	.	7 (2-18)	.	73 (33-163)	72 (43-113)	.	.	n.c.	1 
Tumori maligni del retto, della giunzione retto-sigmoidea e dell'ano (C19-C21)	M + F	15	9	.	.	14 (8-22)	↑	159 (105-243)	111 (82-159)	↑	.	n.c.	3 
Tumore fegato e dotti biliari (C22)	F	5	4	.	.	9 (3-21)	.	131 (64-270)	98 (75-134)	.	.	n.c.	1 
Tumore fegato e dotti biliari (C22)	M	11	9	.	.	19 (11-33)	.	127 (78-207)	112 (79-159)	.	.	n.c.	1 
Tumore fegato e dotti biliari (C22)	M + F	16	13	.	.	14 (9-22)	.	128 (85-193)	111 (81-153)	.	.	↓	0 
Tumori maligni del pancreas (C25)	F	12	10	.	.	21 (12-37)	.	116 (73-186)	100 (84-119)	.	.	→	1 
Tumori maligni del pancreas (C25)	M	7	11	.	.	13 (6-26)	.	63 (34-116)	96 (75-113)	.	.	n.c.	1 
Tumori maligni del pancreas (C25)	M + F	19	21	.	.	17 (11-26)	.	89 (61-129)	96 (80-112)	.	.	→	1 
Tumore del retroperitoneo (C48)	F	0	1	.	.	0 (0-9)	.	0 (.-)	93 (54-150)	.	.	n.c.	1 
Tumore del retroperitoneo (C48)	M	0	1	.	.	0 (0-8)	.	0 (.-)	92 (25-195)	.	.	n.c.	1 
Tumore del retroperitoneo (C48)	M + F	0	1	.	.	0 (0-4)	.	0 (.-)	109 (66-146)	.	.	n.c.	1 
Tumori maligni della laringe (C32)	F	0	0	.	.	0 (0-9)	.	0 (.-)	101 (37-199)	.	.	n.c.	1 
Tumori maligni della laringe (C32)	M	<5	<5	.	.	2 (0-12)	.	38 (8-170)	83 (47-122)	.	.	n.c.	1 
Tumori maligni della laringe (C32)	M + F	<5	<5	.	.	1 (0-6)	.	35 (8-156)	81 (45-120)	.	.	n.c.	1 



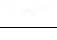
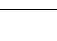


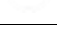


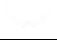






Tabella 19A - Porto Sant'Elpidio													
Causa (ICD-IX)	Genere	Osservati	Attesi	Cluster sign.	SIR cluster	Tasso std. * 100000 (ic)	Tasso std. > Tasso reg.	SIR (ic)	BIR (ic)	SIR sign.	BIR sign.	Trend	Livello attenzione
Tumori maligni della trachea, dei bronchi e dei polmoni (C33-C34)	F	7	14	.	.	13 (6-26)	.	49 (26-90)	81 (55-108)	↓	.	n.c.	0 
Tumori maligni della trachea, dei bronchi e dei polmoni (C33-C34)	M	57	46	.	.	101 (80-127)	↑	123 (99-153)	108 (95-128)	.	.	→	1 
Tumori maligni della trachea, dei bronchi e dei polmoni (C33-C34)	M + F	64	61	.	.	55 (44-69)	.	106 (86-130)	104 (90-121)	.	.	→	1 
Mesotelioma (pleura, peritoneo, endocardio, ecc.) (C45)	F	0	1	.	.	0 (0-9)	.	0 (-.)	102 (42-171)	.	.	n.c.	1 
Mesotelioma (pleura, peritoneo, endocardio, ecc.) (C45)	M	<5	<5	.	.	3 (1-13)	.	97 (32-294)	86 (33-203)	.	.	n.c.	1 
Mesotelioma (pleura, peritoneo, endocardio, ecc.) (C45)	M + F	<5	<5	.	.	2 (0-7)	.	71 (24-215)	85 (42-160)	.	.	n.c.	1 
Tumori maligni delle ossa e della cartilagine articolare (C40-C41)	F	0	0	.	.	0 (0-9)	.	0 (-.)	102 (28-239)	.	.	n.c.	1 
Tumori maligni delle ossa e della cartilagine articolare (C40-C41)	M	<5	<5	.	.	2 (0-11)	.	289 (64-1295)	95 (32-263)	.	.	n.c.	1 
Tumori maligni delle ossa e della cartilagine articolare (C40-C41)	M + F	<5	<5	.	.	1 (0-6)	.	132 (29-590)	98 (36-226)	.	.	n.c.	1 
Tumori maligni del connettivo e di altri tessuti molli (C49)	F	<5	<5	.	.	3 (1-13)	.	193 (64-584)	107 (72-171)	.	.	n.c.	1 
Tumori maligni del connettivo e di altri tessuti molli (C49)	M	<5	<5	.	.	2 (0-11)	.	119 (27-533)	93 (61-142)	.	.	n.c.	1 
Tumori maligni del connettivo e di altri tessuti molli (C49)	M + F	<5	<5	.	.	3 (1-8)	.	160 (64-400)	104 (75-150)	.	.	n.c.	1 
Melanoma maligno della pelle (C43)	F	<5	<5	.	.	7 (2-19)	.	258 (116-574)	104 (74-152)	↑	.	n.c.	3 
Melanoma maligno della pelle (C43)	M	<5	<5	.	.	4 (1-14)	.	96 (32-290)	95 (63-135)	.	.	n.c.	1 
Melanoma maligno della pelle (C43)	M + F	6	4	.	.	6 (2-12)	.	165 (85-319)	101 (77-135)	.	.	n.c.	1 
Tumori maligni della mammella (C50)	F	36	23	.	.	63 (47-85)	↑	155 (118-204)	121 (102-151)	↑	↑	→	5 





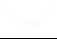


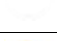




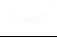
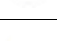


Tabella 19A - Porto Sant'Elpidio	Genere	Osservati	Attesi	Cluster sign.	SIR cluster	Tasso std. * 100000 (ic)	Tasso std. > Tasso reg.	SIR (ic)	BIR (ic)	SIR sign.	BIR sign.	Trend	Livello attenzione
Causa (ICD-IX)													
Tumori maligni della mammella (C50)	M + F	36	24	.	.	33 (24-44)	↑	153 (116-201)	123 (103-155)	↑	↑	→	5 
Tumori maligni dell'utero (C53-C55)	F	9	6	.	.	16 (8-29)	.	164 (95-281)	101 (77-136)	.	.	n.c.	1 
Tumori maligni del corpo dell'utero (C54)	F	0	1	.	.	0 (0-9)	.	0 (-.)	76 (33-127)	.	.	n.c.	1 
Tumori maligni dell'ovaio e degli altri annessi uterini (C56-C57)	F	<5	>5	.	.	3 (1-13)	.	32 (11-98)	91 (57-115)	↓	.	n.c.	0 
Tumore della prostata (C61)	M	13	15	.	.	26 (15-43)	.	88 (56-138)	100 (83-117)	.	.	n.c.	1 
Tumore del testicolo (C62)	M	0	0	.	.	0 (0-8)	.	0 (-.)	88 (18-250)	.	.	n.c.	1 
Tumori maligni della vescica (C67)	F	5	2	.	.	9 (3-21)	.	229 (112-471)	114 (84-182)	↑	.	n.c.	3 
Tumori maligni della vescica (C67)	M	12	9	.	.	23 (13-39)	.	139 (87-223)	101 (82-125)	.	.	→	1 
Tumori maligni della vescica (C67)	M + F	17	11	.	.	16 (10-24)	↑	157 (106-234)	104 (91-123)	↑	.	→	3 
Tumori maligni del rene e di altri e non specificati organi urinari (C64-C66, C68)	F	<5	<5	.	.	2 (0-11)	.	34 (8-152)	75 (39-116)	.	.	n.c.	1 
Tumori maligni del rene e di altri e non specificati organi urinari (C64-C66, C68)	M	<5	>5	.	.	5 (1-16)	.	49 (20-124)	84 (55-111)	.	.	n.c.	1 
Tumori maligni del rene e di altri e non specificati organi urinari (C64-C66, C68)	M + F	<5	>5	.	.	3 (1-9)	.	44 (20-99)	80 (54-104)	↓	.	n.c.	0 
tumore del sistema nervoso centrale (C70-C72,D33)	F	<5	<5	.	.	6 (2-17)	.	124 (56-276)	98 (72-134)	.	.	n.c.	1 
tumore del sistema nervoso centrale (C70-C72,D33)	M	>5	>5	.	.	10 (4-22)	.	116 (60-224)	107 (73-156)	.	.	n.c.	1 
tumore del sistema nervoso centrale (C70-C72,D33)	M + F	10	8	.	.	8 (4-15)	.	119 (71-199)	103 (86-127)	.	.	n.c.	1 
Tumori maligni dell'encefalo (C71)	F	<5	<5	.	.	6 (2-17)	.	129 (58-288)	96 (77-123)	.	.	n.c.	1 



Tabella 19A - Porto Sant'Elpidio	Genere	Osservati	Attesi	Cluster sign.	SIR cluster	Tasso std. * 100000 (ic)	Tasso std. > Tasso reg.	SIR (ic)	BIR (ic)	SIR sign.	BIR sign.	Trend	Livello attenzione
Causa (ICD-IX)													
Tumori maligni dell'encefalo (C71)	M	>5	>5	.	.	10 (4-22)	.	118 (61-228)	107 (75-151)	.	.	n.c.	1
Tumori maligni dell'encefalo (C71)	M + F	10	8	.	.	8 (4-15)	.	122 (73-205)	103 (88-123)	.	.	n.c.	1
Tumori maligni della ghiandola tiroide (C73)	F	<5	<5	.	.	2 (0-11)	.	140 (31-627)	123 (70-206)	.	.	n.c.	1
Tumori maligni della ghiandola tiroide (C73)	M	<5	<5	.	.	2 (0-11)	.	198 (44-888)	101 (66-153)	.	.	n.c.	1
Tumori maligni della ghiandola tiroide (C73)	M + F	<5	<5	.	.	2 (0-7)	.	164 (54-495)	119 (82-182)	.	.	n.c.	1
Tumori emolinfopoiectici (C81-C96)	F	17	13	.	.	34 (21-52)	.	127 (86-189)	104 (90-121)	.	.	↓	0 
Tumori emolinfopoiectici (C81-C96)	M	21	17	.	.	37 (25-55)	.	126 (88-180)	104 (93-120)	.	.	n.c.	1
Tumori emolinfopoiectici (C81-C96)	M + F	38	30	.	.	35 (26-47)	↑	127 (97-165)	104 (95-118)	.	.	→	1
Malattia di Hodgkin (C81)	F	<5	<5	.	.	4 (1-15)	.	562 (186-1698)	137 (60-537)	↑	.	n.c.	3 
Malattia di Hodgkin (C81)	M	0	1	.	.	0 (0-8)	.	0 (.-.)	101 (44-168)	.	.	n.c.	1
Malattia di Hodgkin (C81)	M + F	<5	<5	.	.	2 (0-8)	.	248 (82-749)	116 (62-230)	.	.	n.c.	1
Linfoma non Hodgkin (C82-C85)	F	<5	<5	.	.	8 (3-20)	.	98 (44-219)	96 (75-122)	.	.	n.c.	1
Linfoma non Hodgkin (C82-C85)	M	>5	>5	.	.	10 (5-22)	.	101 (52-196)	108 (89-130)	.	.	n.c.	1
Linfoma non Hodgkin (C82-C85)	M + F	10	10	.	.	9 (5-17)	.	100 (60-167)	102 (83-124)	.	.	→	1
Mieloma multiplo e tumori immunoproliferativi (C88, C90)	F	<5	<5	.	.	2 (0-11)	.	31 (7-138)	92 (61-122)	.	.	n.c.	1
Mieloma multiplo e tumori immunoproliferativi (C88, C90)	M	>5	<5	.	.	9 (4-21)	.	141 (68-289)	103 (73-151)	.	.	n.c.	1

Tabella 19A - Porto Sant'Elpidio	Genere	Osservati	Attesi	Cluster sign.	SIR cluster	Tasso std. * 100000 (ic)	Tasso std. > Tasso reg.	SIR (ic)	BIR (ic)	SIR sign.	BIR sign.	Trend	Livello attenzione
Causa (ICD-IX)													
Mieloma multiplo e tumori immunoproliferativi (C88, C90)	M + F	6	7	.	.	5 (2-12)	.	88 (46-170)	97 (70-132)	.	.	n.c.	1
Leucemie (C91-C95)	F	10	6	.	.	20 (11-35)	↑	181 (108-303)	117 (90-169)	↑	.	n.c.	3 😊
Leucemie (C91-C95)	M	10	7	.	.	18 (10-31)	.	150 (89-250)	111 (80-160)	.	.	n.c.	1
Leucemie (C91-C95)	M + F	20	12	.	.	19 (12-28)	↑	164 (114-236)	110 (94-142)	↑	.	→	3 😊
Leucemia linfocitica (acuta e cronica) (C91)	F	<5	<5	.	.	2 (0-11)	.	55 (12-249)	116 (82-150)	.	.	n.c.	1
Leucemia linfocitica (acuta e cronica) (C91)	M	>5	<5	.	.	9 (3-20)	.	194 (94-398)	113 (86-176)	.	.	n.c.	1
Leucemia linfocitica (acuta e cronica) (C91)	M + F	6	4	.	.	5 (2-11)	.	137 (71-265)	113 (92-141)	.	.	n.c.	1
Leucemia mieloide (acuta e cronica) (C92)	F	>5	<5	.	.	16 (8-30)	↑	328 (185-583)	113 (86-209)	↑	.	n.c.	3 😊
Leucemia mieloide (acuta e cronica) (C92)	M	<5	<5	.	.	7 (2-18)	.	141 (63-314)	94 (63-141)	.	.	n.c.	1
Leucemia mieloide (acuta e cronica) (C92)	M + F	12	5	.	.	12 (7-20)	↑	228 (142-364)	114 (84-175)	↑	.	n.c.	3 😊
Malattie del sangue e degli organi emopoietici (D50-D77)	F	<5	<5	.	.	4 (1-15)	.	63 (21-190)	101 (61-143)	.	.	n.c.	1
Malattie del sangue e degli organi emopoietici (D50-D77)	M	<5	<5	.	.	6 (2-17)	.	144 (57-359)	97 (71-132)	.	.	n.c.	1
Malattie del sangue e degli organi emopoietici (D50-D77)	M + F	5	5	.	.	5 (2-12)	.	95 (46-195)	102 (75-132)	.	.	n.c.	1
Malattie endocrine, della nutrizione ed immunitarie (E00-E90, D80-D89)	F	18	22	.	.	35 (22-54)	.	84 (57-123)	90 (71-115)	.	.	n.c.	1
Malattie endocrine, della nutrizione ed immunitarie (E00-E90, D80-D89)	M	18	20	.	.	35 (22-53)	.	89 (60-130)	95 (72-122)	.	.	n.c.	1
Malattie endocrine, della nutrizione ed immunitarie (E00-E90, D80-D89)	M + F	36	42	.	.	35 (26-47)	.	86 (65-113)	91 (73-111)	.	.	n.c.	1

Tabella 19A - Porto Sant'Elpidio	Genere	Osservati	Attesi	Cluster sign.	SIR cluster	Tasso std. * 100000 (ic)	Tasso std. > Tasso reg.	SIR (ic)	BIR (ic)	SIR sign.	BIR sign.	Trend	Livello attenzione
Causa (ICD-IX)													
Tireotossicosi (E05)	F	0	0	.	.	0 (0-9)	.	0 (.-.)	102 (35-227)	.	.	n.c.	1
Tireotossicosi (E05)	M	0	0	.	.	0 (0-8)	.	0 (.-.)	68 (0-292)	.	.	n.c.	1
Tireotossicosi (E05)	M + F	0	0	.	.	0 (0-4)	.	0 (.-.)	98 (25-198)	.	.	n.c.	1
Ipotiroidismo (E00-E03)	F	0	0	.	.	0 (0-9)	.	0 (.-.)	80 (19-199)	.	.	n.c.	1
Ipotiroidismo (E00-E03)	M	0	0	.	.	0 (0-8)	.	0 (.-.)	58 (11-162)	.	.	n.c.	1
Ipotiroidismo (E00-E03)	M + F	0	0	.	.	0 (0-4)	.	0 (.-.)	84 (28-167)	.	.	n.c.	1
Diabete mellito (E10-E14)	F	16	16	.	.	32 (20-50)	.	103 (68-155)	99 (75-129)	.	.	n.c.	1
Diabete mellito (E10-E14)	M	14	15	.	.	27 (16-43)	.	92 (60-143)	95 (69-127)	.	.	n.c.	1
Diabete mellito (E10-E14)	M + F	30	31	.	.	29 (21-41)	.	98 (72-132)	97 (76-122)	.	.	n.c.	1
Demenze (F00-F01, F020-F023, F03, G30, G310)	F	40	32	.	.	87 (65-114)	.	126 (97-163)	114 (89-144)	.	.	↑	2 😊
Demenze (F00-F01, F020-F023, F03, G30, G310)	M	19	19	.	.	40 (26-59)	.	102 (70-148)	96 (71-129)	.	.	↑	2 😊
Demenze (F00-F01, F020-F023, F03, G30, G310)	M + F	59	51	.	.	64 (51-80)	.	117 (94-145)	109 (89-132)	.	.	↑	2 😊
Malattie neuro-psichiatriche (escluse tossicod.) (F00-F09, F20-F99)	F	26	18	.	.	57 (40-81)	.	148 (108-205)	125 (90-168)	↑	.	n.c.	3 😞
Malattie neuro-psichiatriche (escluse tossicod.) (F00-F09, F20-F99)	M	13	10	.	.	28 (16-45)	.	127 (81-200)	105 (70-154)	.	.	n.c.	1
Malattie neuro-psichiatriche (escluse tossicod.) (F00-F09, F20-F99)	M + F	39	28	.	.	43 (32-57)	↑	141 (108-183)	123 (93-156)	↑	.	n.c.	3 😞
Malattie del sistema nervoso e degli organi di senso (G00-H95)	F	32	29	.	.	63 (46-87)	.	110 (83-148)	110 (87-137)	.	.	→	1


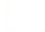
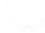

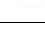
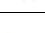
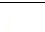




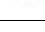




Tabella 19A - Porto Sant'Elpidio	Genere	Osservati	Attesi	Cluster sign.	SIR cluster	Tasso std. * 100000 (ic)	Tasso std. > Tasso reg.	SIR (ic)	BIR (ic)	SIR sign.	BIR sign.	Trend	Livello attenzione
Causa (ICD-IX)													
Malattie del sistema nervoso e degli organi di senso (G00-H95)	M	15	24	.	.	28 (17-45)	.	64 (42-97)	91 (70-116)	↓	.	→	0 
Malattie del sistema nervoso e degli organi di senso (G00-H95)	M + F	47	53	.	.	47 (36-60)	.	89 (70-114)	99 (82-119)	.	.	→	1 
Morbo di Parkinson (G20)	F	<5	<5	.	.	6 (2-17)	.	83 (33-208)	99 (67-140)	.	.	n.c.	1 
Morbo di Parkinson (G20)	M	<5	>5	.	.	7 (2-18)	.	81 (36-179)	102 (74-135)	.	.	n.c.	1 
Morbo di Parkinson (G20)	M + F	7	9	.	.	6 (3-13)	.	82 (44-150)	104 (77-135)	.	.	n.c.	1 
Malattia di Alzheimer (G30)	F	15	15	.	.	31 (19-49)	.	98 (64-149)	100 (70-140)	.	.	n.c.	1 
Malattia di Alzheimer (G30)	M	6	9	.	.	12 (5-24)	.	65 (34-125)	82 (51-121)	.	.	n.c.	1 
Malattia di Alzheimer (G30)	M + F	21	25	.	.	22 (15-32)	.	85 (60-122)	91 (67-121)	.	.	→	1 
Epilessia (G40)	F	0	1	.	.	0 (0-9)	.	0 (.-.)	106 (55-168)	.	.	n.c.	1 
Epilessia (G40)	M	0	1	.	.	0 (0-8)	.	0 (.-.)	94 (52-145)	.	.	n.c.	1 
Epilessia (G40)	M + F	0	2	.	.	0 (0-4)	.	0 (.-.)	97 (48-149)	.	.	n.c.	1 
Malattia dei neuroni motori (G122)	F	>5	<5	.	.	9 (3-21)	.	246 (120-504)	157 (70-323)	↑	.	n.c.	3 
Malattia dei neuroni motori (G122)	M	<5	<5	.	.	2 (0-11)	.	44 (10-197)	82 (41-138)	.	.	n.c.	1 
Malattia dei neuroni motori (G122)	M + F	6	4	.	.	5 (2-12)	.	139 (72-269)	108 (57-193)	.	.	n.c.	1 
Sclerosi multipla (G35)	F	<5	<5	.	.	3 (1-13)	.	349 (116-1056)	111 (67-193)	↑	.	n.c.	3 
Sclerosi multipla (G35)	M	0	0	.	.	0 (0-8)	.	0 (.-.)	77 (10-190)	.	.	n.c.	1 






Tabella 19A - Porto Sant'Elpidio	Genere	Osservati	Attesi	Cluster sign.	SIR cluster	Tasso std. * 100000 (ic)	Tasso std. > Tasso reg.	SIR (ic)	BIR (ic)	SIR sign.	BIR sign.	Trend	Livello attenzione
Causa (ICD-IX)													
Sclerosi multipla (G35)	M + F	<5	<5	.	.	2 (0-7)	.	226 (75-682)	106 (69-172)	.	.	n.c.	1
Neuropatie tossiche e infiammatorie non specificate (G619, G629)	F	0	0	.	.	0 (0-9)	.	0 (-.)	54 (3-263)	.	.	n.c.	1
Neuropatie tossiche e infiammatorie non specificate (G619, G629)	M	0	0	.	.	0 (0-8)	.	0 (-.)	43 (6-154)	.	.	n.c.	1
Neuropatie tossiche e infiammatorie non specificate (G619, G629)	M + F	0	0	.	.	0 (0-4)	.	0 (-.)	52 (8-151)	.	.	n.c.	1
Malattie dell'apparato circolatorio (I00-I99)	F	224	207	2	110	478 (426-535)	.	108 (97-121)	105 (96-114)	.	.	→	1
Malattie dell'apparato circolatorio (I00-I99)	M	202	197	.	.	396 (351-447)	.	102 (91-115)	102 (93-111)	.	.	→	1
Malattie dell'apparato circolatorio (I00-I99)	M + F	426	404	1	110	439 (404-476)	.	105 (97-114)	104 (97-111)	.	.	↓	1
Malattia ipertensiva (I10-I15)	F	8	23	.	.	18 (9-33)	.	35 (20-62)	54 (37-79)	↓	↓	n.c.	0 
Malattia ipertensiva (I10-I15)	M	10	16	.	.	19 (10-33)	.	64 (38-107)	74 (49-106)	.	.	n.c.	1
Malattia ipertensiva (I10-I15)	M + F	18	38	.	.	18 (12-28)	.	47 (32-69)	57 (41-77)	↓	↓	→	0 
Malattie ischemiche del cuore (I20-I25)	F	80	68	.	.	166 (136-201)	.	118 (98-142)	111 (94-131)	.	.	→	1
Malattie ischemiche del cuore (I20-I25)	M	83	80	.	.	164 (135-198)	.	104 (87-124)	100 (86-117)	.	.	→	1
Malattie ischemiche del cuore (I20-I25)	M + F	163	148	.	.	165 (144-189)	.	110 (97-125)	107 (95-121)	.	.	→	1
Infarto miocardico acuto (I21-I22)	F	28	20	.	.	55 (39-77)	.	142 (104-194)	122 (91-160)	↑	.	n.c.	3 
Infarto miocardico acuto (I21-I22)	M	40	29	.	.	77 (58-102)	↑	137 (106-177)	124 (97-158)	↑	.	→	3 
Infarto miocardico acuto (I21-I22)	M + F	68	49	.	.	66 (53-81)	↑	139 (114-170)	130 (107-157)	↑	↑	→	5 

Tabella 19A - Porto Sant'Elpidio	Genere	Osservati	Attesi	Cluster sign.	SIR cluster	Tasso std. * 100000 (ic)	Tasso std. > Tasso reg.	SIR (ic)	BIR (ic)	SIR sign.	BIR sign.	Trend	Livello attenzione
Causa (ICD-IX)													
Malattie cerebrovascolari (I60-I69)	F	70	58	2	127	153 (124-187)	↑	121 (100-148)	119 (101-140)	.	↑	↓	3 😞
Malattie cerebrovascolari (I60-I69)	M	52	51	.	.	103 (80-131)	.	103 (82-129)	107 (89-127)	.	.	→	1 😐
Malattie cerebrovascolari (I60-I69)	M + F	122	108	2	125	129 (110-150)	↑	113 (97-131)	113 (99-129)	.	.	↓	1 😐
Malattie dell'apparato respiratorio (J00-J99)	F	23	29	.	.	50 (34-72)	.	79 (56-112)	81 (64-101)	.	.	→	1 😐
Malattie dell'apparato respiratorio (J00-J99)	M	29	42	.	.	58 (41-80)	.	69 (51-93)	83 (68-101)	↓	.	→	0 😊
Malattie dell'apparato respiratorio (J00-J99)	M + F	52	71	.	.	54 (42-68)	.	73 (58-92)	79 (66-94)	↓	↓	→	0 😊
Malattie respiratorie acute (J00-J06, J10-J18, J20-J22)	F	5	8	.	.	12 (5-25)	.	60 (29-124)	73 (46-109)	.	.	n.c.	1 😐
Malattie respiratorie acute (J00-J06, J10-J18, J20-J22)	M	6	9	.	.	12 (5-26)	.	67 (35-130)	73 (44-116)	.	.	n.c.	1 😐
Malattie respiratorie acute (J00-J06, J10-J18, J20-J22)	M + F	11	17	.	.	12 (7-21)	.	64 (39-105)	67 (44-98)	.	↓	n.c.	0 😊
Malattie croniche dell'apparato respiratorio (BCPO) (J41-J44, J47)	F	7	12	.	.	16 (7-30)	.	60 (32-110)	73 (48-106)	.	.	n.c.	1 😐
Malattie croniche dell'apparato respiratorio (BCPO) (J41-J44, J47)	M	21	23	.	.	42 (28-61)	.	93 (65-133)	95 (75-121)	.	.	→	1 😐
Malattie croniche dell'apparato respiratorio (BCPO) (J41-J44, J47)	M + F	28	34	.	.	28 (20-39)	.	82 (60-111)	86 (67-108)	.	.	→	1 😐
Asma (J45)	F	0	0	.	.	0 (0-9)	.	0 (.-)	83 (28-187)	.	.	n.c.	1 😐
Asma (J45)	M	0	0	.	.	0 (0-8)	.	0 (.-)	74 (19-167)	.	.	n.c.	1 😐
Asma (J45)	M + F	0	1	.	.	0 (0-4)	.	0 (.-)	85 (42-143)	.	.	n.c.	1 😐
Pneumoconiosi (J60-J64)	M	0	1	.	.	0 (0-8)	.	0 (.-)	14 (2-68)	.	↓	n.c.	0 😊


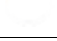


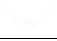











Tabella 19A - Porto Sant'Elpidio	Genere	Osservati	Attesi	Cluster sign.	SIR cluster	Tasso std. * 100000 (ic)	Tasso std. > Tasso reg.	SIR (ic)	BIR (ic)	SIR sign.	BIR sign.	Trend	Livello attenzione
Causa (ICD-IX)													
Pneumoconiosi (J60-J64)	M + F	0	1	.	.	0 (0-4)	.	0 (-.)	14 (2-68)	.	↓	n.c.	0 
Malattie dell'apparato digerente (K00-K93)	F	15	19	.	.	29 (18-46)	.	78 (51-119)	101 (85-117)	.	.	→	1 
Malattie dell'apparato digerente (K00-K93)	M	21	20	.	.	42 (28-62)	.	103 (72-147)	101 (86-120)	.	.	→	1 
Malattie dell'apparato digerente (K00-K93)	M + F	36	40	.	.	35 (26-48)	.	91 (69-119)	101 (85-117)	.	.	→	1 
Cirrosi e altre malattie croniche del fegato (K70, K73-K74)	F	<5	<5	.	.	6 (2-17)	.	94 (37-235)	108 (68-158)	.	.	n.c.	1 
Cirrosi e altre malattie croniche del fegato (K70, K73-K74)	M	>5	>5	.	.	9 (3-20)	.	81 (39-165)	95 (76-114)	.	.	n.c.	1 
Cirrosi e altre malattie croniche del fegato (K70, K73-K74)	M + F	8	9	.	.	7 (3-14)	.	85 (48-151)	99 (74-127)	.	.	→	1 
Nefropatie croniche e acute (N00-N12)	F	0	0	.	.	0 (0-9)	.	0 (-.)	85 (39-169)	.	.	n.c.	1 
Nefropatie croniche e acute (N00-N12)	M	0	0	.	.	0 (0-8)	.	0 (-.)	53 (15-154)	.	.	n.c.	1 
Nefropatie croniche e acute (N00-N12)	M + F	0	0	.	.	0 (0-4)	.	0 (-.)	74 (19-209)	.	.	n.c.	1 
Malattie dell'apparato genito-urinario (N00-N99)	F	7	10	.	.	15 (7-29)	.	69 (37-127)	91 (63-125)	.	.	→	1 
Malattie dell'apparato genito-urinario (N00-N99)	M	11	10	.	.	21 (11-35)	.	109 (66-178)	108 (77-150)	.	.	→	1 
Malattie dell'apparato genito-urinario (N00-N99)	M + F	18	20	.	.	18 (11-27)	.	89 (60-130)	99 (76-127)	.	.	→	1 
Insufficienza renale acuta e cronica (N17-N19)	F	7	9	.	.	15 (7-29)	.	83 (45-152)	99 (70-133)	.	.	→	1 
Insufficienza renale acuta e cronica (N17-N19)	M	7	8	.	.	13 (6-27)	.	86 (47-158)	99 (69-136)	.	.	n.c.	1 
Insufficienza renale acuta e cronica (N17-N19)	M + F	14	17	.	.	14 (9-23)	.	84 (54-130)	98 (73-129)	.	.	→	1 




Tabella 19A - Porto Sant'Elpidio	Genere	Osservati	Attesi	Cluster sign.	SIR cluster	Tasso std. * 100000 (ic)	Tasso std. > Tasso reg.	SIR (ic)	BIR (ic)	SIR sign.	BIR sign.	Trend	Livello attenzione
Causa (ICD-IX)													
Malformazioni congenite (Q00-Q99)	F	<5	<5	.	.	2 (0-11)	.	64 (14-286)	89 (30-213)	.	.	n.c.	1
Malformazioni congenite (Q00-Q99)	M	<5	<5	.	.	2 (0-11)	.	76 (17-339)	76 (24-194)	.	.	n.c.	1
Malformazioni congenite (Q00-Q99)	M + F	<5	<5	.	.	2 (0-7)	.	69 (23-209)	82 (32-175)	.	.	n.c.	1
Sintomi, segni e stati morbosi mal definiti (R00-R99)	F	<5	>5	.	.	5 (1-16)	.	39 (13-119)	39 (14-87)	.	↓	n.c.	0 
Sintomi, segni e stati morbosi mal definiti (R00-R99)	M	0	3	.	.	0 (0-8)	.	0 (.-.)	35 (12-84)	.	↓	n.c.	0 
Sintomi, segni e stati morbosi mal definiti (R00-R99)	M + F	<5	>5	.	.	3 (0-8)	.	25 (8-75)	30 (12-63)	↓	↓	n.c.	0 
Traumatismi e avvelenamenti (S00-T98)	F	17	19	2	131	32 (20-50)	.	91 (61-135)	101 (76-130)	.	.	n.c.	1
Traumatismi e avvelenamenti (S00-T98)	M	25	30	.	.	45 (31-65)	.	83 (60-116)	95 (80-108)	.	.	→	1
Traumatismi e avvelenamenti (S00-T98)	M + F	42	49	.	.	38 (29-51)	.	86 (67-111)	96 (81-111)	.	.	→	1

Tabella 20A. Decessi per causa nel comune di Recanati, tutte le età, periodo di osservazione 2009-2013





Tabella 20A - Recanati	Genere	Osservati	Attesi	Cluster sign.	SIR cluster	Tasso std. * 100000 (ic)	Tasso std. > Tasso reg.	SIR (ic)	BIR (ic)	SIR sign.	BIR sign.	Trend	Livello attenzione
Causa (ICD-IX)													
Mortalità generale (escluse cause violente) (A00-R99)	F	552	576	.	.	942 (877-1011)	.	96 (89-103)	98 (92-103)	.	.	→	1
Mortalità generale (escluse cause violente) (A00-R99)	M	491	526	.	.	913 (846-986)	.	93 (87-101)	95 (89-101)	.	.	→	1
Mortalità generale (escluse cause violente) (A00-R99)	M + F	1043	1102	.	.	928 (881-978)	.	95 (90-100)	95 (91-100)	↓	↓	→	0 
Mortalità per cause esterne o violente (S00-Y99)	F	15	20	.	.	26 (16-41)	.	74 (48-112)	90 (69-115)	.	.	n.c.	1
Mortalità per cause esterne o violente (S00-Y99)	M	22	29	.	.	41 (28-61)	.	77 (54-109)	98 (82-111)	.	.	→	1
Mortalità per cause esterne o violente (S00-Y99)	M + F	37	49	.	.	33 (25-45)	.	75 (58-99)	92 (78-107)	↓	.	→	0 
Malattie infettive (A00-B99)	F	13	9	2	153	23 (13-36)	.	143 (91-226)	98 (73-135)	.	.	→	1
Malattie infettive (A00-B99)	M	11	10	.	.	20 (11-37)	.	114 (70-187)	99 (82-122)	.	.	n.c.	1
Malattie infettive (A00-B99)	M + F	24	19	2	136	21 (15-32)	.	128 (92-179)	102 (80-129)	.	.	↑	3 
Epatite virale (B17-B19)	F	<5	<5	.	.	4 (1-11)	.	190 (63-574)	78 (48-125)	.	.	n.c.	1
Epatite virale (B17-B19)	M	<5	<5	.	.	4 (1-17)	.	121 (40-367)	88 (50-141)	.	.	n.c.	1
Epatite virale (B17-B19)	M + F	<5	<5	.	.	4 (1-11)	.	148 (67-330)	85 (62-119)	.	.	n.c.	1
Tutti i tumori (C00-D48)	F	125	138	.	.	219 (188-254)	.	91 (78-105)	95 (88-102)	.	.	→	1
Tutti i tumori (C00-D48)	M	168	176	.	.	312 (274-358)	.	96 (84-109)	94 (87-102)	.	.	→	1
Tutti i tumori (C00-D48)	M + F	293	313	.	.	265 (240-293)	.	94 (85-103)	93 (87-100)	.	↓	→	0 
Tumori maligni delle vie aeree e digestive superiori (C00-C15, C32)	F	<5	<5	.	.	2 (0-9)	.	70 (16-312)	74 (51-103)	.	.	n.c.	1

Tabella 20A - Recanati	Genere	Osservati	Attesi	Cluster sign.	SIR cluster	Tasso std. * 100000 (ic)	Tasso std. > Tasso reg.	SIR (ic)	BIR (ic)	SIR sign.	BIR sign.	Trend	Livello attenzione
Causa (ICD-IX)													
Tumori maligni delle vie aeree e digestive superiori (C00-C15, C32)	M	>5	>5	.	.	17 (9-33)	.	134 (78-231)	90 (66-123)	.	.	→	1
Tumori maligni delle vie aeree e digestive superiori (C00-C15, C32)	M + F	10	8	.	.	9 (5-17)	.	123 (73-205)	86 (66-113)	.	.	→	1
Tumori maligni (C00-C97)	F	122	131	.	.	214 (183-249)	.	93 (80-108)	95 (88-102)	.	.	→	1
Tumori maligni (C00-C97)	M	162	168	.	.	301 (263-346)	.	97 (85-110)	95 (88-103)	.	.	→	1
Tumori maligni (C00-C97)	M + F	284	299	.	.	257 (232-284)	.	95 (86-105)	94 (88-101)	.	.	→	1
Tumori maligni dell'esofago (C15)	F	0	0	.	.	0 (0-6)	.	0 (.-.)	68 (22-140)	.	.	n.c.	1
Tumori maligni dell'esofago (C15)	M	<5	<5	.	.	8 (3-22)	.	207 (93-461)	100 (63-177)	.	.	n.c.	1
Tumori maligni dell'esofago (C15)	M + F	<5	<5	.	.	4 (1-11)	.	174 (78-387)	105 (63-196)	.	.	n.c.	1
Tumori maligni dello stomaco (C16)	F	10	11	.	.	18 (10-30)	.	90 (54-151)	96 (77-117)	.	.	→	1
Tumori maligni dello stomaco (C16)	M	17	14	.	.	31 (20-51)	.	118 (79-175)	105 (83-134)	.	.	↑	2 😊
Tumori maligni dello stomaco (C16)	M + F	27	26	.	.	24 (17-35)	.	106 (77-145)	98 (81-118)	.	.	→	1
Tumori maligni dell'intestino tenue, compreso il duodeno (C17)	F	0	0	.	.	0 (0-6)	.	0 (.-.)	113 (28-271)	.	.	n.c.	1
Tumori maligni dell'intestino tenue, compreso il duodeno (C17)	M	0	0	.	.	0 (0-12)	.	0 (.-.)	51 (15-127)	.	.	n.c.	1
Tumori maligni dell'intestino tenue, compreso il duodeno (C17)	M + F	0	1	.	.	0 (0-6)	.	0 (.-.)	0 (0-0)	.	↓	n.c.	0 😊
Tumori maligni del colon (C18)	F	14	13	.	.	25 (15-39)	.	105 (68-162)	102 (84-123)	.	.	→	1
Tumori maligni del colon (C18)	M	14	16	.	.	26 (16-45)	.	87 (56-134)	102 (81-123)	.	.	→	1


Tabella 20A - Recanati	Genere	Osservati	Attesi	Cluster sign.	SIR cluster	Tasso std. * 100000 (ic)	Tasso std. > Tasso reg.	SIR (ic)	BIR (ic)	SIR sign.	BIR sign.	Trend	Livello attenzione
Causa (ICD-IX)													
Tumori maligni del colon (C18)	M + F	28	30	.	.	25 (18-36)	.	95 (70-129)	104 (87-123)	.	.	→	1
Tumori maligni del retto, della giunzione retto-sigmoidea e dell'ano (C19-C21)	F	<5	<5	.	.	3 (1-11)	.	53 (18-160)	87 (54-124)	.	.	n.c.	1
Tumori maligni del retto, della giunzione retto-sigmoidea e dell'ano (C19-C21)	M	>5	>5	.	.	9 (4-23)	.	87 (42-179)	84 (55-125)	.	.	n.c.	1
Tumori maligni del retto, della giunzione retto-sigmoidea e dell'ano (C19-C21)	M + F	7	10	.	.	6 (3-14)	.	74 (40-136)	89 (62-120)	.	.	n.c.	1
Tumore fegato e dotti biliari (C22)	F	<5	<5	.	.	5 (1-14)	.	73 (29-183)	102 (74-133)	.	.	n.c.	1
Tumore fegato e dotti biliari (C22)	M	<5	>5	.	.	8 (3-22)	.	62 (28-139)	82 (58-111)	.	.	n.c.	1
Tumore fegato e dotti biliari (C22)	M + F	7	11	.	.	6 (3-14)	.	67 (36-123)	87 (63-113)	.	.	↓	0 
Tumori maligni del pancreas (C25)	F	9	10	.	.	16 (8-28)	.	88 (51-152)	100 (82-119)	.	.	→	1
Tumori maligni del pancreas (C25)	M	8	10	.	.	15 (7-31)	.	80 (45-142)	97 (78-114)	.	.	n.c.	1
Tumori maligni del pancreas (C25)	M + F	17	20	.	.	16 (10-25)	.	84 (57-125)	97 (82-112)	.	.	→	1
Tumore del retroperitoneo (C48)	F	0	1	.	.	0 (0-6)	.	0 (-.)	101 (55-170)	.	.	n.c.	1
Tumore del retroperitoneo (C48)	M	<5	<5	.	.	2 (0-14)	.	425 (95-1905)	61 (23-138)	.	.	n.c.	1
Tumore del retroperitoneo (C48)	M + F	<5	<5	.	.	1 (0-7)	.	131 (29-588)	87 (53-131)	.	.	n.c.	1
Tumori maligni della laringe (C32)	F	0	0	.	.	0 (0-6)	.	0 (-.)	73 (20-179)	.	.	n.c.	1
Tumori maligni della laringe (C32)	M	<5	<5	.	.	7 (2-21)	.	186 (84-414)	87 (58-130)	.	.	n.c.	1
Tumori maligni della laringe (C32)	M + F	<5	<5	.	.	4 (1-10)	.	173 (77-384)	87 (58-127)	.	.	n.c.	1

Tabella 20A - Recanati	Genere	Osservati	Attesi	Cluster sign.	SIR cluster	Tasso std. * 100000 (ic)	Tasso std. > Tasso reg.	SIR (ic)	BIR (ic)	SIR sign.	BIR sign.	Trend	Livello attenzione
Causa (ICD-IX)													
Tumori maligni della trachea, dei bronchi e dei polmoni (C33-C34)	F	14	12	.	.	24 (15-38)	.	113 (73-175)	94 (71-125)	.	.	→	1
Tumori maligni della trachea, dei bronchi e dei polmoni (C33-C34)	M	37	39	.	.	70 (52-95)	.	95 (73-125)	92 (78-106)	.	.	→	1
Tumori maligni della trachea, dei bronchi e dei polmoni (C33-C34)	M + F	51	51	.	.	47 (36-60)	.	100 (79-125)	93 (81-106)	.	.	→	1
Mesotelioma (pleura, peritoneo, endocardio, ecc.) (C45)	F	0	1	.	.	0 (0-6)	.	0 (-.)	74 (28-141)	.	.	n.c.	1
Mesotelioma (pleura, peritoneo, endocardio, ecc.) (C45)	M	0	1	.	.	0 (0-12)	.	0 (-.)	49 (19-105)	.	.	n.c.	1
Mesotelioma (pleura, peritoneo, endocardio, ecc.) (C45)	M + F	0	2	.	.	0 (0-6)	.	0 (-.)	61 (29-107)	.	.	n.c.	1
Tumori maligni delle ossa e della cartilagine articolare (C40-C41)	F	0	0	.	.	0 (0-6)	.	0 (-.)	56 (13-144)	.	.	n.c.	1
Tumori maligni delle ossa e della cartilagine articolare (C40-C41)	M	0	1	.	.	0 (0-12)	.	0 (-.)	79 (23-192)	.	.	n.c.	1
Tumori maligni delle ossa e della cartilagine articolare (C40-C41)	M + F	0	1	.	.	0 (0-6)	.	0 (-.)	70 (19-156)	.	.	n.c.	1
Tumori maligni del connettivo e di altri tessuti molli (C49)	F	<5	<5	.	.	2 (0-9)	.	124 (28-555)	86 (51-134)	.	.	n.c.	1
Tumori maligni del connettivo e di altri tessuti molli (C49)	M	<5	<5	.	.	2 (0-14)	.	112 (25-500)	108 (70-170)	.	.	n.c.	1
Tumori maligni del connettivo e di altri tessuti molli (C49)	M + F	<5	<5	.	.	2 (0-8)	.	117 (39-355)	101 (73-143)	.	.	n.c.	1
Melanoma maligno della pelle (C43)	F	<5	<5	.	.	4 (1-11)	.	133 (44-402)	104 (69-150)	.	.	n.c.	1
Melanoma maligno della pelle (C43)	M	<5	<5	.	.	4 (1-17)	.	99 (33-300)	104 (69-149)	.	.	n.c.	1
Melanoma maligno della pelle (C43)	M + F	<5	<5	.	.	4 (1-11)	.	114 (51-253)	105 (78-140)	.	.	n.c.	1
Tumori maligni della mammella (C50)	F	15	20	.	.	27 (16-41)	.	77 (51-117)	92 (74-107)	.	.	→	1

Tabella 20A - Recanati	Genere	Osservati	Attesi	Cluster sign.	SIR cluster	Tasso std. * 100000 (ic)	Tasso std. > Tasso reg.	SIR (ic)	BIR (ic)	SIR sign.	BIR sign.	Trend	Livello attenzione
Causa (ICD-IX)													
Tumori maligni della mammella (C50)	M + F	15	20	.	.	14 (8-23)	.	76 (50-117)	91 (74-108)	.	.	→	1
Tumori maligni dell'utero (C53-C55)	F	8	6	.	.	14 (7-26)	.	141 (80-251)	108 (84-141)	.	.	n.c.	1
Tumori maligni del corpo dell'utero (C54)	F	<5	<5	.	.	4 (1-11)	.	125 (41-379)	111 (61-193)	.	.	n.c.	1
Tumori maligni dell'ovaio e degli altri annessi uterini (C56-C57)	F	6	6	.	.	11 (5-21)	.	108 (56-208)	95 (71-124)	.	.	n.c.	1
Tumore della prostata (C61)	M	18	15	.	.	33 (21-52)	.	123 (84-181)	101 (86-122)	.	.	→	1
Tumore del testicolo (C62)	M	0	0	.	.	0 (0-12)	.	0 (-.)	70 (13-234)	.	.	n.c.	1
Tumori maligni della vescica (C67)	F	<5	<5	.	.	2 (0-9)	.	55 (12-244)	81 (51-114)	.	.	n.c.	1
Tumori maligni della vescica (C67)	M	>5	>5	.	.	14 (7-30)	.	97 (55-172)	95 (77-114)	.	.	n.c.	1
Tumori maligni della vescica (C67)	M + F	9	10	.	.	8 (4-16)	.	89 (52-154)	96 (80-110)	.	.	n.c.	1
Tumori maligni del rene e di altri e non specificati organi urinari (C64-C66, C68)	F	<5	<5	.	.	5 (1-14)	.	98 (39-245)	91 (55-141)	.	.	n.c.	1
Tumori maligni del rene e di altri e non specificati organi urinari (C64-C66, C68)	M	<5	>5	.	.	6 (2-19)	.	46 (18-116)	102 (67-133)	.	.	n.c.	1
Tumori maligni del rene e di altri e non specificati organi urinari (C64-C66, C68)	M + F	6	10	.	.	5 (2-13)	.	63 (32-121)	97 (69-125)	.	.	n.c.	1
tumore del sistema nervoso centrale (C70-C72,D33)	F	<5	<5	.	.	4 (1-12)	.	63 (21-190)	99 (71-132)	.	.	n.c.	1
tumore del sistema nervoso centrale (C70-C72,D33)	M	<5	<5	.	.	6 (2-19)	.	80 (32-199)	84 (55-121)	.	.	n.c.	1
tumore del sistema nervoso centrale (C70-C72,D33)	M + F	5	7	.	.	5 (2-12)	.	72 (35-148)	93 (74-112)	.	.	n.c.	1
Tumori maligni dell'encefalo (C71)	F	<5	<5	.	.	4 (1-12)	.	65 (21-195)	104 (80-130)	.	.	n.c.	1



Tabella 20A - Recanati	Genere	Osservati	Attesi	Cluster sign.	SIR cluster	Tasso std. * 100000 (ic)	Tasso std. > Tasso reg.	SIR (ic)	BIR (ic)	SIR sign.	BIR sign.	Trend	Livello attenzione
Causa (ICD-IX)													
Tumori maligni dell'encefalo (C71)	M	<5	<5	.	.	6 (2-19)	.	81 (33-204)	86 (58-116)	.	.	n.c.	1
Tumori maligni dell'encefalo (C71)	M + F	5	7	.	.	5 (2-12)	.	74 (36-152)	95 (78-112)	.	.	n.c.	1
Tumori maligni della ghiandola tiroide (C73)	F	0	0	.	.	0 (0-6)	.	0 (.-.)	52 (22-100)	.	↓	n.c.	0 
Tumori maligni della ghiandola tiroide (C73)	M	<5	<5	.	.	4 (1-17)	.	512 (169-1547)	87 (48-146)	↑	.	n.c.	3 
Tumori maligni della ghiandola tiroide (C73)	M + F	<5	<5	.	.	2 (0-8)	.	275 (91-830)	72 (43-117)	.	.	n.c.	1
Tumori emolinfopietici (C81-C96)	F	10	13	.	.	17 (9-30)	.	78 (47-130)	96 (82-111)	.	.	n.c.	1
Tumori emolinfopietici (C81-C96)	M	16	14	.	.	29 (18-48)	.	112 (75-169)	95 (83-109)	.	.	→	1
Tumori emolinfopietici (C81-C96)	M + F	26	27	.	.	23 (16-34)	.	96 (70-132)	96 (86-107)	.	.	→	1
Malattia di Hodgkin (C81)	F	<5	<5	.	.	2 (0-8)	.	343 (77-1539)	92 (36-233)	.	.	n.c.	1
Malattia di Hodgkin (C81)	M	0	0	.	.	0 (0-12)	.	0 (.-.)	78 (31-149)	.	.	n.c.	1
Malattia di Hodgkin (C81)	M + F	<5	<5	.	.	1 (0-7)	.	165 (37-741)	86 (42-165)	.	.	n.c.	1
Linfoma non Hodgkin (C82-C85)	F	<5	>5	.	.	4 (1-11)	.	44 (15-134)	103 (77-131)	.	.	n.c.	1
Linfoma non Hodgkin (C82-C85)	M	>5	<5	.	.	9 (4-24)	.	115 (56-236)	86 (69-107)	.	.	n.c.	1
Linfoma non Hodgkin (C82-C85)	M + F	7	9	.	.	6 (3-14)	.	79 (43-146)	94 (75-114)	.	.	n.c.	1
Mieloma multiplo e tumori immunoproliferativi (C88, C90)	F	<5	<5	.	.	2 (0-9)	.	31 (7-139)	87 (55-114)	.	.	n.c.	1
Mieloma multiplo e tumori immunoproliferativi (C88, C90)	M	<5	<5	.	.	6 (2-19)	.	86 (34-215)	96 (68-134)	.	.	n.c.	1



Tabella 20A - Recanati	Genere	Osservati	Attesi	Cluster sign.	SIR cluster	Tasso std. * 100000 (ic)	Tasso std. > Tasso reg.	SIR (ic)	BIR (ic)	SIR sign.	BIR sign.	Trend	Livello attenzione
Causa (ICD-IX)													
Mieloma multiplo e tumori immunoproliferativi (C88, C90)	M + F	<5	>5	.	.	4 (1-10)	.	60 (27-133)	85 (59-113)	.	.	n.c.	1
Leucemie (C91-C95)	F	5	5	.	.	9 (3-18)	.	107 (52-220)	94 (71-123)	.	.	n.c.	1
Leucemie (C91-C95)	M	8	6	.	.	15 (7-30)	.	135 (76-240)	103 (76-140)	.	.	n.c.	1
Leucemie (C91-C95)	M + F	13	11	.	.	12 (7-20)	.	123 (78-193)	98 (82-118)	.	.	n.c.	1
Leucemia linfoide (acuta e cronica) (C91)	F	<5	<5	.	.	3 (1-11)	.	187 (62-564)	68 (46-101)	.	.	n.c.	1
Leucemia linfoide (acuta e cronica) (C91)	M	<5	<5	.	.	3 (1-16)	.	106 (35-320)	83 (57-116)	.	.	n.c.	1
Leucemia linfoide (acuta e cronica) (C91)	M + F	<5	<5	.	.	3 (1-10)	.	135 (61-301)	78 (61-100)	.	↓	n.c.	0 
Leucemia mieloide (acuta e cronica) (C92)	F	<5	<5	.	.	2 (0-9)	.	44 (10-197)	96 (62-131)	.	.	n.c.	1
Leucemia mieloide (acuta e cronica) (C92)	M	<5	<5	.	.	7 (3-21)	.	132 (59-295)	112 (78-164)	.	.	n.c.	1
Leucemia mieloide (acuta e cronica) (C92)	M + F	5	5	.	.	5 (2-12)	.	94 (46-194)	105 (78-140)	.	.	n.c.	1
Malattie del sangue e degli organi emopoietici (D50-D77)	F	<5	<5	.	.	3 (1-11)	.	68 (22-205)	82 (54-116)	.	.	n.c.	1
Malattie del sangue e degli organi emopoietici (D50-D77)	M	<5	<5	.	.	4 (1-17)	.	88 (29-266)	102 (73-138)	.	.	n.c.	1
Malattie del sangue e degli organi emopoietici (D50-D77)	M + F	<5	>5	.	.	3 (1-10)	.	77 (34-171)	91 (69-116)	.	.	n.c.	1
Malattie endocrine, della nutrizione ed immunitarie (E00-E90, D80-D89)	F	28	27	.	.	48 (34-66)	.	105 (77-143)	102 (83-126)	.	.	↑	2 
Malattie endocrine, della nutrizione ed immunitarie (E00-E90, D80-D89)	M	16	19	.	.	30 (19-49)	.	83 (55-125)	90 (71-112)	.	.	→	1
Malattie endocrine, della nutrizione ed immunitarie (E00-E90, D80-D89)	M + F	44	46	.	.	39 (30-51)	.	96 (75-123)	95 (79-112)	.	.	→	1






Tabella 20A - Recanati	Genere	Osservati	Attesi	Cluster sign.	SIR cluster	Tasso std. * 100000 (ic)	Tasso std. > Tasso reg.	SIR (ic)	BIR (ic)	SIR sign.	BIR sign.	Trend	Livello attenzione
Causa (ICD-IX)													
Tireotossicosi (E05)	F	<5	<5	.	.	2 (0-8)	.	593 (132-2657)	65 (20-190)	↑	.	n.c.	1
Tireotossicosi (E05)	M	0	0	.	.	0 (0-12)	.	0 (.-)	32 (0-168)	.	.	n.c.	1
Tireotossicosi (E05)	M + F	<5	<5	.	.	1 (0-7)	.	407 (91-1824)	66 (22-186)	.	.	n.c.	1
Ipotiroidismo (E00-E03)	F	<5	<5	.	.	2 (0-9)	.	349 (78-1563)	105 (37-288)	.	.	n.c.	1
Ipotiroidismo (E00-E03)	M	0	0	.	.	0 (0-12)	.	0 (.-)	100 (19-271)	.	.	n.c.	1
Ipotiroidismo (E00-E03)	M + F	<5	<5	.	.	1 (0-7)	.	246 (55-1103)	109 (45-230)	.	.	n.c.	1
Diabete mellito (E10-E14)	F	19	19	.	.	33 (22-49)	.	99 (68-144)	101 (79-127)	.	.	↑	1
Diabete mellito (E10-E14)	M	11	14	.	.	20 (11-37)	.	77 (47-126)	88 (66-113)	.	.	n.c.	1
Diabete mellito (E10-E14)	M + F	30	34	.	.	27 (19-38)	.	89 (66-121)	92 (75-113)	.	.	→	1
Demenze (F00-F01, F020-F023, F03, G30, G310)	F	20	42	.	.	34 (23-50)	.	48 (33-69)	66 (50-84)	↓	↓	n.c.	0 
Demenze (F00-F01, F020-F023, F03, G30, G310)	M	15	21	.	.	28 (17-46)	.	71 (47-108)	85 (64-110)	.	.	n.c.	1
Demenze (F00-F01, F020-F023, F03, G30, G310)	M + F	35	63	.	.	31 (23-42)	.	55 (42-73)	69 (55-84)	↓	↓	n.c.	0 
Malattie neuro-psichiatriche (escluse tossicod.) (F00-F09, F20-F99)	F	9	27	.	.	15 (8-27)	.	33 (19-57)	51 (35-73)	↓	↓	n.c.	0 
Malattie neuro-psichiatriche (escluse tossicod.) (F00-F09, F20-F99)	M	7	14	.	.	13 (6-28)	.	51 (28-95)	67 (45-96)	↓	↓	n.c.	0 
Malattie neuro-psichiatriche (escluse tossicod.) (F00-F09, F20-F99)	M + F	16	41	.	.	14 (9-23)	.	39 (26-59)	54 (40-73)	↓	↓	n.c.	0 
Malattie del sistema nervoso e degli organi di senso (G00-H95)	F	24	28	.	.	42 (29-59)	.	85 (61-118)	87 (70-105)	.	.	→	1

Tabella 20A - Recanati	Genere	Osservati	Attesi	Cluster sign.	SIR cluster	Tasso std. * 100000 (ic)	Tasso std. > Tasso reg.	SIR (ic)	BIR (ic)	SIR sign.	BIR sign.	Trend	Livello attenzione
Causa (ICD-IX)													
Malattie del sistema nervoso e degli organi di senso (G00-H95)	M	20	21	.	.	37 (24-57)	.	93 (65-134)	103 (83-124)	.	.	→	1
Malattie del sistema nervoso e degli organi di senso (G00-H95)	M + F	44	50	.	.	39 (30-52)	.	88 (69-113)	92 (78-107)	.	.	→	1
Morbo di Parkinson (G20)	F	>5	>5	.	.	9 (3-19)	.	108 (53-223)	109 (77-149)	.	.	n.c.	1
Morbo di Parkinson (G20)	M	<5	>5	.	.	4 (1-16)	.	44 (15-133)	90 (65-118)	.	.	n.c.	1
Morbo di Parkinson (G20)	M + F	7	9	.	.	6 (3-14)	.	76 (41-141)	99 (75-124)	.	.	n.c.	1
Malattia di Alzheimer (G30)	F	12	16	.	.	21 (12-34)	.	75 (47-121)	84 (61-112)	.	.	n.c.	1
Malattia di Alzheimer (G30)	M	8	8	.	.	15 (7-31)	.	96 (54-171)	98 (67-136)	.	.	n.c.	1
Malattia di Alzheimer (G30)	M + F	20	24	.	.	18 (12-28)	.	83 (57-119)	87 (67-111)	.	.	n.c.	1
Epilessia (G40)	F	0	1	.	.	0 (0-6)	.	0 (.-.)	64 (34-109)	.	.	n.c.	1
Epilessia (G40)	M	<5	<5	.	.	4 (1-17)	.	243 (80-734)	104 (62-180)	.	.	n.c.	1
Epilessia (G40)	M + F	<5	<5	.	.	2 (0-8)	.	139 (46-420)	84 (50-133)	.	.	n.c.	1
Malattia dei neuroni motori (G122)	F	<5	<5	.	.	2 (0-9)	.	53 (12-239)	73 (31-145)	.	.	n.c.	1
Malattia dei neuroni motori (G122)	M	<5	<5	.	.	4 (1-17)	.	103 (34-310)	101 (59-163)	.	.	n.c.	1
Malattia dei neuroni motori (G122)	M + F	<5	<5	.	.	3 (1-9)	.	79 (31-197)	86 (46-146)	.	.	n.c.	1
Sclerosi multipla (G35)	F	<5	<5	.	.	2 (0-9)	.	275 (61-1233)	73 (35-135)	.	.	n.c.	1
Sclerosi multipla (G35)	M	0	0	.	.	0 (0-12)	.	0 (.-.)	51 (7-150)	.	.	n.c.	1









Tabella 20A - Recanati	Genere	Osservati	Attesi	Cluster sign.	SIR cluster	Tasso std. * 100000 (ic)	Tasso std. > Tasso reg.	SIR (ic)	BIR (ic)	SIR sign.	BIR sign.	Trend	Livello attenzione
Causa (ICD-IX)													
Sclerosi multipla (G35)	M + F	<5	<5	.	.	1 (0-7)	.	181 (40-810)	71 (40-120)	.	.	n.c.	1
Neuropatie tossiche e infiammatorie non specificate (G619, G629)	F	0	0	.	.	0 (0-6)	.	0 (.-.)	11 (0-108)	.	.	n.c.	1
Neuropatie tossiche e infiammatorie non specificate (G619, G629)	M	0	0	.	.	0 (0-12)	.	0 (.-.)	117 (25-323)	.	.	n.c.	1
Neuropatie tossiche e infiammatorie non specificate (G619, G629)	M + F	0	0	.	.	0 (0-6)	.	0 (.-.)	68 (13-186)	.	.	n.c.	1
Malattie dell'apparato circolatorio (I00-I99)	F	231	260	.	.	390 (349-435)	.	89 (80-99)	96 (89-104)	↓	.	→	0 
Malattie dell'apparato circolatorio (I00-I99)	M	166	200	.	.	309 (271-355)	.	83 (73-94)	91 (83-99)	↓	↓	→	0 
Malattie dell'apparato circolatorio (I00-I99)	M + F	397	460	.	.	351 (322-382)	.	86 (80-94)	92 (86-98)	↓	↓	→	0 
Malattia ipertensiva (I10-I15)	F	17	27	.	.	29 (18-44)	.	62 (42-92)	75 (56-98)	↓	↓	n.c.	0 
Malattia ipertensiva (I10-I15)	M	13	16	.	.	24 (14-42)	.	79 (50-125)	84 (57-117)	.	.	→	1
Malattia ipertensiva (I10-I15)	M + F	30	44	.	.	27 (19-38)	.	69 (51-93)	74 (58-95)	↓	↓	→	0 
Malattie ischemiche del cuore (I20-I25)	F	65	89	.	.	110 (88-135)	.	73 (60-90)	86 (73-100)	↓	↓	→	0 
Malattie ischemiche del cuore (I20-I25)	M	62	81	.	.	116 (93-146)	.	77 (62-95)	86 (74-98)	↓	↓	→	0 
Malattie ischemiche del cuore (I20-I25)	M + F	127	169	.	.	113 (97-132)	.	75 (65-87)	82 (73-92)	↓	↓	→	0 
Infarto miocardico acuto (I21-I22)	F	26	24	.	.	44 (31-62)	.	107 (78-148)	108 (81-142)	.	.	→	1
Infarto miocardico acuto (I21-I22)	M	26	27	.	.	49 (34-71)	.	96 (70-133)	90 (70-113)	.	.	n.c.	1
Infarto miocardico acuto (I21-I22)	M + F	52	51	.	.	47 (36-60)	.	102 (81-128)	99 (80-121)	.	.	→	1


Tabella 20A - Recanati	Genere	Osservati	Attesi	Cluster sign.	SIR cluster	Tasso std. * 100000 (ic)	Tasso std. > Tasso reg.	SIR (ic)	BIR (ic)	SIR sign.	BIR sign.	Trend	Livello attenzione
Causa (ICD-IX)													
Malattie cerebrovascolari (I60-I69)	F	77	68	2	127	130 (107-158)	.	114 (94-137)	106 (91-123)	.	.	→	1
Malattie cerebrovascolari (I60-I69)	M	43	52	.	.	79 (60-105)	.	83 (65-107)	96 (79-112)	.	.	→	1
Malattie cerebrovascolari (I60-I69)	M + F	120	119	.	.	105 (90-124)	.	101 (87-117)	101 (89-114)	.	.	→	1
Malattie dell'apparato respiratorio (J00-J99)	F	42	36	.	.	71 (54-92)	.	118 (91-152)	103 (85-125)	.	.	→	1
Malattie dell'apparato respiratorio (J00-J99)	M	44	45	.	.	82 (63-109)	.	98 (77-126)	100 (85-117)	.	.	→	1
Malattie dell'apparato respiratorio (J00-J99)	M + F	86	81	.	.	77 (64-93)	.	107 (89-128)	104 (90-120)	.	.	→	1
Malattie respiratorie acute (J00-J06, J10-J18, J20-J22)	F	13	11	.	.	22 (13-36)	.	120 (77-189)	110 (77-154)	.	.	n.c.	1
Malattie respiratorie acute (J00-J06, J10-J18, J20-J22)	M	12	10	2	145	22 (13-39)	.	124 (77-198)	115 (75-171)	.	.	n.c.	1
Malattie respiratorie acute (J00-J06, J10-J18, J20-J22)	M + F	25	21	.	.	22 (15-33)	.	122 (88-169)	116 (87-152)	.	.	→	1
Malattie croniche dell'apparato respiratorio (BCPO) (J41-J44, J47)	F	19	14	.	.	32 (21-47)	.	139 (95-202)	102 (76-138)	.	.	→	1
Malattie croniche dell'apparato respiratorio (BCPO) (J41-J44, J47)	M	23	23	.	.	42 (29-63)	.	99 (70-139)	96 (78-118)	.	.	→	1
Malattie croniche dell'apparato respiratorio (BCPO) (J41-J44, J47)	M + F	42	37	.	.	37 (28-49)	.	114 (88-146)	101 (83-121)	.	.	→	1
Asma (J45)	F	0	1	.	.	0 (0-6)	.	0 (-.)	103 (35-198)	.	.	n.c.	1
Asma (J45)	M	0	0	.	.	0 (0-12)	.	0 (-.)	103 (25-225)	.	.	n.c.	1
Asma (J45)	M + F	0	1	.	.	0 (0-6)	.	0 (-.)	111 (52-176)	.	.	n.c.	1
Pneumoconiosi (J60-J64)	M	0	1	.	.	0 (0-12)	.	0 (-.)	27 (5-93)	.	↓	n.c.	0 


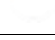



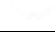
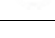



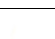



Tabella 20A - Recanati	Genere	Osservati	Attesi	Cluster sign.	SIR cluster	Tasso std. * 100000 (ic)	Tasso std. > Tasso reg.	SIR (ic)	BIR (ic)	SIR sign.	BIR sign.	Trend	Livello attenzione
Causa (ICD-IX)													
Pneumoconiosi (J60-J64)	M + F	0	1	.	.	0 (0-6)	.	0 (-.)	27 (5-93)	.	↓	n.c.	0 
Malattie dell'apparato digerente (K00-K93)	F	27	21	2	132	46 (33-64)	.	130 (95-178)	102 (89-120)	.	.	→	1 
Malattie dell'apparato digerente (K00-K93)	M	26	19	.	.	47 (33-69)	.	136 (98-187)	104 (89-127)	.	.	→	1 
Malattie dell'apparato digerente (K00-K93)	M + F	53	40	2	123	47 (37-60)	.	133 (106-166)	110 (96-129)	↑	.	→	3 
Cirrosi e altre malattie croniche del fegato (K70, K73-K74)	F	<5	<5	.	.	3 (1-11)	.	93 (31-281)	76 (46-114)	.	.	n.c.	1 
Cirrosi e altre malattie croniche del fegato (K70, K73-K74)	M	>5	>5	.	.	11 (5-27)	.	109 (56-210)	97 (77-121)	.	.	n.c.	1 
Cirrosi e altre malattie croniche del fegato (K70, K73-K74)	M + F	8	8	.	.	7 (4-15)	.	104 (59-185)	90 (71-113)	.	.	n.c.	1 
Nefropatie croniche e acute (N00-N12)	F	<5	<5	.	.	2 (0-9)	.	482 (108-2161)	103 (43-214)	↑	.	n.c.	1 
Nefropatie croniche e acute (N00-N12)	M	0	0	.	.	0 (0-12)	.	0 (-.)	134 (48-300)	.	.	n.c.	1 
Nefropatie croniche e acute (N00-N12)	M + F	<5	<5	.	.	1 (0-7)	.	223 (50-1000)	132 (45-330)	.	.	n.c.	1 
Malattie dell'apparato genito-urinario (N00-N99)	F	29	12	2	148	49 (35-67)	↑	238 (175-322)	160 (123-212)	↑	↑	n.c.	5 
Malattie dell'apparato genito-urinario (N00-N99)	M	18	11	2	154	33 (21-52)	↑	162 (110-239)	135 (101-184)	↑	↑	n.c.	5 
Malattie dell'apparato genito-urinario (N00-N99)	M + F	47	23	2	140	41 (32-54)	↑	202 (159-257)	160 (129-200)	↑	↑	n.c.	5 
Insufficienza renale acuta e cronica (N17-N19)	F	20	10	2	142	33 (22-49)	↑	200 (139-289)	133 (103-184)	↑	↑	n.c.	5 
Insufficienza renale acuta e cronica (N17-N19)	M	11	8	.	.	20 (11-38)	.	132 (80-215)	114 (85-156)	.	.	n.c.	1
Insufficienza renale acuta e cronica (N17-N19)	M + F	31	18	2	134	27 (20-38)	↑	169 (126-227)	136 (110-171)	↑	↑	n.c.	5




Tabella 20A - Recanati	Genere	Osservati	Attesi	Cluster sign.	SIR cluster	Tasso std. * 100000 (ic)	Tasso std. > Tasso reg.	SIR (ic)	BIR (ic)	SIR sign.	BIR sign.	Trend	Livello attenzione
Causa (ICD-IX)													
Malformazioni congenite (Q00-Q99)	F	<5	<5	.	.	2 (0-9)	.	115 (26-517)	67 (22-175)	.	.	n.c.	1
Malformazioni congenite (Q00-Q99)	M	<5	<5	.	.	2 (0-14)	.	85 (19-382)	88 (28-223)	.	.	n.c.	1
Malformazioni congenite (Q00-Q99)	M + F	<5	<5	.	.	2 (0-8)	.	98 (32-296)	87 (35-179)	.	.	n.c.	1
Sintomi, segni e stati morbosi mal definiti (R00-R99)	F	14	9	.	.	23 (14-36)	↑	153 (99-237)	155 (99-234)	.	.	→	1
Sintomi, segni e stati morbosi mal definiti (R00-R99)	M	8	4	.	.	16 (8-32)	↑	190 (107-337)	179 (100-299)	↑	.	n.c.	3 
Sintomi, segni e stati morbosi mal definiti (R00-R99)	M + F	22	13	.	.	19 (13-29)	↑	165 (116-234)	174 (120-244)	↑	↑	→	5 
Traumatismi e avvelenamenti (S00-T98)	F	15	20	.	.	26 (16-41)	.	74 (48-112)	90 (69-115)	.	.	n.c.	1
Traumatismi e avvelenamenti (S00-T98)	M	22	29	.	.	41 (28-61)	.	77 (54-109)	98 (82-111)	.	.	→	1
Traumatismi e avvelenamenti (S00-T98)	M + F	37	49	.	.	33 (25-45)	.	75 (58-99)	92 (78-107)	↓	.	→	0 

Tabella 21A. Decessi per causa nel comune di Sant'Elpidio a Mare, tutte le età, periodo di osservazione 2009-2013

Tabella 21A - Sant'Elpidio a Mare	Genere	Osservati	Attesi	Cluster sign.	SIR cluster	Tasso std. * 100000 (ic)	Tasso std. > Tasso reg.	SIR (ic)	BIR (ic)	SIR sign.	BIR sign.	Trend	Livello attenzione
Causa (ICD-IX)													
Mortalità generale (escluse cause violente) (A00-R99)	F	371	346	.	.	1242 (1078-1473)	↑	107 (98-117)	103 (97-109)	.	.	↓	1
Mortalità generale (escluse cause violente) (A00-R99)	M	359	377	.	.	995 (909-1088)	.	95 (87-104)	97 (91-104)	.	.	→	1
Mortalità generale (escluse cause violente) (A00-R99)	M + F	730	724	.	.	1123 (1027-1251)	↑	101 (95-107)	101 (96-106)	.	.	→	1
Mortalità per cause esterne o violente (S00-Y99)	F	15	13	2	131	42 (26-168)	.	118 (78-181)	111 (84-144)	.	.	→	1
Mortalità per cause esterne o violente (S00-Y99)	M	22	21	.	.	57 (38-84)	.	107 (76-152)	98 (85-114)	.	.	n.c.	1
Mortalità per cause esterne o violente (S00-Y99)	M + F	37	33	.	.	49 (37-114)	.	112 (85-146)	104 (89-122)	.	.	→	1
Malattie infettive (A00-B99)	F	16	7	2	153	44 (28-170)	↑	229 (152-345)	140 (102-206)	↑	↑	→	5 🤢
Malattie infettive (A00-B99)	M	9	7	.	.	25 (13-46)	.	122 (71-210)	106 (87-132)	.	.	n.c.	1
Malattie infettive (A00-B99)	M + F	25	14	.	.	35 (24-100)	↑	174 (126-242)	129 (101-168)	↑	↑	→	5 🤢
Epatite virale (B17-B19)	F	<5	<5	.	.	11 (4-138)	↑	366 (165-816)	125 (89-209)	↑	.	n.c.	3 😊
Epatite virale (B17-B19)	M	<5	<5	.	.	5 (1-20)	.	138 (46-417)	103 (62-172)	.	.	n.c.	1
Epatite virale (B17-B19)	M + F	6	3	.	.	8 (3-74)	↑	236 (122-457)	114 (90-170)	↑	.	n.c.	3 😊
Tutti i tumori (C00-D48)	F	89	100	.	.	235 (195-364)	.	89 (75-106)	99 (91-106)	.	.	→	1
Tutti i tumori (C00-D48)	M	121	138	.	.	320 (273-374)	.	88 (76-102)	97 (88-105)	.	.	→	1
Tutti i tumori (C00-D48)	M + F	210	238	.	.	276 (245-348)	.	88 (79-99)	96 (89-103)	↓	.	→	0 😊
Tumori maligni delle vie aeree e digestive superiori (C00-C15, C32)	F	<5	<5	.	.	2 (0-131)	.	67 (15-301)	111 (80-146)	.	.	n.c.	1





Tabella 21A - Sant'Elpidio a Mare	Genere	Osservati	Attesi	Cluster sign.	SIR cluster	Tasso std. * 100000 (ic)	Tasso std. > Tasso reg.	SIR (ic)	BIR (ic)	SIR sign.	BIR sign.	Trend	Livello attenzione
Causa (ICD-IX)													
Tumori maligni delle vie aeree e digestive superiori (C00-C15, C32)	M	>5	>5	.	.	14 (5-31)	.	104 (51-214)	81 (57-110)	.	.	n.c.	1
Tumori maligni delle vie aeree e digestive superiori (C00-C15, C32)	M + F	6	6	.	.	8 (3-74)	.	95 (49-185)	86 (63-113)	.	.	n.c.	1
Tumori maligni (C00-C97)	F	86	95	.	.	225 (187-354)	.	90 (76-108)	99 (91-107)	.	.	→	1
Tumori maligni (C00-C97)	M	115	131	.	.	304 (259-357)	.	88 (75-102)	97 (89-105)	.	.	→	1
Tumori maligni (C00-C97)	M + F	201	227	.	.	263 (233-335)	.	89 (79-100)	96 (89-103)	↓	.	→	0 
Tumori maligni dell'esofago (C15)	F	0	0	.	.	0 (0-128)	.	0 (.-.)	108 (36-188)	.	.	n.c.	1
Tumori maligni dell'esofago (C15)	M	<5	<5	.	.	8 (2-23)	.	223 (89-559)	91 (56-157)	.	.	n.c.	1
Tumori maligni dell'esofago (C15)	M + F	<5	<5	.	.	4 (1-70)	.	175 (70-437)	101 (55-182)	.	.	n.c.	1
Tumori maligni dello stomaco (C16)	F	8	7	.	.	22 (11-149)	.	109 (61-194)	100 (81-123)	.	.	n.c.	1
Tumori maligni dello stomaco (C16)	M	17	10	2	167	47 (30-72)	↑	168 (113-249)	120 (93-159)	↑	.	n.c.	3 
Tumori maligni dello stomaco (C16)	M + F	25	18	2	124	34 (24-99)	↑	143 (103-199)	113 (92-140)	↑	.	→	3 
Tumori maligni dell'intestino tenue, compreso il duodeno (C17)	F	0	0	.	.	0 (0-128)	.	0 (.-.)	61 (15-153)	.	.	n.c.	1
Tumori maligni dell'intestino tenue, compreso il duodeno (C17)	M	0	0	.	.	0 (0-12)	.	0 (.-.)	106 (39-210)	.	.	n.c.	1
Tumori maligni dell'intestino tenue, compreso il duodeno (C17)	M + F	0	0	.	.	0 (0-67)	.	0 (.-.)	0 (0-0)	.	↓	n.c.	0 
Tumori maligni del colon (C18)	F	9	9	.	.	25 (13-152)	.	96 (56-166)	98 (80-118)	.	.	n.c.	1
Tumori maligni del colon (C18)	M	10	12	.	.	26 (14-47)	.	82 (49-137)	100 (78-124)	.	.	n.c.	1



Tabella 21A - Sant'Elpidio a Mare	Genere	Osservati	Attesi	Cluster sign.	SIR cluster	Tasso std. * 100000 (ic)	Tasso std. > Tasso reg.	SIR (ic)	BIR (ic)	SIR sign.	BIR sign.	Trend	Livello attenzione
Causa (ICD-IX)													
Tumori maligni del colon (C18)	M + F	19	22	.	.	26 (17-91)	.	88 (61-129)	97 (79-118)	.	.	→	1
Tumori maligni del retto, della giunzione retto-sigmoidea e dell'ano (C19-C21)	F	<5	<5	.	.	2 (0-131)	.	37 (8-166)	106 (66-159)	.	.	n.c.	1
Tumori maligni del retto, della giunzione retto-sigmoidea e dell'ano (C19-C21)	M	<5	<5	.	.	3 (0-17)	.	26 (6-118)	67 (38-101)	.	.	n.c.	1
Tumori maligni del retto, della giunzione retto-sigmoidea e dell'ano (C19-C21)	M + F	<5	>5	.	.	3 (0-69)	.	31 (10-93)	82 (52-111)	↓	.	n.c.	0 
Tumore fegato e dotti biliari (C22)	F	6	3	.	.	16 (7-143)	.	227 (118-440)	101 (80-146)	↑	.	n.c.	3 
Tumore fegato e dotti biliari (C22)	M	5	6	.	.	12 (5-29)	.	83 (40-171)	99 (70-137)	.	.	n.c.	1
Tumore fegato e dotti biliari (C22)	M + F	11	9	.	.	14 (8-80)	.	127 (78-208)	104 (78-141)	.	.	→	1
Tumori maligni del pancreas (C25)	F	5	7	.	.	13 (5-140)	.	71 (34-145)	97 (81-114)	.	.	n.c.	1
Tumori maligni del pancreas (C25)	M	6	8	.	.	15 (6-32)	.	78 (41-151)	97 (78-115)	.	.	n.c.	1
Tumori maligni del pancreas (C25)	M + F	11	15	.	.	14 (8-79)	.	75 (46-122)	95 (78-110)	.	.	→	1
Tumore del retroperitoneo (C48)	F	0	0	.	.	0 (0-128)	.	0 (.-.)	94 (55-148)	.	.	n.c.	1
Tumore del retroperitoneo (C48)	M	0	0	.	.	0 (0-12)	.	0 (.-.)	95 (31-186)	.	.	n.c.	1
Tumore del retroperitoneo (C48)	M + F	0	1	.	.	0 (0-67)	.	0 (.-.)	109 (67-146)	.	.	n.c.	1
Tumori maligni della laringe (C32)	F	0	0	.	.	0 (0-128)	.	0 (.-.)	101 (35-203)	.	.	n.c.	1
Tumori maligni della laringe (C32)	M	0	2	.	.	0 (0-12)	.	0 (.-.)	84 (50-120)	.	.	n.c.	1
Tumori maligni della laringe (C32)	M + F	0	2	.	.	0 (0-67)	.	0 (.-.)	82 (49-118)	.	.	n.c.	1


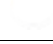

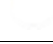
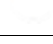
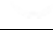
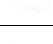
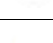
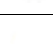
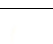






Tabella 21A - Sant'Elpidio a Mare	Genere	Osservati	Attesi	Cluster sign.	SIR cluster	Tasso std. * 100000 (ic)	Tasso std. > Tasso reg.	SIR (ic)	BIR (ic)	SIR sign.	BIR sign.	Trend	Livello attenzione
Causa (ICD-IX)													
Tumori maligni della trachea, dei bronchi e dei polmoni (C33-C34)	F	<5	>5	.	.	10 (3-138)	.	41 (18-91)	83 (55-111)	↓	.	n.c.	0 
Tumori maligni della trachea, dei bronchi e dei polmoni (C33-C34)	M	>5	>5	.	.	78 (56-108)	.	93 (69-126)	99 (84-114)	.	.	→	1 
Tumori maligni della trachea, dei bronchi e dei polmoni (C33-C34)	M + F	34	42	.	.	43 (31-108)	.	81 (61-107)	95 (81-110)	.	.	→	1 
Mesotelioma (pleura, peritoneo, endocardio, ecc.) (C45)	F	<5	<5	.	.	3 (0-131)	.	196 (44-877)	112 (59-216)	.	.	n.c.	1 
Mesotelioma (pleura, peritoneo, endocardio, ecc.) (C45)	M	0	1	.	.	0 (0-12)	.	0 (-.)	58 (22-132)	.	.	n.c.	1 
Mesotelioma (pleura, peritoneo, endocardio, ecc.) (C45)	M + F	<5	<5	.	.	1 (0-68)	.	51 (11-231)	82 (42-143)	.	.	n.c.	1 
Tumori maligni delle ossa e della cartilagine articolare (C40-C41)	F	0	0	.	.	0 (0-128)	.	0 (-.)	106 (31-239)	.	.	n.c.	1 
Tumori maligni delle ossa e della cartilagine articolare (C40-C41)	M	0	0	.	.	0 (0-12)	.	0 (-.)	79 (25-201)	.	.	n.c.	1 
Tumori maligni delle ossa e della cartilagine articolare (C40-C41)	M + F	0	1	.	.	0 (0-67)	.	0 (-.)	85 (27-194)	.	.	n.c.	1 
Tumori maligni del connettivo e di altri tessuti molli (C49)	F	0	1	.	.	0 (0-128)	.	0 (-.)	102 (62-148)	.	.	n.c.	1 
Tumori maligni del connettivo e di altri tessuti molli (C49)	M	<5	<5	.	.	3 (0-17)	.	170 (38-761)	93 (62-141)	.	.	n.c.	1 
Tumori maligni del connettivo e di altri tessuti molli (C49)	M + F	<5	<5	.	.	1 (0-68)	.	77 (17-347)	101 (74-137)	.	.	n.c.	1 
Melanoma maligno della pelle (C43)	F	0	1	.	.	0 (0-128)	.	0 (-.)	97 (65-133)	.	.	n.c.	1 
Melanoma maligno della pelle (C43)	M	0	1	.	.	0 (0-12)	.	0 (-.)	91 (57-127)	.	.	n.c.	1 
Melanoma maligno della pelle (C43)	M + F	0	3	.	.	0 (0-67)	.	0 (-.)	93 (65-119)	.	.	n.c.	1 
Tumori maligni della mammella (C50)	F	20	16	.	.	50 (33-175)	.	127 (88-184)	112 (95-135)	.	.	→	1 


Tabella 21A - Sant'Elpidio a Mare	Genere	Osservati	Attesi	Cluster sign.	SIR cluster	Tasso std. * 100000 (ic)	Tasso std. > Tasso reg.	SIR (ic)	BIR (ic)	SIR sign.	BIR sign.	Trend	Livello attenzione
Causa (ICD-IX)													
Tumori maligni della mammella (C50)	M + F	21	16	.	.	27 (18-92)	.	132 (92-188)	114 (95-138)	.	.	→	1
Tumori maligni dell'utero (C53-C55)	F	<5	<5	.	.	2 (0-131)	.	27 (6-120)	90 (65-115)	.	.	n.c.	1
Tumori maligni del corpo dell'utero (C54)	F	0	1	.	.	0 (0-128)	.	0 (.-.)	79 (35-129)	.	.	n.c.	1
Tumori maligni dell'ovaio e degli altri annessi uterini (C56-C57)	F	0	4	.	.	0 (0-128)	.	0 (.-.)	91 (58-115)	.	.	n.c.	1
Tumore della prostata (C61)	M	9	10	.	.	25 (13-46)	.	87 (51-150)	100 (83-116)	.	.	n.c.	1
Tumore del testicolo (C62)	M	0	0	.	.	0 (0-12)	.	0 (.-.)	89 (21-233)	.	.	n.c.	1
Tumori maligni della vescica (C67)	F	0	2	.	.	0 (0-128)	.	0 (.-.)	104 (66-138)	.	.	n.c.	1
Tumori maligni della vescica (C67)	M	<5	>5	.	.	12 (4-29)	.	67 (30-149)	96 (79-115)	.	.	n.c.	1
Tumori maligni della vescica (C67)	M + F	<5	>5	.	.	6 (2-72)	.	53 (24-119)	100 (84-114)	.	.	n.c.	1
Tumori maligni del rene e di altri e non specificati organi urinari (C64-C66, C68)	F	<5	<5	.	.	2 (0-131)	.	49 (11-219)	79 (43-124)	.	.	n.c.	1
Tumori maligni del rene e di altri e non specificati organi urinari (C64-C66, C68)	M	0	4	.	.	0 (0-12)	.	0 (.-.)	82 (50-107)	.	.	n.c.	1
Tumori maligni del rene e di altri e non specificati organi urinari (C64-C66, C68)	M + F	<5	>5	.	.	1 (0-68)	.	16 (4-72)	79 (52-105)	↓	.	n.c.	0 
tumore del sistema nervoso centrale (C70-C72,D33)	F	<5	<5	.	.	10 (4-138)	.	184 (82-409)	100 (76-138)	.	.	n.c.	1
tumore del sistema nervoso centrale (C70-C72,D33)	M	<5	<5	.	.	5 (1-19)	.	56 (19-169)	97 (59-138)	.	.	n.c.	1
tumore del sistema nervoso centrale (C70-C72,D33)	M + F	6	6	.	.	8 (3-74)	.	104 (54-202)	102 (85-123)	.	.	n.c.	1
Tumori maligni dell'encefalo (C71)	F	<5	<5	.	.	10 (4-138)	.	192 (86-428)	97 (79-124)	.	.	n.c.	1

Tabella 21A - Sant'Elpidio a Mare	Genere	Osservati	Attesi	Cluster sign.	SIR cluster	Tasso std. * 100000 (ic)	Tasso std. > Tasso reg.	SIR (ic)	BIR (ic)	SIR sign.	BIR sign.	Trend	Livello attenzione
Causa (ICD-IX)													
Tumori maligni dell'encefalo (C71)	M	<5	<5	.	.	5 (1-19)	.	57 (19-173)	101 (65-132)	.	.	n.c.	1
Tumori maligni dell'encefalo (C71)	M + F	6	6	.	.	8 (3-74)	.	107 (56-208)	102 (86-121)	.	.	n.c.	1
Tumori maligni della ghiandola tiroide (C73)	F	<5	<5	.	.	2 (0-131)	.	204 (45-913)	125 (73-215)	.	.	n.c.	1
Tumori maligni della ghiandola tiroide (C73)	M	<5	<5	.	.	2 (0-16)	.	286 (64-1284)	101 (66-153)	.	.	n.c.	1
Tumori maligni della ghiandola tiroide (C73)	M + F	<5	<5	.	.	2 (0-69)	.	238 (79-720)	120 (84-182)	.	.	n.c.	1
Tumori emolinfopoiectici (C81-C96)	F	14	9	.	.	36 (22-162)	.	151 (98-234)	104 (91-120)	.	.	→	1
Tumori emolinfopoiectici (C81-C96)	M	11	12	.	.	27 (15-48)	.	95 (58-155)	102 (90-116)	.	.	→	1
Tumori emolinfopoiectici (C81-C96)	M + F	25	21	.	.	32 (22-97)	.	120 (87-167)	103 (93-115)	.	.	→	1
Malattia di Hodgkin (C81)	F	0	0	.	.	0 (0-128)	.	0 (.-.)	100 (34-221)	.	.	n.c.	1
Malattia di Hodgkin (C81)	M	0	0	.	.	0 (0-12)	.	0 (.-.)	102 (47-167)	.	.	n.c.	1
Malattia di Hodgkin (C81)	M + F	0	1	.	.	0 (0-67)	.	0 (.-.)	99 (43-174)	.	.	n.c.	1
Linfoma non Hodgkin (C82-C85)	F	<5	<5	.	.	8 (2-136)	.	106 (43-266)	96 (74-123)	.	.	n.c.	1
Linfoma non Hodgkin (C82-C85)	M	>5	<5	.	.	17 (8-35)	.	170 (92-313)	110 (92-133)	.	.	→	1
Linfoma non Hodgkin (C82-C85)	M + F	10	7	.	.	12 (7-78)	.	144 (86-241)	105 (88-130)	.	.	→	1
Mieloma multiplo e tumori immunoproliferativi (C88, C90)	F	<5	<5	.	.	8 (2-135)	.	132 (53-330)	96 (71-128)	.	.	n.c.	1
Mieloma multiplo e tumori immunoproliferativi (C88, C90)	M	<5	<5	.	.	6 (1-20)	.	81 (27-245)	98 (68-137)	.	.	n.c.	1

Tabella 21A - Sant'Elpidio a Mare	Genere	Osservati	Attesi	Cluster sign.	SIR cluster	Tasso std. * 100000 (ic)	Tasso std. > Tasso reg.	SIR (ic)	BIR (ic)	SIR sign.	BIR sign.	Trend	Livello attenzione
Causa (ICD-IX)													
Mieloma multiplo e tumori immunoproliferativi (C88, C90)	M + F	5	5	.	.	7 (3-73)	.	106 (51-217)	99 (73-133)	.	.	n.c.	1
Leucemie (C91-C95)	F	>5	<5	.	.	21 (10-148)	↑	210 (118-373)	114 (88-158)	↑	.	→	3 😊
Leucemie (C91-C95)	M	<5	>5	.	.	5 (1-19)	.	43 (14-131)	93 (63-126)	.	.	n.c.	1
Leucemie (C91-C95)	M + F	10	8	.	.	13 (7-79)	.	119 (71-198)	105 (89-126)	.	.	→	1
Leucemia linfoide (acuta e cronica) (C91)	F	<5	<5	.	.	10 (3-138)	↑	324 (145-721)	121 (94-193)	↑	.	n.c.	3 😊
Leucemia linfoide (acuta e cronica) (C91)	M	<5	<5	.	.	5 (1-19)	.	112 (37-337)	109 (81-153)	.	.	n.c.	1
Leucemia linfoide (acuta e cronica) (C91)	M + F	6	3	.	.	8 (3-74)	.	198 (102-383)	113 (94-144)	↑	.	→	3 😊
Leucemia mieloide (acuta e cronica) (C92)	F	<5	<5	.	.	5 (1-133)	.	120 (40-362)	102 (72-141)	.	.	n.c.	1
Leucemia mieloide (acuta e cronica) (C92)	M	0	2	.	.	0 (0-12)	.	0 (-.-)	84 (49-118)	.	.	n.c.	1
Leucemia mieloide (acuta e cronica) (C92)	M + F	<5	<5	.	.	3 (0-69)	.	55 (18-167)	92 (65-123)	.	.	n.c.	1
Malattie del sangue e degli organi emopoietici (D50-D77)	F	<5	<5	.	.	3 (0-132)	.	46 (10-205)	100 (63-141)	.	.	n.c.	1
Malattie del sangue e degli organi emopoietici (D50-D77)	M	0	1	.	.	0 (0-12)	.	0 (-.-)	94 (66-123)	.	.	n.c.	1
Malattie del sangue e degli organi emopoietici (D50-D77)	M + F	<5	<5	.	.	2 (0-68)	.	28 (6-124)	99 (70-123)	.	.	n.c.	1
Malattie endocrine, della nutrizione ed immunitarie (E00-E90, D80-D89)	F	12	15	.	.	74 (19-232)	.	81 (51-130)	92 (71-114)	.	.	n.c.	1
Malattie endocrine, della nutrizione ed immunitarie (E00-E90, D80-D89)	M	8	14	.	.	22 (11-41)	.	57 (32-101)	90 (69-114)	.	.	→	1
Malattie endocrine, della nutrizione ed immunitarie (E00-E90, D80-D89)	M + F	20	29	.	.	49 (18-130)	.	69 (48-100)	88 (71-107)	↓	.	→	0 😊



Tabella 21A - Sant'Elpidio a Mare	Genere	Osservati	Attesi	Cluster sign.	SIR cluster	Tasso std. * 100000 (ic)	Tasso std. > Tasso reg.	SIR (ic)	BIR (ic)	SIR sign.	BIR sign.	Trend	Livello attenzione
Causa (ICD-IX)													
Tireotossicosi (E05)	F	0	0	.	.	0 (0-128)	.	0 (.-.)	102 (37-229)	.	.	n.c.	1
Tireotossicosi (E05)	M	0	0	.	.	0 (0-12)	.	0 (.-.)	68 (0-258)	.	.	n.c.	1
Tireotossicosi (E05)	M + F	0	0	.	.	0 (0-67)	.	0 (.-.)	100 (27-201)	.	.	n.c.	1
Ipotiroidismo (E00-E03)	F	0	0	.	.	0 (0-128)	.	0 (.-.)	79 (20-198)	.	.	n.c.	1
Ipotiroidismo (E00-E03)	M	0	0	.	.	0 (0-12)	.	0 (.-.)	59 (11-163)	.	.	n.c.	1
Ipotiroidismo (E00-E03)	M + F	0	0	.	.	0 (0-67)	.	0 (.-.)	85 (28-162)	.	.	n.c.	1
Diabete mellito (E10-E14)	F	7	11	.	.	21 (10-148)	.	65 (35-120)	90 (67-117)	.	.	n.c.	1
Diabete mellito (E10-E14)	M	6	11	.	.	16 (7-34)	.	57 (29-110)	88 (63-116)	.	.	n.c.	1
Diabete mellito (E10-E14)	M + F	13	21	.	.	18 (11-84)	.	61 (39-96)	84 (65-106)	↓	.	↓	0 
Demenze (F00-F01, F020-F023, F03, G30, G310)	F	30	22	.	.	92 (65-218)	.	134 (100-181)	112 (87-144)	.	.	→	1
Demenze (F00-F01, F020-F023, F03, G30, G310)	M	10	13	.	.	29 (16-51)	.	77 (46-129)	87 (64-118)	.	.	n.c.	1
Demenze (F00-F01, F020-F023, F03, G30, G310)	M + F	40	35	.	.	61 (46-127)	.	113 (88-147)	103 (83-129)	.	.	→	1
Malattie neuro-psichiatriche (escluse tossicod.) (F00-F09, F20-F99)	F	16	12	.	.	51 (32-177)	.	132 (88-199)	107 (74-152)	.	.	n.c.	1
Malattie neuro-psichiatriche (escluse tossicod.) (F00-F09, F20-F99)	M	6	7	.	.	19 (8-38)	.	85 (44-164)	82 (53-125)	.	.	n.c.	1
Malattie neuro-psichiatriche (escluse tossicod.) (F00-F09, F20-F99)	M + F	22	19	.	.	35 (24-101)	.	115 (81-163)	99 (72-132)	.	.	n.c.	1
Malattie del sistema nervoso e degli organi di senso (G00-H95)	F	28	20	.	.	82 (58-208)	↑	138 (101-188)	117 (95-147)	↑	.	→	3 

Tabella 21A - Sant'Elpidio a Mare	Genere	Osservati	Attesi	Cluster sign.	SIR cluster	Tasso std. * 100000 (ic)	Tasso std. > Tasso reg.	SIR (ic)	BIR (ic)	SIR sign.	BIR sign.	Trend	Livello attenzione
Causa (ICD-IX)													
Malattie del sistema nervoso e degli organi di senso (G00-H95)	M	16	16	.	.	43 (27-67)	.	98 (65-147)	105 (84-129)	.	.	→	1
Malattie del sistema nervoso e degli organi di senso (G00-H95)	M + F	44	37	.	.	63 (48-129)	.	120 (94-154)	113 (96-135)	.	.	→	1
Morbo di Parkinson (G20)	F	<5	<5	.	.	10 (3-138)	.	116 (46-290)	103 (73-146)	.	.	n.c.	1
Morbo di Parkinson (G20)	M	>5	<5	.	.	17 (7-35)	.	174 (90-336)	107 (84-149)	.	.	n.c.	1
Morbo di Parkinson (G20)	M + F	9	6	.	.	13 (7-79)	.	149 (87-256)	111 (87-147)	.	.	→	1
Malattia di Alzheimer (G30)	F	>5	>5	.	.	46 (28-172)	.	147 (97-220)	119 (86-163)	.	.	→	1
Malattia di Alzheimer (G30)	M	<5	>5	.	.	11 (4-27)	.	62 (28-139)	89 (57-129)	.	.	n.c.	1
Malattia di Alzheimer (G30)	M + F	20	17	.	.	29 (19-94)	.	115 (80-166)	109 (84-145)	.	.	→	1
Epilessia (G40)	F	0	1	.	.	0 (0-128)	.	0 (.-.)	107 (60-163)	.	.	n.c.	1
Epilessia (G40)	M	<5	<5	.	.	2 (0-15)	.	162 (36-725)	100 (60-161)	.	.	n.c.	1
Epilessia (G40)	M + F	<5	<5	.	.	1 (0-68)	.	76 (17-339)	105 (61-162)	.	.	n.c.	1
Malattia dei neuroni motori (G122)	F	<5	<5	.	.	2 (0-131)	.	71 (16-318)	75 (30-168)	.	.	n.c.	1
Malattia dei neuroni motori (G122)	M	0	2	.	.	0 (0-12)	.	0 (.-.)	81 (42-132)	.	.	n.c.	1
Malattia dei neuroni motori (G122)	M + F	<5	<5	.	.	1 (0-68)	.	33 (7-150)	67 (33-126)	.	.	n.c.	1
Sclerosi multipla (G35)	F	<5	<5	.	.	5 (1-133)	.	519 (172-1569)	111 (68-188)	↑	.	n.c.	3 🙄
Sclerosi multipla (G35)	M	0	0	.	.	0 (0-12)	.	0 (.-.)	80 (11-201)	.	.	n.c.	1

Tabella 21A - Sant'Elpidio a Mare	Genere	Osservati	Attesi	Cluster sign.	SIR cluster	Tasso std. * 100000 (ic)	Tasso std. > Tasso reg.	SIR (ic)	BIR (ic)	SIR sign.	BIR sign.	Trend	Livello attenzione
Causa (ICD-IX)													
Sclerosi multipla (G35)	M + F	<5	<5	.	.	3 (0-69)	.	331 (110-1002)	106 (71-166)	↑	.	n.c.	3 ☹️
Neuropatie tossiche e infiammatorie non specificate (G619, G629)	F	0	0	.	.	0 (0-128)	.	0 (.-)	56 (4-256)	.	.	n.c.	1
Neuropatie tossiche e infiammatorie non specificate (G619, G629)	M	0	0	.	.	0 (0-12)	.	0 (.-)	42 (7-146)	.	.	n.c.	1
Neuropatie tossiche e infiammatorie non specificate (G619, G629)	M + F	0	0	.	.	0 (0-67)	.	0 (.-)	53 (9-143)	.	.	n.c.	1
Malattie dell'apparato circolatorio (I00-I99)	F	152	142	2	110	577 (447-781)	↑	107 (94-123)	104 (95-114)	.	.	→	2 😊
Malattie dell'apparato circolatorio (I00-I99)	M	132	137	.	.	374 (322-434)	.	96 (84-111)	99 (90-109)	.	.	→	1
Malattie dell'apparato circolatorio (I00-I99)	M + F	284	279	1	110	479 (406-588)	.	102 (92-112)	102 (94-110)	.	.	→	1
Malattia ipertensiva (I10-I15)	F	11	16	.	.	32 (18-159)	.	71 (43-116)	78 (55-108)	.	.	→	1
Malattia ipertensiva (I10-I15)	M	9	11	.	.	26 (13-47)	.	83 (48-143)	87 (57-128)	.	.	n.c.	1
Malattia ipertensiva (I10-I15)	M + F	20	26	.	.	29 (19-94)	.	76 (53-109)	80 (58-107)	.	.	→	1
Malattie ischemiche del cuore (I20-I25)	F	57	47	.	.	174 (137-303)	.	122 (98-152)	110 (92-131)	.	.	→	1
Malattie ischemiche del cuore (I20-I25)	M	46	56	.	.	127 (97-164)	.	83 (65-106)	91 (77-105)	.	.	→	1
Malattie ischemiche del cuore (I20-I25)	M + F	103	102	.	.	151 (127-220)	.	101 (86-119)	99 (86-114)	.	.	→	1
Infarto miocardico acuto (I21-I22)	F	12	14	.	.	35 (20-162)	.	87 (54-140)	87 (61-122)	.	.	n.c.	1
Infarto miocardico acuto (I21-I22)	M	23	20	.	.	61 (41-88)	.	113 (81-160)	104 (80-135)	.	.	→	1
Infarto miocardico acuto (I21-I22)	M + F	35	34	.	.	48 (35-113)	.	103 (78-136)	99 (77-124)	.	.	→	1

Tabella 21A - Sant'Elpidio a Mare	Genere	Osservati	Attesi	Cluster sign.	SIR cluster	Tasso std. * 100000 (ic)	Tasso std. > Tasso reg.	SIR (ic)	BIR (ic)	SIR sign.	BIR sign.	Trend	Livello attenzione
Causa (ICD-IX)													
Malattie cerebrovascolari (I60-I69)	F	50	40	2	127	192 (121-350)	↑	126 (100-158)	120 (101-142)	·	↑	↓	3 😞
Malattie cerebrovascolari (I60-I69)	M	35	35	·	·	97 (71-130)	·	100 (75-131)	108 (90-129)	·	·	→	1 😐
Malattie cerebrovascolari (I60-I69)	M + F	85	75	2	125	146 (106-228)	·	113 (95-135)	115 (99-132)	·	·	↓	1 😐
Malattie dell'apparato respiratorio (J00-J99)	F	21	20	·	·	68 (45-194)	·	106 (74-151)	90 (72-113)	·	·	→	1 😐
Malattie dell'apparato respiratorio (J00-J99)	M	27	29	·	·	83 (58-116)	·	92 (67-126)	94 (78-113)	·	·	→	1 😐
Malattie dell'apparato respiratorio (J00-J99)	M + F	48	49	·	·	75 (58-141)	·	98 (77-124)	92 (78-110)	·	·	→	1 😐
Malattie respiratorie acute (J00-J06, J10-J18, J20-J22)	F	>5	>5	·	·	15 (6-143)	·	88 (43-181)	83 (53-126)	·	·	n.c.	1 😐
Malattie respiratorie acute (J00-J06, J10-J18, J20-J22)	M	<5	>5	·	·	9 (2-26)	·	48 (19-121)	67 (37-113)	·	·	n.c.	1 😐
Malattie respiratorie acute (J00-J06, J10-J18, J20-J22)	M + F	8	12	·	·	12 (6-78)	·	67 (38-120)	68 (45-100)	·	↓	n.c.	0 😊
Malattie croniche dell'apparato respiratorio (BCPO) (J41-J44, J47)	F	8	8	·	·	27 (13-155)	·	99 (56-176)	89 (62-126)	·	·	n.c.	1 😐
Malattie croniche dell'apparato respiratorio (BCPO) (J41-J44, J47)	M	14	16	·	·	43 (26-69)	·	89 (58-138)	96 (75-119)	·	·	→	1 😐
Malattie croniche dell'apparato respiratorio (BCPO) (J41-J44, J47)	M + F	22	24	·	·	35 (24-100)	·	93 (65-131)	93 (73-117)	·	·	→	1 😐
Asma (J45)	F	<5	<5	·	·	3 (0-131)	·	392 (88-1758)	98 (43-238)	·	·	n.c.	1 😐
Asma (J45)	M	0	0	·	·	0 (0-12)	·	0 (-.)	74 (19-170)	·	·	n.c.	1 😐
Asma (J45)	M + F	<5	<5	·	·	1 (0-68)	·	227 (51-1018)	90 (54-160)	·	·	n.c.	1 😐
Pneumoconiosi (J60-J64)	M	0	0	·	·	0 (0-12)	·	0 (-.)	15 (3-62)	·	↓	n.c.	0 😊



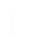




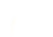







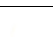
Tabella 21A - Sant'Elpidio a Mare	Genere	Osservati	Attesi	Cluster sign.	SIR cluster	Tasso std. * 100000 (ic)	Tasso std. > Tasso reg.	SIR (ic)	BIR (ic)	SIR sign.	BIR sign.	Trend	Livello attenzione
Causa (ICD-IX)													
Pneumoconiosi (J60-J64)	M + F	0	0	.	.	0 (0-67)	.	0 (.-.)	15 (3-62)	.	↓	n.c.	0 
Malattie dell'apparato digerente (K00-K93)	F	21	13	.	.	63 (42-189)	↑	157 (110-224)	108 (95-130)	↑	.	→	3 
Malattie dell'apparato digerente (K00-K93)	M	19	14	.	.	52 (34-78)	.	134 (92-196)	104 (90-125)	.	.	n.c.	1 
Malattie dell'apparato digerente (K00-K93)	M + F	40	28	.	.	57 (43-123)	↑	145 (112-188)	112 (97-134)	↑	.	→	3 
Cirrosi e altre malattie croniche del fegato (K70, K73-K74)	F	5	2	.	.	13 (5-140)	.	228 (111-468)	120 (84-199)	↑	.	n.c.	3 
Cirrosi e altre malattie croniche del fegato (K70, K73-K74)	M	6	4	.	.	15 (6-32)	.	140 (72-271)	97 (80-122)	.	.	n.c.	1 
Cirrosi e altre malattie croniche del fegato (K70, K73-K74)	M + F	11	7	.	.	14 (8-79)	↑	170 (104-278)	106 (86-142)	↑	.	n.c.	3 
Nefropatie croniche e acute (N00-N12)	F	0	0	.	.	0 (0-128)	.	0 (.-.)	85 (40-170)	.	.	n.c.	1 
Nefropatie croniche e acute (N00-N12)	M	<5	<5	.	.	3 (0-16)	.	1553 (346-6960)	58 (19-166)	↑	.	n.c.	1 
Nefropatie croniche e acute (N00-N12)	M + F	<5	<5	.	.	1 (0-68)	.	642 (143-2876)	95 (34-304)	↑	.	n.c.	1 
Malattie dell'apparato genito-urinario (N00-N99)	F	<5	>5	.	.	13 (4-141)	.	57 (26-128)	95 (69-127)	.	.	n.c.	1 
Malattie dell'apparato genito-urinario (N00-N99)	M	>5	>5	2	154	47 (30-73)	↑	241 (162-359)	144 (104-207)	↑	↑	→	5 
Malattie dell'apparato genito-urinario (N00-N99)	M + F	21	14	2	140	30 (20-95)	.	150 (105-214)	120 (95-153)	↑	.	→	3 
Insufficienza renale acuta e cronica (N17-N19)	F	<5	>5	.	.	13 (4-141)	.	69 (31-154)	101 (71-132)	.	.	n.c.	1 
Insufficienza renale acuta e cronica (N17-N19)	M	>5	>5	.	.	35 (20-58)	↑	211 (132-339)	123 (90-177)	↑	.	n.c.	3 
Insufficienza renale acuta e cronica (N17-N19)	M + F	16	12	.	.	24 (15-89)	.	139 (93-210)	115 (89-148)	.	.	n.c.	1 


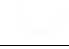
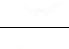
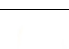

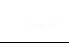
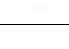
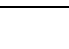

Tabella 21A - Sant'Elpidio a Mare	Genere	Osservati	Attesi	Cluster sign.	SIR cluster	Tasso std. * 100000 (ic)	Tasso std. > Tasso reg.	SIR (ic)	BIR (ic)	SIR sign.	BIR sign.	Trend	Livello attenzione
Causa (ICD-IX)													
Malformazioni congenite (Q00-Q99)	F	<5	<5	.	.	6 (2-134)	.	274 (109-685)	185 (75-410)	↑	.	n.c.	3 
Malformazioni congenite (Q00-Q99)	M	<5	<5	.	.	2 (0-15)	.	109 (24-490)	91 (29-231)	.	.	n.c.	1 
Malformazioni congenite (Q00-Q99)	M + F	<5	<5	.	.	5 (2-71)	.	199 (89-443)	155 (72-306)	.	.	n.c.	1 
Sintomi, segni e stati morbosi mal definiti (R00-R99)	F	<5	<5	.	.	14 (5-142)	.	131 (59-291)	83 (36-170)	.	.	n.c.	1 
Sintomi, segni e stati morbosi mal definiti (R00-R99)	M	<5	<5	.	.	6 (1-21)	.	99 (33-299)	73 (29-160)	.	.	n.c.	1 
Sintomi, segni e stati morbosi mal definiti (R00-R99)	M + F	6	5	.	.	10 (4-76)	.	118 (61-228)	84 (41-151)	.	.	n.c.	1 
Traumatismi e avvelenamenti (S00-T98)	F	15	13	2	131	42 (26-168)	.	118 (78-181)	111 (84-144)	.	.	→	1 
Traumatismi e avvelenamenti (S00-T98)	M	22	21	.	.	57 (38-84)	.	107 (76-152)	98 (85-114)	.	.	n.c.	1 
Traumatismi e avvelenamenti (S00-T98)	M + F	37	33	.	.	49 (37-114)	.	112 (85-146)	104 (89-122)	.	.	→	1 

Tabella 22A. Decessi per causa nel comune di Sirolo, tutte le età, periodo di osservazione 2009-2013

Tabella 22A - Sirolo	Genere	Osservati	Attesi	Cluster sign.	SIR cluster	Tasso std. * 100000 (ic)	Tasso std. > Tasso reg.	SIR (ic)	BIR (ic)	SIR sign.	BIR sign.	Trend	Livello attenzione
Causa (ICD-IX)													
Mortalità generale (escluse cause violente) (A00-R99)	F	109	96	.	.	1077 (911-1271)	.	114 (97-134)	102 (95-111)	.	.	→	1
Mortalità generale (escluse cause violente) (A00-R99)	M	87	96	.	.	884 (733-1061)	.	90 (76-108)	96 (87-105)	.	.	→	1
Mortalità generale (escluse cause violente) (A00-R99)	M + F	196	192	.	.	983 (869-1110)	.	102 (91-115)	100 (93-108)	.	.	→	1
Mortalità per cause esterne o violente (S00-Y99)	F	<5	<5	.	.	22 (4-76)	.	58 (19-175)	96 (68-133)	.	.	n.c.	1
Mortalità per cause esterne o violente (S00-Y99)	M	>5	>5	.	.	46 (18-105)	.	95 (46-195)	101 (85-119)	.	.	n.c.	1
Mortalità per cause esterne o violente (S00-Y99)	M + F	7	9	.	.	34 (16-68)	.	80 (44-148)	99 (82-120)	.	.	n.c.	1
Malattie infettive (A00-B99)	F	0	2	.	.	0 (0-43)	.	0 (-.)	80 (51-117)	.	.	n.c.	1
Malattie infettive (A00-B99)	M	0	2	.	.	0 (0-40)	.	0 (-.)	93 (69-118)	.	.	n.c.	1
Malattie infettive (A00-B99)	M + F	0	3	.	.	0 (0-22)	.	0 (-.)	82 (58-112)	.	.	n.c.	1
Epatite virale (B17-B19)	F	0	0	.	.	0 (0-43)	.	0 (-.)	74 (43-120)	.	.	n.c.	1
Epatite virale (B17-B19)	M	0	0	.	.	0 (0-40)	.	0 (-.)	84 (41-142)	.	.	n.c.	1
Epatite virale (B17-B19)	M + F	0	1	.	.	0 (0-22)	.	0 (-.)	83 (55-113)	.	.	n.c.	1
Tutti i tumori (C00-D48)	F	31	24	.	.	299 (216-410)	.	127 (95-170)	98 (90-108)	.	.	→	1
Tutti i tumori (C00-D48)	M	32	32	.	.	333 (242-452)	.	101 (76-135)	97 (87-108)	.	.	→	1
Tutti i tumori (C00-D48)	M + F	63	56	.	.	316 (253-393)	.	112 (91-138)	99 (90-109)	.	.	→	1
Tumori maligni delle vie aeree e digestive superiori (C00-C15, C32)	F	0	0	.	.	0 (0-43)	.	0 (-.)	74 (50-106)	.	.	n.c.	1



Tabella 22A - Sirolo													
Causa (ICD-IX)	Genere	Osservati	Attesi	Cluster sign.	SIR cluster	Tasso std. * 100000 (ic)	Tasso std. > Tasso reg.	SIR (ic)	BIR (ic)	SIR sign.	BIR sign.	Trend	Livello attenzione
Tumori maligni delle vie aeree e digestive superiori (C00-C15, C32)	M	<5	<5	.	.	10 (1-57)	.	81 (18-364)	86 (56-128)	.	.	n.c.	1
Tumori maligni delle vie aeree e digestive superiori (C00-C15, C32)	M + F	<5	<5	.	.	5 (0-30)	.	67 (15-302)	83 (57-118)	.	.	n.c.	1
Tumori maligni (C00-C97)	F	31	23	.	.	299 (216-410)	.	133 (99-179)	99 (91-109)	.	.	→	1
Tumori maligni (C00-C97)	M	32	30	.	.	333 (242-452)	.	106 (79-141)	98 (89-109)	.	.	→	1
Tumori maligni (C00-C97)	M + F	63	54	.	.	316 (253-393)	.	118 (96-145)	100 (92-110)	.	.	→	1
Tumori maligni dell'esofago (C15)	F	0	0	.	.	0 (0-43)	.	0 (-.)	71 (25-151)	.	.	n.c.	1
Tumori maligni dell'esofago (C15)	M	<5	<5	.	.	10 (1-57)	.	280 (63-1256)	99 (55-178)	.	.	n.c.	1
Tumori maligni dell'esofago (C15)	M + F	<5	<5	.	.	5 (0-30)	.	235 (53-1056)	97 (48-197)	.	.	n.c.	1
Tumori maligni dello stomaco (C16)	F	<5	<5	.	.	18 (3-69)	.	100 (33-304)	96 (72-122)	.	.	n.c.	1
Tumori maligni dello stomaco (C16)	M	0	3	.	.	0 (0-40)	.	0 (-.)	86 (59-120)	.	.	n.c.	1
Tumori maligni dello stomaco (C16)	M + F	<5	>5	.	.	9 (2-35)	.	44 (14-132)	82 (61-108)	.	.	n.c.	1
Tumori maligni dell'intestino tenue, compreso il duodeno (C17)	F	0	0	.	.	0 (0-43)	.	0 (-.)	116 (27-321)	.	.	n.c.	1
Tumori maligni dell'intestino tenue, compreso il duodeno (C17)	M	0	0	.	.	0 (0-40)	.	0 (-.)	53 (15-143)	.	.	n.c.	1
Tumori maligni dell'intestino tenue, compreso il duodeno (C17)	M + F	0	0	.	.	0 (0-22)	.	0 (-.)	0 (0-0)	.	↓	n.c.	0 
Tumori maligni del colon (C18)	F	<5	<5	.	.	40 (14-100)	.	166 (75-370)	103 (82-131)	.	.	n.c.	1
Tumori maligni del colon (C18)	M	>5	<5	2	137	72 (34-141)	↑	239 (130-441)	117 (90-159)	↑	.	n.c.	3 

Tabella 22A - Sirolo	Genere	Osservati	Attesi	Cluster sign.	SIR cluster	Tasso std. * 100000 (ic)	Tasso std. > Tasso reg.	SIR (ic)	BIR (ic)	SIR sign.	BIR sign.	Trend	Livello attenzione
Causa (ICD-IX)													
Tumori maligni del colon (C18)	M + F	11	5	.	.	56 (31-96)	↑	206 (126-337)	119 (93-155)	↑	.	n.c.	3 ☹️
Tumori maligni del retto, della giunzione retto-sigmoidea e dell'ano (C19-C21)	F	0	1	.	.	0 (0-43)	.	0 (.-.)	98 (54-170)	.	.	n.c.	1
Tumori maligni del retto, della giunzione retto-sigmoidea e dell'ano (C19-C21)	M	<5	<5	.	.	11 (1-59)	.	97 (22-434)	84 (48-152)	.	.	n.c.	1
Tumori maligni del retto, della giunzione retto-sigmoidea e dell'ano (C19-C21)	M + F	<5	<5	.	.	5 (0-30)	.	59 (13-264)	95 (61-138)	.	.	n.c.	1
Tumore fegato e dotti biliari (C22)	F	<5	<5	.	.	10 (1-58)	.	139 (31-624)	104 (76-142)	.	.	n.c.	1
Tumore fegato e dotti biliari (C22)	M	<5	<5	.	.	33 (9-90)	.	262 (105-656)	103 (66-161)	↑	.	n.c.	3 ☹️
Tumore fegato e dotti biliari (C22)	M + F	<5	<5	.	.	21 (7-52)	.	215 (96-478)	110 (75-168)	.	.	n.c.	1
Tumori maligni del pancreas (C25)	F	<5	<5	.	.	38 (13-96)	.	220 (99-490)	102 (85-126)	.	.	n.c.	1
Tumori maligni del pancreas (C25)	M	<5	<5	.	.	19 (3-68)	.	111 (37-337)	99 (80-121)	.	.	n.c.	1
Tumori maligni del pancreas (C25)	M + F	6	4	.	.	29 (12-61)	.	166 (86-321)	101 (84-123)	.	.	n.c.	1
Tumore del retroperitoneo (C48)	F	0	0	.	.	0 (0-43)	.	0 (.-.)	103 (55-181)	.	.	n.c.	1
Tumore del retroperitoneo (C48)	M	0	0	.	.	0 (0-40)	.	0 (.-.)	62 (22-168)	.	.	n.c.	1
Tumore del retroperitoneo (C48)	M + F	0	0	.	.	0 (0-22)	.	0 (.-.)	87 (51-132)	.	.	n.c.	1
Tumori maligni della laringe (C32)	F	0	0	.	.	0 (0-43)	.	0 (.-.)	73 (21-186)	.	.	n.c.	1
Tumori maligni della laringe (C32)	M	0	0	.	.	0 (0-40)	.	0 (.-.)	84 (50-134)	.	.	n.c.	1
Tumori maligni della laringe (C32)	M + F	0	0	.	.	0 (0-22)	.	0 (.-.)	87 (51-137)	.	.	n.c.	1


Tabella 22A - Sirolo	Genere	Osservati	Attesi	Cluster sign.	SIR cluster	Tasso std. * 100000 (ic)	Tasso std. > Tasso reg.	SIR (ic)	BIR (ic)	SIR sign.	BIR sign.	Trend	Livello attenzione
Causa (ICD-IX)													
Tumori maligni della trachea, dei bronchi e dei polmoni (C33-C34)	F	7	2	.	.	70 (33-138)	↑	317 (172-585)	110 (79-176)	↑	.	n.c.	3 
Tumori maligni della trachea, dei bronchi e dei polmoni (C33-C34)	M	7	7	.	.	75 (35-145)	.	101 (55-186)	93 (76-113)	.	.	n.c.	1
Tumori maligni della trachea, dei bronchi e dei polmoni (C33-C34)	M + F	14	9	.	.	72 (43-116)	.	153 (99-237)	102 (85-126)	.	.	n.c.	1
Mesotelioma (pleura, peritoneo, endocardio, ecc.) (C45)	F	0	0	.	.	0 (0-43)	.	0 (.-.)	77 (30-152)	.	.	n.c.	1
Mesotelioma (pleura, peritoneo, endocardio, ecc.) (C45)	M	0	0	.	.	0 (0-40)	.	0 (.-.)	85 (25-247)	.	.	n.c.	1
Mesotelioma (pleura, peritoneo, endocardio, ecc.) (C45)	M + F	0	0	.	.	0 (0-22)	.	0 (.-.)	84 (35-175)	.	.	n.c.	1
Tumori maligni delle ossa e della cartilagine articolare (C40-C41)	F	0	0	.	.	0 (0-43)	.	0 (.-.)	56 (11-160)	.	.	n.c.	1
Tumori maligni delle ossa e della cartilagine articolare (C40-C41)	M	0	0	.	.	0 (0-40)	.	0 (.-.)	76 (17-224)	.	.	n.c.	1
Tumori maligni delle ossa e della cartilagine articolare (C40-C41)	M + F	0	0	.	.	0 (0-22)	.	0 (.-.)	74 (17-190)	.	.	n.c.	1
Tumori maligni del connettivo e di altri tessuti molli (C49)	F	0	0	.	.	0 (0-43)	.	0 (.-.)	85 (49-135)	.	.	n.c.	1
Tumori maligni del connettivo e di altri tessuti molli (C49)	M	0	0	.	.	0 (0-40)	.	0 (.-.)	108 (69-175)	.	.	n.c.	1
Tumori maligni del connettivo e di altri tessuti molli (C49)	M + F	0	0	.	.	0 (0-22)	.	0 (.-.)	100 (67-151)	.	.	n.c.	1
Melanoma maligno della pelle (C43)	F	0	0	.	.	0 (0-43)	.	0 (.-.)	102 (65-153)	.	.	n.c.	1
Melanoma maligno della pelle (C43)	M	0	0	.	.	0 (0-40)	.	0 (.-.)	102 (64-153)	.	.	n.c.	1
Melanoma maligno della pelle (C43)	M + F	0	1	.	.	0 (0-22)	.	0 (.-.)	105 (74-142)	.	.	n.c.	1
Tumori maligni della mammella (C50)	F	<5	<5	.	.	40 (14-99)	.	115 (52-257)	95 (77-119)	.	.	n.c.	1

Tabella 22A - Sirolo	Genere	Osservati	Attesi	Cluster sign.	SIR cluster	Tasso std. * 100000 (ic)	Tasso std. > Tasso reg.	SIR (ic)	BIR (ic)	SIR sign.	BIR sign.	Trend	Livello attenzione
Causa (ICD-IX)													
Tumori maligni della mammella (C50)	M + F	<5	<5	.	.	20 (7-51)	.	114 (51-255)	96 (76-121)	'	'	n.c.	1
Tumori maligni dell'utero (C53-C55)	F	<5	<5	.	.	21 (4-75)	.	200 (66-606)	110 (80-156)	'	'	n.c.	1
Tumori maligni del corpo dell'utero (C54)	F	0	0	.	.	0 (0-43)	.	0 (.-.)	111 (53-201)	'	'	n.c.	1
Tumori maligni dell'ovaio e degli altri annessi uterini (C56-C57)	F	<5	<5	.	.	19 (3-70)	.	200 (66-605)	97 (70-136)	'	'	n.c.	1
Tumore della prostata (C61)	M	<5	<5	.	.	19 (3-68)	.	75 (25-227)	98 (81-119)	'	'	n.c.	1
Tumore del testicolo (C62)	M	0	0	.	.	0 (0-40)	.	0 (.-.)	77 (13-288)	'	'	n.c.	1
Tumori maligni della vescica (C67)	F	0	0	.	.	0 (0-43)	.	0 (.-.)	82 (51-120)	'	'	n.c.	1
Tumori maligni della vescica (C67)	M	<5	<5	.	.	12 (1-59)	.	69 (15-308)	94 (72-117)	'	'	n.c.	1
Tumori maligni della vescica (C67)	M + F	<5	<5	.	.	6 (0-31)	.	57 (13-256)	96 (79-112)	'	'	n.c.	1
Tumori maligni del rene e di altri e non specificati organi urinari (C64-C66, C68)	F	0	1	.	.	0 (0-43)	.	0 (.-.)	90 (48-151)	'	'	n.c.	1
Tumori maligni del rene e di altri e non specificati organi urinari (C64-C66, C68)	M	<5	<5	.	.	10 (0-55)	.	85 (19-382)	112 (75-158)	'	'	n.c.	1
Tumori maligni del rene e di altri e non specificati organi urinari (C64-C66, C68)	M + F	<5	<5	.	.	5 (0-29)	.	58 (13-261)	105 (74-142)	'	'	n.c.	1
tumore del sistema nervoso centrale (C70-C72,D33)	F	0	1	.	.	0 (0-43)	.	0 (.-.)	100 (68-137)	'	'	n.c.	1
tumore del sistema nervoso centrale (C70-C72,D33)	M	<5	<5	.	.	11 (1-58)	.	145 (32-649)	89 (56-139)	'	'	n.c.	1
tumore del sistema nervoso centrale (C70-C72,D33)	M + F	<5	<5	.	.	5 (0-30)	.	79 (18-355)	94 (74-115)	'	'	n.c.	1
Tumori maligni dell'encefalo (C71)	F	0	1	.	.	0 (0-43)	.	0 (.-.)	104 (78-132)	'	'	n.c.	1

Tabella 22A - Sirolo													
Causa (ICD-IX)	Genere	Osservati	Attesi	Cluster sign.	SIR cluster	Tasso std. * 100000 (ic)	Tasso std. > Tasso reg.	SIR (ic)	BIR (ic)	SIR sign.	BIR sign.	Trend	Livello attenzione
Tumori maligni dell'encefalo (C71)	M	<5	<5	.	.	11 (1-58)	.	148 (33-662)	88 (59-136)	'	'	n.c.	1
Tumori maligni dell'encefalo (C71)	M + F	<5	<5	.	.	5 (0-30)	.	81 (18-363)	96 (79-114)	'	'	n.c.	1
Tumori maligni della ghiandola tiroide (C73)	F	0	0	.	.	0 (0-43)	.	0 (.-.)	52 (22-102)	'	'	n.c.	1
Tumori maligni della ghiandola tiroide (C73)	M	0	0	.	.	0 (0-40)	.	0 (.-.)	85 (46-142)	'	'	n.c.	1
Tumori maligni della ghiandola tiroide (C73)	M + F	0	0	.	.	0 (0-22)	.	0 (.-.)	69 (39-113)	'	'	n.c.	1
Tumori emolinfopoiетici (C81-C96)	F	<5	<5	.	.	27 (7-80)	.	132 (53-330)	98 (83-116)	'	'	n.c.	1
Tumori emolinfopoiетici (C81-C96)	M	<5	<5	.	.	23 (4-76)	.	78 (26-236)	95 (82-110)	'	'	n.c.	1
Tumori emolinfopoiетici (C81-C96)	M + F	5	5	.	.	25 (10-57)	.	103 (50-212)	97 (86-110)	'	'	n.c.	1
Malattia di Hodgkin (C81)	F	0	0	.	.	0 (0-43)	.	0 (.-.)	85 (22-276)	'	'	n.c.	1
Malattia di Hodgkin (C81)	M	0	0	.	.	0 (0-40)	.	0 (.-.)	78 (30-160)	'	'	n.c.	1
Malattia di Hodgkin (C81)	M + F	0	0	.	.	0 (0-22)	.	0 (.-.)	80 (33-168)	'	'	n.c.	1
Linfoma non Hodgkin (C82-C85)	F	0	1	.	.	0 (0-43)	.	0 (.-.)	105 (78-138)	'	'	n.c.	1
Linfoma non Hodgkin (C82-C85)	M	<5	<5	.	.	11 (1-59)	.	129 (29-577)	86 (69-107)	'	'	n.c.	1
Linfoma non Hodgkin (C82-C85)	M + F	<5	<5	.	.	5 (0-30)	.	64 (14-288)	95 (75-118)	'	'	n.c.	1
Mieloma multiplo e tumori immunoproliferativi (C88, C90)	F	<5	<5	.	.	9 (0-55)	.	172 (38-769)	91 (57-124)	'	'	n.c.	1
Mieloma multiplo e tumori immunoproliferativi (C88, C90)	M	0	1	.	.	0 (0-40)	.	0 (.-.)	92 (57-134)	'	'	n.c.	1





Tabella 22A - Sirolo	Genere	Osservati	Attesi	Cluster sign.	SIR cluster	Tasso std. * 100000 (ic)	Tasso std. > Tasso reg.	SIR (ic)	BIR (ic)	SIR sign.	BIR sign.	Trend	Livello attenzione
Causa (ICD-IX)													
Mieloma multiplo e tumori immunoproliferativi (C88, C90)	M + F	<5	<5	.	.	4 (0-28)	.	82 (18-367)	86 (53-125)	.	.	n.c.	1
Leucemie (C91-C95)	F	<5	<5	.	.	18 (3-69)	.	240 (80-726)	97 (71-145)	.	.	n.c.	1
Leucemie (C91-C95)	M	<5	<5	.	.	12 (1-59)	.	95 (21-425)	101 (70-154)	.	.	n.c.	1
Leucemie (C91-C95)	M + F	<5	<5	.	.	15 (4-43)	.	159 (64-398)	99 (82-129)	.	.	n.c.	1
Leucemia linfoide (acuta e cronica) (C91)	F	0	0	.	.	0 (0-43)	.	0 (-.)	67 (44-99)	.	↓	n.c.	0 
Leucemia linfoide (acuta e cronica) (C91)	M	<5	<5	.	.	12 (1-59)	.	293 (65-1312)	84 (58-135)	.	.	n.c.	1
Leucemia linfoide (acuta e cronica) (C91)	M + F	<5	<5	.	.	6 (0-31)	.	190 (42-852)	79 (60-102)	.	.	n.c.	1
Leucemia mieloide (acuta e cronica) (C92)	F	<5	<5	.	.	9 (0-57)	.	239 (53-1073)	100 (68-148)	.	.	n.c.	1
Leucemia mieloide (acuta e cronica) (C92)	M	0	1	.	.	0 (0-40)	.	0 (-.)	110 (70-184)	.	.	n.c.	1
Leucemia mieloide (acuta e cronica) (C92)	M + F	<5	<5	.	.	5 (0-29)	.	105 (23-470)	113 (79-169)	.	.	n.c.	1
Malattie del sangue e degli organi emopoietici (D50-D77)	F	<5	<5	.	.	21 (4-75)	.	436 (144-1316)	96 (64-199)	↑	.	n.c.	3 
Malattie del sangue e degli organi emopoietici (D50-D77)	M	<5	<5	.	.	33 (9-91)	↑	723 (289-1809)	106 (75-160)	↑	.	n.c.	3 
Malattie del sangue e degli organi emopoietici (D50-D77)	M + F	5	1	.	.	27 (11-61)	↑	572 (278-1175)	102 (78-165)	↑	.	n.c.	3 
Malattie endocrine, della nutrizione ed immunitarie (E00-E90, D80-D89)	F	>5	<5	.	.	72 (33-144)	.	158 (86-292)	109 (82-145)	.	.	n.c.	1
Malattie endocrine, della nutrizione ed immunitarie (E00-E90, D80-D89)	M	<5	<5	.	.	41 (14-100)	.	113 (51-252)	107 (77-147)	.	.	n.c.	1
Malattie endocrine, della nutrizione ed immunitarie (E00-E90, D80-D89)	M + F	11	8	.	.	57 (32-98)	.	138 (85-226)	112 (85-148)	.	.	n.c.	1

Tabella 22A - Sirolo	Genere	Osservati	Attesi	Cluster sign.	SIR cluster	Tasso std. * 100000 (ic)	Tasso std. > Tasso reg.	SIR (ic)	BIR (ic)	SIR sign.	BIR sign.	Trend	Livello attenzione
Causa (ICD-IX)													
Tireotossicosi (E05)	F	0	0	.	.	0 (0-43)	.	0 (.-.)	56 (14-169)	'	'	n.c.	1
Tireotossicosi (E05)	M	0	0	.	.	0 (0-40)	.	0 (.-.)	29 (0-186)	'	'	n.c.	1
Tireotossicosi (E05)	M + F	0	0	.	.	0 (0-22)	.	0 (.-.)	57 (13-151)	'	'	n.c.	1
Ipotiroidismo (E00-E03)	F	0	0	.	.	0 (0-43)	.	0 (.-.)	90 (21-248)	'	'	n.c.	1
Ipotiroidismo (E00-E03)	M	0	0	.	.	0 (0-40)	.	0 (.-.)	101 (20-278)	'	'	n.c.	1
Ipotiroidismo (E00-E03)	M + F	0	0	.	.	0 (0-22)	.	0 (.-.)	102 (31-220)	'	'	n.c.	1
Diabete mellito (E10-E14)	F	>5	<5	.	.	61 (26-129)	.	185 (95-357)	109 (79-153)	'	'	n.c.	1
Diabete mellito (E10-E14)	M	<5	<5	.	.	23 (4-76)	.	77 (26-234)	103 (69-147)	'	'	n.c.	1
Diabete mellito (E10-E14)	M + F	8	6	.	.	42 (21-80)	.	137 (77-243)	109 (80-151)	'	'	n.c.	1
Demenze (F00-F01, F020-F023, F03, G30, G310)	F	>5	>5	.	.	80 (39-152)	.	116 (65-206)	105 (71-153)	'	'	n.c.	1
Demenze (F00-F01, F020-F023, F03, G30, G310)	M	<5	<5	.	.	29 (8-84)	.	77 (31-193)	106 (69-157)	'	'	n.c.	1
Demenze (F00-F01, F020-F023, F03, G30, G310)	M + F	11	11	1	129	55 (31-96)	.	102 (62-167)	104 (74-145)	'	'	n.c.	1
Malattie neuro-psichiatriche (escluse tossicod.) (F00-F09, F20-F99)	F	>5	<5	.	.	50 (19-114)	.	117 (57-241)	96 (54-165)	'	'	n.c.	1
Malattie neuro-psichiatriche (escluse tossicod.) (F00-F09, F20-F99)	M	<5	<5	.	.	9 (0-55)	.	39 (9-175)	76 (40-136)	'	'	n.c.	1
Malattie neuro-psichiatriche (escluse tossicod.) (F00-F09, F20-F99)	M + F	6	7	.	.	30 (13-64)	.	88 (46-170)	85 (52-137)	'	'	n.c.	1
Malattie del sistema nervoso e degli organi di senso (G00-H95)	F	6	5	2	137	58 (25-122)	.	122 (63-236)	110 (81-148)	'	'	n.c.	1

Tabella 22A - Sirolo													
Causa (ICD-IX)	Genere	Osservati	Attesi	Cluster sign.	SIR cluster	Tasso std. * 100000 (ic)	Tasso std. > Tasso reg.	SIR (ic)	BIR (ic)	SIR sign.	BIR sign.	Trend	Livello attenzione
Malattie del sistema nervoso e degli organi di senso (G00-H95)	M	5	4	2	141	51 (20-114)	.	129 (63-265)	115 (87-154)	.	.	n.c.	1
Malattie del sistema nervoso e degli organi di senso (G00-H95)	M + F	11	9	2	139	54 (30-94)	.	125 (77-205)	115 (90-146)	.	.	→	1
Morbo di Parkinson (G20)	F	0	1	.	.	0 (0-43)	.	0 (-.)	102 (63-149)	.	.	n.c.	1
Morbo di Parkinson (G20)	M	<5	<5	.	.	22 (4-74)	.	246 (81-743)	96 (70-137)	.	.	n.c.	1
Morbo di Parkinson (G20)	M + F	<5	<5	.	.	11 (2-38)	.	123 (41-373)	101 (74-139)	.	.	n.c.	1
Malattia di Alzheimer (G30)	F	<5	<5	2	167	39 (13-98)	.	144 (65-320)	127 (79-198)	.	.	n.c.	1
Malattia di Alzheimer (G30)	M	<5	<5	2	187	20 (4-71)	.	134 (44-405)	125 (72-213)	.	.	n.c.	1
Malattia di Alzheimer (G30)	M + F	6	4	2	173	30 (13-63)	.	140 (73-271)	133 (89-196)	.	.	n.c.	1
Epilessia (G40)	F	0	0	.	.	0 (0-43)	.	0 (-.)	69 (35-127)	.	.	n.c.	1
Epilessia (G40)	M	0	0	.	.	0 (0-40)	.	0 (-.)	97 (52-160)	.	.	n.c.	1
Epilessia (G40)	M + F	0	0	.	.	0 (0-22)	.	0 (-.)	84 (45-145)	.	.	n.c.	1
Malattia dei neuroni motori (G122)	F	0	0	.	.	0 (0-43)	.	0 (-.)	85 (25-242)	.	.	n.c.	1
Malattia dei neuroni motori (G122)	M	<5	<5	.	.	10 (0-55)	.	287 (64-1288)	110 (58-207)	.	.	n.c.	1
Malattia dei neuroni motori (G122)	M + F	<5	<5	.	.	5 (0-29)	.	145 (32-650)	103 (42-230)	.	.	n.c.	1
Sclerosi multipla (G35)	F	0	0	.	.	0 (0-43)	.	0 (-.)	71 (33-135)	.	.	n.c.	1
Sclerosi multipla (G35)	M	0	0	.	.	0 (0-40)	.	0 (-.)	54 (7-175)	.	.	n.c.	1





Tabella 22A - Sirolo	Genere	Osservati	Attesi	Cluster sign.	SIR cluster	Tasso std. * 100000 (ic)	Tasso std. > Tasso reg.	SIR (ic)	BIR (ic)	SIR sign.	BIR sign.	Trend	Livello attenzione
Causa (ICD-IX)													
Sclerosi multipla (G35)	M + F	0	0	.	.	0 (0-22)	.	0 (.-.)	69 (37-119)	,	,	n.c.	1
Neuropatie tossiche e infiammatorie non specificate (G619, G629)	F	0	0	.	.	0 (0-43)	.	0 (.-.)	13 (0-128)	,	,	n.c.	1
Neuropatie tossiche e infiammatorie non specificate (G619, G629)	M	0	0	.	.	0 (0-40)	.	0 (.-.)	122 (24-380)	,	,	n.c.	1
Neuropatie tossiche e infiammatorie non specificate (G619, G629)	M + F	0	0	.	.	0 (0-22)	.	0 (.-.)	79 (14-258)	,	,	n.c.	1
Malattie dell'apparato circolatorio (I00-I99)	F	42	42	.	.	420 (317-552)	.	100 (78-129)	101 (90-113)	,	,	→	1
Malattie dell'apparato circolatorio (I00-I99)	M	25	37	.	.	245 (170-349)	.	68 (49-94)	94 (82-105)	↓	,	→	0 
Malattie dell'apparato circolatorio (I00-I99)	M + F	67	79	.	.	335 (269-414)	.	85 (70-104)	95 (85-105)	,	,	↓	0 
Malattia ipertensiva (I10-I15)	F	7	4	.	.	70 (32-140)	.	161 (87-297)	115 (73-177)	,	,	n.c.	1
Malattia ipertensiva (I10-I15)	M	0	3	.	.	0 (0-40)	.	0 (.-.)	69 (38-116)	,	,	n.c.	1
Malattia ipertensiva (I10-I15)	M + F	7	7	.	.	36 (17-72)	.	95 (51-175)	96 (62-143)	,	,	n.c.	1
Malattie ischemiche del cuore (I20-I25)	F	13	14	.	.	126 (74-208)	.	92 (58-145)	99 (77-129)	,	,	↓	0 
Malattie ischemiche del cuore (I20-I25)	M	9	15	.	.	91 (47-165)	.	60 (35-104)	89 (70-111)	,	,	n.c.	1
Malattie ischemiche del cuore (I20-I25)	M + F	22	29	.	.	109 (74-160)	.	76 (53-107)	90 (71-111)	,	,	↓	0 
Infarto miocardico acuto (I21-I22)	F	>5	<5	.	.	69 (32-138)	.	172 (93-317)	126 (80-193)	,	,	→	1
Infarto miocardico acuto (I21-I22)	M	<5	>5	.	.	32 (9-88)	.	61 (24-153)	75 (50-114)	,	,	n.c.	1
Infarto miocardico acuto (I21-I22)	M + F	10	9	.	.	51 (27-90)	.	111 (67-186)	100 (67-144)	,	,	→	1

Tabella 22A - Sirolo	Genere	Osservati	Attesi	Cluster sign.	SIR cluster	Tasso std. * 100000 (ic)	Tasso std. > Tasso reg.	SIR (ic)	BIR (ic)	SIR sign.	BIR sign.	Trend	Livello attenzione
Causa (ICD-IX)													
Malattie cerebrovascolari (I60-I69)	F	10	11	.	.	101 (55-179)	.	89 (53-149)	92 (73-117)	'	'	n.c.	1
Malattie cerebrovascolari (I60-I69)	M	7	9	.	.	68 (31-134)	.	74 (40-137)	90 (69-115)	'	'	n.c.	1
Malattie cerebrovascolari (I60-I69)	M + F	17	21	.	.	85 (54-131)	.	82 (55-122)	89 (71-110)	'	'	→	1
Malattie dell'apparato respiratorio (J00-J99)	F	6	6	.	.	58 (25-122)	.	105 (54-203)	87 (64-117)	'	'	n.c.	1
Malattie dell'apparato respiratorio (J00-J99)	M	9	8	.	.	96 (50-172)	.	109 (64-188)	92 (72-118)	'	'	n.c.	1
Malattie dell'apparato respiratorio (J00-J99)	M + F	15	14	.	.	76 (47-121)	.	108 (71-164)	89 (70-114)	'	'	→	1
Malattie respiratorie acute (J00-J06, J10-J18, J20-J22)	F	<5	<5	.	.	29 (8-85)	.	174 (70-435)	109 (67-175)	'	'	n.c.	1
Malattie respiratorie acute (J00-J06, J10-J18, J20-J22)	M	<5	<5	.	.	20 (4-72)	.	111 (37-335)	96 (50-182)	'	'	n.c.	1
Malattie respiratorie acute (J00-J06, J10-J18, J20-J22)	M + F	5	4	.	.	25 (10-57)	.	142 (69-291)	107 (65-173)	'	'	n.c.	1
Malattie croniche dell'apparato respiratorio (BCPO) (J41-J44, J47)	F	<5	<5	.	.	28 (8-83)	.	135 (54-339)	83 (51-135)	'	'	n.c.	1
Malattie croniche dell'apparato respiratorio (BCPO) (J41-J44, J47)	M	<5	<5	.	.	46 (16-108)	.	94 (42-210)	86 (62-116)	'	'	n.c.	1
Malattie croniche dell'apparato respiratorio (BCPO) (J41-J44, J47)	M + F	7	7	.	.	37 (17-73)	.	108 (59-200)	83 (59-114)	'	'	n.c.	1
Asma (J45)	F	0	0	.	.	0 (0-43)	.	0 (-.)	106 (35-251)	'	'	n.c.	1
Asma (J45)	M	0	0	.	.	0 (0-40)	.	0 (-.)	105 (27-256)	'	'	n.c.	1
Asma (J45)	M + F	0	0	.	.	0 (0-22)	.	0 (-.)	114 (54-192)	'	'	n.c.	1
Pneumoconiosi (J60-J64)	M	0	0	.	.	0 (0-40)	.	0 (-.)	24 (3-126)	'	'	n.c.	1

Tabella 22A - Sirolo	Genere	Osservati	Attesi	Cluster sign.	SIR cluster	Tasso std. * 100000 (ic)	Tasso std. > Tasso reg.	SIR (ic)	BIR (ic)	SIR sign.	BIR sign.	Trend	Livello attenzione
Causa (ICD-IX)													
Pneumoconiosi (J60-J64)	M + F	0	0	.	.	0 (0-22)	.	0 (-.)	24 (3-126)	'	'	n.c.	1
Malattie dell'apparato digerente (K00-K93)	F	<5	<5	.	.	39 (13-98)	.	113 (51-253)	96 (81-116)	'	'	n.c.	1
Malattie dell'apparato digerente (K00-K93)	M	>5	<5	.	.	46 (18-105)	.	143 (69-293)	102 (84-127)	'	'	n.c.	1
Malattie dell'apparato digerente (K00-K93)	M + F	9	7	.	.	42 (22-78)	.	128 (74-220)	102 (85-126)	'	'	n.c.	1
Cirrosi e altre malattie croniche del fegato (K70, K73-K74)	F	0	0	.	.	0 (0-43)	.	0 (-.)	74 (41-115)	'	'	n.c.	1
Cirrosi e altre malattie croniche del fegato (K70, K73-K74)	M	0	1	.	.	0 (0-40)	.	0 (-.)	96 (75-119)	'	'	n.c.	1
Cirrosi e altre malattie croniche del fegato (K70, K73-K74)	M + F	0	1	.	.	0 (0-22)	.	0 (-.)	87 (61-114)	'	'	n.c.	1
Nefropatie croniche e acute (N00-N12)	F	0	0	.	.	0 (0-43)	.	0 (-.)	100 (39-206)	'	'	n.c.	1
Nefropatie croniche e acute (N00-N12)	M	0	0	.	.	0 (0-40)	.	0 (-.)	138 (47-339)	'	'	n.c.	1
Nefropatie croniche e acute (N00-N12)	M + F	0	0	.	.	0 (0-22)	.	0 (-.)	112 (23-332)	'	'	n.c.	1
Malattie dell'apparato genito-urinario (N00-N99)	F	<5	<5	2	148	33 (9-93)	.	152 (61-379)	126 (86-184)	'	'	n.c.	1
Malattie dell'apparato genito-urinario (N00-N99)	M	<5	<5	.	.	8 (0-51)	.	48 (11-217)	105 (68-158)	'	'	n.c.	1
Malattie dell'apparato genito-urinario (N00-N99)	M + F	<5	<5	.	.	21 (7-52)	.	99 (44-220)	116 (83-160)	'	'	n.c.	1
Insufficienza renale acuta e cronica (N17-N19)	F	<5	<5	2	142	33 (9-93)	.	186 (75-467)	119 (85-178)	'	'	n.c.	1
Insufficienza renale acuta e cronica (N17-N19)	M	<5	<5	.	.	8 (0-51)	.	64 (14-285)	104 (70-149)	'	'	n.c.	1
Insufficienza renale acuta e cronica (N17-N19)	M + F	<5	<5	2	134	21 (7-52)	.	126 (56-280)	118 (84-167)	'	'	n.c.	1

Tabella 22A - Sirolo	Genere	Osservati	Attesi	Cluster sign.	SIR cluster	Tasso std. * 100000 (ic)	Tasso std. > Tasso reg.	SIR (ic)	BIR (ic)	SIR sign.	BIR sign.	Trend	Livello attenzione
Causa (ICD-IX)													
Malformazioni congenite (Q00-Q99)	F	<5	<5	.	.	19 (3-70)	.	1185 (392-3582)	155 (47-531)	↑	'	n.c.	3 😞
Malformazioni congenite (Q00-Q99)	M	<5	<5	.	.	12 (1-59)	.	466 (104-2087)	131 (37-460)	↑	'	n.c.	1 😞
Malformazioni congenite (Q00-Q99)	M + F	<5	<5	.	.	15 (4-44)	↑	782 (313-1957)	231 (83-589)	↑	'	n.c.	3 😞
Sintomi, segni e stati morbosi mal definiti (R00-R99)	F	<5	<5	.	.	9 (0-55)	.	82 (18-369)	98 (32-264)	'	'	n.c.	1 😞
Sintomi, segni e stati morbosi mal definiti (R00-R99)	M	<5	<5	.	.	9 (0-53)	.	120 (27-538)	105 (37-275)	'	'	n.c.	1 😞
Sintomi, segni e stati morbosi mal definiti (R00-R99)	M + F	<5	<5	.	.	9 (2-34)	.	98 (32-295)	103 (39-237)	'	'	n.c.	1 😞
Traumatismi e avvelenamenti (S00-T98)	F	<5	<5	.	.	22 (4-76)	.	58 (19-175)	96 (68-133)	'	'	n.c.	1 😞
Traumatismi e avvelenamenti (S00-T98)	M	>5	>5	.	.	46 (18-105)	.	95 (46-195)	101 (85-119)	'	'	n.c.	1 😞
Traumatismi e avvelenamenti (S00-T98)	M + F	7	9	.	.	34 (16-68)	.	80 (44-148)	99 (82-120)	'	'	n.c.	1 😞